
ELEMENTE DE INTELIGENTA ARTIFICIALA

1. Introducere.

- 1.1. Prelucrarea de imagini - principii generale.
- 1.2. Teoria recunoașterii formelor - generalități.
 - 1.2.1. Principii generale.
 - 1.2.2. Strategii de recunoaștere pentru N clase.
- 1.3. Metode conexioniste în prelucrarea de imagini și recunoașterea de forme.

1.1. Prelucrarea de imagini - principii generale.

Prelucrarea de imagini este un domeniu care își păstrează dinamismul în ciuda trecerii anilor. Dezvoltările tehnologice au facilitat accesul unui număr tot mai mare de oameni la această ramură fascinantă a imagisticii computerizate.

Conținutul imagisticii computerizate a fost sintetizat (Fig.1) în lucrarea lui Pavlidis [79], lucrare fundamentală pentru începuturile prelucrării de imagini.

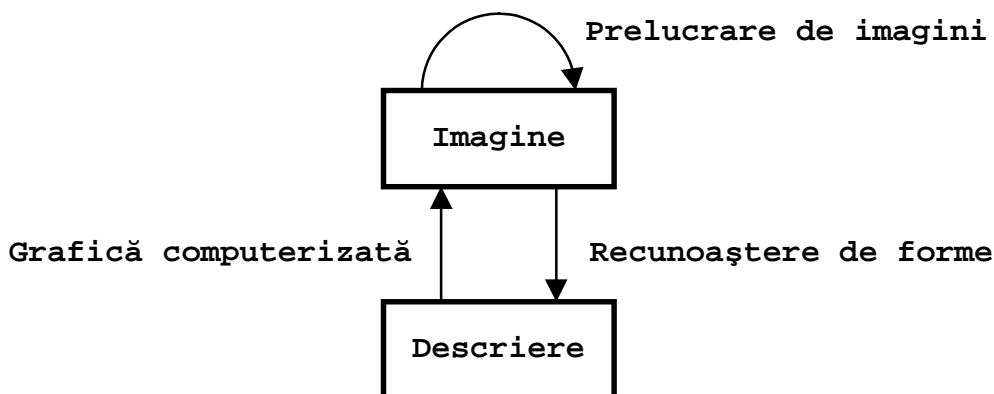


Fig. 1. Conținutul imagisticii computerizate.

În aceeași lucrare, Pavlidis propune clasificarea imaginilor în patru clase, astfel:

- **Clasa (1)** de imagini include imaginile în scară de gri (sau color).
- **Clasa (2)** de imagini cuprinde imaginile binare (sau cu câteva culori).
- **Clasa (3)** de imagini include imagini formate din linii și curbe continue.
- **Clasa (4)** de imagini cuprinde imagini formate din puncte izolate sau poligoane.

Se remarcă scăderea complexității imaginii odată cu numărul clasei, simultan cu reducerea semnificativă a volumului de date necesar pentru stocarea lor (Howe[51]).

Astfel imaginile de clasă (1) sunt cele mai complexe, un exemplu tipic de astfel de imagini fiind cele de televiziune, obținute deci cu o cameră TV. Imaginile binare conțin doar două nuanțe, de obicei alb și negru (sau doar câteva culori în cazul imaginilor color). Clasa (3) cuprinde imagini și mai simple, adică conținând doar linii și curbe având grosimea de un pixel. Imaginile din ultima clasă sunt cele mai simple, ele fiind formate din puncte izolate sau, în cazul graficii computerizate, din poligoane care descriu corpul tridimensional a cărui reprezentare realistă se dorește în final.

Câteva exemple de imagini din diferite clase sunt date în continuare (Fig. 2):

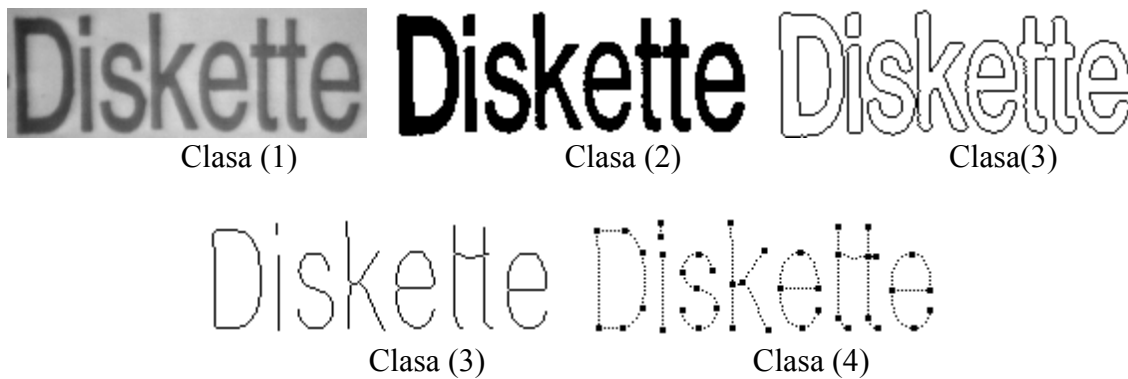


Fig. 2. Exemple de imagini din diferite clase.

O taxonomie a domeniului prelucrării de imagini în corelație cu grafica computerizată este propusă în continuare (Fig. 3):

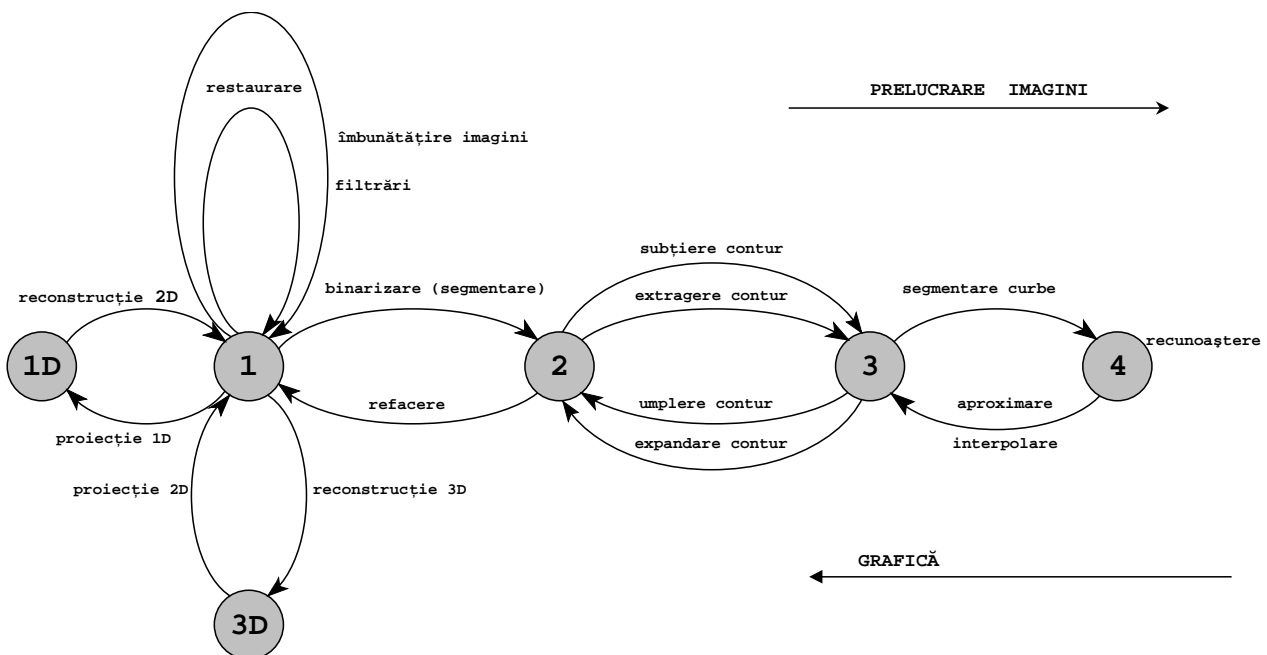


Fig. 3. O taxonomie a imagisticii computerizate.

Nu au fost reprezentați în diagrama anterioară algoritmi de codare/decodare a imaginilor, care formează un subdomeniu destul de consistent al prelucrării de imagini.

Îmbunătățirea imaginilor și filtrările formează un domeniu care se ocupă de eliminarea zgomotului, îmbunătățirea contrastului, accentuarea muchiilor și detecția de muchii.

Restaurarea imaginilor își propune eliminarea distorsiunilor care afectează imaginea, distorsiuni datorate unor fenomene fizice cunoscute, modelate matematic sau estimate.

Segmentarea imaginilor realizează separarea regiunilor uniforme, de interes, din imagine. Uniformitatea este o noțiune generală ea nereducându-se la constanța nivelelor de gri (aceeași textură, aceleași proprietăți, etc.). *Binarizarea* furnizează la ieșire o imagine de clasă (2), ea putând fi asimilată unei operații particulare de segmentare (de exemplu segmentarea cu prag).

Algoritmii de *extragere de contur* furnizează la ieșire un contur închis, deci o imagine de clasă (3). Algoritmii de subțiere de contur realizează tot transformarea imaginilor de clasă (2) în imagini de clasă (3), dar furnizează la ieșire un graf.

Imaginile de clasă (3) pot fi simplificate în continuare cu algoritmi de *segmentare a curbilor*, care furnizează localizarea așa-numite puncte critice și, în plus, parametrii curbilor care aproximează/interpolează liniile și curbele din imagine între două puncte critice succesive. Se poate remarca că, practic, se obține în această fază o *descriere* extrem de simplificată a imaginii inițiale.

În cazul graficii computerizate, după cum s-a menționat anterior, se pleacă de la o *descriere* a imaginii, urmărindu-se în cazul cel mai general, *sinteza unei imagini* realiste. Descrierea inițială cea mai des folosită conține o colecție de poligoane împreună cu conexiunile dintre ele, ceea ce formează așa-numita descriere "cadru-de sârmă" (wire-frame).

Obținerea imaginii realiste (clasa (1)) se traduce printr-o secvență de algoritmi care "apropie" imaginea sintetizată de cea reală.

Algoritmii de *aproximare/interpolare* pleacă de la descrierea "cadru-de-sârmă" și urmăresc obținerea unei curbe netede pentru suprafețele corpurilor tridimensionale ce se reprezintă.

Algoritmii de *umplere de contur* realizează operația complementară extragerii de contur, în timp ce *expandarea* este operația complementară subțierii.

Cunoscând sau deducând regulile de variație a nivelului de gri (culorii) de-a lungul suprafețelor care mărginesc corpul, prin operația de *refacere* se poate obține o reprezentare bidimensională realistă a corpurilor studiate. Se ține cont de caracteristicile și poziția surselor de lumină și caracteristicile locale ale corpurilor care se reprezintă (reflexivitate, transparență, etc.).

Alte clase de algoritmi sunt specifice *tomografiei computerizate*, care realizează investigarea nedistructivă a corpurilor.

Corpul studiat este penetrat de un fascicol de unde (raze "X", radiații electromagnetice, ultrasunete, etc) iar în prelungirea lor (mai puțin în cazul ultrasunetelor, care măsoară unda reflectată) un set de receptori măsoară energia rezultată a radiației, energie dependentă direct de proprietățile locale de absorbție ale corpului investigat. Ceea ce se obține la nivelul receptorilor este *proiecția 1D* (deci un vector) a unei secțiuni plane a corpului investigat, într-o anumită direcție.

Reconstrucția 2D refăce secțiunea plană a corpului studiat dintr-un set de proiecții 1D, în direcții diferite, ale secțiunii.

Având la dispoziție mai multe asemenea secțiuni (paralele sau radiale) ale corpului studiat, se poate realiza *reconstrucția 3D* a corpului studiat. Operația inversă se numește *proiecție 2D*.

Trebuie de remarcat însă că această sinteză nu trebuie văzută rigid, existând în literatură o multitudine de algoritmi care nu pot fi încadrați în ea și, în plus diferiți autori încadrează diferit un același algoritm în categorii diferite. Ca exemplu, operația de codare a datelor poate fi văzută ca o extragere de trăsături regenerative, ceea ce se obține fiind în esență o descriere a imaginii, scopurile urmărite fiind însă diferite.

1.2. Teoria recunoașterii formelor - generalități.

Recunoașterea formelor (Meisel[72]), (Sklansky[102]), (Vancea[108]) se ocupă de clasificarea unui set de obiecte, procese sau evenimente. Clasificarea este un proces fundamental

care caracterizează nu numai științele ci și viața socială. Metodele matematice dezvoltate în cadrul recunoașterii formelor își găsesc aplicație în cele mai diverse domenii.

Recunoașterea formelor are ca scop determinarea clasei din care fac parte elementele unei mulțimi. Stabilirea numărului de clase este o problemă legată direct de caracteristicile aplicației. Pot exista aplicații cu număr de clase cunoscut aprioric, dar și aplicații în care numărul de clase trebuie stabilit algoritmic.

Clasificatorul este sistemul care implementează operația de recunoaștere a formelor, deci el realizează o procedură stabilită anterior de clasificare.

Există două abordări ale procesului de recunoaștere: recunoașterea controlată și recunoașterea necontrolată.

Recunoașterea controlată (supervizată) implică existența unui set de forme a căror apartenență la clase este cunoscută. Acest set de forme include setul de formare (învățare, antrenare) care este folosit pentru construcția propriu-zisă a clasificatorului și setul de predicție (testare) al cărui scop este testarea (evaluarea) clasificatorului respectiv. Construirea clasificatorului este asociată în acest caz algoritmului de învățare corespunzător clasificatorului, algoritm care construiește în mod iterativ coeficienții acestui clasificator.

Recunoașterea necontrolată (nesupervizată) nu necesită cunoașterea apriorică a apartenenței formelor din setul de formare la clase (Hartigan[46]). Această abordare dezvoltă algoritmi care realizează construcția claselor pe măsură ce formele analizate sunt luate în considerare. Ei sunt numiți algoritmi de grupare (clustering).

Schema bloc a unui sistem de recunoaștere a formelor este dată în continuare (Fig. 4):

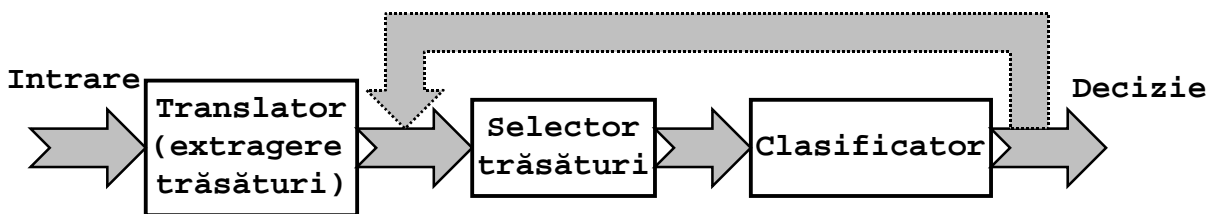


Fig. 4. Schema bloc a unui sistem de recunoaștere a formelor.

1.2.1. Principii generale.

În urma extragerii trăsăturilor se obține un set de "n" trăsături notat:

$$X = (x_1, x_2, \dots, x_n)^T \quad (1)$$

care poate fi văzut ca un vector în spațiul trăsăturilor (formelor), spațiu notat cu $\Omega \subset \mathbf{R}^n$.

Clasificarea este o partiționare a spațiului formelor în "K" regiuni (clase), notate $\{\omega_j\}_{j=1...K}$ și care îndeplinesc condițiile:

$$\omega_1 \cup \omega_2 \cup \dots \cup \omega_k = \Omega \quad (2)$$

$$\omega_1 \cap \omega_2 \cap \dots \cap \omega_k = F \quad (3)$$

unde F este mulțimea punctelor care alcătuiesc frontierele între aceste clase.

Funcția discriminant atașată unei clase este o funcție $D_j(X): \Omega \rightarrow \mathbf{R}$, dată de:

$$X \in \omega_j \Leftrightarrow D_j(X) > D_i(X), \quad \forall i \neq j, i = 1...K \quad (4)$$

Limitele de decizie între clasele ω_i și ω_j vor fi definite prin ecuația:

$$D_i(X) - D_j(X) = 0 \quad (5)$$

Metodele matematice utilizate pentru rezolvarea problemelor de recunoaștere a formelor se grupează în două mari categorii:

- metode decizional-teoretice și statistice;
- metode sintactice (lingvistice).

Între cele două clase de metode există o conexiune directă care asigură întrepătrunderea lor, după cum rezultă și din următoarea schemă bloc care descrie modurile posibile de abordare ale unei probleme generale de clasificare:

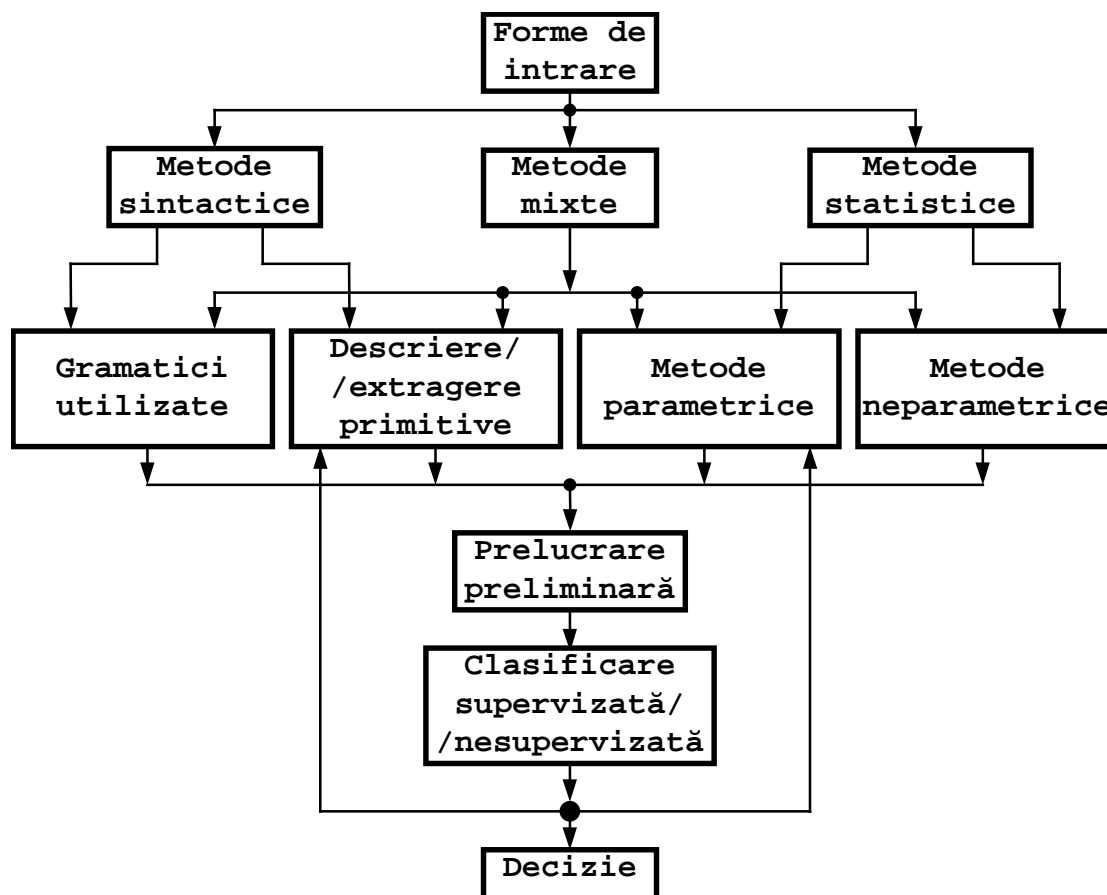


Fig. 5. Moduri posibile de abordare ale unei probleme de clasificare.

Dintre proprietățile care permit evaluarea unui clasificator, mai importante sunt următoarele:

Recunoașterea este exprimată prin *rata de recunoaștere*, care este procentul de forme din setul de formare recunoscut corect de clasificator.

Convergența exprimă *viteza de răspuns* a unui clasificator. În cele mai multe cazuri se urmărește realizarea unui compromis între rata de recunoaștere și viteza de răspuns care caracterizează un anumit clasificator.

Siguranța este descrisă prin *gradul de încredere* al unui clasificator, care caracterizează capacitatea clasificatorului de a clasifica corect formele distorsionate aplicate la intrare.

Predicția exprimă capacitatea clasificatorilor de a recunoaște corect forme care nu aparțin setului de formare. O măsură a acestei proprietăți este *abilitatea predictivă* care exprimă procentul de forme din setul de predicție (deci cu apartenență la clase necunoscute în prealabil) recunoscute corect.

1.2.2. Strategii de recunoaștere pentru N clase.

Complexitatea problemei poate fi micșorată împărțind-o în mai multe sarcini mai mici, și anume alcătuind câteva *grupe de clase* și apoi construind câte un clasificator pentru fiecare grupă de forme (Bulea[14][21][23]), (Pudil[88]). Trăsăturile extrase se aplică simultan la intrările tuturor clasificatorilor și în mod normal unul singur va furniza decizia de recunoaștere. Rolul logicii de decizie este de a furniza o decizie corectă în cazurile cu o oarecare doză de

incertitudine, utilizând informațiile furnizate de toate clasificatoarele. Schemele bloc pentru două variante ale unui asemenea sistem sunt prezentate în continuare.

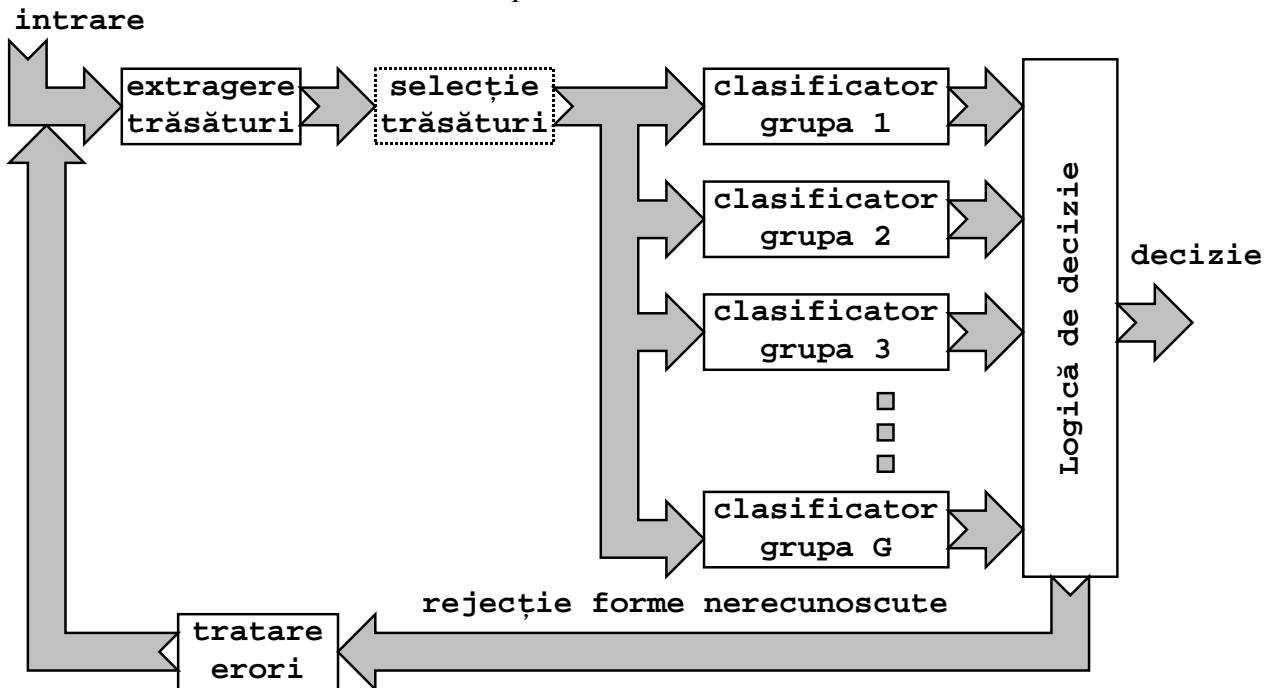


Fig. 6. Sistem de recunoaștere pentru N clase, varianta 1.

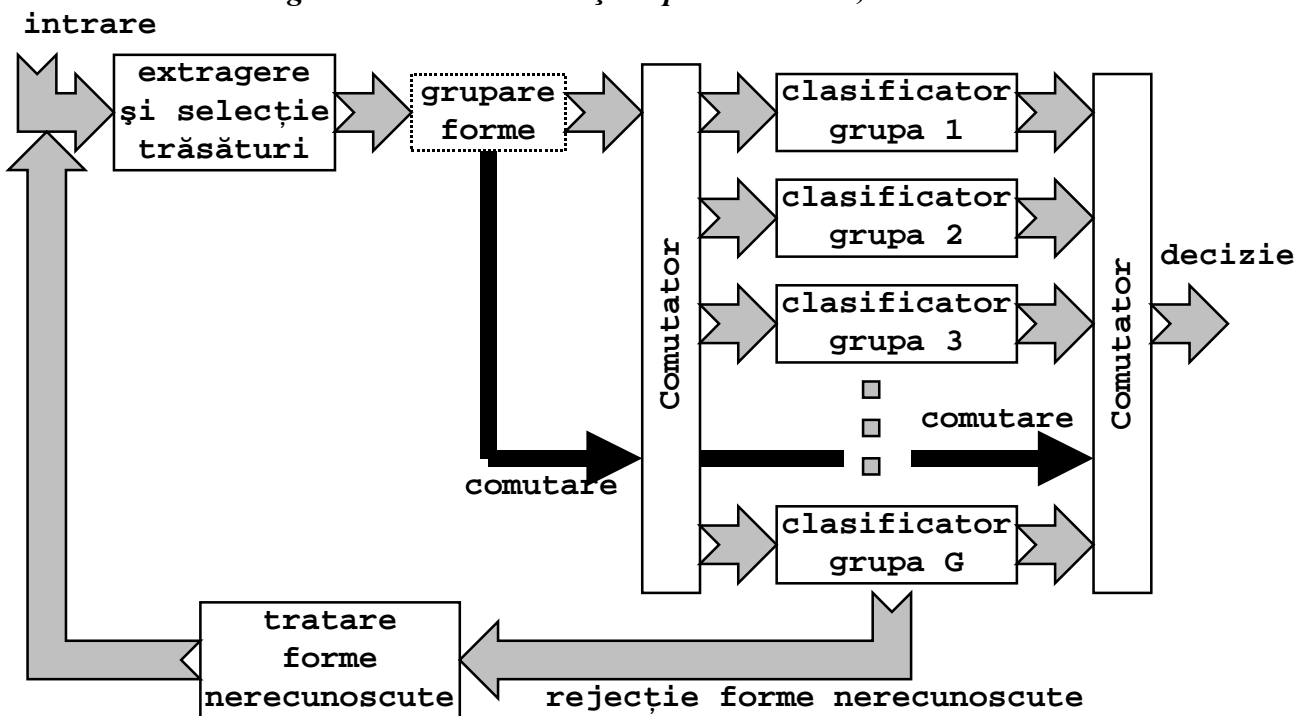


Fig. 7. Sistem de recunoaștere pentru N clase, varianta 2.

Deși prima variantă este mai simplă, se poate utiliza, pentru optimizarea timpului de răspuns, un preclasificator care să specifice cărei grupări îi aparține fiecare formă de intrare și în consecință, care clasificator elementar trebuie folosit pentru recunoașterea efectivă.

De multe ori, orice sistem de recunoaștere include și un subsistem de tratare a erorilor de recunoaștere (forme nerecunoscute), un exemplu tipic în acest sens fiind cazul caracterelor atinse sau fragmentate din sistemele OCR (Optical Character Recognition).

În ambele cazuri, pentru formele nerecunoscute se mai face o încercare în ipoteza că ele reprezintă forme încă "neînvățate"; se încearcă reantrenarea clasificatorului, apoi rezultatul este iarăși aplicat la intrarea clasificatorului pentru o nouă încercare.

1.3. Metode conexioniste în prelucrarea de imagini și recunoașterea de forme.

Metodele conexioniste se bazează pe utilizarea unei rețele de "procesoare" conectate intensiv unele cu altele. Fiecare "procesor" poate executa un număr redus de operații, de obicei aceleași pentru toate procesoarele din rețea. Gradul lor de programabilitate este redus. Implementarea acestor rețele de procesoare impune ca o necesitate practică limitarea conexiunilor aferente fiecărui procesor, astfel încât el să fie conectat doar la un număr de procesoare vecine.

Pot fi încadrate în categoriile descrise anterior structurile sistolice, procesoarele matriceale, rețelele neurale artificiale, etc. (Conte[31]).

Structurile sistolice fac parte din categoria mai largă a mașinilor paralele complexe care sunt alcătuite dintr-un mare număr de unități procesoare, de obicei identice, fiecare fiind capabilă să execute o operație fixă de bază. Proprietățile arhitecturale ale structurilor sistolice le fac potrivite pentru o implementare VLSI. Conectarea celulelor de calcul se face conform unei topologii regulate, în care fluxul de informații este permis numai spre unitățile adiacente într-un mod "pipe-line". Necesitățile de comunicare cu exteriorul sunt limitate, conexiunile sunt foarte scurte, ceea ce permite o viteză mare de operare.

Procesoarele matriceale sunt structuri paralele care realizează aceleași operații, simultan, asupra unor date diferite. Ele constituie exemplul tipic de structuri SIMD (Single Instruction Stream - Multiple Data Stream). Au un grad mai mare de programabilitate decât structurile sistolice, dar utilizarea lor este limitată la aplicații care cer un paralelism înalt, cum ar fi lucrul cu matrici de date de dimensiuni mari (cazul imaginilor).

Rețelele neurale (neuronale) artificiale (Haykin[47]), (Kohonen[62][63]), (Lipmann[66]), (Rumelhart[98]) încearcă să se apropie de modelul creierului uman. Spre deosebire de mașinile Von-Neuman care se caracterizează prin existența unei unități procesoare care execută instrucțiuni stocate în memorie, într-o secvență aflată sub controlul numărătorului de program, alte arhitecturi propuse încearcă să exploateze cât mai eficient paralelismul care este de obicei inerent. "Procesoarele" care formează rețelele neuronale, sunt denumite neuroni artificiali.

Dacă majoritatea calculatoarelor existente în momentul de față dispun de o singură unitate procesoare, extrem de puternică și de rapidă, la cealaltă extremă din punctul de vedere al structurii interne se plasează aceste rețele neurale artificiale, caracterizate printr-o simplificare extremă a unităților componente, alături de o extindere cât mai largă a conexiunilor între aceste unități procesoare.

Orice rețea neurală este caracterizată de trei elemente: modelul neuronului, arhitectura rețelei și algoritmul de antrenare folosit.

În ceea ce privește modelele de neuroni, cel mai mult folosite în momentul de față sunt cele fără memorie, deci care implementează o relație de forma:

$$y_j = f\left(\sum_{i=1}^N w_{ij}x_i - \theta_j\right) \quad (6)$$

unde y_j este ieșirea neuronului "j", x_i este intrarea "i" a neuronului, w_{ij} este ponderea conexiunii de la intrarea "i" la neuronul "j", iar θ_j este pragul atașat neuronului "j".

Funcția f este o funcție neliniară care poate fi de tipul limitare hardware, prag logic, sigmoidă simetrică sau nu, sau chiar funcția identică.

Modele mai sofisticate de neuroni introduc variabila timp, un astfel de model fiind descris de următoarele relații:

$$\begin{cases} \frac{du_j}{dt} = -u_j + \sum_{i=1}^N w_{ij}x_i + \theta_j \\ y_j = f(u_j) \end{cases} \quad (7)$$

unde u_j caracterizează starea curentă a neuronului.

Între arhitecturile de rețele neurale, rețelele "feed-forward" (conexiunile sunt unidirecționale, nu există bucle de reacție) au fost cel mai mult studiate. Într-o asemenea rețea, neuronii sunt dispuși în straturi succesive, ieșirile neuronilor de pe straturile inferioare aplicându-se la intrările neuronilor de pe stratul imediat următor.

Binecunoscutul perceptron multistrat are o asemenea structură, gama largă a aplicațiilor în care o fost folosit fiind o dovadă a capabilităților unui asemenea sistem

Teoria recunoașterii formelor este deja o disciplină matură, care și-a dovedit utilitatea într-o multitudine de domenii. Pe de o parte, paralelismul extins oferit de rețelele neurale deschide noi perspective teoriei recunoașterii formelor, iar pe de alta, fundamentul matematic solid al teoriei recunoașterii formelor direcționează și dinamizează în permanență cercetările asupra rețelelor neurale. Se poate remarca deci în acest context interdependența strânsă între cele două domenii de studiu.

Principala calitate a rețelelor neurale este aceea de clasificare. Clasificatorii neuronali mai des folosiți, sunt prezentați în următoarea taxonomie, funcție de tipul intrărilor (binare sau continue), funcție de modul de antrenare (supervizată sau nesupervizată) și de arhitectura rețelei:

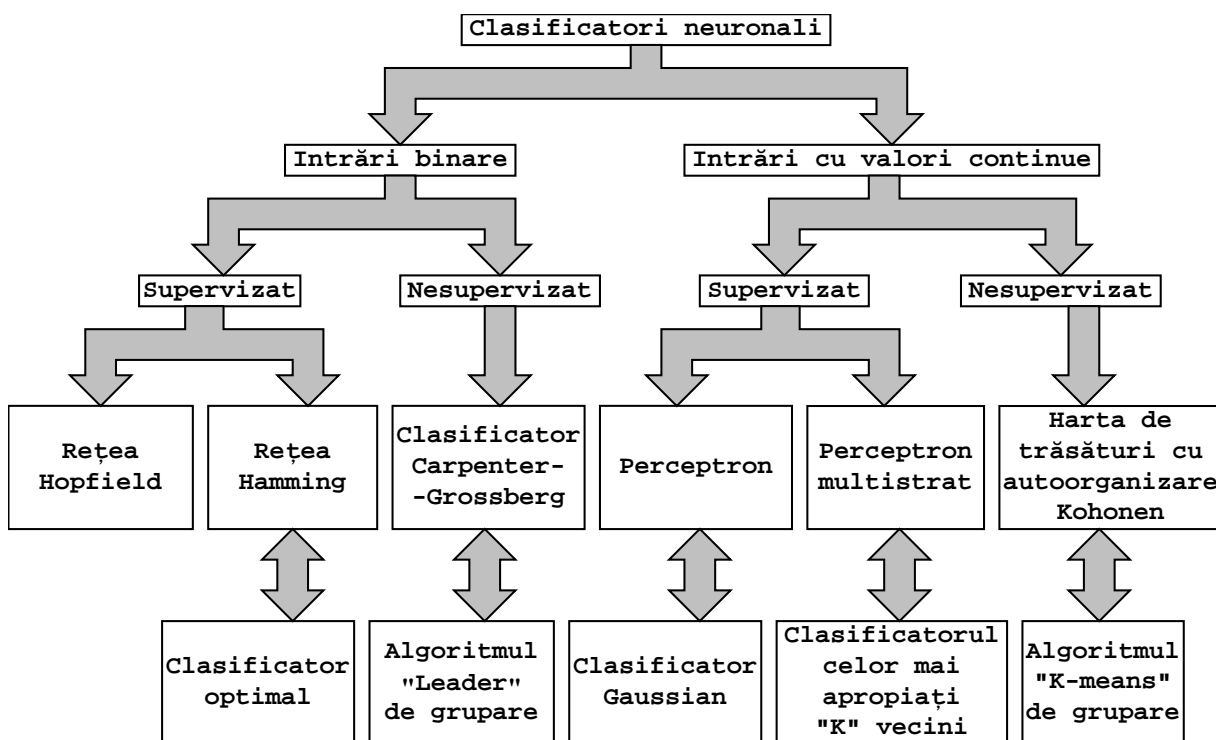


Fig. 8. O taxonomie a rețelelor neurale.

Blocurile din partea de jos a schemei anterioare indică algoritmi clasici cei mai apropiați de clasificatorul neural corespunzător.

Domeniul rețelelor neurale artificiale cunoaște în prezent un dinamism remarcabil (Freeman[39]), (Haykin[47]) extinzându-se rapid nu numai rezultatele teoretice, ci și aplicațiile care folosesc aceste metode.

2. Tehnici de îmbunătățire a imaginilor.

- 2.1. Eliminarea zgomotelor.
 - 2.1.1. Filtre spațiale de eliminare a zgomotelor.
 - 2.1.2. Filtre în domeniul frecvență.
 - 2.1.3. Filtrul Wiener generalizat.
 - 2.1.4. Metode regionale.
- 2.2. Îmbunătățirea contrastului.
 - 2.2.1. Îmbunătățirea contrastului prin operații asupra histogramei.
 - 2.2.2. Filtrarea homomorfică.
 - 2.2.3. Diferențierea statistică.
- 2.3. Accentuarea muchiilor.
- 2.4. Îmbunătățirea imaginilor binare.
 - 2.4.1. Eliminarea zgomotelor.
 - 2.4.2. Netezirea contururilor.
- 2.5. Detalii de implementare.

2.1. Eliminarea zgomotelor.

2.1.1. Filtre spațiale de eliminare a zgomotelor.

Tehnicile spațiale de eliminare a zgomotelor se remarcă prin simplitate, ceea ce duce la posibilitatea unor implementări hardware în timp real. Ele se bazează pe folosirea așa-numitelor măști de convoluție care, în esență, realizează înlocuirea valorii fiecărui pixel cu o combinație liniară a valorilor pixelilor dintr-o vecinătate a pixelului curent.

a) Filtre de mediere.

Pentru fiecare vecinătate de pixeli (de obicei 3x3, dar și 5x5 sau 7x7), pixelul central se înlocuiește cu o combinație liniară a pixelilor din vecinătate:

$$\tilde{P}(i,j) = \frac{1}{k} \sum_{m=-l}^l \sum_{n=-l}^l M(m,n) * P(i+m,j+n) \quad (1)$$

unde masca $M(m,n)$ poate fi:

$$\begin{aligned} \mathbf{M}_1 &= \frac{1}{4} \begin{bmatrix} 0 & 1 & 0 \\ 1 & 0 & 1 \\ 0 & 1 & 0 \end{bmatrix} & \mathbf{M}_2 &= \frac{1}{5} \begin{bmatrix} 0 & 1 & 0 \\ 1 & 1 & 1 \\ 0 & 1 & 0 \end{bmatrix} & \mathbf{M}_3 &= \frac{1}{6} \begin{bmatrix} 0 & 1 & 0 \\ 1 & 2 & 1 \\ 0 & 1 & 0 \end{bmatrix} \\ \mathbf{M}_4 &= \frac{1}{8} \begin{bmatrix} 1 & 1 & 1 \\ 1 & 0 & 1 \\ 1 & 1 & 1 \end{bmatrix} & \mathbf{M}_5 &= \frac{1}{9} \begin{bmatrix} 1 & 1 & 1 \\ 1 & 1 & 1 \\ 1 & 1 & 1 \end{bmatrix} & \mathbf{M}_6 &= \frac{1}{10} \begin{bmatrix} 1 & 1 & 1 \\ 1 & 2 & 1 \\ 1 & 1 & 1 \end{bmatrix} & \mathbf{M}_7 &= \frac{1}{16} \begin{bmatrix} 1 & 2 & 1 \\ 2 & 4 & 2 \\ 1 & 2 & 1 \end{bmatrix} \end{aligned} \quad (2)$$

Asemenea tip de filtre se pot rafina astfel încât să nu fie afectați de operația de mediere pixelii situați pe muchii. Un operator pentru detecție de muchii (mască) poate indica prezența și direcția unei muchii în imagine. În absența muchiei, se aplică filtrul de eliminare a zgomotelor pentru toți pixelii din vecinătate, în caz contrar doar pentru pixelii situați de o parte și de alta a muchiei, cunoscând direcția ei. De asemenea se pot utiliza măști de mediere pentru toți pixelii, însă având coeficienții corelați cu datele furnizate de detectorul de muchii.

b) Medierea cu prag realizează compararea fiecărui pixel cu media vecinilor lui, medie ce poate fi calculată printr-o convoluție cu masca M_4 . Modificarea pixelului curent se face doar dacă este îndeplinită o condiție de prag.

$$\text{IF } [f(x,y) - 1/8 \sum_{i=1}^8 v_i(x,y)] > \theta \text{ THEN } f(x,y) = 1/8 \sum_{i=1}^8 v_i(x,y) \quad (3)$$

c) Filtre mediane.

O categorie aparte de filtre spațiale o constituie filtrele mediane la care pixelul central al unei vecinătăți de forma:

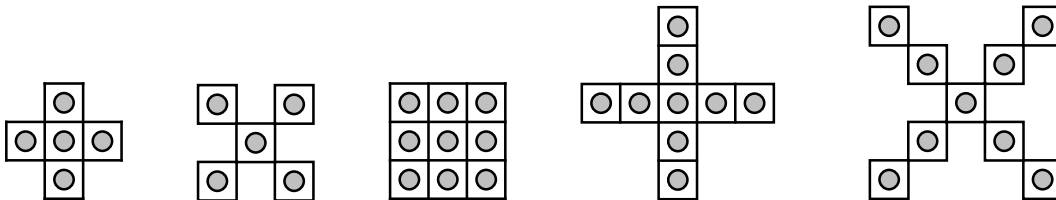
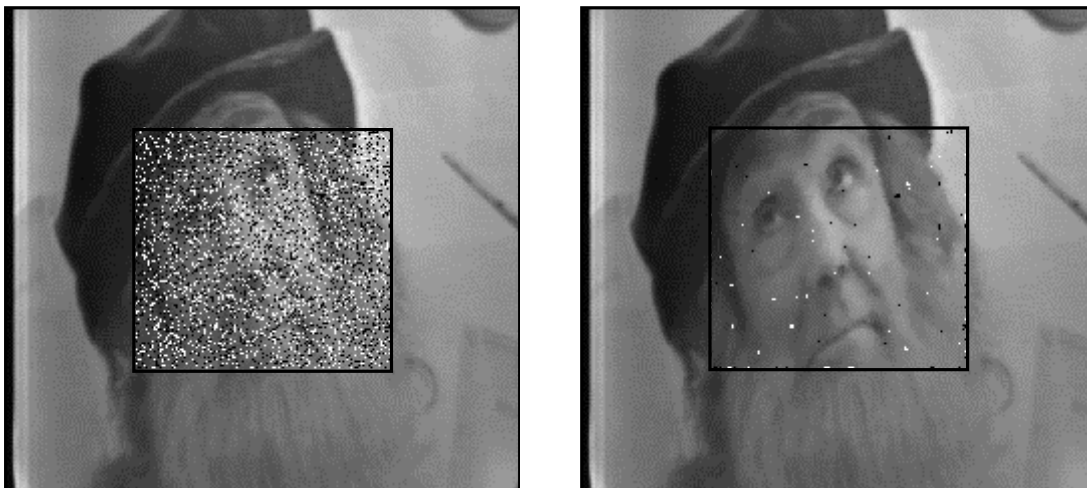


Fig. 1. Măști pentru filtrarea mediană.

este înlocuit cu medianul mulțimii pixelilor din vecinătate. Efectul aplicării lor este că pixelii cu valoarea mult diferită de a vecinilor dispar.



Exemplu de filtrare mediană.

Mai trebuie de menționat proprietatea filtrelor mediane de a nu altera semnificativ colțurile și muchiile obiectelor din imagine. Filtrarea mediană necesită ordonarea pixelilor din vecinătate, ceea ce înseamnă un număr destul de mare de operații. În literatură (Pavlidis[79]), (Pratt[84]), (Rosenfeld[95]) sunt citate mai multe tehnici de aproximare a valorii mediane căutate (filtrul pseudomedian, mini-max, maxi-min, etc.), precum și o serie de tehnici de minimizare a timpului de calcul.

2.1.2. Filtre în domeniul frecvență pentru eliminarea zgomotelor sunt mai rar folosite, mai ales datorită complexității calculului. Aplicația tipică apare în cazul suprapunerii peste imagine a unor interferențe periodice cu caracteristici cunoscute. Spectrul unei asemenea imagini conține maxime semnificative corespunzătoare acestor interferențe, care pot fi eliminate cu un filtru oprește-bandă bidimensional, proiectat corespunzător.

2.1.3. Filtrul Wiener generalizat are schema bloc din figura următoare:

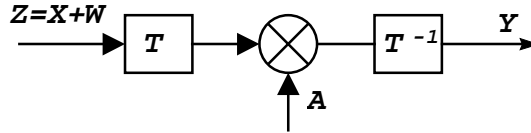


Fig. 2. Filtrul Wiener generalizat.

Unde:

$$\mathbf{Z} = (z_0, z_1, \dots, z_{N-1}), \quad \mathbf{X} = (x_0, x_1, \dots, x_{N-1}),$$

$$\mathbf{W} = (w_0, w_1, \dots, w_{N-1}), \quad \mathbf{Y} = (y_0, y_1, \dots, y_{N-1})$$

\mathbf{A} , \mathbf{T} - matrici $N \times N$;

El este un filtru optimal care realizează minimizarea erorii medii pătratice de estimare a semnalului util \mathbf{X} , peste care se suprapune zgomotul \mathbf{Z} .

$$\varepsilon = \mathbf{E}\{(\mathbf{Y} - \mathbf{X})^t(\mathbf{Y} - \mathbf{X})\} \quad (4)$$

În ipotezele:

$$1) \quad \mathbf{E}\{\mathbf{X}\mathbf{W}^t\} = \mathbf{E}\{\mathbf{W}\mathbf{X}^t\} = 0, \text{ adică semnalul util și zgomotul sunt necorelate,}$$

$$2) \quad \mathbf{T}^{-1} = \mathbf{T}^t, \text{ adică transformarea } \mathbf{T} \text{ este unitară,}$$

rezultă:

$$\mathbf{A}_0 = \mathbf{T}\mathbf{K}_{XX}(\mathbf{K}_{XX} + \mathbf{K}_{WW})^{-1}\mathbf{T}^t \quad (5)$$

$$\varepsilon = \text{trace}[\mathbf{K}_{XX} - \mathbf{K}_{XX}(\mathbf{K}_{XX} + \mathbf{K}_{WW})^{-1}\mathbf{K}_{WW}] \quad (6)$$

unde

$$\mathbf{K}_{XX} = \mathbf{E}\{(\mathbf{X} - \bar{\mathbf{X}})(\mathbf{X} - \bar{\mathbf{X}})^t\} = \mathbf{E}\{\mathbf{X}\mathbf{X}^t\} \quad (7)$$

și

$$\mathbf{K}_{WW} = \mathbf{E}\{(\mathbf{W} - \bar{\mathbf{W}})(\mathbf{W} - \bar{\mathbf{W}})^t\} = \mathbf{E}\{\mathbf{W}\mathbf{W}^t\} \quad (8)$$

sunt matricile de autocorelație pentru semnalul util și respectiv zgomot, iar $\bar{\mathbf{X}} = \mathbf{E}\{\mathbf{X}\}$, $\bar{\mathbf{W}} = \mathbf{E}\{\mathbf{W}\}$ sunt mediile lor.

Deci cunoscând caracteristicile statistice ale semnalului util și respectiv zgomotului se poate construi un filtru optimal, având matricea dată de \mathbf{A}_0 .

Remarcând faptul că mărimea erorii nu depinde de transformarea ortogonală aleasă, putem alege matricea \mathbf{T} din condiția minimizării numărului de calcule.

2.1.4. Metode regionale.

Mai întâi, prin convoluție cu un set de operatori specifici de extracție de linii și muchii, imaginea originală este transformată pentru a obține o "imagine de control" (Knutsson[61]). Aceasta este o imagine complexă, fiecare punct al ei având o magnitudine $\mathbf{B}(x,y)$ și o direcție $\mathbf{\Theta}(x,y)$. Deci $\mathbf{F}(x,y)$ fiind imaginea inițială, imaginea de control se obține astfel:

$$\mathbf{S}_i(x,y) = \mathbf{F}(x,y) * \mathbf{E}_i(x,y), \text{ cu } i = 1,2,3,4 \quad (9)$$

$$\mathbf{C}_i(x,y) = \mathbf{F}(x,y) * \mathbf{D}_i(x,y), \quad (10)$$

unde "*" înseamnă convoluție, iar $E_i(x,y)$ și respectiv $D_i(x,y)$ sunt filtre spațiale pentru detecția de muchii și respectiv linii, având direcția "i".

Amplitudinea imaginii de control în direcția "i" este dată de:

$$B_i(x,y) = \sqrt{S_i^2(x,y) + C_i^2(x,y)} / V(x,y), \quad i = 1,2,3,4, \quad (11)$$

unde:

$$V(x,y) = \left[\sum_{i=1}^4 \sqrt{S_i^2(x,y) + C_i^2(x,y)} \right]^\beta, \quad 0 < \beta < 1 \quad (12)$$

Amplitudinea globală este dată de:

$$B(x,y) = \sqrt{[B_1(x,y) - B_3(x,y)]^2 + [B_2(x,y) - B_4(x,y)]^2} \quad (13)$$

iar direcția în punctul de coordonate (x,y) este $\Theta(x,y)$, care se deduce din

$$\sin [2\Theta(x,y)] = [B_2(x,y) - B_4(x,y)] / B(x,y) \quad (14)$$

$$\cos [2\Theta(x,y)] = [B_1(x,y) - B_3(x,y)] / B(x,y) \quad (15)$$

Filtrele pentru detecția muchiilor și a liniilor se construiesc în domeniul frecvență astfel:

$$E_i(\rho, \theta) = e_i(\rho) e_i(\theta) \quad (16)$$

$$D_i(\rho, \theta) = d_i(\rho) d_i(\theta) \quad (17)$$

$$e_i(\rho) = d_i(\rho) = \exp \left[-\frac{4 \ln 2}{(\ln B)^2} \left(\ln \frac{\rho}{\rho_c} \right)^2 \right] \quad (18)$$

$$e_i(\theta) = \cos^2(\theta - \theta_i) \text{sign}[\cos(\theta - \theta_i)] \quad (19)$$

$$d_i(\theta) = \cos^2(\theta - \theta_i) \quad (20)$$

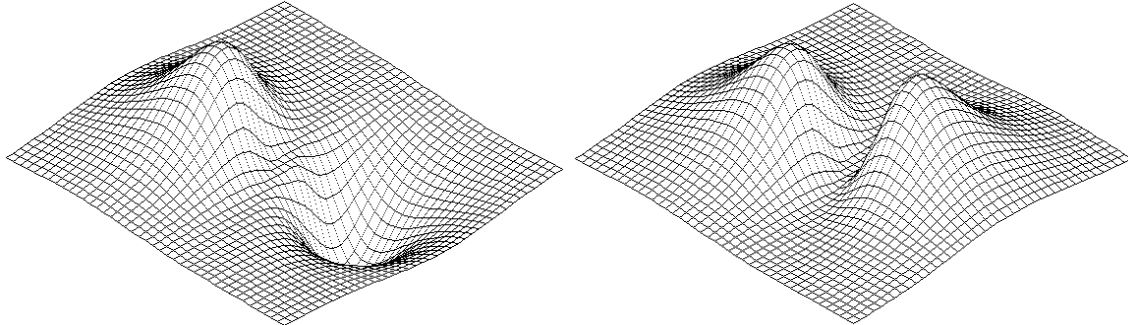


Fig.3. Filtrul pentru detecția muchiilor $E_i(\rho, \theta)$, Fig.4. Filtrul pentru detecția liniilor $D_i(\rho, \theta)$.

Odată construită imaginea de control (deci estimate direcția și mărimea muchiei în fiecare punct), urmează construirea unui filtru anizotrop pentru operația efectivă de îmbunătățire. Acest filtru este suma a două componente: un filtru izotrop trece-jos de netezire și unul de extragere muchii, orientat în direcția dată de imaginea de control obținută din imagine. Proporția celor două componente este dată de amplitudinea punctuală a imaginii de control.

Filtrul de netezire trebuie să fie izotrop, deci:

$$H(\rho, \theta) = H(\rho) = \begin{cases} \cos^2\left(\frac{\pi\rho}{1.8}\right), & \text{pentru } \rho < 0.9 \\ 0, & \text{pentru } \rho \geq 0.9 \end{cases} \quad (21)$$

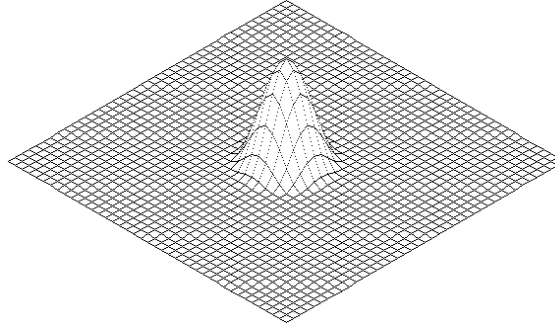


Fig. 5. Filtrul izotrop de netezire $H(\rho, \theta)$.

Filtrul de extragere de muchii se construiește astfel:

$$\mathbf{M}(\rho, \theta) = \mathbf{m}(\rho) \mathbf{m}(\theta) \quad (22)$$

unde:

$$\mathbf{m}(\rho) = \begin{cases} 1 - \mathbf{H}(\rho), & \text{pentru } \rho < 0.9 \\ 1, & \text{pentru } 0.9 \leq \rho < \pi - 0.9 \\ \cos^2 \left[\frac{\pi}{1.8} (\rho - \pi + 0.9) \right], & \text{pentru } \pi - 0.9 \leq \rho < \pi \end{cases} \quad (23)$$

$$\mathbf{m}(\theta) = \cos^2(\theta) \quad (24)$$

Imaginea îmbunătățită, $\mathbf{G}(x, y)$ poate fi exprimată astfel:

$$\mathbf{G}(x, y) = \alpha_s \mathbf{F}(x, y) * \mathbf{H}(x, y) + \alpha_e \mathbf{B}(x, y) [\mathbf{F}(x, y) * \mathbf{M}(x, y, \Theta(x, y))] \quad (25)$$

Este posibilă prelucrarea iterativă a imaginilor zgomotoase, aplicând succesiv formula anterioară.

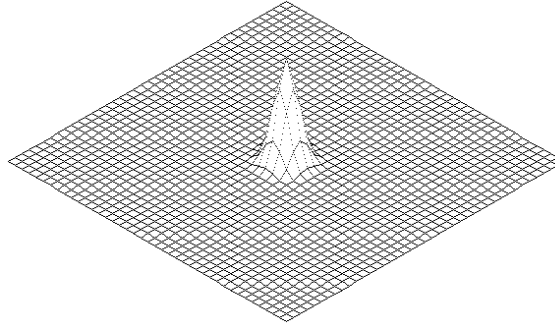


Fig. 6. Filtrul de netezire echivalent după patru iterații.

Deși costisitoare din punctul de vedere al calculului, această metodă se dovedește a fi deosebit de puternică.

2.2. Îmbunătățirea contrastului.

2.2.1. Îmbunătățirea contrastului prin operații asupra histogramei.

Cele mai simple metode de îmbunătățire a contrastului unei imagini au la bază operații asupra histogramei.

Din studiul histogramei unei imagini cu contrast scăzut se poate remarca utilizarea neeficientă a gamei dinamice posibile pentru nivelele de gri. Dacă într-o imagine, cel mai întunecat nivel de gri al unui pixel este K , iar W este nivelul de gri al celui mai luminos pixel, atunci transformarea punctuală liniară numită **scalare**:

$$\tilde{f}(x, y) = \frac{\tilde{W} - \tilde{K}}{W - K} [f(x, y) - K] \quad (26)$$

va forța noua gamă dinamică a pixelilor din imagine la intervalul $[\tilde{K}, \tilde{W}]$. (În cazul general nivelele de gri K și W se aleg funcție de rezultatul dorit).

Alegând $\tilde{K} = 0$ și $\tilde{W} = L - 1$, unde L este numărul maxim posibil de nivele de gri din imagine, se obține o imagine cu contrast îmbunătățit.

Transformarea se poate generaliza prin construirea unei funcții de scalare, care să transforme, după o lege oarecare, luminozitatea pixelilor din imagine.

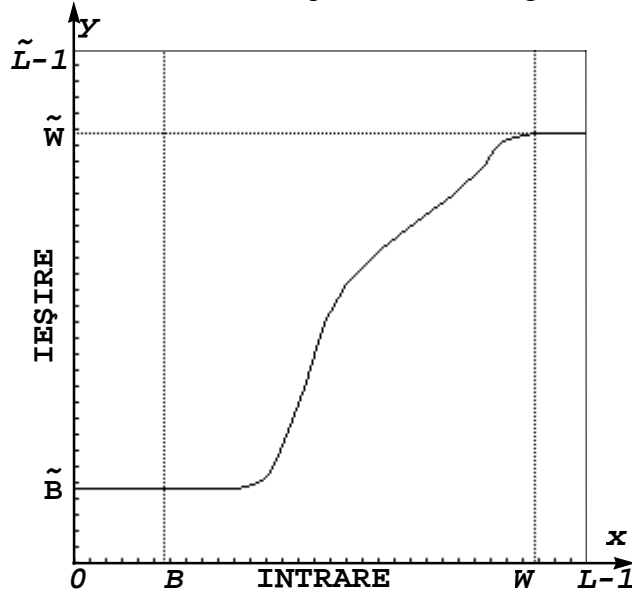


Fig. 7. Exemplu de funcție de scalare.

În literatură sunt citate o multitudine de asemenea funcții de scalare: pătratică, cubică, radical, rădăcina de ordinul trei, liniare pe porțiuni, gaussiană, inversă, logaritmică, exponențială, etc.

Egalizarea de histogramă își propune să furnizeze la ieșire o imagine având o utilizare relativ uniformă a nivelelor de gri, adică o histogramă "aproximativ uniformă":

$$He(z) = \frac{MN}{S}, \tag{27}$$

unde M, N sunt dimensiunile imaginii.

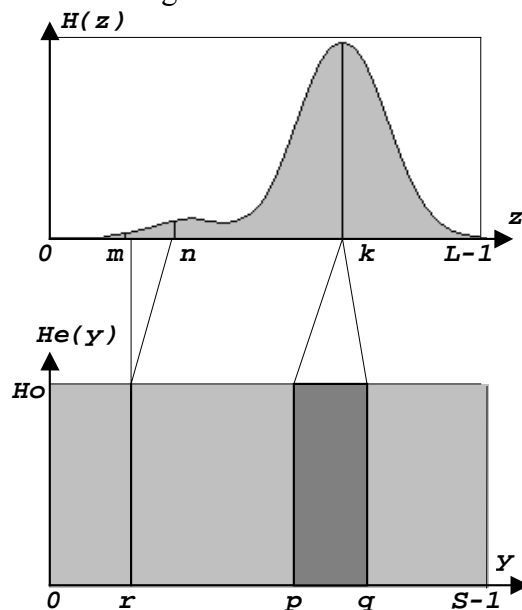


Fig. 8. Principiul egalizării de histogramă.

Se remarcă practic două situații distincte:

1) Nivelele de gri "slab reprezentate" din histograma inițială (există puțini pixeli având aceste nivele de gri), din intervalul $[m,n]$ capătă prin egalizare nivelul de gri unic "r" în histograma egalizată;

2) Nivelul de gri "k", care este "bine reprezentat" în histograma inițială, va fi distribuit, prin egalizare, în intervalul $[p,q]$.

Pentru cazul 2) se poate adopta o strategie din mai multe posibile pentru a realiza distribuirea nivelului de gri "k" într-un interval:

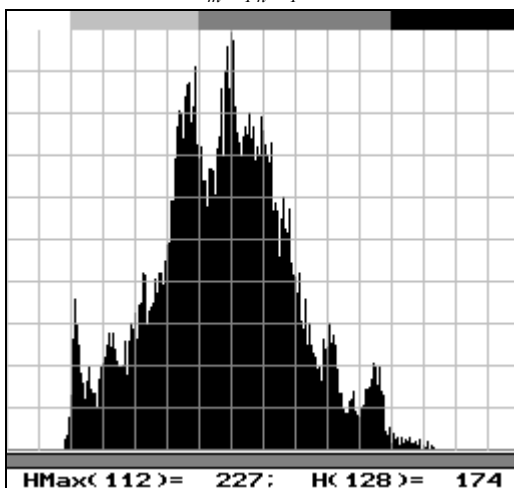
a) Pixelii din imaginea inițială având nivelul de gri "k" capătă după egalizare nivelul de gri $(p+q)/2$; histograma nu rezultă perfect plată, dar efortul de calcul este minim;

b) Pixelilor din imaginea inițială li se atribuie un nivel de gri aleator în intervalul $[p,q]$; efortul de calcul rămâne destul de mic, histograma rezultă aproximativ plată, dar apare un zgomot care se suprapune peste imagine;

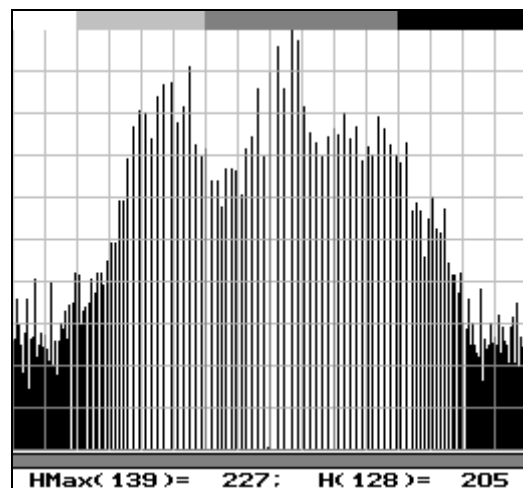
c) Nivelul de gri atribuit pixelilor din imaginea inițială se corelează cu nivelul de gri al vecinilor lui, astfel:

$$\tilde{f}(x,y) = \begin{cases} p, & \text{pentru } f(x,y) < M \\ M, & \text{pentru } p \leq M \leq q \\ q, & \text{pentru } f(x,y) > M \end{cases} \quad (28)$$

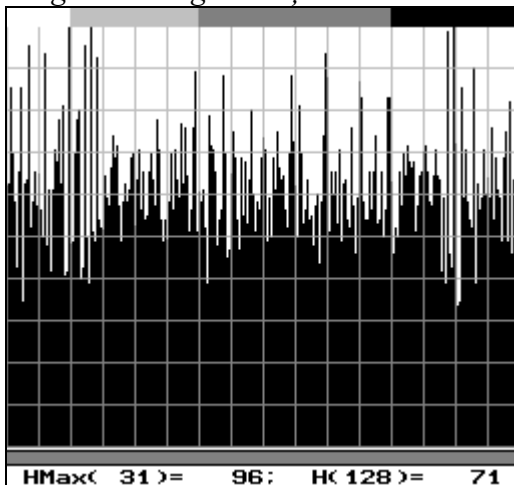
unde:
$$M = \frac{1}{9} \sum_{m=-1}^1 \sum_{n=-1}^1 f(x+m, y+n) \quad (29)$$



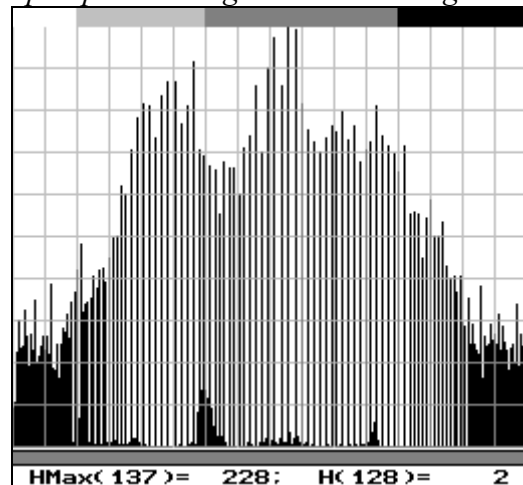
Histograma imaginii inițiale



După aplicarea algoritmului 1 de egalizare



După aplicarea algoritmului 2 de egalizare



După aplicarea algoritmului 3 de egalizare



Imaginea inițială



După aplicarea algoritmului 2 de egalizare

În lucrarea (Pizer[82]) se propune o tehnică adaptivă de egalizare a histogramei, care se bazează pe divizarea imaginii în careuri, pentru fiecare careu calculându-se histograma și regula de atribuire a noilor nivele de gri. Pentru fiecare pixel se obține regula de atribuire printr-o combinație liniară a nivelelor de gri furnizate de regulile de atribuire corespunzătoare celor patru careuri mai apropiate:

$$M = \frac{A}{Cx} \left[\frac{B}{Cy} M_{00} + \left(1 - \frac{B}{Cy}\right) M_{10} \right] + \left(1 - \frac{A}{Cx}\right) \left[\frac{B}{Cy} M_{01} + \left(1 - \frac{B}{Cy}\right) M_{11} \right] \quad (30)$$

unde $M_{00}, M_{10}, M_{01}, M_{11}$ sunt regulile de atribuire date de cele mai apropiate patru careuri, iar restul elementelor rezultă din figura următoare:

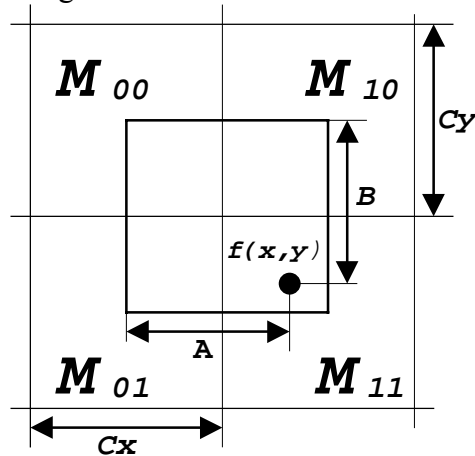


Fig. 9. Principiul egalizării adaptive de histogramă.

2.2.2. Filtrarea homomorfică.

Se acceptă drept model simplificat al imaginii:

$$f(x,y) = i(x,y) r(x,y) \quad (31)$$

unde $i(x,y)$ este componenta numită "iluminare", dată de sursele de lumină aferente imaginii, iar $r(x,y)$ este "reflectanța", dată de proprietățile de reflexie locală ale corpurilor din imagine. Se remarcă proprietățile $i(x,y) > 0$, $0 < r(x,y) < 1$, precum și faptul că iluminarea $i(x,y)$ variază lent de la o zonă la alta a imaginii, pe când reflectanța, variind brusc de la o zonă la alta a imaginii, este cea care furnizează frecvențele mari din spectru.

Micșorând ponderea iluminării în raport cu reflectanța se obține o îmbunătățire semnificativă a contrastului, simultan cu eliminarea efectelor iluminării neuniforme a imaginii.

Separarea celor două componente se face logaritmand imaginea inițială, urmând ca, după o filtrare clasică, să se execute exponențierea imaginii filtrate. Deci pașii care se urmează sunt (Gonzales[42]):

$$1. \log [f(x,y)] = \log [i(x,y)] + \log [r(x,y)]; \quad (32)$$

$$\text{adică } f'(x,y) = i'(x,y) + r'(x,y);$$

$$2. F \{ f'(x,y) \} = F \{ i'(x,y) \} + F \{ r'(x,y) \}; \quad (33)$$

$$\text{adică } F(u,v) = I(u,v) + R(u,v);$$

$$3. F'(u,v) = H(u,v) F(u,v) = H(u,v) I(u,v) + H(u,v) R(u,v); \quad (34)$$

$$\text{adică } F'(u,v) = I'(u,v) + R'(u,v);$$

$$4. F^{-1} \{ F'(u,v) \} = F^{-1} \{ I'(u,v) \} + F^{-1} \{ R'(u,v) \}; \quad (35)$$

$$\text{adică } f''(x,y) = i''(x,y) + r''(x,y);$$

$$5. \exp [f''(x,y)] = \exp [i''(x,y)] \exp [r''(x,y)]; \quad (36)$$

$$\text{adică } \tilde{f}(x,y) = \tilde{i}(x,y) \tilde{r}(x,y)$$

Foarte importantă este alura filtrului bidimensional H , care va atenua frecvențele joase din spectru și le va amplifica pe cele înalte:

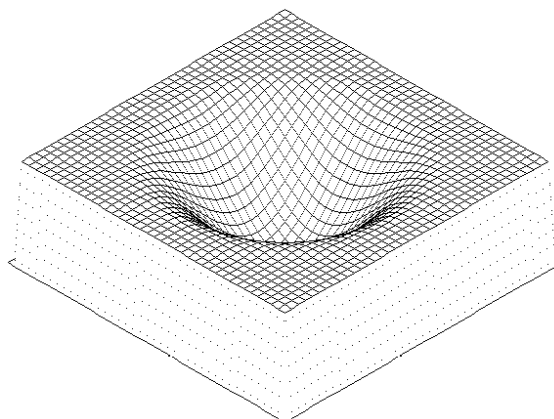


Fig. 10. Filtru trece-sus pentru filtrarea homomorfică.

2.2.3. Diferențiere statistică.

Această metodă (Wallis[110]) își propune mărirea contrastului pentru acele zone din imagine caracterizate prin varianță mică. Practic, pentru fiecare pixel al imaginii se calculează media și respectiv dispersia pixelilor din vecinătatea pătratică (de obicei 9x9) atașată pixelului curent.

$$m(x,y) = \frac{1}{(2w+1)^2} \sum_{i=-w}^w \sum_{j=-w}^w f(x+i,y+j); \quad (37)$$

$$\delta^2(x,y) = \frac{1}{(2w+1)^2} \sum_{i=-w}^w \sum_{j=-w}^w [f(x+i,y+j) - m(x+i,y+j)]^2 \quad (38)$$

cu latura vecinătății $2w+1$;

Asimilând nivelul de gri al pixelului curent cu o variabilă aleatoare, expresia

$$\tilde{f}(x,y) = \frac{f(x,y) - m(x,y)}{\delta(x,y)} \quad (39)$$

descrie o variabilă aleatoare de medie nulă și dispersie unitară.

Expresia următoare, propusă de Wallis în [110] permite setarea mediei și a dispersiei la valorile dorite M_d , δ_d , funcție de parametrii "A" și "r":

$$\tilde{f}(x,y) = \frac{A\delta_d}{A\delta(x,y) + \delta_d} [f(x,y) - m(x,y)] + [rM_d + (1-r)m(x,y)] \quad (40)$$

Folosind valori bine alese pentru parametrii formulei precedente, este posibilă evidențierea unor detalii fine dintr-o imagine cu contrast scăzut.

2.3. Accentuarea muchiilor.

Principiul general al operației de accentuare de muchii se deduce din schema următoare, care prezintă cazul unidimensional. Operatorul Δ este un operator oarecare de diferențiere iar $\nabla = \Delta^2$.

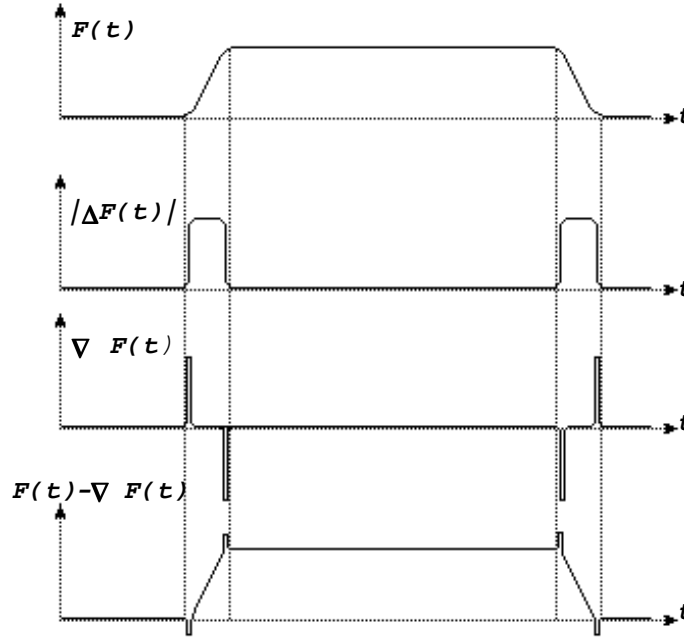


Fig. 11. Principiul accentuării de muchii.

În cazul imaginilor continue, toată informația privind variațiile locale de luminozitate este concentrată în vectorul gradient:

$$\Delta f(x,y) = \frac{\partial f(x,y)}{\partial x^2} \vec{i} + \frac{\partial f(x,y)}{\partial y^2} \vec{j} \quad (41)$$

cu aproximațiile următoare pentru cazul discret:

$$\Delta_x f(x,y) = f(x+l,y) - f(x,y) \quad (42)$$

$$\Delta_y f(x,y) = f(x,y+l) - f(x,y) \quad (43)$$

Drept operator de diferențiere de ordinul doi, pentru cazul continuu, se folosește Laplacianul:

$$\nabla f(x,y) = \frac{\partial f(x,y)}{\partial x^2} + \frac{\partial f(x,y)}{\partial y^2}, \quad (44)$$

cu aproximațiile următoare pentru cazul discret:

$$\begin{aligned} \nabla_x f(x,y) &= \Delta_x f(x,y) - \Delta_x f(x-l,y) = f(x+l,y) - 2f(x,y) + f(x-l,y) \\ \nabla_y f(x,y) &= \Delta_y f(x,y) - \Delta_y f(x,y-l) = f(x,y+l) - 2f(x,y) + f(x,y-l) \end{aligned} \quad (45)$$

$$\nabla f(x,y) = \nabla_x f(x,y) + \nabla_y f(x,y) = f(x+l,y) + f(x-l,y) + f(x,y+l) + f(x,y-l) - 4f(x,y)$$

ceea ce se traduce printr-o convoluție cu masca L_0 (sau L_1 , sau L_2):

$$L_0 = \begin{bmatrix} 0 & 1 & 0 \\ 1 & -4 & 1 \\ 0 & 1 & 0 \end{bmatrix} \quad L_1 = \begin{bmatrix} 1 & 1 & 1 \\ 1 & -8 & 1 \\ 1 & 1 & 1 \end{bmatrix} \quad L_2 = \begin{bmatrix} -1 & 2 & -1 \\ 2 & -4 & 2 \\ -1 & 2 & -1 \end{bmatrix} \quad (46)$$

Accentuarea muchiilor se face deci cu:

$$\tilde{f}(x,y) = f(x,y) - \nabla f(x,y) = 5f(x,y) - f(x+1,y) - f(x-1,y) - f(x,y+1) - f(x,y-1) \quad (47)$$

ceea ce se traduce printr-o convoluție cu masca A_0 (sau A_1 , sau A_2):

$$A_0 = \begin{bmatrix} 0 & -1 & 0 \\ -1 & 5 & -1 \\ 0 & -1 & 0 \end{bmatrix} \quad A_1 = \begin{bmatrix} -1 & -1 & -1 \\ -1 & 9 & -1 \\ -1 & -1 & -1 \end{bmatrix} \quad A_2 = \begin{bmatrix} 1 & -2 & 1 \\ -2 & 5 & -2 \\ 1 & -2 & 1 \end{bmatrix} \quad (48)$$

2.4. Îmbunătățirea imaginilor binare.

2.4.1. Eliminarea zgomotelor.

Primul pas în îmbunătățirea unei imagini deja binarizate constă în eliminarea zgomotelor. Pentru o imagine deja binarizată, zgomotul tip "**sare și piper**" este preponderent. Trebuie efectuate două tipuri de operații de eliminare a pixelilor izolați: ștergerea (forțare la alb) pixelilor negri pe fond alb și ștergerea (setare la negru) pixelilor albi pe fond negru.

2.4.2. Netezirea conturilor.

Operația de "netezire a conturilor" obiectelor din imagine în condițiile păstrării aspectului lor (O'Gorman[76]), are efecte benefice nu numai asupra ratei de recunoaștere, ci și asupra factorului de compresie posibil, dacă se are în vedere stocarea imaginilor scanate.

Se lucrează pe vecinătăți pătratice ($k \times k$). Notând:

n = numărul de pixeli negri din vecinătatea pixelului curent;

c = numărul de submulțimi conectate de pixeli din vecinătatea pixelului curent;

r = numărul de pixeli de colț.

Condiția de modificare a valorii unui pixel este sintetizată de formula:

$$(c = 1) \text{ and } [(n > 3k-4) \text{ or } (n = 3k-4) \text{ and } (r = 2)] = \text{TRUE} \quad (49)$$

Obs. Condiția ($c = 1$) asigură păstrarea topologiei imaginii, întocmai ca la algoritmi de subțiere.



Fig. 12. Netezirea conturilor în imaginile binare.

Algoritmul se aplică succesiv pentru pixelii negri, apoi pentru cei albi, până când nu se mai constată modificări pe imagine (sau, pentru a limita durata operării, după un număr predeterminat de pași).

Alte operații care pot fi folosite în îmbunătățirea imaginilor binare sunt prezentate în capitoul 5, "**Prelucrări morfologice ale imaginilor**".

2.5. Detalii de implementare.

Operația de filtrare poate fi implementată în două moduri, funcție de cerințele aplicației. Dacă imaginea sursă și cea destinație sunt diferite, atunci implementarea este simplă. Exemplul de mai jos se referă la filtrul cu de mască M_7 , descris anterior. Pentru pixelii marginali, pentru care masca corespunzătoare nu mai este inclusă în imaginea sursă, se pot folosi cu succes filtre unidimensionale, a căror mască coincide cu linia / coloana centrală a măștii de referință. Imaginile folosite sunt văzute ca matrici de dimensiune $M \times N$ (Imgs , ImgD), indicii lor variind în gama $[0, M-1]$, respectiv $[0, N-1]$.

```

procedure Average;
var
  i, j : byte;
begin
  (* prima linie *)
  j:=0;
  for i:=1 to M-2 do
  begin
     $\text{ImgD}^{\text{[j,i]}} := (\text{Imgs}^{\text{[j,i-1]}} + 2 * \text{Imgs}^{\text{[j,i]}} + \text{Imgs}^{\text{[j,i+1]}}) \text{ div } 4;$ 
  end;
  (* bucla principala *)
  for j:=2 to N-2 do
  begin
    for i:=2 to M-2 do
    begin
       $\text{ImgD}^{\text{[j,i]}} := (\text{Imgs}^{\text{[j-1,i-1]}} + 2 * \text{Imgs}^{\text{[j,i-1]}} + \text{Imgs}^{\text{[j+1,i-1]}} +$ 
         $2 * \text{Imgs}^{\text{[j-1,i]}} + 4 * \text{Imgs}^{\text{[j,i]}} + 2 * \text{Imgs}^{\text{[j+1,i]}} +$ 
         $\text{Imgs}^{\text{[j-1,i+1]}} + 2 * \text{Imgs}^{\text{[j,i+1]}} + \text{Imgs}^{\text{[j+1,i+1]}}) \text{ div } 16;$ 
    end;
    (* prima coloana *)
    i:=0;
     $\text{ImgD}^{\text{[j,i]}} := (\text{Imgs}^{\text{[j-1,i]}} + 2 * \text{Imgs}^{\text{[j,i]}} + \text{Imgs}^{\text{[j+1,i]}}) \text{ div } 4;$ 
    (* ultima coloana *)
    i:=M-1;
     $\text{ImgD}^{\text{[j,i]}} := (\text{Imgs}^{\text{[j-1,i]}} + 2 * \text{Imgs}^{\text{[j,i]}} + \text{Imgs}^{\text{[j+1,i]}}) \text{ div } 4;$ 
  end;
  (* ultima linie *)
  j:=N-1;
  for i:=1 to M-1 do
  begin
     $\text{Imgs}^{\text{[j,i]}} := (\text{Imgs}^{\text{[j,i-1]}} + 2 * \text{Imgs}^{\text{[j,i]}} + \text{Imgs}^{\text{[j,i+1]}}) \text{ div } 4;$ 
  end;
end;

```

Dacă operația de filtrare trebuie făcută "pe loc", adică sursa coincide cu destinația, codul se complică, deoarece este necesară folosirea unor matrici temporare în care să se salveze linia curentă și cea precedentă din imaginii sursă. Deoarece la calculul liniei noi valori a unui pixel de pe linia "i" trebuie folosită informația de pe linia precedentă a imaginii originale (deja modificată), informația dorită se regăsește în matricea temporară.

În capitolul 21 este prezentată aplicația PROImage, care include, printre altele, și implementări ale multor filtre descrise în acest capitol. Pentru informații suplimentare se poate studia codul sursă din fișierul "**fil.pas**".

Aceeași aplicație include posibilitatea alterării unei imagini prin adăugarea de zgomot. Această operație este utilă în studiul comparativ al comportării diferitelor filtre de netezire în prezența zgomotelor. Utilizatorul poate specifica tipul și amplitudinea zgomotului ce se adaugă imaginii. În aplicația PROImage sunt implementate generatoarele de zgomot gaussian, uniform și aleator. Zgomotul aleator ("speckle noise") afectează brutal pixeli aflați în poziții aleatoare în imagine.

Sunt posibile și alte optimizări de viteză, inclusiv implementări hardware de timp real, schema bloc a unui asemenea sistem fiind dată în figura următoare:

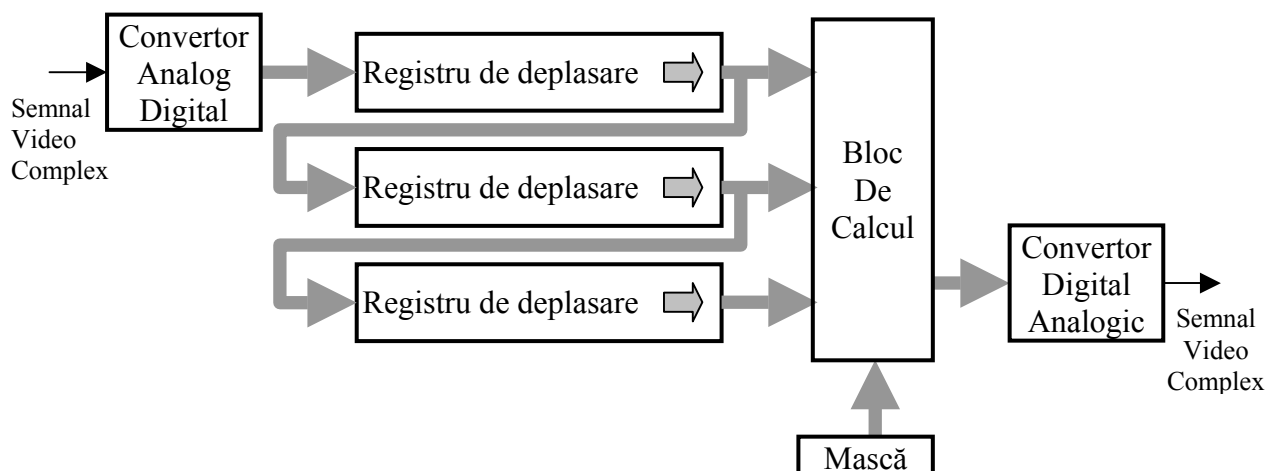


Fig. 13. Implementarea în timp real a filtrelor spațiale.

Registrele de deplasare au lungimea egală cu numărul de pixeli de pe o linie TV. Semnalul de ieșire se obține decalat în timp față de cel de intrare.

O implementare simplificată în limbajul PASCAL a algoritmului de **egalizare de histogramă** este prezentată în continuare.

```

procedure HistEqu(Levels:integer; mode:integer);
var
  i,j,k      : byte;
  HAVg      : longint;
  HInt      : longint;
  Tmp      : integer;
  Left      : array [0..255] of word;
  Right     : array [0..255] of word;
begin
  (*inițializează vectorii limită*)
  for i:=0 to 255 do
    Left[i]:=0;
  for i:=0 to 255 do
    Right[i]:=0;
  (*calculează aria histogramei*)
  HAVg:=0;
  for i:=0 to 255 do
    HAVg:=HAVg+Hist[i];
  (*bucla de calcul a vectorilor limită*)
  j:=0;
  HInt:=0;
  for i:=0 to 255 do
  begin
    Left[i]:=j;
    HInt:=HInt+Hist[i]*Levels;
    while HInt>=HAVg do
    begin
      HInt:=HInt-HAVg;
      Inc(j);
    end;
    Right[i]:=j;
  end;
  (*prima strategie de egalizare*)

```

```

if mode=1 then
begin
  Randomize;
  for j:=0 to N-1 do
    for i:= 0 to M-1 do
      ImD^[j,i]:=(Left[ImS^[j,i]]+Right[ImS^[j,i]]) div 2;
end;

(*a doua strategie de egalizare*)
if mode=2 then
begin
  Randomize;
  for j:=0 to N-1 do
    for i:= 0 to M-1 do
      ImD^[j,i]:=Left[ImS^[j,i]]
        +Random(Right[ImS^[j,i]]-Left[ImS^[j,i]]);
end;

(*a treia strategie de egalizare*)
if mode=2 then
begin
  for j:=1 to N-2 do
    for i:= 1 to M-2 do
      begin
        // calculează valoarea medie în vecinătate
        Tmp:=0;
        for n:=-1 to 1 do
          for m:= -1 to 1 do
            Tmp:=Tmp+ImS^[j+n,i+m];
        // calculează valoarea pixelului la ieșire
        if Tmp < Left[ImS^[j,i]]*9 then
          Tmp:=Left[ImS^[j,i]]*9;
        if Tmp > Right[ImS^[j,i]]*9 then
          Tmp:=Right[ImS^[j,i]]*9;
        ImD^[j,i]:=Tmp;
      end;
    end;
  end;
end;

```

Parametrul "Levels" este numărul de nivele de gri al imaginii de ieșire, iar "Mode" specifică strategia de egalizare dorită. Imaginile de intrare/ieșire, "ImS" și "ImD" sunt matrici $M \times N$ având un octet/pixel.

Diferențierea statistică realizează "controlului automat al luminozității", pe baza caracteristicilor statistice ale imaginii, la nivel local, pe vecinătăți de dimensiuni reduse. Implementarea prezentată în continuare (limbajul PASCAL) folosește vecinătăți 9×9 .

```

procedure Enhn();
var
  i,j   : shortint;
  x,y,z : byte;
  Med   : real;      (*media vecinătății*)
  Sum   : real;      (*dispersia vecinătății*)
  Dif   : real;      (*valoarea calculată a ieșirii*)
begin
  (*bucla principala*)
  for y:= 4 to N-5 do
    for x:= 4 to M-5 do
      begin
        (*calcul medie aritmetică în vecinătate*)

```

```

Med:=0.0;
for i:=-4 to 4 do
  for j:=-4 to 4 do
    Med:=Med+ImS^[y+j,x+i];
  Med:=Med/81.0;
  (* calcul dispersie în vecinătate*)
  Sum:=0;
  for i:=-4 to 4 do
    for j:=-4 to 4 do
      Sum:=Sum+Sqr(ImS^[y+j,x+i]-Med);
    Sum:=Sum/81.0;
    (*calcul valoare pixel la ieșire*)
    (*Md este media dorită a fiecărei vecinătăți din imagine*)
    (*Sd este dispersia dorită a fiecărei vecinătăți din imagine*)
    (*A este factorul de amplificare*)
    (*r este factorul de ponderare, cu valori în gama [0,1] *)
    Dif:=(ImS^[y,x]-Med)*(Sd/(Sum+Sd/A))+r*Md+(1-r)*Med;
    (*corecții*)
    if Dif>255.0 then
      Dif:=255.0;
    if Dif<0.0 then
      Dif:=0.0;
    ImD^:=Dif;
  end;
end;
end;

```

3. Restaurarea imaginilor.

- 3.1. Modele matematice ale imaginilor de restaurat.
- 3.2. Tehnici convolutive de restaurare a imaginilor.
 - 3.2.1. Metoda filtrului invers.
 - 3.2.2. Filtrul Wiener.
 - 3.2.3. Metoda egalizării spectrului de putere.
 - 3.2.4. Filtrul - medie geometrică.
 - 3.2.5. Estimarea parametrică a filtrului de restaurare.
 - 3.2.6. Concluzii.
- 3.3. Tehnici adaptive de restaurare a imaginilor.
 - 3.3.1. Filtrul Anderson-Netravali.
 - 3.3.2. Filtrul Abramatic-Silverman.
- 3.4. Restaurarea imaginilor degradate cu varianță la translație.
- 3.5. Discuții asupra modelului discret al restaurării.
- 3.6. Modificări geometrice ale imaginilor.
 - 3.6.1. Translația, scalarea și rotația imaginilor.
 - 3.6.2. Deformări geometrice polinomiale.
 - 3.6.3. Proiecția paralelă și proiecția perspectivă.
 - 3.6.4. Modelul capturii unei imagini cu o camera de luat vederi.
 - 3.6.5. Reșantionarea geometrică a imaginilor.
- 3.7. Compensarea distorsiunilor de nelinearitate și a celor de spectru al luminii.

Restaurarea imaginilor are drept scop repararea imaginilor afectate de distorsiuni ale căror caracteristici se cunosc sau se deduc.

Pentru modelarea proceselor care duc la degradarea imaginii se utilizează următoarea schemă bloc generală (Jain[56]):

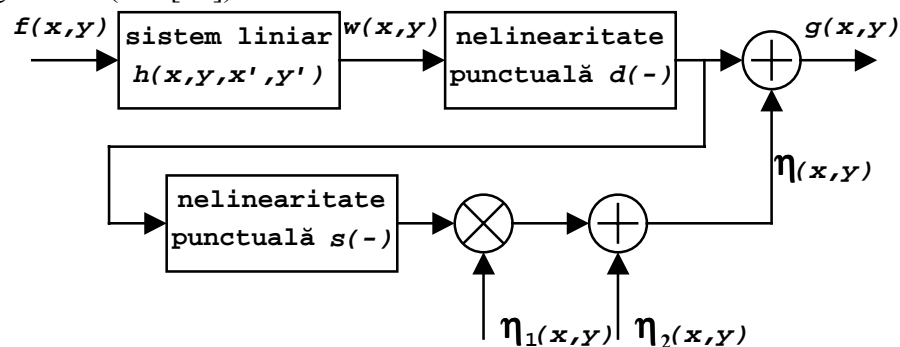


Fig. 1. Schema bloc de modelare a procesului de degradare a imaginilor.

Semnalul inițial $f(x,y)$ este mai întâi trecut printr-un filtru având răspunsul la impuls $h(x,y;x',y')$, obținându-se semnalul $w(x,y)$ (convoluție în domeniul spațial):

$$w(x,y) = \int_{-\infty-\infty}^{\infty} \int_{-\infty-\infty}^{\infty} h(x,y;x',y') f(x',y') dx' dy' \quad (1)$$

Funcția nelineară $d(-)$ modelează nelinearitățile introduse de blocul de detecție a imaginii, iar peste rezultat se suprapune un zgomot $\eta(x,y)$:

$$g(x,y) = d[w(x,y)] + \eta(x,y) \quad (2)$$

Acest zgomot conține două componente: una dependentă de semnal prin intermediul nelinearității $s(-)$ care modelează blocul de înregistrare a imaginii $\eta_1(x,y)$, și alta independentă de semnal (aditivă), notată $\eta_2(x,y)$. Deci:

$$\eta(x,y) = s[g(w(x,y))] \eta_1(x,y) + \eta_2(x,y) \quad (3)$$

În concluzie, un model general al procesului de degradare a imaginii este:

$$g(x,y) = d \left[\int_{-\infty-\infty}^{\infty} \int_{-\infty-\infty}^{\infty} h(x,y;x',y') f(x',y') dx' dy' \right] + s[g(w(x,y))] \eta_1(x,y) + \eta_2(x,y) \quad (4)$$

Modelul descris suferă adesea numeroase simplificări, care facilitează analiza unor distorsiuni tipice care apar în practică. Cel mai adesea distorsiunile sunt invariante la translații (shift invariant), deci se folosește

$$h(x,y;x',y') = h(x-x',y-y';0,0) \stackrel{\Delta}{=} h(x-x',y-y') \quad (5)$$

De asemenea, adeseori se presupune $r(-) = 0$.

Trecând în domeniul frecvență, unde analiza este mai facilă, relația anterioară se scrie:

$$G(\omega_x, \omega_y) = H(\omega_x, \omega_y) F(\omega_x, \omega_y) + N(\omega_x, \omega_y) \quad (6)$$

3.1. Modele matematice ale imaginilor de restaurat.

În literatură sunt descrise câteva modele matematice care aproximează răspunsurile la impuls ale câtorva sisteme reale care afectează calitatea imaginii.

Cele mai des întâlnite distorsiuni sunt cele datorate fenomenului de difracție în partea optică a sistemului de captură a imaginii. În cazul difracției pentru lumină coerentă, răspunsurile la impuls în domeniul spațial și respectiv frecvență ale modelului sunt:

$$h(x,y) = \frac{\sin(ax) \sin(by)}{xy} \quad H(\omega_x, \omega_y) = \text{rect} \left[\frac{\omega_x}{a}, \frac{\omega_y}{b} \right] \quad (7)$$

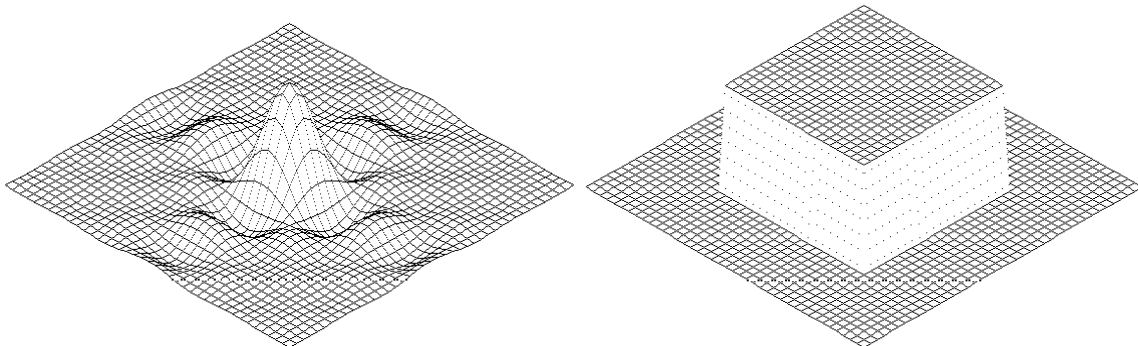


Fig. 2. Modelarea distorsiunilor datorate difracției optice (lumină coerentă).

Varianta pentru lumină incoerentă este descrisă de:

$$h(x,y) = \frac{\sin^2(ax)}{ax} \frac{\sin^2(by)}{by} \quad H(\omega_x, \omega_y) = \text{tri} \left[\frac{\omega_x}{a}, \frac{\omega_y}{b} \right] \quad (8)$$

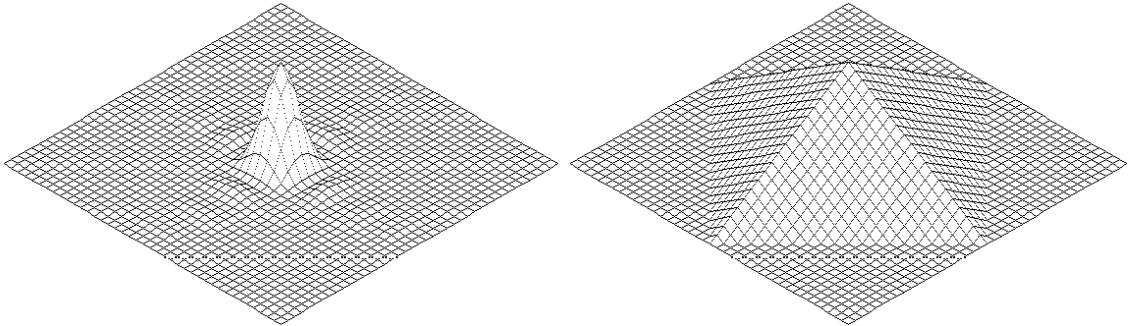


Fig. 3. Modelarea distorsiunilor datorate difracției optice (lumină incoerentă).

Răspunsul în frecvență pentru modelarea imaginilor obținute printr-un sistem optic puternic defocalizat are aproximativ următoarea formă:

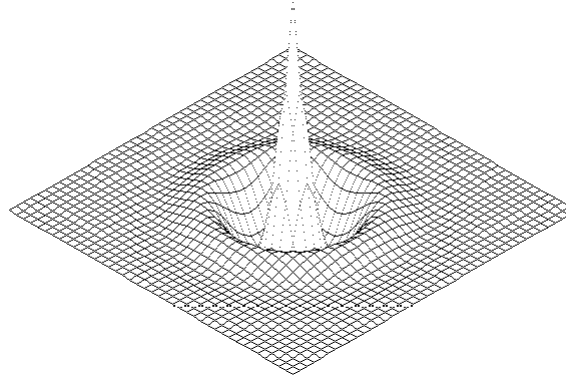


Fig. 4. Modelarea distorsiunilor datorate defocalizării puternice.

Un alt tip de distorsiune extrem de des întâlnit în practică este cazul imaginilor "mișcate", adică, pe durata achiziției imaginii are loc o deplasare relativă a detectorului optic față de scenă. Răspunsul la impuls în domeniul timp, respectiv frecvență sunt:

$$h(x,y) = \frac{1}{\alpha_0} \text{rect} \left(\frac{x}{\alpha_0} - \frac{1}{2} \right) \delta(y) \quad H(\omega_x, \omega_y) = \exp(-j\pi x \alpha_0) \frac{\sin(\alpha_0 \omega_x)}{\alpha_0 \omega_x} \quad (9)$$

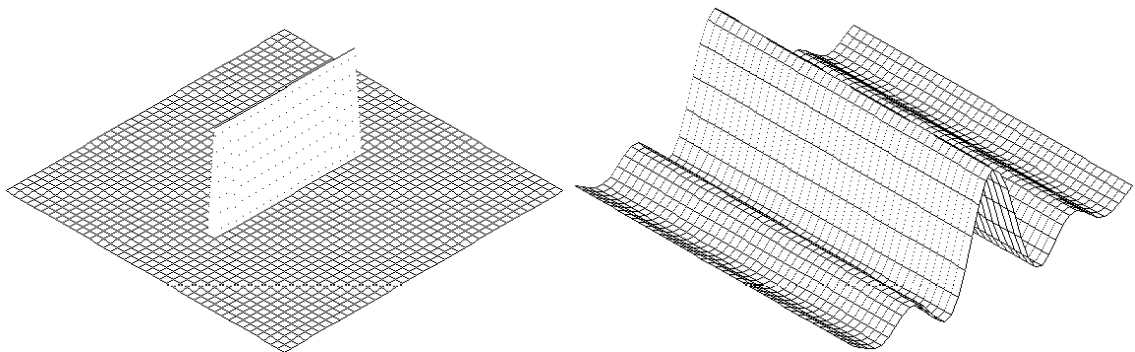


Fig. 5. Modelarea distorsiunilor de tip "imagine mișcată".

Pentru imaginile satelitare (sau luate de la mare altitudine) intervine un alt gen de distorsiune, datorat turbulenței atmosferice, descris de:

$$h(x,y) = \exp[-\pi\alpha^2(x^2 + y^2)] \quad H(\omega_x, \omega_y) = \frac{1}{\alpha^2} \exp \left[\frac{-\pi(\omega_x^2 + \omega_y^2)}{\alpha^2} \right] \quad (10)$$

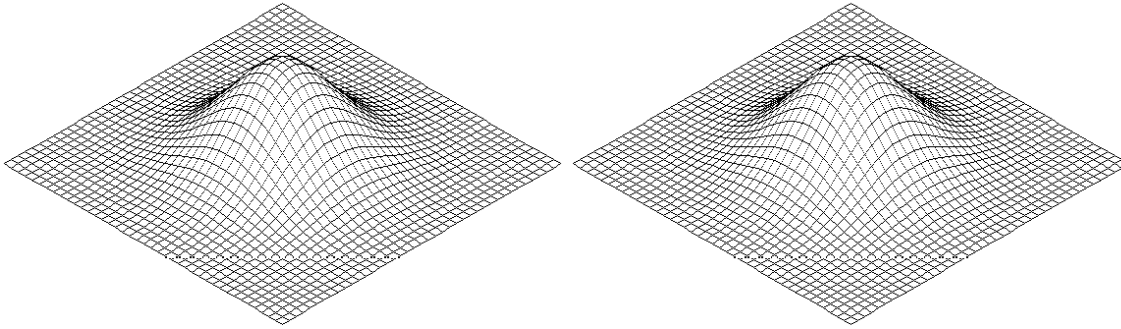


Fig. 6. Modelarea distorsiunilor datorate turbulențelor atmosferice.

La operația de scanare apare fenomenul de apertură descris de:

$$h(x,y) = \text{rect}\left(\frac{x}{\alpha}, \frac{y}{\beta}\right) \quad H(\omega_x, \omega_y) = \alpha\beta \frac{\sin(\alpha\omega_x)}{\alpha\omega_x} \frac{\sin(\beta\omega_y)}{\beta\omega_y} \quad (11)$$

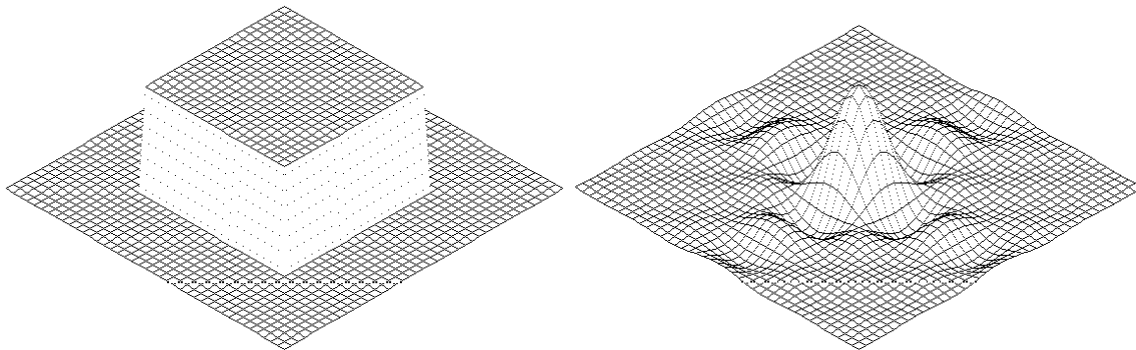


Fig. 7. Modelarea distorsiunilor fenomenului de apertură (scanare).

În cazul matricilor CCD (Charge Coupled Devices) apare un alt gen de distorsiune, datorat interacțiunii între celulele vecine ale ariei de captură. Ea este descrisă de:

$$h(x,y) = \sum_{m=-l}^l \sum_{n=-l}^l \alpha_{m,n} \delta(x - m\Delta, y - n\Delta), \quad H(\omega_x, \omega_y) = \sum_{m=-l}^l \sum_{n=-l}^l \alpha_{m,n} \exp[-2\pi j\Delta(m\omega_x + n\omega_y)] \quad (12)$$

adică valoarea furnizată de fiecare celulă este o combinație liniară a valorilor ideale corespunzătoare unei vecinătăți 3x3 din matricea de captură a CCD.

Pentru **caracterizarea zgomotului**, cel mai adesea se utilizează modelul gaussian de medie nulă, descris deci de densitatea de repartiție:

$$p(z) = \frac{1}{\sigma\sqrt{2\pi}} \exp\left(\frac{-z^2}{2\sigma^2}\right) \quad (13)$$

O primă excepție citată în literatură este cazul unor tipuri de fotodectoare lucrând la iluminări extrem de scăzute, pentru care este mai potrivită distribuția Poisson (legea evenimentelor rare):

$$p_k = \frac{\lambda^k}{k!} \exp(-\lambda) \quad (14)$$

Jain descrie în [56] și un alt tip de zgomot ("speckle noise") care apare în cazul imaginilor microscopice cu detalii având dimensiuni de același ordin de mărime cu lungimea de undă a radiației incidente. Este un zgomot multiplicativ, descris de o distribuție exponențială:

$$p(z) = \begin{cases} \frac{1}{\sigma^2} \exp\left(\frac{-z}{\sigma^2}\right), & \text{pentru } z \geq 0 \\ 0, & \text{pentru } z < 0 \end{cases} \quad (15)$$

Variantele **discrete** ale ecuațiilor care descriu modelul de degradare a unei imagini sunt următoarele, foarte asemănătoare cu cazul continuu:

$$\begin{aligned} \mathbf{g}(m,n) &= \mathbf{d}[w(m,n)] + \boldsymbol{\eta}(m,n) \\ w(m,n) &= \sum_{m'=-\infty}^{+\infty} \sum_{n'=-\infty}^{+\infty} \mathbf{h}(m,n;m',n') \mathbf{f}(m',n') \\ \boldsymbol{\eta}(m,n) &= s[\mathbf{g}(w(m,n))] \boldsymbol{\eta}_1(m,n) + \boldsymbol{\eta}_2(m,n) \end{aligned} \quad (16)$$

3.2. Tehnici convolutive de restaurare a imaginilor.

Tehnicile de restaurare a imaginilor urmăresc construcția unui filtru care, plecând de la imaginea distorsionată, să furnizeze la ieșire o imagine cât mai apropiată de cea ideală (Pratt[84]).

$$\tilde{\mathbf{f}}(x,y) = \int \int_{-\infty-\infty}^{+\infty+\infty} \mathbf{r}(x,y;x',y') \mathbf{g}(x',y') dx' dy' \quad (17)$$

sau în domeniul frecvență:

$$\tilde{\mathbf{F}}(\omega_x, \omega_y) = \mathbf{R}(\omega_x, \omega_y) \mathbf{G}(\omega_x, \omega_y) \quad (18)$$

Ținând cont de relația de definiție a lui \mathbf{G} rezultă:

$$\tilde{\mathbf{F}}(\omega_x, \omega_y) = \mathbf{R}(\omega_x, \omega_y) [\mathbf{H}(\omega_x, \omega_y) \mathbf{F}(\omega_x, \omega_y) + \mathbf{N}(\omega_x, \omega_y)] \quad (19)$$

3.2.1. Metoda filtrului invers.

În absența zgomotului relația anterioară devine:

$$\tilde{\mathbf{F}}(\omega_x, \omega_y) = \mathbf{R}(\omega_x, \omega_y) \mathbf{H}(\omega_x, \omega_y) \mathbf{F}(\omega_x, \omega_y) \quad (20)$$

Condiția ca $\tilde{\mathbf{F}}(\omega_x, \omega_y)$ să fie cât mai apropiat de $\mathbf{F}(\omega_x, \omega_y)$ se traduce prin:

$$\mathbf{R}(\omega_x, \omega_y) = \frac{1}{\mathbf{H}(\omega_x, \omega_y)} = \frac{\mathbf{H}^*(\omega_x, \omega_y)}{|\mathbf{H}(\omega_x, \omega_y)|^2} \quad (21)$$

Filtrul invers furnizează cea mai simplă soluție de restaurare a imaginilor afectate de distorsiuni, în schimb el prezintă o serie de dezavantaje.

Realizarea practică a filtrului invers este dificilă deoarece el este adesea instabil, și anume în apropierea zerourilor lui $\mathbf{H}(\omega_x, \omega_y)$, pentru care $\mathbf{R}(\omega_x, \omega_y)$ tinde către infinit. În plus, dacă zgomotul este prezent, estimarea obținută va fi slabă.

$$\tilde{\mathbf{F}}(\omega_x, \omega_y) = \mathbf{F}(\omega_x, \omega_y) + \frac{\mathbf{H}^*(\omega_x, \omega_y)}{|\mathbf{H}(\omega_x, \omega_y)|^2} \mathbf{N}(\omega_x, \omega_y) \quad (22)$$

Filtrul **pseudoinvers** încearcă să evite instabilitatea prezentă la filtrul invers.

$$\mathbf{R}(\omega_x, \omega_y) = \begin{cases} \frac{1}{\mathbf{H}(\omega_x, \omega_y)}, & \text{pentru } \mathbf{H}(\omega_x, \omega_y) \neq 0 \\ 0, & \text{pentru } \mathbf{H}(\omega_x, \omega_y) = 0 \end{cases} \quad (23)$$

În practică condiția $\mathbf{H}(\omega_x, \omega_y) = 0$ se înlocuiește cel mai adesea cu o condiție de tipul $|\mathbf{H}(\omega_x, \omega_y)| < \varepsilon$. Efectul zgomotelor asupra calității imaginii restaurate se reduce la acest tip de filtru față de precedentul.

3.2.2. Filtrul Wiener.

Acest tip de filtru, larg utilizat în prelucrarea de semnale, folosește drept criteriu de construcție condiția de minimizare a erorii medii pătratice între semnalul de intrare și cel de ieșire (restaurat), adică:

$$\varepsilon^2 = E \{ [f(x,y) - \tilde{f}(x,y)]^2 \} = \min \quad (24)$$

Filtrul Wiener încorporează cunoștințe statistice apriorice despre semnalul util și zgomot. Pentru $f(x,y)$, $g(x,y)$ se face ipoteza că ele sunt procese aleatoare de medie nulă.

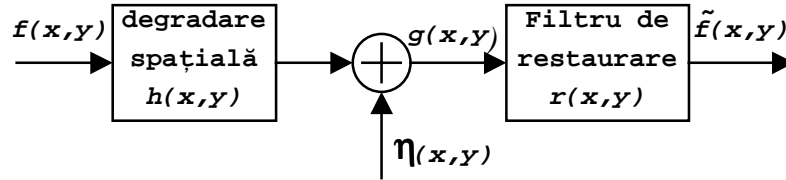


Fig. 8. Filtrul Wiener.

În ipoteza, nerestrictivă pentru început, a invarianței la deplasări spațiale, avem de minimizat:

$$\varepsilon^2 = E \left\{ \left[f(x,y) - \int_{-\infty-\infty}^{+\infty+\infty} r(x-x',y-y') g(x',y') dx' dy' \right]^2 \right\} = \min \quad (25)$$

Această condiție este îndeplinită când:

$$E \left\{ \left[f(x,y) - \int_{-\infty-\infty}^{+\infty+\infty} r(x-x',y-y') g(x',y') dx' dy' \right] g(\hat{x},\hat{y}) \right\} = 0 \quad (26)$$

valabilă pentru orice pereche de puncte (x,y) și (\hat{x},\hat{y}) din planul imaginii (condiția de ortogonalitate).

Rezultă condiția (egalitatea):

$$E \{ f(x,y) g(\hat{x},\hat{y}) \} = \int_{-\infty-\infty}^{+\infty+\infty} \int_{-\infty-\infty}^{+\infty+\infty} r(x-x',y-y') E \{ g(x',y') g(\hat{x},\hat{y}) \} dx' dy' \quad (27)$$

valabilă în aceleași condiții. Dar deoarece:

$$E \{ f(x,y) g(\hat{x},\hat{y}) \} = K_{fg}(x-\hat{x},y-\hat{y}) \quad (28)$$

$$E \{ g(x',y') g(\hat{x},\hat{y}) \} = K_{gg}(x'-\hat{x},y'-\hat{y}) \quad (29)$$

putem exprima relația anterioară prin intermediul funcțiilor de corelație:

$$K_{fg}(x-\hat{x},y-\hat{y}) = \int_{-\infty-\infty}^{+\infty+\infty} \int_{-\infty-\infty}^{+\infty+\infty} r(x-x',y-y') K_{gg}(x'-\hat{x},y'-\hat{y}) dx' dy' \quad (30)$$

Trecând în domeniul transformatei Fourier, relația anterioară devine:

$$K_{fg}(\omega_x, \omega_y) = R(\omega_x, \omega_y) K_{gg}(\omega_x, \omega_y) \quad (31)$$

cu $K_{gg}(\omega_x, \omega_y)$ spectrul de putere al funcției "g", de unde:

$$R(\omega_x, \omega_y) = K_{fg}(\omega_x, \omega_y) K_{gg}^{-1}(\omega_x, \omega_y) \quad (32)$$

Dar deoarece:

$$G(\omega_x, \omega_y) = H(\omega_x, \omega_y) F(\omega_x, \omega_y) + N(\omega_x, \omega_y) \quad (33)$$

Rezultă:

$$K_{fg}(\omega_x, \omega_y) = H^*(\omega_x, \omega_y) K_{ff}(\omega_x, \omega_y) \quad (34)$$

$$K_{gg}(\omega_x, \omega_y) = |H(\omega_x, \omega_y)|^2 K_{ff}(\omega_x, \omega_y) + K_{\eta\eta}(\omega_x, \omega_y) \quad (35)$$

Ca urmare filtrul Wiener, în cazul prezenței zgomotului aditiv, poate fi exprimat funcție de răspunsul la impuls în domeniul frecvență și spectrele de putere ale imaginii inițiale și, respectiv, zgomotului:

$$\mathbf{R}(\omega_x, \omega_y) = \frac{\mathbf{H}^*(\omega_x, \omega_y) \mathbf{K}_{ff}(\omega_x, \omega_y)}{|\mathbf{H}(\omega_x, \omega_y)|^2 \mathbf{K}_{ff}(\omega_x, \omega_y) + \mathbf{K}_{\eta\eta}(\omega_x, \omega_y)} \quad (36)$$

Pentru cazul discret al filtrului Wiener vezi Capitolul 2, paragraful 2.1.3.

3.2.3. Metoda egalizării spectrului de putere.

Spectrul de putere al imaginii degradate este:

$$\begin{aligned} \mathbf{K}_{\tilde{f}\tilde{f}}(\omega_x, \omega_y) &= |\mathbf{R}(\omega_x, \omega_y)|^2 \mathbf{K}_{gg}(\omega_x, \omega_y) \text{ sau dezvoltând } \mathbf{K}_{gg}(\omega_x, \omega_y) \text{ avem:} \\ \mathbf{K}_{\tilde{f}\tilde{f}}(\omega_x, \omega_y) &= |\mathbf{R}(\omega_x, \omega_y)|^2 \left[|\mathbf{H}(\omega_x, \omega_y)|^2 \mathbf{K}_{ff}(\omega_x, \omega_y) + \mathbf{K}_{\eta\eta}(\omega_x, \omega_y) \right] \end{aligned} \quad (37)$$

Forțând ca $\mathbf{K}_{\tilde{f}\tilde{f}}(\omega_x, \omega_y) = \mathbf{K}_{ff}(\omega_x, \omega_y)$ rezultă expresia filtrului de restaurare:

$$\mathbf{R}(\omega_x, \omega_y) = \left[\frac{\mathbf{K}_{ff}(\omega_x, \omega_y)}{|\mathbf{H}(\omega_x, \omega_y)|^2 \mathbf{K}_{ff}(\omega_x, \omega_y) + \mathbf{K}_{\eta\eta}(\omega_x, \omega_y)} \right]^{\frac{1}{2}} \quad (38)$$

Acest tip de filtru are proprietăți interesante pentru cazul când nu sunt disponibile informații apriorice privind caracteristicile statistice ale semnalului de intrare și zgomotului. Are o comportare intermediară între filtrul invers și filtrul Wiener.

3.2.4. Filtrul - medie geometrică.

Acest tip de filtru realizează un compromis între câștigul în rezoluție și sensibilitatea la zgomot. Filtrul invers are o rezoluție foarte bună, dar sensibilitate mare la zgomote, pe când filtrul Wiener are imunitate ridicată la zgomot, dar introduce o pierdere a rezoluției (fiind, în esență, un filtru trece-jos). Stockham în [105] propune utilizarea următorului filtru:

$$\mathbf{R}(\omega_x, \omega_y) = \left[\frac{\mathbf{H}^*(\omega_x, \omega_y)}{|\mathbf{H}(\omega_x, \omega_y)|^2} \right]^{\alpha} \left[\frac{\mathbf{K}_{ff}(\omega_x, \omega_y)}{|\mathbf{H}(\omega_x, \omega_y)|^2 \mathbf{K}_{ff}(\omega_x, \omega_y) + \gamma \mathbf{K}_{\eta\eta}(\omega_x, \omega_y)} \right]^{1-\alpha} \quad (39)$$

unde parametrii α și γ se aleg funcție de problema abordată. Pentru $\alpha = 0.5$ și $\gamma = 1$ se obține filtrul anterior.

3.2.5. Estimarea parametrică a filtrului de restaurare.

Fie filtrul obținut prin egalizarea spectrului de putere (Pratt[86]), care poate fi exprimat prin:

$$\mathbf{R}(\omega_x, \omega_y) = \left[\frac{\mathbf{K}_{ff}(\omega_x, \omega_y)}{\mathbf{K}_{gg}(\omega_x, \omega_y)} \right]^{\frac{1}{2}} \quad (40)$$

Dacă nu se cunosc aprioric nici un fel de informații privind caracteristicile statistice ale semnalului de restaurat și zgomotului, ele se pot **estima** din analiza imaginii observate.

Cannon în [28] propune divizarea imaginii inițiale în blocuri pătrate cu dimensiunea suficient de mare în comparație cu dimensiunea spațială a răspunsului la impuls $\mathbf{h}(x,y)$. Pentru fiecare bloc "j" poate fi calculat spectrul de putere $\mathbf{K}_{gg}^{(j)}(\omega_x, \omega_y)$. Spectrul de putere corespunzător întregii imagini se estimează prin medierea spectrelor de putere ale tuturor blocurilor.

Pentru estimarea lui s-ar putea folosi, dacă este disponibilă, o imagine nedegradată, folosind o procedură identică cu cea descrisă anterior.

O altă posibilitate ar fi construcția unei imagini de test care să permită determinarea lui $H(\omega_x, \omega_y)$ prin analiza semnăturii lui. Estimând printr-o tehnică convenabilă spectrul de putere al zgomotului, $K_{\eta\eta}(\omega_x, \omega_y)$, se poate deduce valoarea estimată a spectrului de putere al imaginii inițiale prin:

$$K_{ff}(\omega_x, \omega_y) = \frac{K_{gg}(\omega_x, \omega_y) - K_{\eta\eta}(\omega_x, \omega_y)}{|H(\omega_x, \omega_y)|^2} \quad (41)$$

3.2.6. Concluzii.

Toate metodele prezentate până acum se referă la restaurarea imaginilor degradate cu funcții distorsiune invariante la translație, prin metode convolutive. Deși foarte utile într-o multitudine de aplicații, ele eșuează în unele situații.

Mai puțin filtrul invers, toate celelalte sunt în esență filtre trece-jos, atenuând frecvențele înalte, ceea ce duce la o pierdere a rezoluției, care se manifestă vizual prin atenuarea muchiilor din imagine. De aici ideea de a adapta filtrul de restaurare la caracteristicile locale ale imaginii (muchie, regiune uniformă).

3.3. Tehnici adaptive de restaurare a imaginilor.

3.3.1. Filtrul Anderson-Netravali.

Cei doi autori studiază în [04] cazul unei imagini discrete degradate doar prin prezența unui zgomot aditiv și propun construirea unei "funcții de mascare":

$$M(m, n) = \sum_{m'} \sum_{n'} c^{-\sqrt{(m-m')^2 + (n-n')^2}} [|d^{(H)}(m', n')| + |d^{(V)}(m', n')|] \quad (42)$$

unde $d^{(H)}(m, n)$, $d^{(V)}(m, n)$ sunt gradientii imaginii în punctul de coordonate (m, n) , în direcție orizontală și respectiv verticală. În continuare este folosită o "funcție de vizibilitate" $\varphi(M)$, construită pe baza unor măsurători psiho-fiziologice, astfel încât:

$\varphi(0) = 1$, adică vizibilitate totală în absența muchiilor, și

$\varphi(+\infty) = 0$, adică prezența muchiei "ascunde" zgomotul.

Experimentele au arătat o relativă independență a rezultatelor de funcția de vizibilitate, deși au fost construite experimente psiho-fizice precise pentru măsurarea funcției de vizibilitate pentru diferite categorii de imagini.

3.3.2. Filtrul Abramatic-Silverman.

Abramatic și Silverman în [02] au extins studiul filtrului precedent, făcând practic legătura cu tehnicile convolutive descrise anterior. Situația studiată de ei pentru început se referă tot la cazul discret al unei imagini distorsionate doar de zgomot:

$$g(m, n) = v(m, n) + \eta(m, n) \quad (43)$$

unde $v(x, y)$ este o imagine cu zgomot, dar care, pentru un observator uman, arată identic cu cea ideală, iar $\eta'(x, y)$ este zgomotul rezidual ce trebuie eliminat.

Zgomotul rezidual, evident, depinde de caracteristicile locale ale imaginii, adică:

$$\eta'(m, n) = \gamma_{m, n} [f_v(m, n), \eta(m, n)] \quad (44)$$

unde indicele "v" semnifică o vecinătate a funcției "f" în jurul punctului (x, y) , deci zgomotul rezidual depinde de valorile lui "f" din această vecinătate.

Imaginea restaurată se obține prin:

$$\tilde{f}(m, n) = \sum_i \sum_j r_{m, n}(i, j) g(m - i, n - j) \quad (45)$$

unde filtrul de reconstrucție $r_{m,n}(i,j)$ se construiește din condiția minimizării erorii:

$$\varepsilon' = S_{m,n}(r_{m,n}, K_{ff}) + N_{m,n}(r_{m,n}, \sigma_n^2) \quad (46)$$

Această eroare conține deci două componente corespunzătoare transformării Wiener discrete clasice, una "de rezoluție":

$$S(r, K_{ff}) = \sum_m \sum_n \sum_{m'} \sum_{n'} \{ [\delta(m,n) - h(m,n)]' K_{ff}(m-m', n-n') [\delta(m',n') - h(m',n')] \} \quad (47)$$

și una datorată zgomotului:

$$N(r, \sigma_n^2) = \sigma_n^2 \sum_x \sum_y r^2(x,y) \quad (48)$$

unde $\delta(m,n)$ este funcția delta-Kronecker bidimensională.

Autorii propun introducerea proprietății de adaptare prin intermediul lui N , adică:

$$N_{m,n} = \varphi[M(m,n)] \sigma_n^2 \sum_i \sum_j r_{m,n}(i,j) \quad (49)$$

unde φ este funcția de vizibilitate definită anterior. Rezultă filtrul de restaurare în domeniul frecvență:

$$R_{m,n}(\omega_x, \omega_y) = \frac{K_{ff}(\omega_x, \omega_y)}{K_{ff}(\omega_x, \omega_y) + \varphi[M(m,n)] \sigma_n^2} \quad (50)$$

A doua soluție propusă este adaptarea prin intermediul lui λ :

$$\lambda_{m,n} = \varphi[M(m,n)] \eta(m,n) \quad (51)$$

caz în care se obține:

$$R_{m,n}(\omega_x, \omega_y) = (1 - \varphi[M(m,n)]) + \varphi[M(m,n)] \frac{K_{ff}(\omega_x, \omega_y)}{K_{ff}(\omega_x, \omega_y) + \sigma_n^2} \quad (52)$$

Abramatic și Silverman extind apoi studiul lor la cazul imaginilor alterate nu numai prin zgomot, ci și printr-o convoluție cu funcția de degradare $h(m,n)$. Filtrele corespunzătoare obținute în acest caz sunt:

$$R_{m,n}(\omega_x, \omega_y) = \frac{H^*(\omega_x, \omega_y) K_{ff}(\omega_x, \omega_y)}{|H(\omega_x, \omega_y)|^2 K_{ff}(\omega_x, \omega_y) + \varphi[M(m,n)] \sigma_n^2} \quad (53)$$

și respectiv:

$$R_{kl}(\omega_x, \omega_y) = \varphi[M(m,n)] \frac{H^*(\omega_x, \omega_y) K_{ff}(\omega_x, \omega_y)}{|H(\omega_x, \omega_y)|^2 K_{ff}(\omega_x, \omega_y) + \sigma_n^2} + (1 - \varphi[M(m,n)]) \frac{H^*(\omega_x, \omega_y)}{|H(\omega_x, \omega_y)|^2} \quad (54)$$

3.4. Restaurarea unor imagini degradate cu varianță la translație.

O primă clasă de alterări ale imaginii (Wallis[110]) la care funcția punctuală de degradare este variantă la translație poate fi descompusă în trei operații distincte:

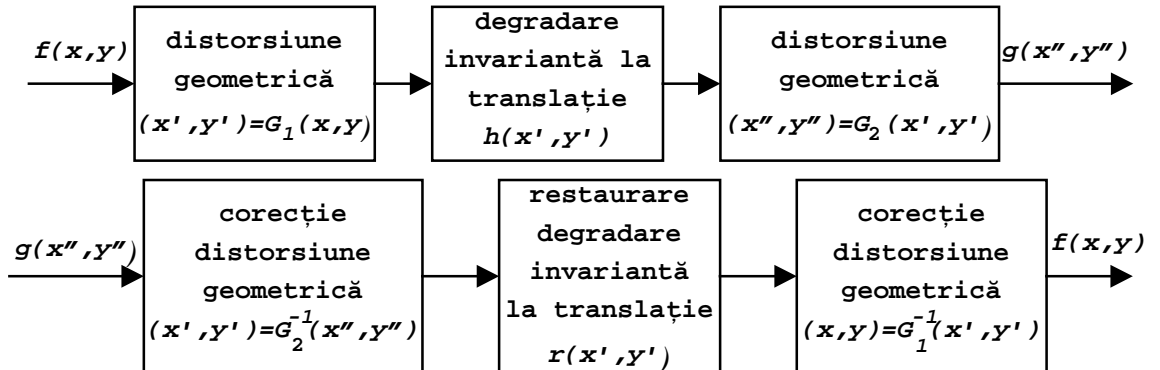


Fig. 9. Modelul degradărilor cu varianță la translație.

Primul și ultimul pas constau în distorsiuni geometrice, în timp ce în pasul al doilea imaginea suferă o degradare invariantă la translație.

Ecuția care descrie obținerea imaginii discrete degradate:

$$\mathbf{g}(m,n) = d \left[\sum_{m'=0}^M \sum_{n'=0}^N \mathbf{h}(m,n;m',n') \mathbf{f}(m',n') \right] + \boldsymbol{\eta}(m,n) \quad (55)$$

poate fi scrisă sub formă matriceală dacă imaginea inițială, cea degradată și cea corespunzătoare zgomotului se exprimă prin vectori de lungime $M \times N$:

$$[\mathbf{g}] = d \{ [\mathbf{H}][\mathbf{f}] \} + [\mathbf{n}] \quad (56)$$

Pentru cazul în care nelinearitatea " d " se poate neglija, rezultă un sistem liniar de ecuații având $M \times N$ necunoscute, de obicei mult prea mare pentru a fi rezolvat prin metodele clasice:

$$[\mathbf{g}] = [\mathbf{H}][\mathbf{f}] + [\mathbf{n}] \Leftrightarrow [\mathbf{f}] = [\mathbf{H}]^{-1}([\mathbf{g}] - [\mathbf{n}]) \quad (57)$$

De aceea, de obicei, soluția acestei probleme este una aproximativă, obținută prin metode similare cu cazul invarianței la translație.

Corespunzător **filtrului invers**, se utilizează criteriul:

$$E\{\tilde{\mathbf{f}}\} = \|[\mathbf{g}] - [\mathbf{H}][\mathbf{f}]\|^2 = \min \quad (58)$$

ceea ce duce la inversa generalizată:

$$[\tilde{\mathbf{f}}] = ([\mathbf{H}]^{*t} [\mathbf{H}])^{-1} [\mathbf{H}]^{*t} [\mathbf{g}] \quad (59)$$

Dacă, corespunzător **filtrului Wiener** funcția de minimizat se alege:

$$E\{\tilde{\mathbf{f}}\} = \| \mathbf{K}_{ff}^{-1/2} \mathbf{K}_{\eta\eta}^{1/2} [\mathbf{f}] \|^2 + \|[\mathbf{g}] - [\mathbf{H}][\mathbf{f}]\|^2 \quad (60)$$

unde \mathbf{K}_{ff} și $\mathbf{K}_{\eta\eta}$ sunt matricile de covarianță ale imaginii ideale și zgomotului, se obține drept ecuație de restaurare:

$$[\tilde{\mathbf{f}}] = ([\mathbf{H}]^{*t} [\mathbf{H}] + \mathbf{K}_{ff}^{-1} \mathbf{K}_{\eta\eta})^{-1} [\mathbf{H}]^{*t} [\mathbf{g}] \quad (61)$$

3.5. Discuții asupra modelului discret al restaurării.

Pentru studiul cazului discret, pentru simplitate, se consideră (Gonzales[42]) mai întâi funcția $\mathbf{f}(x,y)$ unidimensională, eșantionată uniform, astfel încât să se obțină A eșantioane. Modelul matematic al degradării ei presupune o convoluție cu $\mathbf{h}(x)$, de asemenea o funcție discretă, dar având B valori. Evitarea depășirii acestor domenii prin operația de convoluție se face definind extensiile lor:

$$\mathbf{f}_e(x) = \begin{cases} \mathbf{f}(x), & \text{pentru } 0 \leq x \leq A-1 \\ 0, & \text{pentru } A \leq x \leq M-1 \end{cases} \quad (62)$$

$$\mathbf{h}_e(x) = \begin{cases} \mathbf{h}(x), & \text{pentru } 0 \leq x \leq C-1 \\ 0, & \text{pentru } C \leq x \leq M-1 \end{cases} \quad (63)$$

periodice de perioadă M . Atunci operația de convoluție pentru cazul discret unidimensional se scrie:

$$\mathbf{g}_e(x) = \sum_{n=0}^{M-1} \mathbf{f}_e(n) \mathbf{h}_e(x-n) \quad (64)$$

Sau matriceal:

$$\mathbf{g} = \mathbf{H}\mathbf{f} \quad (65)$$

adică:

$$\begin{bmatrix} g_e(0) \\ g_e(1) \\ g_e(2) \\ \dots \\ g_e(M-1) \end{bmatrix} = \begin{bmatrix} h_e(0) & h_e(M-1) & h_e(M-2) & \dots & h_e(1) \\ h_e(1) & h_e(0) & h_e(M-1) & \dots & h_e(2) \\ h_e(2) & h_e(1) & h_e(0) & \dots & h_e(3) \\ \dots & \dots & \dots & \dots & \dots \\ h_e(M-1) & h_e(M-2) & h_e(M-3) & \dots & h_e(0) \end{bmatrix} \begin{bmatrix} f_e(0) \\ f_e(1) \\ f_e(2) \\ \dots \\ f_e(M-1) \end{bmatrix} \quad (66)$$

Matricea \mathbf{H} având forma de mai sus se numește *matrice circulantă*. Notând:

$$\lambda(k) \equiv h_e(0) + h_e(M-1) \exp\left[\frac{2\pi j}{M} k\right] + h_e(M-2) \exp\left[\frac{2\pi j}{M} 2k\right] + \dots + h_e(1) \exp\left[\frac{2\pi j}{M} (M-1)k\right] \text{ și}$$

$$\mathbf{w}(k) = \left[1 \quad \exp\left(\frac{2\pi j}{M} k\right) \quad \exp\left(\frac{2\pi j}{M} 2k\right) \quad \dots \quad \exp\left(\frac{2\pi j}{M} (M-1)k\right) \right]^T \quad (67)$$

se poate demonstra relația:

$$\mathbf{H}\mathbf{w}(k) = \lambda(k)\mathbf{w}(k) \quad (68)$$

care exprimă faptul că $\mathbf{w}(k)$ sunt vectorii proprii ai matricii \mathbf{H} , iar $\lambda(k)$ sunt valorile ei proprii. Construind matricea:

$$\mathbf{W} = [\mathbf{w}(0) \quad \mathbf{w}(1) \quad \mathbf{w}(2) \quad \dots \quad \mathbf{w}(M-1)] \quad (69)$$

având elementele:

$$W(k,i) = \exp\left(\frac{2\pi j}{M} ki\right) \quad (70)$$

se poate arăta că inversa ei are elementele date de:

$$W^{-1}(k,i) = \frac{1}{M} \exp\left(-\frac{2\pi j}{M} ki\right) \quad (71)$$

Atunci matricea degradării punctuale se poate exprima prin:

$$\mathbf{H} = \mathbf{W}\mathbf{D}\mathbf{W}^{-1} \quad (72)$$

cu \mathbf{D} matrice diagonală, având:

$$D(k,k) = \lambda(k) \quad (73)$$

și care se poate calcula prin:

$$\mathbf{D} = \mathbf{W}^{-1} \mathbf{H} \mathbf{W} \quad (74)$$

Pentru *cazul bidimensional* extensiile funcției discrete $f(x,y)$ care descrie imaginea și respectiv $h(x,y)$ care descrie degradarea punctuală sunt:

$$\mathbf{f}_e(x,y) = \begin{cases} \mathbf{f}(x,y), & \text{pentru } 0 \leq x \leq A-1 \text{ și } 0 \leq y \leq B-1 \\ 0, & \text{pentru } A \leq x \leq M-1 \text{ și } B \leq y \leq N-1 \end{cases} \quad (75)$$

$$\mathbf{h}_e(x,y) = \begin{cases} \mathbf{h}(x,y), & \text{pentru } 0 \leq x \leq C-1 \text{ și } 0 \leq y \leq D-1 \\ 0, & \text{pentru } C \leq x \leq M-1 \text{ și } D \leq y \leq N-1 \end{cases} \quad (76)$$

Operația de degradare a imaginii este modelată atunci de:

$$\mathbf{g}_e(x,y) = \sum_{m=0}^{M-1-N-1} \sum_{n=0}^{M-1-N-1} \mathbf{f}_e(m,n) \mathbf{h}_e(x-m,y-n) + \mathbf{n}_e(x,y) \quad (77)$$

Relația anterioară poate fi scrisă matriceal:

$$\mathbf{g} = \mathbf{H}\mathbf{f} + \mathbf{n} \quad (78)$$

unde:

$$H = \begin{bmatrix} H_e(0) & H_e(M-1) & H_e(M-2) & \dots & H_e(1) \\ H_e(1) & H_e(0) & H_e(M-1) & \dots & H_e(2) \\ H_e(2) & H_e(1) & H_e(0) & \dots & H_e(3) \\ \dots & \dots & \dots & \dots & \dots \\ H_e(M-1) & H_e(M-2) & H_e(M-3) & \dots & H_e(0) \end{bmatrix} \quad (79)$$

fiecare element al ei fiind o matrice circulantă de forma:

$$H_k = \begin{bmatrix} h_e(j,0) & h_e(j,N-1) & h_e(j,N-2) & \dots & h_e(j,1) \\ h_e(j,1) & h_e(j,0) & h_e(j,N-1) & \dots & h_e(j,2) \\ h_e(j,2) & h_e(j,1) & h_e(j,0) & \dots & h_e(j,3) \\ \dots & \dots & \dots & \dots & \dots \\ h_e(j,N-1) & h_e(j,N-2) & h_e(j,N-3) & \dots & h_e(j,0) \end{bmatrix} \quad (80)$$

Matricea H este o matrice bloc-circulantă. Notând:

$$w_M(i,m) = \exp\left(\frac{2\pi j}{M} im\right) \quad \text{și} \quad w_N(k,n) = \exp\left(\frac{2\pi j}{N} kn\right) \quad (81)$$

se poate defini matricea de matrici:

$$W = \begin{bmatrix} W(0,0) & W(0,1) & W(0,2) & \dots & W(0,M-1) \\ W(1,0) & W(1,1) & W(1,2) & \dots & W(1,M-1) \\ W(2,0) & W(2,1) & W(2,2) & \dots & W(2,M-1) \\ \dots & \dots & \dots & \dots & \dots \\ W(M-1,0) & W(M-1,1) & W(M-1,2) & \dots & W(M-1,M-1) \end{bmatrix} \quad (82)$$

unde:

$$W(i,m) = w_M(i,m)W_N, \quad \text{cu} \quad W_N(k,n) = w_N(k,n) \quad (83)$$

În continuare se poate demonstra că inversa matricii W se scrie sub forma:

$$W^{-1} = \begin{bmatrix} W^{-1}(0,0) & W^{-1}(0,1) & W^{-1}(0,2) & \dots & W^{-1}(0,M-1) \\ W^{-1}(1,0) & W^{-1}(1,1) & W^{-1}(1,2) & \dots & W^{-1}(1,M-1) \\ W^{-1}(2,0) & W^{-1}(2,1) & W^{-1}(2,2) & \dots & W^{-1}(2,M-1) \\ \dots & \dots & \dots & \dots & \dots \\ W^{-1}(M-1,0) & W^{-1}(M-1,1) & W^{-1}(M-1,2) & \dots & W^{-1}(M-1,M-1) \end{bmatrix} \quad (84)$$

unde:

$$W^{-1}(i,m) = \frac{1}{M} w_M^{-1}(i,m) W_N^{-1} \quad (85)$$

cu:

$$w_M^{-1}(i,m) = \exp\left(-\frac{2\pi j}{M} im\right) \quad (86)$$

$$W_N^{-1}(k,n) = \frac{1}{N} w_N^{-1}(k,n) = \frac{1}{N} \exp\left(-\frac{2\pi j}{N} kn\right) \quad (87)$$

Evident avem:

$$WW^{-1} = W^{-1}W = I_{MN} \quad (88)$$

Ca urmare, se poate arăta că matricea degradării care afectează imaginea digitală este:

$$H = WDW^{-1} \quad (89)$$

cu D matrice diagonală, ale cărei elemente sunt valorile proprii ale matricii H . Rezultă:

$$\mathbf{D} = \mathbf{W}^{-1} \mathbf{H} \mathbf{W} \quad (90)$$

În ipoteza absenței zgomotului, degradarea care afectează imaginea este descrisă de:

$$\mathbf{g} = \mathbf{W} \mathbf{D} \mathbf{W}^{-1} \mathbf{f} \quad (91)$$

de unde:

$$\mathbf{W}^{-1} \mathbf{g} = \mathbf{D} \mathbf{W}^{-1} \mathbf{f} \quad (92)$$

Se remarcă faptul că $\mathbf{W}^{-1} \mathbf{f}$ este tocmai transformata Fourier discretă a intrării, iar $\mathbf{W}^{-1} \mathbf{g}$ este transformata Fourier a semnalului imagine degradat, adică:

$$\mathbf{F}(u,v) = \frac{1}{MN} \sum_{x=0}^{M-1} \sum_{y=0}^{N-1} f_e(x,y) \exp \left[-2\pi j \left(\frac{ux}{M} + \frac{vy}{N} \right) \right] \quad (93)$$

$$\mathbf{G}(u,v) = \frac{1}{MN} \sum_{x=0}^{M-1} \sum_{y=0}^{N-1} g_e(x,y) \exp \left[-2\pi j \left(\frac{ux}{M} + \frac{vy}{N} \right) \right] \quad (94)$$

Notând transformata Fourier discretă bidimensională a zgomotului cu:

$$\mathbf{N}(u,v) = \frac{1}{MN} \sum_{x=0}^{M-1} \sum_{y=0}^{N-1} n_e(x,y) \exp \left[-2\pi j \left(\frac{ux}{M} + \frac{vy}{N} \right) \right] \quad (95)$$

iar

$$\mathbf{F} = \mathbf{W}^{-1} \mathbf{f} \quad \text{și} \quad \mathbf{G} = \mathbf{W}^{-1} \mathbf{g} \quad (96)$$

rezultă:

$$\mathbf{G} = \mathbf{D} \mathbf{F} + \mathbf{N} \quad (97)$$

Importanța expresiei de mai sus rezidă în faptul că studiul degradărilor de "întindere" mare (descrise deci de sisteme de ecuații de dimensiuni mari) se poate reduce la calculul câtorva transformări Fourier discrete, pentru care algoritmul FFT furnizează o drastică reducere a volumului de calcul.

3.6. Modificări geometrice ale imaginilor.

Printre cele mai des întâlnite operații din imagistica computerizată se numără transformările geometrice.

3.6.1. Translația, scalarea și rotația imaginilor.

Operația de **translație** înseamnă adăugarea unui offset constant la coordonatele fiecărui pixel din zona de interes. Ea poate fi exprimată fie sub forma unui sistem de ecuații, fie (cel mai adesea) sub formă matriceală:

$$\begin{cases} \tilde{x}_m = x_m + t_x \\ \tilde{y}_n = y_n + t_y \end{cases} \iff \begin{bmatrix} \tilde{x}_m \\ \tilde{y}_n \end{bmatrix} = \begin{bmatrix} x_m \\ y_n \end{bmatrix} + \begin{bmatrix} t_x \\ t_y \end{bmatrix} \quad (98)$$

unde: - x_m, y_n sunt coordonatele punctului care se translatează;

- t_x, t_y sunt offset-urile care definesc translația;

- \tilde{x}_m, \tilde{y}_n sunt noile coordonate ale pixelului (m, n) .

Dacă toate aceste valori sunt întregi, operația este reversibilă. Pentru t_x, t_y neîntregi este necesară interpolarea lui $f(x, y)$ pentru a obține imaginea traslată.

Scalarea se realizează modificând coordonatele pixelilor după regula:

$$\begin{cases} \tilde{x}_m = s_x x_m \\ \tilde{y}_n = s_y y_n \end{cases} \iff \begin{bmatrix} \tilde{x}_m \\ \tilde{y}_n \end{bmatrix} = \begin{bmatrix} s_x & 0 \\ 0 & s_y \end{bmatrix} \begin{bmatrix} x_m \\ y_n \end{bmatrix} \quad (99)$$

unde s_x, s_y sunt constantele de scalare. Dacă avem $s_x, s_y > 1$, se obține o mărire a imaginii, în caz contrar ea se micșorează. În ambele cazuri este necesară operația de interpolare.

Rotația este descrisă de:

$$\begin{cases} \tilde{x}_m = x_m \cos \theta - y_n \sin \theta \\ \tilde{y}_n = x_m \sin \theta + y_n \cos \theta \end{cases} \iff \begin{bmatrix} \tilde{x}_m \\ \tilde{y}_n \end{bmatrix} = \begin{bmatrix} \cos \theta & -\sin \theta \\ \sin \theta & \cos \theta \end{bmatrix} \begin{bmatrix} x_m \\ y_n \end{bmatrix} \quad (100)$$

unde θ este unghiul cu care se face rotația în jurul originii, în sens trigonometric și în raport cu axa Ox .

Operațiile descrise până acum se pot sintetiza într-o singură relație matriceală, *când este cunoscută ordinea de aplicare a acestor transformări*. Pentru cazul unei translații urmată de o rotație, avem următoarea relație liniară:

$$\begin{bmatrix} \tilde{x}_m \\ \tilde{y}_n \end{bmatrix} = \begin{bmatrix} \cos \theta & -\sin \theta \\ \sin \theta & \cos \theta \end{bmatrix} \begin{bmatrix} s_x & 0 \\ 0 & s_y \end{bmatrix} \begin{bmatrix} x_m \\ y_n \end{bmatrix} + \begin{bmatrix} \cos \theta & -\sin \theta \\ \sin \theta & \cos \theta \end{bmatrix} \begin{bmatrix} s_x & 0 \\ 0 & s_y \end{bmatrix} \begin{bmatrix} t_x \\ t_y \end{bmatrix} \quad (101)$$

care traduce practic rotația imaginii în jurul unui "pivot" dat de operația de translație.

Trecând în spațiul extins al coordonatelor, rotația în jurul "pivotului" (x_p, y_p) este:

$$\begin{bmatrix} \tilde{x}_m \\ \tilde{y}_n \\ 1 \end{bmatrix} = \begin{bmatrix} \cos \theta & -\sin \theta & -x_p \cos \theta + y_p \sin \theta + x_p \\ \sin \theta & \cos \theta & -x_p \sin \theta - y_p \cos \theta - y_p \\ 0 & 0 & 1 \end{bmatrix} \begin{bmatrix} x_m \\ y_n \\ 1 \end{bmatrix} \quad (102)$$

și analog translația și scalarea:

$$\begin{bmatrix} \tilde{x}_m \\ \tilde{y}_n \\ 1 \end{bmatrix} = \begin{bmatrix} 1 & 0 & t_x \\ 0 & 1 & t_y \\ 0 & 0 & 1 \end{bmatrix} \begin{bmatrix} x_m \\ y_n \\ 1 \end{bmatrix} \quad \begin{bmatrix} \tilde{x}_m \\ \tilde{y}_n \\ 1 \end{bmatrix} = \begin{bmatrix} s_x & 0 & 0 \\ 0 & s_y & 0 \\ 0 & 0 & 1 \end{bmatrix} \begin{bmatrix} x_m \\ y_n \\ 1 \end{bmatrix} \quad (103)$$

De remarcat că, în anumite condiții, operația de rotație a unei imagini poate fi aproximată cu o transformare separabilă, astfel:

$$\begin{cases} \tilde{x}_m = x_m \cos \theta - y_n \sin \theta \\ \tilde{y}_n = \left[\frac{\tilde{x}_m + y_n \sin \theta}{\cos \theta} \right] \sin \theta + y_n \cos \theta \end{cases} \quad (104)$$

În primul pas al transformării se face calculul lui \tilde{x}_m , rezultând o imagine independentă de x_m , după care rotația se completează cu a doua formulă. Pentru unghiuri apropiate de $\pi/2$, operația nu este recomandabilă deoarece se produce o scădere considerabilă a rezoluției.

Transformarea este utilă, de exemplu, la "îndreptarea" paginilor scanate puțin înclinate (rotite cu câteva grade), știut fiind faptul că, cel mai adesea, trăsăturile care se extrag din imaginile textelor tipărite nu sunt invariante la rotație.

3.6.2. Deformări geometrice polinomiale.

Deformările geometrice ale imaginilor se utilizează fie pentru obținerea unor efecte speciale, fie pentru compensarea unor distorsiuni geometrice cunoscute. Ele pot fi descrise generic de:

$$\begin{cases} \tilde{x}_m = \mathbf{X}(x_m, y_n) \\ \tilde{y}_n = \mathbf{Y}(x_m, y_n) \end{cases} \quad (105)$$

Foarte des utilizate sunt deformările geometrice polinomiale de ordinul doi, descrise de următoarele relații:

$$\begin{cases} \tilde{x}_m = a_0 + a_1 x_m + a_2 y_n + a_3 x_m^2 + a_4 x_m y_n + a_5 y_n^2 \\ \tilde{y}_n = b_0 + b_1 x_m + b_2 y_n + b_3 x_m^2 + b_4 x_m y_n + b_5 y_n^2 \end{cases} \quad (106)$$

care pot fi exprimate și matriceal prin:

$$\begin{bmatrix} \tilde{x}_m \\ \tilde{y}_n \end{bmatrix} = \begin{bmatrix} a_0 & a_1 & a_2 & a_3 & a_4 & a_5 \\ b_0 & b_1 & b_2 & b_3 & b_4 & b_5 \end{bmatrix} \begin{bmatrix} 1 & x_m & y_n & x_m^2 & x_m y_n & y_n^2 \end{bmatrix}^t \quad (107)$$

Constantele $a_0, a_1, a_2, a_3, a_4, a_5$ și respectiv $b_0, b_1, b_2, b_3, b_4, b_5$ se determină cunoscând coordonatele în imaginea transformată ale unui set de M pixeli.

Notând:

$$\begin{aligned} \mathbf{x} &= [x_1 & x_2 & \dots & x_M] & \mathbf{y} &= [y_1 & y_2 & \dots & y_M] \\ \mathbf{a} &= [a_1 & a_2 & a_3 & a_4 & a_5] & \mathbf{b} &= [b_1 & b_2 & b_3 & b_4 & b_5] \end{aligned} \quad (108)$$

eroarea medie pătratică dintre imaginile transformate reală și ideală este:

$$\varepsilon^2 = (\mathbf{x} - \mathbf{Aa})^t (\mathbf{x} - \mathbf{Aa}) + (\mathbf{y} - \mathbf{Ab})^t (\mathbf{y} - \mathbf{Ab}) \quad (109)$$

unde :

$$\mathbf{A} = \begin{bmatrix} 1 & x_1 & y_1 & x_1^2 & x_1 y_1 & y_1^2 \\ 1 & x_2 & y_2 & x_2^2 & x_2 y_2 & y_2^2 \\ \dots & \dots & \dots & \dots & \dots & \dots \\ 1 & x_M & y_M & x_M^2 & x_M y_M & y_M^2 \end{bmatrix} \quad (110)$$

Se demonstrează că eroarea este minimă dacă:

$$\mathbf{a} = (\mathbf{A}^t \mathbf{A})^{-1} \mathbf{A}^t \mathbf{x} \quad \mathbf{b} = (\mathbf{A}^t \mathbf{A})^{-1} \mathbf{A}^t \mathbf{y} \quad (111)$$

unde se remarcă utilizarea inversei generalizate a matricii \mathbf{A} :

$$\mathbf{A}^* = (\mathbf{A}^t \mathbf{A})^{-1} \mathbf{A}^t \quad (112)$$

Câteva exemple de imagini distorsionate geometric sunt date în continuare:



3.6.3. Proiecția paralelă și proiecția perspectivă.

Pentru *proiecția paralelă* caracteristic este faptul că toate razele de proiecție sunt paralele între ele.

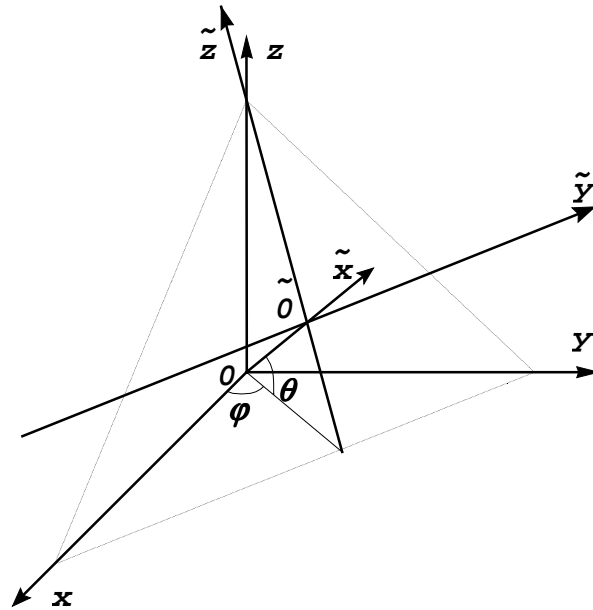
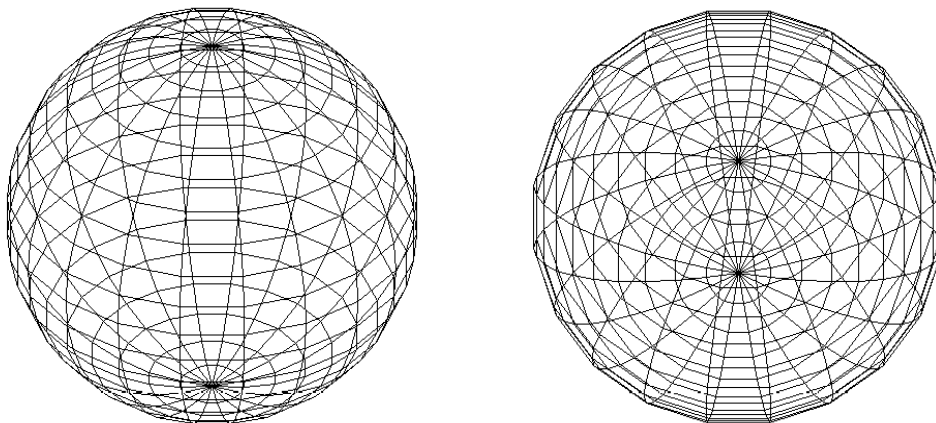


Fig. 10. Principiul proiecției paralele.

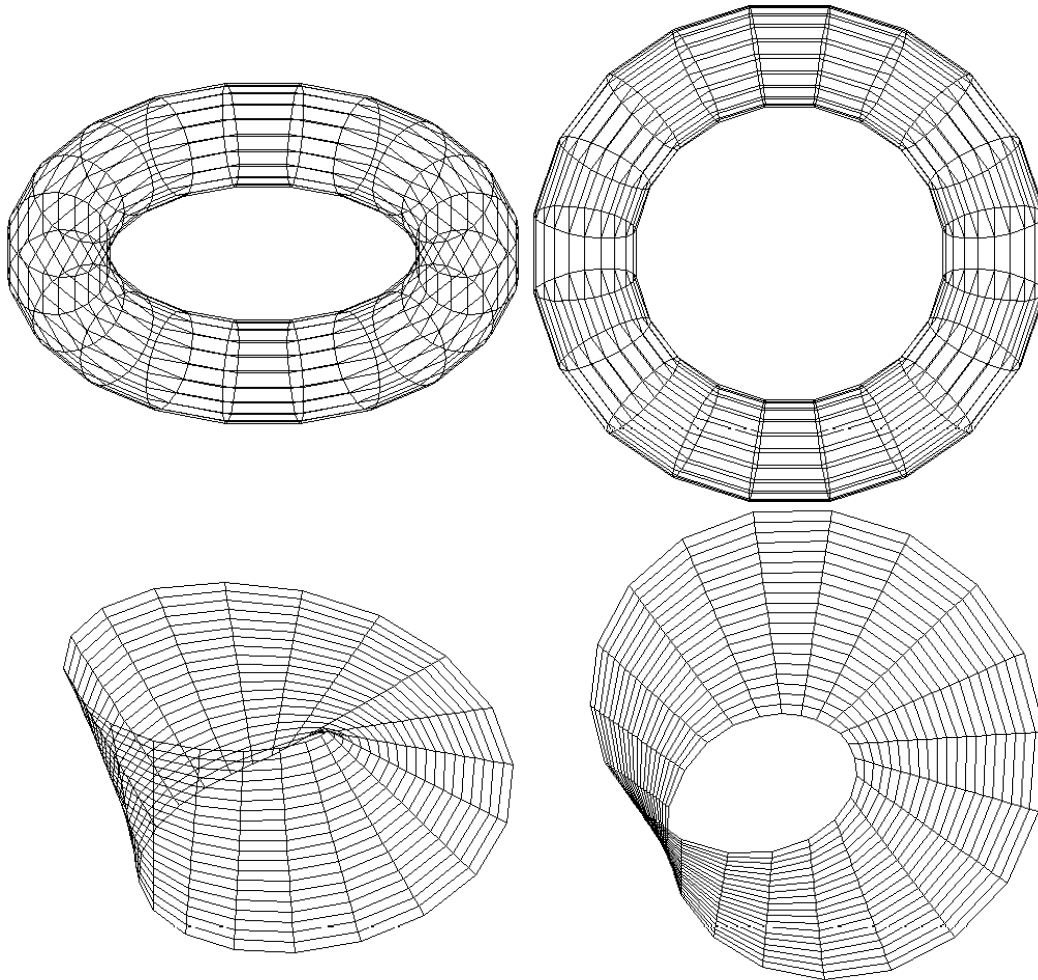
Din studiul schemei precedente se remarcă faptul că proiecția paralelă se poate reduce la o simplă schimbare de coordonate și anume o rotație în jurul axei Oz cu un unghi φ , urmată de o rotație cu unghiul θ în jurul noii axe Oy' .

$$\begin{bmatrix} \tilde{x} \\ \tilde{y} \\ \tilde{z} \end{bmatrix} = \begin{bmatrix} \cos \theta & 0 & -\sin \theta \\ 0 & 1 & 0 \\ \sin \theta & 0 & \cos \theta \end{bmatrix} \begin{bmatrix} \cos \varphi & -\sin \varphi & 0 \\ \sin \varphi & \cos \varphi & 0 \\ 0 & 0 & 1 \end{bmatrix} \begin{bmatrix} x \\ y \\ z \end{bmatrix} \quad (113)$$

$$\begin{bmatrix} \tilde{x} \\ \tilde{y} \\ \tilde{z} \end{bmatrix} = \begin{bmatrix} \cos \varphi \cos \theta & -\sin \varphi \cos \theta & -\sin \theta \\ \sin \varphi & \cos \varphi & 0 \\ \cos \varphi \sin \theta & -\sin \varphi \sin \theta & \cos \theta \end{bmatrix} \begin{bmatrix} x \\ y \\ z \end{bmatrix} \quad (114)$$



Exemple de proiecții paralele.



În figurile anterioare sunt prezentate proiecțiile paralele pentru câteva suprafețe: sferă, tor și banda Moebius.

Trecând la coordonate ecran avem:

$$\begin{bmatrix} x_s \\ y_x \end{bmatrix} = \begin{bmatrix} \sin\varphi & \cos\varphi & 0 \\ \cos\varphi \sin\theta & -\sin\varphi \sin\theta & \cos\theta \end{bmatrix} \begin{bmatrix} x \\ y \\ z \end{bmatrix} \quad (115)$$

Proiecția perspectivă este mult mai apropiată de cazul real al observării realității prin intermediul unui sistem optic tipic. Geometria ei este descrisă în următoarea schemă, în care (x, y, z) sunt coordonatele punctului curent din spațiu, (x_p, y_p) sunt coordonatele proiecției lui în planul imaginii, iar f este distanța focală a sistemului de lentile:

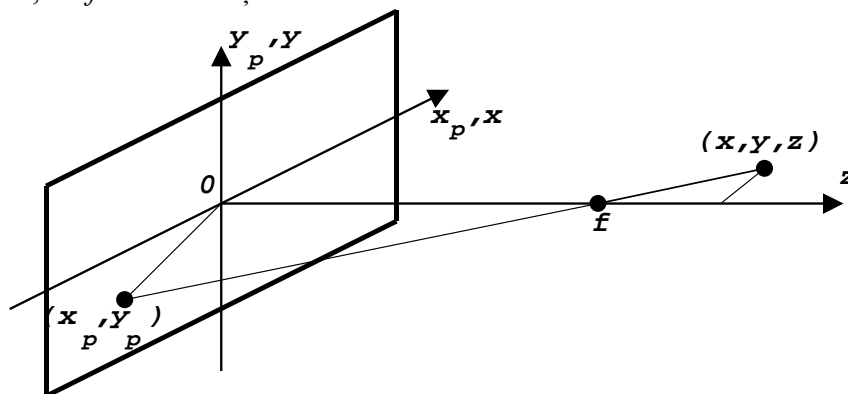


Fig. 11. Principiul proiecției perspective.

$$\text{Se pot scrie imediat relațiile: } x_p = \frac{fx}{f-z} \quad \text{și} \quad y_p = \frac{fy}{f-z} \quad (116)$$

Trecând la coordonate omogene Roberts în [91] deduce următoarea formulă de proiecție perspectivă:

$$\begin{bmatrix} x_p & y_p & z_p \end{bmatrix} = \begin{bmatrix} \frac{fx}{f-z} & \frac{fy}{f-z} & \frac{fz}{f-z} \end{bmatrix} \quad (117)$$

din care evident, interesează în marea majoritate a cazurilor doar (x_p, y_p) .

3.6.4. Modelul capturii unei imagini cu o camera de luat vederi.

Modelul geometric clasic al utilizării unei camere de luat vederi (Fu[41]) poate fi discutat utilizând figura următoare:

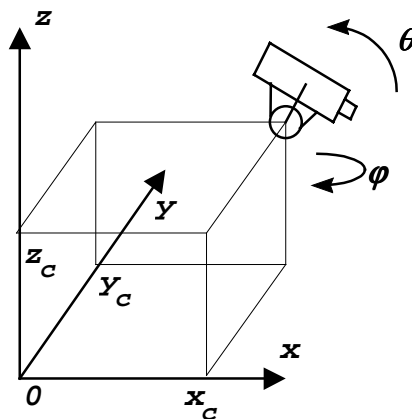


Fig. 12. Modelul geometric al camerei de luat vederi.

unde (x_c, y_c, z_c) sunt coordonatele centrului articulației cardanice pe care se sprijină camera de luat vederi. Față de aceste coordonate, centrul imaginii plane (planul de proiecție) se obține adăugând offset-ul (x_0, y_0, z_0) , printr-o operație de translație. Față de (x_c, y_c, z_c) , planul de proiecție poate fi rotit, datorită articulației cardanice, cu unghiul φ în plan orizontal (raportat la axa $0x$) și cu unghiul θ în plan vertical. Adăugând la toate acestea proiecția perspectivă a obiectelor vizualizate prin cameră, se obțin relațiile:

$$x_p = \frac{[(x-x_c) \cos \varphi - (y-y_c) \sin \varphi - x_0]f}{f - (x-x_c) \sin \varphi \sin \theta - (y-y_c) \cos \varphi \sin \theta - (z-z_c) \cos \theta + z_0} \quad (118)$$

$$y_p = \frac{[(x-x_c) \sin \varphi \cos \theta + (y-y_c) \cos \varphi \cos \theta - (z-z_c) \sin \theta - y_0]f}{f - (x-x_c) \sin \varphi \sin \theta - (y-y_c) \cos \varphi \sin \theta - (z-z_c) \cos \theta + z_0} \quad (119)$$

3.6.5. Reșantionarea geometrică a imaginilor.

După cum s-a menționat la discuțiile asupra operației de scalare, în cazul discret, de cele mai multe ori este necesară o interpolare pentru reconstrucția imaginii scalate, ceea ce este echivalentă cu reșantionarea imaginii continue inițiale, pentru a obține noua imagine scalată. Acest proces de reșantionare înseamnă atribuirea unor noi valori pixelilor din noua grilă de eșantionare, funcție de valorile pixelilor corespunzători din vechea grilă:

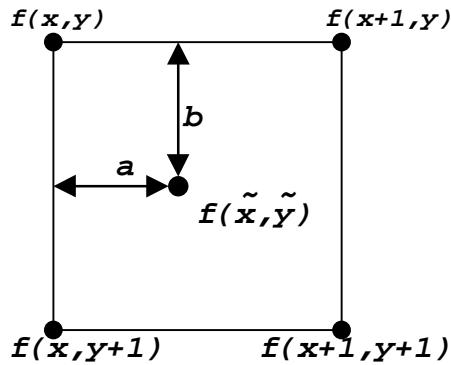


Fig. 13. Reesantionarea geometrică a imaginilor.

Cea mai simplă soluție este folosirea unui interpolator bilinear, descris de următoarea relație:

$$f(\tilde{x}, \tilde{y}) = (1-a)[(1-b)f(x,y) + b f(x+1,y)] + a[(1-b)f(x,y+1) + b f(x+1,y+1)] \quad (120)$$

Ea poate fi generalizată folosind o funcție de interpolare $R(x)$ și pixelii dintr-o vecinătate (de obicei maximum 4x4) a imaginii inițiale.

$$f(\tilde{x}, \tilde{y}) = \sum_{m=-1}^2 \sum_{n=-1}^2 f(x+m, y+n) R(m-a) R(n-b) \quad (121)$$

Pentru mărirea imaginilor cu un factor întreg există algoritmi care se bazează pe utilizarea operației de convoluție. Imaginea inițială este adusă mai întâi la dimensiunea $ZM \times ZN$, unde Z este factorul întreg de mărire, astfel încât:

$$\tilde{f}(\tilde{x}, \tilde{y}) = \begin{cases} f(x,y), & \text{pentru } \tilde{x} = Zx, \tilde{y} = Zy \\ 0, & \text{pentru } \tilde{x} \neq Zx, \tilde{y} = Zy \end{cases} \quad (122)$$

după care este supusă unei convoluții cu o mască convenabil aleasă. Pentru $Z = 2$ se poate folosi una din măștile:

$$M_1 = \begin{bmatrix} 1 & 1 \\ 1 & 1 \end{bmatrix} \quad M_2 = \frac{1}{4} \begin{bmatrix} 1 & 2 & 1 \\ 2 & 4 & 2 \\ 1 & 2 & 1 \end{bmatrix} \quad M_3 = \frac{1}{16} \begin{bmatrix} 1 & 3 & 3 & 1 \\ 3 & 9 & 9 & 3 \\ 3 & 9 & 9 & 3 \\ 1 & 3 & 3 & 1 \end{bmatrix} \quad M_4 = \frac{1}{64} \begin{bmatrix} 1 & 4 & 6 & 4 & 1 \\ 4 & 16 & 24 & 16 & 4 \\ 6 & 24 & 36 & 24 & 6 \\ 4 & 16 & 24 & 16 & 4 \\ 1 & 4 & 6 & 4 & 1 \end{bmatrix} \quad (123)$$

Pentru cazul reesantionării unei imagini cu un factor rațional $Z = P/Q$, o transformare originală poate fi folosită (Bulea[21],[23]). Eficiența ei constă în faptul că pentru efectuarea ei sunt necesare doar operații cu numere întregi. Cu cât numerele P și Q sunt mai mici, cu atât viteza de operare este mai mare. În continuare sunt prezentate exemple de utilizare a acestui algoritm, pentru cazul unei imagini 10x14 care se dorește adusă la dimensiunile 4x5. Deci $Z(x) = 10/4$, iar $Z(y) = 14/5$. Modul de funcționare al algoritmului rezultă din figurile următoare:

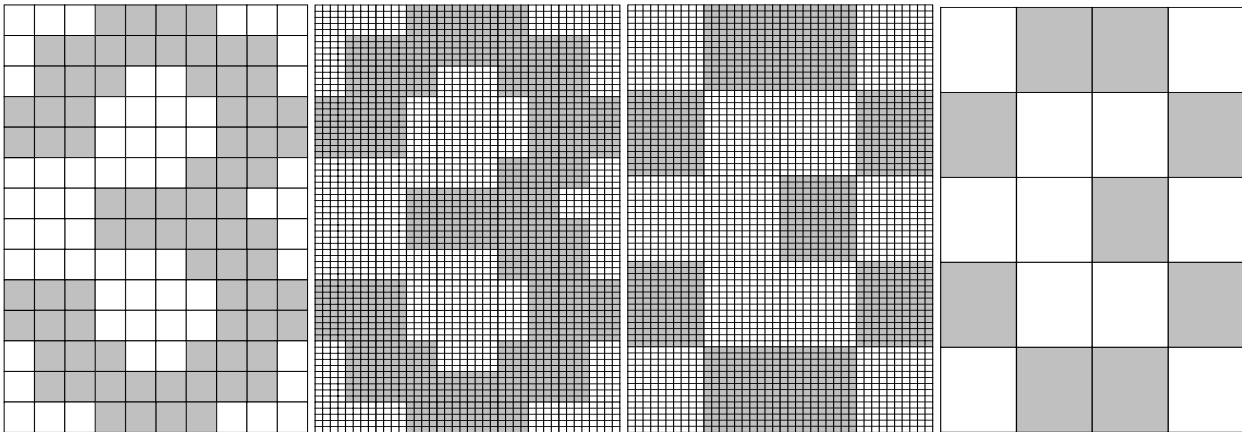


Fig. 14. Reșantionarea geometrică cu factor rațional.

Deci se realizează transformarea: 

3.7. Compensarea distorsiunilor de nelinearitate și a celor de spectru al luminii.

Studiul modelului general al degradării imaginii a dus la concluzia prezenței unor nelinearități care nu au fost luate în considerare până acum. Modelul general al procesului de degradare a imaginii fiind:

$$g(x,y) = d \left[\int_{-\infty}^{\infty} \int_{-\infty}^{\infty} h(x,y;x',y') f(x',y') dx' dy' \right] + s [g(w(x,y))] \eta_1(x,y) + \eta_2(x,y) \quad (124)$$

s-au făcut observațiile că funcția nelineară $d(-)$ modelează nelinearitățile introduse de blocul de detecție a imaginii, iar zgomotul conține două componente dintre care una dependentă de semnal prin intermediul nelinearității $s(-)$, care modelează blocul de înregistrare a imaginii.

Condiția esențială pe care trebuie să o îndeplinească nelinearitățile menționate pentru a putea fi compensate este ca ele să fie descrise de funcții *bijective* pe domeniul de definiție, caz în care se poate defini inversa acestor funcții. Astfel dacă:

$$g(x,y) = d [f(x,y)] \quad (125)$$

și funcția $d(-)$ este bijectivă, există inversa ei $d^{-1}(-)$ și avem:

$$f(x,y) = d^{-1} [g(x,y)] \quad (126)$$

În practică, adesea mai trebuie adusă o corecție de scară, după cum rezultă din figurile următoare:

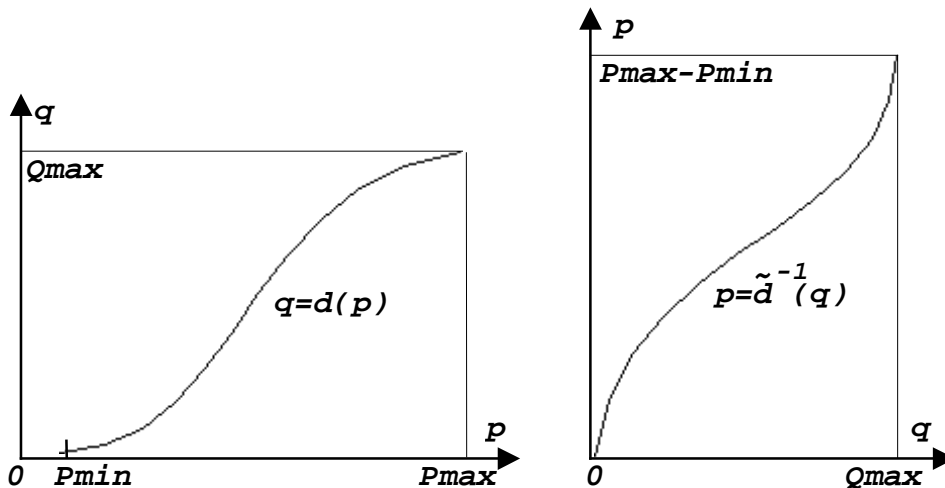


Fig. 15. Compensarea distorsiunilor de nelinearitate.

$$q = d(p), P_{\min} \leq p \leq P_{\max} \implies p = \frac{\tilde{d}^{-1}(q) - P_{\min}}{P_{\max} - P_{\min}} + P_{\min} \quad (127)$$

Pentru determinarea alurii acestor nelinearități se utilizează imagini de test construite special, astfel încât, prin măsurători, să se poată deduce dependența intrare-ieșire dorită.

Implementarea practică a dispozitivului de corecție se poate face analogic (mai rar), caz în care este necesară proiectarea unui circuit nelinear cu răspunsul dat de inversa nelinearității care afectează imaginea. Implementarea digitală a circuitului de corecție se traduce printr-un dispozitiv de tip memorie LUT (Look Up Table) care să translateze codurile care i se aplică la intrare.

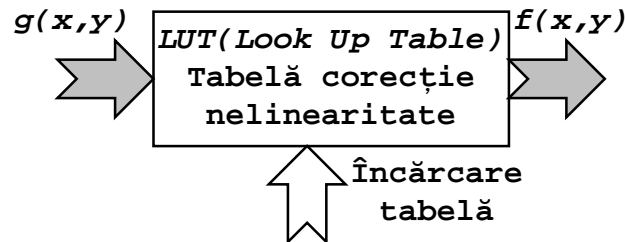


Fig. 15. Memoria LUT (Look Up Table).

Un alt tip de corecții se referă la corecțiile nelinearităților datorate răspunsului specific al senzorilor de imagine la spectrul luminii incidente (O'Handley[78]), respectiv al dispozitivelor de afișare.

Astfel, pentru cazul senzorilor, luminanța curentă furnizată de aceștia este descrisă de:

$$L = \int_{\lambda} C(\lambda) S(\lambda) d\lambda \quad (128)$$

unde: λ este lungimea de undă a radiației luminoase incidente,
 $C(\lambda)$ este energia spectrală a luminii incidente, iar
 $S(\lambda)$ este răspunsul spectral al senzorului.

Dacă răspunsul dorit este:

$$\tilde{L} = \int_{\lambda} C(\lambda) \tilde{S}(\lambda) d\lambda \quad (129)$$

în ipoteza minimizării erorii medii pătratice date de:

$$e = \int_{\lambda} [L(\lambda) - \tilde{L}(\lambda)]^2 d\lambda \quad (130)$$

se va căuta o dependență de forma:

$$\tilde{L} = f(L) \quad (131)$$

Cel mai adesea, pentru simplitate, se caută parametrii unei dependențe liniare:

$$\tilde{L}(\lambda) = a S(\lambda) + b \quad (132)$$

Compensarea distorsiunilor de spectru se rezolvă la fel și pentru cazul afișării imaginii. În cazul imaginilor color problema se complică, fiind necesare corecții pentru fiecare componentă de culoare în parte.

4. Detectia muchilor, liniilor și spoturilor.

- 4.1. Metode spațiale de detecție a muchiilor.
 - 4.1.1. Metode bazate pe operatori de diferențiere de ordinul unu.
 - 4.1.2. Metode bazate pe operatori de diferențiere de ordinul doi.
- 4.2. Metode regionale de detecție a muchiilor.
- 4.3. Metode statistice de detecție a muchiilor.
 - 4.3.1. Clasificarea statistică a pixelilor.
 - 4.3.2. Metode regionale de clasificare a pixelilor.
 - 4.3.3. Tehnici relaxaționale.
- 4.4. Detectia muchiilor tridimensionale.
- 4.5. Alte metode de detecție a muchiilor.
- 4.6. Algoritmi de extragere a conturilor.
 - 4.6.1. Algoritmi de urmărire de contur.
 - 4.6.2. Înlănțuirea elementelor de contur.
 - 4.6.3. Reprezentarea conturilor.
- 4.7. Detectia liniilor și a spoturilor.
- 4.8. Detalii de implementare.

4.1. Metode spațiale de detecție a muchiilor.

Principiul detecției de muchii rezultă destul de clar studiind cazul unidimensional prezentat în figura următoare. Principial, detecția unei muchii se traduce prin localizarea variațiilor bruște în semnalul de intrare.

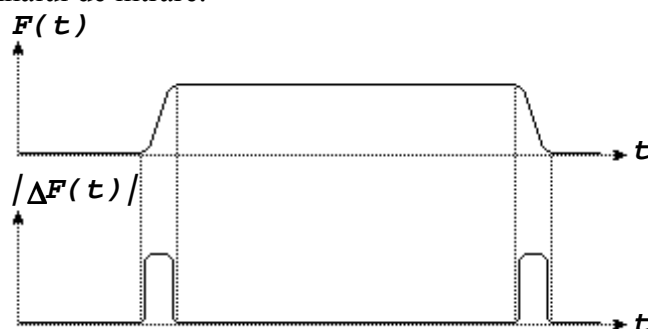


Fig. 1. Principiul detecției de muchii.

4.1.1. Metode bazate pe operatori de diferențiere de ordinul unu.

În cazul imaginilor continue, după cum s-a arătat deja la accentuarea de muchii, toată informația privind variațiile locale de luminozitate este concentrată în vectorul gradient:

$$\Delta \mathbf{f}(x,y) = \frac{\partial \mathbf{f}(x,y)}{\partial x^2} \vec{i} + \frac{\partial \mathbf{f}(x,y)}{\partial y^2} \vec{j} \quad (1)$$

Operatorul de detecție de muchii trebuie să fie izotrop, pentru a răspunde similar în prezența muchiiilor având orientări diferite. Se poate demonstra ușor că modulul gradientului este izotrop.

Pentru cazul discret se folosesc aproximațiile următoare :

$$\begin{aligned} \Delta_x \mathbf{f}(x,y) &= \mathbf{f}(x+1,y) - \mathbf{f}(x,y) \\ \Delta_y \mathbf{f}(x,y) &= \mathbf{f}(x,y+1) - \mathbf{f}(x,y) \end{aligned} \quad (2)$$

sau uneori se apelează la forme simetrice ale diferențelor finite:

$$\begin{aligned} \Delta_x \mathbf{f}(x,y) &= \mathbf{f}(x+1,y) - \mathbf{f}(x-1,y) \\ \Delta_y \mathbf{f}(x,y) &= \mathbf{f}(x,y+1) - \mathbf{f}(x,y-1) \end{aligned} \quad (3)$$

Deci se poate folosi drept detector de muchii modulul gradientului discret:

$$\mathbf{G}_1 = \sqrt{[\Delta_x \mathbf{f}(x,y)]^2 + [\Delta_y \mathbf{f}(x,y)]^2} \quad (4)$$

Se pot utiliza cu succes aproximații ale **gradientului discret** care nu mai sunt izotrope, în schimb se calculează mult mai repede:

$$\mathbf{G}_2 = |\Delta_x \mathbf{f}(x,y)| + |\Delta_y \mathbf{f}(x,y)| \quad (5)$$

$$\mathbf{G}_3 = \max(|\Delta_x \mathbf{f}(x,y)| + |\Delta_y \mathbf{f}(x,y)|) \quad (6)$$

$$\mathbf{G}_4 = \max(|\mathbf{f}(x,y) - \mathbf{f}(x+m,y+n)|), \quad m,n \in \{-1,0,1\} \quad (7)$$

$$\mathbf{G}_5 = \max(|\mathbf{f}(x,y) - \mathbf{f}(x+1,y+1)|, |\mathbf{f}(x,y+1) - \mathbf{f}(x+1,y)|) \quad (8)$$

care este denumit gradientul Roberts, și care poate fi exprimat prin intermediul convoluțiilor cu măștile:

$$R_1 = \begin{bmatrix} 1 & 0 \\ 0 & -1 \end{bmatrix} \quad R_2 = \begin{bmatrix} 0 & -1 \\ 1 & 0 \end{bmatrix} \quad (9)$$

Modul de operare în cazul măștilor este cel cunoscut: se calculează cele două rezultate ale operațiilor cu măștile de mai sus, se află modulul lor și se reține valoarea maximă.

Alți gradienti definiți prin măști 3x3 sunt Prewitt, Sobel și Frei-Chen, dați prin măștile corespunzătoare muchiiilor verticale descrescătoare de la stânga la dreapta:

$$P_1 = \frac{1}{3} \begin{bmatrix} 1 & 0 & -1 \\ 1 & 0 & -1 \\ 1 & 0 & -1 \end{bmatrix} \quad S_1 = \frac{1}{4} \begin{bmatrix} 1 & 0 & -1 \\ 2 & 0 & -2 \\ 1 & 0 & -1 \end{bmatrix} \quad F_1 = \frac{1}{2+\sqrt{2}} \begin{bmatrix} 1 & 0 & -1 \\ \sqrt{2} & 0 & -\sqrt{2} \\ 1 & 0 & -1 \end{bmatrix} \quad (10)$$

Frei și Chen în [40] propun descompunerea vecinătății 3x3 care conține pixelul curent, folosind următoarea bază ortogonală:

$$\begin{aligned} H_0 &= \begin{bmatrix} 1 & 1 & 1 \\ 1 & 1 & 1 \\ 1 & 1 & 1 \end{bmatrix} \\ H_1 &= \begin{bmatrix} -1 & 0 & 1 \\ -\sqrt{2} & 0 & \sqrt{2} \\ -1 & 0 & 1 \end{bmatrix} \quad H_3 = \begin{bmatrix} 0 & 1 & -\sqrt{2} \\ -1 & 0 & 1 \\ \sqrt{2} & -1 & 0 \end{bmatrix} \quad H_5 = \begin{bmatrix} 0 & -1 & 0 \\ 1 & 0 & 1 \\ 0 & -1 & 0 \end{bmatrix} \quad H_7 = \begin{bmatrix} 1 & -2 & 1 \\ -2 & 4 & -2 \\ 1 & -2 & 1 \end{bmatrix} \end{aligned}$$

$$H_2 = \begin{bmatrix} -1 & -\sqrt{2} & -1 \\ 0 & 0 & 0 \\ 1 & \sqrt{2} & 1 \end{bmatrix} H_4 = \begin{bmatrix} \sqrt{2} & -1 & 0 \\ -1 & 0 & 1 \\ 0 & 1 & -\sqrt{2} \end{bmatrix} H_6 = \begin{bmatrix} -1 & 0 & 1 \\ 0 & 0 & 0 \\ 1 & 0 & -1 \end{bmatrix} H_8 = \begin{bmatrix} -2 & 1 & -2 \\ 1 & 4 & 1 \\ -2 & 1 & -2 \end{bmatrix} \quad (11)$$

Descompunerea care rezultă este de forma:

$$f(X) = \sum_{k=0}^8 f_k \mathbf{H}_k / \|\mathbf{H}_k\| \quad (12)$$

unde: X - vecinătatea 3x3 curentă;

$$f_k = \langle f(X), \mathbf{H}_k \rangle = \sum_i \sum_j f(x_i, y_j) \mathbf{H}_k \quad (13)$$

$$\|\mathbf{H}_k\| = \langle \mathbf{H}_k, \mathbf{H}_k \rangle \quad (14)$$

Se remarcă din structura bazei faptul că, practic, informații privind muchiile sunt conținute doar în coeficienții unu și doi ai dezvoltării, deci în:

$$E = \sum_{k=1}^2 f_k^2 \quad (15)$$

Normalizarea valorii obținute se face cu valoarea:

$$S = \sum_{k=1}^8 f_k^2 \quad (16)$$

cea ce are ca efect minimizarea efectelor zgomotelor. Se obține o evaluare a "tăriei" muchiei calculând:

$$\cos \theta = \sqrt{E/S} \quad (17)$$

Stabilind pragul T , regula de decizie este în acest caz:

$$\begin{cases} \theta > T \Rightarrow \text{muchie absentă} \\ \theta \leq T \Rightarrow \text{muchie prezentă} \end{cases} \quad (18)$$

În aceeași clasă de operatori spațiali pentru detecție de muchii intră așa-numitele **șabloane (prototipuri)** pentru detecția de muchii. Ele se bazează pe calculul modulului gradientului discret într-un număr mare de direcții, cu reținerea valorii maxime:

$$\mathbf{G}(x,y) = \max [|\mathbf{G}_1(x,y)|, |\mathbf{G}_2(x,y)|, \dots, |\mathbf{G}_K(x,y)|] \quad (19)$$

Astfel se construiește un alt set de detectori de muchii, dintre care mai cunoscuți sunt Kirsh și Compass, dați prin măștile de referință următoare:

$$K_1 = \frac{1}{15} \begin{bmatrix} 5 & -3 & -3 \\ 5 & 0 & -3 \\ 5 & -3 & -3 \end{bmatrix} \quad C_1 = \frac{1}{5} \begin{bmatrix} 1 & 1 & -1 \\ 1 & -2 & -1 \\ 1 & 1 & -1 \end{bmatrix} \quad (20)$$

Restul măștilor se obțin prin rotirea elementelor măștii date în jurul elementului central. Rezultă astfel un număr de până la 8 măști direcționale, fiecare responsabilă de muchiile având o anumită direcție. Se pot defini analog măști de detecție muchii având dimensiuni mai mari: 5x5, 7x7, 9x9.

Tot măști de dimensiuni mai mari se pot construi astfel încât ele să includă practic, într-o singură mască (**mască compusă**), o operație de netezire a imaginii urmată de o detecție de muchii. Astfel, masca echivalentă unei neteziri cu masca M_5 , urmată de un operator Prewitt pentru muchii verticale rezultă:

$$\frac{1}{9} \begin{bmatrix} 1 & 1 & 1 \\ 1 & 1 & 1 \\ 1 & 1 & 1 \end{bmatrix} \otimes \frac{1}{3} \begin{bmatrix} 1 & 0 & -1 \\ 1 & 0 & -1 \\ 1 & 0 & -1 \end{bmatrix} \Rightarrow \frac{1}{18} \begin{bmatrix} 1 & 1 & 0 & -1 & -1 \\ 2 & 2 & 0 & -2 & -2 \\ 3 & 3 & 0 & -3 & -3 \\ 2 & 2 & 0 & -2 & -2 \\ 1 & 1 & 0 & -1 & -1 \end{bmatrix} \quad (21)$$

Evident, pot fi utilizate o multitudine de combinații de asemenea operatori pentru netezire și extragere de muchii.

Argyle [05] și Macleod [67] au propus utilizarea unor vecinătăți mari cu măști de netezire construite după o lege gaussiană bidimensională, compuse cu operatori de detecție de muchii de aceeași dimensiune.

DroG (Derivative of Gaussian) este denumirea unui alt operator compus, definit de răspunsul la impuls:

$$h_0(x,y) = -\frac{\partial [g(x,\sigma_x)g(y,\sigma_y)]}{\partial x} = \frac{x}{\sigma_x^2} g(x,\sigma_x) g(y,\sigma_y) \quad (22)$$

unde:

$$g(x,\sigma_x) = \frac{1}{\sigma_x \sqrt{2\pi}} \exp\left(-\frac{x^2}{2\sigma_x^2}\right) \quad g(x,\sigma_y) = \frac{1}{\sigma_y \sqrt{2\pi}} \exp\left(-\frac{y^2}{2\sigma_y^2}\right) \quad (23)$$

Muchiile se extrag cu:

$$\tilde{f}(x,y) = f(x,y) * h_0(x,y) \quad (24)$$

Canny [29] este cel care a dezvoltat o procedură sistematică de evaluare a performanțelor unui detector de muchii, luând în considerare pentru aceasta trei elemente: detecția propriu-zisă a muchiei, precizia localizării ei și unicitatea răspunsului (pentru a evita cazurile de dublare a muchiilor detectate).

4.1.2. Metode bazate pe operatori de diferențiere de ordinul doi.

O altă categorie de metode are la bază folosirea operatorilor discreți de diferențiere, de ordinul doi, care aproximează Laplacianul:

$$\nabla^2 f(x,y) = \frac{\partial^2 f(x,y)}{\partial x^2} + \frac{\partial^2 f(x,y)}{\partial y^2} \quad (25)$$

Aproximările discrete ale Laplacianului se traduc prin operații cu una din măștile:

$$L_1 = \begin{bmatrix} 0 & -1 & 0 \\ -1 & 4 & -1 \\ 0 & -1 & 0 \end{bmatrix} \quad L_2 = \begin{bmatrix} -1 & -1 & -1 \\ -1 & 8 & -1 \\ -1 & -1 & -1 \end{bmatrix} \quad L_3 = \begin{bmatrix} -2 & 1 & -2 \\ 1 & 4 & 1 \\ -2 & 1 & -2 \end{bmatrix} \quad (26)$$

Trecerile prin zero ale operatorilor de diferențiere de ordinul doi pot fi utilizate pentru detecția muchiilor:

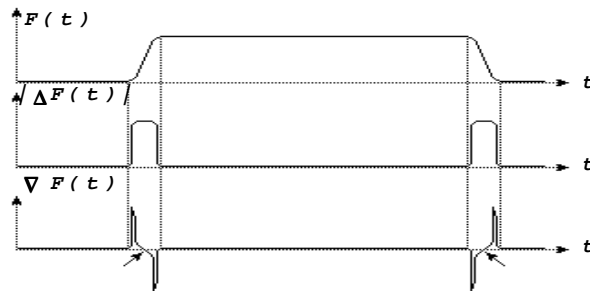


Fig. 2. Operatori de diferențiere de ordinul doi.

Marr și Hildrith în [68] au propus utilizarea operatorului **LoG** (**Laplacian of Gaussian**) pentru estimarea Laplacianului discret, după o procedură similară operatorului **DroG**, adică:

$$\tilde{f}(x,y) = -\nabla\{f(x,y) * h_1(x,y)\} \quad (27)$$

$$h_1(x,y) = g(x,\sigma)g(y,\sigma) \quad (28)$$

Din proprietățile produsului de convoluție obținem:

$$\tilde{f}(x,y) = f(x,y) * \nabla\{g(x,\sigma_x)g(y,\sigma_y)\} = f(x,y) * h_L(x,y) \quad (29)$$

Se obține în final răspunsul la impuls al filtrului de estimare a Laplacianului:

$$h_L(x,y) = \frac{1}{\pi\sigma^4} \left[1 - \frac{x^2 + y^2}{2\sigma^2} \right] \exp\left(-\frac{x^2 + y^2}{2\sigma^2}\right) \quad (30)$$

a cărui reprezentare grafică se numește "pălăria mexicană":

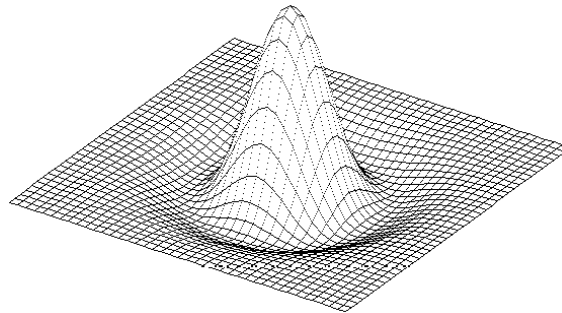


Fig. 3. Răspunsul la impuls al filtrului de estimare a Laplacianului.

Detectia trecerilor prin zero ale Laplacianului se poate face folosind metoda sistematică dezvoltată de Huertas și Medioni în [53]. Ei furnizează un catalog al situațiilor care constituie "treceri prin zero" ale Laplacianului estimat anterior:

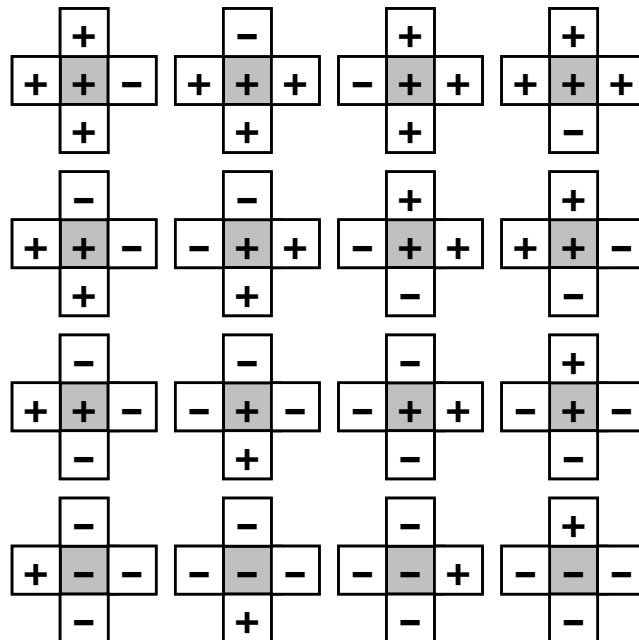


Fig. 4. Detectia trecerilor prin zero ale Laplacianului.

unde pixelii notați "+" semnifică valoare ≥ 0 pentru pixel, iar cei marcați cu "-" înseamnă valoare ≤ 0 . Algoritmul furnizează și informații privind direcția muchiilor detectate și poate fi implementat eficient folosind operatori morfologici.

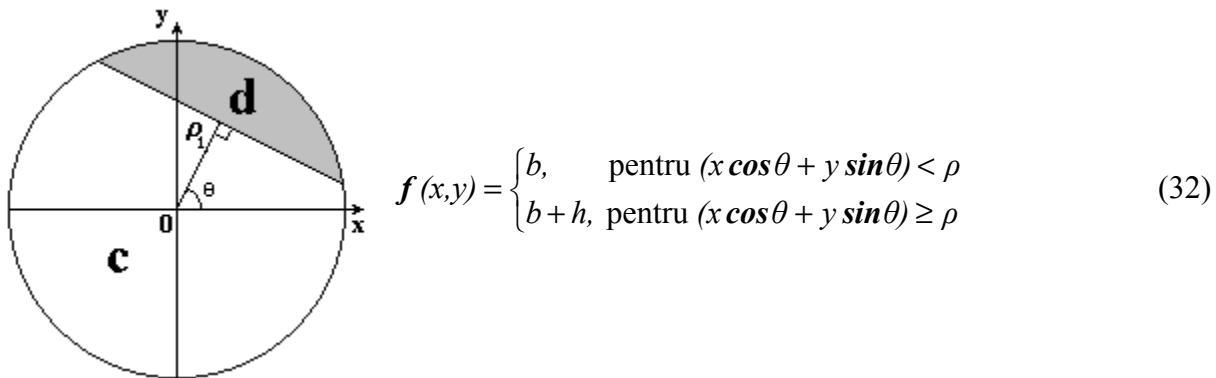
O altă soluție (Robinson[92]) constă în estimarea inițială a direcției muchiei, urmată de calculul derivatei unidimensionale de ordinul doi în lungul muchiei. Această derivată are expresia:

$$f''(x,y) = \frac{\partial^2 f(x,y)}{\partial x^2} \cos^2 \theta + \frac{\partial^2 f(x,y)}{\partial x \partial y} \sin \theta \cos \theta + \frac{\partial^2 f(x,y)}{\partial y^2} \sin^2 \theta \quad (31)$$

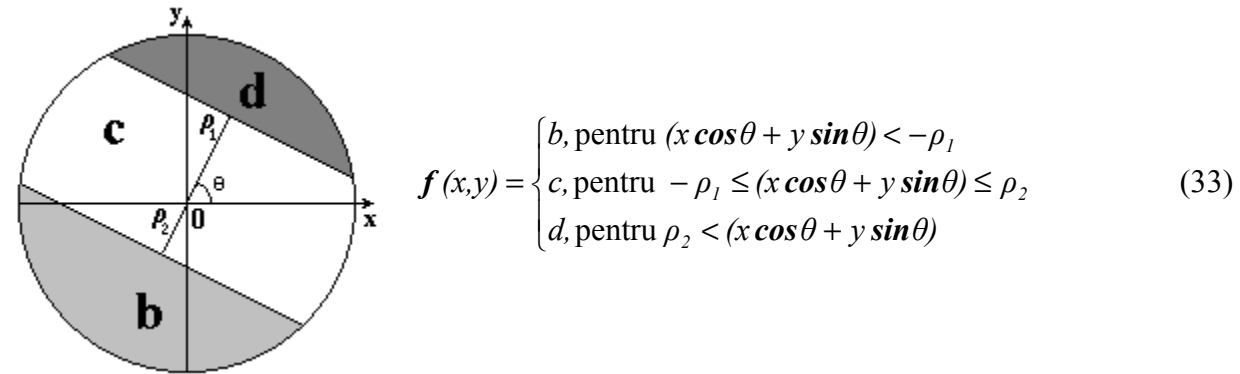
unde θ este unghiul între direcția muchiei și abscisă. Haralick în [44] utilizează pentru determinarea lui θ și a derivatei de ordinul doi în această direcție o metodă care are la bază aproximarea lui $f(x,y)$ cu un polinom quadratic.

4.2. Metode regionale de detecție a muchiilor.

O muchie ideală poate fi asimilată cu cea din figura următoare, urmând ca mai apoi să se parcurgă imaginea cu o fereastră circulară de rază R , încercând să se determine parametrii muchiei din condiția de "potrivire" optimă a imaginii și modelului.



Modelul anterior se poate generaliza și pentru detecția liniilor din imagine, folosind:



Modelul este caracterizat de nivelele de gri "b" și "b+h", de o parte și de alta a muchiei, orientarea muchiei fiind dată de unghiul " θ " și distanța " ρ " față de centrul ferestrei circulare. "Potrivirea" se traduce prin minimizarea erorii medii pătratice:

$$e^2 = \iint_{x,y \in C} [f(x,y) - s(x,y,b,h,\rho,\theta)]^2 dx dy \quad (34)$$

sau pentru cazul discret:

$$e^2 = \sum_{x,y \in C} [f(x,y) - s(x,y,b,h,\rho,\theta)]^2 dx dy \quad (35)$$

din minimizarea căreia ar urma să se deducă elementele necunoscute b, h, ρ, θ .

Hueckel în [52] propune descompunerea lui $f(x,y)$ și respectiv $s(x,y,b,h,\rho,\theta)$ într-o serie folosind drept bază funcțiile ortogonale din setul următor:

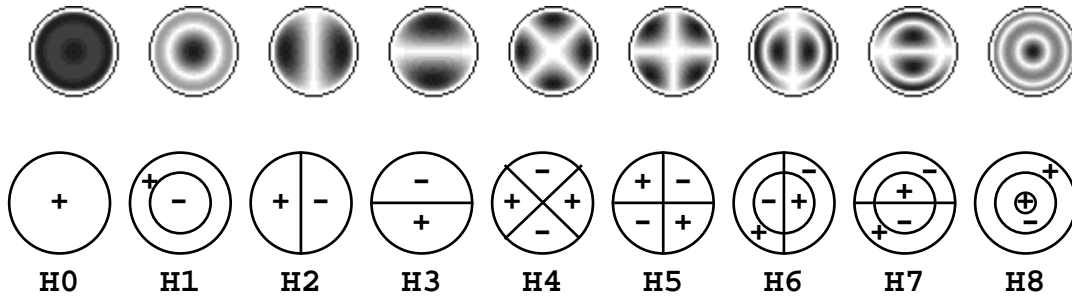


Fig. 5. Setul de funcții ortogonale Hueckel.

Coefficienții acestei descompuneri sunt:

$$F_i = \iint_{x,y \in C} f(x,y) H_i(x,y) dx dy \quad (36)$$

$$S_i = \iint_{x,y \in C} s(x,y) H_i(x,y) dx dy \quad (37)$$

și ca urmare minimizarea erorii medii pătratice este echivalentă cu minimizarea lui:

$$E^2 = \sum_i (F_i - S_i)^2 \quad (38)$$

4.3. Metode statistice de detecție a muchiiilor.

4.3.1. Clasificarea statistică a pixelilor.

Fie P_M probabilitatea apriorică ca un pixel oarecare al imaginii să aparțină unei muchii, iar $P_U = 1 - P_M$ probabilitatea ca un pixel al imaginii să nu fie pixel de muchie, deci să aparțină unei zone relativ uniforme.

Vom nota $p_M [G(x,y)] = p(G(x,y)/(x,y) \in M)$ probabilitatea ca un pixel având gradientul $G(x,y)$ să fie pixel de muchie, iar cu $p_U [G(x,y)] = p(G(x,y)/(x,y) \notin M)$ probabilitatea ca un pixel având gradientul $G(x,y)$ să nu fie pixel de muchie. Ele au semnificația unor densități de probabilitate.

Atunci $P_M p_M [G(x,y)]$ este probabilitatea ca un pixel oarecare al imaginii să aparțină unei muchii, iar $P_U p_U [G(x,y)]$ este probabilitatea ca același pixel să nu aparțină unei muchii.

Probabilitatea globală de clasificare eronată a pixelilor din imagine este:

$$P_E = \int_0^T P_M p_M(G) dG + \int_T^{+\infty} P_U p_U(G) dG \quad (39)$$

Alegând pragul astfel încât probabilitatea globală de eroare să fie minimă rezultă (Rosenfeld[94]):

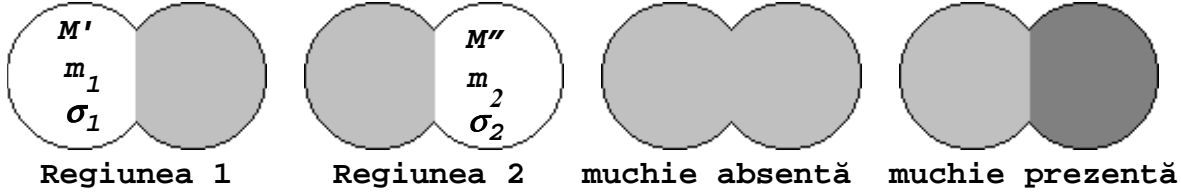
$$P_M p_M(T) = P_U p_U(T) \quad (40)$$

Abdou și Pratt [01] au determinat valorile T , P_M și P_U pentru diferiți gradienti și în prezența zgomotelor având diferite caracteristici.

4.3.2. Metode regionale de clasificare statistică.

O primă metodă a fost propusă de Yakimovski în [113] și constă în verificarea unor ipoteze statistice la nivel regional.

Fie două regiuni adiacente, de formă oarecare. Din studiul caracteristicilor lor statistice, se ia decizia că ele aparțin unei aceeași regiuni relativ uniforme sau există o muchie la granița dintre ele.



Reuniunea celor două regiuni are M pixeli și este caracterizată de o medie și o dispersie date de:

$$m = \frac{1}{M} \sum_{i=1}^M f(x_i, y_i) \quad \sigma^2 = \frac{1}{M} \sum_{i=1}^M [f(x_i, y_i) - m]^2 \quad (41)$$

Fiecare regiune în parte (având M' și respectiv M'' pixeli) este caracterizată de mediile:

$$m_1 = \frac{1}{M'} \sum_{i=1}^{M'} f(x_i^{(1)}, y_i^{(1)}) \quad m_2 = \frac{1}{M''} \sum_{i=1}^{M''} f(x_i^{(2)}, y_i^{(2)}) \quad (42)$$

și de dispersiile:

$$\sigma_1^2 = \frac{1}{M'} \sum_{i=1}^{M'} [f(x_i^{(1)}, y_i^{(1)}) - m_1]^2 \quad \sigma_2^2 = \frac{1}{M''} \sum_{i=1}^{M''} [f(x_i^{(2)}, y_i^{(2)}) - m_2]^2 \quad (43)$$

În ipoteza unei distribuții normale a nivelelor de gri în interiorul regiunilor, regula de decizie care se obține este:

$$\begin{cases} \sigma_1^{M'} \sigma_2^{M''} > \sigma^M \Rightarrow \text{o singură regiune (muchie absentă)} \\ \sigma_1^{M'} \sigma_2^{M''} \leq \sigma^M \Rightarrow \text{regiuni distincte (muchie prezentă)} \end{cases} \quad (44)$$

ceea ce constituie și regula de segmentare.

4.3.3. Tehnici relaxaționale.

Relaxarea este o metodă iterativă care permite gruparea pe baze probabilistice a unui număr de obiecte în clase (Rogers[93]). Clasificarea este îmbunătățită în fiecare pas prin verificarea unor ipoteze de compatibilitate relative la rezultatele obținute în pasul anterior.

Fie (A_1, \dots, A_S) un set de obiecte care trebuie clasificate probabilistic într-un număr de C clase $(\omega_1, \dots, \omega_C)$. Obiectele pot fi muchii, linii, curbe, regiuni, etc., în cazul prelucrării de imagini.

Fiecare obiect A_j are un set de vecini $\{A_j\}$. Vom atașa fiecărui obiect un vector (P_{j1}, \dots, P_{jC}) , astfel încât P_{jk} să fie probabilitatea ca obiectul A_j să aparțină clasei ω_k . Valoarea inițială a acestor probabilități poate fi obținută prin metode convenționale (o estimare a modulului gradientului pentru cazul detecției de muchii).

Pentru fiecare pereche de obiecte (A_i, A_j) și pentru fiecare pereche de clase (ω_m, ω_n) trebuie definită o **măsură a compatibilității** afirmațiilor (ipotezelor):

$$\begin{cases} \text{obiectul } A_i \text{ inclus în clasa } \omega_m \\ \text{obiectul } A_j \text{ inclus în clasa } \omega_n \end{cases} \quad (45)$$

Această funcție de compatibilitate, notată $r(A_i, \omega_m; A_j, \omega_n)$, ia valori în domeniul $[-1, +1]$ și trebuie să respecte următoarele condiții:

$$\begin{cases} r(A_i, \omega_m; A_j, \omega_n) = -1 \Rightarrow \text{ipoteze total incompatibile} \\ r(A_i, \omega_m; A_j, \omega_n) = 0 \Rightarrow \text{ipoteze irelevante} \\ r(A_i, \omega_m; A_j, \omega_n) = +1 \Rightarrow \text{ipoteze perfect compatibile} \end{cases} \quad (46)$$

Funcția de compatibilitate va fi folosită, alături de probabilitățile atașate obiectelor vecine, pentru ajustarea probabilităților corespunzătoare obiectului curent.

Folosind notațiile:

P_{im} - probabilitatea ca obiectul A_i să aparțină clasei ω_m ;

P_{jn} - probabilitatea ca obiectul A_j să aparțină clasei ω_n ;

regulile de ajustare a probabilităților pot fi scrise explicit astfel:

1. Dacă P_{im} este **mare** și $r(A_i, \omega_m; A_j, \omega_n)$ este apropiat de "+1", atunci P_{jn} **trebuie mărit**.

2. Dacă P_{im} este **mic** și $r(A_i, \omega_m; A_j, \omega_n)$ este apropiat de "-1", atunci P_{jn} **trebuie micșorat**.

3. Dacă P_{im} este **mic** și $r(A_i, \omega_m; A_j, \omega_n)$ este apropiat de "0", atunci P_{jn} **nu trebuie modificat semnificativ**.

Aceste reguli pot fi sintetizate prin ajustarea (aditivă) a probabilităților P_{jn} proporțional cu:

$$P_{im} r(A_i, \omega_m; A_j, \omega_n)$$

Dar ajustarea efectivă a probabilității P_{jn} corespunzătoare unui obiect se face ținând cont de toate ipotezele posibile pentru P_{im} , adică toți vecinii obiectului curent A_j și toate clasele la care acești vecini pot aparține. Deoarece se dorește cel mai adesea o ajustare multiplicativă ajustarea se va face prin:

$$P_{jn}(t+1) = P_{jn}(t) \left[I + \sum_{i \neq j} w_i \sum_{m=1, m \neq n}^C P_{im} r(A_i, \omega_m; A_j, \omega_n) \right] \quad (47)$$

Mai rămâne de eliminat un singur neajuns care derivă din relația $\sum_{n=1}^C P_{jn} = I$, care trebuie îndeplinită necondiționat. Ca urmare este necesară o renormalizare a lui P_{jn} după fiecare ajustare. În concluzie avem:

$$P_{jn}(t+1) = P_{jn}(t) \left[I + \frac{Q_{jn}(t)}{\sum_{n=1}^C [I + Q_{jn}(t)]} \right], \quad (48)$$

unde:

$$Q_{jn}(t) = \sum_{i \neq j} w_i \sum_{m=1, m \neq n}^C P_{im} r(A_i, \omega_m; A_j, \omega_n) \quad (49)$$

În cazul practic al detecției de muchii, obiectele (A_1, \dots, A_S) care trebuie clasificate sunt pixelii dintr-o imagine și există doar două clase:

$$\begin{cases} C_1 \Leftrightarrow \text{muchie prezentă} \\ C_2 \Leftrightarrow \text{muchie absentă} \end{cases} \quad (50)$$

Pentru început, probabilitățile P_i atașate fiecărui pixel ($P_{i2} = I - P_{i1} = I - P_i$) se setează la o valoare proporțională cu amplitudinea furnizată de un gradient clasic:

$$P_i(0) = \frac{g(x,y)}{\max_{x,y} g(x,y)} \quad (51)$$

Prin aceleași metode clasice se estimează de asemenea unghiul care dă direcția muchiei în punctul (pixelul) respectiv.

Probabilitățile P_i se ajustează funcție de probabilitățile P_j ale vecinilor și direcțiile θ ale gradientilor atașați lor, pe baza funcțiilor de compatibilitate, care se definesc astfel:

$$\begin{cases} r [g(x,y), \text{muchie}; g(x',y'), \text{muchie}] = \cos(\alpha - \gamma) \cos(\beta - \gamma) / 2^D \\ r [g(x,y), \text{muchie}; g(x',y'), \overline{\text{muchie}}] = \min [0, -\cos(2\alpha - 2\gamma) / 2^D] \\ r [g(x,y), \overline{\text{muchie}}; g(x',y'), \text{muchie}] = [1 - \cos(2\beta - 2\gamma)] / 2^{D+1} \\ r [g(x,y), \text{muchie}; g(x',y'), \overline{\text{muchie}}] = 1 / 2^D \end{cases} \quad (52)$$

unde:

$$D = \max(|x - x'|, |y - y'|);$$

α - panta muchiei în punctul de coordonate (x, y) ;

β - panta muchiei în punctul de coordonate (x', y')

γ - panta segmentului care unește punctele (x, y) și (x', y') .

Convergența procesului de relaxare a fost demonstrată de Zucker (doar condiții suficiente).

O variantă mai complexă (Canny[29]) presupune existența a $C+2$ clase, C clase corespunzătoare muchiilor având " C " orientări, plus cele două clase definite anterior.

4.4. Detectia muchiilor tridimensionale.

Detectia muchiilor tridimensionale se folosește, de exemplu, în cazul imaginilor tridimensionale tomografice. Prin "reconstrucție 2D" se obțin imagini bidimensionale din "proiecțiile 1D" (realizate prin metode specifice tomografiei) ale corpului studiat. Prin "reconstrucție 3D" se obțin din mai multe "proiecții 2D" reprezentări tridimensionale ale corpului.

Măsurători asupra reprezentărilor tridimensionale ale corpurilor pot avea drept punct de plecare extragerea muchiilor tridimensionale. Pentru corpuri, evident, se lucrează cu o generalizare a muchiilor, devenite suprafețe, iar nivelul de gri înseamnă, de obicei, densitate locală sau, în cazul tomografiei, factor de absorbție a razei incidente.

Toate informațiile privind variațiile locale de densitate sunt conținute în vectorul gradient:

$$\vec{G}(x,y,z) = \frac{\partial f(x,y,z)}{\partial x} \vec{i} + \frac{\partial f(x,y,z)}{\partial y} \vec{j} + \frac{\partial f(x,y,z)}{\partial z} \vec{k} \quad (53)$$

Analog cazului bidimensional, se demonstrează că modulul gradientului, fiind izotrop, poate fi folosit drept detector de muchii tridimensionale. Pentru cazul discret se construiesc aproximații ale modulului acestui gradient care, fără a mai fi izotrope, au avantajul unui volum redus de calcule.

4.5. Alte metode de detecție a muchiilor.

O multitudine de noi algoritmi de detecție a muchiilor au fost propuși de diferiți autori. O mare parte din acești algoritmi au la bază construcția unor modele dedicate unor aplicații concrete.

Astfel Azzopardi în [07] utilizează o interesantă metodă de detecție a conturilor celulelor componente ale unor mușchi scheletali, metodă bazată pe localizarea nucleelor acestor

celule, deci, din punct de vedere geometric, a centrelor lor. Pe direcții radiale față de pozițiile acestor nuclee se efectuează o detecție de muchii unidimensionale, estimarea finală a conturului celulelor făcându-se prin interpolarea rezultatelor obținute în pasul precedent. Metoda poate fi ușor generalizată nu numai pentru alte tipuri de celule, ci și în metalografie, pentru analiza componentelor unor aliaje.

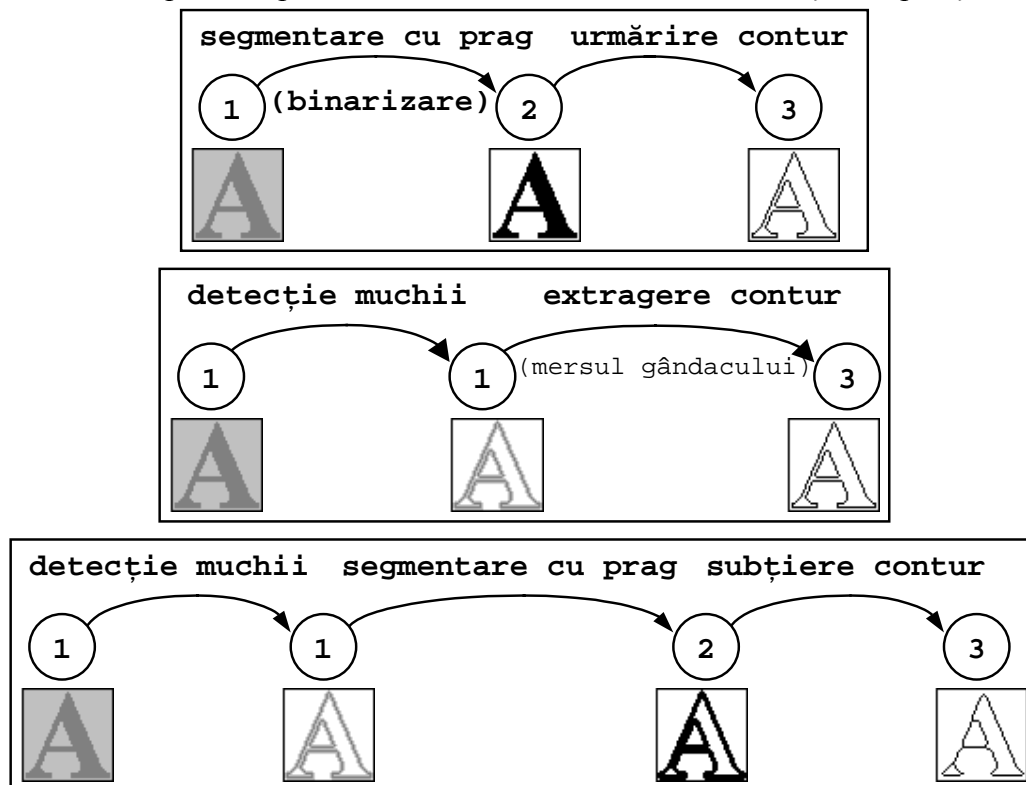
Alte metode de detecție de muchii se referă la determinarea conturilor unor *distribuții* de elemente de structură. Putând fi interpretată și ca o metodă de segmentare, metoda propusă de H. Tagachi [106] generează conturile limită ale unor distribuții (grupări, clusteri) de date, în cazul general, pe baza unor reguli adaptive.

Utilizarea unor cunoștințe apriorice privind proprietățile, poziția sau orientarea muchiilor permit construirea unor detectori de muchii specializați, cu performanțe deosebite (Persoon[81]). Aceste cunoștințe apriorice pot fi încorporate, de exemplu, în algoritmul de detecție a muchiilor folosind relaxarea, rezultând un set de variante dedicate ale acestui algoritm (Canny[29]).

4.6. Algoritmi de extragere a conturilor.

Diferența între detecție de muchii și extragere de contur este, cel mai adesea, esențială. În general, un detector de muchii furnizează la ieșire tot o imagine în scară de gri, pe când un extractor de contur furnizează la ieșire o imagine binară, conținând linii cu grosimea de un pixel în pozițiile în care se estimează prezența unei muchii sau granița între două regiuni diferite.

Detectorii spațiali de muchii descriși în capitolul (4) realizează extragerea de contur dacă sunt urmați de alte operații care să asigure obținerea imaginii binare conținând linii cu grosimea de un pixel. De exemplu, s-ar putea folosi una din următoarele combinații de operații:



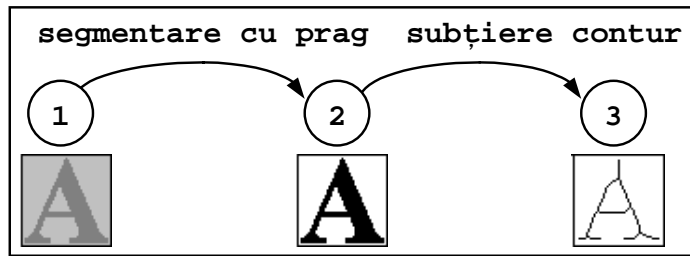


Fig. 5. Algoritmi de extragere a conturilor.

Evident, există o multitudine de alți algoritmi de extragere de muchii. Un algoritm de extragere a conturilor din imagini binare a fost deja menționat în capitolul 3., el având la bază operatorii morfologici de erodare și/sau dilatare cu diferite șabloane.

4.6.1. Algoritmi de urmărire de contur.

Un prim algoritm ce va fi descris pe scurt în continuare (Hegron[48]) este denumit și "mersul orbului". Plecând de la o imagine binară se urmărește selecția pixelilor aparținând conturului.

1. Se alege un sens de parcurgere a conturului.
2. Se localizează un prim pixel al obiectului, de obicei prin baleiaj linie cu linie sau coloană cu coloană. Acest pixel se marchează ca fiind pixelul de start. El devine pixelul curent.
3. Se baleiază vecinii pixelului curent, în sensul de parcurgere ales, plecând de la precedentul pixel curent, până la găsirea unui nou pixel obiect, care se marchează și devine pixel curent.
4. Se repetă pasul 3 până la închiderea conturului, adică până când pixelul de start devine iar pixel curent.
5. Dacă se dorește localizarea altor obiecte în imagine, se reia algoritmul cu pasul 2, pentru găsirea altor obiecte..

Dacă există în imagine mai multe obiecte de localizat, pixelul de start de obține căutând perechi de pixeli de forma:



baleiaj linie cu linie, de la stânga la dreapta;



baleiaj linie cu linie, de la dreapta la stânga;



baleiaj coloană cu coloană, de sus în jos;



baleiaj coloană cu coloană, de jos în sus.

unde cu gri s-au marcat pixelii obiect, iar cu alb cei de fond.

Funcționarea acestui algoritm pentru cazul a două imagini simple este ilustrată în figurile următoare:

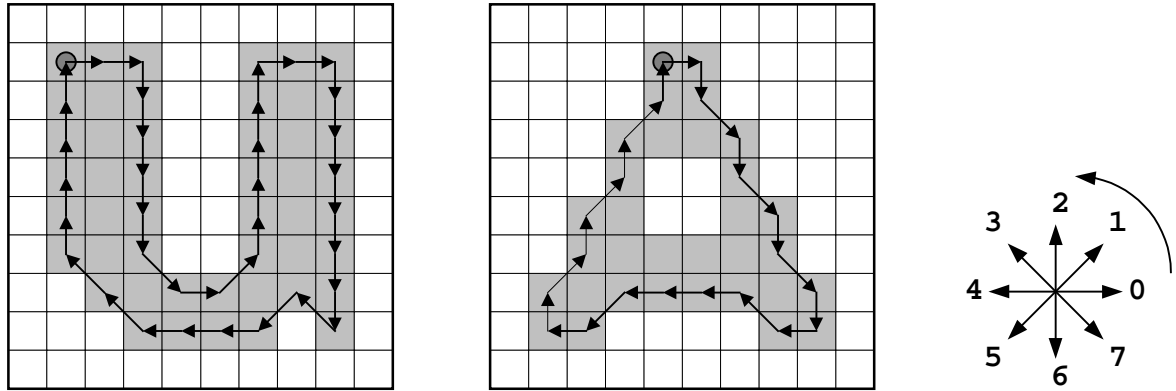


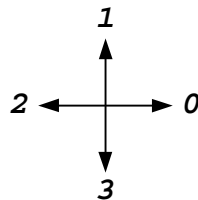
Fig. 6. Exemple de aplicare a algoritmilor de urmărire de contur.

Un alt algoritm de urmărire de contur, descris în (Pop[83]), utilizează pentru căutare o fereastră mobilă cu dimensiunile 2x2, căreia i se atașează așa-numitul **cod "C"**, astfel:

p	q
r	s

$$C = 8s + 4r + 2q + p$$

Se definesc direcțiile de deplasare elementară a ferestrei:



Pașii acestui algoritm sunt următorii:

1. Se alege un tip de conectivitate (contur tetra-conectat sau octo-conectat) și un sens de parcurgere a conturului.
2. Se determină un prim punct al conturului, de obicei prin baleiaj linie cu linie sau coloană cu coloană. Acesta este marcat drept pixel de start și se încadrează într-o fereastră pătratică 2x2.
3. Se calculează codul "C" corespunzător ferestrei curente și se extrage din tablele următoare, funcție de tipul de conectivitate și sensul de parcurs alese, direcția de deplasare elementară a ferestrei.
4. Se repetă pasul 3 până când pixelul de start reintră în fereastră.
5. Pentru extragerea conturului altor obiecte din imagine, se reia algoritmul cu pasul 2.

Conturul tetra-conectat al obiectului conține toți pixelii care au intrat la un moment dat în fereastra de căutare, mai puțin pixelii marcați cu "o" din cazurile (tabelele) (A), (B), (C), (D).

Conturul octoconectat al obiectului conține toți pixelii care au intrat la un moment dat în fereastra de căutare, mai puțin pixelii marcați cu "X" din cazurile (7), (11), (13), (14).

Tabelul principal

Model	Cod "C"		Direcție deplasare		Model	Cod "C"		Direcție deplasare	
	zec	hexa	orar	trig		zec	hexa	orar	trig
	0	0000	--	--		8	1000	0	3
	1	0001	1	0		9	1001	1	3
	2	0010	2	1		10	1010	(C)	(D)
	3	0011	2	0		11	1011	2	3
	4	0100	3	2		12	1100	0	2
	5	0101	(A)	(B)		13	1101	1	2
	6	0110	3	1		14	1110	0	1
	7	0111	3	0		15	1111	--	--

Tabelul (A)

Direcția anterioară	Noua direcție			
	tetra-conectat		octo-conectat	
	model	direcție	model	direcție
0		3		1
2		1		3

Tabelul (B)

Direcția anterioară	Noua direcție			
	tetra-conectat		octo-conectat	
	model	direcție	model	direcție
1		2		0
3		0		2

Tabelul (C)

Direcția anterioară	Noua direcție			
	tetra-conectat		octo-conectat	
	model	direcție	model	direcție
1		0		2
3		2		0

În literatură sunt descriși o multitudine de alți algoritmi de urmărire de contur. Mulți dintre ei se bazează pe parcurgerea secvențială a liniilor matricii de imagine (Hegron[48]), ca în desenul următor:

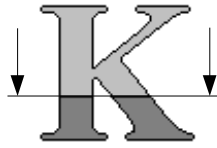


Fig. 7. Parcurgerea secvențială a liniilor matricii imagine.

Problemele care trebuie rezolvate la implementarea unor asemenea algoritmi (care se mai folosesc și la umplerea conturilor), țin de punctele critice ale conturului (porțiunile orizontale ale conturului, pixeli terminali, pixeli de ruptură, etc.).

4.6.2. Înlănțuirea elementelor de contur.

Cel mai adesea, conturile obținute prin detecție de muchii cu metodele descrise în capitolul 4., prezintă o serie de defecte: discontinuități, ramificații inutile de lungime mică, muchii dublate, etc. Repararea lor se face cu un set de algoritmi specializați, dintre care o parte sunt descriși în cele ce urmează.

Metode euristice.

Roberts [91] propune o metodă euristică de înlănțuire a muchiilor (elemente de contur) care are la bază examinarea blocurilor de pixeli 4x4. În prima fază sunt reținuți drept "candidați" acei pixeli pentru care modulul gradientului depășește un anumit prag. Apoi prin "potrivire" (matching) liniile cu lungimea de patru unități, având cele opt orientări de bază sunt căutate în imaginea gradient. Dacă raportul între cel mai bun scor de similitudine și cel mai slab depășește un al doilea prag, șirul de pixeli de muchie este considerat drept o linie validă.

Dacă două asemenea linii se găsesc în blocuri adiacente și diferența direcțiilor lor este în gama $(-23^{\circ}, +23^{\circ})$, ele se concatenează. Urmează apoi tratarea unor cazuri de tipul:

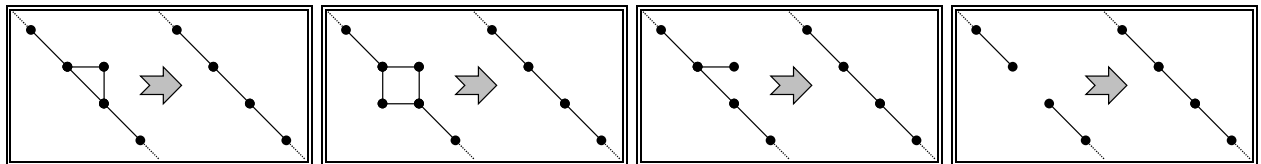
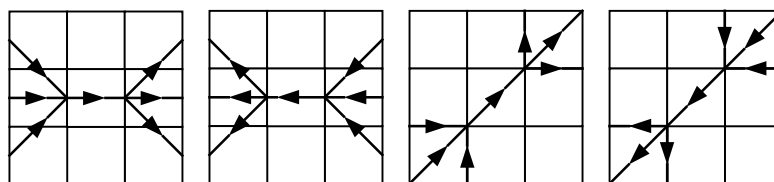


Fig. 8. Înlănțuirea euristică a muchiilor.

adică din triunghiuri se elimina laturile corespunzătoare căii mai lungi, iar dreptunghiurile se înlocuiesc cu diagonala corespunzătoare căii. Ramificațiile de lungime mică se elimină, după care urmează completarea micilor spații apărute în lungul muchiilor detectate.

Această metodă poate fi utilizată pentru o gamă largă de detectori de muchii. Nevatia propune în [75] o metodă similară pentru înlănțuirea muchiilor furnizate de detectorul Hueckel.

Muchiile furnizate de un detector tip "compass" sunt declarate valide dacă vecinii lui au o direcție conformă cu una din situațiile:



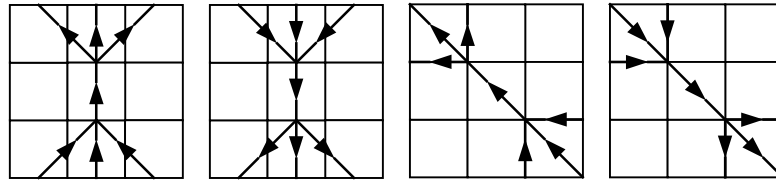


Fig. 9. Înlănțuirea euristică a muchiilor.

Metoda poate fi extinsă la vecinătăți mai mari, dar și numărul de teste necesare se mărește foarte mult.

Parcurea euristică a grafurilor.

Această metodă, datorată lui Martelli [69] pleacă de la premisa că o muchie poate fi văzută ca o cale într-un graf format de ansamblul elementelor de muchie detectate.

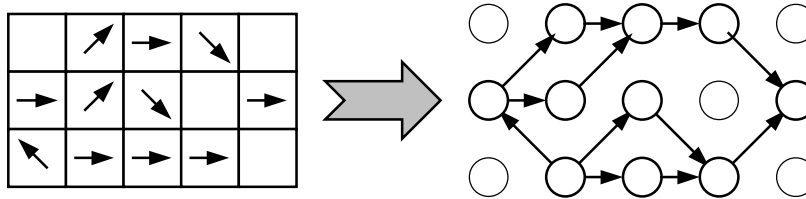


Fig. 10. Parcurea euristică a grafurilor.

Se asociază câte un nod fiecărui pixel care are modulul gradientului semnificativ (peste un anumit prag). Între două noduri există conexiuni (arc) dacă diferența orientărilor gradientelor este în gama $(-90^\circ, +90^\circ)$.

O cale în graf se determină euristic, examinând succesorii fiecărui pixel și calculând pentru fiecare cale posibilă o "funcție de cost". Pentru fiecare nod parcurs se alege varianta care minimizează funcția de cost. Acest algoritm nu furnizează calea optimă între două noduri ale grafului, iar viteza lui depinde de alegerea funcției de cost.

Programarea dinamică.

Folosind programarea dinamică se poate găsi calea optimă între două noduri ale unui graf orientat, adică calea care minimizează funcția de cost (sau, echivalent, maximizează o "funcție de evaluare"). Montanari [73] propune următoarea funcție de evaluare pentru un graf cu N nivele:

$$S(x_1, x_2, \dots, x_N, N) = \sum_{k=1}^N |g(x_k)| - \alpha \sum_{k=2}^N |\theta(x_k) - \theta(x_{k-1})| - \beta \sum_{k=2}^N d(x_k, x_{k-1}) \quad (54)$$

unde: $x_k, k = 1, \dots, N$ este un vector care indică nodurile de muchie de pe nivelul " k " al grafului;

$g(x_k)$ este amplitudinea gradientului pentru nodul $x_k, k = 1, \dots, N$;

$\theta(x_k)$ este orientarea gradientului;

$d(x_k, x_{k-1})$ este distanța între nodurile x_k și x_{k-1} ;

α, β sunt constante pozitive.

Utilizând *principiul optimalității al lui Bellman*, programarea dinamică furnizează o procedură care găsește o cale în graf în condițiile minimizării funcției de evaluare dată anterior.

4.6.3. Reprezentarea conturilor.

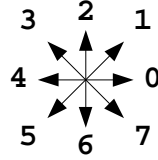
Odată determinat conturul, el poate fi reprezentat fie matriceal, ceea ce necesită însă o mare cantitate de informații, fie sub forma șirului coordonatelor pixelilor care alcătuiesc conturul, fie folosind "codul-lanț" (chain-code). Acesta din urmă presupune reținerea coordonatelor

pixelului de start, alături de șirul direcțiilor care indică pozițiile relative succesive ale pixelilor din contur.

Pentru obiectele din figurile anterioare conținând imaginile caracterelor "u" și "A", codurile lanț corespunzătoare sunt:

$$U : [(x_0, y_0), 0, 0, 6, 6, 6, 6, 6, 7, 0, 1, 2, 2, 2, 2, 2, 0, 0, 6, 6, 6, 6, 6, 6, 3, 5, 4, 4, 4, 3, 3, 2, 2, 2, 2, 2];$$

$$A : [(x_0, y_0), 0, 6, 7, 6, 7, 6, 7, 6, 4, 3, 4, 4, 4, 5, 4, 2, 1, 2, 1, 2, 1, 2].$$



unde direcțiile sunt date de:

Uneori se mai utilizează pentru reprezentarea conturilor "*codul-lanț diferențial*" (differential chain-code) care presupune păstrarea coordonatelor pixelului de start a conturului, a primei direcții absolute și a șirului diferențelor relative între două direcții succesive.

Valorile posibile pentru codul-lanț diferențial sunt: $(0, \pm 1, \pm 2, \pm 3, 4)$.

Avantajul acestei metode devine clar dacă se face observația că, cel mai adesea, între valorile posibile ale acestor diferențe de direcții, probabilitatea cea mai mare de apariție o are valoarea "0":

$$P(0) \geq P(\pm 1) \geq P(\pm 2) \geq P(\pm 3) \geq P(4) \quad (55)$$

Utilizând o codare prin coduri de lungime variabilă, se poate obține o reducere substanțială a volumului de date necesar pentru reprezentarea conturului.

4.7. Detectia liniilor și a spoturilor.

Metodele cele mai simple pentru detectia liniilor au la bază operatori spațiali construiți după principii analoge obținerii măștilor de detecție de muchii și care se folosesc la fel, adică:

$$\tilde{f}(x, y) = \max_m \left\{ \sum_{i=-1}^1 \sum_{j=-1}^1 f(x+i, y+j) \mathbf{H}_m(i, j) \right\} \quad (56)$$

unde \mathbf{H}_m sunt măști (matrici 3x3) pentru detectia liniilor având diferite orientări. Se poate folosi setul de măști:

$$\mathbf{H}_1 = \begin{bmatrix} -1 & 2 & -1 \\ -1 & 2 & -1 \\ -1 & 2 & -1 \end{bmatrix} \quad \mathbf{H}_2 = \begin{bmatrix} -1 & -1 & -1 \\ 2 & 2 & 2 \\ -1 & -1 & -1 \end{bmatrix} \quad \mathbf{H}_3 = \begin{bmatrix} -1 & -1 & 2 \\ -1 & 2 & -1 \\ 2 & -1 & -1 \end{bmatrix} \quad \mathbf{H}_4 = \begin{bmatrix} 2 & -1 & -1 \\ -1 & 2 & -1 \\ -1 & -1 & 2 \end{bmatrix} \quad (57)$$

sau măștile cu valori ponderate:

$$\mathbf{H}'_1 = \begin{bmatrix} -1 & 2 & -1 \\ -2 & 4 & -2 \\ -1 & 2 & -1 \end{bmatrix} \quad \mathbf{H}'_2 = \begin{bmatrix} -1 & -2 & -1 \\ 2 & 4 & 2 \\ -1 & -2 & -1 \end{bmatrix} \quad \mathbf{H}'_3 = \begin{bmatrix} -2 & -1 & 2 \\ -1 & 4 & -1 \\ 2 & -1 & -2 \end{bmatrix} \quad \mathbf{H}'_4 = \begin{bmatrix} 2 & -1 & -2 \\ -1 & 4 & -1 \\ -2 & -1 & 2 \end{bmatrix} \quad (58)$$

Pentru detectia spoturilor, Prewitt [87] propune folosirea următoarei măști de răspuns la impuls:

$$\mathbf{S} = \frac{1}{8} \begin{bmatrix} 1 & -2 & 1 \\ -2 & 4 & -2 \\ 1 & -2 & 1 \end{bmatrix} \quad (59)$$

Problema se mai poate aborda utilizând măști de dimensiuni mai mari sau tehnici de "potrivire" (image/template matching).

4.8. Detalii de implementare.

Observațiile din finalul capitolului precedent referitoare la implementarea filtrelor spațiale de îmbunătățire a imaginilor se aplică direct și filtrelor spațiale folosite pentru detecția de muchii, linii și spoturi.

Aplicația PROImage, prezentată în capitolul 21 include, printre altele, și implementări ale câtorva filtre de detecție a muchiiilor descrise în acest capitol. Pentru informații suplimentare se poate studia codul sursă din fișierul “**fil.pas**”.

Algoritmii de urmărire de contur sunt foarte des utilizați în prelucrarea de imagini. O implementare a algoritmului de urmărire de contur denumit și “mersul orbului”, este descrisă în continuare. Fie o imagine binară (matrice $M \times N$) care conține un număr de obiecte albe pe fond negru ($negru=0$, $alb=255$). Se baleiază pentru început imaginea, de la stânga la dreapta și de sus în jos, în căutarea primului pixel obiect. În xs, ys se păstrează coordonatele pixelului de start al conturului fiecărui obiect din imagine.

```
// caută primul obiect din imagine
for (i=0; i<M-1; i++)
  for (j=0; j<N-1; j++)
    if (Img[j][i] == 1) {
      // pixelul de start al primului obiect
      xs = i;
      ys = j;
      break;
    }
}
```

În continuare, coordonatele găsite ale punctului de start al conturului sunt trecute funcției de urmărire a conturului unui singur obiect:

```
// direcții relative de căutare
int nXDir[8] = {1, 1, 0, -1, -1, -1, 0, 1};
int nYDir[8] = {0, 1, 1, 1, 0, -1, -1, -1};
////////////////////////////////////
// Funcția TrackContour() returnează
// FALSE pentru pixeli izolați și contururile interioare
// TRUE pentru contururile exterioare
BOOL CProcessImage::TrackContour(int xs, int ys, CRect* rect)
{
  int i, j, v, n
  int dir=6; // direcția inițială de cautare
  long Area = 0; // aria inclusă în contur
  BOOL bExit = FALSE;
  rect->SetRect(M-1, N-1, 0, 0); // setează dreptunghiul de încadrare
  inițial
  i = xs, j = ys;
  do {
    n=0;
    do { // verifică vecinii octoconectați ai pixelului curent
      dir = (++dir) % 8;
      v = Img[j+nYDir[dir]][i+nXDir[dir]];
      // testul de pixel izolat
      if (++n == 8) {
        Img[j][i] = 2; // marchează pixelul izolat
        return FALSE;
      }
    }
  } while(v == 0);
  switch (dir) { // incrementează aria obiectului
    case 0: Area += -j - j; break;
    case 1: Area += -j - j - 1; break;
    case 2: Area += 0; break;
    case 3: Area += j + j + 1; break;
    case 4: Area += j + j; break;
```

```

    case 5: Area += j + j - 1; break;
    case 6: Area += 0; break;
    case 7: Area += -j - j + 1; break;
}
i += nXDir[dir]; // află noul pixel curent
j += nYDir[dir];
dir = (dir + 5) % 8; // află noua direcție de căutare
// actualizează dreptunghiul de incadrare
if (i < rect->left) rect->left = i;
if (i > rect->right) rect->right = i;
if (j < rect->top) rect->top = j;
if (j > rect->bottom) rect->bottom = j;
Img[j][i] = 2; // marchează pixelul izolat
if (i == xs && j == ys) {
    dir--;
    do { // verifică dacă (xs, ys) este un pixel de ruptură
        dir = (++dir) % 8;
        v = Img[j + nYDir[dir]][i + nXDir[dir]];
    } while(v == 0);
    if (v == 2)
        bExit = TRUE; // nu există alte ramificații
    else
        dir--; // (xs,ys) este pixel de ruptură
}
} while(bExit == FALSE);
return (Area > 0); // Area>0 pentru contururi exterioare
}

```

Următorul pixel de start poate aparține fie unui contur interior al aceluiași obiect, fie conturului exterior al unui alt obiect. El se obține simplu, prin baleierea imaginii de la stânga la dreapta și de sus în jos, plecând de la precedentul pixel de start:

```

// caută următorul pixel de start (alt contur)
i = xs; j = ys;
while (i < M-1) {
    while (j < N-1) {
        if (Img[j][i] == 1 && Img[j-1][i] == 0) {
            xs = i;
            ys = j;
            break;
        }
        j++;
    }
    j = 1; i++;
}
}

```

Odată cu operația de parcurgere a conturilor pot fi efectuate și unele măsurători simple asupra imaginii, cum ar fi calculul ariei și al perimetrului.

5. Prelucrări morfologice ale imaginilor.

- 5.1. Operații cu șabloane.
- 5.2. Algoritmi de subțiere.
- 5.3. Netezirea imaginilor binare.
- 5.4. Operatori morfologici pentru imagini în scară de gri.
- 5.5. Detalii de implementare.

5.1. Operațiile cu șabloane fac parte din categoria operatorilor morfologici și permit transformări ale imaginilor binare bazate pe relațiile geometrice de conectivitate ale pixelilor din imagine. Șabloanele sunt vecinătăți atașate pixelului curent. Ele pot avea una din următoarele forme:

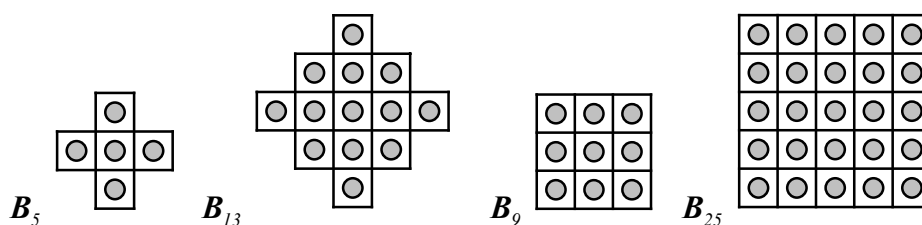


Fig. 1. Exemple de șabloane.

Principalele operații cu șabloane sunt **erodarea**, **dilatarea**, **deschiderea** și **închiderea**.

Erodarea (contractarea, comprimarea) unei imagini se definește ca fiind mulțimea pixelilor aparținând obiectului S care prezintă proprietatea că șablonul atașat lor este inclus în obiectul S :

$$S \ominus B = \{(x,y) \in S / B(x,y) \subset S\}; \quad (1)$$

Dilatarea (expandarea) unei imagini este formată din mulțimea pixelilor obiectului S la care se adaugă acei pixeli din fond al căror șablon intersectează obiectul:

$$S \oplus B = S \cup \{(x,y) \in \bar{S} / B(x,y) \cap S \neq \emptyset\}; \quad (2)$$

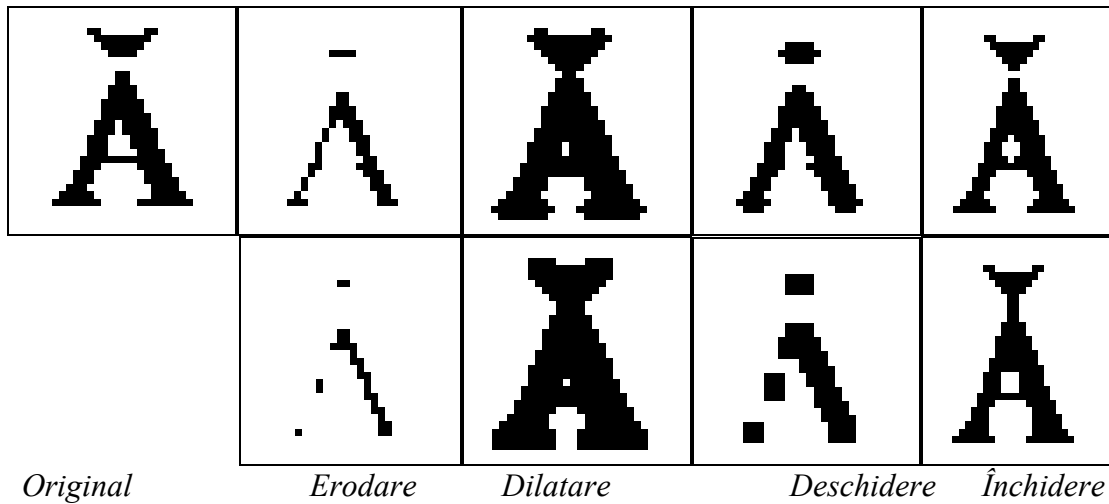
Deschiderea unei imagini este o operație de erodare urmată de o dilatare cu același șablon:

$$S \triangleleft B = (S \ominus B) \oplus B; \quad (3)$$

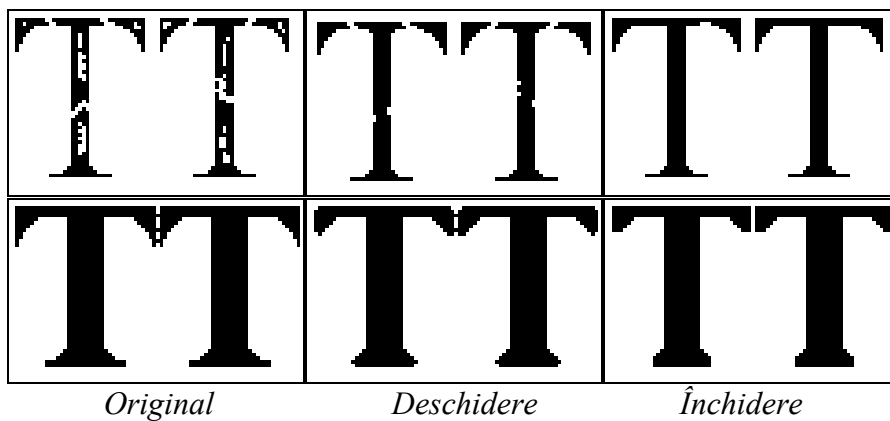
Închiderea unei imagini este obținută printr-o dilatare urmată de o erodare folosind același șablon:

$$S \triangleright B = (S \oplus B) \ominus B \quad (4)$$

Figurile următoare prezintă rezultatele aplicării unor astfel de operatori asupra unei imagini binare, folosind șabloanele B_5 și B_9 .



Operatorii închidere și deschidere se aplică la concatenarea obiectelor fragmentate și respectiv separarea obiectelor atinse. Fără a fi un panaceu, acești operatori se dovedesc a fi utili în multe situații.



5.2. Algoritmi de subțiere.

Subțierea furnizează la ieșire un graf care este rezultatul unor erodări succesive ale imaginii, erodări făcute în condiția nemodificării topologiei imaginii.

Algoritmii de subțiere au la bază un set de reguli:

1. Se elimină doar pixeli aflați pe conturul obiectelor.
2. Pixelii terminali (care au un singur vecin octoconectat) nu se elimină.
3. Pixelii izolați nu se elimină (pentru că s-ar modifica topologia imaginii).
4. Pixelii de **ruptură** nu se elimină.

Uneori, regula 3 nu se aplică pentru iterațiile inițiale în scopul eliminării pixelilor izolați a căror apariție este datorată zgomotului.

Pixelii de ruptură sunt acei pixeli (diferiți de pixelii izolați și de cei terminali) a căror eliminare modifică topologia imaginii. Există șase cazuri de pixeli de ruptură, care rezultă din figurile următoare:

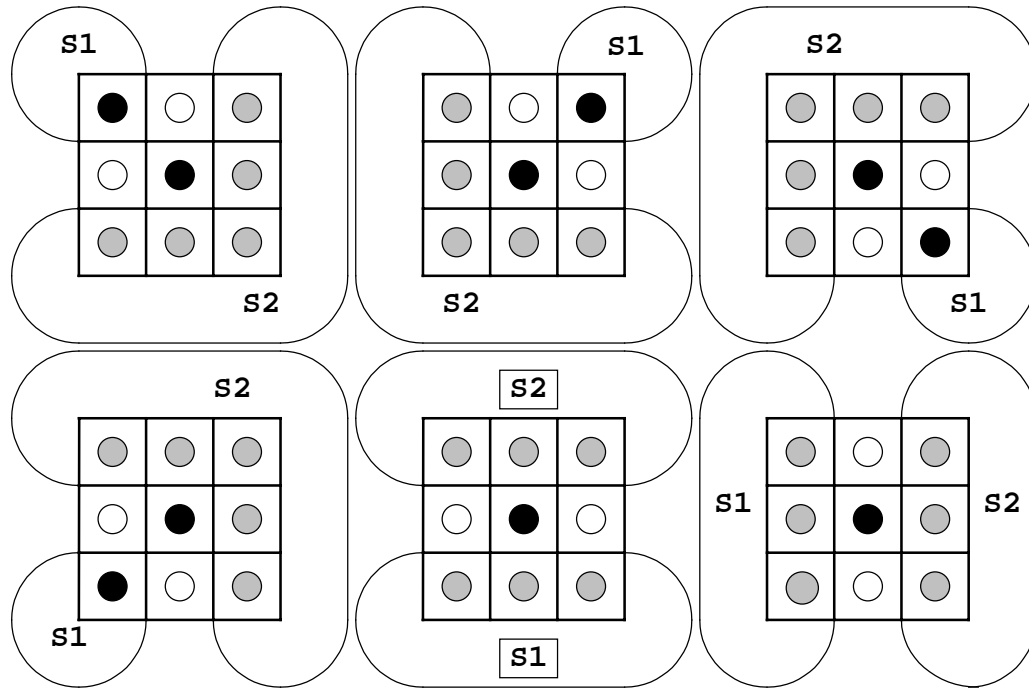


Fig. 2. Pixeli de ruptură.

- unde: ● - pixel obiect (negru);
 ○ - pixel de fond (alb);
 ● - cel puțin un pixel din submulțimea marcată este pixel obiect (negru).

Se remarcă faptul că vecinii octoconectați ai unui pixel de ruptură formează cel puțin două submulțimi distincte.

Notând $\{v_0, v_1, \dots, v_7\}$ vecinii pixelului curent, situațiile de mai sus se pot sintetiza matematic (Davies[33]), (Pop[83]) prin **numărul de treceri** dat de:

$$T(x,y) = \sum_{k=1}^4 b_k \tag{5}$$

unde:

$$b_k = \begin{cases} 1, & \text{pentru } \{v_{2k-1} \in \bar{S}\} \cap \{v_{2k} \in S \cup v_{2k+1} \in S\} \\ 0, & \text{în rest} \end{cases} \tag{6}$$

Există o multitudine de algoritmi de subțiere. Principala dificultate care apare la operația de subțiere este datorată situației următoare:

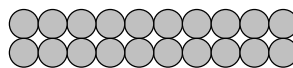
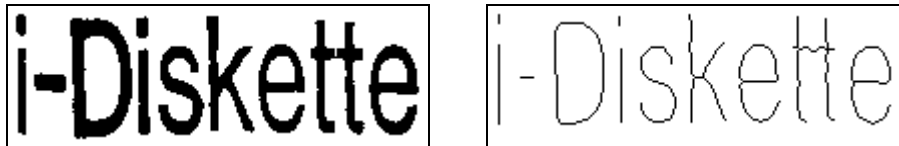


Fig. 3. Caz de dubiu la operația de subțiere.

Conform regulilor anterioare, toți pixelii care aparțin unor linii cu grosimea de doi pixeli vor fi șterși. Se adoptă diferite soluții.

Astfel **algoritmul clasic** (Fainhurst[37]), (Pavlidis[79]) operează (verifică condițiile de ștergere și apoi, eventual, șterge) mai întâi asupra tuturor pixelilor care au vecinul dinspre "nord" aparținând fondului, apoi pentru cei cu vecinul dinspre "vest" aparținând fondului, apoi "sud", apoi "est".



Exemplu de subțiere a unei imagini binare.

Algoritmii asincroni de subțiere încearcă să utilizeze paralelismul evident existent la operațiile de erodare. Principial, s-ar putea utiliza procesoare matriceale care să respecte următoarele restricții:

- să poată modifica doar pixelul aferent;
- să poată "citi" valorile pixelilor din vecinătatea pixelului aferent.

Se utilizează tehnica "marcării" pixelilor, ceea ce presupune lucrul pe imagini cu numărul de nivele (de gri) mai mare ca doi. Abia după parcurgerea întregii imagini, pixelii marcați vor putea fi șterși. Problema liniilor cu grosimea de doi pixeli se păstrează și pentru soluționarea ei se utilizează tot tehnica marcării pixelilor.

Algoritmii rapizi de subțiere încearcă să micșoreze numărul de pași ceruți de algoritmii precedenți prin analiza grosimii locale (de-a lungul câtorva direcții) a obiectelor din imagine pentru găsirea liniei mediane folosind criterii geometrice și nu prin erodări succesive. Parcurgerea obiectelor se face folosind teoria grafurilor.

5.3. Netezirea imaginilor binare.

Acest subiect, abordat și în paragraful 2.4.2., deci în cadrul algoritmilor de îmbunătățire de imagini, se referă la schimbarea valorii unor pixeli dintr-o imagine binară, astfel încât să se îmbunătățească aspectul de "netezime" al conturilor obiectelor, în condițiile păstrării topologiei imaginii.

5.4. Operatorii morfologici pentru imagini în scară de gri.

Operatorii morfologici studiați pentru imagini binare pot fi generalizați, în anumite condiții, pentru imagini în scară de gri. Astfel, pentru imagini în scară de gri conținând obiecte relativ distincte față de fond, la care obiectele și fondul sunt relativ uniforme din punctul de vedere al conținutului de nivele de gri, se pretează la asemenea prelucrări morfologice care au drept rezultat îmbunătățirea calității rezultatului unei segmentări ulterioare.

Alegând B_K , unul din șabloanele definite anterior, operația de **dilatare** (expandare), pentru imagini cu nivele de gri se definește prin:

$$f^{(D)}(x,y) = \max_{i,j \in B_K} [f(x+i,y+j)] \quad (7)$$

iar cea de **comprimare** (compactare, erodare) este dată de:

$$f^{(C)}(x,y) = \min_{i,j \in B_K} [f(x+i,y+j)] \quad (8)$$

Operațiile de **închidere** și respectiv **deschidere** a unei imagini în scară de gri se definesc la fel ca în cazul imaginilor binare.

5.5. Detalii de implementare.

Aplicația PROImage, prezentată în capitolul 21 include, printre altele, și implementările a doi algoritmi de subțiere de contur, precum și operațiile de erodare și dilatare asupra imaginilor binare. (pentru informații suplimentare se poate studia codul sursă din fișierul "thi.pas").

O implementare PASCAL a unui algoritm de subțiere de contur este prezentată în continuare.

```

procedure Thinning();
type
  Conv = array[0..7] of shortint;
const
  xC : Conv = (1,1,0,-1,-1,-1,0,1); // direcții de căutare
  yC : Conv = (0,-1,-1,-1,0,1,1,1);
var
  i,j,x,y,r,s,t : byte;
  k1,k2,k3      : byte;
begin
  r:=0;
  while r=0 do // repetă până când nu mai există pixeli de eliminat
  begin
    r:=1;
    for j:=0 to 3 do // repetă pentru cele 4 direcții principale
    begin
      for x:=1 to M-2 do
        for y:= 1 to N-2 do // baleiază întreaga imagine
        begin
          if (Img^[y,x]=255) and (Img^[y+yC[2*j],x+xC[2*j]]=0) then
          begin
            t:=0;
            for i:=1 to 4 do
            begin // calculează 'numărul de treceri'
              k1:=(2*i-2) mod 8; k1:=Img^[y+yC[k1],x+xC[k1]];
              k2:=(2*i-1) mod 8; k2:=Img^[y+yC[k2],x+xC[k2]];
              k3:=(2*i) mod 8; k3:=Img^[y+yC[k3],x+xC[k3]];
              if (k1=0) and ((k2<>0) or (k3<>0)) then
                Inc(t);
            end;
            if t=1 then // poate fi pixel terminal
            begin
              s:=0;
              for i:=0 to 7 do
                if Img^[y+yC[i],x+xC[i]]<>0 then
                  Inc(s); // calculează numărul de vecini
              if s>1 then
                s:=0; // nu este pixel terminal
            end
            else
              s:=1; // pixel de ruptură
            if s=1 then
              Img^[y,x]:=254; // marchează pixel de ruptură
            else
            begin
              r:=0; // s-au gasit pixeli de șters
              Img^[y,x]:=100; // marchează pixel pentru ștergere
            end;
          end;
        end;
      end;
    end;
  end;
  for x:= 1 to M-2 do
    for y:=1 to N-2 do
      if Img^[y,x]=100 then
        Img^[y,x]:=0; // șterge pixelii marcați
    end;
  end;
end;
end;
end;

```

Numărul de pași ai algoritmului depinde de grosimea obiectului a cărui subțiere se dorește. Pixelii aflați pe conturul obiectului sunt clasificați în trei categorii: pixeli terminali, pixeli de ruptură și pixeli regulari, care pot fi șterși.

6. Segmentarea imaginilor.

- 6.1. Segmentarea cu prag.
 - 6.1.1. Determinarea automată a pragului.
 - 6.1.2. Segmentarea cu prag variabil.
 - 6.1.3. Alte strategii de segmentare cu prag.
- 6.2. Metode regionale de segmentare.
- 6.3. Metode de segmentare/aproximare a curbilor.
 - 6.3.1. Aproximarea prin segmente de dreaptă.
 - 6.3.2. Aproximarea polinomială.
 - 6.3.3. Aproximarea prin funcții spline.
 - 6.3.4. Aproximarea prin funcții Bezier.
 - 6.3.5. Aproximarea prin funcții B-spline.
- 6.4. Segmentarea texturilor.
- 6.5. Detalii de implementare.

6.1. Segmentarea cu prag.

6.1.1. Determinarea automată a pragului.

Segmentarea cu prag poate fi realizată prin stabilirea interactivă sau automată a pragului. Stabilirea automată a pragului are la bază minimizarea probabilistică a erorii de clasificare a pixelilor în pixeli de fond și pixeli obiect.

Notând:

P_1 = Probabilitatea apriori ca un pixel să fie pixel obiect;

P_2 = Probabilitatea apriori ca un pixel să fie pixel de fond;

$p_1(z)$ = densitatea de probabilitate a variabilei aleatoare atașată pixelilor obiect;

$p_2(z)$ = densitatea de probabilitate a variabilei aleatoare atașată pixelilor obiect.

Presupunând o distribuție normală pentru pixelii de fond și cei de obiect, avem:

$$p_1(z) = \frac{1}{\delta\sqrt{2\pi}} \exp \frac{-(z - m_1)^2}{\delta^2} \quad (1)$$

$$p_2(z) = \frac{1}{\delta\sqrt{2\pi}} \exp \frac{-(z - m_2)^2}{\delta^2} \quad (2)$$

Variabilele m_1 , m_2 , δ sunt mediile și respectiv dispersia celor două variabile aleatoare, în ipoteza că, deoarece zgomotul afectează în mod egal toți pixelii din imagine, dispersiile corespunzătoare fondului și obiectelor sunt egale.

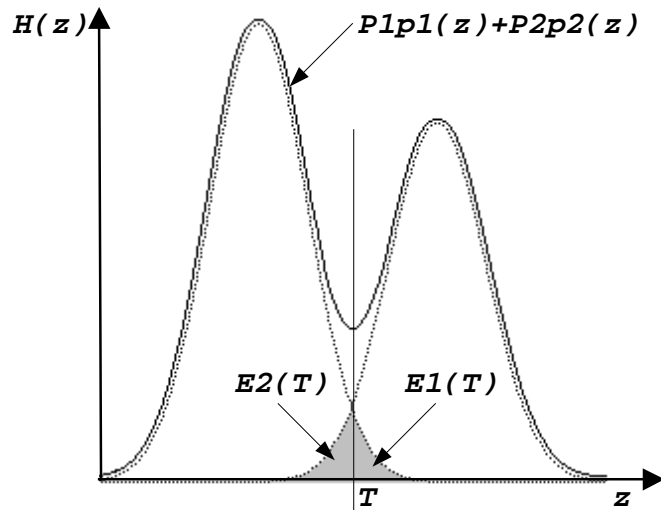


Fig. 1. Principiul determinării automate a pragului de segmentare.

În figura anterioară:

$$E_1(T) = \int_{-\infty}^T P_2 p_2(z) dz \tag{3}$$

$$E_2(T) = \int_T^{+\infty} P_1 p_1(z) dz \tag{4}$$

sunt respectiv eroarea de probabilitate ca un pixel fond să fie clasificat drept pixel obiect (negru), și eroarea de probabilitate ca un pixel obiect să fie clasificat drept pixel fond (alb) prin segmentare.

Eroarea totală de clasificare a pixelilor prin segmentare este:

Minimizarea acestei erori în raport cu T duce la:

$$\frac{dE}{dT} = 0 \Rightarrow T = \frac{m_1 + m_2}{2} + \frac{\delta^2}{m_2 - m_1} \ln \frac{P_2}{P_1} \tag{5}$$

Determinarea valorilor ($m_1, m_2, \delta, P_1/P_2$) necesare în calculul pragului T se poate face grafic, prin măsuratori pe histograma reală, folosind elementele din figura următoare:

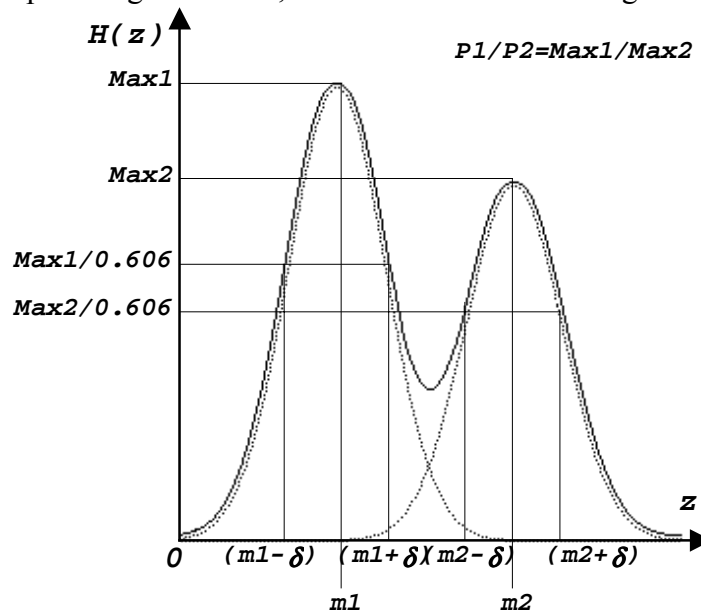


Fig. 2. Determinarea grafică a pragului de segmentare.

Dacă însă pagina scanată conține text cu o densitate mică a caracterelor sau fonturi foarte subțiri, raportul P_1/P_2 devine foarte mic, lobul histogrammei corespunzător caracterelor se diminuează foarte mult și metoda precedentă poate da rezultate nesatisfăcătoare.

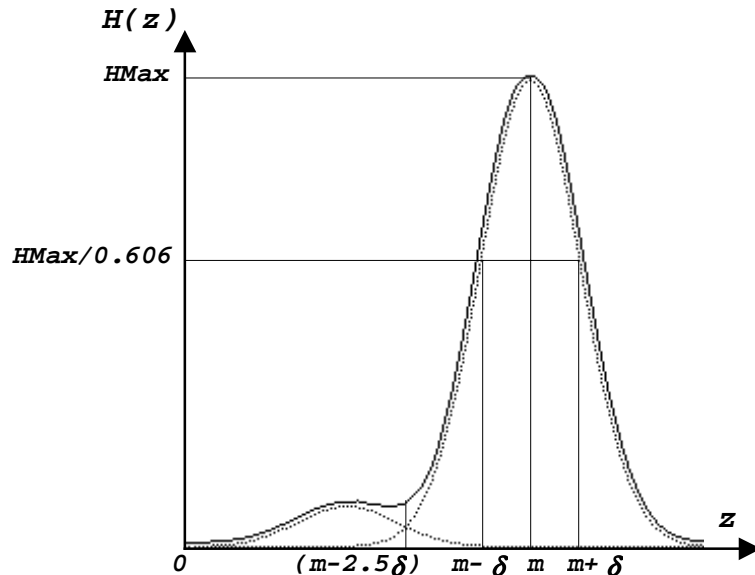


Fig. 3. Determinarea grafică a pragului de segmentare.

Criteriul alegerii pragului T la 2.5δ față de nivelul de gri pentru care se atinge valoarea maximă în histogramă poate rezolva această situație mulțumitor. Rezultate oarecum similare se obțin fixând pragul T astfel încât proporția de pixeli negri și albi să fie cât mai apropiată de o valoare aprioric stabilită (în jur de 90%).

6.1.2. Segmentarea cu prag variabil.

Alegerea unui prag unic pentru întreaga imagine, de multe ori, nu este soluția optimă. Datorită iluminării neuniforme, diferențelor de contrast între diferite zone ale paginii, nuanțelor diferite folosite pentru unele obiecte (caractere, etc.) un prag unic poate furniza rezultate nesatisfăcătoare. Soluția furnizată de Pizer [82] pentru această situație este divizarea imaginii în careuri de dimensiune 32×32 sau 64×64 , suprapuse sau nu, și determinarea pragului de segmentare t_c doar pentru careurile având histogramă bimodală, folosind una din metodele anterioare. Rezultă câte o valoare pentru fiecare careu, valoare care este folosită pentru construcția unei funcții de prag continue, $T(x,y)$, astfel încât:

$$T(x_c, y_c) = t_c \quad (6)$$

unde (x_c, y_c) este centrul careului "c".

În continuare, se execută segmentarea după formula clasică, adică:

$$f(x,y) = \begin{cases} \text{negru, pentru } f(x,y) < t(x,y) \\ \text{alb, pentru } f(x,y) \geq t(x,y) \end{cases} \quad (7)$$

6.1.3. Alte strategii de segmentare cu prag.

a) În loc de a minimiza eroarea de clasificare la determinarea pragului, se poate selecta acel prag de segmentare pentru care se minimizează numărul de adiacențe între pixelii aflați sub și deasupra pragului (Rosenfeld[95]). Evident, soluțiile care uniformizează imaginea se elimină.

b) Dacă se cunoaște aprioric raportul între numărul de pixeli albi și negri din imaginea binară, acesta poate fi ales drept criteriu de determinare a pragului de segmentare (Rosenfeld[95]):

$$K = \int_{-\infty}^T \mathbf{H}(z) dz \bigg/ \int_T^{+\infty} \mathbf{H}(z) dz \quad (\text{cazul continuu}) \quad K = \sum_{z=0}^{T-1} \mathbf{H}(z) \bigg/ \sum_{z=T}^{L-1} \mathbf{H}(z) \quad (\text{cazul discret}) \quad (8)$$

c) Dacă anumite dimensiuni / distanțe care caracterizează obiectele din imagine sunt cunoscute, se poate alege acel prag care fixează respectiva dimensiune la valoarea dorită (Rosenfeld[95]).

6.2. Metode regionale de segmentare. Creșterea regiunilor.

Idea de bază este următoarea: "pixelii vecini având amplitudini apropiate vor fi considerați ca aparținând aceleiași regiuni, deci vor fi grupați împreună".

Brice și Fenema [13] au folosit un algoritm de segmentare prin creșterea regiunilor bazat pe reguli stabilite euristic.

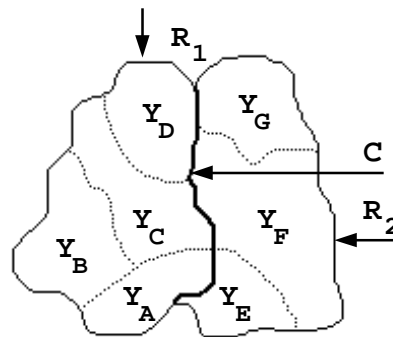


Fig. 4. Principiul creșterii regiunilor.

Se notează cu R_1 și respectiv R_2 cele două regiuni candidate la concatenare, P_1 și respectiv P_2 perimetrele lor, iar C frontiera comună a celor două regiuni. Fie D porțiunea din C pentru care amplitudinea diferenței între nivelele de gri de o parte și de alta a acestei frontiere este mai mică decât un prag ε_1 .

1. În prima fază perechi de pixeli având nivele de gri apropiate sunt grupate împreună pentru a forma așa-numitele regiuni atomice.

2. Regiunile R_1 și R_2 se concatenează dacă:

$$\frac{D}{\min(P_1, P_2)} > \varepsilon_2, \quad (9)$$

ceea ce previne concatenarea regiunilor cu aproximativ aceeași dimensiune, dar permite înglobarea regiunilor mai mici în cele mai mari.

3. Regiunile R_1 și R_2 se concatenează dacă: $\frac{D}{C} > \varepsilon_3$, cu $\varepsilon_3 \approx 0.75$, regulă care tratează

cazul porțiunilor de frontieră rămase după aplicarea primei reguli. Aplicarea doar a acestei reguli tinde să "supra-concateneze" regiunile din imagine.

6.3. Metode de segmentare/aproximare a curbilor.

6.3.1. Aproximarea prin segmente de dreaptă.

Interpolarea curbilor prin segmente de dreaptă este cea mai simplă metodă de segmentare a curbilor. Ea se poate face (Jain[56]) prin aproximări succesive, plecând de la segmentul de dreaptă care unește capetele curbei ce trebuie approximate și care constituie practic o primă

aproximare a curbei. Se caută punctul de pe curbă cel mai depărtat de acest segment și se obține următoarea aproximare a curbei înlocuind segmentul de dreaptă inițial cu cele două segmente ce unesc capetele segmentului de curbă cu punctul găsit. Operația descrisă anterior se repetă succesiv pentru fiecare segment de curbă obținut, până la atingerea preciziei dorite.

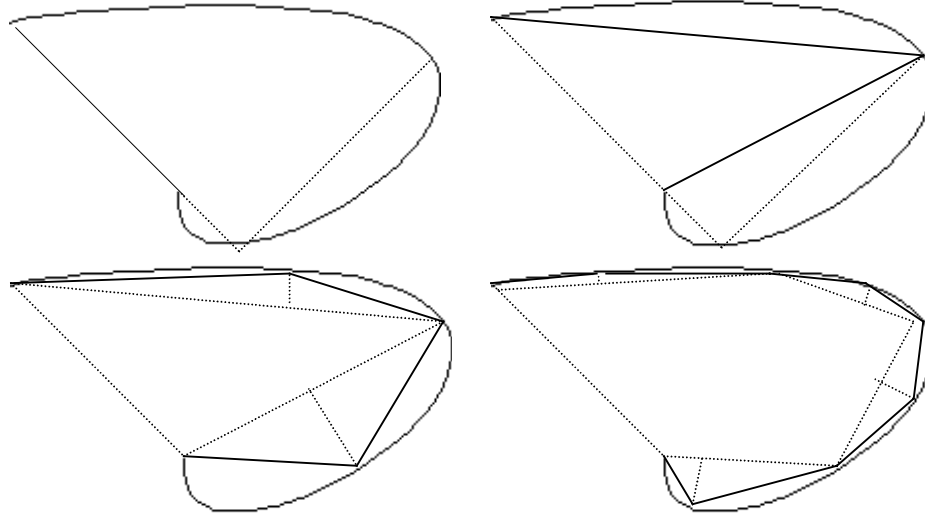


Fig. 5. Aproximarea prin segmente de dreaptă.

6.3.2. Aproximarea polinomială.

Reprezentarea polinomială, foarte des folosită, furnizează ecuația unui polinom care aproximează curba dată. Expresia polinomului de gradul $(n-1)$ care trece prin " n " puncte date, este:

$$P_n(x) = \sum_{i=1}^n y_i \prod_{j \neq i} \frac{(x-x_j)}{(x_i-x_j)} \quad (10)$$

Când numărul de puncte este mare, gradul polinomului crește și el, ca urmare pot apărea oscilații ale curbei aproximante. Eliminarea acestui dezavantaj se face folosind aproximările pe porțiuni, adică pe segmente de curbă. Pentru a obține curbe netede, se impun condiții suplimentare care se referă la continuitatea curbei și a derivatelor sale în punctele de joncțiune. Astfel se obțin curbele spline și curbele Bezier.

6.3.3. Aproximarea prin funcții spline.

Funcțiile spline (Rogers[93]) sunt funcții polinomiale pe subintervale adiacente, care se racordează împreună cu un anumit număr din derivatele sale. Fie $[x(t), y(t)]$ un segment de curbă descris parametric, unde $t_1 \leq t \leq t_2$. El poate fi reprezentat prin funcții spline cubice:

$$S(t) = \sum_{i=1}^4 B_i t^{i-1}, \text{ unde } t_1 \leq t \leq t_2 \quad (11)$$

Constantele B_1, B_2, B_3, B_4 se determină specificând patru condiții, care pot fi pozițiile capetelor segmentului de curbă și orientările curbei în aceste puncte (date prin vectori tangenți la curbă în aceleași puncte). Rezultă o relație de forma:

$$S(t) = S(t_1) + S'(t_1)t + \left\{ \frac{3[S(t_2) - S(t_1)]}{t_2^2} - \frac{2S'(t_1) + S'(t_2)}{t_2} \right\} t^2 + \left\{ \frac{2[S(t_2) - S(t_1)]}{t_2^3} + \frac{S'(t_1) + S'(t_2)}{t_2^2} \right\} t^3 \quad (12)$$

Metoda anterioară se poate extinde pentru cazul a mai multe segmente de curbă. Astfel, pentru cazul a două segmente de curbă trebuiesc determinate opt constante și aceasta se face specificând pozițiile de început și sfârșit ale capetelor celor două segmente (patru condiții),

orientările curbei pentru începutul primului segment și sfârșitul celui de-al doilea (două condiții), la care se adaugă condițiile de egalitate a orientării și curburii în punctul de joncțiune a celor două segmente.

Acest mod de operare se poate extinde ușor pentru un număr mare de segmente de curbă.

Se poate remarca influența amplitudinii vectorilor $S'(t_1)$ și $S'(t_2)$ precum și a gamei de valori a parametrilor "t" pentru fiecare segment asupra alurii curbei obținute. Se utilizează des alegerea gamei de valori a parametrului "t" prin metoda coardei. Curbele spline cubice normalizate se referă la situația în care, pentru fiecare segment de curbă se setează $0 \leq t \leq 1$.

În unele situații se preferă pentru segmentele terminale utilizarea condiției de curbură nulă, adică $S''(t_k) = 0$, iar pentru cazul curbelor închise condițiile din punctele de joncțiune ale segmentelor sunt de același tip pentru toate segmentele.

O altă clasă de funcții spline, utilizate mai ales pentru simplitatea lor, sunt funcțiile spline parabolice (de ordinul doi, cuadractice), care sunt descrise de relații de forma:

$$S(t) = (1-t)p(r) + tq(s) \quad (13)$$

unde t, r, s sunt parametri, iar $p(r)$ și $q(s)$ sunt parabole descrise parametric. Specificarea parabolilor se face analog, prin condiții impuse punctelor de joncțiune între segmentele de curbă.

6.3.4. Aproximarea prin funcții Bezier.

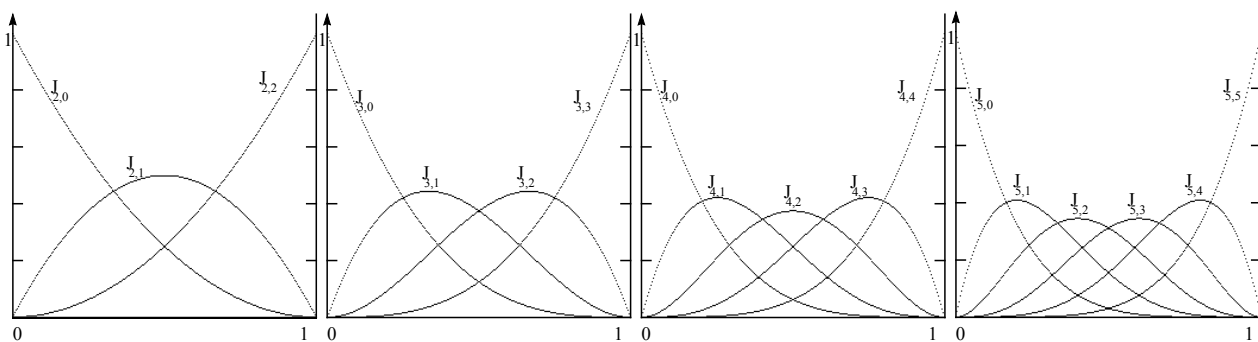
Curbele Bezier (Rogers[93]) realizează operația de aproximare a segmentelor de curbă. Curbele descrise anterior sunt astfel construite încât sunt constrânse să treacă prin punctele de joncțiune ale segmentelor de curbă. Ele sunt determinate definind mai întâi un poligon cu colțurile B_0, B_1, B_2, B_3 . Curba Bezier parametrică asociată se scrie sub forma:

$$P(t) = \sum_{i=0}^n B_i J_{n,i}(t), \quad 0 \leq t \leq 1 \quad (14)$$

unde $J_{n,i}(t)$ este funcția Bernstein de bază de ordinul "n", dată de:

$$J_{n,i}(t) = \frac{n!}{i!(n-i)!} t^i (1-t)^{n-i} \quad (15)$$

Pentru $n = 2, \dots, 9$ alura acestor funcții este următoarea:



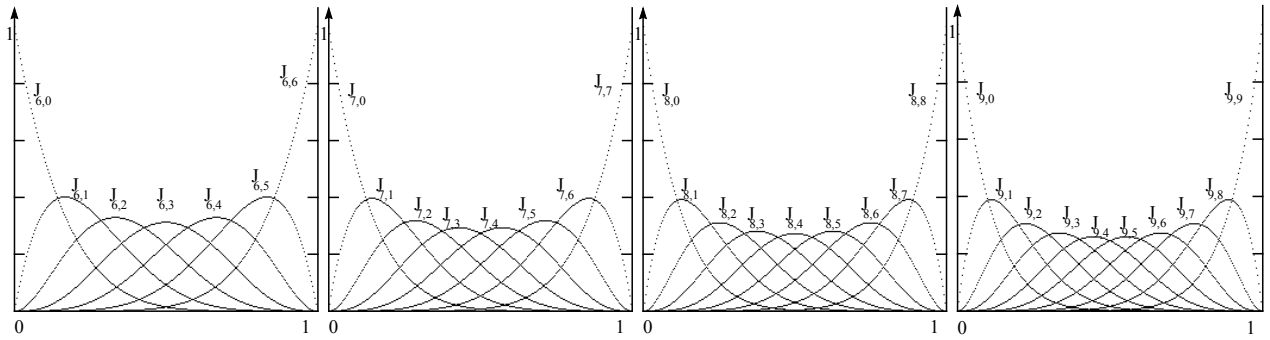
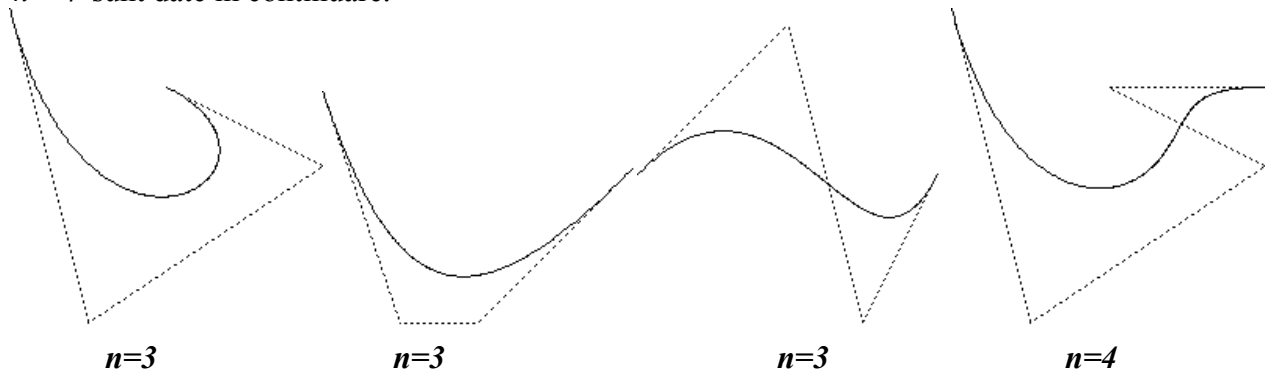


Fig. 6. Funcțiile Bernstein de ordinul 2...9.

Foarte des expresiile anterioare se pun sub formă matriceală. Pentru mărirea flexibilității metodei se poate mări numărul de puncte de definiție a poligonului. Exemple pentru $n = 3$ și $n = 4$ sunt date în continuare.



6.3.5. Aproximarea prin funcții B-spline.

Un alt caz de aproximare a curbelor depășește limitările constatate la curbele Bezier (dependența directă a ordinului curbei de numărul de colțuri ale poligonului de definiție și faptul că $J_{n,i}(t)$ este nenul pentru $t < 0$ și $t > 1$). Schoenberg [100] sugerează utilizarea unei noi baze de funcții care include funcțiile de bază ale lui Bernstein drept caz particular. De remarcă este proprietatea curbelor B-spline de a fi incluse în anvelopa convexă generată de poligonul de definiție.

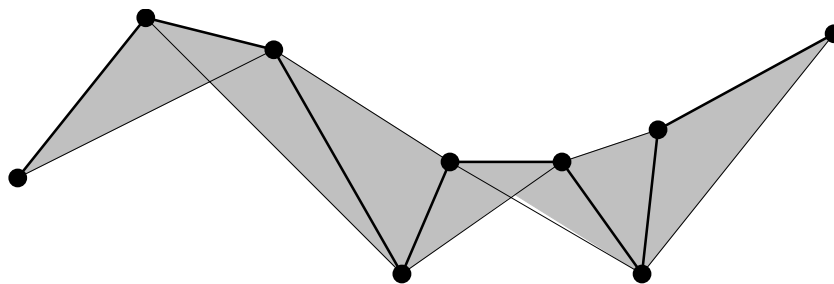


Fig. 7. Anvelopa convexă generată de poligonul de definiție a curbelor B-spline.

Fie $[x(t), y(t)]$ un segment de curbă descris parametric, unde $t_1 \leq t \leq t_2$. Reprezentarea lui prin funcții B-spline (Rogers[93]) este dată de:

$$c(t) = \sum_{i=0}^n p_i B_{i,k}(t) \quad (16)$$

unde:

$$c(t) = \begin{bmatrix} x(t) \\ y(t) \end{bmatrix} \text{ este vectorul cu coordonatele curbei,}$$

$p_i(t) = \begin{bmatrix} p_i^{(x)}(t) \\ p_i^{(y)}(t) \end{bmatrix}$ sunt așa-numitele *puncte de control*, iar

$B_{i,k}(t), i = 0, 1, \dots, n, k = 1, 2, \dots$ sunt funcțiile B-spline generalizate de ordinul " k ".

Parametrul " k " indică gradul de continuitate al funcției spline folosite, adică $B_{i,k}(t)$, împreună cu primele sale $k - 2$ derivate sunt continue și în punctele de joncțiune.

Există o relație de recurență care furnizează expresiile funcțiilor B-spline de ordin superior față de cele de ordin mai mic (formulele Cox-deBoor):

$$B_{i,l}(t) = \begin{cases} 1, & t_i \leq t \leq t_{i+l} \\ 0, & \text{în rest} \end{cases} \quad (17)$$

$$B_{i,k}(t) = \frac{(t - t_i) B_{i,k-1}(t)}{(t_{i+k-1} - t_i)} + \frac{(t_{i+k} - t) B_{i+1,k-1}(t)}{(t_{i+k} - t_{i+1})} \quad (18)$$

unde parametrii $t_i, i = 0, 1, \dots, n$, sunt denumiți noduri ("knots"). Funcțiile B-spline normalizate de ordinul 1,2,3,4 sunt reprezentate schematic în cele ce urmează:

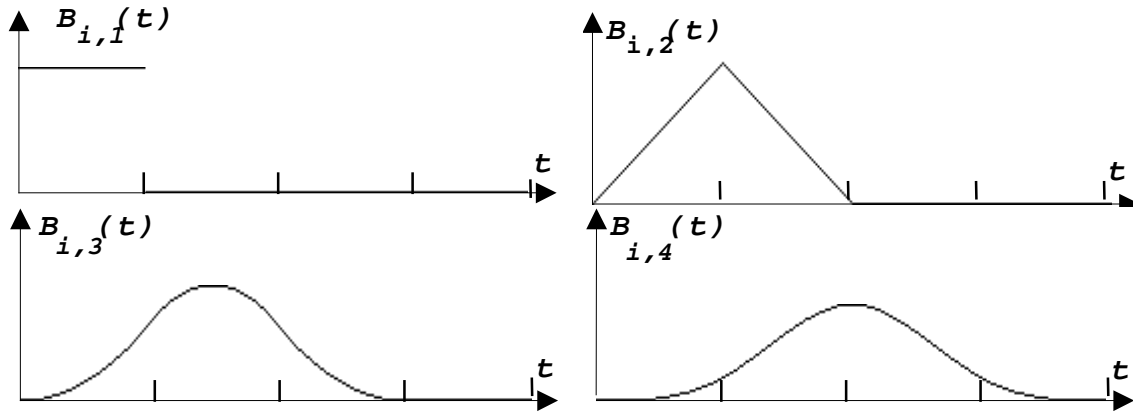


Fig. 8. Funcțiile B-spline normalizate de ordinul 1,2,3,4.

iar expresiile lor corespunzătoare sunt:

$$B_{0,1}(t) = \begin{cases} 1, & 0 \leq t < 1 \\ 0, & \text{în rest} \end{cases} \quad B_{0,3}(t) = \begin{cases} 0.5t^2, & 0 \leq t < 1 \\ -t^2 + 3t - 1.5, & 1 \leq t < 2 \\ 0.5(3-t)^2, & 2 \leq t < 3 \\ 0, & \text{în rest} \end{cases}$$

$$B_{0,2}(t) = \begin{cases} t, & 0 \leq t < 1 \\ 2-t, & 1 \leq t < 2 \\ 0, & \text{în rest} \end{cases} \quad B_{0,4}(t) = \begin{cases} t^3/6, & 0 \leq t < 1 \\ (-3t^3 + 12t^2 - 12t + 4)/6, & 1 \leq t < 2 \\ (3t^3 - 24t^2 + 60t - 44)/6, & 2 \leq t < 3 \\ (4-t)^2/6, & 3 \leq t < 4 \\ 0, & \text{în rest} \end{cases} \quad (19)$$

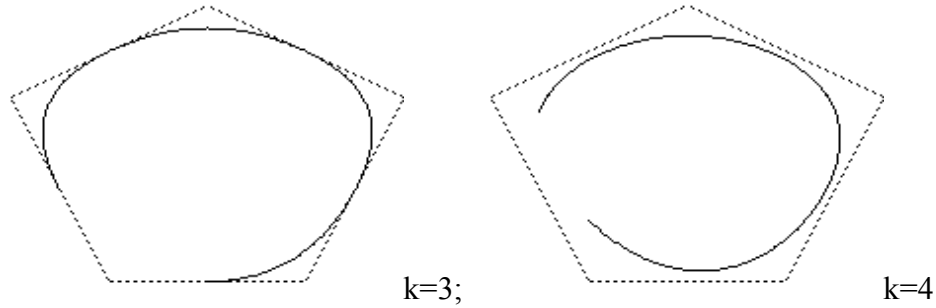
Dacă conturul de reprezentat este închis, funcțiile B-spline folosite sunt denumite închise sau periodice. Dacă punctele de control sunt uniform depărtate, adică:

$$t_{i+1} - t_i = \Delta t, \forall i \quad (20)$$

avem funcții B-spline uniforme, cu proprietatea de periodicitate:

$$B_{i,k}(t) = B_{0,k}(t - i), i = k-1, k, \dots, n-k+1, \quad (21)$$

Odată construite aceste curbe, ele pot fi translate, scalate, mărite-micșorate cu ușurință și deasemenea pot fi făcute măsurători ale unor parametri ce caracterizează curba.



Dacă curba este descrisă printr-un set de puncte discrete, adică $t = s_0, s_1, \dots, s_n$, avem:

$$\mathbf{x}(s_j) = \sum_{i=0}^n \mathbf{p}_i \mathbf{B}_{i,k}(s_j), \quad j = 0, 1, \dots, n \quad (22)$$

de unde, în formă matriceală:

$$\mathbf{B}_k \mathbf{P} = \mathbf{x} \Rightarrow \mathbf{P} = \mathbf{B}_k^{-1} \mathbf{x} \quad (23)$$

Remarcabil este faptul că, dacă se acceptă aproximarea prin curbe B-spline uniforme, matricea \mathbf{B}_k devine o *matrice circulantă*, pentru care există algoritmi rapizi de inversare. Pentru cazul în care numărul de puncte ale curbei de aproximat este $m > n$, se adoptă o strategie bazată pe minimizarea erorii medii pătratice de aproximare, care duce deasemenea la inversarea unei matrici circulante.

6.4. Segmentarea texturilor.

Există opt abordări statistice în ceea ce privește caracterizarea texturilor, și anume folosind *funcția de autocorelație*, *transformările optice*, *transformările digitale*, "*cantitatea de muchii din textură*" ("*textural edgeness*"), *studiul elementelor structurale*, *probabilitățile de coocurență a nivelelor de gri*, *continuitatea nivelelor de gri* ("*gray tone run lengths*") și *modelele autoregresive*.

Primele trei abordări se referă direct sau indirect la măsurători asupra frecvențelor spațiale. A patra metodă propune caracterizarea texturii prin cantitatea de muchii detectată în imagine. Metoda elementelor structurale este în esență o metodă de "potrivire" (matching) a imaginii texturii cu anumite elemente de structură definite pentru fiecare textură. Coocurența nivelelor de gri caracterizează interdependențele spațiale care există între pixelii texturii, ca și metoda "gray tone run length". Analiza seriilor de timp este principiul care stă la baza modelului autoregresiv.

Fie $f(x,y)$ imaginea (continuă, conținând textura de studiat), astfel încât:

$$f(x,y) = 0, \text{ pentru } (x < 0 \text{ și } x > L_x) \text{ sau } (y < 0 \text{ și } y > L_y) \quad (24)$$

Funcția de autocorelație este definită prin:

$$\mathbf{R}(x,y) = \frac{\int_{-\infty}^{+\infty} \int_{-\infty}^{+\infty} f(u,v) f(u+x, v+y) dudv}{(L_x - |x|)(L_y - |y|)} \quad (25)$$

$$\frac{\int_{-\infty}^{+\infty} \int_{-\infty}^{+\infty} f^2(u,v) dudv}{L_x L_y}$$

unde $|x| < L_x$ și $|y| < L_y$. Deoarece funcția de autocorelație este transformata Fourier a spectrului de putere, această metodă, indirect, caracterizează textura prin analiza frecvențelor spațiale. În același timp ea poate fi văzută ca o problema de "potrivire prin suprapunere" (matching).

Printre primele metode de analiză a texturilor se numără **transformările optice**, care utilizau difracția Fraunhofer pentru generarea unor trăsături care să caracterizeze texturile.

Transformările ortogonale discrete au fost și ele mult utilizate pentru analiza texturilor. Gramenopolous utilizează în [43] Transformata Fourier Discretă pentru blocuri de imagine de 32x32 în scopul caracterizării unor texturi din imagini satelitare. Trecând spectrul de putere al imaginii în coordonate polare, Bajcsy și Lieberman [09] remarcă proprietatea texturilor direcționale de a furniza un maxim al acestui spectru într-o direcție perpendiculară pe direcția principală a texturii. Pot fi utilizate și alte tipuri de transformări ortogonale: Hadamard, Slant, etc.

Construind un filtru de decorelare, Pratt [84] folosește coeficienții acestui filtru împreună cu primele patru momente ale histogrammei pentru a caracteriza textura.

Metoda propusă de Rosenfeld și Troy [96] măsoară "cantitatea" de **muchii pe unitatea de suprafață**. Fiecărui pixel îi este atașată o vecinătate pentru care se calculează media estimărilor gradientului, estimări obținute folosind una din metodele clasice.

Continuitatea nivelelor de gri ("gray tone run lengths") este o altă metodă care caracterizează textura folosind numărul de pixeli conectați având același nivel de gri. Măsurătorile care se fac vizează nu numai numărul efectiv de pixeli ci și diametrul minim/maxim al grupării de pixeli, nivelul de gri, precum și orientarea celor două diametre.

În esență, ultimele două metode realizează caracterizarea texturii prin calculul unei anume *măsuri* a ei. Pot fi utilizate însă și alte măsuri, cum ar fi densitatea relativă de maxime-minime din imagine.

Matricea de coocurență a nivelelor de gri $P(i,j)$ conține în fiecare poziție (i,j) numărul de perechi de pixeli vecini având respectiv nivelele de gri "i" și "j". De obicei ea se normalizează, împărțind fiecare element la numărul de pixeli ai imaginii, ea putând astfel fi văzută ca o matrice de probabilități de apariție, condiționate de poziția relativă.

Metodele structurale aplicate la imagini binare se referă la construcția unui element de structură ("șablon") care este apoi folosit într-o operație de filtrare, de fapt o eroziune morfologică, al cărui rezultat:

$$S \circ B_r = \{(x,y) \in S/B_r(x,y) \subset S\} \quad (26)$$

este tot o imagine binară în care densitatea pixelilor cu valoarea "1" poate fi folosită pentru caracterizarea imaginii. Au fost definite o multitudine de tipuri de elemente structurale, parametrizate sau nu.

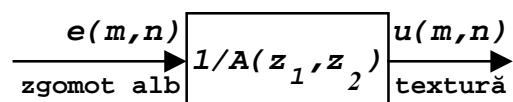
Pentru cazul imaginilor în scară de gri, elementele de structură se numesc *primitive* și sunt grupuri de pixeli conectați și care satisfac anumite condiții particulare referitoare la nivelul de gri al pixelului curent, conjugat cu poziția lui relativă față de ceilalți. Numeroase asemenea corelații spațiale de descriere a primitivelor sunt citate în literatură.

Interdependența pixelilor apropiați din imagine poate fi caracterizată nu numai de funcția de autocorelație, dar și utilizând **modelul autoregresiv** propus de McCormick și Jayaramamurthy [71]. Acest model folosește metode care țin de analiza seriilor de timp pentru extragerea parametrilor de caracterizare a texturii. El poate fi deasemenea folosit pentru *generarea* texturilor.

Ashjari [6] propune caracterizarea texturilor prin intermediul valorilor proprii extrase din blocurile de imagine (32x32). Distribuția acestor valori proprii, ordonate descrescător permite diferențierea texturilor.

Metodele stochastice permit construcția unor modele foarte puternice pentru texturile naturale (nisip, iarbă, diferite tipuri de țesături, etc.), cu aplicații în sinteza imaginilor realiste și în investigarea sistemului vizual uman (Pratt[85]).

Principial, sinteza texturilor pleacă de la un zgomot alb (câmp aleator), pentru a obține un model al texturii prin intermediul unui filtru:



*Fig. 9. Schema bloc de sinteză a texturilor.***6.5. Detalii de implementare.**

O implementare C a unui algoritm de segmentare automată este prezentată în continuare.

```

int i,j,k; // contoare
int NMin, NMax; // numărul de maxime și minime din histogramă
long Max1, Max2; // valorile primelor două maxime găsite
long Hist[256], Hist1[256]; // vectori histogramă
//calcul histogramă
for(j=0;j<DY;j++)
  for(i=0;i<DX;i++)
    Hist[Img1[i][j]]++;
do {
  // aplică filtrul nerecursiv de netezire asupra vectorului histogramă
  Hist1[0]=(Hist[0]+Hist[1])/3;
  for(i=1;i<255;i++)
    Hist1[i]=(Hist[i-1]+Hist[i]+Hist[i+1])/3;
  Hist1[255]=(Hist[254]+Hist[255])/3;
  for(i=0;i<256;i++)
    Hist[i]=Hist1[i];
  // calculează numărul și poziția maximelor din vectorul histogramă
  k=1; j=0; NMin=0; NMax=0; Max1=0; Max2=0;
  for(i=0;i<256;i++) {
    if(i!=0 && i!=255) {
      if(Hist[i-1]==Hist[i] && Hist[i]==Hist[i+1]) //1=palier
        ;
      if(Hist[i-1]==Hist[i] && Hist[i]< Hist[i+1]) //2=sfârșit minim
        if(k==2)
          k=1, NMin++, Min1=Min2, Min2=(i+j)/2;
      if(Hist[i-1]==Hist[i] && Hist[i]> Hist[i+1]) //3=sfârșit maxim
        if(k==1)
          k=2, NMax++, Max1=Max2, Max2=(i+j)/2;
      if(Hist[i-1]< Hist[i] && Hist[i]==Hist[i+1]) //4=început maxim
        j=i;
      if(Hist[i-1]< Hist[i] && Hist[i]< Hist[i+1]) //5=rampă crescătoare
        ;
      if(Hist[i-1]< Hist[i] && Hist[i]> Hist[i+1]) //6=maxim clar
        k=2, NMax++, Max1=Max2, Max2=i;
      if(Hist[i-1]> Hist[i] && Hist[i]==Hist[i+1]) //7=început minim
        j=i;
      if(Hist[i-1]> Hist[i] && Hist[i]< Hist[i+1]) //8=minim clar
        k=1, NMin++, Min1=Min2, Min2=i;
      if(Hist[i-1]> Hist[i] && Hist[i]> Hist[i+1]) //9=rampă căzătoare
        ;
    } else
      if(i==0) {
        if(Hist[i]==Hist[i+1]) //1,4,7
          ;
        if(Hist[i]< Hist[i+1]) //2,5,8
          ;
        if(Hist[i]> Hist[i+1]) //3,6,9
          ;
      } else {
        if(Hist[i-1]==Hist[i]) //1,2,3
          if(k==1) k=2, NMax++, Max1=Max2, Max2=(i+j)/2;
        if(Hist[i-1]< Hist[i]) //4,5,6
          k=2, NMax++, Max1=Max2, Max2=i;
        if(Hist[i-1]> Hist[i]) //7,8,9
          ;
      }
  }
}

```



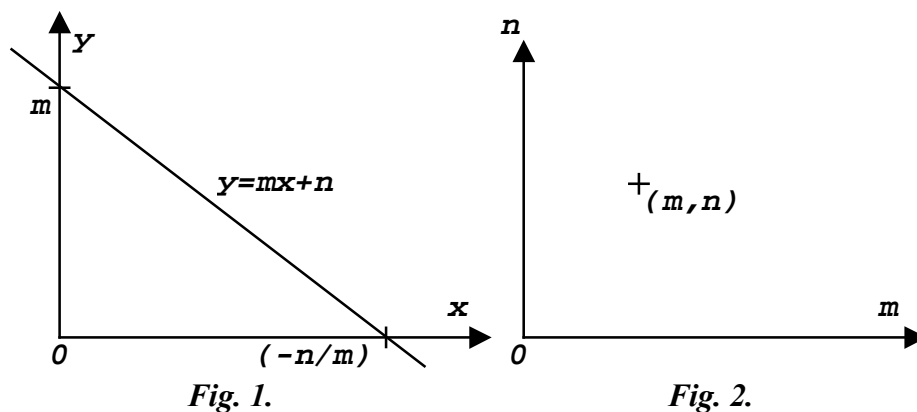
```
    }  
  }  
  } while(NMax>2); // repetă până se obțin doar două maxime  
  // calcul prag de segmentare  
  Th=(Max2*Hist[Max2]-Max1*Hist[Max1])/(Hist[Max2]-Hist[Max1]);
```

7. Transformata Hough.

- 7.1. Detecția curbelor folosind transformata Hough.
- 7.2. Versiuni ale transformării Hough.
- 7.3. Generalizarea transformării Hough.
- 7.4. Optimizarea transformării Hough.
- 7.5. Transformarea inversă.
- 7.6. Calculul propriu-zis al transformării Hough.
- 7.7. Rezultate comparative și concluzii.
- 7.8. Detalii de implementare.

7.1. Detecția curbelor folosind transformata Hough.

O metodă de separare a liniilor și curbelor dintr-o imagine are la bază transformata Hough (Ballard[10]), (Duda[36]), (Haralick[45]), (Hough[50]), (Pratt[84]). Fie $y = mx + n$ ecuația unei drepte în planul imaginii. Ei îi corespunde în planul descris de coordonatele (m, n) un punct, și reciproc, fiecărei drepte din planul (m, n) îi corespunde o dreaptă în planul imaginii (fig. 1 și 2).



Ca urmare, unor puncte coliniare din planul (x, y) le corespunde un fascicol de drepte concurente într-un punct unic din planul transformatei Hough (fig. 3 și 4).

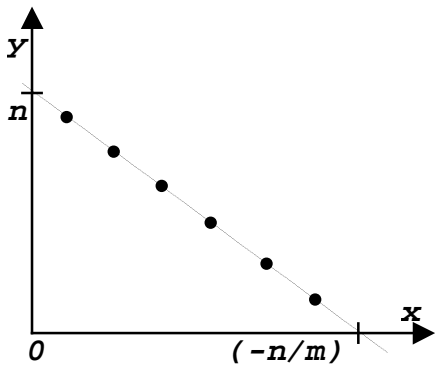


Fig. 3.

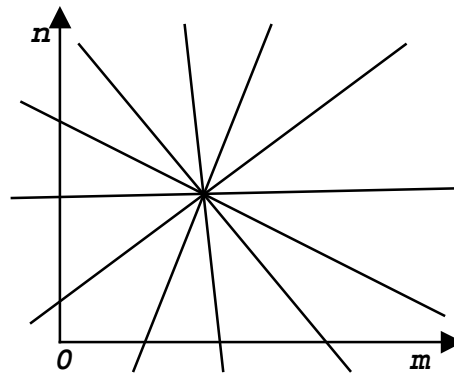


Fig. 4.

Deoarece pentru drepte verticale, valoarea parametrului "m" tinde către infinit, pentru a limita domeniul valorilor parametrilor se preferă exprimarea dreptei din planul (x, y) prin:

$$x \sin \theta + y \cos \theta = \rho \quad (1)$$

unde " ρ " este distanța din origine și până la dreaptă, iar " θ " este unghiul între dreaptă și abscisă (fig. 5 și fig. 6).

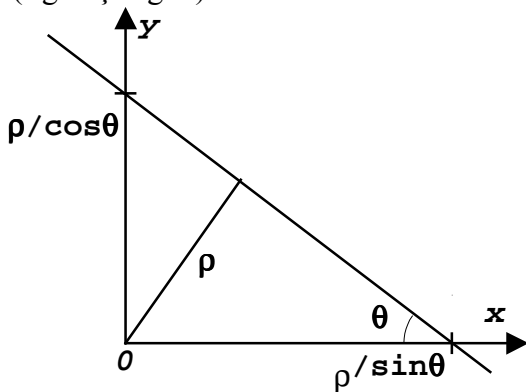


Fig. 5.

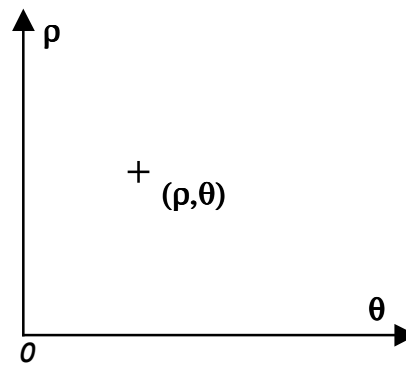


Fig. 6.

Ca urmare, unor puncte colineare din planul (x, y) , le corespunde un set de sinusoidale (fig. 7 și fig. 8) care se intersectează într-un singur punct:

$$\rho_i(\theta) = x \sin \theta_i + y \cos \theta_i \quad (2)$$

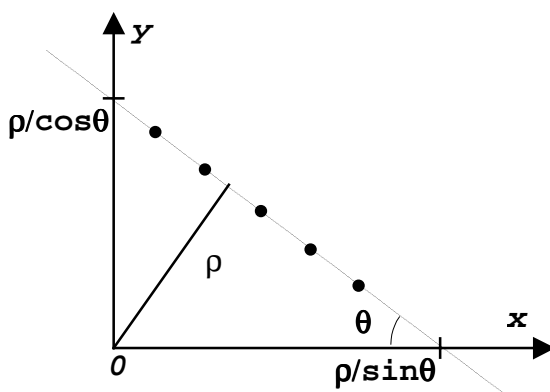


Fig. 7.

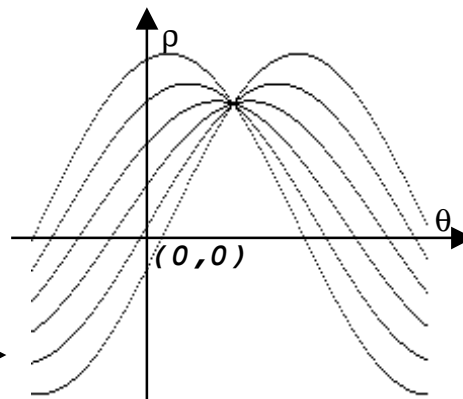


Fig. 8.

7.2. Versiuni ale transformării Hough.

Gama valorilor pe care le poate lua unghiul θ între normala la dreaptă și abscisă, la o prima vedere, ar fi $[-\pi, \pi]$. Analizând această gamă de valori a unghiului θ , Duda și Hart [36] ajung la concluzia că este suficient să se limiteze analiza la gama $[-\pi/2, \pi/2]$, deoarece gama

unghiurilor formate de vectorii de poziție ai pixelilor din imagine este $[0, \pi/2]$, iar față de aceștia, dreptele posibile din imagine formează un unghi de $[-\pi/2, \pi/2]$ (fig. 9).

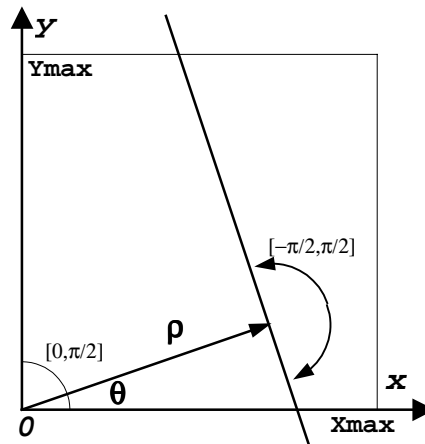


Fig. 9.

O'Gorman și Clowes [77] propun modificarea transformării Hough, pentru înlănțuirea punctelor de muchie dintr-o imagine. Unghiul θ este obținut din direcția gradientului calculat pentru imagine, iar $\rho(\theta) = x \sin\theta + y \cos\theta$. Matricea transformatei Hough, în această versiune, se incrementează cu valoarea estimată a modului gradientului în punctul curent, ceea ce permite mărirea influenței muchiilor puternic accentuate.

7.3. Generalizarea transformării Hough.

Dacă în imaginea inițială trebuiesc localizate curbe (contururi) cunoscute, cu dimensiuni și orientări stabilite, care nu au o expresie analitică, poate fi utilizată metoda propusă de Ballard în [10].

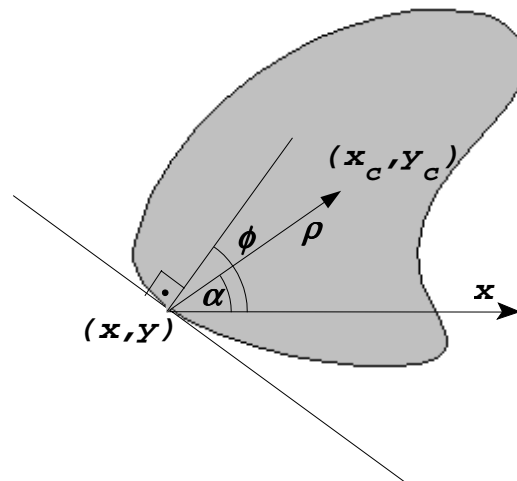


Fig. 10. Principiul generalizării transformării Hough.

Această metodă pornește cu stabilirea unui punct de referință, notat (x_c, y_c) .

Unghiul față de abscisă format de segmentul care unește punctul de referință cu pixelul curent, notat α în figura precedentă, poate fi măsurat pentru toți pixelii forme model.

Fiecărui pixel curent al conturului forme îi corespunde de asemenea o anumită orientare a muchiei, notată ϕ în figură, și care se poate obține în imaginea inițială din studiul estimării discrete a vectorului gradient.

Ballard propune în continuare construirea unui tabel ("R-table") care să conțină, pentru toate orientările posibile ale vectorului gradient, informațiile necesare localizării punctului de referință. Pentru aceeași orientare a vectorului gradient, evident, sunt posibile mai multe variante de localizare a punctului de referință, adică mai multe perechi (ρ_j, α_j) .

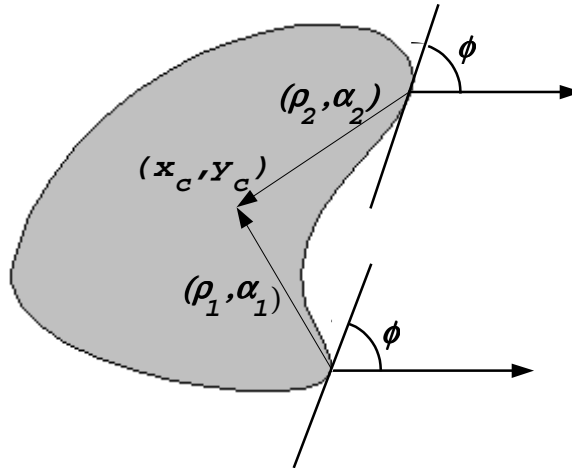


Fig. 11. Metoda Ballard de generalizare a transformării Hough.

Tabelul ce trebuie construit pentru forma de localizat are următoarea structură:

Unghiul față de abscisă al segmentului ce unește punctul curent cu punctul de referință	Localizări posibile ale punctului de referință
ϕ_1	$(\rho_1^1, \alpha_1^1), (\rho_2^1, \alpha_2^1), \dots, (\rho_{k_1}^1, \alpha_{k_1}^1)$
ϕ_2	$(\rho_1^2, \alpha_1^2), (\rho_2^2, \alpha_2^2), \dots, (\rho_{k_2}^2, \alpha_{k_2}^2)$
...	...
ϕ_m	$(\rho_1^m, \alpha_1^m), (\rho_2^m, \alpha_2^m), \dots, (\rho_{k_m}^m, \alpha_{k_m}^m)$

Pentru fiecare pixel de muchie se extrag din tabel localizările posibile pentru punctul de referință, iar apoi, pentru fiecare pereche (ρ_j^n, α_j^n) se calculează:

$$\begin{cases} x_c = x + \rho_j^n \cos \alpha_j^n \\ y_c = y + \rho_j^n \sin \alpha_j^n \end{cases} \quad (3)$$

În tabloul de acumulare se incrementează locația (x_c, y_c) .

Metoda poate fi extinsă pentru cazul localizării obiectelor indiferent de mărimea (invarianța la scalare) și orientarea (invarianța la rotație) lor (Illingworth[55]), dar volumul de calcul crește extrem de mult.

7.4. Optimizarea transformatei Hough.

Pentru limitarea volumului mare de operații necesare în calculul transformatei Hough, Kimme [60] propune utilizarea informațiilor privind direcția muchiei, date de vectorul gradient. Fie cazul cercului de rază fixă R .

$$(x - x_0)^2 + (y - y_0)^2 = R^2 \quad (4)$$

Metoda clasică implică pentru fiecare punct (x, y) din planul imaginii incrementarea în tabloul de acumulare a **tuturor** punctelor aflate, în spațiul parametrilor, pe cercul:

$$(x_0 - x)^2 + (y_0 - y)^2 = R^2 \quad (5)$$

Ecuția precedentă se poate scrie parametric:

$$\begin{cases} x_0 = x - R \sin \varphi \\ y_0 = y - R \cos \varphi \end{cases} \quad (6)$$

unde $\varphi = \varphi(x, y)$ poate fi direcția muchiei față de abscisă, furnizată de un operator tip gradient. În acest caz, pentru fiecare punct (x, y) din planul imaginii este incrementat în tabloul de acumulare **doar punctul** cu coordonatele (x_0, y_0) date de ecuațiile precedente.

Idea transformării Hough poate fi generalizată pentru diferite alte curbe care pot fi descrise parametric prin:

$$f(\mathbf{X}, \mathbf{A}) = 0 \quad (7)$$

unde \mathbf{X} este vectorul de poziție al punctului curent al curbei, iar \mathbf{A} este vectorul de parametri, a cărui dimensiune depinde de tipul curbei.

Astfel, pentru detecția cercurilor dintr-o imagine avem o descriere cu trei parametri, (x_0, y_0, r) :

$$(x - x_0)^2 + (y - y_0)^2 = r^2 \quad (8)$$

Pentru elipse sunt patru parametri, (x_0, y_0, a, b) :

$$\frac{(x - x_0)^2}{a^2} + \frac{(y - y_0)^2}{b^2} = 1 \quad (9)$$

Problema principală care apare în asemenea cazuri este dimensiunea mare ocupată de "matricea de acumulare", devenită un tablou cu trei dimensiuni pentru cazul cercului și unul cu patru dimensiuni pentru elipsă.

Metoda lui Kimme poate fi folosită și în acest caz:

$$\frac{x - x_0}{a^2} + \frac{y - y_0}{b^2} \frac{dy}{dx} = 0 \quad (10)$$

unde:

$$dx/dy = \mathbf{tg}(\varphi) \quad (11)$$

iar

$$\varphi = \varphi(x, y) \quad (12)$$

este înclinarea muchiei dată de un operator tip gradient.

Ballard și Brown [10] propun o metodă pentru reducerea și mai drastică a volumului de calcul necesar construirii transformării Hough. Astfel pentru fiecare pereche de pixeli de muchie (x_1, y_1) și (x_2, y_2) se pot obține următoarele patru ecuații (două sunt ecuațiile elipsei, iar celelalte se obțin prin derivare, conform metodei lui Kimme) care permit aflarea punctului de coordonate (x_0, y_0, a, b) din spațiul parametrilor pentru care se incrementează tabloul de acumulare:

$$\begin{cases} \frac{(x_1 - x_0)^2}{a^2} + \frac{(y_1 - y_0)^2}{b^2} = 1 \\ \frac{(x_2 - x_0)^2}{a^2} + \frac{(y_2 - y_0)^2}{b^2} = 1 \\ \frac{x_1 - x_0}{a^2} + \frac{y_1 - y_0}{b^2} \mathbf{tg} \varphi(x_1, y_1) = 0 \\ \frac{x_2 - x_0}{a^2} + \frac{y_2 - y_0}{b^2} \mathbf{tg} \varphi(x_2, y_2) = 0 \end{cases} \quad (13)$$

unde (x_1, y_1) și (x_2, y_2) sunt pixeli de muchie. Volumul de calcul necesar în acest caz este proporțional cu pătratul numărului de pixeli de muchie.

Este interesant de studiat gama valorilor pe care le poate lua distanța ρ de la origine la dreaptă (Bulea[14]), pentru diferite valori ale lui θ . Imaginea având originea în colțul din stânga-jos, vom nota cu X_{max} și Y_{max} dimensiunile ei, iar cu $R_{min}(\theta)$ și $R_{max}(\theta)$ valorile limită pentru ρ , funcție de unghiul θ .

De exemplu, dacă $\theta \in [-\pi/2, 0]$, se constată (fig. 12) că avem:

$$R_{max}(\theta) = X_{max} \cos \theta \tag{14}$$

Analog, studiind figurile care urmează, 13 și 14, corespunzătoare cazurilor $\theta \in [0, \pi/2]$ și respectiv $\theta \in [\pi/2, \pi]$, se pot sintetiza expresii pentru $R_{min}(\theta)$ și $R_{max}(\theta)$.

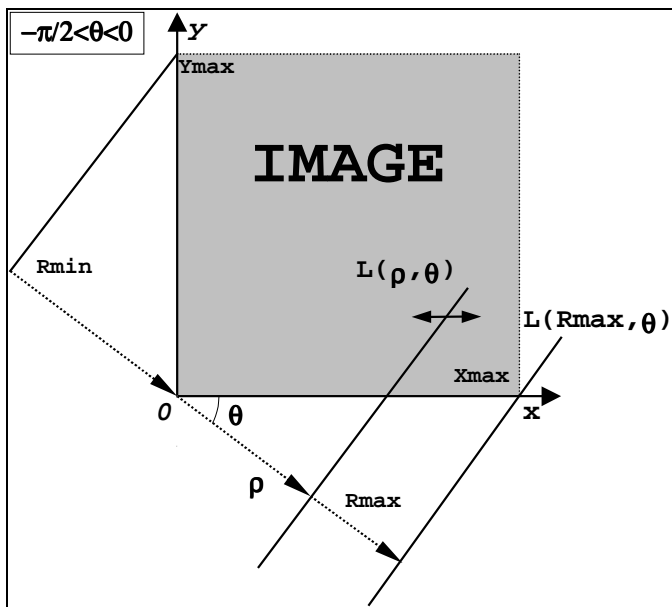


Fig. 12.

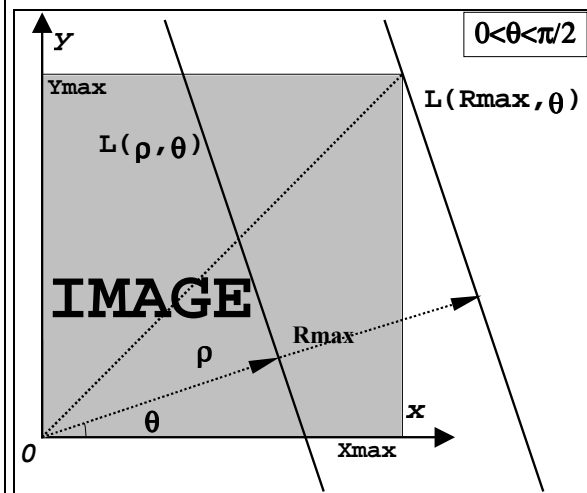


Fig. 13.

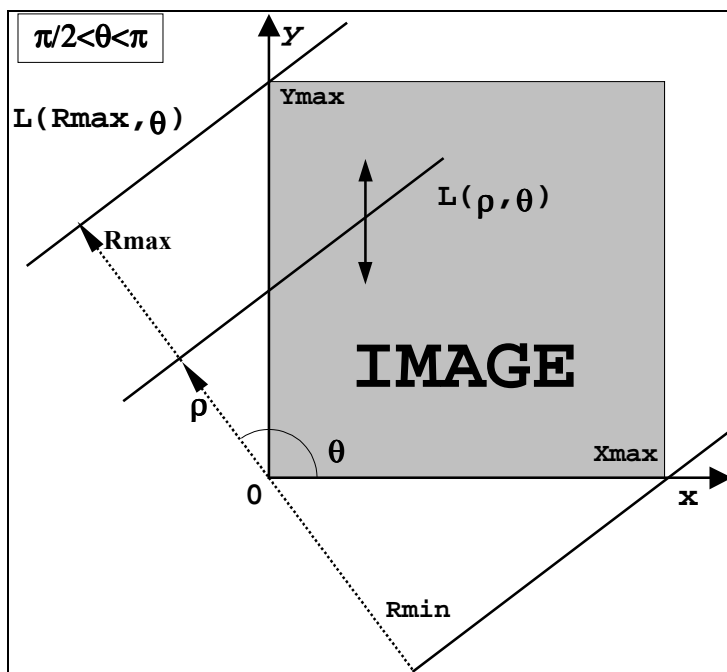


Fig. 14.

Rezultă relațiile:

$$R_{min}(\theta) = \begin{cases} Y_{max} \sin \theta, & \text{pentru } \theta \in [-\pi/2, 0]; \\ 0, & \text{pentru } \theta \in (0, \pi/2]; \\ X_{max} \cos \theta, & \text{pentru } \theta \in (\pi/2, \pi]. \end{cases} \quad (15)$$

$$R_{max}(\theta) = \begin{cases} X_{max} \cos \theta, & \text{pentru } \theta \in [-\pi/2, 0]; \\ \sqrt{X_{max}^2 + Y_{max}^2} \cos [\arctg(Y_{max}/X_{max}) - \theta], & \text{pentru } \theta \in (0, \pi/2]; \\ Y_{max} \sin \theta, & \text{pentru } \theta \in (\pi/2, \pi]. \end{cases} \quad (16)$$

În figurile următoare sunt reprezentate domeniile de valori posibile pentru transformarea Hough în versiunea originală (fig. 15) și respectiv în versiunile Duda & Hart și O'Gorman & Clowes ($\rho > 0$) (fig 16).

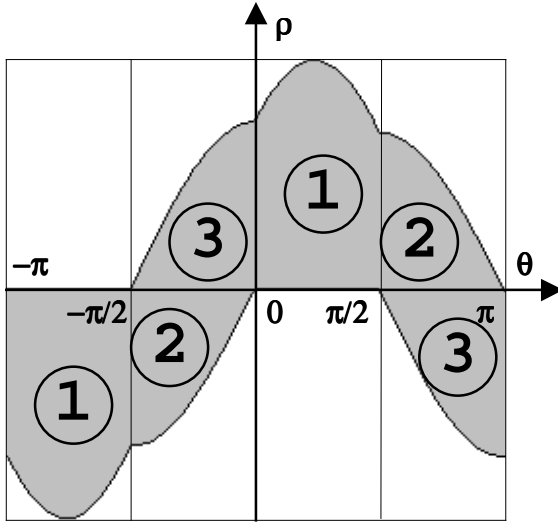


Fig. 15.

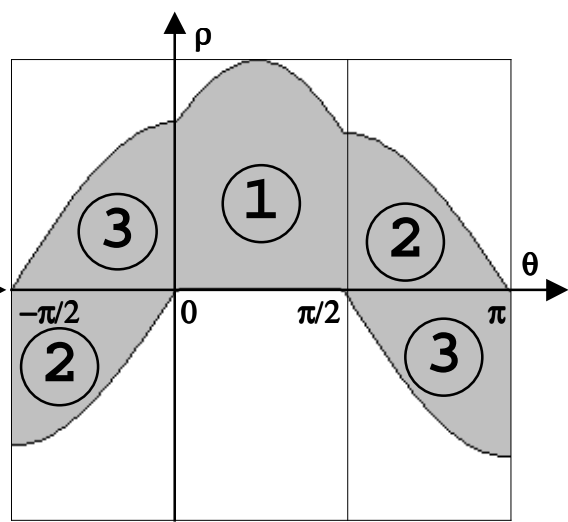


Fig. 16.

S-au marcat cu (1), (2), (3) regiunile din transformare care se repetă prin simetrie. Această se datorează faptului că linie definită de perechea (ρ, θ) este identică cu cea dată de $(-\rho, \pi + \theta)$.

Următoarea transformare (fig. 17) permite reducerea gamei dinamice pentru unghiul θ de la $[-\pi/2, \pi]$ la intervalul $[0, \pi]$:

$$\rho'(\theta) = \begin{cases} \rho(\theta), & \text{pentru } \theta \in [0, \pi] \\ -\rho(\pi + \theta), & \text{pentru } \theta \in [-\pi/2, 0) \end{cases} \quad (17)$$

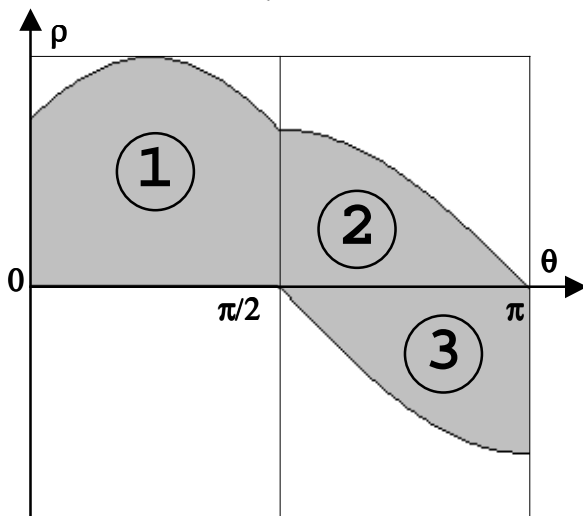


Fig. 17.

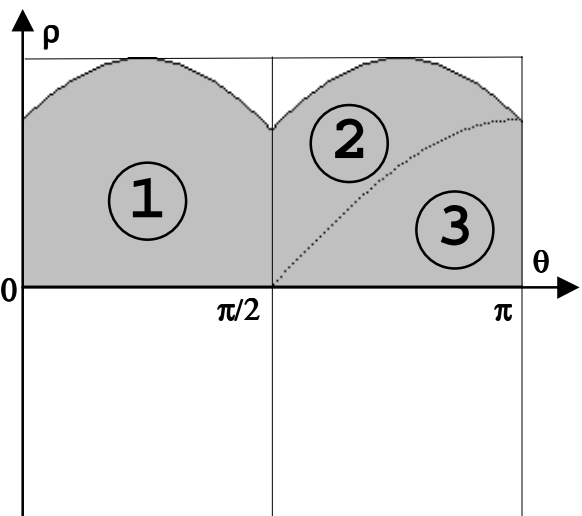


Fig. 18.

Desigur, o *transformare alternativă* poate fi definită pentru a reduce aceeași gamă dinamică la $[-\pi/2, \pi/2]$ și ea este dată de:

$$\rho'(\theta) = \begin{cases} \rho(\theta), & \text{pentru } \theta \in [-\pi/2, \pi/2] \\ -\rho(\theta - \pi), & \text{pentru } \theta \in (\pi/2, \pi] \end{cases} \quad (18)$$

Mai departe se pot obține doar valori pozitive pentru $\rho'(\theta)$ prin transformarea (vezi fig. 18):

$$\rho''(\theta) = \begin{cases} \rho'(\theta), & \text{pentru } \theta \in [0, \pi/2); \\ \rho'(\theta) - R_{\min}(\theta), & \text{pentru } \theta \in [\pi/2, \pi] \end{cases} \quad (19)$$

iar gama dinamică a lui $\rho''(\theta)$ devine:

$$\rho''(\theta) \in [0, R_{\max}(\theta) - R_{\min}(\theta)] \quad (20)$$

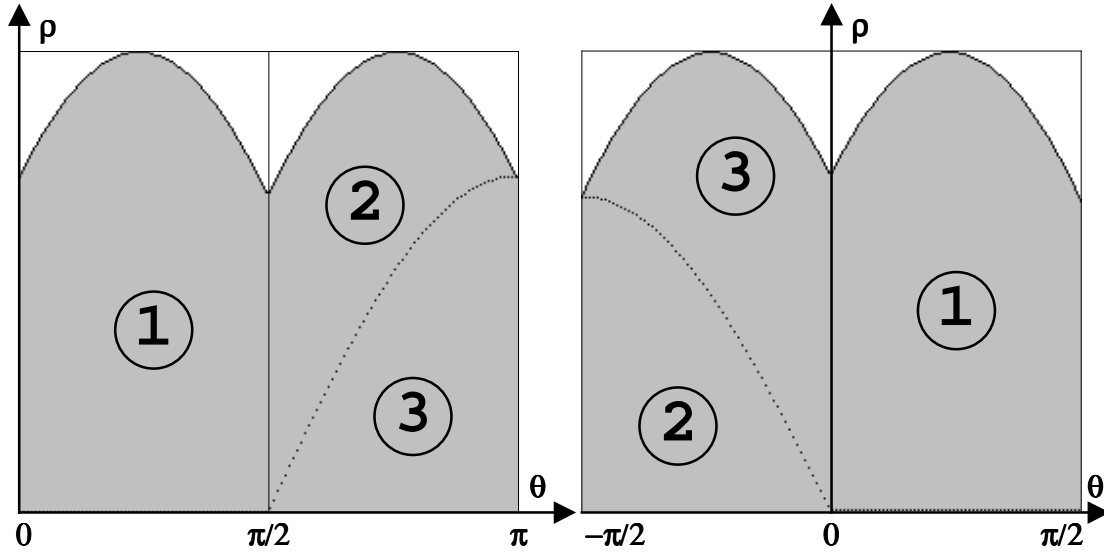


Fig. 19.

Fig. 20.

Se remarcă din figura precedentă (fig. 19) că transformarea propusă conservă toată informația existentă în imaginea transformării precedente, în timp ce gama de valori pentru unghiul θ s-a redus cu o treime. O reprezentare grafică a transformării alternate este dată în Fig. 20.

Dacă se apelează și la normalizarea:

$$\rho'''(\theta) = \frac{\rho''(\theta)}{R_{\max}(\theta) - R_{\min}(\theta)} \quad (21)$$

gama de valori posibile pentru ordonată devine independentă de θ , adică:

$$\rho'''(\theta) \in [0, 1], \forall \theta \in [0, \pi] \quad (22)$$

7.5. Transformarea inversă.

Efectuând transformarea propusă, după găsirea maximelor $\rho_k''(\theta_k)$ în matricea transformării, liniile se localizează în imaginea inițială folosind transformarea inversă dată de:

$$\rho_k''(\theta_k) = \rho_k'''(\theta_k) [R_{\max}(\theta_k) - R_{\min}(\theta_k)] \quad (23)$$

$$\rho_k'(\theta_k) = \begin{cases} \rho_k''(\theta_k), & \text{pentru } \theta_k \in [0, \pi/2); \\ \rho_k''(\theta_k) + R_{\min}(\theta_k), & \text{pentru } \theta_k \in [\pi/2, \pi] \end{cases} \quad (24)$$

deci:

$$\rho_k(\theta_k) = \begin{cases} \rho'_k(\theta_k), & \text{pentru } \theta_k \in [0, \pi/2] \\ \rho'_k(\theta_k), & \text{pentru } \theta_k \in (\pi/2, \pi] \text{ și } \rho'_k(\theta_k) \geq 0 \\ -\rho'_k(\theta_k - \pi), & \text{pentru } \theta_k \in (\pi/2, \pi] \text{ și } \rho'_k(\theta_k) < 0 \end{cases} \quad (25)$$

de unde se obține ecuația dreptei din imaginea inițială:

$$x \sin \theta_k + y \cos \theta_k = \rho_k(\theta_k); \quad (26)$$

7.6. Calculul propriu-zis al transformatei Hough.

Transformata Hough poate fi estimată prin trasarea curbelor sinusoidale în planul (θ, ρ) și apoi calculând densitatea locală de curbe în fiecare punct. Definind în prealabil matricea de acumulare, aceste curbe sunt de obicei *trasate* prin incrementarea tuturor locațiilor corespunzătoare ale matricii.

Cea mai simplă soluție este de a calcula, pentru *fiecare* valoare discretă a unghiului:

$$\rho_k(\theta_k) = x \sin \theta_k + y \cos \theta_k \quad (27)$$

incrementând doar elementul (θ_k, ρ_k) al matricii de acumulare. În consecință, doar o singură locație este incrementată pentru fiecare valoare discretă a unghiului și de aici rezultă principalul dezavantaj al acestei metode: pentru porțiunile de sinusoidă având panta mare, doar puține elemente ale matricii de acumulare sunt modificate, după cum se poate vedea din figura următoare (21):

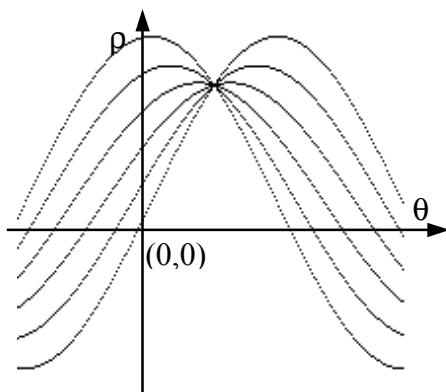


Fig. 21.

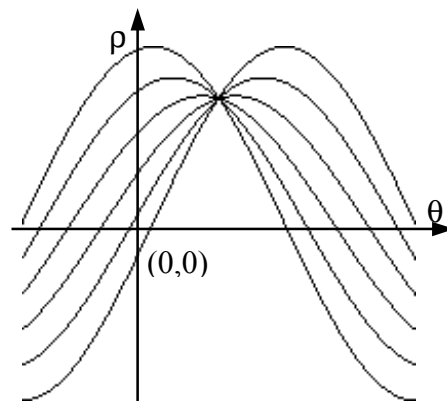


Fig. 22.

O soluție puțin mai bună este de a calcula perechile (θ_k, ρ_k) și $(\theta_{k+1}, \rho_{k+1})$, și de a incrementa toate elementele matricii de acumulare aflate pe linia care unește aceste puncte în planul transformatei Hough, dar timpul de calcul necesar crește (Fig. 22).

O metodă mai precisă de a efectua transformata Hough se obține dacă o regiune rectangulară a planului Hough, localizată în jurul punctului (θ_k, ρ_k) este asociată fiecărei locații a acumulatorului, ca în figura 23.

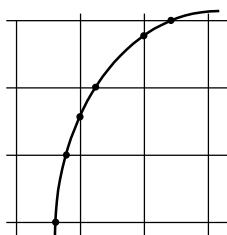


Fig. 23.

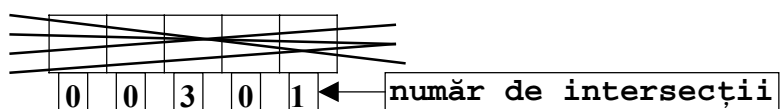


Fig. 24.

O idee foarte bună este incrementarea fiecărei locații a matricii de acumulare cu o valoare proporțională cu lungimea sinusoidei curente în careul corespunzător. Astfel se obține o reprezentare mai netedă și mai precisă a transformatei Hough, permițând localizarea mai facilă a punctelor de maxim. Calculul acestor lungimi se simplifică considerabil dacă curbele sinusoidale se aproximează prin segmente în interiorul fiecărui asemenea careu.

Deși aceasta este cea mai bună metodă prezentată până acum, ea are un dezavantaj major, prezentat în figura 24. Valorile corespunzătoare calculate pentru fiecare careu elementar sunt aproximativ egale (deoarece lungimile tuturor curbelor trasate sunt aproximativ egale), chiar dacă punctul de intersecție este foarte bine precizat. Această situație afectează precizia de localizare a maximelor în matricea de acumulare. Problema poate fi remediată prin numărarea punctelor de intersecție în fiecare careu elementar.

Pentru fiecare pereche de curbe definită de (x_k, y_k) și (x_j, y_j) , punctul de intersecție este dat de:

$$\theta_{kj} = -\arctg \frac{x_k - x_j}{y_k - y_j} + n\pi, \quad n = \dots -1, 0, 1, \dots \quad \text{și} \quad (28)$$

$$\rho_{kj} = \frac{x_k y_j - x_j y_k}{\sqrt{(x_k - x_j)^2 + (y_k - y_j)^2}} \quad (29)$$

Alegând valoarea unghiului care îndeplinește condiția $\rho_{kj} \in [0, 2\pi]$ atunci:

$$\rho'_{kj}(\theta_{kj}) = \rho_{kj}(\theta_{kj}) \quad (30)$$

și următoarele calcule trebuiesc efectuate:

$$\rho''_{kj}(\theta_{kj}) = \begin{cases} \rho'_{kj}(\theta_{kj}), & \text{pentru } \theta_{kj} \in [0, \pi/2); \\ \rho_{kj}(\theta_{kj}) - R_{\min}(\theta_{kj}), & \text{pentru } \theta_{kj} \in [\pi/2, \pi] \end{cases} \quad (31)$$

$$\rho'''_{kj}(\theta_{kj}) = \frac{\rho''_{kj}(\theta_{kj})}{R_{\max}(\theta_{kj}) - R_{\min}(\theta_{kj})} \quad (32)$$

Numărul necesar de operații este $N * (N - 1) / 2$, unde N este numărul de curbe, și el este mai mare ca numărul de operații necesar efectuării transformatei Hough clasice dacă $(N - 1) / 2 > \Theta$, unde Θ este numărul de valori discrete ale unghiului, pentru $\theta_{kj} \in [0, \pi)$.

Această metodă poate fi dezvoltată ținând cont de tăria muchiilor, adică setând incrementul utilizat la o valoare dependentă de valoarea estimată a modulului gradientului pentru fiecare punct. Această idee derivă din metoda lui O Gorman și Clowes.

Ca urmare, incrementul utilizat pentru fiecare intersecție este:

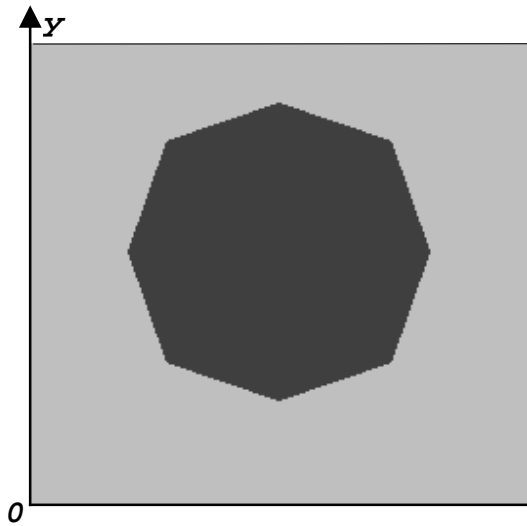
$$\Delta h(\theta_{kj}, \rho_{kj}) = 1 + \lambda (|\mathbf{grad} [f(x_k, y_k)]| + |\mathbf{grad} [f(x_j, y_j)]|), \quad \text{unde } \lambda > 0 \quad (33)$$

7.7. Rezultate comparative și concluzii.

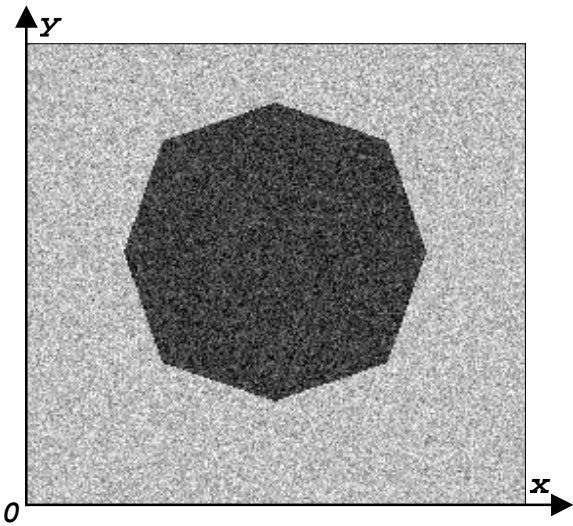
În continuare sunt prezentate rezultatele comparative obținute aplicând cele trei versiuni prezentate ale transformării Hough. S-au utilizat două imagini generate cu 256 nivele de gri (a doua conține zgomot gaussian, $\sigma^2 = 50$), și o imagine cu 256 nivele de gri, obținută de la o camera TV.

Pentru transformata Hough originală și pentru versiunea Duda & Hart a fost utilizat operatorul Sobel pentru detecția muchiilor, iar pragul de segmentare folosit a fost ales la 128.

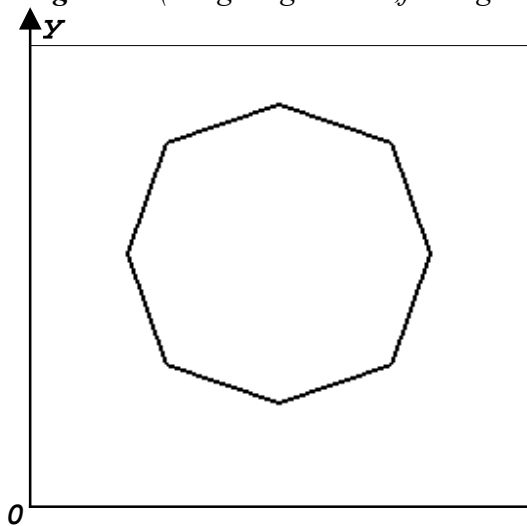
Rezultatele obținute pentru varianta propusă sunt prezentate pentru cazul transformatei calculate prin metoda trasării cu numărarea intersecțiilor ($\lambda = 1/255$).



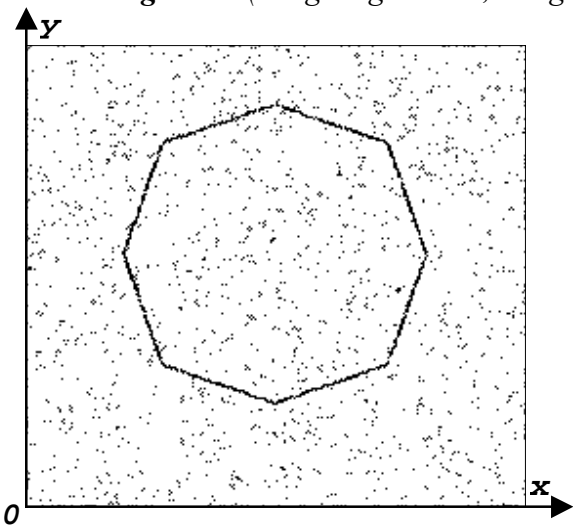
Imaginea 1 (imagine generată, fără zgomot)



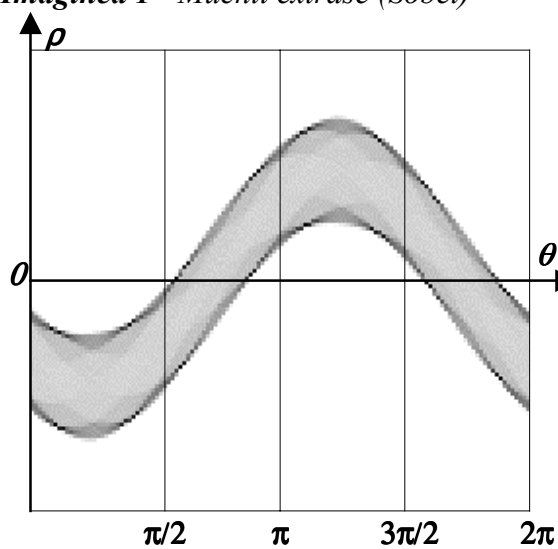
Imaginea 2 (imagine generată, cu zgomot)



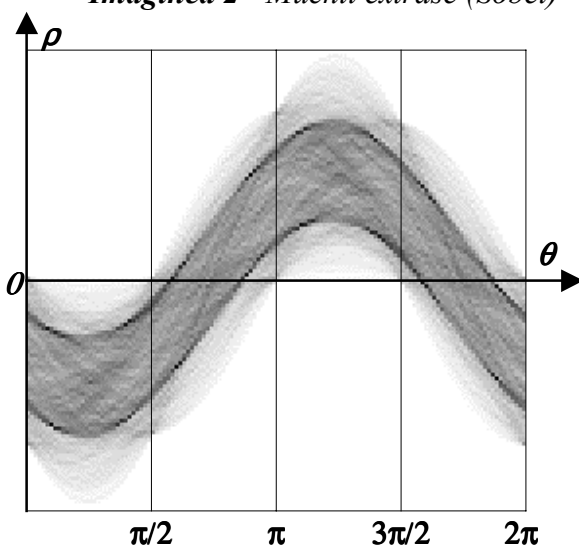
Imaginea 1 - Muchii extrase (Sobel)



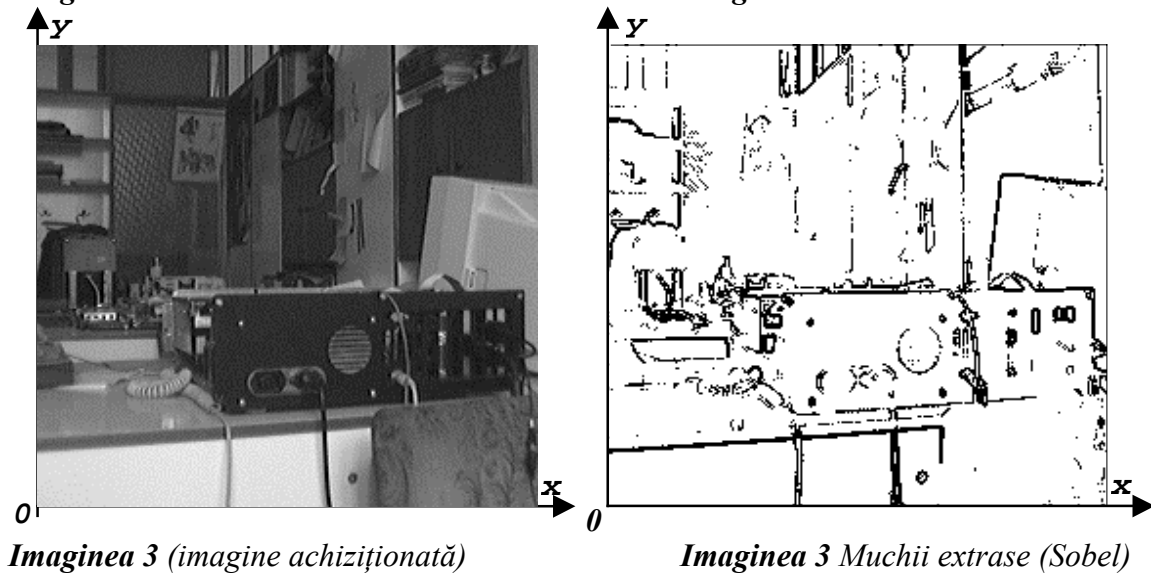
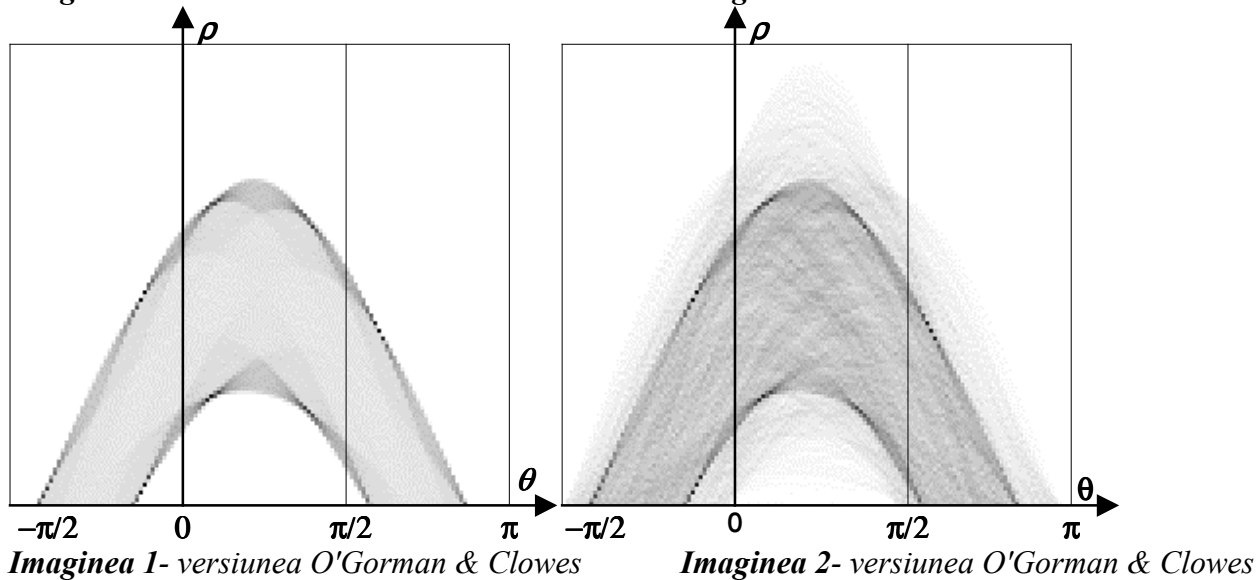
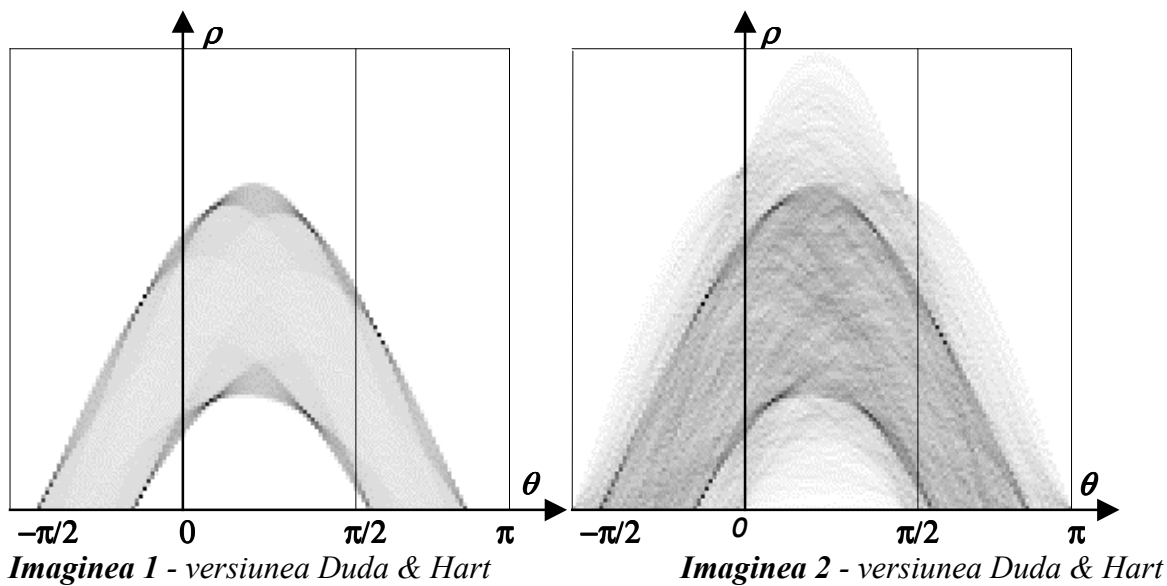
Imaginea 2 - Muchii extrase (Sobel)

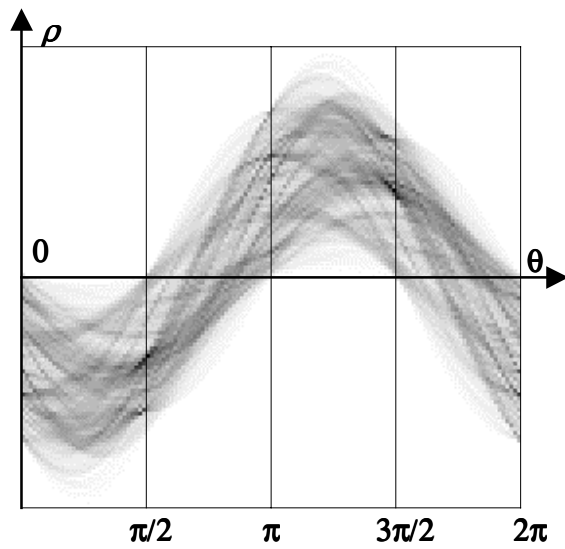


Imaginea 1 - Transformata Hough

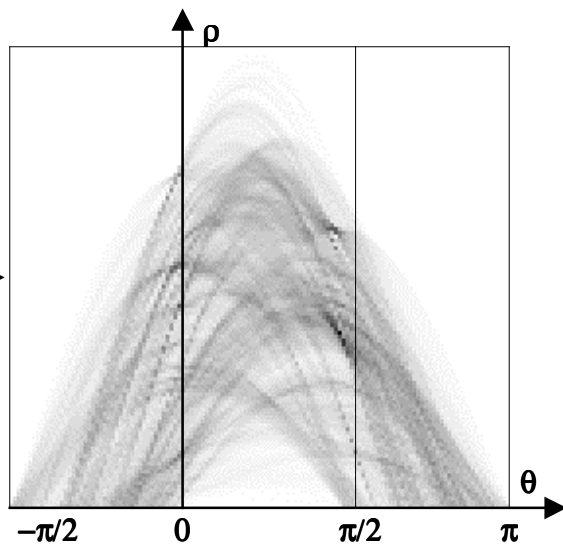


Imaginea 2 - Transformata Hough

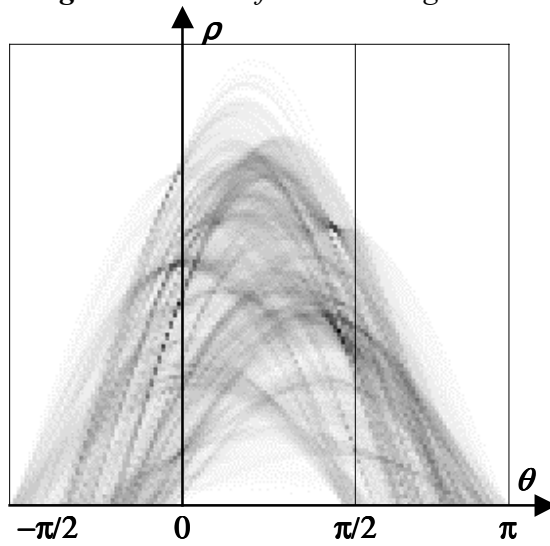




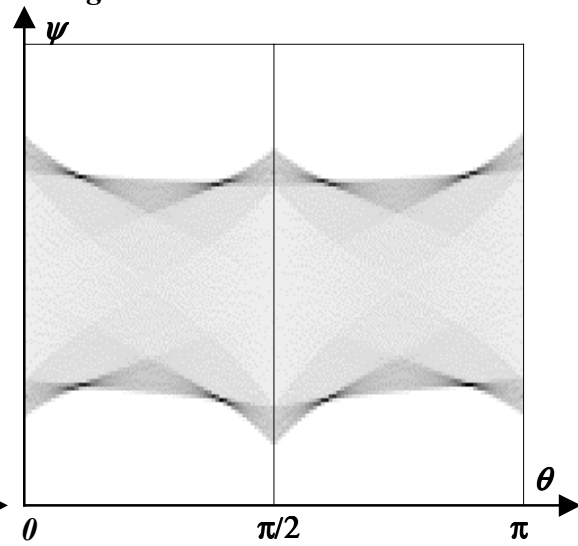
Imaginea 3 - Transformata Hough



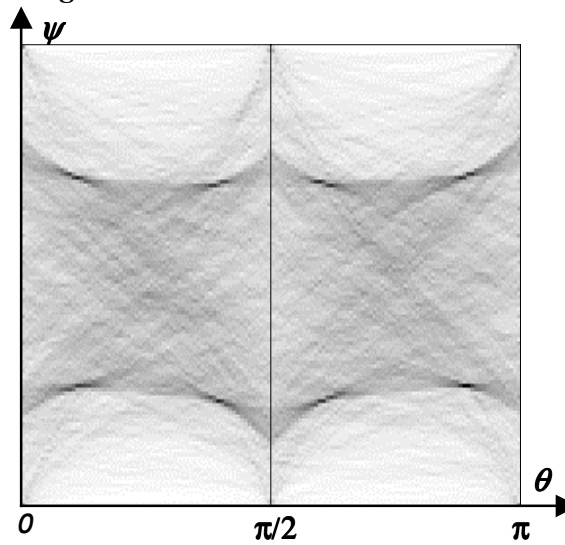
Imaginea 3 - versiunea Duda & Hart



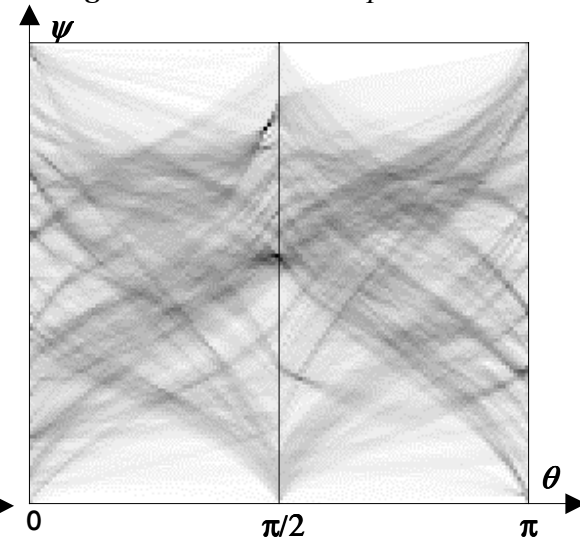
Imaginea 3 - versiunea O'Gorman & Clowes



Imaginea 1 - Versiunea optimizată, trasare



Imaginea 2 - Versiunea optimizată, trasare



Imaginea 3 - Versiunea optimizată, trasare

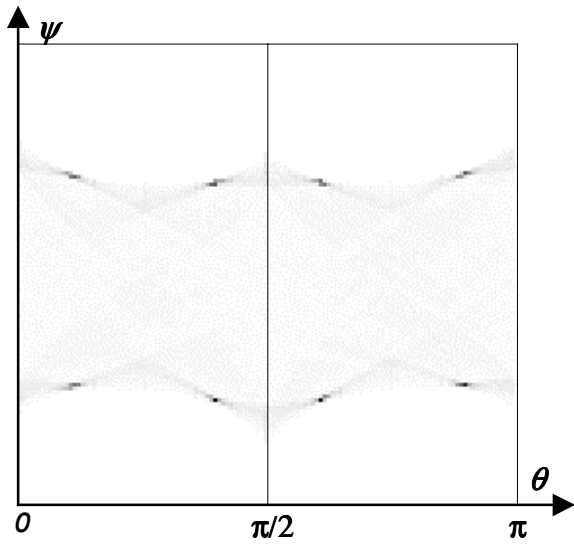


Image 2 - Versiunea optimizată, numărare.

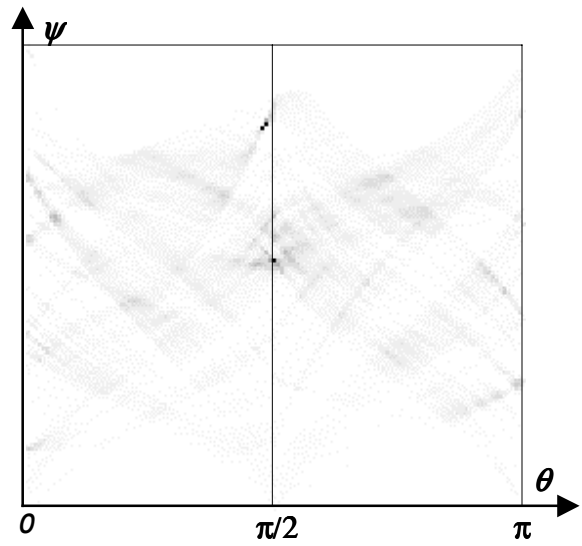
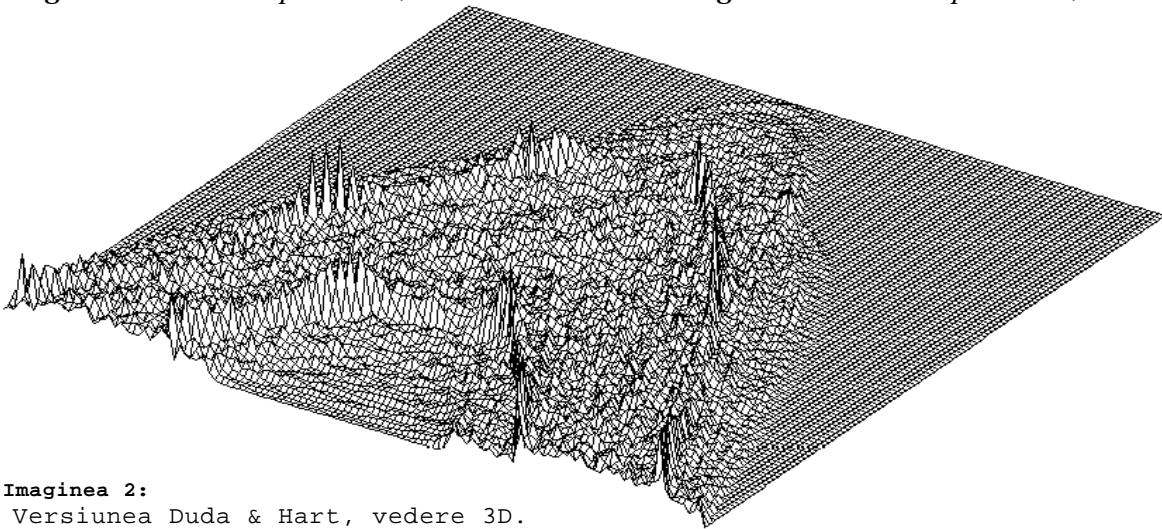
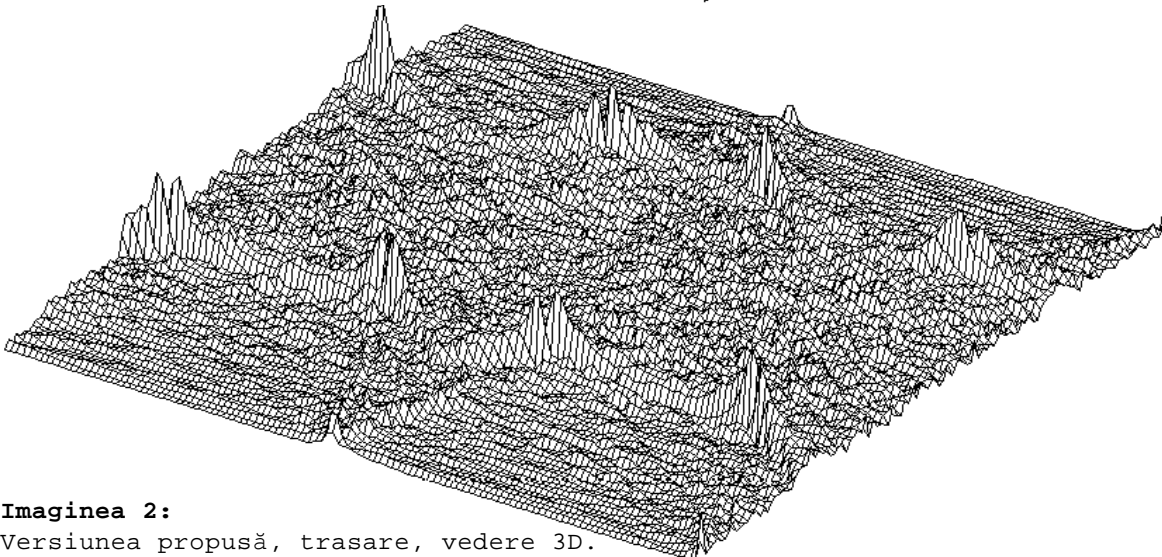


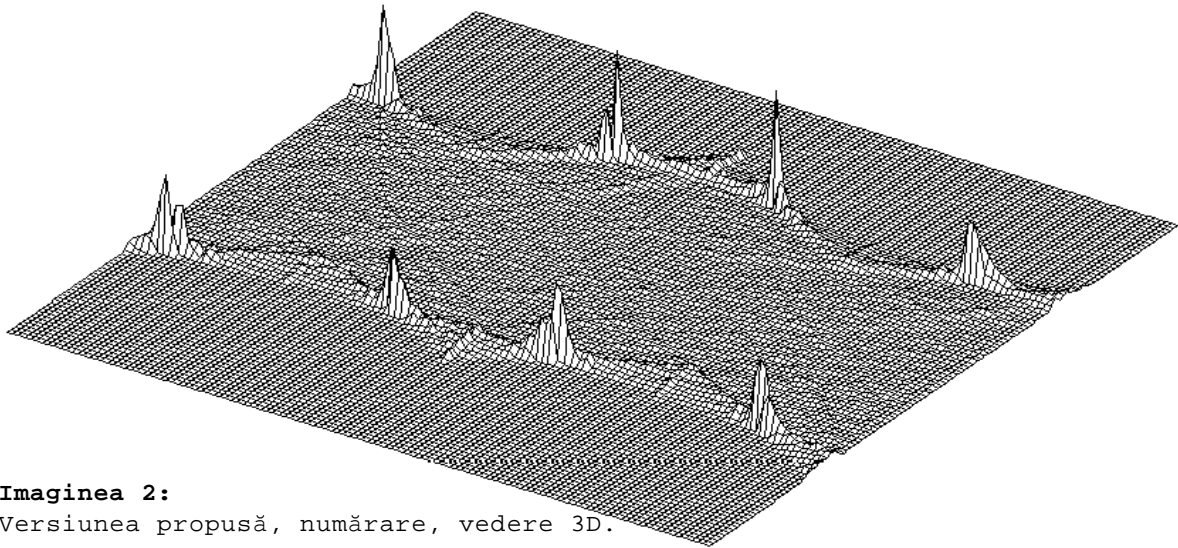
Image 3 - Versiunea optimizată, numărare.



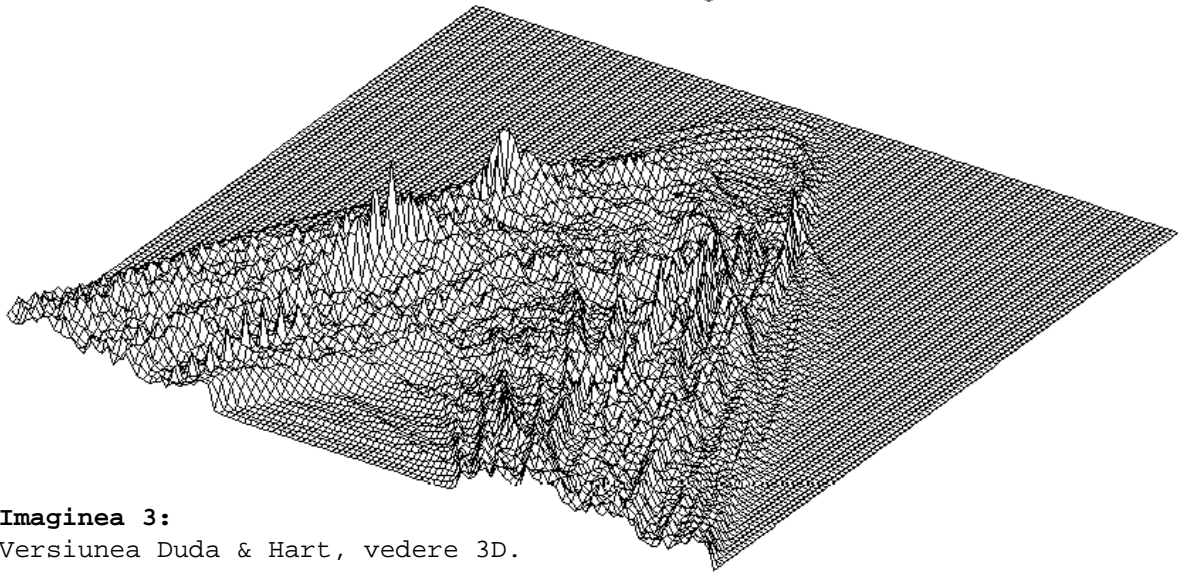
Imaginea 2:
Versiunea Duda & Hart, vedere 3D.



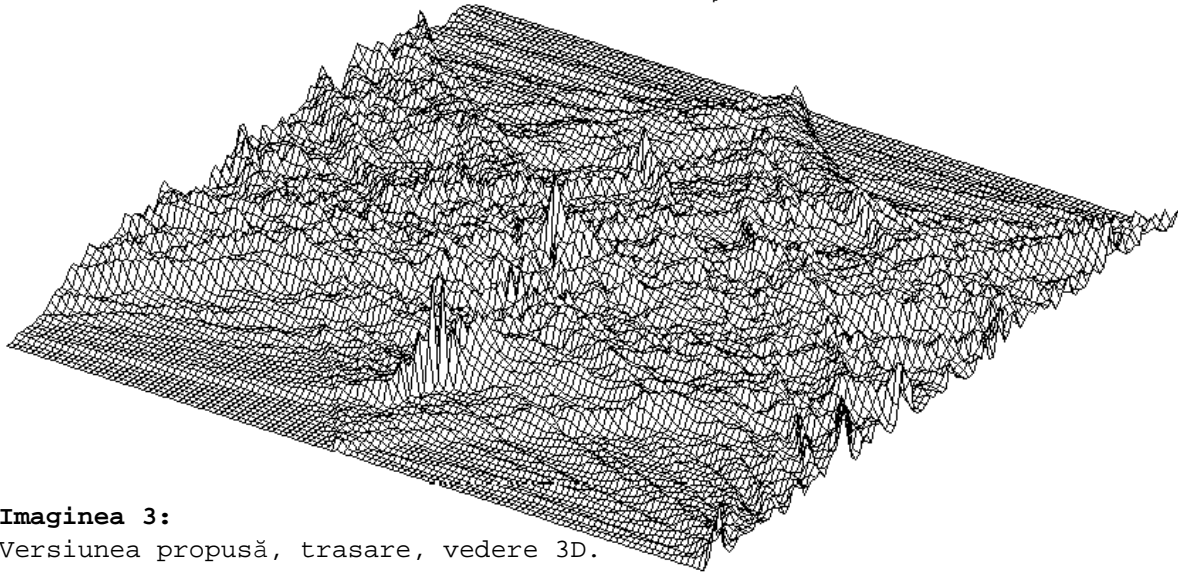
Imaginea 2:
Versiunea propusă, trasare, vedere 3D.



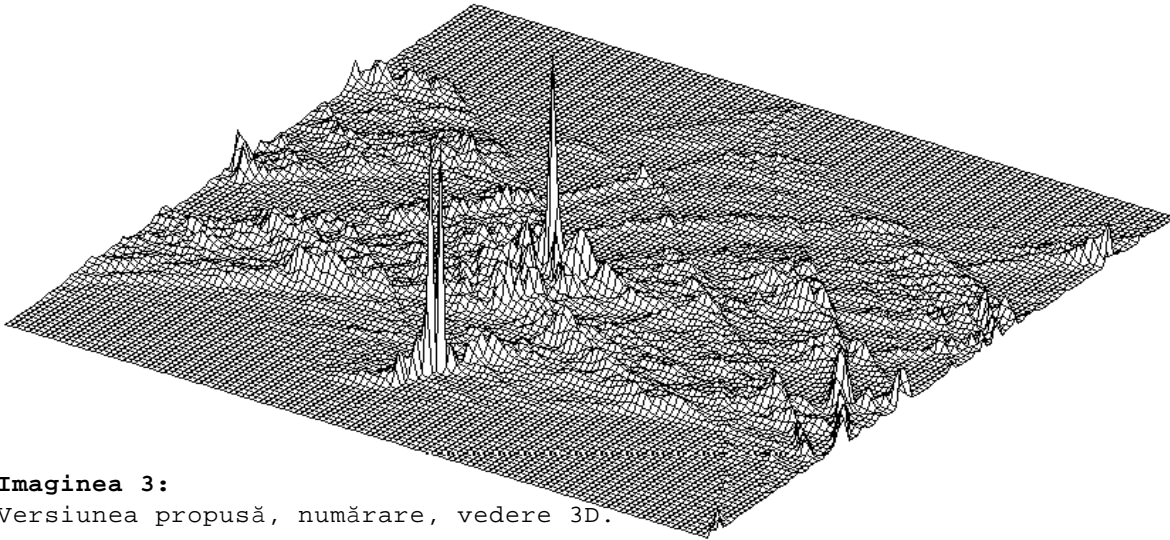
Imaginea 2:
Versiunea propusă, numărare, vedere 3D.



Imaginea 3:
Versiunea Duda & Hart, vedere 3D.



Imaginea 3:
Versiunea propusă, trasare, vedere 3D.



Imaginea 3:

Versiunea propusă, numărare, vedere 3D.

Deși transformata Hough necesită un mare volum de operații și multă memorie, ea rămâne un instrument foarte puternic în analiza imaginilor.

Versiunea optimizată prezintă o creștere semnificativă a rezoluției pe ambele axe. Astfel, domeniul pentru parametrul θ este redus de la $[-\pi/2, \pi]$ pentru versiunea Duda & Hart, la $[0, \pi]$ sau echivalent $[-\pi/2, \pi/2]$ pentru versiunea propusă. Aceasta transformare nu are zone neutilizate în matricea de acumulare, precum prezintă versiunile clasice ale transformării Hough (versiunea Duda & Hart folosește doar 60% din locațiile matricii de acumulare). Transformata inversă descrisă în această lucrare trebuie utilizată pentru localizarea segmentelor de dreaptă din imaginea inițială, fiecare corespunzând unui maxim local în matricea de acumulare.

Cea mai bună soluție din cele analizate este de a calcula numărul de intersecții de sinusoidă în fiecare careu elementar corespunzător locațiilor matricii de acumulare, dar timpul de calcul este în acest caz proporțional cu $N(N-1)/2$, unde N este numărul de puncte de muchie din imaginea inițială. Maximele locale obținute astfel sunt mai accentuate, iar precizia localizării lor este mai mare. Rezultatele se îmbunătățesc dacă se îmbină această metodă cu ideea lui O'Gorman & Clowes - creșterea influenței muchiilor accentuate prin utilizarea unui increment dependent de valoarea absolută a modulului gradientului estimat pentru fiecare pixel din imagine.

7.8. Detalii de implementare.

Aplicația PROImage, prezentată în capitolul 21 include mai multe implementări ale transformatei Hough și a variantelor sale (pentru informații suplimentare se poate studia codul sursă din fișierul "hou.pas").

```
(*=====*)
(* Transformarea Hough, versiunea originală*)
Procedure HHough(k,m : byte);
var
  x,y,i,j,n      : integer;
  raza,teta,fi   : real;
  RMax,Hmax     : real;
  Sn,Cs         : array [0..127] of real;
begin
  for i:=0 to 127 do
  begin
    teta:=i/127.0*2*PI-PI;
    Sn[i]:=sin(teta);
    Cs[i]:=cos(teta);
```

```

end;

New(Hc);
for x:=0 to 127do
  for y:=0 to 119 do
    Hc^[y,x]:=0.0;

fi:=arctan(240/256);
RMax:=Sqrt(Sqr(255.0)+Sqr(239.0));
for x:=0 to 255 do
begin
  for y:=0 to 239 do
    if Pc^[y,x]<>0 then
      begin
        for i:=0 to 127 do
          begin
            raza:=x*Cs[i]+y*Sn[i]-RMax/2.0*cos(i/127.0*2*PI-PI-fi);
            j:=Round(raza/RMax*59.0)+60;
            Hc^[j,i]:=Hc^[j,i]+1.0;
          end;
        end;
      end;
    end;
  end;

HMax:=0.0;
for x:=0 to 127 do
  for y:=0 to 119 do
    if Hc^[y,x]>HMax then
      HMax:=Hc^[y,x];

if HMax<>0 then
begin
  XOff:=((m-1)-2*((m-1) div 2))*256;
  YOff:=((m-1) div 2)*240;
  for x:=0 to 127 do
    begin
      for y:=0 to 119 do
        begin
          n:=Round(255.0*Hc^[y,x]/HMax);
          Pc^[y+y,x+x]:=n;
          Pc^[y+y,x+x+1]:=n;
          Pc^[y+y+1,x+x]:=n;
          Pc^[y+y+1,x+x+1]:=n;
        end;
      end;
    end;
  end;
  ...
end;

(*=====*)
(* Transformarea Hough, versiunea Duda & Hart*)
Procedure DHough(k,m : byte);
var
  x,y,i,l,n      : integer;
  raza,teta,fi   : real;
  RMax,Hmax     : real;
  Sn,Cs         : array [0..127] of real;
begin
  for i:=0 to 127 do
    begin
      teta:=i/127.0*1.5*PI-PI/2.0;
      Sn[i]:=sin(teta);

```

```

    Cs[i]:=cos(teta);
end;

New(Hc);
for x:=0 to 127do
  for y:=0 to 119 do
    Hc^[y,x]:=0.0;

RMax:=Sqrt(Sqr(255.0)+Sqr(239.0));
for x:=0 to 255 do
begin
  for y:=0 to 239 do
    if Pc^[y,x]<>0 then
begin
  if x=0 then
    fi:=0.0
  else
    fi:=arctan(y/x)-PI/2.0;
    j:=Round(127.0*fi/PI/1.5+127.0/3.0);
    n:=Round(127.0*(fi+PI)/PI/1.5+127.0/3.0);
    for i:=j to n do
begin
  raza:=x*Cs[i]+y*Sn[i];
  l:=Round(raza/RMax*119.0);
  Hc^[l,i]:=Hc^[l,i]+1.0;
end;
end;
end;

end;

HMax:=0;
for x:=0 to 127 do
  for y:=0 to 119 do
    if Hc^[y,x]>HMax then
      HMax:=Hc^[y,x];

if HMax<>0 then
begin
  XOff:=((m-1)-2*((m-1) div 2))*256;
  YOff:=((m-1) div 2)*240;
  for x:=0 to 127 do
    for y:=0 to 119 do
begin
  n:=Round(255.0*Hc^[y,x]/HMax);
  Pc^[y+y,x+x]:=n;
  Pc^[y+y,x+x+1]:=n;
  Pc^[y+y+1,x+x]:=n;
  Pc^[y+y+1,x+x+1]:=n;
end;
end;
end;
...
end;

(*=====*)
(* Transformarea Hough, versiunea O'Gorman & Clove*)
Procedure GHough(k,m : byte);
var
  x,y,i,n,p,q      : integer;
  k1,k2            : integer;
  raza,teta,fi     : real;
  RMax,HMax        : real;
  Sn,Cs            : array [0..127] of real;

```

```

begin

New(Hc);
New(Rc);
New(Fc);

for x:=0 to 255 do
  for y:=0 to 239 do
    begin
      Rc^[y,x]:=0;
      Fc^[y,x]:=0;
    end;

for i:=0 to 127 do
begin
  teta:=i/127.0*1.5*PI-PI/2.0;
  Sn[i]:=sin(teta);
  Cs[i]:=cos(teta);
end;

for x:=1 to 254 do
  for y:=1 to 238 do
    begin
      k1:=Pc^[y+1,x]-Pc^[y-1,x];
      k2:=Pc^[y,x+1]-Pc^[y,x-1];
      n:=Round(Sqrt(Sqr(k1+0.0)+Sqr(k2+0.0)));
      if n>255 then n:=255;
      Rc^[y,x]:=n;
      if k2=0 then
        fi:=pi/2
      else
        fi:=arctan(k1/k2);
      if fi<-PI/2 then
        fi:=fi+1.5*PI
      else
        if fi<PI/2 then
          fi:=fi+PI/2.0
        else
          fi:=fi-PI/2.0;
      n:=Round(fi/PI*255.0);
      Fc^[y,x]:=n;
    end;

for x:=0 to 127 do
  for y:=0 to 119 do
    Hc^[y,x]:=0.0;

RMax:=Sqrt(Sqr(255.0)+Sqr(239.0));
for x:=0 to 255 do
begin
  for y:=0 to 239 do
    if Rc^[y,x]>110 then
      begin
        if x=0 then
          fi:=PI/2
        else
          fi:=arctan(y/x);
        if Fc^[y,x]*PI/255.0<fi then
          fi:=Fc^[y,x]*PI/255.0+PI/2.0
        else

```

```

        fi:=Fc^[y,x]*PI/255.0-PI/2.0;
    for i:=0 to 127 do
    begin
        raza:=x*Cs[i]+y*Sn[i];
        n:=Round(raza/RMax*119.0);
        if n>=0 then
            Hc^[n,i]:=Hc^[n,i]+Fc^[y,x];
        end;
    end;
end;

HMax:=0;
for x:=0 to 127 do
    for y:=0 to 119 do
        if Hc^[y,x]>HMax then
            HMax:=Hc^[y,x];
        end;
    end;
end;

if (HMax<>0) then
begin
    XOff:=((m-1)-2*((m-1) div 2))*256;
    YOff:=((m-1) div 2)*240;
    for x:=0 to 127 do
        for y:=0 to 119 do
            begin
                n:=Round(255*Hc^[y,x]/HMax);
                Pc^[y+y,x+x]:=n;
                Pc^[y+y,x+x+1]:=n;
                Pc^[y+y+1,x+x]:=n;
                Pc^[y+y+1,x+x+1]:=n;
            end;
        end;
    end;
end;
...
end;

(*=====*)
(* Transformarea Hough, versiunea optimizată 1*)
Procedure NHough(k,m : byte);
var
    x,y,i,j,n      : integer;
    raza,teta,fi   : real;
    HMaxim,RMaxim  : real;
    Sn,Cs,rmin,rmax : array [0..127] of real;
begin
    New(Hc);
    for x:=0 to 127do
        for y:=0 to 119 do
            Hc^[y,x]:=0.0;
        end;
    end;

    fi:=arctan(240/256);
    RMaxim:=Sqrt(Sqr(255.0)+Sqr(239.0));
    for i:=0 to 127 do
    begin
        teta:=i/127.0*PI;
        Sn[i]:=sin(teta);
        Cs[i]:=cos(teta);
        if teta<PI/2 then
            rmax[i]:=RMaxim*cos(fi-teta)
        else
            rmax[i]:=239.0*sin(teta);
        if teta<PI/2 then
            rmin[i]:=0.0
        end;
    end;
end;

```

```

    else
        rmin[i]:=255.0*cos(teta);
    end;

    for x:=0 to 255 do
    begin
        for y:=0 to 239 do
            if Pc^[y,x]>0 then
            begin
                for i:=0 to 127 do
                begin
                    raza:=(x*Cs[i]+y*Sn[i]-rmin[i])/(rmax[i]-rmin[i]);
                    j:=119-Round(raza*119.0);
                    Hc^[j,i]:=Hc^[j,i]+1.0;
                end;
            end;
        end;
    end;

    HMaxim:=0.0;
    for x:=0 to 127 do
        for y:=0 to 119 do
            if Hc^[y,x]>HMaxim then
                HMaxim:=Hc^[y,x];

        if HMaxim<>0 then
        begin
            XOff:=((m-1)-2*((m-1) div 2))*256;
            YOff:=((m-1) div 2)*240;
            for x:=0 to 127 do
            begin
                for y:=0 to 119 do
                begin
                    n:=Round(255.0*Hc^[y,x]/HMaxim);
                    Pc^[y+y,x+x]:=n;
                    Pc^[y+y,x+x+1]:=n;
                    Pc^[y+y+1,x+x]:=n;
                    Pc^[y+y+1,x+x+1]:=n;
                end;
            end;
        end;
    end;
    ...
end;

(*=====*)
(* Transformarea Hough, versiunea optimizată 2*)
Procedure EHough(k,m : byte);
var
    x,y,i,j,n,p,n1,n2 : integer;
    raza,teta,fi      : real;
    Thr,Lmb           : real;
    HMaxim,RMaxim     : real;
    Sn,Cs,rmin,rmax   : array [0..127] of real;
    L,r,s             : longint;
begin
    New(Hc);
    New(Cc);

    Cc^[0,0]:=0;
    Cc^[0,255]:=0;
    Cc^[239,0]:=0;
    Cc^[239,255]:=0;

```

```

for x:=1 to 254 do
begin
  n:=abs(integer(Pc^[0,x-1])-Pc^[0,x+1]);
  if n>255 then n:=255;
  Cc^[0,x]:=n;
end;
for x:=1 to 254 do
begin
  n:=abs(integer(Pc^[239,x-1])-Pc^[239,x+1]);
  if n>255 then n:=255;
  Cc^[239,x]:=n;
end;
for y:=1 to 238 do
begin
  n:=abs(integer(Pc^[y-1,0])-Pc^[y+1,0]);
  if n>255 then n:=255;
  Cc^[y,0]:=n;
end;
for y:=1 to 238 do
begin
  n:=abs(integer(Pc^[y-1,255])-Pc^[y+1,255]);
  if n>255 then n:=255;
  Cc^[y,255]:=n;
end;
for x:=1 to 254 do
  for y:=1 to 238 do
  begin
    n1:=integer(Pc^[y-1,x-1])-Pc^[y-1,x+1]+Pc^[y,x-1]-
      Pc^[y,x+1]+Pc^[y+1,x-1]-Pc^[y+1,x+1];
    n2:=integer(Pc^[y-1,x-1])-Pc^[y+1,x-1]+Pc^[y-1,x]-
      Pc^[y+1,x]+Pc^[y-1,x+1]-Pc^[y+1,x+1];
    n1:=abs(n1);n2:=abs(n2);
    if n>n2 then n:=n1
    else n:=n2;
    if n>255 then n:=255;
    Cc^[y,x]:=n;
  end;
end;

for i:=0 to 127 do
begin
  teta:=i/127.0*1.5*PI-PI/2.0;
  Sn[i]:=sin(teta);
  Cs[i]:=cos(teta);
end;

fi:=arctan(240/256);
RMaxim:=Sqrt(Sqr(255.0)+Sqr(239.0));
for i:=0 to 127 do
begin
  teta:=i/127.0*PI;
  Sn[i]:=sin(teta);
  Cs[i]:=cos(teta);
  if teta<PI/2 then
    rmax[i]:=RMaxim*cos(fi-teta)
  else
    rmax[i]:=239.0*sin(teta);
  if teta<PI/2 then
    rmin[i]:=0.0
  else
    rmin[i]:=255.0*cos(teta);
end;

```

```

end;

for x:=0 to 127 do
  for y:=0 to 119 do
    Hc^[y,x]:=0.0;

New(Vc);
L:=0;
Thr:=224;
for i:=0 to 255 do
  for j:=0 to 239 do
    if Cc^[j,i]>Thr then
      begin
        Vc^[L]:=i;
        Vc^[L+1]:=j;
        L:=L+2;
      end;

Lmb:=1.0/255.0;
for r:=0 to (L div 2)-1 do
begin
  x:=Vc^[r+r];
  y:=Vc^[r+r+1];
  for s:=0 to r-1 do
    begin
      n1:=Vc^[s+s];
      n2:=Vc^[s+s+1];
      (*pentru fiecare pereche validă*)
      if y=n2 then
        fi:=PI/2
      else
        fi:=-arctan((x-n1)/(y-n2));
      if fi<0 then
        fi:=fi+PI;
      n:=round(fi/PI*127.0);
      raza:=x*Cs[n]+y*Sn[n];
      if fi>PI/2 then
        raza:=raza-rmin[n];
      raza:=raza/(rmax[n]-rmin[n]);
      j:=119-Round(raza*119.0);
      Hc^[j,n]:=Hc^[j,n]+1.0+Lmb*Cc^[y,x];
    end;
  end;
end;

HMaxim:=0;
for x:=0 to 127 do
  for y:=0 to 119 do
    if Hc^[y,x]>HMaxim then
      HMaxim:=Hc^[y,x];

if (HMaxim<>0) then
begin
  XOff:=(m-1)-2*((m-1) div 2))*256;
  YOff:=(m-1) div 2)*240;
  for x:=0 to 127 do
    for y:=0 to 119 do
      n:=Round(255*Hc^[y,x]/HMaxim);
      Pc^[y+y,x+x]:=n;
      Pc^[y+y,x+x+1]:=n;
      Pc^[y+y+1,x+x]:=n;

```



```
        Pc^[y+y+1,x+x+1]:=n;  
    end;  
end;  
...  
end;
```

8. "Potrivirea" imaginilor (image matching).

- 8.1. Principiul metodei.
- 8.2. Filtrul de "potrivire".
- 8.3. Înregistrarea imaginilor translate (image registration).
- 8.4. "Potrivirea" imaginilor și estimatorul de mișcare MPEG.

8.1. Principiul metodei.

Una din cele mai importante clase de metode de localizare a obiectelor într-o imagine are la bază așa-numita "potrivire" a conținutului unei imagini cu un model al obiectului căutat. Aceasta este în esență o operație de căutare a minimumului unei măsuri a diferenței între imagine și model. "Potrivirea" ideală se obține arareori, datorită prezenței zgomotelor, efectelor digitizării imaginii, etc.

Dacă se notează cu $f(m,n)$ imaginea digitală, unde $-M \leq m \leq M$ și $-N \leq n \leq N$, iar cu $T(j,k)$ modelul căutat, o măsură a distorsiunii dintre imagine și model poate fi scrisă:

$$d(m,n) = \sum_j \sum_k [f(j,k) - T(j-m, k-n)]^2 \quad (1)$$

"Potrivirea" se obține pentru valoarea minimă a expresiei anterioare sau când $d(m,n)$ scade sub un anumit prag. Relația anterioară se poate simplifica mult notând:

$$d(m,n) = d_1(m,n) - 2d_2(m,n) + d_3(m,n) \quad (2)$$

unde

$$d_1(m,n) = \sum_j \sum_k [f(j,k)]^2 \quad (3)$$

$$d_2(m,n) = \sum_j \sum_k f(j,k) T(j-m, k-n) \quad (4)$$

$$d_3(m,n) = \sum_j \sum_k [T(j-m, k-n)]^2 \quad (5)$$

Termenul $d_3(m,n)$ este constant și independent de coordonatele (m,n) . Energia imaginii din fereastra de "potrivire" este reprezentată de $d_1(m,n)$, în timp ce $d_2(m,n)$ este chiar corelația între imagine și model, în fereastra curentă. Deoarece condiția de minim poate fi atinsă pentru valori mari ale corelației $d_2(m,n)$ și ale energiei imaginii, $d_1(m,n)$, chiar în condiții de "nepotrivire", se utilizează intercorelația normalizată drept măsură a "potrivirii", adică:

$$\tilde{R}_{FT}(m,n) = \frac{d_2(m,n)}{d_1(m,n)} \quad (6)$$

Decizia de "potrivire" se ia dacă este îndeplinită condiția:

$$\tilde{R}_{FT}(m,n) > L_R(m,n) \quad (7)$$

8.2. Filtrul de "potrivire".

Operația de găsim a extremului unei măsuri a similitudinii între imagine și model poate fi privită ca o *filtrare* a imaginii. Filtrul de "potrivire" furnizează la ieșire o măsură a acestei similitudini, care poate fi chiar intercorelația normalizată.

Fie imaginea $g(x,y)$, obținută din imaginea inițială $f(x,y)$ afectată de zgomotul $n(x,y)$.

$$g(x,y) = f(x,y) + n(x,y) \quad (8)$$

Operația de filtrare furnizează la ieșire:

$$g_0(x,y) = g(x,y) * h(x,y) \quad (9)$$

unde $h(x,y)$ este răspunsul la impuls al filtrului de "potrivire".

Corespunzător intercorelației normalizate, în acest caz avem raportul semnal-zgomot:

$$\frac{|S(x,y)|^2}{N} \quad (10)$$

unde $|S(x,y)|^2 = |g(x,y) * h(x,y)|^2$ este energia instantanee la ieșirea filtrului, iar

N este energia zgomotului la ieșirea filtrului.

Notând cu $W_N(\omega_x, \omega_y)$ densitatea spectrală de putere a zgomotului, rezultă:

$$\frac{|S(x,y)|^2}{N} = \frac{\left| \int_{-\infty}^{+\infty} \int_{-\infty}^{+\infty} G(\omega_x, \omega_y) H(\omega_x, \omega_y) \exp(jx\omega_x + jy\omega_y) d\omega_x d\omega_y \right|^2}{\int_{-\infty}^{+\infty} \int_{-\infty}^{+\infty} W_N(\omega_x, \omega_y) |H(\omega_x, \omega_y)|^2 d\omega_x d\omega_y} \quad (11)$$

Expresia de mai sus este maximizată pentru:

$$H(\omega_x, \omega_y) = \frac{G^*(\omega_x, \omega_y) \exp(-jx\omega_x - jy\omega_y)}{W_N(\omega_x, \omega_y)} \quad (12)$$

Pentru zgomot alb, numitorul expresiei de mai sus este o constantă. Pentru imagini modelate stochastic, soluția căutată este dată de:

$$H(\omega_x, \omega_y) = \frac{G^*(\omega_x, \omega_y) \exp(-jx\omega_x - jy\omega_y)}{W_F(\omega_x, \omega_y) + W_N(\omega_x, \omega_y)} \quad (13)$$

Pentru cazul discret, fie g imaginea observată, formată prin suprapunerea zgomotului n peste imaginea ideală f :

$$g = f + n \quad (14)$$

Dacă m este matricea filtrului căutat, în urma acestei filtrări se obține:

$$\tilde{g} = m^T (f + n) \quad (15)$$

Se utilizează notațiile:

$S = (m^T f)^2$ - energia imaginii ideale (fără zgomot), și

$N = E \{ (m^T n)(m^T n)^T \} = m^T K_n m$, energia zgomotului trecut prin filtrul m , unde

K_n este matricea de covarianță atașată zgomotului.

Raportul semnal-zgomot este dat de:

$$\frac{S}{N} = \frac{(m^T f)^2}{m^T K_n m} \quad (16)$$

Proiectarea filtrului se face în condiția maximizării raportului semnal-zgomot, ceea ce duce la:

$$\mathbf{m} = \mathbf{K}_n^{-1} \mathbf{f} \quad (17)$$

iar pentru semnale stochastice:

$$\mathbf{m} = (\mathbf{K}_f + \mathbf{K}_n)^{-1} \bar{\mathbf{f}} \quad (18)$$

8.3. Înregistrarea imaginilor translate (image registration).

O clasă largă de aplicații ale "potrivirii" imaginilor se referă la realizarea unei corespondențe la nivel de pixel în cazul unor imagini provenite de la doi senzori diferiți, imagini ale aceleiași scene, însă translate, rotite una față de alta sau care prezintă unele diferențe de scară. Operația se numește înregistrarea imaginilor. În literatură se mai citează cazul înregistrării imaginilor unor scene văzute din perspective diferite.

Cazul înregistrării imaginilor *translate* relativ una față de alta este cel mai des întâlnit. Fie două imagini, $f_1(j,k)$ și $f_2(j,k)$, unde $1 \leq j \leq J$ și $1 \leq k \leq K$. O măsură a gradului de potrivire a celor două imagini este funcția de intercorelație dată de:

$$\mathbf{R}(m,n) = \frac{\sum_j \sum_k f_1(j,k) f_2(j-m+(M+1)/2, k-n+(N+1)/2)}{\left[\sum_j \sum_k [f_1(j,k)]^2 \right]^{1/2} \left[\sum_j \sum_k [f_2(j-m+(M+1)/2, k-n+(N+1)/2)]^2 \right]^{1/2}} \quad (19)$$

Studiind geometria operației de "potrivire", deci de calcul a funcției de intercorelație pe baza schemei următoare:

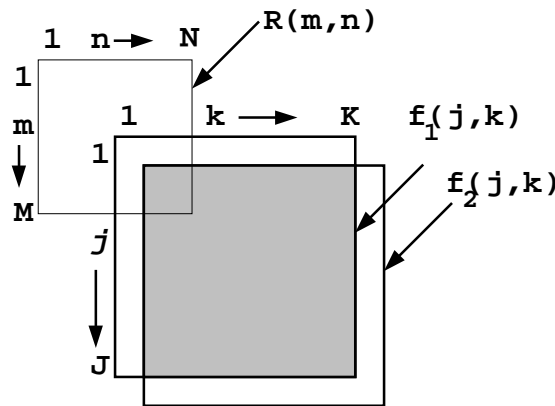


Fig. 1. Geometria operației de "potrivire".

rezultă limitele de sumare pentru expresia lui $R(m,n)$:

$$\max [1, m - (M - 1)/2] \leq j \leq \min [J, J + m - (M + 1)/2] \quad (20)$$

$$\max [1, n - (N - 1)/2] \leq k \leq \min [K, K + n - (N + 1)/2] \quad (21)$$

Dezavantajele modului de operare descris principal până acum constau în alura maximumului funcției de intercorelație $R(m,n)$, care este de obicei plat, ceea ce face problematică detecția acestui maxim, mai ales în prezența zgomotelor care afectează ambele imagini. De aceea se utilizează funcția de intercorelație statistică, având o expresie asemănătoare celei precedente:

$$R_S(m,n) = \frac{\sum_j \sum_k g_1(j,k) g_2(j-m+(M+1)/2, k-n+(N+1)/2)}{\left[\sum_j \sum_k [g_1(j,k)]^2 \right]^{1/2} \left[\sum_j \sum_k [g_2(j-m+(M+1)/2, k-n+(N+1)/2)]^2 \right]^{1/2}} \quad (22)$$

unde $g_1(j,k)$ și $g_2(j,k)$ se obțin din imaginile $f_1(j,k)$ și $f_2(j,k)$ prin filtrările:

$$g_1(j,k) = [f_1(j,k) - \bar{f}_1(j,k)] * d_1(j,k) \quad (23)$$

$$g_2(j,k) = [f_2(j,k) - \bar{f}_2(j,k)] * d_2(j,k) \quad (24)$$

S-au notat cu $\bar{f}_1(j,k)$ și $\bar{f}_2(j,k)$ mediile spațiale ale imaginilor în fereastra de corelație.

Filtrele sunt descrise de răspunsul la impuls:

$$d_i = \frac{1}{(1+\rho^2)^2} \begin{bmatrix} \rho^2 & -\rho(1+\rho^2) & \rho^2 \\ -\rho(1+\rho^2) & (1+\rho^2)^2 & -\rho(1+\rho^2) \\ \rho^2 & -\rho(1+\rho^2) & \rho^2 \end{bmatrix} \quad (25)$$

unde ρ este o măsură a corelației existente între pixelii adiacenți.

Această metodă permite accentuarea semnificativă a maximelor funcției de intercorelație, pentru valori apropiate de 1 ale parametrului ρ .

Volumul extrem de mare de calcule necesare pentru obținerea funcției de intercorelație poate fi diminuat aplicând unele strategii, descrise sumar în continuare.

Astfel Rosenfeld și Vandenburg [97],[109] au propus reducerea într-o primă fază a rezoluției imaginilor ce se compară, fie prin subeșantionare, fie prin simpla selecție a unui subset de pixeli. Determinarea, folosind aceste imagini a maximumului funcției de intercorelație, duce la o localizare grosieră a lui. Aceasta permite restrângerea semnificativă a dimensiunilor ferestrei de corelație pentru calculul funcției de autocorelație a imaginilor inițiale, deci reducerea volumului de calcul.

Altă metodă, descrisă de Barnea și Silverman [11] propune calculul cumulativ al funcției de eroare pentru cele două imagini translate, oprindu-se calculul intercorelației dacă eroarea calculată, la un anumit pas, depășește un anumit prag.

Metodele descrise până acum pot fi extinse pentru compararea imaginilor rotite una față de alta, folosind în loc de $f_2(j,k)$ funcția $f_2(j,k;\theta)$ care reprezintă replicile rotite/translate ale celei de-a doua imagini. Generalizarea metodelor de mai sus constă în înlocuirea funcțiilor de imagine cu trăsături extrase din imagini, cum ar fi momentele invariante, coeficienții unor transformări ortogonale, etc.

8.4. "Potrivirea" imaginilor și estimatorul de mișcare MPEG.

Probabil că cea mai răspândită implementare a "potrivirii" de imagini este cea care se găsește deja implementată (prin software sau hardware) pe toate calculatoarele personale: este vorba de codec-ul MPEG, care permite vizualizarea secvențelor video.

Codec-ul MPEG (codor și decodor) realizează compresia/decompresia secvențelor de imagini în timp real. MPEG (Motion Pictures Expert Group) nu este singurul algoritm de acest tip. Există o multitudine de standarde de compresie a secvențelor video, cum ar fi CCITT H.261, MPEG-1, MPEG-2, MPEG4.

Pentru a realiza o rată ridicată de compresie și a menține în același timp o calitate satisfăcătoare a secvenței de imagini la decodare, se utilizează tehnici de codare *intra-imagine* și *inter-imagini* (C-Cube[27]), (Jain[56])

Codarea *intra-imagine* este foarte apropiată principial de codarea JPEG: imaginea este împărțită în blocuri de 8x8 pixeli, fiecărui asemenea bloc i se aplică transformarea cosinus discretă. Din matricea 8x8 a transformării se obține un vector în urma ordonării Zig-Zag.

Urmează apoi cuantizarea vectorului ZZ și în final o codare tip Huffman sau aritmetică. Acest tip de codare elimină doar redundanța spațială a secvenței de imagini.

O secvență de imagini se caracterizează însă și printr-o redundanță temporală: conținuturile imaginilor succesive din secvență sunt adesea foarte apropiate. Diferențele care apar sunt datorate în cea mai mare parte mișcării elementelor ce compun imaginea în cadru. Plecând de la această observație se presupune că imaginea curentă poate fi modelată ca fiind o translație a imaginii precedente.

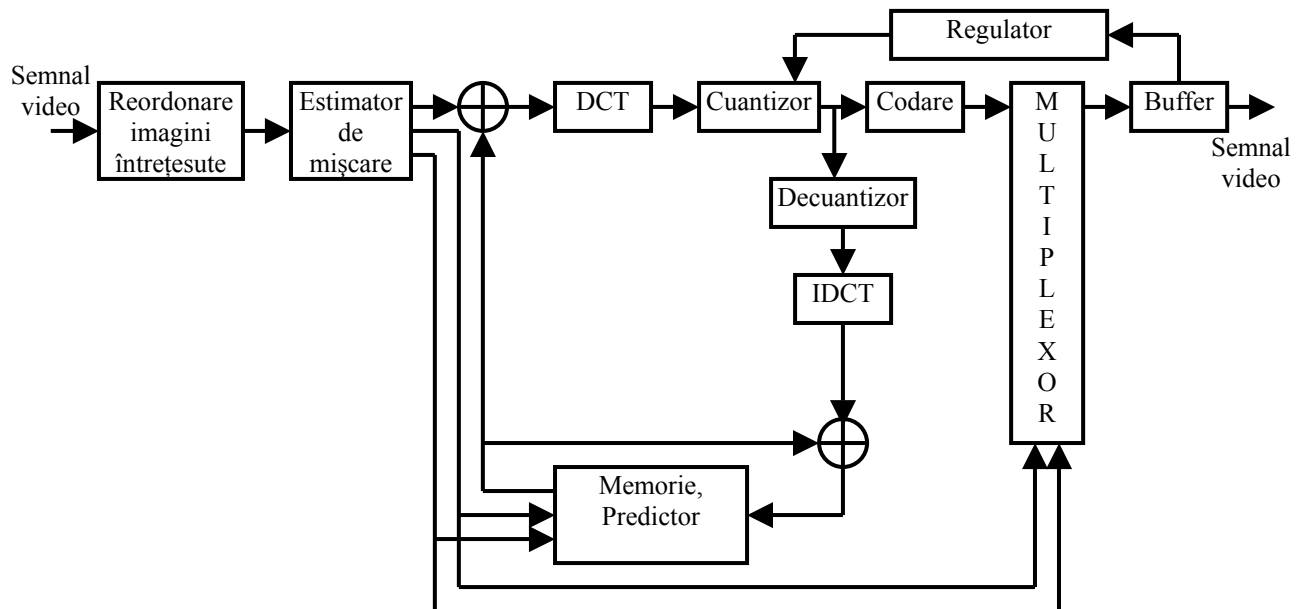


Fig.2. Schema bloc codor MPEG-1.

Practic, imaginea se descompune în blocuri 8x8(CCITT) sau 16x16(MPEG-1) și ceea ce se codează este, pentru fiecare bloc în parte, diferența între blocul curent și un bloc din imaginea precedentă (bloc de referință) pentru care diferența absolută (absolute difference - AE) este minimă:

$$E(d_x, d_y) = \sum_0^{15} \sum_0^{15} |\mathbf{f}(i, j) - \mathbf{g}(i - d_x, j - d_y)| \quad (26)$$

Localizarea acestui bloc de referință se face deci prin metoda care face subiectul acestui capitol, adică prin "potrivire de imagini".

Odată determinat, blocul de referință este reprezentat intern de un vector conținând coordonatele carteziene.

Deși conceptual foarte simplă, metoda necesită un număr foarte mare de operații elementare. Practic, pentru fiecare pixel din imagine se calculează diferența absolută iar toate calculele trebuie terminate într-un interval de timp dat de perioada de cadre (intervalul de timp dintre două imagini succesive) pentru semnalul video, adică 20msec pentru PAL-SECAM.

Pentru a micșora numărul de operații, standardul MPEG-1 folosește algoritmul TSS (Three-Step-Search = căutare în trei pași). Algoritmul evaluează mai întâi diferența absolută în centrul zonei de căutare și în alte 8 locații din zona de căutare aflate în jurul centrului. Locația care furnizează diferența absolută minimă devine centrul zonei de căutare pentru pasul al doilea, care de această dată are dimensiunea redusă la jumătate. Căutarea se repetă de trei ori.

9. Extragerea trăsăturilor imagistice.

- 9.1. Tipuri de trăsături și evaluarea lor.
- 9.2. Trăsături de amplitudine.
 - 9.2.1. Trăsături ale histogramei.
 - 9.2.2. Trăsături ale matricii de coocurență.
- 9.3. Trăsături în domeniul transformatelor.
 - 9.3.1. Construcția unui selector optimal de trăsături.
- 9.4. Momente.
 - 9.4.1. Momente invariante.
 - 9.4.2. Momente ortogonale.
 - 9.4.2. Momentele Zernike.
- 9.5. Trăsături geometrice.
- 9.6. Trăsături ale imaginilor de clasă (3).
 - 9.6.1. Segmentarea curbelor.
 - 9.6.2. Descriptorii Fourier.
- 9.7. Caracterizarea texturilor.
- 9.8. Trăsături structurale-sintactice.
- 9.9. Detalii de implementare.

9.1. Tipuri de trăsături și evaluarea lor.

O multitudine de trăsături pot fi extrase din imaginile de diferite clase. Aceste trăsături urmează a fi folosite în faza de recunoaștere. În prezent nu există încă o teorie generală asupra modului de selecție a celor mai semnificative trăsături. Criteriile de selecție a lor se bazează pe importanța lor în caracterizarea formei, pe performanțele asigurate în recunoaștere și nu în ultimul rând pe costul acestora (viteză de calcul, memorie ocupată, etc.).

Există o strânsă interdependență între algoritmi de segmentare și cei de extragere a trăsăturilor. Segmentarea în sine poate fi văzută ca o extragere de trăsături, în măsura în care pixelii zonelor de interes obținuți prin segmentare prezintă drept trăsături proprietățile impuse de operația de segmentare.

Cele mai simple trăsături care pot fi extrase dintr-o imagine sunt cele de amplitudine, obținute din studiul histogramei și a matricii de coocurență.

Utilizând o transformare ortogonală (Karhunen-Loeve discretă, Fourier Discretă, Cosinus Discretă, Hadamard, etc) și bazându-ne pe proprietățile de decorelare ale acestor transformări, se pot folosi drept trăsături coeficienții acestor transformări.

Recunoașterea imagistică se referă cel mai des la recunoașterea obiectelor și regiunilor care apar într-o imagine. Obiectele pot fi descrise fie prin contur, fie prin schelet, a căror reprezentare a fost abordată deja în paragraful 6.3.3. Caracterizările cele mai directe ale regiunilor

au la bază transformarea zonelor bidimensionale de imagine în vectori care se codează corespunzător.

Des folosite sunt reprezentările care au la bază arbori cuadratici, pentru care există dezvoltate o multitudine de algoritmi de parcurgere, căutare, stocare.

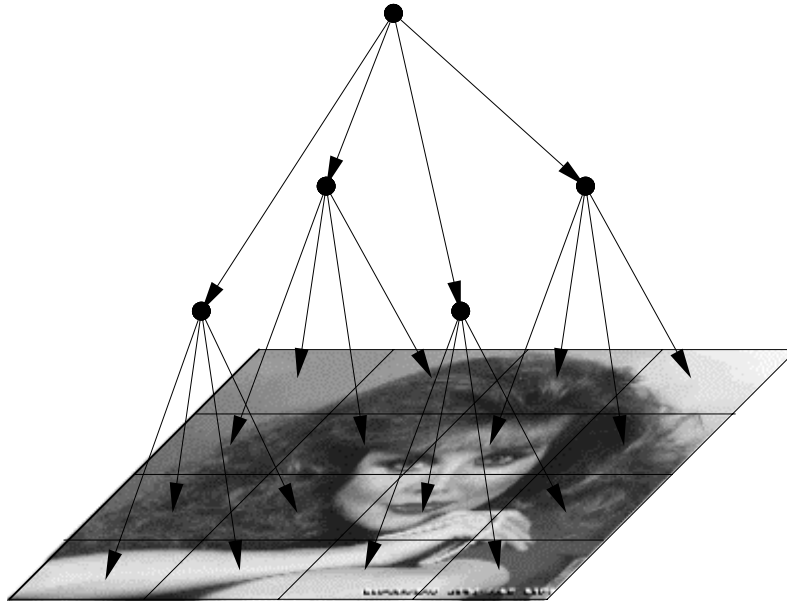


Fig. 1. Arbori cuadratici pentru reprezentarea imaginilor.

De asemenea, această reprezentare permite nu numai compresia imaginilor ci și extragerea facilă a unor trăsături.

Trăsăturile care se extrag în vederea caracterizării obiectelor și regiunilor sunt regenerative sau neregenerative, ultimele putând fi caracterizate drept simple măsurători asupra imaginilor.

O întreagă clasă de trăsături mult folosite la analiza obiectelor și regiunilor are la bază momentele. Teoria matematică a momentelor permite descrierea regenerativă a elementelor de imagine, compararea prin "potrivirea" momentelor, etc. Există momente ortogonale sau nu, invariante sau nu la translație, rotație, scalare.

Foarte des folosite sunt trăsăturile geometrice (neregenerative), care se utilizează mult, mai ales datorită simplității lor.

Dacă avem de analizat o imagine de clasă (3), deci formată din linii și curbe continue formând contururi închise și/sau grafuri, o caracterizare a lor se poate face fie prin metode ce țin de segmentarea curbilor (vezi paragrafele 6.4.), fie utilizând descriptorii Fourier.

Trăsăturile structurale/morfologice încearcă să realizeze o descriere a obiectelor pe baza unui set de elemente de structură, numite primitive. Adăugând la acestea o sintaxă care să descrie prin reguli interdependențele între primitive, se obține o descriere sintactică.

Evaluarea trăsăturilor are la bază cel mai adesea utilizarea unei măsuri între diferitele seturi de trăsături extrase pentru aceleași clase de obiecte (Pratt[84]). Cel mai des se utilizează în acest scop distanța Bhattacharyya (sau B-distanța) care se definește, pentru vectorul de trăsături x și perechea de clase S_1 și S_2 , prin:

$$B(S_1, S_2) = -\ln \left\{ \int [p(x|S_1)p(x|S_2)]^{1/2} dx \right\} \quad (1)$$

unde cu $p(x|S_i)$ s-au notat probabilitățile condiționate.

Deoarece cel mai adesea densitățile de probabilitate ale trăsăturilor extrase respectă legea normală, în acest caz B-distanța se scrie:

$$\mathbf{B}(S_1, S_2) = \frac{1}{8}(\mathbf{u}_1 - \mathbf{u}_2)^T \left[\frac{\Sigma_1 + \Sigma_2}{2} \right]^{-1} (\mathbf{u}_1 - \mathbf{u}_2) + \frac{1}{2} \ln \left\{ \frac{|\frac{1}{2}(\Sigma_1 + \Sigma_2)|}{|\Sigma_1|^{1/2} + |\Sigma_2|^{1/2}} \right\} \quad (2)$$

unde \mathbf{u}_i și Σ_i reprezintă vectorul mediu de trăsături și respectiv matricea de covarianță a trăsăturilor ce caracterizează formele din clasa "i".

Nu în ultimul rând trebuie menționat că, pentru fiecare trăsătură trebuie specificate proprietățile de invarianță pe care aceasta le prezintă, invarianțe care trebuie respectate de toate trăsăturile aplicate la intrarea clasificatorului, în concordanță cu cerințele aplicației.

9.2. Trăsături de amplitudine.

După cum s-a menționat deja, cele mai simple trăsături care se pot extrage dintr-o imagine sunt trăsăturile de amplitudine. Orice imagine se poate caracteriza prin media nivelelor de gri ale pixelilor aferenți:

$$\mathbf{M}(x, y) = \frac{1}{(2w+1)^2} \sum_{i=-w}^w \sum_{j=-w}^w \mathbf{f}(x+i, y+j) \quad (3)$$

precum și prin deviația lor standard, numită și dispersia imaginii:

$$\delta^2(x, y) = \frac{1}{(2w+1)^2} \sum_{i=-w}^w \sum_{j=-w}^w [\mathbf{f}(x+i, y+j) - m(x+i, y+j)]^2 \quad (4)$$

Valorile $\mathbf{M}(x, y)$ și $\delta^2(x, y)$ se pot calcula fie pentru întreaga imagine, fie pentru anumite vecinătăți, eventual atașate unor anumiți pixeli din imagine. În formulele anterioare, s-a notat latura vecinătății cu $2w+1$.

9.2.1. Trăsături ale histogramei.

Alte caracterizări extrem de simple ale imaginilor se pot obține direct din analiza histogramei imaginii, care poate fi asimilată cu o statistică de ordinul unu asociată nivelelor de gri ale pixelilor din imagine.

Alura histogramei furnizează foarte multe informații privind structura imaginii. Astfel, o histogramă îngustă indică o imagine cu contrast scăzut, o histogramă îngustă și "deplasată" către stânga corespunde unei imagini având și luminozitate scăzută, iar o histogramă bimodală sugerează prezența unor obiecte cu un anumit nivel de gri preponderent, pe un fond de un alt nivel de gri.

În continuare sunt enumerate principalele trăsături care se pot extrage din vectorul histogramă:

$$\text{Media:} \quad S_M = \sum_{z=0}^{L-1} z \mathbf{H}(z) \equiv \bar{z} \quad (5)$$

$$\text{Dispersia:} \quad S_D = \sqrt{\left[\sum_{z=0}^{L-1} (z - \bar{z})^2 \right]} \equiv \sigma_z \quad (6)$$

$$\text{(Skewness):} \quad S_S = \frac{1}{\sigma_z^3} \sum_{z=0}^{L-1} (z - \bar{z})^3 \mathbf{H}(z) \quad (7)$$

$$\text{(Kurtosis):} \quad S_K = \frac{1}{\sigma_z^4} \sum_{z=0}^{L-1} (z - \bar{z})^4 \mathbf{H}(z) - 3 \quad (8)$$

$$\text{Energia:} \quad S_N = \sum_{z=0}^{L-1} [\mathbf{H}(z)]^2 \quad (9)$$

$$\text{Entropia: } S_E = -\sum_{z=0}^{L-1} H(z) \log_2 [H(z)] \quad (10)$$

Toate aceste trăsături sunt în esență estimări de ordin statistic efectuate însă nu asupra imaginii, ci doar asupra vectorului histogramă. Se folosesc destul de mult în analiza texturilor.

9.2.2. Trăsături ale matricii de coocurență.

Altă caracterizare a imaginii are la bază matricea de coocurență, care este în esență o estimare statistică de ordinul doi. Dacă se notează cu $P(a,b)$ probabilitatea (estimată din analiza imaginii) ca pixelul cu coordonatele (j,k) să aibă nivelul de gri "a" și pixelul cu coordonatele (m,n) să aibă valoarea "b", deci:

$$P(a,b) = P\{f(j,k) = a; f(m,n) = b\} \quad (11)$$

se pot extrage alte trăsături care să caracterizeze interdependența între perechile de pixeli din imagine:

$$\text{Autocorelația: } S_A = \sum_{a=0}^{L-1} \sum_{b=0}^{L-1} ab P(a,b) \quad (12)$$

$$\text{Covarianța: } S_C = \sum_{a=0}^{L-1} \sum_{b=0}^{L-1} (a - \bar{a})(b - \bar{b}) P(a,b) \quad (13)$$

$$\text{unde } \bar{a} = \sum_{a=0}^{L-1} \sum_{b=0}^{L-1} a P(a,b) \text{ și } \bar{b} = \sum_{a=0}^{L-1} \sum_{b=0}^{L-1} b P(a,b) \quad (14)$$

$$\text{Inerția: } S_I = \sum_{a=0}^{L-1} \sum_{b=0}^{L-1} (a - b)^2 P(a,b) \quad (15)$$

$$\text{Modulul: } S_V = \sum_{a=0}^{L-1} \sum_{b=0}^{L-1} |a - b| P(a,b) \quad (16)$$

$$\text{Diferența inversă: } S_F = \sum_{a=0}^{L-1} \sum_{b=0}^{L-1} \frac{P(a,b)}{1 + (a - b)^2} \quad (17)$$

$$\text{Energia: } S_G = \sum_{a=0}^{L-1} \sum_{b=0}^{L-1} [P(a,b)]^2 \quad (18)$$

$$\text{Entropia: } S_T = -\sum_{a=0}^{L-1} \sum_{b=0}^{L-1} P(a,b) \log_2 [P(a,b)] \quad (19)$$

Ca și în cazul histogramei, alura matricii de coocurență poate furniza multe informații referitoare la imagine. Astfel, într-o imagine cu o puternică corelație între pixeli, valorile semnificative ale matricii de coocurență se grupează de-a lungul diagonalei principale.

Trăsăturile enumerate mai sus se folosesc mult pentru caracterizarea texturilor.

9.3. Trăsături în domeniul transformatelor.

Transformarea Fourier a fost și este foarte mult folosită în analiza imaginilor. Pentru cazul continuu, ea este descrisă de:

$$F(\omega_x, \omega_y) = \int_{-\infty-\infty}^{+\infty+\infty} f(x,y) \exp(-jx\omega_x - jy\omega_y) dx dy \quad (20)$$

De remarcat faptul că există metode optice pentru realizarea acestei transformări, un senzor optic putând furniza la ieșire spectrul de putere sub forma:

$$M(\omega_x, \omega_y) = |F(\omega_x, \omega_y)|^2 \quad (21)$$

Aceste informații sunt invariante la translația originii lui $f(x,y)$, și pot fi folosite ca atare. Dacă se trece $M(\omega_x, \omega_y)$ în coordonate polare, o integrare unghiulară în gama $[0, 2\pi]$, produce un set de trăsături invariante la rotație:

$$N(\rho) = \int_0^{2\pi} M(\rho, \theta) d\theta \quad (22)$$

unde $\rho = \sqrt{\omega_x^2 + \omega_y^2}$ și $\theta = \arctan(\omega_y/\omega_x)$.

Oarecum similar, invarianța la schimbarea scalei se obține tot printr-o integrală, și anume:

$$P(\theta) = \int_0^{+\infty} M(\rho, \theta) \rho d\rho \quad (23)$$

Alte trăsături pot fi obținute din $M(\omega_x, \omega_y)$ prin intermediul unei integrale de suprafață pe domenii de diferite forme (bandă orizontală, bandă verticală, sector circular, sector unghiular), rezultând trăsăturile S_1, S_2, S_3, S_4 , ca funcții de parametrii regiunii de integrare.

$$S_1(m) = \int_{-\infty}^{+\infty} \int_{\omega_y(m)}^{\omega_y(m+1)} M(\omega_x, \omega_y) d\omega_x d\omega_y \quad (24)$$

$$S_2(m) = \int_{\omega_x(m)}^{\omega_x(m+1)} \int_{-\infty}^{+\infty} M(\omega_x, \omega_y) d\omega_x d\omega_y \quad (25)$$

$$S_3(m) = \int_{\rho(m)}^{\rho(m+1)} \int_0^{2\pi} M(\rho, \theta) d\rho d\theta \quad (26)$$

$$S_4(m) = \int_0^{+\infty} \int_{\theta(m)}^{+\infty} M(\rho, \theta) d\rho d\theta \quad (27)$$

Aceleași metode pot fi definite și în cazul altor transformări ortogonale discrete sau continue.

9.3.1. Construcția unui selector optimal de trăsături.

Un selector optimal de trăsături se construiește astfel:

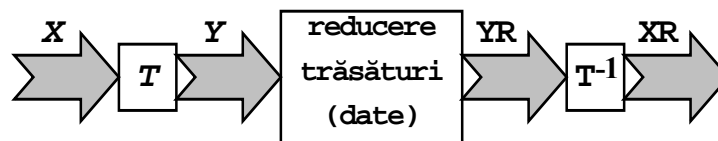


Fig. 2. Schema bloc a selectorului optimal de trăsături.

unde:

$X = (x_1, x_2, \dots, x_N)$ - vectorul de intrare;

$Y = (y_1, y_2, \dots, y_N)$ - vectorul transformat;

$YR = (y_1, y_2, \dots, y_k, c_{k+1}, c_{k+2}, \dots, c_N)$ - vectorul de trăsături redus; el se obține din YR înlocuind cu constante ultimele $(N - k)$ valori;

$XR = (xr_1, xr_2, \dots, xr_N)$ - estimarea vectorului de intrare.

$T = \|\mathbf{u}_1^T, \mathbf{u}_2^T, \dots, \mathbf{u}_N^T\|^T$, unde $\mathbf{u}_j^T = (u_{j0}, u_{j1}, \dots, u_{jN})$ este matricea unei transformări ortogonale unitare care se va determina în condițiile minimizării erorii medii pătratice date de:

$$e = \mathbf{E}\{(\mathbf{X} - \bar{\mathbf{X}})^T(\mathbf{X} - \bar{\mathbf{X}})\} \quad (28)$$

Notând matricea de covarianță a intrării cu:

$$\mathbf{K}_{XX} = \mathbf{E}\{(\mathbf{X} - \bar{\mathbf{X}})(\mathbf{X} - \bar{\mathbf{X}})^T\} \quad (29)$$

unde $\bar{\mathbf{X}} = \mathbf{E}\{\mathbf{X}\}$, se obține transformata Karhunen-Loeve discretă (sau Hotelling) cu proprietățile:

Deoarece implementarea transformării (KL) este dificilă, modelând intrarea $\{\mathbf{X}\}$ cu un proces Markov de ordinul 1, cea mai bună aproximare a transformării Karhunen-Loeve discrete este DCT (Transformata Cosinus Discretă). Această modelare nu este foarte restrictivă și se poate folosi cu succes în multe aplicații. Ahmed și Rao [03] constată că asemenea proprietăți de decorelare a datelor prezintă multe transformări (Fourier, Hadamard, Walsh-Hadamard) dar ele sunt cel mai pregnante la Transformata Cosinus Discretă.

Pentru calculul DCT există nu numai algoritmi rapizi de calcul, ci și circuite specializate de mare viteză. Pentru cazul bidimensional se folosește:

$$F(u, v) = \frac{1}{2N} \sum_{j=0}^{N-1} \sum_{i=0}^{N-1} f(j, k) \cos\left(\frac{\pi u j}{N}\right) \cos\left(\frac{\pi v k}{N}\right) \quad (30)$$

rezultând o matrice de aceeași dimensiune, cu valori reale, slab corelate. Valorile semnificative ale acestei matrici sunt plasate în colțul din stânga sus.

9.4. Momente.

Teoria generală a momentelor constituie un instrument util în analiza și descrierea

1. $(\mathbf{K}_{XX} - \lambda_j \times \mathbf{I}_N) \times \mathbf{u}_j = 0$ - liniile matricii transformării sunt valorile proprii ale matricii de covarianță a domeniului de intrare;
2. $\mathbf{K}_{YY} = \text{diag}(\lambda_1, \lambda_2, \dots, \lambda_N)$ - transformarea furnizează la ieșire coeficienți necorelați;
3. $E = \sum_{j=k+1}^N \lambda_j$ - expresia erorii.

obiectelor și regiunilor imagistice. Pentru o funcție mărginită reală $f(x, y)$, definită pe o regiune finită R , momentul (regulat) de ordinul $(p + q)$ se definește prin:

$$m_{p,q} = \iint_R f(x, y) x^p y^q dx dy \quad (31)$$

Funcția caracteristică a lui $f(x, y)$ se definește prin conjugata transformării ei Fourier:

$$F^*(\xi_1, \xi_2) = \iint_R f(x, y) \exp\{2\pi j(x\xi_1 + y\xi_2)\} dx dy \quad (32)$$

Funcția generatoare de momente pentru $f(x, y)$ fiind definită de relația:

$$M(\xi_1, \xi_2) = \iint_R f(x, y) \exp(x\xi_1 + y\xi_2) dx dy \quad (33)$$

pe baza ei se pot obține momentele de orice ordin cu expresia:

$$m_{p,q} = \left. \frac{\partial^{p+q} M(\xi_1, \xi_2)}{\partial \xi_1^p \partial \xi_2^q} \right|_{\xi_1=\xi_2=0} \quad (34)$$

Faptul că momentele sunt trăsături regenerative rezultă din *teorema de reprezentare prin momente*, care afirmă că un set infinit de momente $\{m_{p,q}; p, q = 0, 1, \dots\}$ determină în mod unic funcția $f(x, y)$ și invers. Formula de reconstrucție a lui $f(x, y)$ din momentele sale este:

$$f(x, y) = \int_{-\infty}^{+\infty} \int_{-\infty}^{+\infty} \exp[-2\pi j(x\xi_1 + y\xi_2)] \left[\sum_{p=0}^{+\infty} \sum_{q=0}^{+\infty} m_{p,q} \frac{(2\pi j)^{p+q}}{p!q!} \xi_1^p \xi_2^q \right] d\xi_1 d\xi_2 \quad (35)$$

În cazul discret momentele se calculează cu:

$$m_{p,q} = \sum_x \sum_y x^p y^q f(x, y) \quad (36)$$

unde $f(x, y)$ este funcția imagine. Dacă, în plus, imaginea este binară, calculul momentelor devine separabil:

$$m_{p,q} = \sum_x x^p \sum_y y^q \quad (37)$$

9.4.1. Momente invariante.

Pe baza momentelor regulate definite anterior se construiește *momentul centrat* de ordinul $(p + q)$:

$$\mu_{p,q} = \int_{-\infty}^{+\infty} \int_{-\infty}^{+\infty} (x - \bar{x})^p (y - \bar{y})^q f(x, y) dx dy \quad (38)$$

iar pentru cazul discret avem:

$$\mu_{p,q} = \sum_x \sum_y (x - \bar{x})^p (y - \bar{y})^q f(x, y) \quad (39)$$

Momentul centrat normalizat de ordinul $(p + q)$ se definește prin:

$$\eta_{p,q} = \frac{\mu_{p,q}}{\mu_{0,0}^{[(p+q)/2+1]}} \quad (40)$$

Pe baza momentelor centrate normalizate de diferite ordine au fost definite un număr de șapte momente invariante la translație, scalare și rotație. Ele sunt date de (Gonzales[42]):

$$\begin{aligned} \phi_1 &= \mu_{2,0} + \mu_{0,2} \\ \phi_2 &= (\mu_{2,0} + \mu_{0,2})^2 + 4\mu_{1,1}^2 \\ \phi_3 &= (\mu_{3,0} - 3\mu_{1,2})^2 + (\mu_{0,3} - 3\mu_{2,1})^2 \\ \phi_4 &= (\mu_{3,0} + \mu_{1,2})^2 + (\mu_{0,3} + \mu_{2,1})^2 \\ \phi_5 &= (\mu_{3,0} - 3\mu_{1,2})(\mu_{3,0} + \mu_{1,2})[(\mu_{3,0} + \mu_{1,2})^2 - 3(\mu_{2,1} + \mu_{0,3})^2] + \\ &\quad + (\mu_{0,3} - 3\mu_{2,1})(\mu_{0,3} + \mu_{2,1})[(\mu_{0,3} + \mu_{2,1})^2 - 3(\mu_{1,2} + \mu_{3,0})^2] \\ \phi_6 &= (\mu_{2,0} - \mu_{0,2})[(\mu_{3,0} + \mu_{1,2})^2 - (\mu_{2,1} + \mu_{0,3})^2] + 4\mu_{1,1}(\mu_{3,0} + \mu_{1,2})(\mu_{3,0} + \mu_{2,1}) \\ \phi_7 &= (3\mu_{2,1} - \mu_{0,3})(\mu_{3,0} + \mu_{1,2})[(\mu_{3,0} + \mu_{1,2})^2 - 3(\mu_{2,1} + \mu_{0,3})^2] + \\ &\quad + (\mu_{3,0} - 3\mu_{2,1})(\mu_{2,1} + \mu_{0,3})[(\mu_{0,3} + \mu_{2,1})^2 - 3(\mu_{1,2} + \mu_{3,0})^2] \end{aligned} \quad (41)$$

De remarcat faptul că *modulul* momentului ϕ_7 prezintă invariantele sus-menționate.

9.4.2. Momente ortogonale.

Momentele regulate $m_{p,q}$ descrise anterior sunt neortogonale, deoarece x^p și y^q sunt neortogonale (momentele $m_{p,q}$ pot fi considerate ca fiind proiecțiile lui $f(x,y)$ pe monoamele x^p și y^q). În locul lor pot fi folosite polinoamele Legendre care sunt ortogonale. Ele sunt definite (Jain[56]) de relațiile:

$$P_0(x) = 1 \quad (42)$$

$$P_n(x) = \frac{1}{n!2^n} \frac{d^n}{dx^n} (x^2 - 1)^n \quad (43)$$

$$\int_{-1}^{+1} P_n(x) P_m(x) dx = \frac{2}{2n+1} \delta(m-n) \quad (44)$$

Aceste polinoame ortogonale permit reprezentarea funcției $f(x,y)$ prin:

$$f(x,y) = \sum_{p=0}^{+\infty} \sum_{q=0}^{+\infty} \lambda_{p,q} P_p(x) P_q(y) \quad (45)$$

unde:

$$\lambda_{p,q} = \frac{(2p+1)(2q+1)}{4} \int_{-1}^{+1} \int_{-1}^{+1} f(x,y) P_p(x) P_q(y) dx dy \quad (46)$$

sunt tocmai momentele ortogonale căutate. În practică, aceste momente sunt calculate prin intermediul momentelor neortogonale anterioare, folosind relațiile:

$$\lambda_{p,q} = \frac{(2p+1)(2q+1)}{4} \sum_{j=0}^p \sum_{k=0}^q c_{p,j} c_{q,k} m_{j,k} \quad (47)$$

unde $c_{j,k}$ reprezintă coeficientul lui x^k din expresia polinomului Legendre de ordinul "j".

9.4.3 Momentele Zernike.

Drept variantă alternativă a momentelor descrise anterior se prezintă în continuare (Khotanzad[38],[39]) un tip special de momente ce prezintă proprietatea de invarianță la rotație.

Momentele Zernike se definesc pe un domeniu egal cu interiorul cercului unitate:

$$x^2 + y^2 = 1 \quad (48)$$

Pentru construcția lor se definește mai întâi un set de polinoame ortogonale, notate:

$$\{V_{nm}(x,y)\}, \text{ cu } n - |m| \text{ par și } |m| \leq n \quad (49)$$

Expresia de definiție a lor este:

$$V_{nm}(x,y) = V_{nm}(\rho, \theta) = R_{nm}(\rho) \exp(jm\theta) \quad (50)$$

unde:

$$R_{nm}(\rho) = \sum_{s=0}^{(n-|m|)/2} (-1)^s \frac{(n-s)!}{s! [(n+|m|)/2 - s]! [(n-|m|)/2 - s]!} \rho^{n-2s} \quad (51)$$

Se poate remarca faptul că:

$$R_{n,-m}(\rho) = R_{nm}(\rho) \quad (52)$$

Aceste polinoame $\{V_{nm}(x,y)\}$ fiind ortogonale, satisfac condițiile de ortogonalitate:

$$\iint_{x^2+y^2 \leq 1} [V_{nm}(x,y)]^* V_{pq}(x,y) dx dy = \frac{\pi}{n+1} \delta_{np} \delta_{mq} \quad (53)$$

unde:

$$\delta_{ab} = \begin{cases} 1, & \text{pentru } a = b \\ 0, & \text{pentru } a \neq b \end{cases}$$

Momentele Zernike sunt proiecții ale funcției imagine pe această bază ortogonală. Presupunând că $f(x,y)$ în afara cercului unitate, avem momentul Zernike de ordinul $(n+m)$:

$$A_{nm} = \frac{n+1}{\pi} \iint_{x^2+y^2 \leq 1} f(x,y) V_{nm}^*(\rho, \theta) dx dy \quad (54)$$

Pentru cazul discret, momentul Zernike de același ordin se scrie:

$$A_{nm} = \frac{n+1}{\pi} \sum_x \sum_y f(x,y) V_{nm}^*(\rho, \theta), \text{ cu } x^2 + y^2 \leq 1 \quad (55)$$

Cunoscând momentele Zernike, se poate efectua transformarea inversă, care permite reconstrucția imaginii inițiale cu precizie din ce în ce mai mare pe măsură ce "n" crește:

$$\tilde{f}(x,y) = \sum_{n=0}^{n_{max}} \sum_m A_{nm} V_{nm}(\rho, \theta) \quad (56)$$

Descompunând această expresie în:

$$\tilde{f}(x,y) = \sum_{n=0}^{n_{max}} \sum_{m<0} A_{nm} V_{nm}(\rho, \theta) + \sum_{n=0}^{n_{max}} \sum_{m \geq 0} A_{nm} V_{nm}(\rho, \theta) \quad (57)$$

și folosind o proprietate enunțată anterior, putem scrie:

$$\tilde{f}(x,y) = \sum_{n=0}^{n_{max}} \sum_{m>0} A_{-n,-m} V_{-n,-m}(\rho, \theta) + \sum_{n=0}^{n_{max}} \sum_{m \geq 0} A_{nm} V_{nm}(\rho, \theta) \quad (58)$$

adică:

$$\tilde{f}(x,y) = \sum_{n=0}^{n_{max}} \sum_{m>0} A_{nm}^* V_{nm}^*(\rho, \theta) + \sum_{n=0}^{n_{max}} \sum_{m \geq 0} A_{nm} V_{nm}(\rho, \theta) \quad (59)$$

Cele două sume pot fi acum unificate scriind:

$$\tilde{f}(x,y) = A_{n0} V_{n0}(\rho, \theta) + \sum_{n=0}^{n_{max}} \sum_{m>0} [A_{nm}^* V_{nm}^*(\rho, \theta) + A_{nm} V_{nm}(\rho, \theta)] \quad (60)$$

Deoarece este mai ușor de operat cu numere reale vom descompune numerele complexe din formula anterioară:

$$\begin{aligned} \tilde{f}(x,y) &= [\text{Re}(A_{n0}) - j \text{Im}(A_{n0})] V_{n0}(\rho, \theta) + \\ &+ \sum_{n=0}^{n_{max}} \sum_{m>0} [[\text{Re}(A_{nm}) - j \text{Im}(A_{nm})] R_{nm}(\rho) (\cos m\theta - j \sin m\theta) + \\ &+ [\text{Re}(A_{nm}) + j \text{Im}(A_{nm})] R_{nm}(\rho) (\cos m\theta + j \sin m\theta)] \end{aligned} \quad (61)$$

Efectuând calculele rezultă expresia:

$$\tilde{f}(x,y) = \frac{1}{2} C_{n0} R_{n0}(x,y) + \sum_{n=0}^{n_{max}} \sum_m [C_{nm} \cos m\theta + S_{nm} \sin m\theta] R_{nm}(x,y) \quad (62)$$

în care

$$C_{nm} = 2 \text{Re}(A_{nm}) \quad \iff \quad C_{nm} = \frac{2n+2}{\pi} \sum_x \sum_y f(x,y) R_{nm}(x,y) \cos m\theta \quad (63)$$

și:

$$S_{nm} = -2 \text{Im}(A_{nm}) \quad \iff \quad S_{nm} = \frac{-2n-2}{\pi} \sum_x \sum_y f(x,y) R_{nm}(x,y) \sin m\theta \quad (64)$$

Se demonstrează foarte ușor că *modulul momentelor Zernike este invariant la rotație* și ca urmare ele pot fi folosite drept trăsături invariante la rotație.

9.5. Trăsături geometrice.

Trăsăturile geometrice sunt practic măsurători geometrice care se efectuează asupra obiectelor. O parte dintre ele se calculează pe baza momentelor regulate de diferite ordine. Deși se calculează de obicei destul de simplu, puterea lor de discriminare și utilitatea sunt incontestabile.

Cele mai des utilizate trăsături geometrice sunt descrise în continuare.

Perimetrul unui obiect este definit de:

$$P = \int \sqrt{x^2(t) + y^2(t)} dt \quad (65)$$

El poate fi obținut din conturul obiectului, folosind, de exemplu, codul-lanț. Uneori în loc de perimetru se poate folosi și lungimea liniei de contur.

Aria unui obiect este dată de:

$$A = \iint_D dx dy \quad (66)$$

Pentru cazul imaginilor discrete aria se obține fie prin simpla numărătoare a pixelilor obiectului, fie din analiza codului-lanț.

Razele minimă și maximă, R_{min} și R_{max} reprezintă distanțele minimă și respectiv maximă a pixelilor obiectului față de centrul lui de greutate. Obținerea lor se face limitând testele de distanță doar la pixelii de contur exterior.

Numărul de goluri poate fi obținut pentru fiecare obiect, după faza de extragere a conturilor, (evident, se vor extrage toate conturile, interioare și exterioare), prin teste de incluziune. Este o trăsătură morfologică.

Numărul lui Euler este dat de:

$$E = R - G \quad (67)$$

unde R este numărul de componente conectate ale obiectului, iar G este numărul de goluri.

Numărul de colțuri se obține din studiul funcției de curbura, date de:

$$k(s) = \left(\frac{d^2 x}{ds^2} \right)^2 + \left(\frac{d^2 y}{ds^2} \right)^2 \quad (68)$$

În practică, se presupune existența unui colț în acele puncte ale conturului în care curbura depășește un anumit prag.

Energia curburii este definită prin:

$$E = \frac{1}{T} \int_0^S |k(s)|^2 ds \quad (69)$$

Raportul de sveltețe (roundness, compactness) este dat de raportul între pătratul perimetrului și arie:

$$R = \frac{P^2}{4\pi A} \quad (70)$$

Valoarea minimă a acestui raport este 1 și se obține pentru disc.

Următoarele trăsături geometrice se obțin pe baza momentelor regulate.

Centrul de greutate al unui obiect se obține cu formulele:

$$\bar{x} = \frac{\sum_x \sum_y x f(x,y)}{\sum_x \sum_y f(x,y)} = \frac{m_{1,0}}{m_{0,0}} \quad \bar{y} = \frac{\sum_x \sum_y y f(x,y)}{\sum_x \sum_y f(x,y)} = \frac{m_{0,1}}{m_{0,0}} \quad (71)$$

Orientarea indică unghiul față de abscisă al *momentului minim de inerție*, moment descris de:

$$I(\theta) = \sum_x \sum_y [-(x - \bar{x}) \sin \theta + (y - \bar{y}) \cos \theta]^2 \quad (72)$$

Rezultă, prin minimizarea lui $I(\theta)$ în raport cu θ , orientarea:

$$\theta = \frac{1}{2} \arctan \left[\frac{2\mu_{1,1}}{\mu_{2,0} - \mu_{0,2}} \right] \quad (73)$$

Dreptunghiul de încadrare este dreptunghiul de dimensiuni minime aliniat la orientarea θ a obiectului și care include obiectul. Laturile acestui dreptunghi pot fi descrise de ecuațiile:

$$\begin{cases} a = x \cos \theta + y \sin \theta \\ b = -x \sin \theta + y \cos \theta \end{cases} \quad (74)$$

Dreptunghiul propriu-zis se obține determinând, pentru toate punctele conturului, valorile $a_{\min}, a_{\max}, b_{\min}, b_{\max}$ care caracterizează cele patru laturi ale dreptunghiului.

Elipsa de "potrivire" (best fit ellipse) este acea elipsă ale cărei momente de inerție maxim și respectiv minim sunt egale cu cele ale obiectului. Pentru o elipsă descrisă de:

$$\frac{x^2}{a^2} + \frac{y^2}{b^2} = 1 \quad (75)$$

momentele de inerție maxim și minim sunt date de:

$$I_{MIN} = \frac{\pi}{4} ab^3 \quad \text{și} \quad I_{MAX} = \frac{\pi}{4} a^3 b, \quad \text{pentru } a > b.$$

Calculând orientarea θ obținem momentele de inerție ale obiectului:

$$I'_{MIN} = \sum_x \sum_y [-(x - \bar{x}) \sin \theta + (y - \bar{y}) \cos \theta]^2 \quad (76)$$

$$I'_{MAX} = \sum_x \sum_y [(x - \bar{x}) \cos \theta + (y - \bar{y}) \sin \theta]^2 \quad (77)$$

Egalând corespunzător momentele de inerție rezultă elipsa descrisă de:

$$a = \left(\frac{4}{\pi} \right)^{1/4} \left[\frac{(I'_{MAX})^3}{I'_{MIN}} \right]^{1/8} \quad a = \left(\frac{4}{\pi} \right)^{1/4} \left[\frac{(I'_{MIN})^3}{I'_{MAX}} \right]^{1/8} \quad (78)$$

Tot între trăsăturile geometrice pot fi încadrate **proiecțiile pe diferite direcții** ale obiectelor din imagine. În continuare se prezintă principal geometria unei asemenea proiecții pe o direcție dată de unghiul θ .

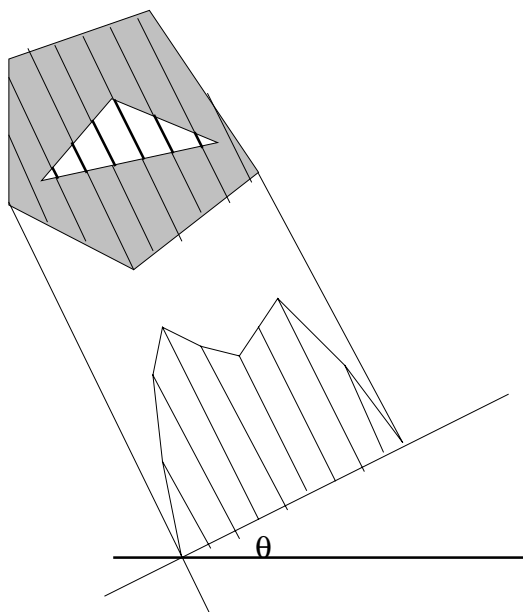


Fig. 3. Geometria proiecției pe o direcție dată.

O multitudine de alte trăsături pot fi folosite în diferite aplicații, cum ar fi *raza medie de încadrare, orientarea axei minime și respectiv maxime, aria dreptunghiului de încadrare, raportul între aria obiectului și aria dreptunghiului de încadrare, raportul între perimetrul obiectului și perimetrul dreptunghiului de încadrare, etc.*

Pentru fiecare din aceste trăsături de specifică invarianțele pe care le respectă.

9.6. Trăsături ale imaginilor de clasa (3).

Imaginile de clasă (3) sunt formate, după cum s-a menționat deja, din linii și curbe continue, având grosimea de un pixel. Caracterizarea lor se face fie divizând liniile/curbele în segmente pentru care se caută o descriere analitică (prin aproximare și/sau interpolare), fie la nivel global, de exemplu prin descriptorii Fourier.

9.6.1. Segmentarea curbilor.

Operația de segmentare a curbilor poate fi asimilată unei extrageri de trăsături dacă se adoptă drept trăsături parametrii de descriere a acestor curbe. Astfel de parametri sunt constantele de definiție pentru funcțiile spline exprimate parametric, sau pozițiile colțurilor poligoanelor de definiție pentru funcțiile Bezier și B-spline.

9.6.2. Descriptorii Fourier.

Descriptorii Fourier (Gonzales[42]), (Jain[56]), (Pratt[84]) se utilizează pentru descrierea conturilor închise ale obiectelor, contururi obținute de obicei cu algoritmi de extragere contur. Conturul este descris în această primă fază parametric, prin $x(s)$ și $y(s)$, presupunând, pentru simplitate, cazul continuu.

Obținerea descriptorilor Fourier are la bază transportarea conturului descris parametric în planul complex, rezultând funcția complexă:

$$z(s) = x(s) + j y(s) \quad (79)$$

Unghiul tangent, definit ca unghiul format de normala la vectorul de poziție al punctului curent cu tangenta la curbă este dat de:

$$\Phi(s) = \arctan \left[\frac{d y(s)/ds}{d x(s)/ds} \right] \quad (80)$$

În planul complex se definește curbura conturului închis studiat prin:

$$k(s) = \frac{d \Phi(s)}{ds} \quad (81)$$

Cunoscând curbura și unghiul tangent în fiecare punct al conturului, acesta se poate reconstrui cu formulele:

$$x(s) = x(0) + \int_0^s k(\alpha) \cos [\Phi(\alpha)] d\alpha \quad (82)$$

$$y(s) = y(0) + \int_0^s k(\alpha) \sin [\Phi(\alpha)] d\alpha \quad (83)$$

Evident, curbura $k(s)$ este o funcție periodică de perioadă P , unde P este cel mai des lungimea perimetrului conturului. Ca urmare, $k(s)$ poate fi dezvoltat în serii Fourier prin:

$$k(s) = \sum_{n=-\infty}^{+\infty} c_n \exp \left(\frac{2\pi j}{P} n s \right) \quad (84)$$

unde coeficienții c_n ai dezvoltării au expresia:

$$c_n = \frac{1}{P} \int_0^P k(s) \exp\left(\frac{-2\pi j}{P} n s\right) ds \quad (85)$$

Coeficienții c_n se numesc descriptorii Fourier ai conturului descris prin curbura $k(s)$. Un alt set de descriptori se pot atașa direct conturului propriu-zis $z(s)$ care este tot periodic de perioadă P , valorile obținute nemaifiind însă invariante la translație.

În studiul curbelor închise având colțuri, funcția curbura este însă nedefinită. Aceasta situație poate fi evitată înlocuind curbura cu funcția propusă de Zahn și Roskies [114]:

$$\theta(s) = \int_0^s k(\alpha) d\alpha - \frac{2\pi s}{P} \quad (86)$$

Pentru *cazul discret*, conturul apare descris de șirul coordonatelor pixelilor de contur. Similar cazului continuu, se face trecerea în planul complex prin:

$$z(s_i) = x(s_i) + j y(s_i) \quad (87)$$

Unghiul tangent este dat de:

$$\Phi(s_i) = \arctan \left[\frac{y(s_i) - y(s_{i-1})}{x(s_i) - x(s_{i-1})} \right] \quad (88)$$

iar curbura se obține prin:

$$k(s_i) = \Phi(s_i) - \Phi(s_{i-1}) \quad (89)$$

Cunoscând curbura pentru fiecare punct al conturului, coeficienții transformatei Fourier discrete pot fi folosiți drept trăsături pentru descrierea conturului. Aceste trăsături sunt invariante la translație.

$$z(n) = x(n) + j y(n) \quad (90)$$

$$z(n) = \frac{1}{N} \sum_{k=0}^{N-1} c_k \exp\left(\frac{2\pi j}{N} kn\right) \quad (91)$$

$$c_k = \sum_{n=0}^{N-1} z(n) \exp\left(\frac{-2\pi j}{N} kn\right) \quad (92)$$

Se remarcă faptul că descriptorii Fourier care se obțin nu sunt invariante la poziția punctului de start, rotație, scalare, reflexie. Descriptorii Fourier atașați funcției de curbura sunt invariante la translația conturului.

Folosind unele proprietăți ale descriptorilor Fourier se pot obține din aceștia trăsături cu proprietățile de invarianță dorite:

Translatie:	$\tilde{z}(n) = z(n) + z_0$	\implies	$\tilde{c}_k = c_k + z_0 \delta_k$
Scalare:	$\tilde{z}(n) = \alpha z(n)$	\implies	$\tilde{c}_k = \alpha c_k$
Punct start:	$\tilde{z}(n) = z(n - n_0)$	\implies	$\tilde{c}_k = c_k \exp(-2\pi j n_0 k/N)$
Rotatie:	$\tilde{z}(n) = z(n) \exp(j\theta_0)$	\implies	$\tilde{c}_k = c_k \exp(j\theta_0)$
Reflexie:	$\tilde{z}(n) = z^*(n) \exp(2j\theta) + 2\gamma$	\implies	$\tilde{c}_k = c_{-k}^* \exp(2j\theta) + 2\gamma \delta_k$

Ultima proprietate descrie cazul unui contur simetric față de dreapta descrisă de (ρ, θ) , unde ρ este distanța între originea axelor și dreaptă, iar θ este unghiul între dreaptă și abscisă.

Se poate remarca faptul că valorile $|\tilde{c}_k|$ sunt invariante la rotație, reflexie și poziția punctului de start, iar raportul $\tilde{c}_k / |\tilde{c}_k|$ este invariant la scalare, pentru orice k .

Având date două contururi $z_1(n)$ și $z_2(n)$, se poate aprecia dacă ele sunt similare indiferent de poziția, mărimea și orientarea lor, folosind distanța:

$$D(z_0, \alpha, n_0, \theta_0) = \min_{z_0, \alpha, n_0, \theta_0} \left\{ \sum_{n=0}^{N-1} |z_1(n) - z_2(n + n_0) \exp(j\theta_0) - z_0|^2 \right\} \quad (93)$$

Parametrii $z_0, \alpha, n_0, \theta_0$ se determină din condiția minimizării distanței D anterioare. Fie a_k și respectiv b_k descriptorii Fourier calculați pentru cele două contururi. Se folosesc notațiile:

$$a_k b_k^* = c_k \exp(j\psi_k), \quad \phi = -2\pi n_0 / N \quad (94)$$

Dacă $z_1(n)$ și $z_2(n)$ se normalizează astfel încât:

$$\sum_{n=0}^{N-1} z_1(n) = 0 \quad \text{și} \quad \sum_{n=0}^{N-1} z_2(n) = 0 \quad (95)$$

atunci distanța $D(z_0, \alpha, n_0, \theta_0)$ este minimă pentru:

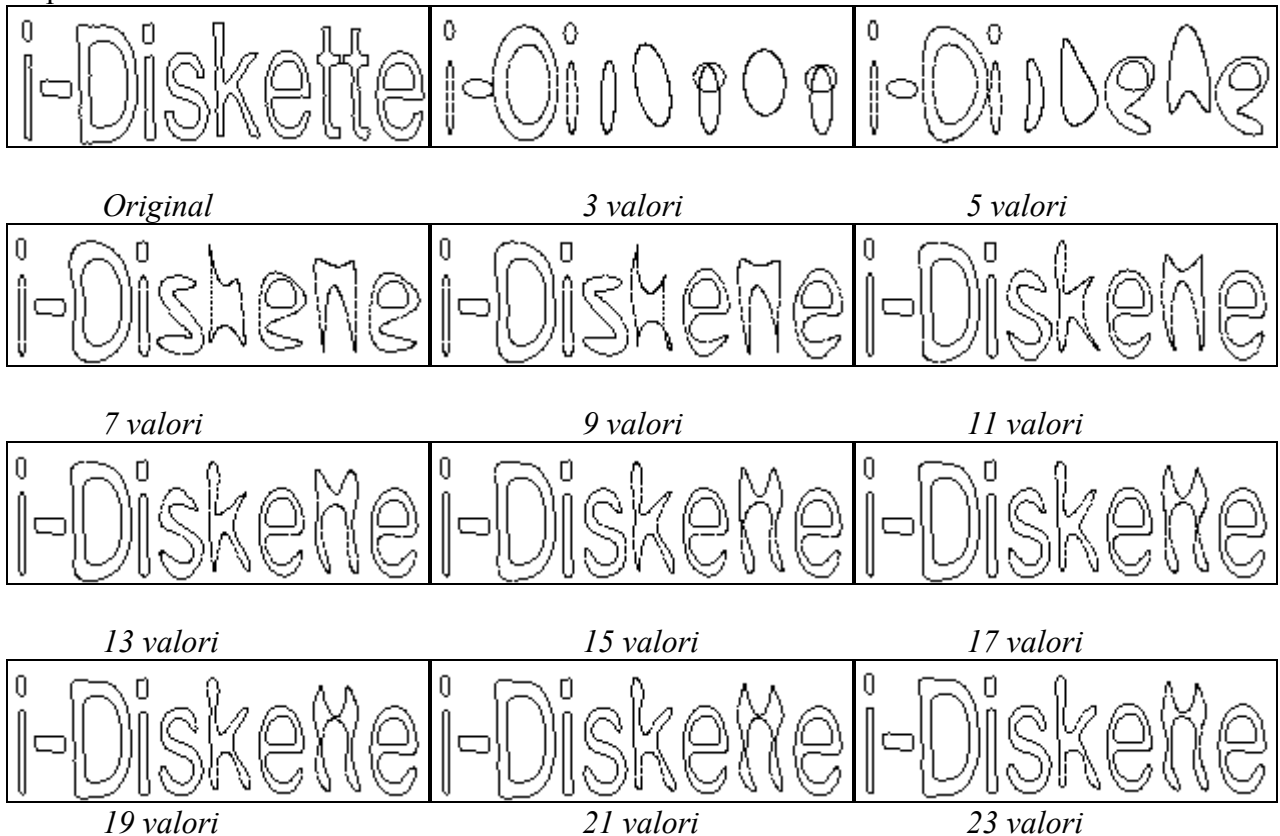
$$z_0 = 0 \quad \alpha = \frac{\sum_{k=0}^{N-1} c_k \cos(\psi_k + k\phi + \theta_0)}{\sum_{k=0}^{N-1} |b_k|^2} \quad \theta_0 = \arctan \left[-\frac{\sum_{k=0}^{N-1} c_k \sin(\psi_k + k\phi)}{\sum_{k=0}^{N-1} c_k \cos(\psi_k + k\phi)} \right] \quad (96)$$

Înlocuind expresiile obținute rezultă:

$$D = \min_{\phi} \left[\sum_{k=0}^{N-1} |a_k - \alpha b_k \exp(jk\phi + j\theta_0)|^2 \right] \quad (97)$$

Evaluând expresia din paranteza pătrată pentru fiecare din cele N valori posibile pentru f , se poate deduce valoarea minimă căutată pentru distanța D .

Utilizarea descriptorilor Fourier poate fi extinsă la descrierea liniilor și curbelor oarecare din orice imagine de clasă (3), considerându-le contururi închise ale unor obiecte cu grosimea de un pixel.



9.7. Caracterizarea texturilor.

Schema bloc a unui sistem general de analiză a texturilor, propusă de Jain [56] este dată în continuare:

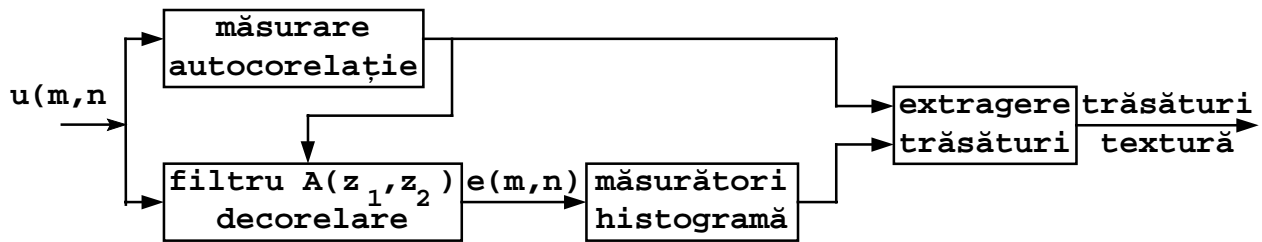


Fig. 4. Schema bloc a unui sistem general de analiză a texturilor.

Textura este mai întâi decorelată de filtrul $A(z_1, z_2)$ care poate fi proiectat cunoscând funcția de autocorelație corespunzătoare texturii. Se obține $e(m,n)$ care poate fi descris cel mai bine de un câmp aleator necorelat, ale cărui caracteristici se deduc din studiul histogramei. Restul trăsăturilor se extrag din studiul funcției de autocorelație.

Caracterizarea texturilor se poate face printr-o multitudine de metode de analiză (Fainhurst[37]), unele deja abordate în paragraful 6.4. Bazându-ne pe dualitatea care există între segmentare și extragere de trăsături, se pot sintetiza clasele de trăsături care pot fi extrase din imaginea unei texturi folosind următoarea diagramă (Jain[56]):

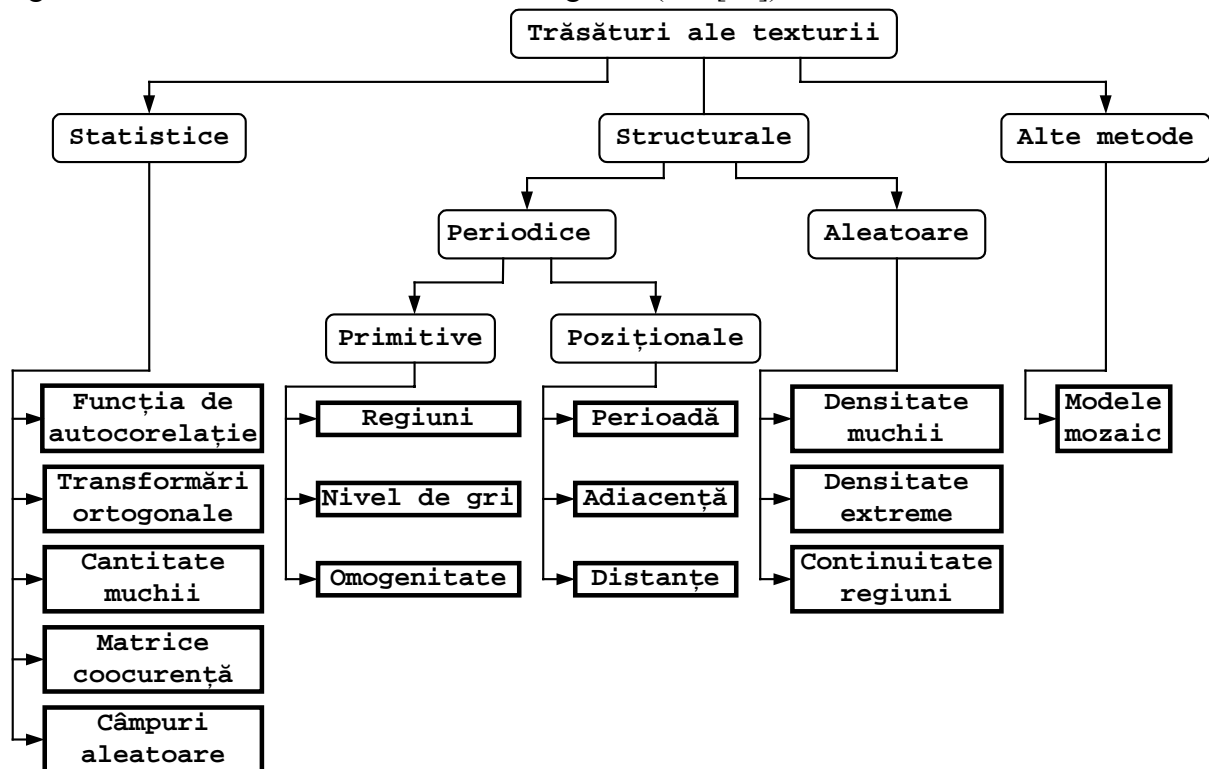


Fig. 5. Metode de analiză a texturilor.

Modelul mozaic se bazează pe câmpuri geometrice aleatoare (Cross[32]). Sunt mult utilizate pentru analiza țesăturilor, a căror imagini se apropie cel mai mult de acest model.

9.8. Trăsături structural-sintactice.

Metodele structural-sintactice de recunoaștere au la bază utilizarea primitivelor și a relațiilor dintre ele pentru execuția procesului de recunoaștere (Pavlidis[80]).

Există o multitudine de primitive care pot fi extrase dintr-o imagine. Cele mai simple sunt cele folosite pentru caracterizarea imaginilor de clasă (3), deci formate din linii și curbe continue. Un asemenea set de primitive este prezentat în continuare. El permite descrierea unui contur oarecare printr-un șir de simboluri, fiecare corespunzând unei primitive.

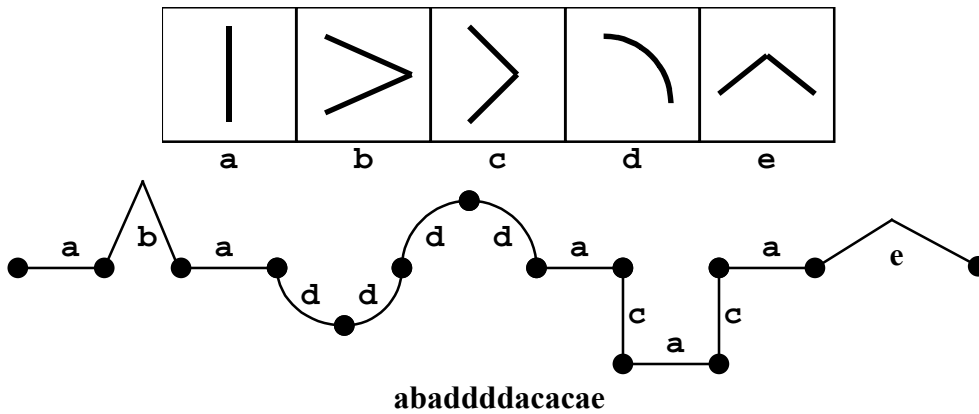


Fig. 6. Exemple de primitive generice și utilizarea lor.

Un exemplu clasic de utilizare a descrierilor structurale în caracterizarea obiectelor este datorat lui Ledley [64] și se referă la caracterizarea imaginilor microscopice conținând cromozomi. Pentru această aplicație, primitivele folosite au fost cinci la număr, cele redată în continuare, unde marcajele romboidale indică poziția interiorului obiectului (cromozomului):

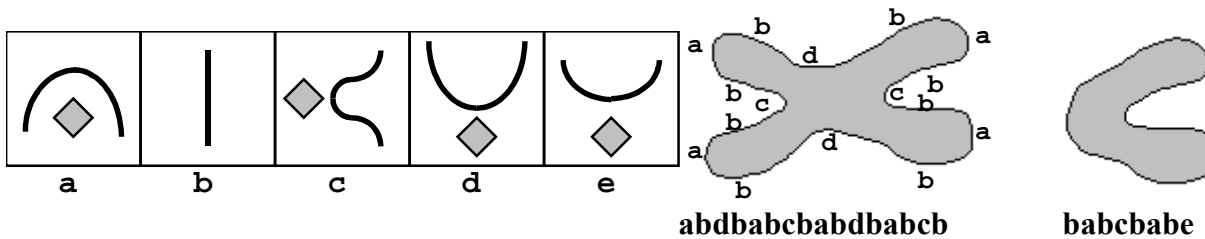


Fig. 7. Descrierea sintactică a cromozomilor.

Adăugarea la acest set de primitive a unei sintaxe care să descrie regulile de conectivitate între primitive permite obținerea unei reprezentări sintactice unice pentru obiecte. Pentru cazul imaginilor de clasă (3) regulile de conectivitate sunt doar de tipul joncțiune între primitive, ceea ce permite descrieri simple sub formă de șiruri, ca în exemplele anterioare.

Dacă relațiile de conectivitate sunt mai complexe ("dreapta-jos față de"), ca în exemplul următor al descrierii feței umane, reprezentarea sintactică obținută ia forma unui graf (Ballard[10]). Se remarcă și structura mult mai complexă a primitivelor folosite ("gură", "ochi", "sprâncene", etc.).

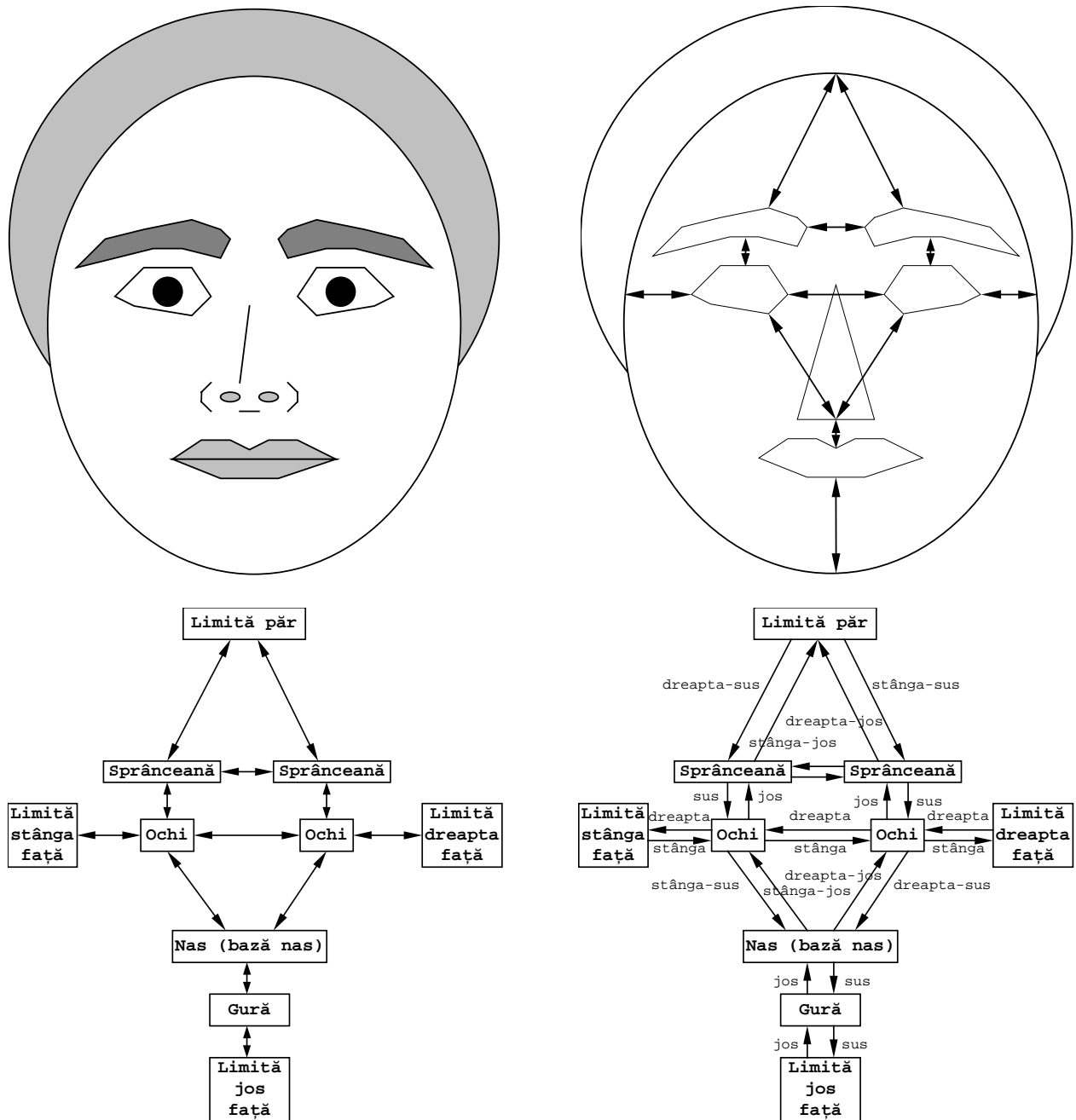


Fig. 8. Descriere sintactică pentru fața umană.

9.9. Detalii de implementare.

Aplicația PROImage, prezentată în capitolul 21 include, printre altele, și implementarea segmentării cu prag. (pentru informații suplimentare se poate studia codul sursă din fișierul "his.pas").

În continuare este prezentat un program PASCAL care extrage descriptorii Fourier dintr-o imagine binară de clasă (3) și apoi reconstruiește obiectele localizate în imagine pe baza unui număr predeterminat din acești descriptori.

```

program Descriptori;
uses Dos, Graph, Crt;
type
  Image = array [0..239] of array [0..255] of byte;
const

```

```

var
  i,j,m,n : integer;
  Img1,Img2: ^Image;
  Code    : byte;
  Text    : string;

(*----- PROCEDURA  D e s c r i p t -----*)
Procedure Descript;
type
  Conv = array[0..7] of shortint;
  vecb = array [0..0] of byte;
  vecr = array [0..0] of real;
  ivec = array [0..0] of integer;
  pvec = array [0..0] of ^vecb;
  rvec = array [0..0] of ^vecr;
const
  Cx : Conv = (-1,-1,0,1,1,1,0,-1);
  Cy : Conv = (0,-1,-1,-1,0,1,1,1);
var
  i,j,k,s,x,y,xs,ys,xc,yc,nc : integer;
  Pnc      : ^ivec;      {pointer la lista cu nr. de puncte/contur}
  Px,Py    : ^pvec;      {pointer la lista de pointeri la listele coordonate}
  Rp,Ip    : ^rvec;      {pointer la lista de pointeri la listele descriptori}
  Fi,Rt,It : real;
begin
  {inversez imagine}
  setfillstyle(SOLIDFILL,15);
  bar(256,0,511,239);
  bar(0,240,255,479);
  for x:=0 to 255 do
    for y:=0 to 239 do
      Img1^[y,x]:=255-Img1^[y,x];

  {baleiez contur, aflu nc = număr contururi}
  nc:=0;
  for x:=1 to 254 do
    for y:=1 to 238 do
      begin
        if (Img1^[y-1,x]=0) and (Img1^[y,x]=255) then
          begin
            nc:=nc+1;
            xs:=x;
            ys:=y;
            xc:=x;
            yc:=y;
            Img1^[yc,xc]:=254;
            j:=0;
            while Img1^[yc+Cy[j],xc+Cx[j]]<>0 do
              j:=(j+1) mod 8;
            repeat
              while Img1^[yc+Cy[j],xc+Cx[j]]=0 do
                j:=(j+1) mod 8;
              xc:=xc+Cx[j];
              yc:=yc+Cy[j];
              Img1^[yc,xc]:=254;
              PutPixel(256+xc,yc,10);
              j:=(j+5) mod 8;
            until (xc=xs) and (yc=ys);
          end;
        end;
      end;
end;

```



```

{alloc vector cu număr pixeli/contur}
GetMem(Pnc,nc*SizeOf(integer));

{completez vector Pnc}
i:=0; for x:=1 to 254 do
  for y:=1 to 238 do
    begin
      if (Img1^[y-1,x]=0) and (Img1^[y,x]>=254) then
        begin
          Pnc^[i]:=0;
          xs:=x;
          ys:=y;
          xc:=x;
          yc:=y;
          Img1^[yc,xc]:=253;
          j:=0;
          while Img1^[yc+Cy[j],xc+Cx[j]]<>0 do
            j:=(j+1) mod 8;
          repeat
            while Img1^[yc+Cy[j],xc+Cx[j]]=0 do
              j:=(j+1) mod 8;
            xc:=xc+Cx[j];
            yc:=yc+Cy[j];
            Img1^[yc,xc]:=253;
            PutPixel(256+xc,yc,5);
            Pnc^[i]:=Pnc^[i]+1;
            j:=(j+5) mod 8;
          until (xc=xs) and (yc=ys);
          i:=i+1;
        end;
      end;
    end;

GetMem(Px,nc*SizeOf(pointer));
GetMem(Py,nc*SizeOf(pointer));
GetMem(Rp,nc*SizeOf(pointer));
GetMem(Ip,nc*SizeOf(pointer));
for i:=0 to nc-1 do
begin
  GetMem(Px^[i],Pnc^[i]);
  GetMem(Py^[i],Pnc^[i]);
  GetMem(rp^[i],Pnc^[i]*SizeOf(real));
  GetMem(ip^[i],Pnc^[i]*SizeOf(real));
end;

{completez vectori Px , Py}
i:=0;
for x:=1 to 254 do
  for y:=1 to 238 do
    begin
      if (Img1^[y-1,x]=0) and (Img1^[y,x]>=253) then
        begin
          xs:=x;
          ys:=y;
          xc:=x;
          yc:=y;
          Img1^[yc,xc]:=252;
          j:=0;
          while Img1^[yc+Cy[j],xc+Cx[j]]<>0 do
            j:=(j+1) mod 8;
          k:=0;
          repeat

```

```

        while Img1^[yc+Cy[j],xc+Cx[j]]=0 do
            j:=(j+1) mod 8;
            xc:=xc+Cx[j];
            yc:=yc+Cy[j];
            Img1^[yc,xc]:=252;
            Px^[i]^k:=xc;
            Py^[i]^k:=yc;
            k:=k+1;
            j:=(j+5) mod 8;
        until (xc=xs) and (yc=ys);
        i:=i+1;
    end;
end;

for i:=0 to nc-1 do
    for k:=0 to Pnc^[i]-1 do
        putpixel(256+Px^[i]^k,Py^[i]^k,0);

{calcul descriptori Fourier}
for i:=0 to nc-1 do
begin
    for j:=0 to Pnc^[i]-1 do
        begin
            Rp^[i]^j:=0.0;
            Ip^[i]^j:=0.0;
            for k:=0 to Pnc^[i]-1 do
                begin
                    Fi:=-2*PI*k*j/Pnc^[i];
                    Rp^[i]^j:=Rp^[i]^j+Px^[i]^k*cos(Fi)-Py^[i]^k*sin(Fi);
                    Ip^[i]^j:=Ip^[i]^j+Px^[i]^k*sin(Fi)+Py^[i]^k*cos(Fi);
                end;
            end;
            ErrSound;
        end;
end;

{reducere date}
s:=11;
for i:=0 to nc-1 do
    for j:=s+1 to Pnc^[i]-1-s do
        begin
            Rp^[i]^j:=0.0;
            Ip^[i]^j:=0.0;
        end;

{transformarea inversă}
for i:=0 to nc-1 do
begin
    for j:=0 to Pnc^[i]-1 do
        begin
            Rt:=0.0;
            It:=0.0;
            for k:=0 to Pnc^[i]-1 do
                begin
                    Fi:=2*PI*k*j/Pnc^[i];
                    Rt:=Rt+Rp^[i]^k*cos(Fi)-Ip^[i]^k*sin(Fi);
                    It:=It+Rp^[i]^k*sin(Fi)+Ip^[i]^k*cos(Fi);
                end;
            end;
            Px^[i]^j:=Round(Rt/Pnc^[i]);
            Py^[i]^j:=Round(It/Pnc^[i]);
            putpixel(Px^[i]^j,240+Py^[i]^j,0);
        end;
end;

```

```
    ErrSound;
end;

for i:=0 to nc-1 do
begin
    FreeMem(Px^[i],Pnc^[i]);
    FreeMem(Py^[i],Pnc^[i]);
    FreeMem(Rp^[i],Pnc^[i]*SizeOf(real));
    FreeMem(Ip^[i],Pnc^[i]*SizeOf(real));
end;
FreeMem(Px,nc*SizeOf(pointer));
FreeMem(Py,nc*SizeOf(pointer));
FreeMem(Rp,nc*SizeOf(pointer));
FreeMem(Ip,nc*SizeOf(pointer));
end;
```

10. Clasificatori liniari.

- 10.1. Clasificatorul de distanță minimă.
- 10.2. Formarea clasificatorului liniar.
- 10.3. Funcții discriminant liniare pe porțiuni.
- 10.4. Formarea clasificatorului liniar pe porțiuni.
- 10.5. Clasificatorul celor mai apropiați "k" vecini.
- 10.6. Clasificatorul celor mai mici pătrate.

Pentru cazul a două clase și două trăsături avem următoarea distribuție posibilă a formelor de intrare în spațiul formelor:

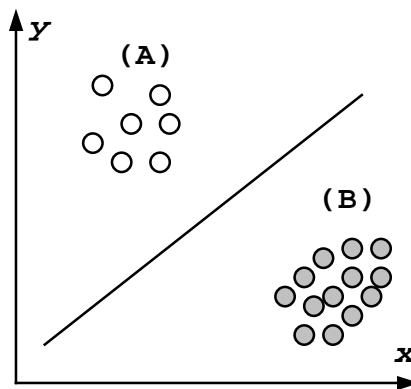


Fig. 1. Principiul clasificatorului liniar.

Limita de decizie în acest caz este de forma:

$$u = mx + n \quad (1)$$

sau echivalent:

$$a_1x + a_2y + a_3 = 0 \quad (2)$$

unde $a_1 = -m$, $a_2 = 1$, $a_3 = -b$

Funcțiile discriminant pentru cele două clase pot fi construite de forma:

$$D_A(x,y) = a_1x + a_2y + a_3 \quad (3)$$

$$D_B(x,y) = -a_1x - a_2y - a_3 \quad (4)$$

Generalizând, o funcție discriminant liniară pentru spațiul n-dimensional al formelor este dată de:

$$D_i(\mathbf{X}) = w_{i1}x_1 + w_{i2}x_2 + \dots + w_{in}x_n + w_{i,n+1} = \sum_{j=1}^n w_{ij}x_j + w_{i,n+1} \quad (5)$$

sau, cu notația $x_{n+1} = 1$, avem:

$$D_i(\mathbf{X}) = \sum_{j=1}^{n+1} w_{ij}x_j \quad (6)$$

care definește prin $D_i(\mathbf{X}) = 0$ ecuația unui hiperplan.

Matriceal, expresia de mai sus se scrie:

$$D_i(\mathbf{X}) = [w_{i1} \ w_{i2} \ \dots \ w_{in} \ w_{i,n+1}] \mathbf{X}, \text{ pentru } i = 1 \dots K \quad (7)$$

Sintetizând pentru toate valorile lui "i", obținem:

$$\begin{bmatrix} D_1(\mathbf{X}) \\ D_2(\mathbf{X}) \\ \dots \\ D_K(\mathbf{X}) \end{bmatrix} = \begin{bmatrix} w_{11} & w_{12} & \dots & w_{1n} & w_{1,n+1} \\ w_{21} & w_{22} & \dots & w_{2n} & w_{2,n+1} \\ \dots & \dots & \dots & \dots & \dots \\ w_{K1} & w_{K2} & \dots & w_{Kn} & w_{K,n+1} \end{bmatrix} \mathbf{X} \Leftrightarrow \mathbf{D} = \mathbf{W}\mathbf{X} \quad (8)$$

Limitele de decizie dintre oricare două clase se deduc din:

$$D_i(\mathbf{X}) - D_j(\mathbf{X}) = 0 \Leftrightarrow \sum_{m=1}^{n+1} (w_{im} - w_{jm})x_m = 0 \quad (9)$$

Folosind notația:

$$w_m^{(ij)} = w_{im} - w_{jm} \quad (10)$$

se obține ecuația limitei de decizie între două clase de forma:

$$\sum_{m=1}^{n+1} w_m^{(ij)} x_m = 0 \quad (11)$$

care reprezintă ecuația unui hiperplan care trece prin originea spațiului extins al trăsăturilor, spațiu a cărui utilizare simplifică mult studiul clasificatorilor liniari.

Pentru cazul a doar două clase, este suficientă doar o singură funcție de decizie, $\mathbf{D}(\mathbf{X})$, astfel încât:

$$\begin{cases} \mathbf{D}(\mathbf{X}) > 0, \text{ pentru } \mathbf{X} \in \omega_1 \\ \mathbf{D}(\mathbf{X}) < 0, \text{ pentru } \mathbf{X} \in \omega_2 \end{cases} \quad (12)$$

Cazul a mai multe clase se poate reduce la clasificarea cu două clase, dacă se adoptă una din următoarele strategii de construcție a clasificatorilor multicategoriali, strategii valabile pentru orice tip de clasificator (nu numai pentru cei liniari).

Strategia (1). Se construiește, corespunzător fiecărei clase, un clasificator care să împartă spațiul trăsăturilor în două regiuni, astfel încât una să conțină clasa respectivă, iar cealaltă restul claselor.

Decizia de clasificare se ia folosind regula:

$$\mathbf{X} \in \omega_j \Leftrightarrow \mathbf{D}_j(\mathbf{X}) > \mathbf{D}_i(\mathbf{X}), \forall i \neq j, i = 1 \dots K \quad (13)$$

Se remarcă apariția unei regiuni de nedeterminare (gri) pentru care nu se poate lua o decizie.

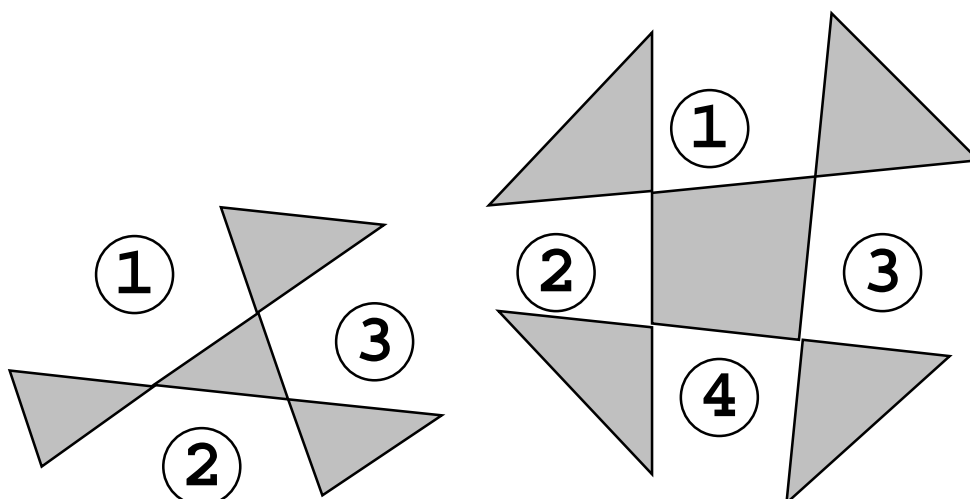


Fig. 2. Clasificator liniar multicategorial, metoda 1.

Strategia (2). Se construiește, corespunzător fiecărei perechi de clase, un clasificator care să împartă spațiul trăsăturilor în două regiuni, astfel încât una să conțină clasele respective, iar cealaltă restul claselor:

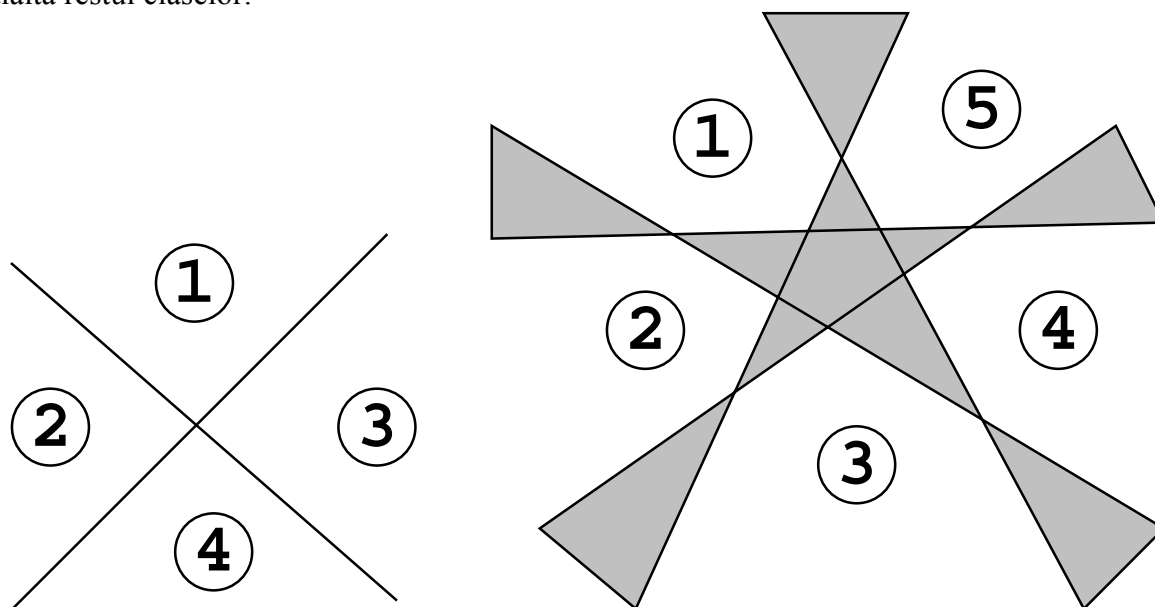


Fig. 3. Clasificator liniar multicategorial, metoda 2.

În acest caz se construiesc funcții de decizie de forma:

$$X \in \omega_i \text{ sau } X \in \omega_j \Leftrightarrow D_{ij}(X) > 0, \text{ unde } i \neq j \quad (14)$$

Se ia decizia de apartenență la una din clase folosind regula:

$$X \in \omega_i \Leftrightarrow D_{ij}(X) > 0, \text{ unde } j \neq i, j = 1 \dots K \quad (15)$$

Strategia (3). Fiecare funcție discriminant separă doar două clase între ele, caz în care zona de nedeterminare se reduce foarte mult.

În acest caz se construiesc funcții de decizie de forma:

$$D_{ij}(X) = D_i(X) - D_j(X) \quad (16)$$

regula de decizie folosită în acest caz fiind de forma:

$$X \in \omega_i \Leftrightarrow D_{ij}(X) > 0, \text{ unde } j \neq i, j = 1 \dots K \quad (17)$$

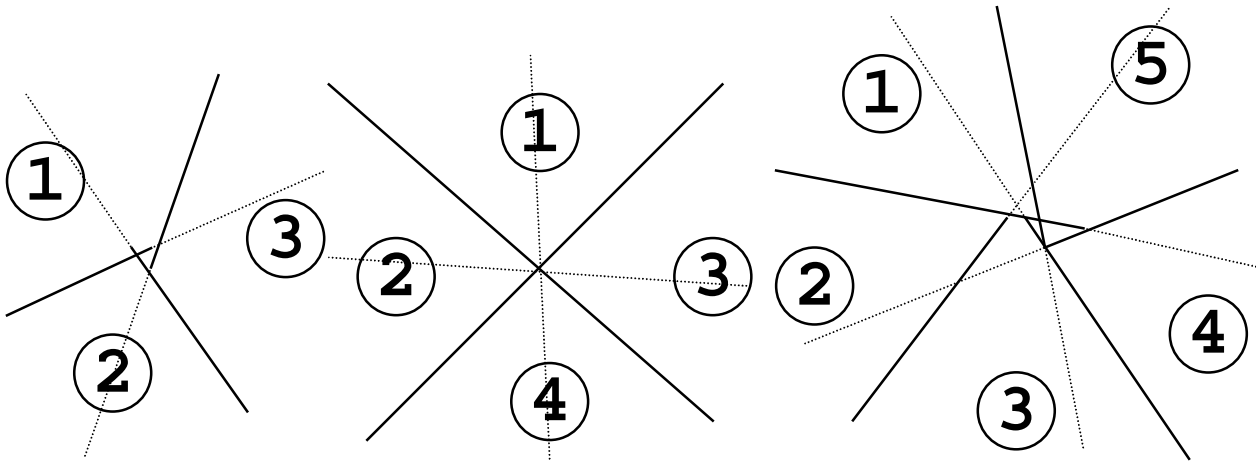


Fig. 4. Clasificator liniar multicategorial, metoda 3.

Această strategie este cea mai puternică, reușind să separe liniar clase care nu pot fi separate folosind primele două metode:

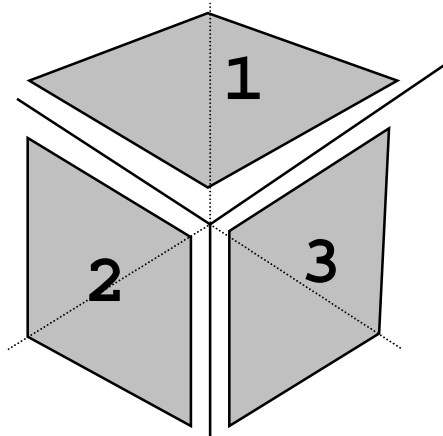


Fig. 5. Exemplu de clasificare liniară multicategorială, metoda 3.

10.1. Clasificatorul de distanță minimă.

Pentru fiecare clasă se definesc vectorii prototip prin:

$$\mathbf{R}_i = \frac{1}{M_i} \sum_{j=1}^{M_i} \mathbf{X}_j, i = 1 \dots K \quad (18)$$

și care reprezintă centrul de greutate (media) formelor care alcătuiesc setul de antrenament (învățare, formare) al clasei ω_i , iar M_i fiind numărul de asemenea vectori.

Funcțiile discriminant se construiesc în acest caz pe baza distanței de la un vector oarecare de intrare (formă) la vectorii prototip, distanță notată $d(\mathbf{X}, \mathbf{R}_i)$. Decizia se ia conform regulii:

$$\mathbf{X} \in \omega_i \Leftrightarrow d(\mathbf{X}, \mathbf{R}_i) < d(\mathbf{X}, \mathbf{R}_j), \forall j \neq i, j = 1 \dots K \quad (19)$$

sau echivalent:

$$\mathbf{X} \in \omega_i \Leftrightarrow d^2(\mathbf{X}, \mathbf{R}_i) < d^2(\mathbf{X}, \mathbf{R}_j), \forall j \neq i, j = 1 \dots K \quad (20)$$

Dacă se folosește distanța euclidiană, atunci:

$$d(\mathbf{X}, \mathbf{R}_i) = \sum_{m=1}^n (x_m - r_{im})^2 \quad (21)$$

Pe baza acestei distanțe se construiește funcția discriminant, punând, mai întâi, distanța precedentă sub forma:

$$d(\mathbf{X}, \mathbf{R}_i) = \|\mathbf{X} - \mathbf{R}_i\|^2 = \|\mathbf{X}\|^2 - 2\mathbf{R}_i^T \mathbf{X} + \|\mathbf{R}_i\|^2 \quad (22)$$

în care se remarcă faptul că primul termen este independent de clasă, deci poate fi eliminat, iar ultimul termen se calculează o singură dată, în faza de construcție a clasificatorului. Atunci definirea funcției discriminant este imediată, folosind:

$$\mathbf{X} \in \omega_i \Leftrightarrow d^2(\mathbf{X}, \mathbf{R}_i) = \text{minim} \Leftrightarrow 2\mathbf{R}_i^T \mathbf{X} - \|\mathbf{R}_i\|^2 = \text{maxim} \quad (23)$$

rezultă:

$$D_i(\mathbf{X}) = 2\mathbf{R}_i^T \mathbf{X} - \|\mathbf{R}_i\|^2 \quad (24)$$

Deși în acest caz s-a folosit distanța euclidiană, în general mai pot fi folosite și alte distanțe, cum ar fi distanța generalizată (Minkovski), distanța Manhattan, distanța Hamming (pentru forme binare) sau distanța Tanimoto (Hamming normalizată):

$$\text{- distanța Minkovski} \quad d(\mathbf{X}, \mathbf{Y}) = \left(\sum_{i=1}^n (x_i - y_i)^p \right)^{1/p} \quad (25)$$

$$\text{- distanța Manhattan} \quad d(\mathbf{X}, \mathbf{Y}) = \sum_{i=1}^n |x_i - y_i| \quad (26)$$

$$\text{- distanța Hamming} \quad d(\mathbf{X}, \mathbf{Y}) = \sum_{i=1}^n x_i \oplus y_i \quad (27)$$

$$\text{- distanța Tanimoto} \quad d(\mathbf{X}, \mathbf{Y}) = \frac{\sum_{i=1}^n x_i y_i}{\sum_{i=1}^n (x_i + y_i)} \quad (28)$$

Funcția de decizie dată de un clasificator liniar pentru clasa ω_i , adică:

$$D_i(\mathbf{X}) = \sum_{k=1}^{n+1} w_{ik} x_k \quad (29)$$

definește prin $D_i(\mathbf{X}) = 0$ ecuația unui hiperplan în spațiul $(n+1)$ dimensional (extins) al trăsăturilor, hiperplan ce trece prin origine. Un asemenea plan este complet determinat de **vectorul normalei** la plan, vector definit de:

$$\mathbf{W}_i = [w_{i1} \quad \dots \quad w_{in} \quad w_{i,n+1}]^T \quad (30)$$

și denumit vectorul de ponderi. Ca urmare se poate lucra direct cu acești vectori, modul de operare fiind:

$$\mathbf{X} \in \omega_i \Leftrightarrow D_i(\mathbf{X}) = \mathbf{W}_i^T \mathbf{X} > 0 \Leftrightarrow \langle \mathbf{W}_i, \mathbf{X} \rangle > 0 \quad (31)$$

spațiul extins al trăsăturilor fiind echivalat în acest caz cu **spațiul ponderilor**.

10.2. Formarea clasificatorului liniar.

Fie $\mathbf{X} = (x_1 \quad x_2 \quad \dots \quad x_n)^T$ un vector de formă, $\mathbf{X} \in \Omega \subset \mathbb{R}^n$, unde Ω este spațiul formelor, iar " n " este numărul de trăsături.

Pentru cazul clasificării binare, funcția discriminant este dată de:

$$D(\mathbf{X}) = \sum_{i=1}^{n+1} (w_i^{(1)} - w_i^{(2)}) x_i = \sum_{i=1}^{n+1} w_i x_i = \mathbf{W}^T \mathbf{X} \quad (32)$$

care poate fi interpretată ca fiind ecuația unui hiperplan în spațiul extins al trăsăturilor, sau echivalent, ca produsul scalar dintre vectorul \mathbf{W} și vectorul extins \mathbf{X} . Vectorul \mathbf{W} , numit vectorul de ponderi, este normal la hiperplanul de decizie (care trece prin origine).

Ca urmare, în spațiul ponderilor, regula de decizie este:

$$\mathbf{X} \in \omega_1 \Leftrightarrow s = \mathbf{W}^T \mathbf{X} > 0 \quad (33)$$

$$\mathbf{X} \in \omega_2 \Leftrightarrow s = \mathbf{W}^T \mathbf{X} < 0$$

Presupunând că avem un set de vectori (de antrenament) a căror apartenență la clase este cunoscută, formarea este un procedeu iterativ care permite construirea hiperplanului de decizie în cazul în care cele două clase sunt liniar separabile.

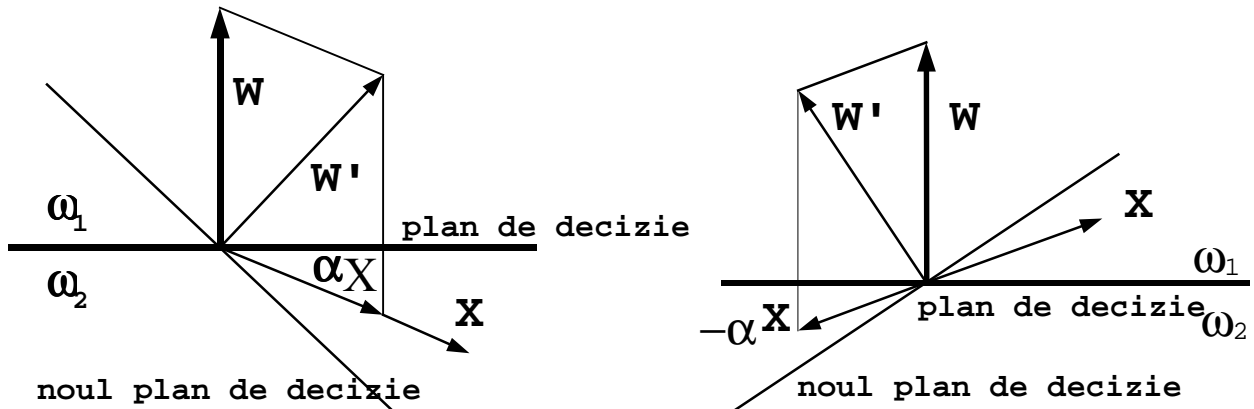


Fig. 6. Formarea clasificatorului liniar.

Dacă $X \in \omega_1$ și este clasificat greșit ca aparținând lui ω_2 , se poate corecta această situație construind un nou vector de ponderi prin adăugarea unei fracțiuni din X la vectorul de ponderi precedent:

$$W' = W + \alpha X \quad (34)$$

Dacă $X \in \omega_2$ și este clasificat greșit ca aparținând lui ω_1 , se poate corecta această situație construind un nou vector de ponderi prin scăderea unei fracțiuni a lui X din vectorul de ponderi precedent:

$$W' = W - \alpha X \quad (35)$$

Valoarea factorului de corecție " α " se poate obține din expresia produsului scalar:

$$s' = W'^T X = (W + \alpha X)^T X = W^T X + \alpha \|X\|^2 \quad (36)$$

Rezultă:

$$\alpha = \frac{s' - s}{\|X\|^2} \quad (37)$$

Dacă se impune, de exemplu, $s' = -s$, atunci rezultă:

$$\alpha = -2 \frac{W^T X}{\|X\|^2} \quad (38)$$

În general însă, se pot utiliza diverse strategii pentru alegerea factorului de corecție:

(1). Metoda factorului de corecție constant:

$$\alpha = \text{const.}, \alpha > 0$$

(2). Metoda corecției absolute:

$$\alpha = \left\lceil \frac{|W^T X|}{\|X\|^2} \right\rceil$$

(3). Metoda corecției fracționare:

$$\alpha = \lambda \frac{|W^T X|}{\|X\|^2}, \lambda \in (0, 2]$$

Corecția în acest ultim caz se poate face direct funcție de " λ ", adică:

$$W' = W + \lambda \frac{|W^T X|}{\|X\|^2} X \Leftrightarrow W'^T X = W^T X + \lambda |W^T X| \Rightarrow \lambda = \frac{|W'^T X - W^T X|}{|W^T X|} \quad (39)$$

Ultima formulă obținută dă informații despre semnificația lui " λ ", adică:

(1). Dacă $\lambda < 1$, atunci planul de decizie se deplasează către " X " (în jurul originii), fără a-l atinge însă niciodată.

(2). Dacă $\lambda = 1$, atunci noul plan de decizie va trece prin " X ".

(3). Dacă $1 < \lambda < 2$, planul de decizie trece de partea cealaltă în raport cu " X ", clasificându-l corect.

(4). Dacă $\lambda = 2$, vectorul de formă " X " se va găsi de partea cealaltă a noului plan, la distanță egală.

Dacă clasele sunt separabile liniar, plecând de la un hiperplan de decizie inițial arbitrar ales, după un număr de iterații se reușește clasificarea corectă a tuturor formelor din setul de antrenament.

Dacă clasele nu sunt separabile liniar, apar oscilații ale limitelor de decizie. S-au elaborat algoritmi care detectează aceste oscilații și apoi adaugă (generează) noi vectori prototip subdivizând subclasele, până se realizează separabilitatea claselor.

10.3. Funcții discriminant liniare pe porțiuni.

Fiecare clasă este definită în acest caz de un set de vectori de referință:

$$\omega_k \rightarrow \mathbf{R}^{(k)} = \{\mathbf{X}_m^{(k)}\}_{m=1 \dots M_k} \quad (40)$$

unde M_k este numărul de vectori de referință pentru clasa ω_k .

Pentru clasificatorul liniar pe porțiuni se definește distanță între un vector de formă oarecare X și clasa ω_k prin:

$$d(X, \omega_k) = \min_{m=1 \dots M_k} d(X, \mathbf{X}_m^{(k)}) = d(X, \mathbf{R}^{(k)}) \quad (41)$$

Deci, practic, se construiesc funcții discriminant de distanță minimă pentru fiecare vector prototip atașat unei clase.

Regula de decizie este:

$$X \in \omega_k \Leftrightarrow d(X, \omega_k) < d(X, \omega_j), \forall j \neq k, j = 1 \dots K \quad (42)$$

sau echivalent:

$$X \in \omega_k \Leftrightarrow d(X, \omega_k) = \min_{j=1 \dots K} d(X, \omega_j), \forall j \neq k, j = 1 \dots K \quad (43)$$

unde " K " este numărul de clase.

Expresia funcției discriminant corespunzătoare se deduce în continuare prin:

$$d(X, \mathbf{X}_m^{(k)}) = \|\mathbf{X} - \mathbf{X}_m^{(k)}\|^2 = \|\mathbf{X}\|^2 - 2\mathbf{X}^T \mathbf{X}_m^{(k)} + \|\mathbf{X}_m^{(k)}\|^2 \quad (44)$$

În continuare se procedează la fel ca la clasificatorul de distanță minimă, adică, folosind remarca că primul termen al expresiei anterioare este redundant, avem:

$$D(X, \mathbf{X}_m^{(k)}) = 2\mathbf{X}^T \mathbf{X}_m^{(k)} - \|\mathbf{X}_m^{(k)}\|^2 \quad (45)$$

Funcția discriminant pentru clasificatorul liniar pe porțiuni se scrie atunci:

$$D(X, \omega_k) = \max_{m=1 \dots M_k} D(X, \mathbf{X}_m^{(k)}) = \max_{m=1 \dots M_k} (\mathbf{X}^T \mathbf{X}_m^{(k)} - \|\mathbf{X}_m^{(k)}\|^2) \quad (46)$$

Regula de decizie pentru clasificatorul liniar pe porțiuni devine:

$$X \in \omega_k \Leftrightarrow D(X, \omega_k) = \max_{j=1 \dots K} D(X, \omega_j) \quad (47)$$

Acest clasificator poate fi văzut ca fiind obținut prin divizarea fiecărei clase în subclase, fiecare caracterizate de câte un vector prototip, și construind câte un clasificator multicategorial de distanță minimă pentru fiecare clasă.

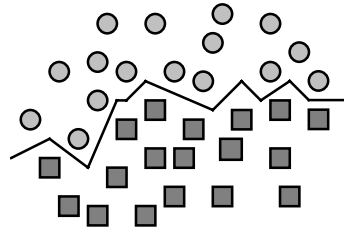


Fig. 7. Clasificator liniar pe porțiuni.

10.4. Formarea clasificatorului liniar pe porțiuni.

În acest caz se procedează oarecum analog cazului clasificatorului de distanță minimă, însă pentru fiecare vector prototip care definește o clasă în parte.

Dacă $X \in \omega_k \subset \omega_1$ și este clasificat greșit ca aparținând lui $\omega_p \subset \omega_2$, se poate corecta această situație construind un nou vector de ponderi prin adăugarea unei fracțiuni din X la vectorul de ponderi precedent:

$$W'_k = W_k + \alpha X, \alpha > 0 \quad (48)$$

Dacă $X \in \omega_p \subset \omega_2$ și este clasificat greșit ca aparținând lui $\omega_k \subset \omega_1$, se poate corecta această situație construind un nou vector de ponderi, adăugând o fracțiune din X la vectorul de ponderi precedent:

$$W'_p = W_p - \alpha X, \alpha > 0 \quad (49)$$

Metodele de alegere pentru factorul de corecție " α " sunt aceleași:

- (1). Metoda factorului de corecție constant.
- (2). Metoda corecției absolute.
- (3). Metoda corecției fracționare.

Singura condiție pe care trebuie să o îndeplinească W este să fie perpendicular pe hiperplanul de decizie. Totuși, în aceste condiții, deoarece el intră în evaluarea funcțiilor de decizie, procesul de decizie va favoriza funcțiile pentru care $|W|$ este mai mare. De aceea se preferă lucrul cu versorul de ponderi, adică cu:

$$W'_k = \frac{W_k + \alpha X}{\|W_k + \alpha X\|}, \text{ dacă } X \in \omega_k \text{ e clasificat greșit în } \omega_p \text{ și} \quad (50)$$

$$W'_p = \frac{W_p - \alpha X}{\|W_p - \alpha X\|}, \text{ dacă } X \in \omega_p \text{ e clasificat greșit în } \omega_k. \quad (51)$$

10.5. Clasificatorul celor mai apropiați " k " vecini.

Clasificatorul liniar pe porțiuni descris anterior este un clasificator de distanță minimă în raport cu vectorii prototip și în același timp poate fi văzut ca un clasificator de tipul vecinului cel mai apropiat (NN - Nearest Neighbor).

O generalizare a metodei vecinului cel mai apropiat este clasificatorul celor mai apropiați " k " vecini. În acest caz apartenența unei forme la o clasă este decisă examinând un număr de " k " vecini (cei mai apropiați) ai formei respective, vecini a căror apartenență la clase este cunoscută.

Pentru găsirea celor mai apropiați " k " vecini se utilizează cel mai des distanța euclidiană. Metoda se poate aplica cu succes și pentru forme neseperabile liniar, și pentru clasificări multicategoriale.

Pentru clasificarea formelor binare se utilizează distanțele Hamming sau Tanimoto.

Regula de decizie cea mai simplă folosită este cea a numărului maxim de voturi:

$$X \in \omega_k, \text{ dacă între cei } "k" \text{ vecini, cei mai mulți aparțin clasei } \omega_k$$

Cazurile cu număr egal de voturi se elimină.

Alteori, contribuția vecinilor la luarea deciziei se consideră și funcție de distanța între "X" și cei "k" vecini, adică:

$$V^{(k)}(X) = \sum_{i=1}^{N_k} \frac{1}{D_i(X)} \quad \text{sau} \quad V^{(k)}(X) = \sum_{i=1}^{N_k} \frac{1}{D_i^2(X)} \quad (52)$$

unde, între cei "k" vecini, există N_k aparținând clasei ω_k .

Regula de decizie se scrie în acest caz:

$$X \in \omega_j \Leftrightarrow V^{(j)}(X) > V^{(i)}(X), \forall i \neq j, i = 1 \dots N_c \quad (53)$$

Rezultate eronate pot apare dacă clasele sunt definite prin vectori prototip în număr foarte diferit de la o clasă la alta, clasa definită prin mai puțini vectori prototip fiind dezavantajată. În acest caz se mărește numărul de voturi pentru fiecare vector prototip al clasei dezavantajate cu raportul între numărul de vectori prototip ai clasei dezavantajate și numărul de vectori prototip pentru cealaltă clasă.

Această metodă este laborioasă dacă numărul de forme prototip este mare. O variantă a acestei metode duce la clasificarea cu ajutorul funcțiilor de potențial, în care potențialul unui punct (unei forme) este estimat prin superpoziția potențialelor celor mai apropiați "k" vecini.

10.6. Clasificatorul celor mai mici pătrate.

Fie $\{Z_{ij}\}$ setul de forme de antrenament, unde Z_{ij} este forma "j" a clasei ω_i . Pe baza lor se construiește clasificatorul, operația de clasificare constând în atribuirea (maparea), pentru fiecare formă din setul de antrenament a unui număr (de exemplu, indicele clasei). Generalizând, se poate considera clasificarea ca fiind o mapare a fiecărei forme din spațiul trăsăturilor în puncte atașate fiecărei clase din spațiul de decizie (având aceeași dimensiune):

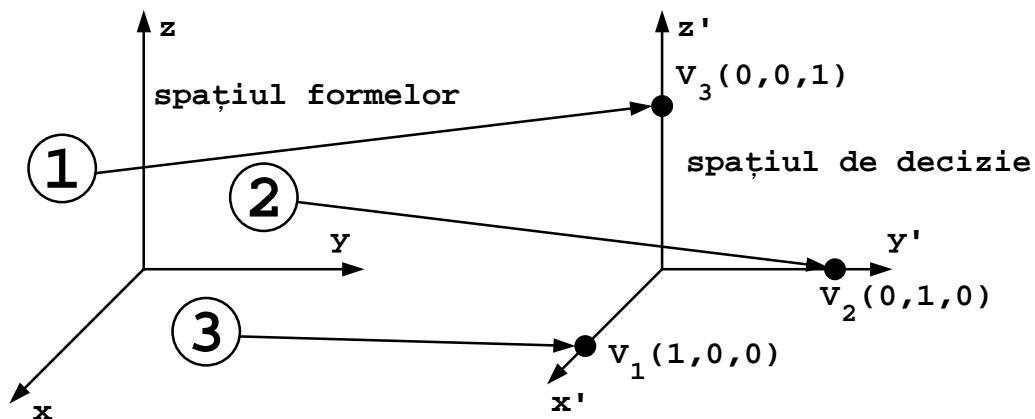


Fig. 8. Principiul clasificatorului celor mai mici pătrate.

Deci în spațiul de decizie, fiecărei clase îi va corespunde un punct V_i . În cazul ideal, tuturor formelor dintr-o clasă ar trebui să le corespundă un singur punct în spațiul de decizie. În realitate, această mapare se face cu o eroare care va fi minimizată. Deci corespondența va fi de forma:

$$Z_{ij} \rightarrow AZ_{ij} \quad (54)$$

unde "A" este matricea transformării. Clasei ω_i îi atașăm în spațiul de decizie vectorul (punctul) V_i .

O măsură a erorii de clasificare este distanța (în spațiul de decizie) între punctul de mapare a vectorului de intrare (AZ_{ij}) și punctul atașat clasei ω_i (V_i).

Eroarea de clasificare poate fi estimată folosind vectorul de eroare:

$$\bar{\varepsilon}_{ij} = \mathbf{AZ}_{ij} - \mathbf{V}_i \quad - \text{ pentru forma "j" a clasei } \omega_i.$$

Eroarea de clasificare pentru toți vectorii (formele) din clasa ω_i poate fi măsurată prin:

$$\varepsilon_i = \frac{1}{N_i} \sum_{j=1}^{N_i} \|\bar{\varepsilon}_{ij}\|^2 \quad (55)$$

unde N_i este numărul de forme de antrenament din clasa ω_i .

Eroarea globală de clasificare, pentru toate clasele se scrie atunci:

$$\varepsilon^2 = \frac{1}{N_c} \sum_{i=1}^{N_c} \varepsilon_i \quad (56)$$

unde N_c este numărul de clase. Relația anterioară trebuie corectată dacă probabilitățile de apariție ale simbolurilor din diferite clase nu sunt egale, adică:

$$\varepsilon^2 = \frac{1}{N_c} \sum_{i=1}^{N_c} P_i \varepsilon_i \quad (57)$$

Se dorește determinarea transformării "A" care să minimizeze eroarea de clasificare stabilită anterior:

$$\varepsilon = \frac{1}{N_c} \sum_{i=1}^{N_c} \frac{P_i}{N_i} \sum_{j=1}^{N_i} \|\bar{\varepsilon}_{ij}\|^2 = \frac{1}{N_c} \sum_{i=1}^{N_c} \frac{P_i}{N_i} \sum_{j=1}^{N_i} \|\mathbf{AZ}_{ij} - \mathbf{V}_i\|^2 = \frac{1}{N_c} \sum_{i=1}^{N_c} \frac{P_i}{N_i} \sum_{j=1}^{N_i} (\mathbf{AZ}_{ij} - \mathbf{V}_i)^T (\mathbf{AZ}_{ij} - \mathbf{V}_i) \quad (58)$$

Rezultă:

$$\varepsilon = \frac{1}{N_c} \sum_{i=1}^{N_c} \frac{P_i}{N_i} \sum_{j=1}^{N_i} (\mathbf{Z}_{ij}^T \mathbf{A}^T \mathbf{AZ}_{ij} - 2\mathbf{Z}_{ij}^T \mathbf{A}^T \mathbf{V}_i + \mathbf{V}_i^T \mathbf{V}_i) \quad (59)$$

Condiția de minimizare este:

$$\nabla_{\mathbf{A}} \varepsilon = 0 \Leftrightarrow \frac{1}{N_c} \sum_{i=1}^{N_c} \frac{P_i}{N_i} \sum_{j=1}^{N_i} (2\mathbf{AZ}_{ij} \mathbf{Z}_{ij}^T - 2\mathbf{V}_i \mathbf{Z}_{ij}^T) = 0 \quad (60)$$

Rezultă în final:

$$\mathbf{A} = \left[\sum_{i=1}^{N_c} \frac{P_i}{N_i} \sum_{j=1}^{N_i} \mathbf{V}_i \mathbf{Z}_{ij}^T \right] \left[\sum_{i=1}^{N_c} \frac{P_i}{N_i} \sum_{j=1}^{N_i} \mathbf{Z}_{ij} \mathbf{Z}_{ij}^T \right]^{-1} \quad (61)$$

Matricea $\sum_{j=1}^{N_i} \mathbf{Z}_{ij} \mathbf{Z}_{ij}^T$ are semnificația unei matrici de autocorelație, iar $\sum_{j=1}^{N_i} \mathbf{V}_i \mathbf{Z}_{ij}^T$ are semnificația unei matrici de crosscorelație, adică:

$$\mathbf{S}(\mathbf{V}_i \mathbf{Z}_{ij}^T) = \sum_{j=1}^{N_i} \mathbf{V}_i \mathbf{Z}_{ij}^T \quad \text{și} \quad \mathbf{S}(\mathbf{Z}_{ij} \mathbf{Z}_{ij}^T) = \sum_{j=1}^{N_i} \mathbf{Z}_{ij} \mathbf{Z}_{ij}^T \quad (62)$$

de unde rezultă forma cel mai des utilizată pentru transformarea căutată:

$$\mathbf{A} = \left[\sum_{i=1}^{N_c} \frac{P_i}{N_i} \mathbf{S}(\mathbf{V}_i \mathbf{Z}_{ij}^T) \right] \left[\sum_{i=1}^{N_c} \frac{P_i}{N_i} \mathbf{S}(\mathbf{Z}_{ij} \mathbf{Z}_{ij}^T) \right]^{-1} \quad (63)$$

Matricea "A" se calculează cunoscând matricile de autocorelație și crosscorelație definite anterior sau estimându-le plecând de la setul de forme de antrenament. Calculul lui "A" necesită inversarea unei matrici simetrice, pentru care există metode numerice puternice.

Dacă $\hat{\mathbf{Z}}$ este forma care trebuie clasificată, mai întâi se face trecerea în spațiul de decizie prin:

$$\mathbf{L} = \mathbf{A} \hat{\mathbf{Z}} \quad (64)$$

unde "A" a fost deja calculat în faza de formare. În spațiul de decizie se folosește un clasificator de distanță minimă, deci ar trebui să calculăm, pentru fiecare clasă, distanța:

$$d_i^2 = \|\mathbf{L} - \mathbf{V}_i\|^2 = \|\mathbf{L}\|^2 - 2\mathbf{L}^T \mathbf{V}_i + \|\mathbf{V}_i\|^2 \quad (65)$$

Primul termen al sumei este același pentru toate clasele, deci se poate renunța la calculul lui, și ca urmare funcția discriminant poate fi definită sub forma:

$$\mathbf{D}_i = 2\mathbf{L}^T \mathbf{V}_i - \|\mathbf{V}_i\|^2 \quad (66)$$

Regula de decizie se scrie atunci:

$$\hat{\mathbf{Z}} \in \omega_i \Leftrightarrow \mathbf{D}_i > \mathbf{D}_j, \forall j \neq i, j = 1 \dots N_c \quad (67)$$

Deoarece regula de mapare este construită, se poate alege, de exemplu, vectorul \mathbf{V}_i de forma:

$$\mathbf{V}_i = [0 \ 0 \ \dots \ 1 \ \dots \ 0]^T, \text{ cu "1" pe poziția "i" a vectorului.}$$

Ca urmare avem $\|\mathbf{V}_i\|^2 = 1, \forall i = 1 \dots N_c$ și atunci funcția de decizie pentru clasa "i" este:

$$\mathbf{D}_i = \mathbf{L}^T \mathbf{V}_i = \mathbf{V}_i^T \mathbf{L} = \mathbf{V}_i^T \mathbf{A} \hat{\mathbf{Z}}, \text{ pentru } i = 1 \dots N_c \quad (68)$$

Cele N_c relații se pot grupa într-o singură relație matriceală de forma:

$$\begin{bmatrix} D_1 \\ D_2 \\ \dots \\ D_{N_c} \end{bmatrix} = \begin{bmatrix} 1 & 0 & \dots & 0 \\ 0 & 1 & \dots & 0 \\ \dots & \dots & \dots & \dots \\ 0 & 0 & \dots & 1 \end{bmatrix} \mathbf{A} \hat{\mathbf{Z}} = \mathbf{A} \hat{\mathbf{Z}} \Rightarrow \mathbf{D} = \mathbf{A} \hat{\mathbf{Z}} \quad (69)$$

Deci în condițiile impuse lui \mathbf{V}_i , clasificarea înseamnă calculul vectorului " \mathbf{D} " și selecția valorii maxime din el, reținându-se indicele clasei.

11. Tehnici statistice de recunoaștere.

- 11.1. Principiul metodei.
- 11.2. Metode parametrice de recunoaștere statistică.
- 11.3. Metode neparametrice de recunoaștere statistică.
- 11.4. Clasificatorul Bayes pentru forme codate binar.
- 11.5. Aproximarea densităților de probabilitate.

11.1. Principiul metodei.

Presupunerea fundamentală care se face este că există pentru fiecare clasă o funcție densitate de probabilitate care să poată fi folosită pentru determinarea probabilității ca o formă de intrare să aparțină unei clase. Aceste funcții definite pe spațiul formelor permit clasificarea prin selecția clasei de probabilitate maximă.

Vom folosi următoarele notații:

$P(\omega_j)$ - probabilitatea apriorică a clasei ω_j ;

$P(\omega_j/X)$ - probabilitatea ca clasa ω_j să includă forma X ;

$P(X/\omega_j)$ - probabilitatea ca forma X să fie inclusă în clasa ω_j ;

$F(\omega_j, \omega_k)$ - funcția de pierdere, care descrie pierderea ce afectează procesul de recunoaștere când o formă din clasa ω_j este clasificată ca aparținând clasei ω_k .

Funcții de pierdere uzuale sunt:

a) **Funcția de pierdere simetrică**, dată de:

$$F(\omega_j/\omega_k) = \begin{cases} 0, & \text{pentru } j = k \\ 1, & \text{pentru } j \neq k \end{cases} \quad (1)$$

care mai poate fi scrisă:

$$F(\omega_j/\omega_k) = 1 - \delta(j, k) \quad (2)$$

unde $\delta(j, k)$ este funcția delta Kronecker.

b) **Funcția de pierdere diagonală**, descrisă de:

$$F(\omega_j/\omega_k) = \begin{cases} -h_j, & \text{pentru } j = k \\ 0, & \text{pentru } j \neq k \end{cases} \quad (3)$$

Pe baza funcției de pierdere se definește pierderea medie condiționată sau riscul condiționat pentru fiecare clasă prin:

$$L(X, \omega_k) = \sum_{j=1}^{N_C} F(\omega_j/\omega_k) P(\omega_j/X) \quad (4)$$

Folosind formula lui Bayes (sau formula cauzei), avem:

$$P(\omega_j/X) = \frac{P(X/\omega_j)P(\omega_j)}{P(X)} \quad (5)$$

rezultă pentru riscul condiționat expresia:

$$L(X, \omega_k) = \frac{1}{P(X)} \sum_{j=1}^{N_C} F(\omega_j/\omega_k) P(X/\omega_j) P(\omega_j) \quad (6)$$

Decizia de clasificare se ia pe baza riscului minim de eroare, deci conform regulii:

$$X \in \omega_k \Leftrightarrow L(X, \omega_k) < L(X, \omega_j), \forall j = 1 \dots N_C, j \neq k \quad (7)$$

Se remarcă faptul că procesul de luare a deciziei impune calculul a N_C funcții de risc condiționat, unde N_C este numărul de clase.

Trecerea la funcții discriminant se face imediat definindu-le prin:

$$D_k(X) = -L(X, \omega_k) \quad (8)$$

adică:

$$D_k(X) = -\frac{1}{P(X)} \sum_{j=1}^{N_C} F(\omega_j/\omega_k) P(X/\omega_j) P(\omega_j) \quad (9)$$

care definește **funcția de decizie pentru clasificatorul Bayes**.

Deci regula de decizie devine:

$$X \in \omega_k \Leftrightarrow D_k(X) > D_j(X), \forall j = 1 \dots N_C, j \neq k \quad (10)$$

Pentru funcția de pierdere simetrică, riscul condiționat are expresia:

$$L(X, \omega_k) = \frac{1}{P(X)} \sum_{j=1}^{N_C} [P(X/\omega_j)P(\omega_j) - \delta(j,k)P(X/\omega_j)P(\omega_j)] \quad (11)$$

Dar din formula probabilității totale avem:

$$P(X) = \sum_{j=1}^{N_C} P(X/\omega_j)P(\omega_j) \quad (12)$$

Și ca urmare:

$$L(X, \omega_k) = 1 - \frac{1}{P(X)} P(X/\omega_k)P(\omega_k) \quad (13)$$

Probabilitatea $P(X)$ este aceeași pentru toate funcțiile de risc condiționat, deci putem folosi:

$$L(X, \omega_k) \stackrel{\Delta}{=} -P(X/\omega_k)P(\omega_k) \quad (14)$$

Rezultă funcția de decizie a clasificatorului Bayes pentru funcția de pierdere simetrică:

$$D_k(X) = P(X/\omega_k)P(\omega_k) \quad (15)$$

Pe baza ei se scrie regula de decizie:

$$X \in \omega_k \Leftrightarrow P(X/\omega_k)P(\omega_k) > P(X/\omega_j)P(\omega_j) \Leftrightarrow \lambda = \frac{P(X/\omega_k)}{P(X/\omega_j)} > \frac{P(\omega_j)}{P(\omega_k)} \quad (16)$$

unde cu λ s-a notat **raportul de verosimilitate**.

Pentru funcția de pierdere diagonală, expresia riscului condiționat este

$$L(X, \omega_k) = \frac{1}{P(X)} (-h_k) P(X/\omega_k)P(\omega_k) \quad (17)$$

și din aceleași considerente ca mai sus vom folosi:

$$L(X, \omega_k) \stackrel{\Delta}{=} -h_k P(X/\omega_k)P(\omega_k) \quad (18)$$

Funcția de decizie a clasificatorului Bayes pentru funcția de pierdere diagonală este:

$$D_k(\mathbf{X}) = h_k \mathbf{P}(\mathbf{X}/\omega_k) \mathbf{P}(\omega_k) \quad (19)$$

iar regula de decizie corespunzătoare se scrie:

$$\mathbf{X} \in \omega_k \Leftrightarrow h_k \mathbf{P}(\mathbf{X}/\omega_k) \mathbf{P}(\omega_k) > h_j \mathbf{P}(\mathbf{X}/\omega_j) \mathbf{P}(\omega_j) \Leftrightarrow \lambda = \frac{\mathbf{P}(\mathbf{X}/\omega_k)}{\mathbf{P}(\mathbf{X}/\omega_j)} > \frac{h_j \mathbf{P}(\omega_j)}{h_k \mathbf{P}(\omega_k)} \quad (20)$$

Probabilitatea globală de eroare pentru clasificatorul Bayes este:

$$P_e = \sum_{i=1}^{N_C} \left[\mathbf{P}(\omega_i) \int_{\bar{\omega}_i} \mathbf{P}(\mathbf{X}/\omega_i) d\mathbf{X} \right] \quad (21)$$

11.2. Metode parametrice de clasificare statistică.

În cazul metodelor parametrice se presupun cunoscute caracteristicile statistice ale formelor de intrare, adică densitatea de probabilitate pentru fiecare clasă și probabilitățile apriorice ale claselor.

Cel mai des, sistemele reale sunt descrise de legea normală. Pentru cazul unidimensional avem:

$$\varphi(x) = \frac{1}{\sigma\sqrt{2\pi}} \exp\left[-\frac{(x-m)^2}{2\sigma^2}\right] \quad (22)$$

unde "m" și "σ" sunt respectiv media și dispersia variabilei aleatoare cu distribuție normală.

Pentru cazul multidimensional, mediei îi corespunde:

$$\mathbf{M} = \mathbf{E}\{\mathbf{X}\} \quad (23)$$

iar dispersiei:

$$\Phi = \mathbf{E}\{(\mathbf{X} - \mathbf{M})(\mathbf{X} - \mathbf{M})^T\} \quad (24)$$

unde E este operatorul speranță matematică, iar Φ este matricea de covarianță a variabilei aleatoare multidimensionale $\mathbf{X} = (x_1, x_2, \dots, x_n)$.

Densitatea de repartiție multidimensională este:

$$\Theta(\mathbf{X}) = \frac{1}{|\Phi|^{1/2} (2\pi)^{n/2}} \exp\left[-\frac{1}{2}(\mathbf{X} - \mathbf{M})^T \Phi^{-1} (\mathbf{X} - \mathbf{M})\right] \quad (25)$$

Deci:

$$\mathbf{P}(\mathbf{X}/\omega_k) = \frac{1}{|\Phi_k|^{1/2} (2\pi)^{n/2}} \exp\left[-\frac{1}{2}(\mathbf{X} - \mathbf{M}_k)^T \Phi_k^{-1} (\mathbf{X} - \mathbf{M}_k)\right] \quad (26)$$

Pentru funcția discriminant se preferă folosirea logaritmului:

$$D_k(\mathbf{X}) = \log[\mathbf{P}(\mathbf{X}/\omega_k) \mathbf{P}(\omega_k)] \quad (27)$$

Renunțând la termenii care sunt independenți de clasă, rezultă:

$$D_k(\mathbf{X}) = -\frac{1}{2} \log|\Phi_k| - \frac{1}{2} \mathbf{X}^T \Phi_k^{-1} \mathbf{X} + \mathbf{M}_k^T \Phi_k^{-1} \mathbf{X} - \frac{1}{2} \mathbf{M}_k^T \Phi_k^{-1} \mathbf{M}_k + \log \mathbf{P}(\omega_k) \quad (28)$$

Sunt foarte utile unele propuneri simplificatoare:

1) Dacă matricile de covarianță sunt egale pentru toate clasele se obține binecunoscutul clasificator liniar:

$$D_k(\mathbf{X}) = \mathbf{M}_k^T \Phi^{-1} \mathbf{X} - \frac{1}{2} \mathbf{M}_k^T \Phi^{-1} \mathbf{M}_k + \log \mathbf{P}(\omega_k) \quad (29)$$

2) Făcând presupunerea suplimentară a clasificării binare, funcția de decizie se scrie:

$$D(\mathbf{X}) = (\mathbf{M}_1^T - \mathbf{M}_2^T) \Phi^{-1} \mathbf{X} - \frac{1}{2} \mathbf{M}_1^T \Phi^{-1} \mathbf{M}_1 + \frac{1}{2} \mathbf{M}_2^T \Phi^{-1} \mathbf{M}_2 + \log \mathbf{P}(\omega_1) / \mathbf{P}(\omega_2) \quad (29)$$

3) Dacă probabilitățile apriorice ale claselor sunt egale, funcția de decizie multicategorială este:

$$\mathbf{D}_k(\mathbf{X}) = \mathbf{M}_k^T \boldsymbol{\Phi}^{-1} \mathbf{X} - \frac{1}{2} \mathbf{M}_k^T \boldsymbol{\Phi}^{-1} \mathbf{M}_k \quad (30)$$

4) Dacă trăsăturile forme de intrare sunt necorelate, atunci $\boldsymbol{\Phi}$ este o matrice diagonală și avem:

$$\mathbf{D}_k(\mathbf{X}) = \mathbf{M}_k^T \mathbf{X} - \frac{1}{2} \mathbf{M}_k^T \mathbf{M}_k \quad (31)$$

care este tocmai clasificatorul binar de distanță minimă. Trăsături necorelate se obțin în urma transformării Hotteling (Karhunen-Loeve discretă).

11.3. Metode neparametrice de recunoaștere statistică.

Pierderea medie condiționată (riscul condiționat) pentru un clasificator bayesian este dat de:

$$L(\mathbf{X}, \omega_k) = \frac{1}{\mathbf{P}(\mathbf{X})} \sum_{i=1}^{N_c} F(\omega_k/\omega_i) \mathbf{P}(\mathbf{X}/\omega_i) \mathbf{P}(\omega_i) \quad (32)$$

Riscul global de clasificare incorectă, a cărui minimizare se dorește, este dat de:

$$r = \int_{\Omega} L(\mathbf{X}, \omega_k) \mathbf{P}(\mathbf{X}) d\mathbf{X} \quad (33)$$

unde integrala se calculează peste întreg spațiul formelor, deoarece, evident:

$$\bigcup_{k=1}^{N_c} \omega_k \subseteq \Omega \quad (34)$$

Înlocuind prima formulă în cea precedentă, se obține:

$$r = \int_{\Omega} \left[\sum_{i=1}^{N_c} F(\omega_k/\omega_i) \mathbf{P}(\mathbf{X}/\omega_i) \mathbf{P}(\omega_i) \right] d\mathbf{X} = \sum_{i=1}^{N_c} \mathbf{P}(\omega_i) \left[\int_{\Omega} F(\omega_k/\omega_i) \mathbf{P}(\mathbf{X}/\omega_i) d\mathbf{X} \right] \quad (35)$$

Deoarece orice clasificare multicategorială poate fi realizată folosind un set adecvat de clasificatori binari, formula anterioară devine pentru cazul $N_c = 2$:

$$\begin{aligned} r = & \mathbf{P}(\omega_1) \int_{\omega_1} F(\omega_1/\omega_1) \mathbf{P}(\mathbf{X}/\omega_1) d\mathbf{X} + \mathbf{P}(\omega_1) \int_{\omega_2} F(\omega_1/\omega_2) \mathbf{P}(\mathbf{X}/\omega_1) d\mathbf{X} + \\ & + \mathbf{P}(\omega_2) \int_{\omega_1} F(\omega_2/\omega_1) \mathbf{P}(\mathbf{X}/\omega_2) d\mathbf{X} + \mathbf{P}(\omega_2) \int_{\omega_2} F(\omega_2/\omega_2) \mathbf{P}(\mathbf{X}/\omega_2) d\mathbf{X} \end{aligned} \quad (36)$$

În expresia de mai sus $F(\omega_i, \omega_i)$ este valoarea funcției de pierdere pentru cazul clasificării corecte, și ca urmare, pentru simplificarea calculelor, se poate impune $F(\omega_i, \omega_i) = 0$, de unde obținem:

$$r = \mathbf{P}(\omega_1) \int_{\omega_2} F(\omega_1/\omega_2) \mathbf{P}(\mathbf{X}/\omega_1) d\mathbf{X} + \mathbf{P}(\omega_2) \int_{\omega_1} F(\omega_2/\omega_1) \mathbf{P}(\mathbf{X}/\omega_2) d\mathbf{X} \quad (37)$$

Se urmărește construirea unui clasificator binar în condițiile minimizării riscului global dat de expresia anterioară. Dacă clasificatorul dorit este unul linear, el este descris de vectorul de ponderi \mathbf{W} (care dă normala la hiperplanul de decizie din spațiul extins al trăsăturilor), regula de decizie fiind dată în acest caz de:

$$\begin{cases} \mathbf{X} \in \omega_1 \Leftrightarrow \mathbf{W}^T \mathbf{X} > 0 \\ \mathbf{X} \in \omega_2 \Leftrightarrow \mathbf{W}^T \mathbf{X} < 0 \end{cases} \quad (38)$$

Condiția de linearitate impusă clasificatorului nu este restrictivă. Ținând cont de dependențele existente, trebuie făcută înlocuirea:

$$F(\omega_1/\omega_2) \Leftrightarrow F(\omega_1/\omega_2, \mathbf{X}, \mathbf{W}) \quad (39)$$

și atunci avem:

$$r = P(\omega_1) \int_{\omega_2} F(\omega_1/\omega_2, \mathbf{X}, \mathbf{W}) P(\mathbf{X}/\omega_1) d\mathbf{X} + P(\omega_2) \int_{\omega_1} F(\omega_2/\omega_1, \mathbf{X}, \mathbf{W}) P(\mathbf{X}/\omega_2) d\mathbf{X} \quad (40)$$

Planul de decizie, deci parametrii clasificatorului trebuie să fie determinați din condiția minimizării riscului global, adică:

$$\nabla r(\mathbf{W}) = 0, \quad \text{unde} \quad \nabla = \left(\frac{\partial}{\partial w_1} \quad \frac{\partial}{\partial w_2} \quad \dots \quad \frac{\partial}{\partial w_{n+1}} \right) \quad (41)$$

Calculând gradientul riscului global, rezultă expresia:

$$\begin{aligned} \nabla r(\mathbf{W}) = & P(\omega_1) \int_{\omega_2} \nabla F(\omega_1/\omega_2, \mathbf{X}, \mathbf{W}) P(\mathbf{X}/\omega_1) d\mathbf{X} \\ & + P(\omega_2) \int_{\omega_1} \nabla F(\omega_2/\omega_1, \mathbf{X}, \mathbf{W}) P(\mathbf{X}/\omega_2) d\mathbf{X} + \mathbf{g}(\omega_2, \omega_1) \end{aligned} \quad (42)$$

unde ultimul termen este datorat dependenței gradientului de limitele de separare a claselor. Impunând ca funcția de pierdere F să fie nulă pe aceste limite de separare, ultimul termen se anulează.

Funcțiile de pierdere care pot fi folosite în construcția neparametrică a clasificatorilor bayesieni sunt enumerate în continuare:

(1). Funcția de pierdere simetrică:

$$F(\omega_k/\omega_j) = \begin{cases} 0, & \text{pentru } j = k \\ I, & \text{pentru } j \neq k \end{cases} \quad (43)$$

(2). Funcția de pierdere diagonală:

$$F(\omega_k/\omega_j) = \begin{cases} -h_k, & \text{pentru } j = k \\ 0, & \text{pentru } j \neq k \end{cases} \quad (44)$$

(3). Funcții de pierdere dependente de distanța între forma clasificată incorect și clasa corectă:



Fig. 1. Funcții de pierdere dependente de distanță.

Distanța se măsoară de la planul de decizie la forma clasificată incorect folosind:

$$d = \frac{\mathbf{W}^T \mathbf{X}}{\|\mathbf{W}\|} = \frac{\mathbf{W}^T \mathbf{X}}{\left(\sum_{i=1}^{n+1} w_i^2 \right)^{1/2}} \quad (45)$$

Dacă $d < 0$, înseamnă că forma a fost clasificată corect, deci în acest caz avem:

$$F(d) = 0, \quad \text{pentru } d < 0 \quad (46)$$

Pentru o funcție de pierdere dependentă liniar de distanța la planul de decizie, avem:

$$F(\omega_1/\omega_2, d) = \begin{cases} 0, & \text{pentru } \mathbf{W}^T \mathbf{X} \geq 0, \mathbf{X} \in \omega_1, \text{ clasificare corectă} \\ \frac{\mathbf{W}^T \mathbf{X}}{\|\mathbf{W}\|}, & \text{pentru } \mathbf{W}^T \mathbf{X} < 0, \mathbf{X} \in \omega_1, \text{ clasificare incorectă} \end{cases} \quad (47)$$

$$F(\omega_2/\omega_1, d) = \begin{cases} 0, & \text{pentru } \mathbf{W}^T \mathbf{X} \leq 0, \mathbf{X} \in \omega_2, \text{ clasificare corectă} \\ \frac{\mathbf{W}^T \mathbf{X}}{\|\mathbf{W}\|}, & \text{pentru } \mathbf{W}^T \mathbf{X} > 0, \mathbf{X} \in \omega_2, \text{ clasificare incorectă} \end{cases} \quad (48)$$

Se calculează:

$$\begin{aligned} \nabla \left(\frac{\mathbf{W}^T \mathbf{X}}{\|\mathbf{W}\|} \right) &= \frac{\mathbf{X}\|\mathbf{W}\| - \mathbf{W}^T \mathbf{X} \nabla \|\mathbf{W}\|}{\|\mathbf{W}\|^2} = \frac{\mathbf{X}\|\mathbf{W}\| - \mathbf{W}^T \mathbf{X} \nabla (\mathbf{W}^T \mathbf{W})^{1/2}}{\|\mathbf{W}\|^2} = \\ &= \frac{\mathbf{X}\|\mathbf{W}\| - \mathbf{W}^T \mathbf{X} (\mathbf{W}^T \mathbf{W})^{-1/2} \mathbf{W}}{\|\mathbf{W}\|^2} = \frac{\mathbf{X}\|\mathbf{W}\| - \mathbf{W}^T \mathbf{X} \|\mathbf{W}\|^{-1} \mathbf{W}}{\|\mathbf{W}\|^2} = \frac{\mathbf{X}\|\mathbf{W}\|^2 - (\mathbf{W}^T \mathbf{X}) \mathbf{W}}{\|\mathbf{W}\|^3} \end{aligned} \quad (49)$$

iar rezultatul se notează cu:

$$f(\mathbf{X}, \mathbf{W}) = \frac{\mathbf{X}\|\mathbf{W}\|^2 - (\mathbf{W}^T \mathbf{X}) \mathbf{W}}{\|\mathbf{W}\|^3} \quad (50)$$

Ca urmare, gradientul riscului global poate fi exprimat cu:

$$\nabla r(\mathbf{W}) = \mathbf{P}(\omega_1) \int_{\omega_2} f(\mathbf{X}, \mathbf{W}) \mathbf{P}(\mathbf{X}/\omega_1) d\mathbf{X} + \mathbf{P}(\omega_2) \int_{\omega_1} f(\mathbf{X}, \mathbf{W}) \mathbf{P}(\mathbf{X}/\omega_2) d\mathbf{X} + \mathbf{g}(\omega_2, \omega_1) \quad (51)$$

Aceste metode fiind neparametrice, caracteristicile statistice ale procesului sunt necunoscute, deci $\mathbf{P}(\omega_i)$, $\mathbf{P}(\mathbf{X}/\omega_i)$ nu se cunosc. De aceea se adoptă o procedură iterativă de estimare a lui " \mathbf{W} ", riscul global estimându-se și el plecând de la formele din setul de antrenament:

$$\begin{cases} \mathbf{W}(i+1) = \mathbf{W}(i) + \Delta \mathbf{W}(i) \\ \mathbf{r}(\mathbf{W}) \cong \frac{1}{N_1} \sum_{m=1}^{N_1} \mathbf{F}(\omega_1/\omega_2, \mathbf{X}_m^{(1)}, \mathbf{W}) + \frac{1}{N_2} \sum_{m=1}^{N_2} \mathbf{F}(\omega_2/\omega_1, \mathbf{X}_m^{(2)}, \mathbf{W}) \end{cases} \quad (52)$$

Metoda gradientului descrescător furnizează condiția ca $\Delta \mathbf{W}(i)$ să fie proporțional cu $\nabla r(\mathbf{W})$, deci să avem:

$$\mathbf{W}(i+1) = \mathbf{W}(i) - \alpha \nabla r(\mathbf{W}) \quad (53)$$

și pe baza formulei precedente se poate utiliza drept estimăție a gradientului:

$$\nabla r(\mathbf{W}) \cong \frac{1}{N_1} \sum_{m \in M_1} f(\mathbf{X}_m^{(1)}, \mathbf{W}(i)) + \frac{1}{N_2} \sum_{m \in M_2} f(\mathbf{X}_m^{(2)}, \mathbf{W}(i)) \quad (54)$$

unde cu M_1, M_2 s-au notat mulțimile indicilor care, la iterația " i " produc o clasificare corectă.

Generalizarea metodei precedente pentru cazul mai multor clase este imediată.

11.4. Clasificatorul Bayes pentru forme codate binar.

Dacă forma \mathbf{X} este codificată binar, trăsăturile $x_i, i = 1 \dots n$ pot lua deci doar două valori. Atunci $\mathbf{P}(\mathbf{X}/\omega_k)$ va fi definită de " n " probabilități de forma $p(x_i/\omega_k)$, fiecare reprezentând probabilitatea ca trăsătura x_i să fie " 1 " pentru toate formele din clasa ω_k .

Fiind doar două valori posibile, $1 - p(x_i/\omega_k)$ reprezintă probabilitatea ca trăsătura x_i să fie " 0 " pentru toate formele din clasa ω_k .

Presupunând *independența statistică* a trăsăturilor, probabilitatea ca " \mathbf{X} " să aparțină clasei ω_k se scrie:

$$\mathbf{P}(X/\omega_k) = \prod_{i=1}^n [p(x_i/\omega_k)]^{x_i} [1 - p(x_i/\omega_k)]^{1-x_i} \quad (55)$$

Înlocuind relația anterioară în expresia funcției discriminant pentru un clasificator bayesian cu funcție de pierdere simetrică:

$$\mathbf{D}_k(\mathbf{X}) = \log [\mathbf{P}(X/\omega_k)P(\omega_k)] \quad (56)$$

rezultă succesiv:

$$\mathbf{D}_k(\mathbf{X}) = \sum_{i=1}^n \{ \log [p(x_i/\omega_k)]^{x_i} + \log [1 - p(x_i/\omega_k)]^{1-x_i} \} + \log \mathbf{P}(\omega_k) \quad (57)$$

$$\mathbf{D}_k(\mathbf{X}) = \sum_{i=1}^n x_i \log p(x_i/\omega_k) + \sum_{i=1}^n (1 - x_i) \log [1 - p(x_i/\omega_k)] + \log \mathbf{P}(\omega_k) \quad (58)$$

$$\mathbf{D}_k(\mathbf{X}) = \sum_{i=1}^n x_i \log \frac{p(x_i/\omega_k)}{1 - p(x_i/\omega_k)} + \sum_{i=1}^n \log [1 - p(x_i/\omega_k)] + \log \mathbf{P}(\omega_k) \quad (59)$$

Folosind notațiile:

$$w_i^{(k)} \stackrel{\Delta}{=} \log \frac{p(x_i/\omega_k)}{1 - p(x_i/\omega_k)} \quad w_{n+1}^{(k)} \stackrel{\Delta}{=} \sum_{i=1}^n \log [1 - p(x_i/\omega_k)] + \log \mathbf{P}(\omega_k) \quad (60)$$

relația obținută anterior se scrie:

$$\mathbf{D}_k(\mathbf{X}) = \sum_{i=1}^{n+1} w_i x_i = \mathbf{W}^T \mathbf{X} \quad (61)$$

unde $x_{n+1} = 1$. Se obține deci, în ipoteza independenței statistice a trăsăturilor și pentru o funcție de pierdere simetrică, un clasificator liniar.

Pentru cazul clasificării binare, funcția de decizie este:

$$\mathbf{D}(\mathbf{X}) = \mathbf{D}_1(\mathbf{X}) - \mathbf{D}_2(\mathbf{X}) \quad (62)$$

și înlocuind:

$$\mathbf{D}(\mathbf{X}) = \sum_{i=1}^n x_i \left[\log \frac{p(x_i/\omega_1)}{1 - p(x_i/\omega_1)} - \log \frac{p(x_i/\omega_2)}{1 - p(x_i/\omega_2)} \right] + \sum_{i=1}^n \log \frac{1 - p(x_i/\omega_1)}{1 - p(x_i/\omega_2)} + \log \frac{\mathbf{P}(\omega_1)}{\mathbf{P}(\omega_2)} \quad (63)$$

rezultă în final:

$$\mathbf{D}(\mathbf{X}) = \sum_{i=1}^n x_i \log \frac{p(x_i/\omega_1)[1 - p(x_i/\omega_2)]}{p(x_i/\omega_2)[1 - p(x_i/\omega_1)]} + \sum_{i=1}^n \log \frac{1 - p(x_i/\omega_1)}{1 - p(x_i/\omega_2)} + \log \frac{\mathbf{P}(\omega_1)}{\mathbf{P}(\omega_2)} \quad (64)$$

În cazurile în care nu se cunoaște probabilitatea apriorică a claselor se aplică criteriul verosimilității maxime, care implică presupunerea că toate clasele sunt egal probabile, aceasta pentru a evita estimările eronate ale acestor probabilități plecând de la numărul de forme din setul de antrenare.

11.5. Aproximarea densităților de probabilitate.

Se disting două situații, cum ar fi:

(1). Se cunoaște tipul distribuției respectate de formele din setul de antrenament, dar nu se cunosc parametrii acestei distribuții.

(2). Nu se cunoaște tipul distribuției.

În primul caz, cel mai adesea, parametrii care caracterizează distribuția sunt media, care se estimează simplu prin:

$$\mathbf{M}^{(k)} = \frac{1}{N_k} \sum_{i=1}^{N_k} \mathbf{X}_i^{(k)} \quad (65)$$

și dispersia, estimată prin:

$$\Phi^{(k)} = \sqrt{\frac{1}{N_k} \sum_{i=1}^{N_k} (X_i^{(k)} - M^{(k)})^2} \quad (66)$$

Cazul secund poate fi rezolvat prin trei modalități, primele două necesitând calculul histogramei de distribuție pentru fiecare trăsătură în parte. Foarte utilă este asigurarea prealabilă a independenței statistice a trăsăturilor. De aceea se utilizează transformarea Karhunen-Loeve care furnizează la ieșire valori necorelate sau, dacă vectorii de intrare pot fi modelați cu un proces Markov de ordinul unu, se poate utiliza cu foarte bune rezultate Transformarea Cosinus Discretă (DCT), care aproximează foarte bine transformarea KL.

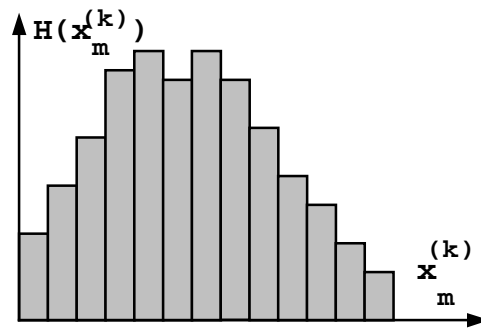


Fig. 2. Construcția histogramei de distribuție.

O primă soluție este aproximarea acestei histograme de distribuție cu o funcție analitică, aproximare pentru care există instrumente matematice foarte bine puse la punct. Cealaltă soluție, mai economică din punct de vedere computațional, propune păstrarea acestor histograme de distribuție sub forma tabelară, uzual reținându-se 3-20 valori.

Ambele soluții furnizează deci o estimare a densității de probabilitate $\varphi_i^{(k)}$ pentru trăsătura "m" și clasa "k". Independența statistică a trăsăturilor permite calculul unei estimări a densității de repartiție multidimensionale folosind relația:

$$\Theta^{(k)}(X) = \prod_{i=1}^n \varphi_i^{(k)}(x_i^{(k)}) \quad (67)$$

Ultima soluție are la bază aproximarea densităților de repartiție multidimensionale pentru fiecare clasă în parte folosind metoda funcțiilor de potențial, metodă ce va fi discutată în cadrul capitolului următor.

12. Metoda funcțiilor de potențial.

12.1. Construcția clasificatorilor bazați pe funcții de potențial.

12.2. Aproximarea densităților de probabilitate cu funcții de potențial.

12.1. Construcția clasificatorilor bazați pe funcții de potențial.

Această metodă constă în construirea unui "câmp potențial" în jurul fiecărui punct (formă) cunoscut din spațiul formelor. Apoi se calculează câmpul potențial global al fiecărei clase folosind (după metoda potențialelor electrice din electrotehnică) principiul superpoziției.

O formă de intrare necunoscută va fi atribuită acelei clase care exercită asupra ei câmpul cel mai puternic.

Numim funcția de potențial corespunzătoare unei forme cunoscute din clasa ω_k , o funcție:

$$\Phi(\mathbf{X}, \mathbf{X}_i^{(k)}): \Omega \rightarrow R \quad (1)$$

În general, pentru ca o funcție oarecare să poată fi funcție de potențial, ea trebuie să îndeplinească următoarele condiții:

(1). Să admită maxime pentru:

$$\mathbf{X} = \mathbf{X}_m^{(k)}, \forall m = 1 \dots N_m, \forall k = 1 \dots N_c \quad (2)$$

(2). Să fie neglijabilă la distanțe mari de $\mathbf{X}_m^{(k)}$:

$$\Phi(\mathbf{X}, \mathbf{X}_i^{(k)}) \rightarrow 0, \text{ pentru } d(\mathbf{X}, \mathbf{X}_i^{(k)}) \rightarrow \infty \quad (3)$$

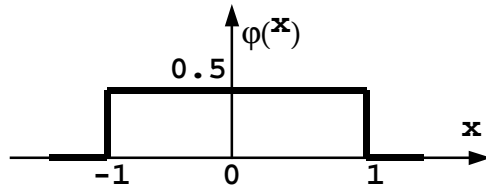
(3). Să fie continuă și să scadă monoton cu distanța.

(4). Dacă $\Phi(\mathbf{X}_1, \mathbf{X}_i^{(k)}) = \Phi(\mathbf{X}_2, \mathbf{X}_i^{(k)})$, atunci formele \mathbf{X}_1 și \mathbf{X}_2 trebuie să aibă aproximativ același grad de similaritate în raport cu $\mathbf{X}_m^{(k)}$.

Funcția de potențial poate fi diferită de la o formă la alta în interiorul aceleiași clase, funcție de influența fiecărei forme asupra procesului de recunoaștere, dar și diferită de la o clasă la alta. Scăderea funcției de potențial monoton cu distanța dintre \mathbf{X} și $\mathbf{X}_m^{(k)}$ reflectă scăderea influenței câmpului asupra formelor noi mai depărtate.

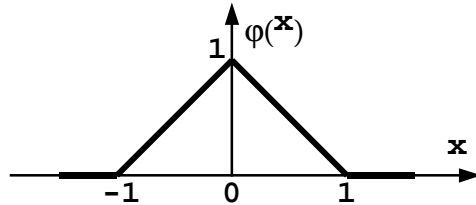
Câteva exemple de funcții de potențial simple sunt enumerate în continuare, pentru cazul unidimensional:

$$(1). \text{ funcția de potențial dreptunghiulară: } \varphi(x) = \begin{cases} 0.5, & \text{pentru } |x| \leq 1 \\ 0, & \text{pentru } |x| > 1 \end{cases} \quad (4)$$



(2). funcția de potențial triunghiulară:

$$\varphi(x) = \begin{cases} 1 - |x|, & \text{pentru } |x| \leq 1 \\ 0, & \text{pentru } |x| > 1 \end{cases} \quad (5)$$



(3). funcția de potențial gaussiană:

$$\varphi(x) = \frac{1}{\sqrt{2\pi}} e^{-\frac{x^2}{2}} \quad (6)$$

(4). funcția de potențial tip descreștere exponențială:

$$\varphi(x) = \frac{1}{2} e^{-|x|}$$

(7)

(5). funcția de potențial tip Cauchy:

$$\varphi(x) = \frac{1}{\pi(1+x^2)} \quad (8)$$

Se observă similitudinile care există, ca expresie, între funcția de potențial și densitatea de probabilitate. În practică, funcțiile de potențial se folosesc mult pentru estimarea densității de probabilitate.

Cunoscând funcțiile de potențial atașate tuturor formelor prototip din fiecare clasă, putem construi o funcție discriminant atașată unei clase, prin calculul câmpului potențial global:

$$\mathbf{D}_k(\mathbf{X}) = \frac{1}{M_k} \sum_{i=1}^{M_k} \Phi(\mathbf{X}, \mathbf{X}_i^{(k)}) \quad (9)$$

Decizia se ia atunci după regula cunoscută:

$$\mathbf{X} \in \omega_k \Leftrightarrow \mathbf{D}_k(\mathbf{X}) > \mathbf{D}_j(\mathbf{X}), \quad \forall j \neq k, j = 1 \dots N_c \quad (10)$$

Pentru cazul clasificării binare (două clase), funcția discriminant este de forma:

$$\mathbf{D}(\mathbf{X}) = \frac{1}{M_1} \sum_{i=1}^{M_1} \Phi(\mathbf{X}, \mathbf{X}_i^{(1)}) - \frac{1}{M_2} \sum_{i=1}^{M_2} \Phi(\mathbf{X}, \mathbf{X}_i^{(2)}) \quad (11)$$

Planul de decizie fiind dat de punctele de potențial nul, regula de decizie în acest caz este de forma:

$$\begin{cases} \mathbf{X} \in \omega_1 \Leftrightarrow \mathbf{D}(\mathbf{X}) > 0 \\ \mathbf{X} \in \omega_2 \Leftrightarrow \mathbf{D}(\mathbf{X}) < 0 \end{cases} \quad (12)$$

Dacă funcția de potențial folosită este cea gaussiană multidimensională (foarte des utilizată), atunci:

$$\Phi(\mathbf{X}, \mathbf{X}_i^{(k)}) = \exp[-(\mathbf{X} - \mathbf{X}_i^{(k)})^T (\mathbf{X} - \mathbf{X}_i^{(k)})] \quad (13)$$

Dezvoltând expresia anterioară obținem:

$$\Phi(\mathbf{X}, \mathbf{X}_i^{(k)}) = \exp[-\|\mathbf{X}\|^2] \exp[2\mathbf{X}^T \mathbf{X}_i^{(k)} - \|\mathbf{X}_i^{(k)}\|^2] \quad (14)$$

primul factor fiind comun tuturor funcțiilor de potențial, se folosește:

$$\Phi(\mathbf{X}, \mathbf{X}_i^{(k)}) = \exp[2\mathbf{X}^T \mathbf{X}_i^{(k)} - \|\mathbf{X}_i^{(k)}\|^2] \quad (15)$$

După definirea funcțiilor de potențial pentru fiecare clasă în parte, ele pot fi apoi modificate aditiv sau multiplicativ, pentru a accentua sau diminua influența unui anume câmp.

O altă variantă permite evaluarea funcțiilor discriminant după metoda celor "k" vecini, astfel:

- (1). se determină cei mai apropiați "k" vecini ai formei de intrare în clasificator.
- (2). se sortează pe clase acești "k" vecini.
- (3). se estimează potențialul global al fiecărei clase doar pe baza potențialului celor câțiva vecini.
- (4). se execută clasificarea după regula descrisă anterior.

12.2. Aproximarea densităților de probabilitate cu funcții de potențial.

Estimarea densităților de probabilitate ale claselor poate fi făcută folosind metoda funcțiilor de potențial, astfel:

$$p(\mathbf{X}/\omega_k) = \frac{1}{M_k} \sum_{m=1}^{M_k} \Phi(\mathbf{X}, \mathbf{X}_m^{(k)}) \quad (16)$$

Pentru ca $p(\mathbf{X}/\omega_k)$ să fie o densitate de probabilitate, funcția $\Phi(\mathbf{X}, \mathbf{X}_m^{(k)})$ trebuie să îndeplinească următoarele condiții:

$$(1). \sup |\Phi(\mathbf{X})| < +\infty \quad (17)$$

$$(2). \int_{-\infty}^{+\infty} |\Phi(\mathbf{X})| d\mathbf{X} < +\infty \quad (18)$$

$$(3). \int_{-\infty}^{+\infty} \Phi(\mathbf{X}) d\mathbf{X} = 1 \quad (19)$$

$$(4). \lim_{x \rightarrow \infty} x \varphi(x) = 0 \quad (20)$$

Funcțiile de potențial descrise mai sus îndeplinesc aceste condiții.

Dacă se folosește funcția potențial gaussiană:

$$\Phi(\mathbf{X}, \mathbf{X}_m^{(k)}) = \frac{1}{(\sigma\sqrt{2\pi})^n} \exp\left[-\frac{(\mathbf{X} - \mathbf{X}_m^{(k)})^T (\mathbf{X} - \mathbf{X}_m^{(k)})}{2\sigma^2}\right] \quad (21)$$

unde parametrul " σ " este un factor de netezire, rezultă:

$$p(\mathbf{X}/\omega_k) = \frac{1}{M_k (\sigma\sqrt{2\pi})^n} \sum_{m=1}^{M_k} \exp\left[-\frac{(\mathbf{X} - \mathbf{X}_m^{(k)})^T (\mathbf{X} - \mathbf{X}_m^{(k)})}{2\sigma^2}\right] \quad (22)$$

$$p(\mathbf{X}/\omega_k) = \frac{1}{M_k (\sigma\sqrt{2\pi})^n} \exp\left[-\frac{\|\mathbf{X}\|^2}{2\sigma^2}\right] \sum_{m=1}^{M_k} \exp\left[\frac{\mathbf{X}^T \mathbf{X}_m^{(k)}}{\sigma^2}\right] \exp\left[-\frac{\|\mathbf{X}_m^{(k)}\|^2}{2\sigma^2}\right] \quad (23)$$

Dezvoltând în serii exponențiala a doua, obținem:

$$p(\mathbf{X}/\omega_k) \cong \frac{1}{M_k (\sigma\sqrt{2\pi})^n} \exp\left[-\frac{\|\mathbf{X}\|^2}{2\sigma^2}\right] \sum_{m=1}^{M_k} \exp\left[-\frac{\|\mathbf{X}_m^{(k)}\|^2}{2\sigma^2}\right] \sum_{h=1}^p \frac{1}{h!} \left(\frac{\mathbf{X}^T \mathbf{X}_m^{(k)}}{\sigma^2}\right)^h \quad (24)$$

Parametrul de netezire are o influență foarte mare asupra operației de estimare a densității de probabilitate. Folosind formula anterioară, funcția discriminant pentru clasa ω_k a unui clasificator bayesian cu funcție de pierdere simetrică poate fi construită cu:

$$D_k(\mathbf{X}) = \frac{P(\omega_k)}{M_k} \sum_{m=1}^{M_k} \exp\left[-\frac{\|\mathbf{X}_m^{(k)}\|^2}{2\sigma^2}\right] \sum_{h=1}^p \frac{1}{h!} \left(\frac{\mathbf{X}^T \mathbf{X}_m^{(k)}}{\sigma^2}\right)^h \quad (25)$$

unde primul raport și prima exponențială se calculează doar o singură dată, în faza de construcție a clasicatorului.

13. Algoritmi de grupare (clustering).

- 13.1. Modalități de descriere a clusterilor.
- 13.2. Gruparea prin descompunerea densităților de probabilitate.
- 13.3. Algoritmi neparametrici de grupare cu număr predeterminat de clase (IZODATA).
- 13.4. Algoritmul L.B.G. (Linde-Buzo-Gray) de cuantizare vectorială.
 - 13.4.1. Cuantizarea vectorială.
 - 13.4.2. Măsuri ale distorsiunii.
 - 13.4.3. Cuantizarea optimă.
 - 13.4.4. Algoritmul L.B.G. pentru distribuție cunoscută.
 - 13.4.5. Algoritmul L.B.G. pentru distribuție necunoscută.
 - 13.4.6. Alegerea alfabetului de refacere inițial.
- 13.5. Detalii de implementare.

13.1. Modalități de descriere a clusterilor.

Problemele de grupare a datelor intervin când se lucrează cu date neetichetate în setul de antrenament. Asemenea situații apar fie când, în interiorul unei clase deja definite, se urmărește structurarea informației existente în scopul construcției eficiente a funcției discriminant corespunzătoare, fie când, necunoscând nimic despre structura internă a setului de date, se studiază grupările naturale care apar în urma interdependențelor între aceste date.

Fiind dat setul de date de antrenament $\{\mathbf{x}_i\}_{i=1,\dots,N} \subset \Omega$, pe baza lui se urmărește construcția grupărilor (clusterilor) $\{\mathbf{X}_i\}_{i=1,\dots,R}$, astfel încât:

$$\begin{aligned} \mathbf{X}_1 \cup \mathbf{X}_2 \cup \dots \cup \mathbf{X}_R &= \Omega & \text{și} & \\ \mathbf{X}_i \cap \mathbf{X}_j &= \emptyset, \forall i, j = 1 \dots R, i \neq j \end{aligned} \quad (1)$$

Descrierea regiunilor (clusterilor) se poate face în mai multe moduri:

(1). Printr-un număr de hiperplane și un număr de reguli logice care să localizeze clusterul în interiorul unei zone limitate de hiperplane.

(2). Prin coordonatele centrului clusterului și o măsură a distanței între formele aparținând clusterului și acest centru.

(3). Prin suprafețe de proximitate descrise de ecuații de forma $f(\mathbf{x}) = 0$, măsura distanței de la forma studiată la suprafață fiind dată de chiar $f(\mathbf{x})$.

(4). Printr-un număr de forme prototip atașate fiecărui cluster și o măsură a distanței între forma de intrare și aceste forme prototip. Teoria funcțiilor de potențial poate fi utilizată cu succes pentru deducerea măsurii acestei distanțe și, evident, pentru construcția unei funcții discriminant între clase.

(5). Prin funcții discriminant, regula de decizie rezultând din evaluarea acestora:

$$\mathbf{x} \in X_j \Leftrightarrow D_j(\mathbf{x}) > D_i(\mathbf{x}), \forall i \neq j, i = 1 \dots R \quad (2)$$

(6). Metode ierarhice, având de obicei la bază principiul dihotomiei, și care realizează gruparea setului de forme de antrenament în două grupări pentru început, urmând ca apoi succesiv, să se subdividă aceste grupări în subgrupări de dimensiuni din ce în ce mai mici, până la obținerea clusterilor doriți. Decizia de apartenență se ia în urma parcurgerii arborelui binar (de obicei) care se obține astfel.

13.2. Gruparea prin descompunerea densităților de probabilitate.

O *mixtură* este o funcție densitate de probabilitate complexă care poate fi reprezentată prin superpoziția unor densități de probabilitate mai simple:

$$p(\mathbf{x}) = \sum_{i=1}^R P_i p^{(i)}(\mathbf{x}) \quad (3)$$

unde P_i are semnificația probabilității apriorice a clusterului "i", iar $p^{(i)}(\mathbf{x})$ este densitatea de probabilitate elementară atașată clusterului "i".

Se întâlnesc următoarele situații:

(1). Se cunoaște legea de repartiție pentru clusterii a căror definiție se dorește, și nici unul (sau numai o parte) din parametrii ce caracterizează aceste distribuții.

(2). Nu se cunoaște legea de repartiție pentru acești clusteri.

De cele mai multe ori, fiecărui cluster îi corespunde un maxim local în mixtură. Asimilând aceste maxime locale (moduri) cu mediile variabilelor aleatoare ce generează mixtura, se obține o simplificare a problemei. Dacă, în plus, densitățile de probabilitate elementare se suprapun foarte puțin se poate scrie:

$$p(\mathbf{x}) \cong P_i p^{(i)}(\mathbf{x}), \text{ pentru } \mathbf{x} \in X_i \quad (4)$$

Dacă nu poate fi făcută ultima supoziție, se folosește soluția determinării parametrilor necunoscuți prin minimizarea unei funcții de cost care evaluează diferențele între densitatea de probabilitate reală și cea obținută prin superpoziția densităților elementare. Această minimizare se face de obicei iterativ. Problema poate fi abordată și din punctul de vedere al teoriei funcțiilor de potențial, caz în care se estimează:

$$P_i \cong \frac{N_i}{N}, \quad \text{iar} \quad p(\mathbf{x}) \cong \frac{1}{N} \sum_{i=1}^R N_i \theta(\mathbf{x}, m_i) \quad (5)$$

unde m_i este modul de ordinul "i", iar " θ " denotă funcția de potențial utilizată, urmărindu-se estimarea parametrilor intrinseci ai funcției de potențial.

Localizarea iterativă a clusterilor în cazul în care se cunosc modurile distribuției de probabilitate $m_1^{(0)}, m_2^{(0)}, \dots, m_R^{(0)}$ și se dispune de o distanță $d(\mathbf{x}, \mathbf{y})$ în spațiul formelor, poate fi făcută folosind algoritmul de ajustare a centrelor ("center adjustment algorithm"):

(1). Atribuie succesiv fiecare formă " \mathbf{y} " din setul de antrenament clusterului al cărui centru este cel mai apropiat, folosind estimarea curentă a centrului lui, $m_i^{(k)}$;

(2). Calculează noile centre ale fiecărui cluster, adică $m_i^{(k+1)}$ care minimizează distanța medie între centru și elementele care alcătuiesc clusterul:

$$Q_i(m) = \sum_{\mathbf{y} \in C_i^{(k)}} d(\mathbf{y}, m) \quad (6)$$

(3). Salt la pasul (1) pentru următoarea formă din setul de antrenament și cu centrul ajustat în pasul (2) până când nu se mai schimbă de la o iterație la alta asignarea formelor la clase, asignare efectuată în pasul (1).

13.3. Algoritmi neparametrici de grupare cu număr predeterminat de clase.

(clustering).

Dacă se consideră clasificarea nesupervizată ca o metodă de grupare a claselor în scopul maximizării separabilității lor, atunci se pot construi diverse funcții de cost a căror maximizare/minimizare permite formarea clusterilor. Funcțiile de cost se construiesc de obicei pe baza următoarelor matrici:

$$\Phi_i = \mathbf{E} \{ (\mathbf{x}^{(i)} - \bar{\mathbf{x}}^{(i)}) (\mathbf{x}^{(i)} - \bar{\mathbf{x}}^{(i)})^T \} - \text{matricea de covarianță a clasei "i"};$$

$$\Phi^{(in)} = \sum_{i=1}^M \mathbf{P}(\omega_i) \Phi_i - \text{matricea de dispersie intraclasă};$$

$$\Phi^{(ic)} = \sum_{i=1}^M \mathbf{P}(\omega_i) (\mathbf{x}^{(i)} - \bar{\mathbf{x}}^{(i)}) (\mathbf{x}^{(i)} - \bar{\mathbf{x}}^{(i)})^T - \text{matricea de dispersie interclasă};$$

$$\Phi^{(m)} = \Phi^{(in)} + \Phi^{(ic)} - \text{matricea de dispersie mixtă}.$$

Funcțiile de cost utilizate cel mai des și care se construiesc pe baza lor sunt:

$$C_1 = \text{tr} [(\Phi^{(m)})^{-1} \Phi^{(in)}] \quad (\text{minimizare}) \quad (7)$$

$$C_2 = \text{tr} [(\Phi^{(in)})^{-1} \Phi^{(m)}] \quad (\text{maximizare}) \quad (8)$$

$$C_3 = \ln [|\Phi^{(m)}| / |\Phi^{(in)}|] \quad (\text{maximizare}) \quad (9)$$

Minimizarea/maximizarea lor permite construcția unei transformări optimale din familia transformărilor Karhunen-Loeve, transformări care realizează transpunerea datelor de intrare într-un spațiu în care separabilitatea claselor (clusterilor) este optimizată.

Volumul mare de calcule necesar pentru transformarea precedentă face ca, cel mai adesea, pentru gruparea claselor într-un număr predeterminat de clase să fie preferat un algoritm iterativ de construcție a clusterilor, numit algoritmul IZODATA:

(1). Se consideră o partiție inițială a formelor de intrare, $\Omega^{(0)}$ și pe baza ei se calculează mediile celor M clase, $\mathbf{m}_1^{(0)}, \mathbf{m}_2^{(0)}, \dots, \mathbf{m}_M^{(0)}$, iar numărul iterației se inițializează cu $n = 0$.

(2). Folosind mediile $\mathbf{m}_1^{(n)}, \mathbf{m}_2^{(n)}, \dots, \mathbf{m}_M^{(n)}$ rezultate în urma iterației "n", se reclasifică vectorul de intrare curent în clusterul corespunzător celei mai apropiate medii.

(3) Dacă există cel puțin o formă de intrare din setul de antrenament a cărei asignare este schimbată, se calculează noile medii $\mathbf{m}_1^{(n+1)}, \mathbf{m}_2^{(n+1)}, \dots, \mathbf{m}_M^{(n+1)}$ și se reia pasul (2). În caz contrar algoritmul se oprește.

Se remarcă faptul că ajustarea mediilor se face la algoritmul IZODATA pentru fiecare eșantion, în timp ce algoritmul ajustării centrelor, descris anterior, realizează acest lucru după reclasificarea tuturor eșantioanelor. Din aceeași clasă de algoritmi mai face parte și metoda minimizării sumei erorilor medii pătratice care atribuie o formă de intrare din setul de antrenament unui alt cluster, doar dacă scade eroarea medie pătratică dată de:

$$\varepsilon = \sum_{i=1}^M \sum_{\mathbf{x} \in \omega_p} \|\mathbf{x} - \mathbf{m}_p\|^2 \quad (10)$$

Algoritmul cuprinde următorii pași:

Algoritmul IZODATA.

- (1). Se alege o partiționare inițială a celor N eșantioane în clase (clusteri), calculându-se mediile corespunzătoare fiecărui cluster precum și eroarea " ε ";
- (2). Se inițializează iterația cu $n = 0$;
- (3). $n = n + 1$
- (4). Se extrage următoarea formă din setul de antrenament $\mathbf{x}_i \in \omega_p$. Dacă $N_p = 1$, adică \mathbf{x}_i este singura formă asignată clasei ω_p , se continuă cu pasul (8);
- (5). Se calculează:

$$\Delta\epsilon_k = \begin{cases} \frac{N_q}{N_q + I} \|\mathbf{x}_n - \mathbf{m}_q\|^2, & \text{pentru } q \neq p \\ \frac{N_p}{N_p - I} \|\mathbf{x}_n - \mathbf{m}_p\|^2, & \text{pentru } q = p \end{cases} \quad (11)$$

- (6). Se asignează \mathbf{x}_n clasei ω_k dacă $\Delta\epsilon_k \leq \Delta\epsilon_q$, pentru toți "q";
 (7). Se calculează "ε" și mediile \mathbf{m}_p și \mathbf{m}_q .
 (8). Dacă $n < N$, salt la pasul (3), în caz contrar salt la pasul (9).
 (9). Stop dacă "ε" nu s-a modificat după ultima parcurgere a mulțimii de N eșantioane, în caz contrar salt la pasul (2).

13.4. Algoritmul L.B.G. (Linde-Buzo-Gray) de cuantizare vectorială.

Un algoritm intuitiv și eficient pentru alegerea unui cuantizor vectorial (sau de bloc) definit pe baza unor măsuri de distorsiune relativ generale, a fost dezvoltat de Linde, Buzo și Gray, el putând fi utilizat atât în descrieri de surse probabilistice cu caracteristici cunoscute, cât și pentru studierea secvențelor lungi de date. Algoritmul este bazat pe o abordare datorată lui Lloyd, nu este o tehnică variațională și nu implică diferențierea. Folosind tehnici variaționale comune, algoritmul produce cuantizori ce ating *condiții necesare dar nu și suficiente pentru optim*. Cel puțin la nivel local, optimul este asigurat.

13.4.1. Cuantizarea vectorială.

Un cuantizor pe N nivele (clase), K -dimensional este o aplicație q care atribuie fiecărui vector de intrare \mathbf{x} :

$$\mathbf{x} = (x_0, \dots, x_{K-1}), \quad (12)$$

un vector de refacere $\hat{\mathbf{x}}$:

$$\hat{\mathbf{x}} = \mathbf{q}(\mathbf{x}), \quad (13)$$

obținut dintr-un alfabet de refacere finit \hat{A} :

$$\hat{A} = \{y_i; i = 1, \dots, N\} \quad (14)$$

Cuantizorul q este complet descris de alfabetul de refacere (cartea de coduri) \hat{A} împreună cu partiția spațiului vectorial de intrare S :

$$S = \{S_i; i = 1, \dots, N\}, \quad (15)$$

în seturile:

$$S_i = \{\mathbf{x}; \mathbf{q}(\mathbf{x}) = y_i\} \quad (16)$$

ale aplicației vectorilor de intrare în vectorul de refacere $\hat{\mathbf{x}}$ (cuvântul de cod $\hat{\mathbf{x}}$). Asemenea cuantizori mai sunt denumiți și cuantizori de bloc, cuantizori vectoriali sau coduri sursă de bloc.

13.4.2. Măsuri ale distorsiunii.

Presupunem că distorsiunea cauzată de refacerea unui vector de intrare \mathbf{x} de către un vector de refacere $\hat{\mathbf{x}}$ este dată de o măsură nenegativă a distorsiunii $d(\mathbf{x}, \hat{\mathbf{x}})$. Multe asemenea măsuri ale distorsiunii au fost propuse în literatură. Cea mai uzuală, din motive de compatibilitate matematică, este eroarea medie pătratică a distorsiunii:

$$d(\mathbf{x}, \hat{\mathbf{x}}) = \sum_{i=0}^{K-1} |x_i - \hat{x}_i|^2, \quad (17)$$

Alte măsuri comune ale distorsiunii sunt l_v sau norma Holder:

(clustering).

$$d(\mathbf{x}, \hat{\mathbf{x}}) = \left\{ \sum_{i=0}^{K-1} |x_i - \hat{x}_i|^v \right\}^{1/v} = \|\mathbf{x} - \hat{\mathbf{x}}\|_v, \quad (18)$$

și puterea v a sa, distorsiunea de ordinul v :

$$d^v(\mathbf{x}, \hat{\mathbf{x}}) = \sum_{i=0}^{K-1} |x_i - \hat{x}_i|^v = \|\mathbf{x} - \hat{\mathbf{x}}\|_v^v, \quad (19)$$

Cum ambele măsuri ale distorsiunii date prin relațiile anterioare depind de puterea v a erorilor în coordonate separate, măsura din prima relație este adeseori mai folositoare, deoarece fiind o distanță (sau metrică) și satisfăcând inegalitatea triunghiului, permite limitarea distorsiunii totale mai ușor, într-un sistem cu mai mulți pași, prin sumarea distorsiunilor individuale întâlnite la fiecare treaptă, în timp ce distorsiunea de ordinul v din relația a doua nu are această proprietate.

Alte măsuri ale distorsiunii sunt l_∞ , sau norma Minkowski:

$$d(\mathbf{x}, \hat{\mathbf{x}}) = \max_{0 \leq i \leq K-1} |x_i - \hat{x}_i|, \quad (20)$$

distorsiunea pătratică ponderată:

$$d(\mathbf{x}, \hat{\mathbf{x}}) = \sum_{i=0}^{K-1} w_i |x_i - \hat{x}_i|^2, \quad (21)$$

unde $w_i \geq 0, i = 0, \dots, K-1$

și o distorsiune mai generală, distorsiunea quadratică:

$$d(\mathbf{x}, \hat{\mathbf{x}}) = (\mathbf{x} - \hat{\mathbf{x}}) \mathbf{B} (\mathbf{x} - \hat{\mathbf{x}})^t = \sum_{i=0}^{K-1} \sum_{j=0}^{K-1} B_{i,j} (x_i - \hat{x}_i) (x_j - \hat{x}_j), \quad (22)$$

unde $\mathbf{B} = \mathbf{B}\{i,j\}$ este o matrice $K \times K$ simetrică, pozitiv definită.

Toate măsurile descrise anterior pentru distorsiune au proprietatea că depind de vectorii \mathbf{x} și $\hat{\mathbf{x}}$ numai prin vectorul de eroare $\mathbf{x} - \hat{\mathbf{x}}$. Asemenea măsuri ale distorsiunii având forma:

$$d(\mathbf{x}, \hat{\mathbf{x}}) = \mathbf{L} (\mathbf{x} - \hat{\mathbf{x}}), \quad (23)$$

sunt numite măsuri diferență ale distorsiunii. Măsuri ale distorsiunii care au această formă, dar depind de \mathbf{x} și $\hat{\mathbf{x}}$ într-un mod mai complicat, au fost propuse pentru sistemele de compresie de date.

Interesantă este măsura distorsiunii propusă de Itakura și Saito și de Chaffee care apare în sistemele de compresie vocală și are forma:

$$d(\mathbf{x}, \hat{\mathbf{x}}) = (\mathbf{x} - \hat{\mathbf{x}}) \mathbf{R}(\mathbf{x}) (\mathbf{x} - \hat{\mathbf{x}})^t, \quad (24)$$

unde pentru fiecare \mathbf{x} , matricea $\mathbf{R}(\mathbf{x})$ cu dimensiunea $K \times K$ este simetrică și pozitiv definită.

Această distorsiune seamănă cu distorsiunea pătratică anterioară, dar matricea de ponderare depinde de vectorul de intrare \mathbf{x} .

O măsură a distorsiunii $d(\mathbf{x}, \hat{\mathbf{x}})$ între \mathbf{x} și o refacerea $\hat{\mathbf{x}}$, ar putea fi văzută ca o măsură a distorsiunii între două filtre sau modele normalizate (cu câștig unitar). În acest caz o măsură a distorsiunii a fost propusă de Itakura și Saito și de Chaffee, ea fiind exprimată prin relația:

$$\mathbf{R}(\mathbf{x}) = \{ \mathbf{r}_x(k-j); k=0, \dots, K-1; j=0, \dots, K-1 \} \quad (25)$$

definită de:

$$\mathbf{r}_x(k) = \int_{-\pi}^{\pi} \left| \sum_{m=0}^K a_m e^{-im\theta} \right|^{-2} e^{ik\theta} d\theta / 2\pi, \quad (26)$$

descrisă prin \mathbf{x} , când intrarea are un spectru plat de amplitudine, unitar (sistemele LPC standard își minimizează implicit această distorsiune, ceea ce sugerează că este o măsură potrivită a acesteia, pentru cuantizarea următoare).

Fie $\mathbf{X} = (X_0, \dots, X_{k-1})$ un vector real aleator descris de o funcție de distribuție cumulativă având forma:

$$\mathbf{F}(\mathbf{x}) = \mathbf{P}\{X_i \leq x_i; i = 0, 1, \dots, K-1\} \quad (27)$$

O măsură a performanței cuantizorului \mathbf{q} aplicată vectorului aleator \mathbf{X} este dată de distorsiunea așteptată:

$$\mathbf{D}(\mathbf{q}) = \mathbf{E}\{d(\mathbf{X}, \mathbf{q}(\mathbf{X}))\} \quad (28)$$

unde \mathbf{E} denotă operatorul speranță matematică aplicat distribuției de mai sus \mathbf{F} .

Această măsură a performanței este semnificativă din punct de vedere fizic dacă cuantizorul \mathbf{q} va fi folosit la cuantizarea unei secvențe de vectori:

$$\mathbf{X}_n = (X_{nk}, \dots, X_{nk+k-1}) \quad (29)$$

care sunt staționari și ergodici, de vreme ce distorsiunea medie temporară:

$$n^{-1} \sum_{i=0}^{n-1} d(\mathbf{X}_i, \mathbf{q}(\mathbf{X}_i)) \quad (30)$$

converge cu probabilitatea "1" către $\mathbf{D}(\mathbf{q})$ pentru $n \rightarrow \infty$ (din teoria ergodică), de unde rezultă că $\mathbf{D}(\mathbf{q})$ descrie distorsiunea medie (temporală) pentru rularea pe durată mare.

13.4.3. Cuantizarea optimală.

Un cuantizor pe N nivele va fi numit optimal (sau optimal global), dacă minimizează distorsiunea așteptată, cu alte cuvinte, \mathbf{q}^* este optimal dacă pentru toți ceilalți cuantizori \mathbf{q} având N vectori de refacere avem:

$$\mathbf{D}(\mathbf{q}^*) \leq \mathbf{D}(\mathbf{q}) \quad (31)$$

Un cuantizor va fi numit optim local dacă $\mathbf{D}(\mathbf{q})$ este doar un minim local, altfel spus, modificări ușoare ale lui \mathbf{q} duc la o creștere a distorsiunii. Scopul proiectării cuantizorului de bloc este de a obține un cuantizor optimal, dacă este posibil, iar dacă nu, un cuantizor optim local. Câțiva asemenea algoritmi au fost propuși în literatură pentru proiectarea asistată de calculator a cuantizorilor local optimali.

În 1957, într-o lucrare nepublicată, S. Lloyd a propus două metode de proiectare a cuantizorului pentru cazul scalar ($k = 1$), cu un criteriu dat de distorsiunea eroare pătratică. "Metoda II" era o abordare variațională directă, în care a luat derivatele în raport cu simbolurile de refacere y_i și cu punctele limită ce defineau S_i , făcând aceste derivate zero. Din aceasta rezultă în general doar un cuantizor "de punct staționar" (derivata zero multidimensională) care satisface condiții necesare dar nu și suficiente pentru optimalitate. Folosind argumentele derivatei a-II-a, este ușor de stabilit că asemenea cuantizoare "de punct staționar" asigură măcar optime locale pentru măsuri folosind regula puterii ν .

Lloyd a demonstrat optimalitatea globală pentru anumite distribuții folosind tehnica căutării exhaustive a tuturor optimumurilor locale. În esență, aceeași tehnică a fost propusă și utilizată în problema paralelă a analizei de grup de către Danelius în 1950, Fischer în 1953 și Cox în 1957. Această tehnică a fost dezvoltată în mod independent de Max în 1960 iar cuantizorul rezultat este în mod uzual cunoscut sub denumirea de cuantizorul Lloyd-Max.

De remarcat că în câteva situații, abordarea variațională eșuează:

- dacă k nu este egal cu 1 sau 2, nevoile de calcul devin prea complexe.
- dacă sunt dorite în plus măsuri ale distorsiunii mai complexe, puterea de calcul cerută de ecuațiile variaționale poate deveni exorbitantă.
- dacă distribuția de probabilități în cauză are componente discrete, atunci derivatele necesare nu există, dând naștere la probleme de calcul.

(clustering).

- dacă lipsește o descriere probabilistică precisă a vectorului aleator X și ne bazăm proiectarea pe o secvență lungă studiată, atunci nu există nici o modalitate evidentă de a aplica metoda variațională.

Pentru a descrie "Metoda 1" a lui Lloyd în cazul general, presupunem mai întâi că distribuția este cunoscută.

Fiind dat un cuantizor q descris de un alfabet de refacere \hat{A} :

$$\hat{A} = \{y_i; i=1, \dots, N\}, \quad (32)$$

și partiția S :

$$S = \{S_i; i = 1, \dots, N\}, \quad (33)$$

atunci distorsiunea așteptată de forma:

$$D(\{\hat{A}, S\}) = D(q) \quad (34)$$

poate fi scrisă ca:

$$D(\{\hat{A}, S\}) = \sum_{i=1}^N E\{d(X, y_i) | X \in S_i\} P(X \in S_i) \quad (35)$$

unde $E\{d(X, y_i) | X \in S_i\}$ este distorsiunea condiționată așteptată, fiind dat $X \in S_i$, sau echivalent, fiind dat $q(X) = y_i$

Presupunem că avem dat un anumit alfabet de refacere \hat{A} , dar nu este specificată nici o partiție. O partiție optimă pentru \hat{A} poate fi ușor construită printr-o aplicație de la fiecare x la $y_i \in \hat{A}$, minimizând distorsiunea $d(x, y_i)$, deci cu alte cuvinte, alegând distorsiunea minimă sau cel mai apropiat cuvânt de cod pentru fiecare intrare.

O regulă de departajare, cum ar fi alegerea refacerii cu cel mai mic index, este necesară în cazul în care mai mult de un cuvânt de cod minimizează distorsiunea.

Partiția notată:

$$P(\hat{A}) = \{P_i; i = 1, \dots, N\} \quad (36)$$

construită în această manieră este astfel încât:

$$x \in P_i \text{ (sau echivalent } q(x) = y_i) \quad (37)$$

dacă și numai dacă:

$$d(x, y_i) \leq d(x, y_j) \quad (38)$$

oricare ar fi "j" și de aici avem:

$$D(\{\hat{A}, P(\hat{A})\}) = E(\min_{j \in \hat{A}} d(X, y_j)) \quad (39)$$

care, la rândul ei, implică pentru orice partiție S ca:

$$D(\{\hat{A}, S\}) \geq D(\{\hat{A}, P(\hat{A})\}) \quad (40)$$

Astfel, pentru un alfabet de refacere fixat \hat{A} , cea mai bună partiție posibilă este $P(\hat{A})$.

Reciproc, să presupunem că avem o partiție $S = \{S_i; i = 1, \dots, N\}$ descriind cuantizorul. Pentru moment vom presupune că măsura distorsiunii și distribuția sunt astfel încât pentru fiecare set S cu probabilitatea diferită de zero într-un spațiu euclidian k -dimensional există un vector de minimă distorsiune $\hat{x}(S)$ pentru care:

$$E(d(X, \hat{x}(S)) | X \in S) = \min_u E(d(X, u) | X \in S) \quad (41)$$

Analog cazului măsurii erorii pătratică a distorsiunii și a distribuției de probabilitate uniformă, numim vectorul $\hat{x}(S)$ centroidul sau centrul de greutate a setului S . Dacă asemenea puncte există, atunci în mod clar pentru o partiție fixată S :

$$\mathbf{S} = \{\mathbf{S}_i; i = 1, \dots, N\} \quad (42)$$

nici un alfabet de refacere $\hat{\mathbf{A}}$:

$$\hat{\mathbf{A}} = \{y_i; i = 1, \dots, N\} \quad (43)$$

nu poate produce o distorsiune medie mai mică decât alfabetul de refacere $\hat{\mathbf{x}}(\mathbf{S})$:

$$\hat{\mathbf{x}}(\mathbf{S}) = \{\hat{\mathbf{x}}(\mathbf{S}_i); i = 1, \dots, N\} \quad (44)$$

conținând centrozii seturilor din \mathbf{S} , deoarece avem inegalitatea din relația:

$$\begin{aligned} D([\hat{\mathbf{A}}, \mathbf{S}]) &= \sum_{i=1}^N E(d(X, y_i) | X \in \mathbf{S}_i) \Pr(X \in \mathbf{S}_i) \geq \\ &\geq \sum_{i=1}^N \min_u E(d(X, y) | X \in \mathbf{S}_i) \Pr(X \in \mathbf{S}_i) = D([\hat{\mathbf{X}}(\mathbf{S}), \mathbf{S}]) \end{aligned} \quad (45)$$

Centrozii din relația anterioară există pentru toate seturile \mathbf{S} cu probabilitate nenulă pentru măsuri ale distorsiunii relativ generale.

În particular, dacă $d(\mathbf{x}, \mathbf{y})$ este convex în \mathbf{y} , atunci centrozii pot fi calculați folosind tehnicile de programare convexe standard. În anumite cazuri, pot fi găsiți ușor folosind tehnici variaționale. Dacă probabilitatea unui set \mathbf{S} este zero, atunci centroidul poate fi definit într-o manieră arbitrară, din moment ce speranța matematică dată de \mathbf{S} nu are o definiție unică.

13.4.4. Algoritmul L.B.G. pentru distribuție cunoscută.

(0) Inițializarea : fie dat $N =$ numărul de clase, un prag de distorsiune $\varepsilon \geq 0$, un alfabet de refacere inițial de clasă N notat $\hat{\mathbf{A}}_0$ și o distribuție F .

Facem $m = 0$ și $D_{-1} = \infty$.

(1) Fiind dat $\hat{\mathbf{A}}_m = \{y_i; i = 1, \dots, N\}$, găsim partiția de distorsiune minimă:

$\mathbf{P}(\hat{\mathbf{A}}_m) = \{\mathbf{S}_i; i = 1, \dots, N\}$ cu $\mathbf{x} \in \mathbf{S}_i$,

dacă $d(\mathbf{x}, y_i) \leq d(\mathbf{x}, y_j)$ oricare ar fi "j".

Calculăm distorsiunea medie rezultantă D_m de forma:

$$D_m = D(\{\hat{\mathbf{A}}_m, \mathbf{P}(\hat{\mathbf{A}}_m)\}) = E_{\min_{j \in \hat{\mathbf{A}}_m}} \{d(\mathbf{X}, y)\} \quad (46)$$

(2) Dacă $(D_{m-1} - D_m)/D_m \leq \varepsilon$, oprire la $\hat{\mathbf{A}}_m$ și $\mathbf{P}(\hat{\mathbf{A}}_m)$ ce descriu cuantizorul final.

Dacă $(D_{m-1} - D_m)/D_m > \varepsilon$, continuăm cu pasul (3)

(3) Căutăm alfabetul de refacere optimal de forma:

$\hat{\mathbf{x}}(\mathbf{P}(\hat{\mathbf{A}}_m)) = \{\hat{\mathbf{x}}(\mathbf{S}_i); i = 1, \dots, N\}$ pentru $\mathbf{P}(\hat{\mathbf{A}}_m)$.

Facem $\hat{\mathbf{A}}_{m+1} = \hat{\mathbf{x}}(\mathbf{P}(\hat{\mathbf{A}}_m))$.

Înlocuim m cu $m + 1$ și reluăm de la pasul (1).

Dacă într-un punct oarecare, partiția optimală $\mathbf{P}(\hat{\mathbf{A}}_m)$ are o celulă \mathbf{S}_i astfel încât $\Pr(X \in \mathbf{S}_i) = 0$, atunci algoritmul asignează ca centroid un vector arbitrar și continuă.

O alternativă mai simplă este aceea că *dacă cuantizorul final produs de algoritm are probabilitatea zero pentru o celulă, atunci vom rula din nou algoritmul cu alte condiții inițiale.*

Deoarece avem $D_m \leq D_{m-1}$, de aici rezultă că fiecare iterație a algoritmului fie reduce distorsiunea, fie o lasă neschimbată. Cum D_m este necrescător și pozitiv, el trebuie să aibă o

(clustering).

limită inferioară, să zicem D_∞ , pentru $m \rightarrow \infty$. Dacă un cuantizor limitat \hat{A}_∞ există în sensul Euclidian uzual $\hat{A}_m \rightarrow \hat{A}_\infty$ cu $m \rightarrow \infty$, atunci:

$$D(\{\hat{A}_\infty, P(\hat{A}_\infty)\}) = D_\infty \quad (47)$$

și \hat{A}_∞ are proprietatea că:

$$\hat{A}_\infty = \hat{x}(P(\hat{A}_\infty)), \quad (48)$$

cu alte cuvinte, \hat{A}_∞ este exact centroidul propriei sale partiții optimale (cuantizorul limită, dacă există, este numit cuantizor de punct fix).

O condiție necesară a unui cuantizor pentru a fi optimal, este aceea de a fi un cuantizor de punct fix. În cazul lui Lloyd, dacă un cuantizor de punct fix este astfel ales încât nu există nici o probabilitate pe frontiera celulelor de partiție, altfel spus, dacă:

$$Pr[d(X, y_i)] = d(X, y_j), \text{ pentru un } i \neq j, \text{ oricare ar fi } i \neq 0, \quad (49)$$

atunci cuantizorul este optim local.

O tehnică similară a fost propusă în 1953 de Fischer în problema analizei de grup folosind deciziile lui Bayes cu privire la *costul* erorii pătratice.

În 1965, Forgy a propus algoritmul pentru analiza de grup în cazul multidimensional al erorii pătratice a distorsiunii și o distribuție de eşantioane.

În 1977, Chen a propus în esență același algoritm pentru cazul multidimensional cu eroarea pătratică drept măsură a distorsiunii și l-a folosit la proiectarea cuantizoarelor bidimensionale pentru vectori uniform distribuiți în cerc.

Deoarece algoritmul nu pune nici un fel de condiții de diferențiabilitate, el este aplicabil pentru distribuții discrete pure. Acest fapt are o aplicabilitate importantă atunci când *nu se cunoaște dinainte o descriere probabilistică* a sursei ce va fi comprimată, și din acest motiv trebuie să ne bazăm în proiectare pe studiul unei secvențe lungi de date, ce urmează a fi compresată.

13.4.5. Algoritmul L.B.G. pentru distribuție necunoscută.

(0) Inițializarea: fie dat $N =$ număr de clase, pragul distorsiunii $\varepsilon \geq 0$, un alfabet de refacere inițial de clasă N , notat cu \hat{A}_0 și o secvență studiată x_j de forma:

$$\{x_j; j = 0, \dots, n-1\}.$$

$$\text{Facem } m = 0 \text{ și } D_{-1} = \infty. \quad (50)$$

(1) Fie dat

$$\hat{A}_m = \{y_i; i = 1, \dots, N\}, \quad (51)$$

căutăm partiția de distorsiune minimă

$$P(\hat{A}_m) = \{S_i; i = 1, \dots, N\} \quad (52)$$

pentru secvența studiată $x_j \in S_i$ dacă:

$$d(x_j, y_i) \leq d(x_j, y_l), \quad (53)$$

oricare ar fi l .

Calculăm distorsiunea medie:

$$D_m = D(\{\hat{A}_m, P(\hat{A}_m)\}) = n^{-1} \sum_{j=0}^{n-1} \min_{y \in \hat{A}_m} d(x_j, y) \quad (54)$$

$$(2) \text{ Dacă avem } (D_{m-1} - D_m) / D_m \leq \varepsilon, \quad (55)$$

ne oprim la \hat{A}_m ca alfabet de refacere final.

$$\text{Dacă avem } (D_{m-1} - D_m) / D_m > \varepsilon, \quad (56)$$

continuăm cu pasul (3).

(3) Căutăm alfabetul de refacere optimal:

$$\hat{x}(P(\hat{A}_m)) = \{\hat{x}(S_i); i = 1, \dots, N\} \text{ pentru } P(\hat{A}_m). \quad (57)$$

$$\text{Facem } \hat{A}_{m+1} = \hat{x}(P(\hat{A}_m)). \quad (58)$$

Înlocuim m cu $m + 1$ și reluăm de la pasul (1).

Dacă secvența de vectori aleatori este staționară și ergodică, atunci se respectă teorema ergodică, conform căreia cu probabilitatea unu, G_n converge spre distribuția reală de bază, notată F , pentru $n \rightarrow \infty$.

O tehnică similară folosită în analiza de grup cu funcții de cost tip eroare medie pătratică a fost dezvoltată de McQueen în anul 1967, fiind numită metoda "**K-means**".

Altă tehnică, mult mai utilizată, folosind metoda "**K-means**" este metoda "**IZODATA**" a lui Ball și Hall. Ideea principală, aceea de a găsi partițiile de distorsiune minimă și centroizii este aceeași, dar secvența de date studiată este folosită într-o manieră diferită, iar cuantizorii rezultați vor fi, în general, diferiți. Tehnica lor este secvențială, încorporează vectorii studiați unul câte unul și se sfârșește când ultimul vector este încorporat. Aceasta este în contrast cu algoritmul anterior, care consideră toți vectorii studiați pentru fiecare iterație.

Scopul metodei "**K-means**" este de a produce o partiție:

$$S_0 = [S_0, \dots, S_{N-1}] \quad (59)$$

a alfabetului studiat, cuprinzând toți vectorii din secvența de studiu.

$$A = \{x_i; i = 0, \dots, n-1\} \quad (60)$$

Alfabetul de refacere corespunzător \hat{A} va fi colecția centroizilor Euclideni a seturilor S_i ; cu alte cuvinte, alfabetul de refacere final va fi optimal pentru partiția finală, dar aceasta ar putea să nu fie optimală pentru alfabetul de refacere final, cu excepția cazului când $n \rightarrow \infty$.

Pentru a obține S , mai întâi ne gândim la fiecare S_i ca la o colecție de vectori în care punem vectori din secvența studiată până când toți vectorii sunt distribuiți. Inițial vom începe prin a pune primii N vectori în seturi separate, altfel spus $x_i \in S_i$.

La fiecare iterație, un nou vector studiat x_m este observat. Găsim setul S_i pentru care distorsiunea între x_m și centroidul $\hat{x}(S_i)$ este minimizată și apoi includem x_m în acel set. Altfel la fiecare iterație noul vector este adăugat în setul cu cel mai apropiat centroid. La următoarea iterație, setul va avea un nou centroid. Operația continuă, până când toți vectorii eșantion sunt încorporați.

Deși similar ca filozofie, algoritmul "**K-means**" are câteva diferențe esențiale. În particular, este potrivit pentru cazul când doar secvența de studiu trebuie clasificată, deci acolo unde o secvență lungă de vectori trebuie grupată într-o manieră care să ofere o distorsiune scăzută.

Procedura secvențială este eficientă din punct de vedere al calculului, dar un "cuantizor" nu este determinat decât atunci când procedura se oprește.

Recent, Levenson și alții au folosit o variantă a algoritmilor "**K-means**" și **IZODATA** cu o măsură a distorsiunii propusă de Itakura, pentru a determina modelele de recunoaștere a vorbirii indiferent de vorbitor.

(clustering).

13.4.6. Alegerea alfabetului de refacere inițial.

Există câteva metode de a alege alfabetul de refacere inițial \hat{A}_0 cerut de algoritm.

O metodă ce poate fi folosită pe distribuții de eşantioane este cea de la metoda "K-means", cu alte cuvinte alegând primii N vectori din secvența studiată.

Altă metodă este de a utiliza un cuantizor uniform pentru întregul alfabet al sursei sau pentru cea mai mare parte a sa, dacă acesta este limitat. De exemplu, dacă este utilizat pe o distribuție de eşantioane, se poate folosi un cuantizor uniform k -dimensional pe un cub euclidian k -dimensional, incluzând toate, sau cea mai mare parte a punctelor în secvența studiată.

A treia tehnică este utilă când se dorește proiectarea de cuantizoare de clase succesive mai mari, până se atinge un nivel acceptabil al distorsiunii.

Construcția succesivă de cuantizoare.

(0) Inițializarea : facem $M = 1$ și definim $\hat{A}_0(1) = \hat{x}(A)$ centroidul întregului alfabet, sau centroidul secvenței studiate, dacă se folosește o distribuție de eşantioane.

(1) Fiind dat un alfabet de refacere $\hat{A}_0(M)$ conținând M vectori:

$$\{y_i, i = 1, \dots, M\},$$

"descompunem" fiecare vector y_i în doi vectori alăturați:

$$y_i + \varepsilon \text{ și } y_i - \varepsilon, \quad i = 1, \dots, M.$$

unde ε este vectorul perturbației fixat. Colecția \tilde{A} dată de:

$$\{y_i + \varepsilon, y_i - \varepsilon, i = 1, \dots, M\},$$

are $M + M = 2M$ vectori.

Înlocuim M cu $2M$.

(2) Dacă $M = N$ facem $\hat{A}_0 = \tilde{A}(M)$ și ne oprim. \hat{A}_0 este deci alfabetul de refacere inițial pentru algoritmul de cuantizare de clasă N .

Dacă $M \neq N$ rulăm algoritmul pentru un cuantizor de clasa (nivel) M cu $\tilde{A}(M)$, pentru a determina un alfabet de refacere bun $\hat{A}_0(M)$ și apoi ne întoarcem la pasul (1).

Aici considerăm cuantizoare de clasa M cu $M = 2^R$, $R = 0, 1, \dots$ și continuăm până obținem un set de valori inițiale pentru un cuantizor de clasă N .

Folosind algoritmul de descompunere pe o secvență studiată se poate începe cu un cuantizor de clasa (nivel) 1 , constând în centroidul secvenței studiate. Apoi acest vector este descompus în doi vectori și algoritmul pentru cuantizori de clasa (nivel) 2 este rulat folosind această pereche de vectori pentru a obține un cuantizor bun de punct fix de clasă sau nivel 2 . Fiecare din acești doi vectori este apoi descompus și algoritmul este rulat pentru a obține un cuantizor bun de clasă 4 .

Se remarcă că putem avea cuantizoare de punct fix pentru valorile $1, 2, 3, 8, \dots, N$.

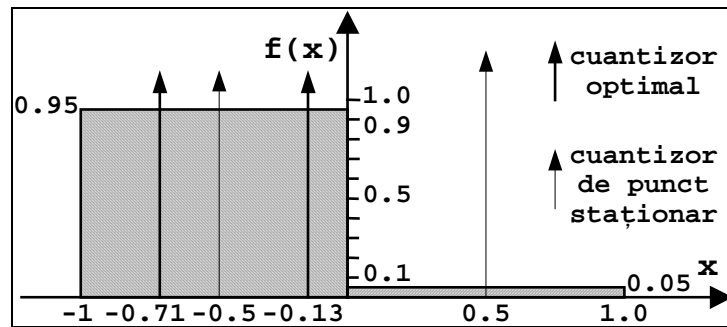


Fig. 1. Distribuția de test pentru cuantizarea vectorială.

În acest caz avem cuantizoare cu două clase și cu două optime locale. Unul are clasele de ieșire (0.383), celălalt, care este optim global, are clasele de ieșire de (-0.71) și (0.13), din care rezultă o eroare medie pătratică de (0.048).

Algoritmul modificat este testat pe o secvență de 2000 de eșantioane alese în conformitate cu densitatea de probabilitate arătată. Zgomotul Gaussian a fost adăugat pornind de la o valoare unitară și reducând valoarea cu aproximativ 50% la fiecare rulare succesivă. Ipoteza inițială a fost (+0.5) și (-0.5), ceea ce înseamnă un optim local. Fiecare rulare a fost oprită când distorsiunea s-a modificat cu mai puțin de 0.1% față de valoarea sa anterioară.

13.5. Detalii de implementare.

În continuare este prezentată o implementare simplă a algoritmului LBG de cuantizare vectorială. Este vorba de un program C++ care reduce numărul de culori dintr-o imagine de la 256 la 8, 16, 32 sau 64 culori. Noile culori se determină din condiția de minimizare a erorii medii pătratice de aproximare a vechilor culori. Atât imaginea inițială cât și cea finală sunt imagini de tip "BMP" (bitmap cu 256 culori indexate). O asemenea implementare poate fi folosită foarte simplu la generarea modelelor de goblen plecând de la orice imagine color.

Alegerea setului inițial de culori (alfabetul de refacere inițial) se face folosind metoda descrisă în paragraful 13.4.6. Inițial, se consideră că alfabetul de refacere inițial are doar o singură clasă (care coincide, evident, cu media aritmetică a setului de intrare) și apoi se dublează numărul de clase prin divizarea fiecărei clase în două, după care se rulează algoritmul LBG. Operațiile precedente se repetă până la atingerea numărului dorit de clase (culori).

Implementarea prezentată în continuare furnizează la ieșire, pe lângă imaginea bitmap cu număr redus de culori și un alt fișier de același tip care conține paleta de culori în format grafic și modul de etichetare a acestor culori. La acestea se adaugă un număr de fișiere text conținând "harta" goblenului.

```
// Această funcție realizează reducerea numărului de culori dintr-o
// imagine de la 256 la nColors folosind algoritmul LBG de cuantizare
// vectorială. Pentru claritate, nu au fost incluse optimizări evidente,
// cum ar fi utilizarea histogramei la calculul distorsiunii
```

```
BOOL CreateGoblenModel(CString* pstrFilePath, int nColors)
{
    // așteaptă număr culori
    if (nColors == -1) {
        do {
            _tprintf(_T("Color Count (8,16,32 or 64): "));
            _tscanf(_T("%d"), &nColors);
        } while (nColors!=8 && nColors!=16 && nColors!=32 && nColors!=64);
    }

    // așteaptă nume fișier
```

(clustering).

```

if (pstrFilePath == NULL) {
    pstrFilePath = new CString;
    TCHAR c;
    scanf(_T("%c"), &c);
    do {
        _tprintf(_T("Image File Path: "));
        _getts(pstrFilePath->GetBuffer(MAX_PATH));
        pstrFilePath->ReleaseBuffer();
    } while (pstrFilePath->GetLength() == 0);
}

// deschide fișier BITMAP (256 culori neapărat!!)
BOOL bRet = Open_BMPFile(pstrFilePath);
if (bRet == FALSE)
    return FALSE;

double dmin;
int p, q;
double* Red = (double*)malloc(nColors*sizeof(double));
double* Grn = (double*)malloc(nColors*sizeof(double));
double* Blu = (double*)malloc(nColors*sizeof(double));
Red[0]=0;
Grn[0]=0;
Blu[0]=0;
// calculează valoarea medie pentru cele 3 componente de culoare
// ele constituie coordonatele nodului inițial
for (q=0; q<BMIH.biHeight; q++) {
    for (p=0, dmin=0.0; p<BMIH.biWidth; p++) {
        Red[0] += RGBQ[SMatrix[p][q]].rgbRed;
        Grn[0] += RGBQ[SMatrix[p][q]].rgbGreen;
        Blu[0] += RGBQ[SMatrix[p][q]].rgbBlue;
    }
}
Red[0] /= BMIH.biWidth * BMIH.biWidth;
Grn[0] /= BMIH.biWidth * BMIH.biWidth;
Blu[0] /= BMIH.biWidth * BMIH.biWidth;

int i, j, k, m, u, v;
double eps = 0.001, DC = 1000000.0, DP, d, R,G,B;
int NC = 1, s;

// Bucla principală a algoritmului LBG de cuantizare vectorială.
// Numărul inițial de centroizi (culori) este 1, el se dublează la
// fiecare pas până la atingerea numărului dorit
v=0, m=0;
while((1<v) < nColors) {
    // dublează numărul de centroizi
    for (u=0; u<NC; u++) {
        Red[u] += 0.005;
        Grn[u] += 0.005;
        Blu[u] += 0.005;
        Red[u+NC] = Red[u] - 0.01;
        Grn[u+NC] = Grn[u] - 0.01;
        Blu[u+NC] = Blu[u] - 0.01;
    }
    NC = NC * 2;

    // ajustează pozitie centroizi până distorsiunea relativă scade sub prag
    DC = 1000000.0;
    _tprintf(_T("\n\nnCOLORS=%3d\n"), NC);
    do {

```

```

DP = DC;
DC = 0;
// calcul distorsiune
for (q=0; q<BMIH.biHeight; q++) {
    for (p=0, dmin=0.0; p<BMIH.biWidth; p++) {
        _tprintf(_T("\rx=%3d y=%3d"), q, p);
        dmin = 256.0 * 256 * 3;
        j = SMatrix[p][q];
        for (i=0; i<NC; i++) {
            d =(RGBQ[j].rgbRed-Red[i]) * (RGBQ[j].rgbRed-Red[i]);
            d+=(RGBQ[j].rgbGreen-Grn[i]) * (RGBQ[j].rgbGreen-Grn[i]);
            d+=(RGBQ[j].rgbBlue-Blu[i]) * (RGBQ[j].rgbBlue-Blu[i]);
            if (d < dmin) {
                dmin = d;
                k = i;
            }
        }
        DMatrix[p][q] = k;
        DC += dmin;
    }
}

k = 0;
DC = DC / BMIH.biWidth / BMIH.biHeight;
_tprintf(_T("\nEpoch%3d, Error=%f\n"), m, (DP-DC)/DC);
// recalculează poziție centroizi
if ((DP - DC) / DC > eps) {
    for (i=0; i<NC; i++) {
        _tprintf(_T("Recompute node=%3d\n"), i);
        s=0; R=0.0; G=0.0; B=0.0;
        for (q=0; q<BMIH.biHeight; q++) {
            for (p=0; p<BMIH.biWidth; p++) {
                if (DMatrix[p][q] == i) {
                    j = SMatrix[p][q];
                    R += (float)RGBQ[j].rgbRed;
                    G += (float)RGBQ[j].rgbGreen;
                    B += (float)RGBQ[j].rgbBlue;
                    s++;
                }
            }
        }
        if (s != 0) {
            Red[i] = R / s;
            Grn[i] = G / s;
            Blu[i] = B / s;
        }
    }
} else
    k = 1;
    m++;
} while (k == 0);
v++;
}

// ordonează culorile din paletă funcție de luminanță
long Index[64];
for(i=0; i<nColors; i++)
    Index[i] = i;
for(i=0; i<nColors; i++) {
    for(j=0; j<nColors-1; j++) {
        if ((Red[j]+Grn[j]+Blu[j]) > (Red[j+1]+Grn[j+1]+Blu[j+1])) {

```


(clustering).

```

        R = Red[j];
        G = Grn[j];
        B = Blu[j];
        Red[j] = Red[j+1];
        Grn[j] = Grn[j+1];
        Blu[j] = Blu[j+1];
        Red[j+1] = R;
        Grn[j+1] = G;
        Blu[j+1] = B;
        k = Index[j];
        Index[j] = Index[j+1];
        Index[j+1] = k;
    }
}

// reconstruiește noua imagine
for(q=0; q<BMIH.biHeight; q++) {
    for(p=0; p<BMIH.biWidth; p++) {
        for(i=0; i<nColors; i++) {
            if (Index[i] == DMatrix[p][q])
                break;
        }
        DMatrix[p][q] = i;
    }
}

CString strModulePath = GetOutputPath();
_tprintf(_T("\nOutput to folder: %s\n"), strModulePath);

// imaginea generată va fi salvată în fișierul GOBLEN.BMP
CString strNewFile = strModulePath + _T("GOBLEN.bmp");
bRet = fbmp.Open(strNewFile, CFile::modeCreate | CFile::modeWrite);
if (bRet == FALSE) {
    _tprintf(_T("Cannot Open Destination File!!!"));
    return FALSE;
}
// construiește noua paletă
for(i=0; i<nColors; i++) {
    RGBQ[i].rgbRed = Red[i] + 0.5;
    RGBQ[i].rgbGreen = Grn[i] + 0.5;
    RGBQ[i].rgbBlue = Blu[i] + 0.5;
}
free(Red);
free(Grn);
free(Blu);
for(i=nColors; i<256; i++) {
    RGBQ[i].rgbRed = 0;
    RGBQ[i].rgbGreen = 0;
    RGBQ[i].rgbBlue = 0;
}
// scrie antetul și apoi conținutul fișierului rezultat
fbmp.Write(&BMFH, sizeof(BITMAPFILEHEADER));
fbmp.Write(&BMIH, sizeof(BITMAPINFOHEADER));
for (i=0; i<256; i++)
    fbmp.Write(&RGBQ[i], sizeof(RGBQUAD));
for(q=BMIH.biHeight-1; q>=0; q--) {
    for(p=0; p<L; p++) {
        i = DMatrix[p][q];
        fbmp.Write(&i, 1);
    }
}

```

```

}
fBMP.Close();

// atașează fiecărei colori din cele max 64 posibile un caracter
BYTE c;
char Cod[64] = {'0','1','2','3','4','5','6','7',
               '8','9','A','B','C','D','E','F',
               'G','H','J','K','L','M','N','P',
               'R','S','T','U','V','X','Y','Z',
               'a','b','c','d','e','f','g','h',
               'j','k','m','n','o','p','q','r',
               's','t','u','v','x','y','z','w',
               '@','#','$','%','&','*','<','>'};
u = (BMIH.biWidth + PW - 1) / PW;
v = (BMIH.biHeight + PH - 1) / PH;
for(i=0; i<u; i++) {
    for(j=0; j<v; j++) {
        strNewFile.Format(_T("%sGOBL%02d%02d.TXT"), strModulePath, i, j);
        // deschide fișier text
        bRet = fTXT.Open(strNewFile, CFile::modeCreate | CFile::modeWrite);
        if (bRet == FALSE) {
            _tprintf(_T("Cannot Open Output Text File!!!"));
            return FALSE;
        }
        // scrier fișier text
        for(q=j*PH; q<j*PH+PH && q<BMIH.biHeight; q++) {
            for(p=i*PW; p<i*PW+PW && p<BMIH.biWidth; p++) {
                c = Cod[DMatrix[p][q]];
                fTXT.Write(&c, 1);
                if (p%10 == 9) {
                    c=0x20;
                    fTXT.Write(&c, 1);
                }
            }
            c = 0x0d;
            fTXT.Write(&c, 1);
            c = 0x0a;
            fTXT.Write(&c, 1);
            if (q%10 == 9) {
                c = 0x0d;
                fTXT.Write(&c, 1);
                c = 0x0a;
                fTXT.Write(&c, 1);
            }
            if (q%PH == PH-1) {
                c = 0x0c;
                fTXT.Write(&c, 1);
            }
        }
        fTXT.Close();
    }
}
Free_BMatrix(SMatrix, BMIH.biWidth, BMIH.biHeight);
Free_BMatrix(DMatrix, BMIH.biWidth, BMIH.biHeight);

// crează fișier paletă
strNewFile = strModulePath + _T("PALLETE.BMP");
bRet = fPAL.Open(strNewFile, CFile::modeCreate | CFile::modeWrite);
if (bRet == FALSE) {
    _tprintf(_T("Cannot Open Palette File!!!"));
    return FALSE;
}

```

(clustering).

```

    }
    BMIH.biWidth = nColors * 16;
    BMIH.biHeight = 200;
    BMIH.biSizeImage = BMIH.biWidth * BMIH.biHeight;
    BMFH.bfSize = BMIH.biSizeImage + BMFH.bfOffBits;

    fPAL.Write(&BMFH, sizeof(BITMAPFILEHEADER));
    fPAL.Write(&BMIH, sizeof(BITMAPINFOHEADER));
    for (i=0; i<256; i++)
        fPAL.Write(&RGBQ[i], sizeof(RGBQUAD));
    for (q=0; q<BMIH.biHeight-24; q++) {
        for (p=0; p<BMIH.biWidth; p++) {
            c = p / 16;
            fPAL.Write(&c, 1);
        }
    }

    HRSRC hResource = ::FindResource(NULL,
                                     (LPCTSTR)IDR_BINARY_HEADER,
                                     _T("BINARY"));
    HGLOBAL hGlobal = ::LoadResource(NULL, hResource);
    BYTE* pHeader = (BYTE*)::LockResource(hGlobal);

    for (q=0; q<24; q++) {
        for (p=0; p<BMIH.biWidth; p++) {
            if (pHeader[q*1024+p] == 0)
                c = 0;
            else
                c = nColors-1;
            fPAL.Write(&c, 1);
        }
    }
    fPAL.Close();
    return TRUE;
}

```

14. Rețele neurale folosite în recunoașterea de forme.

- 14.1. Modele de neuroni.
- 14.2. Arhitecturi de rețele neurale.
- 14.3. Algoritmi de antrenare a rețelelor neurale.
- 14.4. Perceptronul cu un singur strat.
- 14.5. Perceptronul multistrat.
- 14.6. Alte tipuri de rețele.
 - 14.6.1. Rețeaua Hopfield.
 - 14.6.2. Rețeaua Hamming.
 - 14.6.3. Clasificatorul Carpenter-Grossberg.
 - 14.6.4. Harta de trăsături Kohonen.
 - 14.6.5. Rețele RBF (Radial Basis Functions).
- 14.7. Detalii de implementare.

Rețelele neurale (neuronale) artificiale (Haykin[47]), (Kohonen[62][63]), (Lipmann[66]), (Rumelhart[98]) încearcă să se apropie de modelul creierului uman. Spre deosebire de mașinile Von-Neuman care se caracterizează prin existența unei unități procesoare care execută instrucțiuni stocate în memorie, într-o secvență aflată sub controlul numărătorului de program, alte arhitecturi propuse încearcă să exploateze cât mai eficient paralelismul care este de obicei inerent. "Procesoarele" care formează rețelele neuronale, sunt denumite neuroni artificiali.

Dacă majoritatea calculatoarelor existente în momentul de față dispun de o singură unitate procesoare, extrem de puternică și de rapidă, la cealaltă extremă din punctul de vedere al structurii interne se plasează aceste rețele neurale artificiale, caracterizate printr-o simplificare extremă a unităților componente, alături de o extindere cât mai largă a conexiunilor între aceste unități procesoare.

Orice rețea neurală este caracterizată de trei elemente: modelul neuronului, arhitectura rețelei și algoritmul de antrenare folosit.

14.1. Modele de neuroni.

În ceea ce privește modelele de neuroni, cel mai mult folosite în momentul de față sunt cele fără memorie, deci care implementează o relație de forma:

$$y_j = f\left(\sum_{i=1}^N w_{ij}x_i - \theta_j\right) \quad (1)$$

unde y_j este ieșirea neuronului "j", x_i este intrarea "i" a neuronului, w_{ij} este ponderea conexiunii de la intrarea "i" la neuronul "j", iar θ_j este pragul atașat neuronului "j". Deci în

esență, sunt aplicate un set de intrări (x_1, x_2, \dots, x_n) , fiecare reprezentând, de obicei, ieșirile altor neuroni. Fiecare intrare este multiplicată cu o pondere corespunzătoare $(w_{i1}, w_{i2}, \dots, w_{in})$, analog puterii sinapsei, și apoi toate rezultatele sunt sumate pentru a determina nivelul de activare al neuronului.

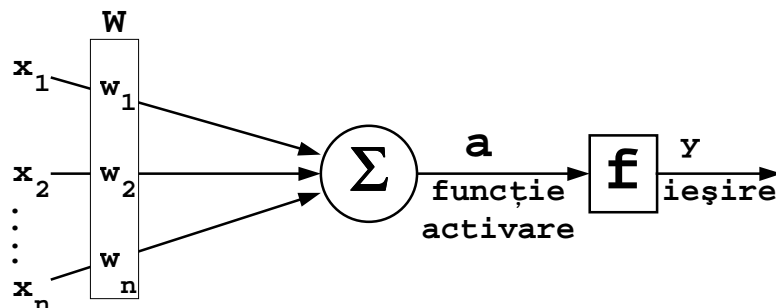
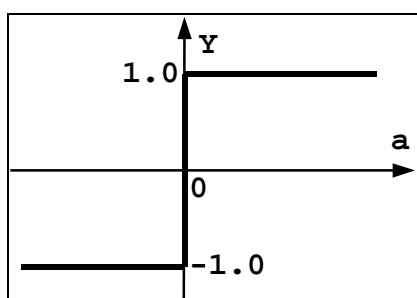


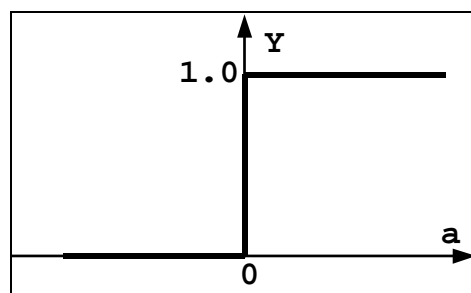
Fig. 1. Structura neuronului artificial.

Funcția $Y = f(a)$ este o funcție neliniară care poate fi de tipul limitare hardware, prag logic, sigmoidă simetrică sau nu, sau chiar funcția identică.

Limitarea hardware se implementează în unul din următoarele două moduri:

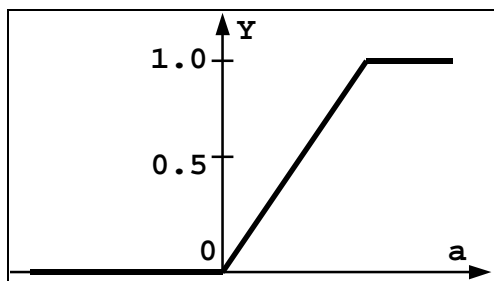


$$Y(a) = \begin{cases} -1, & \text{pentru } a < 0 \\ +1, & \text{pentru } a \geq 0 \end{cases}$$

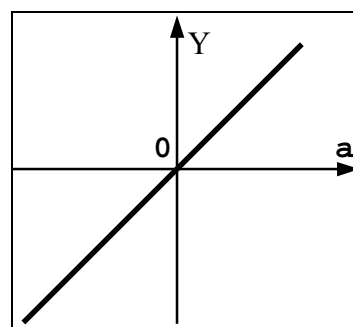


$$Y(a) = \begin{cases} 0, & \text{pentru } a < 0 \\ +1, & \text{pentru } a \geq 0 \end{cases} \quad (2)$$

Pragul logic realizează limitarea domeniului de ieșire la zero pentru valori de intrare negative (sau uneori la -1) și la $+1$ pentru valori ce depășesc un anumit prag pozitiv. Pentru anumite aplicații se preferă utilizarea neuronului liniar.

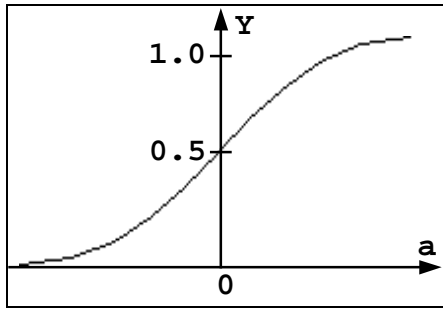


$$Y(a) = \begin{cases} 0, & \text{pentru } a < 0 \\ a, & \text{pentru } a \geq 0 \end{cases}$$

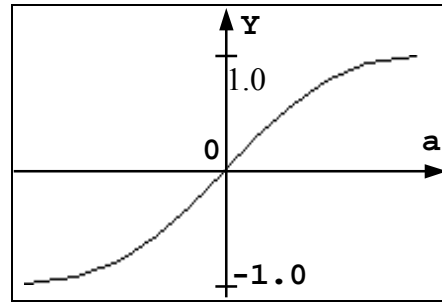


$$Y(a) = a \quad (3)$$

Funcția sigmoidă, foarte des folosită, asigură limitarea domeniului de ieșire al neuronului la gama $(0,1)$ pentru sigmoida asimetrică și la $(-1, +1)$ pentru sigmoida simetrică.



$$Y(a) = \frac{1}{1 + \exp(-a)}$$



$$Y(a) = \frac{1 - \exp(-a)}{1 + \exp(-a)} \tag{4}$$

Prin această funcție se obține un câștig nelinier pentru neuronul artificial. Acest câștig variază de la valori mici pentru excitații negative mari (curba este aproape orizontală), la valori mari pentru excitații mari și pozitive. Grossberg (1973) a găsit că acest câștig nelinier caracteristic rezolvă dilema saturării.

În ciuda diversității de modele de neuroni, majoritatea sunt bazate pe această configurație.

Modele mai sofisticate de neuroni introduc variabila timp, un astfel de model fiind descris de următoarele relații:

$$\begin{cases} \frac{du_j}{dt} = -u_j + \sum_{i=1}^N w_{ij}x_i + \theta_j \\ y_j = f(u_j) \end{cases} \tag{5}$$

unde u_j caracterizează starea curentă a neuronului.

14.2. Arhitecturi de rețele neurale.

Deși un singur neuron poate realiza funcții simple de detecție de modele, puterea calcului neural provine din conectarea neuronilor în cadrul rețelilor. O rețea neurală simplă este aranjarea unui grup de neuroni pe un strat ca în figura următoare:

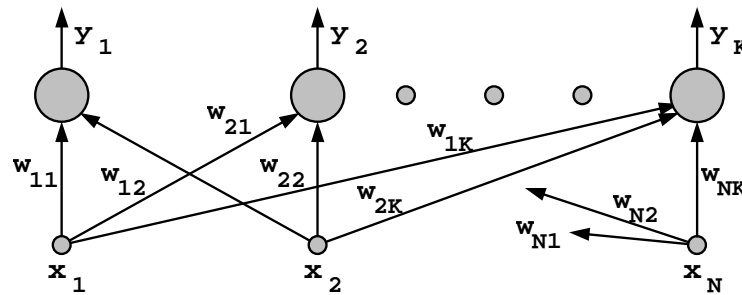


Fig. 2. Rețea neurală cu un strat.

Setul de intrare X are fiecare element conectat cu fiecare neuron, cu câte o pondere separată. Fiecare neuron scoate la ieșire o sumă a produsului ponderi-intrări corespunzătoare. Actualele rețele artificiale și biologice au unele din conexiuni lipsă dar conectivitatea totală a fost arătată aici din rațiuni de generalitate.

Este convenabil să reprezentăm ponderile ca fiind elementele unei matrici. Dimensiunile matricii fiind N linii pe K coloane, unde N este numărul de intrări, iar K numărul de neuroni. În acest fel putem calcula pentru setul de neuroni cele K funcții de activare ca simple înmulțiri de matrici:

$$A = W^T X \Rightarrow Y = f(A) = f(W^T X) \tag{6}$$

unde X, A, Y sunt vectori linie, W este o matrice $N \times K$.

Rețelele cu mai multe straturi, mult mai generale și mai complexe, oferă în general, o capacitate mare de calcul. Asemenea rețele au fost construite în orice configurație imaginabilă, aranjând neuronii în straturi imitând structura straturilor dintr-o anumită zonă a creierului. Aceste rețele multistrat au capacități sporite, dovedite relativ la rețelele cu un singur strat, iar în ultimii ani algoritmi performanți s-au dezvoltat pentru antrenarea lor.

Rețelele multistrat pot fi formate prin simpla cascaderă de straturi, ieșirile unui strat devenind intrări pentru stratul următor.

Rețelele multistrat nu furnizează nici o creștere a puterii de calcul în raport cu rețelele cu un singur strat dacă nu este prezentă o funcție de activare neliniară între straturi. Calculul ieșirii unui strat liniar constă în înmulțirea vectorului de intrare cu prima matrice de ponderi, apoi (dacă nu este prezentă o funcție de activare neliniară) multiplicând vectorul rezultat cu a doua matrice de ponderi. Aceasta ar putea fi exprimată prin :

$$Y = W_2^T (W_1^T X) \quad (7)$$

Având în vedere că înmulțirea de matrici este asociativă, relația poate fi rescrisă :

$$Y = (W_2^T W_1^T) X = (W_1 W_2)^T X \quad (8)$$

Aceasta arată că o rețea liniară cu două straturi este exact echivalentă cu o rețea cu un singur strat ce are matricea ponderilor egală cu produsul celor două matrici. De aici, se poate trage concluzia că funcția de activare neliniară este vitală pentru extinderea capacităților rețelelor față de cele cu un singur strat.

Rețelele considerate până acum nu au conexiuni cu răspunsuri spre înapoi ("feedback"), conexiuni care să aplice valorile de la ieșirea unui strat spre intrarea aceluiași strat sau a altui strat. Această clasă specială, numită **rețele nerecurente** sau cu răspuns (propagare a fluxului de date) spre înainte ("feed forward") prezintă un interes considerabil și sunt larg aplicate.

În general, rețelele care conțin conexiuni feedback sunt denumite **rețele recurente**. Rețelele nerecurente nu au memorie, ieșirile fiind determinate doar pe baza intrărilor curente și a valorilor ponderilor.

În câteva configurații, rețelele recurente recirculează ieșirile anterioare înapoi spre intrare; de aici ieșirile lor sunt determinate pe baza intrărilor curente și ieșirilor anterioare. Din acest motiv rețelele recurente pot etala proprietăți similare cu memoria pe termen scurt a omului.

14.3. Algoritmi de antrenare a rețelelor neurale.

Dintre toate caracteristicile interesante ale rețelelor neurale, nici una nu captează atâta imaginație ca abilitatea lor de a învăța.

Antrenarea rețelelor artificiale este însă limitată, multe probleme dificile rămânând a fi rezolvate. Oricum, impresionante demonstrații au fost deja făcute, cum ar fi **NetTalk** a lui Sejnowski.

Algoritmii de antrenare sunt categorizați în **supervizați** și **nesupervizați**. O rețea este antrenată dacă aplicarea unui set de intrări produce ieșirea dorită sau una apropiată. Antrenarea este realizată prin aplicarea secvențială de vectori de intrare, în timpul fiecărei asemenea operații ajustând ponderile din rețea în acord cu o procedură predeterminată. În timpul antrenării, ponderile din rețea converg gradual spre valori pentru care fiecare vector de intrare produce vectorul de ieșire dorit.

Antrenarea supervizată cere pentru fiecare vector de antrenare perechea vector țintă care este ieșirea dorită. Acestea sunt denumite pereche de antrenare. Uzual, o rețea este antrenată după un număr de astfel de perechi de antrenare.

Un vector de intrare este aplicat, ieșirea rețelei este calculată și comparată cu vectorul țintă, iar diferența (eroarea) este trimisă înapoi, iar ponderile sunt schimbate în acord cu un anumit algoritm care tinde să minimizeze eroarea la un nivel acceptabil.

Învățarea nesupervizată nu cere cunoștințe apriorice despre datele aplicate la intrarea rețelei, rețelele se auto-organizează pentru a produce ieșirile dorite. Antrenarea supervizată a fost criticată ca fiind biologic neplauzibilă. Antrenarea nesupervizată este un model mai plauzibil de învățare în sistemele biologice.

Dezvoltată de Kohonen (1984) și încă de mulți alții, antrenarea nesupervizată nu cere vector țintă pentru ieșiri, de aceea nu au loc comparații cu răspunsul ideal. Setul de antrenare nu conșă decât în vectori de antrenare. Algoritmul de antrenare modifică ponderile rețelei pentru a produce un vector de ieșire consistent. Procesul de antrenare este deci extragerea de proprietăți statistice ale setului de antrenare și a vectorilor, dintr-un grup similar de vectori, în clase. Aplicând la intrare un vector, dintr-o clasă dată, va produce la ieșire un vector specific, dar aici nu este nici o cale de a determina care model specific va fi găsit la ieșire de un vector de intrare dintr-o clasă dată.

De aici, ieșirea unei astfel de rețele trebuie în general transformată într-o formă ce să poată fi înțeleasă, ulterior procesului de antrenare.

Marea majoritate a algoritmilor utilizați în prezent au evoluat de la concepțiile lui Hebb (1961). El propunea un model pentru învățare nesupervizată unde "tăriile" sinapselor (ponderile) sunt mărite dacă atât neuronul sursă cât și neuronul destinație sunt active. În acest fel modelele utilizate în rețele sunt puternice, iar fenomenul de folosire și învățare prin repetiție este explicat.

O rețea neurală artificială utilizând algoritmul de învățare al lui Hebb va modifica ponderile în acord cu produsul nivelelor de excitație dintre neuronii sursă și destinație. Legea de învățare este descrisă de ecuația:

$$w_{i,j}(n+1) = w_{i,j}(n) + \alpha Y_i Y_j \quad (9)$$

unde: $w_{i,j}(n)$ - valoarea ponderii de la neuronul "i" la neuronul "j" înainte ajustării;

$w_{i,j}(n+1)$ - valoarea ponderii de la neuronul "i" la neuronul "j" după ajustare;

α - coeficientul de învățare;

Y_i - ieșirea neuronului "i" și intrarea neuronului "j";

Y_j - ieșirea neuronului "j".

Au fost construite rețele pentru a folosi algoritmul de învățare al lui Hebb. Oricum, algoritmi de antrenare mai buni au fost descoperiți de Rosenblatt (1962), Widrow (1959), Widrow, Hoff (1960), realizând rețele capabile să învețe o arie largă de modele de intrare, la o rată de învățare ridicată, algoritmi care au perfecționat algoritmul de învățare al lui Hebb.

14.4. Perceptronul cu un singur strat.

Căutând să descopere modele hardware/software ale neuronului biologic și a rețelei sale de interconectare McCulloch și Pitts (1943) au publicat primul studiu sistematic al rețelelor neurale artificiale. Într-o lucrare ulterioară Pitts și McCulloch (1947) au explorat configurații de rețele pentru recunoaștere de modele cu invarianță la rotație și translație.

S-a folosit cel mai mult modelul neuronului descris anterior, însă folosind nelinearitatea prag logic:

$$f(a) = \begin{cases} 1, & \text{pentru } a > 0 \\ 0, & \text{pentru } a \leq 0 \end{cases} \quad (10)$$

Aceste sisteme poartă numele de perceptron. În general, acestea constau într-un singur strat de neuroni artificiali conectați prin ponderi la un set de intrări.

Rosenblatt (1962) a demonstrat teorema învățării perceptronilor, Widrow (Widrow 1961, 1963, Widrow și Angell 1962, Widrow și Hoff 1960) au făcut un număr de demonstrații convingătoare asupra perceptronilor ca sisteme. Minsky (Minsky și Papert 1969) au analizat

aceste probleme cu o mare rigurozitate, dovedind că există severe restricții în ceea ce poate reprezenta perceptronul cu un singur strat.

În ciuda limitărilor pe care le prezintă, studiul perceptronilor a fost extins (chiar dacă nu sunt folosiți pe scară largă). Teoria lor reprezintă o fundație pentru multe alte forme de rețele neurale artificiale și au demonstrat că reprezintă principii importante în acest domeniu. Pentru aceste motive ei reprezintă punctul logic de început în studiul teoriei rețelelor neurale artificiale.

Valabilitatea teoremei învățării perceptronilor a lui Rosenblatt (1962) demonstrează că perceptronii pot învăța orice poate fi reprezentat. Este important de făcut distincția între reprezentare și învățare. Reprezentarea se referă la abilitatea perceptronului (sau a altor rețele) de a simula o funcție specifică. Învățarea reclamă existența unei proceduri sistematice de ajustare a ponderilor din rețea pentru a produce acea funcție.

14.5. Perceptronul multistrat.

În figura următoare este arătat modelul neuronului folosit ca bloc de construcție fundamental pentru rețelele perceptron multistrat:

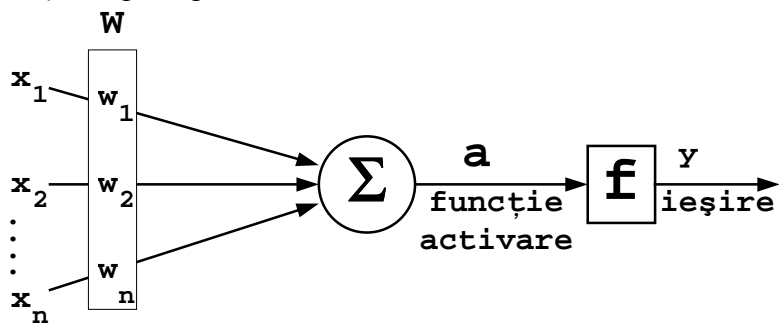


Fig. 3. Structura unui neuron.

- unde - "a" reprezintă suma intrărilor ponderate pentru neuronul respectiv;
 - $f(a)$ funcția neliniară de ieșire sigmoidă simetrică sau nu, sau chiar funcție liniară.

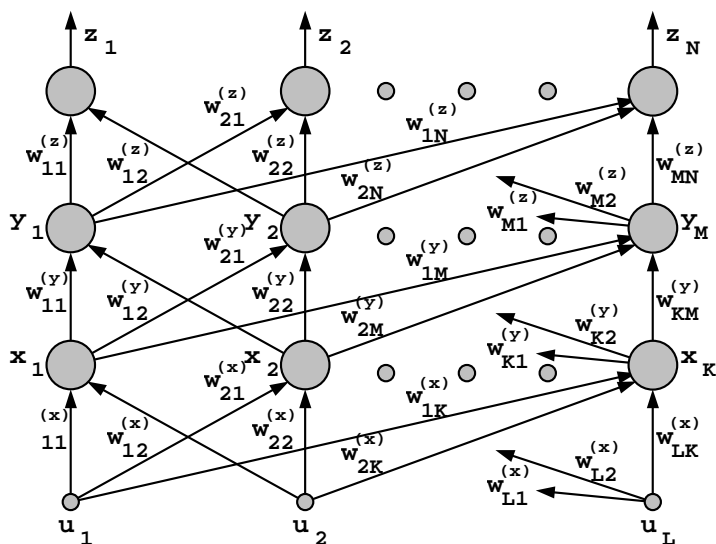


Fig. 4. Arhitectura tipică a perceptronului cu trei straturi.

O arhitectură tipică pentru un perceptron cu trei straturi este prezentată în figura 4.

Capabilitatea perceptronului multistrat rezidă în neliniaritatea folosită în nodurile sale. Dacă nodurile sunt elemente liniare, atunci un perceptron cu un singur strat având ponderi apropiate poate realiza foarte bine aceleași calcule ca și rețeaua multistrat.

Algoritmul backpropagation este o metodă sistematică de antrenare a rețelelor neurale artificiale. El are un fundament matematic puternic, dar care nu este întotdeauna practic.

Pentru a antrena rețeaua, un vector X este aplicat la intrare, iar ieșirea Y este calculată. Ponderile care conectează intrările sunt modificate la o valoare care să minimizeze eroarea dintre ieșirea obținută și ieșirea dorită. După un anumit număr de pași, rețeaua va învăța să diferențieze vectorii cu care a fost antrenată de alți vectori de intrare.

Fiecare neuron are intrările conectate cu ieșirile stratului precedent. Relațiile care descriu funcționarea perceptronului multistrat sunt:

$$\begin{cases} z_{pj} = f \left(\sum_{k=1}^N w_{kj}^{(z)} y_{pk} \right) \\ y_{pj} = f \left(\sum_{k=1}^M w_{kj}^{(y)} x_{pk} \right) \\ x_{pj} = f \left(\sum_{k=1}^L w_{kj}^{(x)} u_{pk} \right) \end{cases} \quad (11)$$

unde: N - numărul de neuroni de pe stratul de ieșire;

M - numărul de neuroni de pe stratul intermediar (ascuns);

K - numărul de neuroni de pe stratul de intrare (ascuns);

L - numărul de intrări în rețea

z_{pj} - ieșirea neuronului "j" de pe stratul de ieșire pentru forma "p" de intrare;

y_{pj} - ieșirea neuronului "j" de pe stratul intermediar pentru forma "p" de intrare;

x_{pj} - ieșirea neuronului "j" de pe stratul de intrare pentru forma "p" de intrare;

u_{pj} - valoarea aplicată intrării "j" în rețea pentru forma "p" de intrare;

$w_{ij}^{(z)}$ - ponderea conexiunii neuronului "i" de pe stratul intermediar cu neuronul "j" de pe stratul de ieșire;

$w_{ij}^{(y)}$ - ponderea conexiunii neuronului "i" de pe stratul de intrare cu neuronul "j" de pe stratul de intermediar;

$w_{ij}^{(x)}$ - ponderea conexiunii intrării "i" în rețea cu neuronul "j" de pe stratul de intrare.

Funcția de eroare corespunzătoare formei de intrare "p" este dată de:

$$E_p = \frac{1}{2} \sum_{j=1}^M (d_{pj} - z_{pj})^2 \quad (12)$$

Toate ponderile rețelei neurale se vor modifica în sensul minimizării acestei erori, folosind, de exemplu, metoda gradientului descrescător, adică:

$$\begin{cases} \Delta w_{ij}^{(z)} = -\eta \frac{\partial E_p}{\partial w_{ij}^{(z)}} \\ \Delta w_{ij}^{(y)} = -\eta \frac{\partial E_p}{\partial w_{ij}^{(y)}} \\ \Delta w_{ij}^{(x)} = -\eta \frac{\partial E_p}{\partial w_{ij}^{(x)}} \end{cases} \quad (13)$$

Pentru fiecare strat în parte, derivata parțială a erorii medii pătratice în raport cu ponderea curentă poate fi exprimată prin:

$$\left\{ \begin{array}{l} \frac{\partial E_p}{\partial w_{ij}^{(z)}} = \frac{\partial E_p}{\partial a_{pj}^{(z)}} \frac{\partial a_{pj}^{(z)}}{\partial w_{ij}^{(z)}} \\ \frac{\partial E_p}{\partial w_{ij}^{(y)}} = \frac{\partial E_p}{\partial a_{pj}^{(y)}} \frac{\partial a_{pj}^{(y)}}{\partial w_{ij}^{(y)}} \\ \frac{\partial E_p}{\partial w_{ij}^{(x)}} = \frac{\partial E_p}{\partial a_{pj}^{(x)}} \frac{\partial a_{pj}^{(x)}}{\partial w_{ij}^{(x)}} \end{array} \right. \quad (14)$$

unde funcția de activare corespunzătoare nodului "j" din fiecare strat este dată de:

$$\left\{ \begin{array}{l} a_{pj}^{(z)} = \sum_{i=1}^M w_{ij}^{(z)} y_{pi} \\ a_{pj}^{(y)} = \sum_{i=1}^M w_{ij}^{(y)} x_{pi} \\ a_{pj}^{(x)} = \sum_{i=1}^M w_{ij}^{(x)} u_{pi} \end{array} \right. \quad (15)$$

Se poate evalua derivata parțială a funcției de activare în raport cu ponderea curentă:

$$\left\{ \begin{array}{l} \frac{\partial a_{pj}^{(z)}}{\partial w_{ij}^{(z)}} = \sum_{k=1}^M \frac{\partial w_{kj}^{(z)}}{\partial w_{ij}^{(z)}} y_{pi} = y_{pi} \\ \frac{\partial a_{pj}^{(y)}}{\partial w_{ij}^{(y)}} = \sum_{k=1}^M \frac{\partial w_{kj}^{(y)}}{\partial w_{ij}^{(y)}} x_{pi} = x_{pi} \\ \frac{\partial a_{pj}^{(x)}}{\partial w_{ij}^{(x)}} = \sum_{k=1}^M \frac{\partial w_{kj}^{(x)}}{\partial w_{ij}^{(x)}} u_{pi} = u_{pi} \end{array} \right. \quad \text{deoarece, evident } \frac{\partial w_{kj}^{(z)}}{\partial w_{ij}^{(z)}} = 0, \text{ pentru } k \neq i \quad (16)$$

Rezultă:

$$\left\{ \begin{array}{l} \frac{\partial E_p}{\partial w_{ij}^{(z)}} = \frac{\partial E_p}{\partial a_{pj}^{(z)}} y_{pi} \\ \frac{\partial E_p}{\partial w_{ij}^{(y)}} = \frac{\partial E_p}{\partial a_{pj}^{(y)}} x_{pi} \\ \frac{\partial E_p}{\partial w_{ij}^{(x)}} = \frac{\partial E_p}{\partial a_{pj}^{(x)}} u_{pi} \end{array} \right. \quad (17)$$

Se notează funcția de eroare pentru nodul "j" din fiecare strat și forma "p", cu:

$$\left\{ \begin{array}{l} \delta_{pj}^{(z)} = -\frac{\partial E_p}{\partial a_{pj}^{(z)}} \\ \delta_{pj}^{(y)} = -\frac{\partial E_p}{\partial a_{pj}^{(y)}} \\ \delta_{pj}^{(x)} = -\frac{\partial E_p}{\partial a_{pj}^{(x)}} \end{array} \right. \quad (18)$$

și atunci rezultă:

$$\left\{ \begin{array}{l} \Delta w_{ij}^{(z)} = \eta \delta_{pj}^{(z)} y_{pi} \\ \Delta w_{ij}^{(y)} = \eta \delta_{pj}^{(y)} x_{pi} \\ \Delta w_{ij}^{(x)} = \eta \delta_{pj}^{(x)} u_{pi} \end{array} \right. \quad (19)$$

de unde se obține regula de ajustare a ponderilor:

$$\begin{cases} w_{ij}^{(z)}(t+1) = w_{ij}^{(z)}(t) + \eta \delta_{pj}^{(z)}(t) y_{pi}(t) \\ w_{ij}^{(y)}(t+1) = w_{ij}^{(y)}(t) + \eta \delta_{pj}^{(y)}(t) x_{pi}(t) \\ w_{ij}^{(x)}(t+1) = w_{ij}^{(x)}(t) + \eta \delta_{pj}^{(x)}(t) u_{pi}(t) \end{cases} \quad (20)$$

Funcția de eroare poate fi evaluată folosind:

$$\begin{cases} \delta_{pj}^{(z)} = -\frac{\partial E_p}{\partial a_{pj}^{(z)}} = -\frac{\partial E_p}{\partial z_{pj}} \frac{\partial z_{pj}}{\partial a_{pj}^{(z)}} \\ \delta_{pj}^{(y)} = -\frac{\partial E_p}{\partial a_{pj}^{(y)}} = -\frac{\partial E_p}{\partial y_{pj}} \frac{\partial y_{pj}}{\partial a_{pj}^{(y)}} \\ \delta_{pj}^{(x)} = -\frac{\partial E_p}{\partial a_{pj}^{(x)}} = -\frac{\partial E_p}{\partial x_{pj}} \frac{\partial x_{pj}}{\partial a_{pj}^{(x)}} \end{cases} \quad (21)$$

unde:

$$\begin{cases} \frac{\partial z_{pj}}{\partial a_{pj}^{(z)}} = f'(a_{pj}^{(z)}) \\ \frac{\partial y_{pj}}{\partial a_{pj}^{(y)}} = f'(a_{pj}^{(y)}) \\ \frac{\partial x_{pj}}{\partial a_{pj}^{(x)}} = f'(a_{pj}^{(x)}) \end{cases} \quad \text{și} \quad \begin{cases} \frac{\partial E_p}{\partial z_{pj}} = \frac{\partial}{\partial z_{pj}} \left[\frac{1}{2} \sum_{k=1}^N (d_{pk} - z_{pk})^2 \right] = -(d_{pj} - z_{pj}) \\ \frac{\partial E_p}{\partial y_{pj}} = \sum_{k=1}^N \frac{\partial E_p}{\partial a_{pk}^{(z)}} \frac{\partial a_{pk}^{(z)}}{\partial y_{pj}} = -\sum_{k=1}^N \delta_{pk}^{(z)} w_{jk}^{(z)} \\ \frac{\partial E_p}{\partial x_{pj}} = \sum_{k=1}^M \frac{\partial E_p}{\partial a_{pk}^{(y)}} \frac{\partial a_{pk}^{(y)}}{\partial x_{pj}} = -\sum_{k=1}^M \delta_{pk}^{(y)} w_{jk}^{(y)} \end{cases} \quad (22)$$

Rezultă:

$$\begin{cases} \delta_{pj}^{(z)} = (d_{pj} - z_{pj}) f'(a_{pj}^{(z)}) \\ \delta_{pj}^{(y)} = f'(a_{pj}^{(y)}) \sum_{k=1}^N \delta_{pk}^{(z)} w_{jk}^{(z)} \\ \delta_{pj}^{(x)} = f'(a_{pj}^{(x)}) \sum_{k=1}^M \delta_{pk}^{(y)} w_{jk}^{(y)} \end{cases} \quad (23)$$

Derivata funcției sigmoidale *asimetrice* în raport cu funcția de activare este dată de:

$$\begin{cases} f'(a_{pj}^{(z)}) = \frac{\partial}{\partial a_{pj}^{(z)}} \left[\frac{1}{1 + \exp(-a_{pj}^{(z)})} \right] = \frac{\exp(-a_{pj}^{(z)})}{[1 + \exp(-a_{pj}^{(z)})]^2} = z_{pj}(1 - z_{pj}) \\ f'(a_{pj}^{(y)}) = \frac{\partial}{\partial a_{pj}^{(y)}} \left[\frac{1}{1 + \exp(-a_{pj}^{(y)})} \right] = \frac{\exp(-a_{pj}^{(y)})}{[1 + \exp(-a_{pj}^{(y)})]^2} = y_{pj}(1 - y_{pj}) \\ f'(a_{pj}^{(x)}) = \frac{\partial}{\partial a_{pj}^{(x)}} \left[\frac{1}{1 + \exp(-a_{pj}^{(x)})} \right] = \frac{\exp(-a_{pj}^{(x)})}{[1 + \exp(-a_{pj}^{(x)})]^2} = x_{pj}(1 - x_{pj}) \end{cases} \quad (24)$$

În cazul în care se folosește sigmoida *simetrică* drept nelinearitate de ieșire, avem:

$$\left\{ \begin{array}{l} f'(a_{pj}^{(z)}) = \frac{\partial}{\partial a_{pj}^{(z)}} \left[\frac{\exp(-a_{pj}^{(z)})}{1 + \exp(-a_{pj}^{(z)})} \right] = \frac{2 \exp(-a_{pj}^{(z)})}{[1 + \exp(-a_{pj}^{(z)})]^2} = (1 - z_{pj})^2 \\ f'(a_{pj}^{(y)}) = \frac{\partial}{\partial a_{pj}^{(y)}} \left[\frac{\exp(-a_{pj}^{(y)})}{1 + \exp(-a_{pj}^{(y)})} \right] = \frac{2 \exp(-a_{pj}^{(y)})}{[1 + \exp(-a_{pj}^{(y)})]^2} = (1 - y_{pj})^2 \\ f'(a_{pj}^{(x)}) = \frac{\partial}{\partial a_{pj}^{(x)}} \left[\frac{\exp(-a_{pj}^{(x)})}{1 + \exp(-a_{pj}^{(x)})} \right] = \frac{2 \exp(-a_{pj}^{(x)})}{[1 + \exp(-a_{pj}^{(x)})]^2} = (1 - x_{pj})^2 \end{array} \right. \quad (25)$$

În anumite aplicații, pentru stratul de ieșire se pot folosi neuroni lineari, caz în care aceste derivate sunt date de:

$$\left\{ \begin{array}{l} f'(a_{pj}^{(z)}) = 1 \\ f'(a_{pj}^{(y)}) = y_{pj}(1 - y_{pj}) \\ f'(a_{pj}^{(x)}) = x_{pj}(1 - x_{pj}) \end{array} \right. \quad \text{sau} \quad \left\{ \begin{array}{l} f'(a_{pj}^{(z)}) = 1 \\ f'(a_{pj}^{(y)}) = (1 - y_{pj})^2 \\ f'(a_{pj}^{(x)}) = (1 - x_{pj})^2 \end{array} \right. \quad (26)$$

Obiectivul antrenării rețelei neuronale este de a ajusta ponderile astfel încât aplicarea unui set de intrări să producă ieșirea dorită. Antrenarea asighează fiecărui vector de intrare un vector pereche denumit vector țintă care reprezintă ieșirea dorită.

Algoritmul "backpropagation" include deci următorii pași:

Algoritmul "backpropagation"

Pasul 1: Inițializarea ponderilor și a offseturilor.

Se setează toate ponderile și offseturile nodurilor la valori aleatoare mici.

Pasul 2: Aplică intrarea și ieșirea dorită.

Se prezintă un vector continuu cu valorile de intrare x_0, x_1, \dots, x_{N-1} și se specifică ieșirile dorite d_0, d_1, \dots, d_{M-1} . Dacă rețeaua este folosită drept clasificator, atunci, de obicei, toate ieșirile dorite sunt setate la zero, exceptând cele care corespund clasei valorilor de intrare, care sunt setate la "1". Intrarea poate fi alta la fiecare încercare sau eșantioanele dintr-un set de antrenare pot fi prezente ciclic până când ponderile se stabilizează.

Pasul 3: Calcularea ieșirilor actuale.

Folosind neliniaritatea sigmoidală anterioară, se calculează ieșirile y_0, y_1, \dots, y_{M-1} .

Pasul 4: Modificarea ponderilor

Pasul 5: Salt la **Pasul 2**.

Pentru **Pasul 4** se folosește algoritmul recursiv descris anterior pornind de la nodurile de ieșire către înapoi, spre primul strat ascuns. Ponderile se modifică conform formulelor descrise anterior. Funcția de eroare are expresii diferite pentru stratul de ieșire:

$$\delta_j = z_j \cdot (1 - z_j) \cdot (d_j - z_j) \quad (27)$$

și straturile ascunse:

$$\delta_j = x_j \cdot (1 - x_j) \cdot \sum_k (\delta_k \cdot w_{jk}) \quad (28)$$

unde d_j este ieșirea dorită a nodului "j", y_j este ieșirea actuală, iar "k" parcurge toate nodurile din straturile de deasupra nodului j. Pragurile nodurilor interne sunt adaptate într-o manieră asemănătoare, presupunând că ele sunt ponderi conectate la intrări cu valori constante.

Rumelhart, Hinton, Williams (1966) descriu o metodă de îmbunătățire a timpului de antrenare a rețelelor backpropagation, atâta timp cât este respectată stabilitatea sistemului. Se

numește "momentum" și aduce un termen în plus la ajustarea ponderilor, proporțional cu cantitatea schimbării anterioare. Această ajustare este făcută "cu memorare" și servește la modificarea ponderilor din subsecvențele următoare:

$$w_{ij}(t+1) = w_{ij}(t) + \eta \cdot \delta_j \cdot x_i' + \alpha \cdot (w_{ij}(t) - w_{ij}(t-1)) \quad (29)$$

unde α este coeficientul "momentum", setat de obicei în jurul valorii de 0.9 ($0 < \alpha < 1$).

După un număr suficient de repetări a acestor pași, eroarea dintre ieșirea actuală și vectorul țintă se va reduce ca valoare, iar rețeaua se spune că este antrenată. Din acest punct, rețeaua este folosită pentru recunoaștere și ponderile nu se mai schimbă.

Condiția de stop poate fi una din următoarele:

1. Număr prestabilit de pași;
2. Eroarea medie pătratică globală (pentru întreg setul de antrenare) scade sub un anumit prag;
3. Numărul de erori de clasificare pentru setul de antrenare este zero.

O teoremă interesantă ce pune în evidență capabilitățile perceptronului multinivel a fost enunțată de Kolmogorov. Această teoremă spune că orice funcție continuă de N variabile poate fi calculată folosind numai sumări liniare și neliniare, dar variind crescător continuu numai funcții de o singură variabilă. Aceasta implică că un perceptron cu 3 nivele cu $N(2N+1)$ noduri folosind neliniarități variind crescător continuu, poate calcula orice funcție continuă de o singură variabilă. Din păcate, teorema nu indică cum pot fi selectate ponderile și neliniaritățile în rețea sau cât de sensibilă este funcția de ieșire la variațiile ponderilor și a funcțiilor interne.

14.6. Alte tipuri de rețele neurale.

În continuare sunt prezentate foarte pe scurt câteva tipuri importante de rețele neurale. Pentru fiecare rețea neurală în parte se prezintă tipul de neuron, arhitectura rețelei și algoritmul de antrenare. În ultimul paragraf al capitolului curent pot fi găsite implementări simple în limbajul C ale acestor rețele.

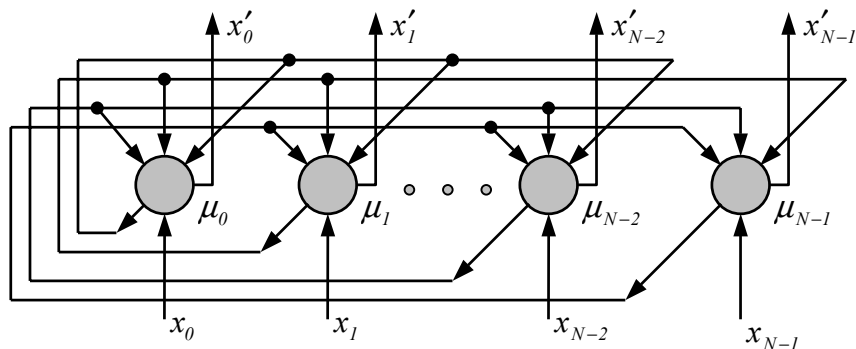
14.6.1. Rețeaua Hopfield.

Acest tip de rețea poate fi folosit ca memorie asociativă sau pentru rezolvarea unor probleme de optimizare. Folosește neuroni cu intrări binare, a căror ieșire conține neliniarități de tipul limitare hardware (vezi primul paragraf al acestui capitol).

Arhitectura unei rețele Hopfield cu N neuroni este prezentată în figura 5. Ieșirea fiecărui neuron este aplicată tuturor celorlalte noduri prin intermediul unor ponderi t_{ij} . Hopfield a demonstrat că această rețea converge dacă ponderile sunt simetrice ($t_{ij} = t_{ji}$)

Deși simplitatea ei o face atractivă, această rețea prezintă două limitări majore când este utilizată ca memorie adresabilă prin conținut. În primul rând, numărul de forme prototip care pot fi stocate și apoi regăsite corect în rețea este limitat la aproximativ 15% din numărul de neuroni. Dacă se încearcă stocarea prea multor forme prototip, rețeaua ar putea converge către un prototip fictiv. A doua limitare prezintă la rețeaua Hopfield apare dacă prototipurile memorate în rețea sunt foarte asemănătoare (prezintă un mare număr de biți identici), caz în care rețeaua devine instabilă.

Fig. 5. Arhitectura rețelei Hopfield.



Dacă rețeaua Hopfield este folosită drept clasificator, ieșirea rețelei (după convergență) trebuie comparată cu fiecare formă prototip, după care se poate lua decizia de apartenență la una din clasele atașate formelor prototip.

Algoritmul de antrenare a rețelei Hopfield.

Pasul 1. Inițializează ponderile conexiunilor:

$$t_{ij} = \begin{cases} \sum_{s=0}^{M-1} x_i^s x_j^s, & i \neq j \\ 0, & i = j, 0 \leq i \leq M-1, 0 \leq j \leq M-1 \end{cases} \quad (30)$$

unde t_{ij} este ponderea conexiunii de la nodul "i" la nodul "j", iar x_i^s (unde $x_i^s \in \{-1, 1\}$) este valoarea intrării "i" pentru un vector din clasa "s".

Pasul 2. Aplică un vector de intrare necunoscut.

$$\mu_i(0) = x_i, 0 \leq i \leq N \quad (31)$$

unde este ieșirea nodului "i" la momentul "t".

Pasul 3. Iterează până la convergență.

$$\mu_j(t+1) = f_h \left[\sum_{i=0}^{N-1} t_{ij} \mu_i(t) \right], 0 \leq j \leq M-1 \quad (32)$$

unde funcția neliniară f_h este de tipul limitare hardware, descrisă deja în primul paragraf al acestui capitol. Operația se repetă până când toate ieșirile neuronilor rămân neschimbate. În acest caz, configurația ieșirilor coincide cu forma prototip cea mai apropiată de forma necunoscută de intrare.

Pasul 4. Repetă pașii 2-3 pentru orice altă formă necunoscută de intrare.

O implementare simplă a acestei rețele este prezentată în finalul capitolului.

14.6.2. Rețeaua Hamming.

Arhitectura rețelei Hamming este prezentată în figura 6.

Acest tip de rețea poate fi folosit drept clasificator pentru forme binare afectate de zgomot. Ea conține neuroni de tip prag logic. Se remarcă în arhitectura rețelei prezența a două straturi, primul (cel inferior) realizează o valoare proporțională cu distanța Hamming la un număr de M forme prototip. Stratul superior selectează nodul cu ieșirea maximă.

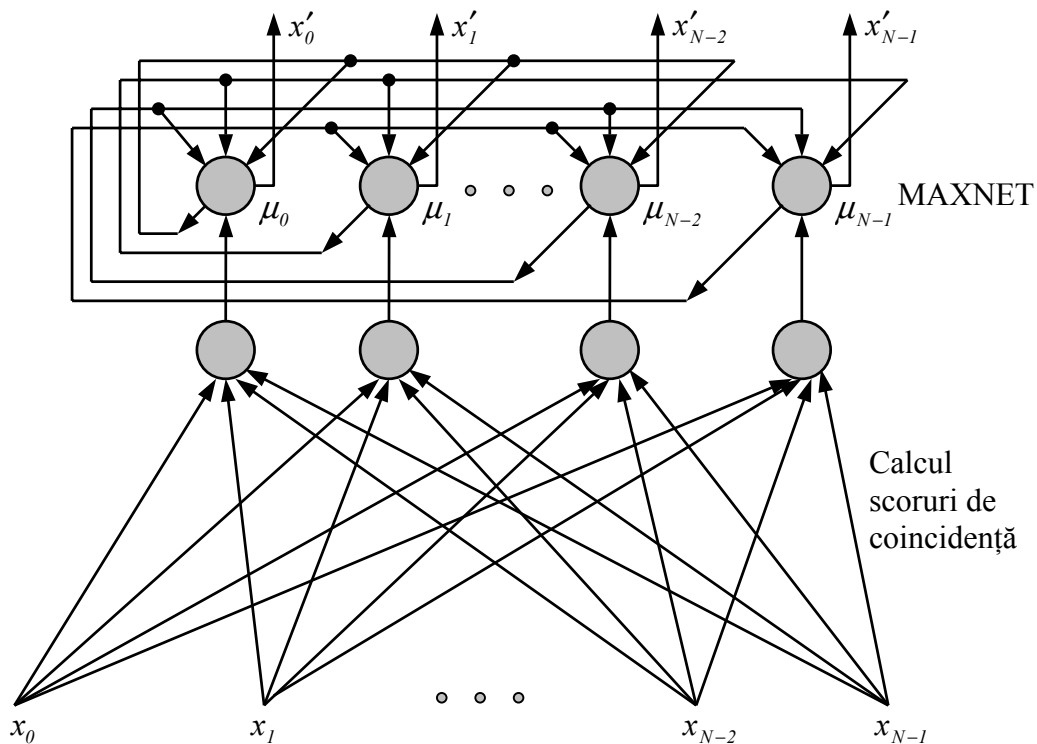


Fig. 6. Arhitectura rețelei Hamming.

Algoritmul de antrenare a rețelei Hamming.

Pasul 1. Inițializează ponderile conexiunilor și offseturile:

În rețeaua inferioară

$$t_{ij} = \begin{cases} \sum_{s=0}^{M-1} x_i^s x_j^s, & i \neq j \\ 0, & i = j, 0 \leq i \leq M-1, 0 \leq j \leq M-1 \end{cases} \quad (33)$$

unde t_{ij} este ponderea conexiunii de la nodul "i" la nodul "j", iar x_i^s (unde $x_i^s \in \{-1, 1\}$) este valoarea intrării "i" pentru un vector din clasa "s".

Pasul 2. Aplică un vector de intrare necunoscut.

$$\mu_i(0) = x_i, 0 \leq i \leq N \quad (34)$$

unde este ieșirea nodului "i" la momentul "t".

Pasul 3. Iterează până la convergență.

$$\mu_j(t+1) = f_h \left[\sum_{i=0}^{N-1} t_{ij} \mu_i(t) \right], 0 \leq j \leq M-1 \quad (35)$$

unde funcția neliniară f_h este de tipul limitare hardware, descrisă deja în primul paragraf al acestui capitol. Operația se repetă până când toate ieșirile neuronilor rămân neschimbate. În acest caz, configurația ieșirilor coincide cu forma prototip cea mai apropiată de forma necunoscută de intrare.

Pasul 4. Repetă pașii 2-3 pentru orice altă formă necunoscută de intrare.

O implementare simplă a acestei rețele este prezentată în finalul capitolului.

14.6.3. Clasificatorul Carpenter-Grossberg.

Arhitectura unei rețele Carpenter-Grossberg cu trei neuroni pe stratul de intrare și doi neuroni pe cel de ieșire este prezentată în figura următoare:

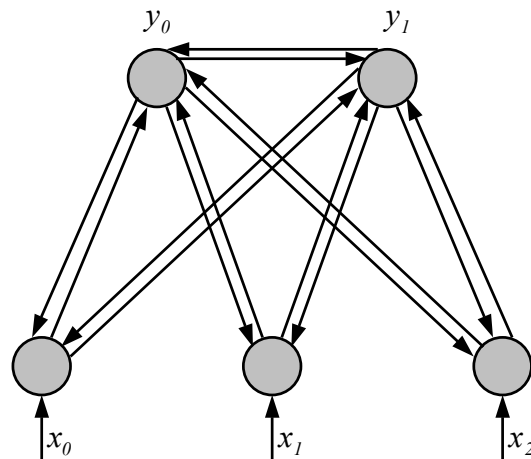


Fig. 7. Arhitectura rețelei Carpenter-Grossberg.

Această rețea implementează un clasificator nesupervizat, fără număr prestabilit de clase. Principial, prima formă de intrare din secvență este selectată ca fiind prima formă prototip. Apoi următoarea intrare este comparată cu vectorii prototip și, funcție de distanța dintre ei, fie este atribuit primei clase, fie este selectată ca vector prototip al unei noi clase. Operația de atribuire a unei forme de intrare unei clase implică recalcularea prototipului asociat.

Algoritmul de antrenare a rețelei Carpenter-Grossberg.

Pasul 1. Inițializări:

$$t_{ij}(0) = 1, b_{ij}(0) = 1/(N+1), 0 \leq i \leq N-1, 0 \leq j \leq M-1 \quad (36)$$

Setează $\rho \in [0,1]$

unde b_{ij} este ponderea conexiunii dintre nodul “ i ” de intrare și nodul “ j ” de ieșire, iar t_{ij} este ponderea conexiunii de la nodul “ j ” de ieșire la nodul “ i ” de intrare. Ele definesc prototipul corespunzător nodului “ j ” de ieșire. Parametrul ρ specifică cât de apropiat trebuie să fie o intrare față de un prototip pentru a lua decizia de apartenență la aceeași clasă.

Pasul 2. Aplică un vector de intrare necunoscut.

Pasul 3. Calculează scorurile de coincidență.

$$\mu_j = \sum_{i=0}^{N-1} b_{ij}(t)x_i, 0 \leq j \leq M-1 \quad (37)$$

unde μ_j este ieșirea nodului “ j ” iar x_i este elementul “ i ” al intrării (0 sau 1).

Pasul 4. Selectează cel mai apropiat prototip:

$$\mu_{j^*} = \max_j \{\mu_j\} \quad (38)$$

Aceasta se realizează folosind conexiunile inhibitorii laterale dintre neuronii de ieșire.

Pasul 5. Testul de vigilență:

$$\|X\| = \sum_{i=0}^{N-1} x_i, \quad \|T \cdot X\| = \sum_{i=0}^{N-1} t_{ij^*} x_i \quad (39)$$

Dacă $\|T \cdot X\| / \|X\| > \rho$ salt la **Pasul 7**, în caz contrar salt la **Pasul 6**.

Pasul 6. Inactivează cel mai apropiat prototip găsit în **Pasul 4** prin forțarea la zero a nodului corespunzător. Ca urmare acest prototip nu mai este luat în considerare la calculul maximumului din **Pasul 4**.

Pasul 7. Adaptează cel mai apropiat prototip:

$$t_{ij^*}(t+1) = t_{ij^*}(t)x_i \quad (40)$$

$$b_{ij^*}(t+1) = [t_{ij^*}(t)x_i] / [0.5 + \sum_{i=0}^{N-1} t_{ij^*} x_i] \quad (41)$$

Pasul 8. Salt la **Pasul 2** pentru o nouă intrare.

O implementare simplă a acestei rețele este prezentată în finalul capitolului.

14.6.4. Harta de trăsături Kohonen.

Kohonen, plecând de la presupunerea că, deși o parte a structurării creierului uman este predeterminată genetic, există organizare determinată prin învățare, pe baza unor algoritmi fiziologici care au la bază auto-organizarea în structurile "superioare" ale cortexului.

Folosind acest model el propune un tip de rețea neurală numită "harta de trăsături cu auto-organizare" (Kohonen self-organizing feature map). Împreună cu algoritmul de antrenare corespunzător acestei rețele se realizează practic un cuantizor vectorial, în mod iterativ prin ajustarea ponderilor conexiunilor între nodurile rețelei și intrare.

Vectorii de intrare N-dimensional (valori continue) sunt aplicați la intrare succesiv, ajustarea ponderilor corespunzătoare făcându-se folosind interconexiunile extensive care unesc nodurile rețelei. Fiecare neuron este conectat cu fiecare ieșire dar și cu neuronii vecini prin conexiuni excitatorii/inhibitorii laterale. O remarcă importantă este faptul că fiecare nod este conectat cu neuronii din vecinătatea pătratică aferentă lui, dar dimensiunea acestei vecinătăți scade în timp.

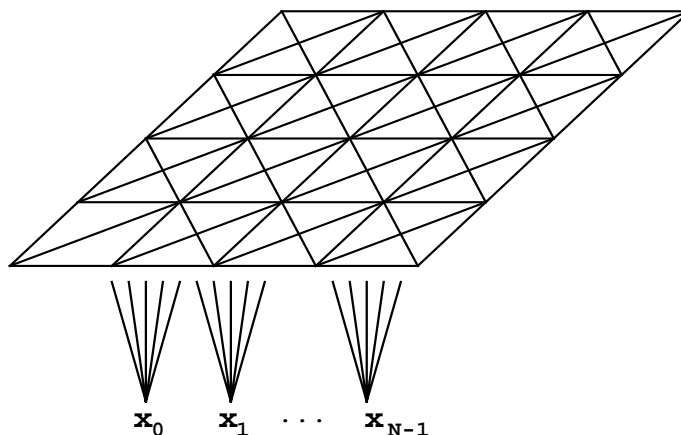


Fig. 8. Arhitectura rețelei Kohonen.

Algoritmul de antrenare a rețelei Kohonen este descris în caseta următoare:

Algoritmul de antrenare a rețelei Kohonen

(1). Inițializează ponderile.

Ponderile conexiunilor de la cele N intrări la cele M noduri se setează la valori aleatoare mici. Raza inițială a vecinătăților atașate fiecărui nod se setează la valoarea maximă.

(2). *Aplică o nouă intrare.*

(3). *Calculează distanță dintre vectorul de intrare și vectorul de ponderi pentru fiecare nod.*

$$D_j = \sum_{i=0}^{N-1} [x_i(t) - w_{ij}(t)]^2 \quad (42)$$

unde: - $x_i(t)$ este valoarea aplicată intrării "i" la momentul "t";

- $w_{ij}(t)$ este ponderea conexiunii dintre intrarea "i" și nodul "j" la momentul "t".

(4). *Selectează nodul "k" de distanță minimă:*

$$D_k = \min_{j=0, \dots, M-1} D_j \quad (43)$$

(5). *Actualizează ponderile pentru nodul "k" și toate nodurile din vecinătatea aferentă nodului "k" la momentul "t".* Regula de ajustare a ponderilor este:

$$w_{ij}(t+1) = w_{ij}(t) + \eta(t)[x_i(t) - w_{ij}(t)], \quad i = 0, \dots, N-1 \quad (44)$$

Coeficientul $\eta(t) \in (0, 1)$ este factorul de câștig, care descrește și el în timp.

(6). *Salt la pasul (2).*

Calculul distanței din pasul (3) poate fi redus la un simplu produs scalar, tipic pentru neuronul liniar dacă poate fi asigurată condiția normalizării vectorilor de intrare și a vectorilor de ponderi aferenți după fiecare ajustare. Selectarea nodului care furnizează distanța minimă poate fi efectuată iterativ, după modelul rețelei *MAXNET*, care converge (furnizează la ieșire) valoarea maximă aplicată la intrare.

După antrenare, ponderile conexiunilor intrare-ieșire tind să specifice clusterii detectați în spațiul formelor de intrare prin centrele lor. Ca urmare, densitatea locală a acestor clusteri tinde să aproximeze densitatea de probabilitate calculată sau estimată pentru vectorii de formă care constituie setul de antrenament.

O implementare simplă a acestei rețele este prezentată în finalul capitolului.

14.6.5. Rețele RBF (Radial Basis Functions).

Rețelele RBF sunt rețele hibride cu două straturi, care conțin pe primul strat M neuroni ce implementează funcția Gaussiană normalizată de activare:

$$z_j = \exp(-|x - m_j|^2 / 2\sigma_j^2) / \sum_k \exp(-|x - m_j|^2 / 2\sigma_j^2) \quad (45)$$

în timp ce cei N neuroni de pe stratul al doilea realizează suma ponderată a intrărilor, trecută printr-o nelinearitate sigmoidală.

$$y_k = f\left(\sum_{j=1}^M w_{kj} z_j + \theta_k\right) \quad (46)$$

În formulele anterioare x este vectorul de intrare, m_j (media) și σ_j (dispersia) descriu formele prototip atașate grupărilor create în domeniul de intrare, iar θ_k este valoarea pragului de activare.

Primul strat al rețelei realizează o partiționare a spațiului de intrare în grupări descrise prin medie și dispersie, în timp ce stratul al doilea ia decizia de apartenență a formei de intrare la une din clase (o clasă poate include una sau mai multe grupări), funcție de configurația de activare a neuronilor de pe primul strat.

Arhitectura tipică a unei rețele RBF este prezentată în figura următoare:

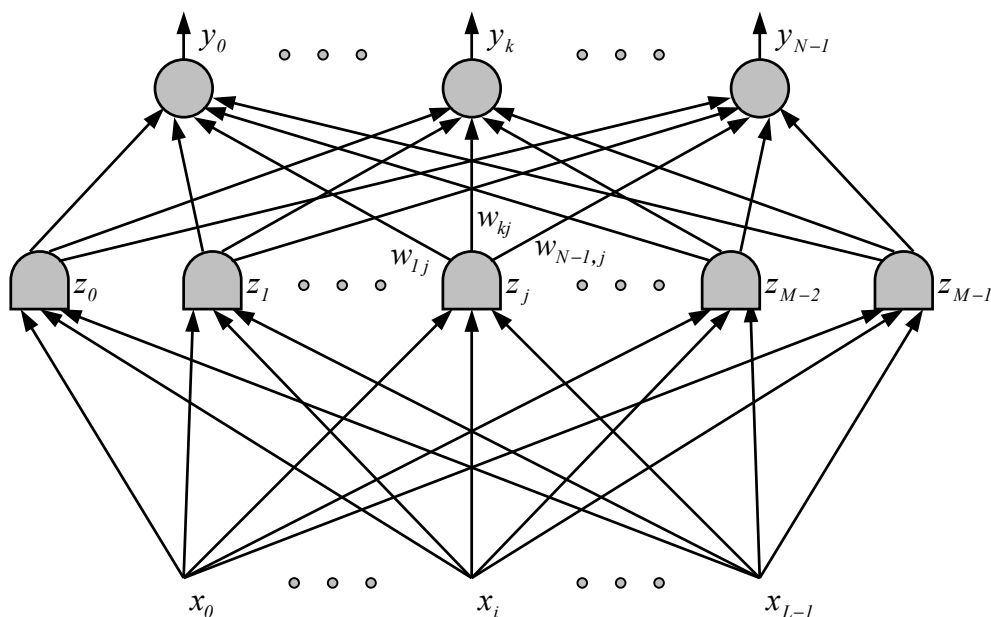


Fig. 9. Arhitectura rețelei RBF.

Antrenarea acestei rețele se face de obicei nesupervizat pentru stratul de intrare și supervizat pentru stratul de ieșire, dar poate fi folosită și metoda “backpropagation” de antrenare supervizată pentru ambele straturi.

Funcția de eroare corespunzătoare formei de intrare “ p ” este dată de:

$$E^{(p)} = \frac{1}{2} \sum_{k=1}^N (d_k^{(p)} - y_k^{(p)})^2 \quad (47)$$

Toți parametrii rețelei neurale se vor modifica în sensul minimizării acestei erori, folosind, de exemplu, metoda gradientului descrescător, adică:

$$\Delta w_{jk}^{(p)} = -\eta \frac{\partial E^{(p)}}{\partial w_{jk}^{(p)}} \quad \Delta m_{ij}^{(p)} = -\eta \frac{\partial E^{(p)}}{\partial m_{ij}^{(p)}} \quad \Delta \sigma_j^{(p)} = -\eta \frac{\partial E^{(p)}}{\partial \sigma_j^{(p)}} \quad (48)$$

Dacă se notează funcția de activare a nodului “ k ” de ieșire cu $a_k^{(p)}$, și se definește $\delta_k^{(y)}$ ca fiind funcția de eroare corespunzătoare aceluiași nod, atunci derivata parțială a erorii medii pătratică în raport cu ponderea curentă se calculează cu:

$$\frac{\partial E^{(p)}}{\partial w_{jk}^{(p)}} = \frac{\partial E^{(p)}}{\partial a_k^{(p)}} \frac{\partial a_k^{(p)}}{\partial w_{jk}^{(p)}} = \frac{\partial E^{(p)}}{\partial a_k^{(p)}} \frac{\partial}{\partial w_{jk}^{(p)}} \left[\sum_{k*=1}^N w_{jk*}^{(p)} z_j^{(p)} \right] = \frac{\partial E^{(p)}}{\partial a_k^{(p)}} z_j^{(p)} \equiv \delta_k^{(y)} z_j^{(p)} \quad (49)$$

și atunci se obține regula de ajustare a ponderilor:

$$w_{jk}^{(p)}(t+1) = w_{jk}^{(p)}(t) + \eta \delta_k^{(y)}(t) z_j^{(p)}(t) \quad (50)$$

Funcția de eroare poate fi evaluată folosind:

$$\delta_k^{(y)} = -\frac{\partial E^{(p)}}{\partial a_k^{(p)}} = -\frac{\partial E^{(p)}}{\partial y_k^{(p)}} \frac{\partial y_k^{(p)}}{\partial a_k^{(p)}} = -\frac{\partial E^{(p)}}{\partial y_k^{(p)}} f'(a_k^{(p)}) = (d_k^{(p)} - z_k^{(p)}) f'(a_k^{(p)}) \quad (51)$$

unde derivata funcției sigmoideale *asimetrice* în raport cu funcția de activare este dată de:

$$f'(a_k^{(p)}) = z_j^{(p)}(1 - z_j^{(p)}) \quad (52)$$

Oarecum similar se face adaptarea celorlalți parametri ai rețelei, media și dispersia. Dacă se definește $\delta_j^{(z)}$ ca fiind funcția de eroare corespunzătoare nodului “ j ” de pe primul strat, atunci

derivata parțială a erorii medii pătratice în raport cu media/dispersia atașată nodului curent se calculează cu:

$$\frac{\partial E^{(p)}}{\partial m_{ij}^{(p)}} = \frac{\partial E^{(p)}}{\partial z_j^{(p)}} \frac{\partial z_j^{(p)}}{\partial m_{ij}^{(p)}} = -\frac{\partial E^{(p)}}{\partial z_j^{(p)}} z_j^{(p)} (1 - z_j^{(p)}) \equiv \delta_j^{(z)} z_j^{(p)} (1 - z_j^{(p)}) \quad (53)$$

$$\frac{\partial E^{(p)}}{\partial \sigma_j^{(p)}} = \frac{\partial E^{(p)}}{\partial z_j^{(p)}} \frac{\partial z_j^{(p)}}{\partial \sigma_j^{(p)}} = \frac{\partial E^{(p)}}{\partial z_j^{(p)}} z_j^{(p)} (1 - z_j^{(p)}) \equiv \delta_j^{(z)} z_j^{(p)} (1 - z_j^{(p)}) \quad (54)$$

și atunci se obține regula de ajustare a mediilor/dispersiilor:

$$m_{ij}^{(p)}(t+1) = m_{ij}^{(p)}(t) + \eta \delta_j^{(z)}(t) z_j^{(p)}(t) (1 - z_j^{(p)}(t)) \quad (55)$$

$$\sigma_{ij}^{(p)}(t+1) = \sigma_{ij}^{(p)}(t) + \eta \delta_j^{(z)}(t) z_j^{(p)}(t) (1 - z_j^{(p)}(t)) \quad (56)$$

Funcția de eroare poate fi evaluată folosind:

$$\delta_j^{(z)} = -\frac{\partial E^{(p)}}{\partial z_j^{(p)}} = \sum_{k=1}^N \delta_k^{(y)} w_{jk}^{(p)} \quad (57)$$

În afara unor formule de calcul diferite, algoritmul "backpropagation" pentru rețeaua RBF nu prezintă diferențe esențiale față de cel pentru perceptronul multistrat.

14.7. Detalii de implementare.

Acest paragraf include implementări simple, în limbajul C, ale rețelelor neuronale de tip Hopfield, Hamming, Carpenter-Grossberg, Kohonen și RBF, precum și a perceptronului multistrat cu algoritmul backpropagation de antrenare. Dar pentru început iată un set de rutine (de alocare și de generare numere aleatoare) utilizate în aceste implementări:

```

/*-----*/
int *IVector(int N)
{
    int* v;
    v=(int *)malloc((unsigned)N*sizeof(int));
    if (!v) {
        printf("eroare de alocare 1");
        exit(1);
    }
    return v;
}
/*-----*/
void Free_IVector(int *v, int N)
{
    free(v);
}
/*-----*/
double *DVector(int N)
{
    double *v;
    v = (double *)malloc((unsigned)N*sizeof(double));
    if (!v) {
        printf("eroare de alocare 2");
        exit(1);
    }
    return v;
}
/*-----*/
void Free_DVector(double *v,int N)
{
    free(v);
}
/*-----*/

```

```

byte **BMatrix(int M, int N)
{
    byte** m;
    m = (byte **)malloc((unsigned) M*sizeof(byte*));
    if (!m) {
        printf("eroare de alocare 3");
        exit(1);
    }
    for (int i=0; i<M; i++) {
        m[i] = (byte *)malloc((unsigned) N*sizeof(byte));
        if (!m[i]) {
            printf("eroare de alocare 4");
            exit(1);
        }
    }
    return m;
}
/*-----*/
void Free_BMatrix(byte **m, int M, int N)
{
    for (int i=0; i<M; i++)
        free(m[i]);
    free(m);
}
/*-----*/
int **IMatrix(int M, int N)
{
    int** m;
    m = (int **)malloc((unsigned) M*sizeof(int*));
    if (!m) {
        printf("eroare de alocare 5");
        exit(1);
    }
    for (int i=0; i<M; i++) {
        m[i] = (int *)malloc((unsigned) N*sizeof(int));
        if (!m[i]) {
            printf("eroare de alocare 6");
            exit(1);
        }
    }
    return m;
}
/*-----*/
void Free_IMatrix(int **m, int M, int N)
{
    for (int i=0; i<M; i++)
        free(m[i]);
    free(m);
}
/*-----*/
double **DMatrix(int M, int N)
{
    double** m;
    m = (double **)malloc((unsigned) M*sizeof(double *));
    if (!m) {
        printf("eroare de alocare 7");
        exit(1);
    }
    for (int i=0; i<M; i++) {
        m[i] = (double *)malloc((unsigned) N*sizeof(double));
        if (!m[i]) {

```

```

        printf("eroare de alocare 8");
        exit(1);
    }
}
return m;
}
/*-----*/
void Free_DMatrix(double **m, int M, int N)
{
    for (int i=0; i<M; i++)
        free(m[i]);
    free(m);
}
/*-----*/
double ***TMatrix(int L,int M,int N)
{
    double*** m;
    int i,j;
    m=(double***)malloc((unsigned) L*sizeof(double**));
    if (!m) {
        printf("eroare de alocare 9");
        exit(1);
    }
    for(i=0;i<L;i++) {
        m[i]=(double**)malloc((unsigned) M*sizeof(double*));
        if (!m[i]) {
            printf("eroare de alocare 10");
            exit(1);
        }
    }
    for(i=0;i<L;i++) {
        for(j=0;j<M;j++) {
            m[i][j]=(double*)malloc((unsigned) N*sizeof(double));
            if (!m[i][j]) {
                printf("eroare de alocare 11");
                exit(2);
            }
        }
    }
    return m;
}
/*-----*/
void Free_TMatrix(double ***m,int L,int M,int N)
{
    int i,j;
    for(i=0;i<L;i++)
        for(j=0;j<M;j++)
            free(m[i][j]);
    for(i=0;i<L;i++)
        free(m[i]);
    free(m);
}

```

Reteaua Hopfield

```

#include <alloc.h>
#include <conio.h>
#include <math.h>
#include <stdio.h>
#include <stdlib.h>

```

```

#define NN 80
#define NC 4

int **Class;
struct Hopfield
{
    int *X;
    int **W;
    int *Y;
    int *Z;
} H;

int **IMatrix(int M,int N);
int *IVector(int N);
void Free_IMatrix(int **m,int M,int N);
void Free_IVector(int *v,int N);

void Define_Net(void);
void Train_Net(void);
int Use_Net(void);
/*-----*/
void Define_Net(void)
{
    //alocări
    H.X=IVector(NN);
    H.W=IMatrix(NN,NN);
    H.Y=IVector(NN);
    H.Z=IVector(NN);
    Class=IMatrix(NC,NN);
}
/*-----*/
void Train_Net()
{
    int i,j,k;

    for(i=0;i<NN;i++)
        for(j=0;j<NN;j++)
            if(i!=j)
                for(k=0,H.W[i][j]=0;k<NC;k++)
                    H.W[i][j]+=Class[k][i]*Class[k][j];
            else
                H.W[i][j]=0;
}
/*-----*/
int Use_Net(void)
{
    int i,j,k,m;
    m=0;
    do {
        for(i=0;i<NN;i++) //salvează ieșiri
            H.Z[i]=H.Y[i];
        for(j=0;j<NN;j++) { //actualizează ieșiri
            for(i=0,k=0;i<NN;i++)
                k+=H.W[i][j]*H.Z[i];
            if(k<0)
                H.Y[j]=-1;
            else
                H.Y[j]=1;
        }
        for(i=0,k=0;i<NN;i++) //test convergență

```



```

        if(H.Z[i]!=H.Y[i])
            k++;
        printf("%4d",m++);
    }
    while(k!=0 && m<100);

    for(j=0;j<NC;j++) {
        for(i=0,k=0;i<NN;i++)
            if(H.Y[i]!=Class[j][i])
                k++;
        if(k==0)
            break;
    }
    return(j);
}

/*****
main()
{
    int i,j;

    clrscr();
    Define_Net();

    //inițializare clase
    printf("classes\n");
    for(i=0;i<NC;i++)
        for(j=0;j<NN;j++)
            if(sin((i+1)*(j+1))>=0.0)
                Class[i][j]=1,printf("X");
            else
                Class[i][j]=-1,printf("_");

    Train_Net();

    //aplică intrare
    for(i=0;i<NN;i++)
        H.Y[i]=Class[2][i];
    H.Y[0]=-1;
    H.Y[3]=1;
    H.Y[33]=-1;
    H.Y[66]=1;
    printf("input\n");
    for(i=0;i<NN;i++)
        if(H.Y[i]==1)
            printf("X");
        else
            printf("_");
    printf("steps ");

    //reiterează până la convergență
    j=Use_Net();
    printf("\nclass %d",j);

    //dealocări
    Free_IMatrix(Class,NC,NN);
    Free_IVector(H.Z,NN);
    Free_IVector(H.Y,NN);
    Free_IMatrix(H.W,NN,NN);
    Free_IVector(H.X,NN);

```

```

    getch();
    return(0);
}

```

Reteaua Hamming

```

#include <alloc.h>
#include <conio.h>
#include <math.h>
#include <stdio.h>
#include <stdlib.h>

```

```

#define NN 80
#define NC 4

```

```

int **Class;
struct Hamming
{
    int *XI;          //intrare *2 în subrețeaua inferioară
    int **WI;        //ponderi *2 în subrețeaua inferioară
    int *TI;         //praguri *2 în subrețeaua inferioară
    double **WS;     //ponderi în subrețeaua superioară
    double *YS;     //ieșire curentă în subrețeaua superioară
    double *ZS;     //ieșire precedentă în subrețeaua superioară
} H;

```

```

int **IMatrix(int M,int N);
int *IVector(int N);
void Free_IMatrix(int **m,int M,int N);
void Free_IVector(int *v,int N);
double **DMatrix(int M,int N);
double *DVector(int N);
void Free_DMatrix(double **m,int M,int N);
void Free_DVector(double *v,int N);

```

```

/*****

```

```

main()
{
    int i,j,k,m;
    double eps,sum;

    clrscr();

    //alocări
    H.XI=IVector(NN);
    H.WI=IMatrix(NC,NN);
    H.TI=IVector(NC);
    H.WS=DMatrix(NC,NC);
    H.YS=DVector(NC);
    H.ZS=DVector(NC);
    Class=IMatrix(NC,NN);

    //inițializare clase
    printf("classes\n");
    for(i=0;i<NC;i++)
        for(j=0;j<NN;j++)
            if(sin((i+1)*(j+1))>=0.0)
                Class[i][j]=1,printf("X");
            else

```

```

        Class[i][j]=-1,printf("_");

    eps=0.8/NC;
    //asignare ponderi și praguri
    for(i=0;i<NC;i++)
        for(j=0;j<NN;j++)
            H.WI[i][j]=Class[i][j];
    for(i=0;i<NC;i++)
        H.TI[i]=NN;
    for(i=0;i<NC;i++)
        for(j=0;j<NC;j++)
            if(i==j)
                H.WS[i][j]=1.0;
            else
                H.WS[i][j]=-eps;

    //aplică intrare
    for(i=0;i<NN;i++)
        H.XI[i]=Class[3][i];
    H.XI[0]=-1, H.XI[3]=1, H.XI[33]=-1, H.XI[66]=1;
    for(i=0;i<NC;i++) {
        for(j=0,k=0;j<NN;j++)
            k+=H.WI[i][j]*H.XI[j];
        H.YS[i]=k-H.TI[i]/2.0;
        if(H.YS[i]<0.0)
            H.YS[i]=0.0;
    }
    printf("input\n");
    for(i=0;i<NN;i++)
        if(H.XI[i]==1)
            printf("X");
        else
            printf("_");
    printf("steps ");

    //reiterează până la convergență
    m=0;
    do {
        for(i=0;i<NC;i++) //salvează ieșiri
            H.ZS[i]=H.YS[i];
        for(j=0;j<NC;j++) { //actualizează ieșiri
            for(i=0,sum=0.0;i<NC;i++)
                if(i!=j)
                    sum+=H.ZS[i];
            H.YS[j]=H.ZS[j]-eps*sum;
            if(H.YS[j]<0)
                H.YS[j]=0;
        }
        //test convergență
        for(i=0,k=0;i<NC;i++)
            if(H.YS[i]>0.0)
                k++;
        printf("%4d",m++);
    }
    while(k!=1 && m<100);

    //test apartenență
    for(i=0;i<NC;i++)
        if(H.YS[i]>0.0)
            break;
    printf("\n\nclass %d",i);

```

```

//dealocări
Free_IMatrix(Class,NC,NN);
Free_DVector(H.ZS,NC);
Free_DVector(H.YS,NC);
Free_DMatrix(H.WS,NC,NC);
Free_IVector(H.TI,NC);
Free_IMatrix(H.WI,NC,NN);
Free_IVector(H.XI,NN);
getch();
return(0);
}

```

Reteaua Carpenter Grossberg

```

#include <alloc.h>
#include <conio.h>
#include <math.h>
#include <stdio.h>
#include <stdlib.h>

```

```

#define NN 80
#define NC 4

```

```
int **Input;
```

```
struct CarpGros
```

```

{
    int      *X;      /* intrare                */
    double   **WB;   /* ponderi conexiuni directe */
    int      **WT;   /* ponderi conexiuni inverse */
    double   *Y;     /* ieșire                 */
    double   *Z;     /* inhibări laterale      */
} C;

```

```

int **IMatrix(int M,int N);
int *IVector(int N);
void Free_IMatrix(int **m,int M,int N);
void Free_IVector(int *v,int N);
double **DMatrix(int M,int N);
double *DVector(int N);
void Free_DMatrix(double **m,int M,int N);
void Free_DVector(double *v,int N);

```

```

/*****

```

```
main()
```

```

{
    int i,j,k,m,X;
    double p,Max,T;

    clrscr();

    //alocări
    C.X=IVector(NN);
    C.WB=DMatrix(NC,NN);
    C.WT=IMatrix(NC,NN);
    C.Y=DVector(NC);
    C.Z=DVector(NC);
    Input=IMatrix(NC+1,NN);

```

```

//inițializare Input
printf("input string\n");
for(i=0;i<NC;i++)
    for(j=0;j<NN;j++)
        if(sin((i+1)*(j+1))>=0.0)
            Input[i][j]=1,printf("X");
        else
            Input[i][j]=0,printf("_");
for(i=0;i<NN;i++)
    Input[NC][i]=Input[1][i];
Input[NC][0]=0, Input[NC][3]=1, Input[NC][33]=0, Input[NC][66]=1;
for(i=0;i<NN;i++)
    if(Input[NC][i]==1)
        printf("X");
    else
        printf("_");

//asignare ponderi
p=0.9;
for(i=0;i<NC;i++)
    for(j=0;j<NN;j++)
        C.WT[i][j]=1;
for(i=0;i<NC;i++)
    for(j=0;j<NN;j++)
        C.WB[i][j]=1.0/(1.0+NN);
for(i=0;i<NC;i++)
    C.Z[i]=1.0;

//aplică succesiv intrări
for(m=0;m<=NC;m++)
{
    for(i=0;i<NN;i++) //aplică intrare
        C.X[i]=Input[m][i];
    for(j=0;j<NC;j++) //actualizează ieșiri
        for(i=0,C.Y[j]=0.0;i<NN;i++)
            C.Y[j]+=C.WB[j][i]*C.X[i];
P3: Max=0.0;
    for(j=0;j<NC;j++) //selectează forma tipică apropiată
        if(C.Y[j]*C.Z[j]>Max)
            k=j, Max=C.Y[j];
    for(i=0,X=0;i<NN;i++) //test vigilență
        X+=C.X[i];
    for(i=0,T=0.0;i<NN;i++)
        T+=C.WT[k][i]*C.X[i];
    if(T/X > p) {
        for(i=0;i<NN;i++) {
            for(j=0,C.WB[k][i]=0.0;j<NN;j++)
                C.WB[k][i]+=C.WT[k][j]*C.X[j];
            C.WB[k][i]=C.WT[k][i]*C.X[i]/(0.5+C.WB[k][i]);
            C.WT[k][i]*=C.X[i];
        }
        for(i=0;i<NC;i++)
            C.Z[i]=1.0;
        printf("%d",k);
    }
    else {
        C.Z[k]=0.0;
        goto P3;
    }
}
}

```

```

//dealocări
Free_IMatrix(Input,NC+1,NN);
Free_DVector(C.Z,NC);
Free_DVector(C.Y,NC);
Free_IMatrix(C.WT,NC,NN);
Free_DMatrix(C.WB,NC,NN);
Free_IVector(C.X,NN);
return(0);
}

```

Harta de trăsături Kohonen

```

#include <alloc.h>
#include <conio.h>
#include <graphics.h>
#include <math.h>
#include <stdio.h>
#include <stdlib.h>

#define NC 4
#define NN 2
#define MM 10
#define STEPS 5000

struct KohonenMap
{
    int      Rad;      /* raza inițială a vecinătății */
    double   Eta;      /* raza inițială a vecinătății */
    double   *XI;      /* intrare în rețea */
    double   ***WC;    /* ponderi intrare-ieșire */
    double   ***WP;    /* ponderi intrare-ieșire */
} K;

double ***TMatrix(int L,int M,int N);
double *DVector(int N);
void Free_TMatrix(double ***m,int L,int M,int N);
void Free_DVector(double *v,int N);

/*****

main()
{
    int i,j,k,m,n,s;
    int GrDriver,GrMode;
    char Text[10];
    double d,Min;

    clrscr();

    //alocări
    K.XI=DVector(NN);
    K.WC=TMatrix(NN,MM,MM);
    K.WP=TMatrix(NN,MM,MM);

    //asignare ponderi inițiale
    K.Rad=3;
    K.Eta=0.7;
    srand(1);
    for(i=0;i<NN;i++)

```

```

    for(j=0;j<MM;j++)
        for(k=0;k<MM;k++)
            K.WC[i][j][k]=K.WP[i][j][k]=rand()/32767.0-0.5;

detectgraph(&GrDriver,&GrMode);
initgraph(&GrDriver,&GrMode,"C:\\bc31\\bgi");
settextstyle(DEFAULT_FONT,HORIZ_DIR,1);
settextjustify(LEFT_TEXT,BOTTOM_TEXT);
setfillstyle(SOLID_FILL,0);
setcolor(15);
cleardevice();

//aplică succesiv intrări
for(s=0;s<STEPS;s++)
{
    sprintf(Text,"%4d",s);
    outtextxy(0,10,Text);
    for(i=0;i<NN;i++)
        K.XI[i]=rand()/327.67-50.0;

    //calculează nodul de distanță minimă
    Min=1000000.0;
    for(j=0;j<MM;j++)
        for(k=0;k<MM;k++) {
            for(i=0,d=0.0;i<NN;i++)
                d+=(K.XI[i]-K.WC[i][j][k])*(K.XI[i]-K.WC[i][j][k]);
            if(d<Min)
                Min=d, m=j, n=k;
        }

    //actualizează ponderi
    for(i=0;i<NN;i++)
        for(j=0;j<MM;j++)
            for(k=0;k<MM;k++)
                K.WP[i][j][k]=K.WC[i][j][k];
    for(j=-K.Rad;j<=K.Rad;j++)
        if(m+j>=0 && m+j<MM)
            for(k=-K.Rad;k<=K.Rad;k++)
                if(n+k>=0 && n+k<MM)
                    for(i=0;i<NN;i++)
                        K.WC[i][m+j][n+k]=K.WP[i][m+j][n+k]+K.Eta
                            *(K.XI[i]-K.WP[i][m+j][n+k]);

    //afișează poziție noduri
    cleardevice();
    for(j=0;j<MM;j++)
        for(k=0;k<MM;k++)
            putpixel(K.WC[0][j][k]+360,K.WC[1][j][k]+174,15);

    //actualizează parametri
    K.Rad=3.0*(STEPS-s)/STEPS+0.5;
    K.Eta=0.1*(STEPS-s)/STEPS;
    if(s==STEPS-1)
        getch();
}
closegraph();

//dealocări
Free_TMatrix(K.WP,NN,MM,MM);
Free_TMatrix(K.WC,NN,MM,MM);
Free_DVector(K.XI,NN);

```

```

    return(0);
}

```

Perceptron multistrat antrenat cu algoritmul "backpropagation"

```

#include <alloc.h>
#include <conio.h>
#include <dos.h>
#include <graphics.h>
#include <math.h>
#include <stdio.h>
#include <stdlib.h>
#include <time.h>

#define NN 80
#define N1 40
#define N2 20
#define NC 8
#define STEPS 200
#define ETA 0.35
#define ALPH 0.7

double **Input;
struct Perceptron
{
    double *XI; /* intrare în rețea */
    double **WI1p; /* ponderi precedente intrare -> primul strat */
    double **WI1c; /* ponderi curente intrare -> primul strat */
    double *T1p; /* praguri precedente pentru primul strat */
    double *T1c; /* praguri curente pentru primul strat */
    double *X1; /* ieșiri din primul strat */
    double *S1; /* erori pentru primul strat */
    double **W12p; /* ponderi precedente primul strat -> al 2-lea strat */
    double **W12c; /* ponderi curente primul strat -> al 2-lea strat */
    double *T2p; /* praguri precedente pentru al 2-lea strat */
    double *T2c; /* praguri curente pentru al 2-lea strat */
    double *X2; /* ieșiri din al 2-lea strat */
    double *S2; /* erori pentru stratul al 2-lea */
    double **W2Yp; /* ponderi precedente al 2-lea strat -> ieșire */
    double **W2Yc; /* ponderi curente al 2-lea strat -> ieșire */
    double *TYp; /* praguri precedente pentru stratul de ieșire */
    double *TYc; /* praguri curente pentru stratul de ieșire */
    double *Y; /* ieșire din rețea */
    double *SY; /* erori pentru stratul de ieșire */
    double *D; /* ieșire dorită din rețea */
} P;

double **DMatrix(int M,int N);
double *DVector(int N);
void Free_DMatrix(double **m,int M,int N);
void Free_DVector(double *v,int N);
void Alloc_Net(void);
void DeAll_Net(void);
/*-----*/
void Alloc_Net(void)
{
    P.XI=DVector(NN);
    P.WI1p=DMatrix(NN,N1);
    P.WI1c=DMatrix(NN,N1);
    P.T1p=DVector(N1);

```



```

P.T1c=DVector(N1);
P.X1=DVector(N1);
P.S1=DVector(N1);
P.W12p=DMatrix(N1,N2);
P.W12c=DMatrix(N1,N2);
P.T2p=DVector(N2);
P.T2c=DVector(N2);
P.X2=DVector(N2);
P.S2=DVector(N2);
P.W2Yp=DMatrix(N2,NC);
P.W2Yc=DMatrix(N2,NC);
P.TYp=DVector(NC);
P.TYc=DVector(NC);
P.Y=DVector(NC);
P.SY=DVector(NC);
P.D=DVector(NC);
}
/*-----*/
void DeAll_Net(void)
{
Free_DVector(P.D,NC);
Free_DVector(P.SY,NC);
Free_DVector(P.Y,NC);
Free_DVector(P.TYc,NC);
Free_DVector(P.TYp,NC);
Free_DMatrix(P.W2Yc,N2,NC);
Free_DMatrix(P.W2Yp,N2,NC);
Free_DVector(P.S2,N2);
Free_DVector(P.X2,N2);
Free_DVector(P.T2c,N2);
Free_DVector(P.T2p,N2);
Free_DMatrix(P.W12c,N1,N2);
Free_DMatrix(P.W12p,N1,N2);
Free_DVector(P.S1,N1);
Free_DVector(P.X1,N1);
Free_DVector(P.T1c,N1);
Free_DVector(P.T1p,N1);
Free_DMatrix(P.W11c,NN,N1);
Free_DMatrix(P.W11p,NN,N1);
Free_DVector(P.XI,NN);
}

/*****/

main()
{
int i,j,k,m;
int GrDriver,GrMode;
char Text[10];
double Save;

clrscr();

//alocări
Alloc_Net();
Input=DMatrix(4*NC+1,NN);

// initializare Input
printf("input string\n");
for(i=0;i<4*NC;i++)
for(j=0;j<NN;j++)

```

```

        if(sin((i+1)*(j+1))>=0.0)
            Input[i][j]=1.0,printf("X");
        else
            Input[i][j]=-1.0,printf("_");
for(i=0;i<NN;i++)
    Input[4*NC][i]=Input[2][i];
Input[4*NC][0]=-1.0;
Input[4*NC][3]=1.0;
Input[4*NC][31]=-1.0;
for(i=0;i<NN;i++)
    if(Input[4*NC][i]==1.0)
        printf("X");
    else
        printf("_");

//assignare ponderi și praguri inițiale
srand(1);
for(i=0;i<NN;i++)
    for(j=0;j<N1;j++)
        P.WI1p[i][j]=P.WI1c[i][j]=rand()/32767.0-0.5;
for(i=0;i<N1;i++)
    P.T1p[i]=P.T1c[i]=rand()/32767.0-0.5;
for(i=0;i<N1;i++)
    for(j=0;j<N2;j++)
        P.W12p[i][j]=P.W12c[i][j]=rand()/32767.0-0.5;
for(i=0;i<N2;i++)
    P.T2p[i]=P.T2c[i]=rand()/32767.0-0.5;
for(i=0;i<N2;i++)
    for(j=0;j<NC;j++)
        P.W2Yp[i][j]=P.W2Yc[i][j]=rand()/32767.0-0.5;
for(i=0;i<NC;i++)
    P.TYp[i]=P.TYc[i]=rand()/32767.0-0.5;

detectgraph(&GrDriver,&GrMode);
initgraph(&GrDriver,&GrMode,"C:\\bc31\\bgi");
settextstyle(DEFAULT_FONT,HORIZ_DIR,1);
settextjustify(LEFT_TEXT,BOTTOM_TEXT);
setfillstyle(SOLID_FILL,0);
setcolor(1);
cleardevice();

//aplică succesiv intrări și ieșirile dorite
for(k=0;k<STEPS;k++)
    for(m=0;m<4*NC;m++) {
        sprintf(Text,"%4d %3d",k,m);
        outtextxy(0,10,Text);

        for(i=0;i<NN;i++) //aplică intrare
            P.XI[i]=Input[m][i];
        for(i=0;i<NC;i++) //aplică ieșire dorită
            P.D[i]=0.0;
        P.D[m%8]=1.0;

        //actualizează ieșiri
        for(j=0;j<N1;j++) {
            for(i=0,P.X1[j]=0.0;i<NN;i++)
                P.X1[j]+=P.WI1c[i][j]*P.XI[i];
            P.X1[j]=1.0/(1.0+exp(-P.T1c[j]-P.X1[j]));
            //line(5*j,300,5*j,300.5-50.0*P.X1[j]);
        }
        for(j=0;j<N2;j++) {

```

```

    for(i=0,P.X2[j]=0.0;i<N1;i++)
        P.X2[j]+=P.W12c[i][j]*P.X1[i];
    P.X2[j]=1.0/(1.0+exp(-P.T2c[j]-P.X2[j]));
    //line(5*j,200,5*j,200.5-50.0*P.X2[j]);
}
for(j=0;j<NC;j++) {
    for(i=0,P.Y[j]=0.0;i<N2;i++)
        P.Y[j]+=P.W2Yc[i][j]*P.X2[i];
    P.Y[j]=1.0/(1.0+exp(-P.TYc[j]-P.Y[j]));
    //line(5*j,100,5*j,100.5-50.0*P.Y[j]);
}

//adaptează ponderi și praguri
for(j=0;j<NC;j++) {
    P.SY[j]=P.Y[j]*(1.0-P.Y[j])*(P.D[j]-P.Y[j]);
    //line(5*j+400,100,5*j+400,100.5-50.0*P.SY[j]);
}
for(j=0;j<NC;j++) {
    for(i=0;i<N2;i++) {
        Save=P.W2Yc[i][j];
        P.W2Yc[i][j]+=ETA*P.SY[j]*P.X2[i]+ALPH
            *(P.W2Yc[i][j]-P.W2Yp[i][j]);
        P.W2Yp[i][j]=Save;
    }
    Save=P.TYc[j];
    P.TYc[j]+=ETA*P.SY[j]+ALPH*(P.TYc[j]-P.TYp[j]);
    P.TYp[j]=Save;
}

for(i=0;i<N2;i++) {
    for(j=0,P.S2[i]=0.0;j<NC;j++)
        P.S2[i]+=P.W2Yp[i][j]*P.SY[j];
    P.S2[i]*=P.X2[i]*(1.0-P.X2[i]);
    //line(5*i+400,200,5*i+400,200.5-50.0*P.S2[i]);
}
for(j=0;j<N2;j++) {
    for(i=0;i<N1;i++) {
        Save=P.W12c[i][j];
        P.W12c[i][j]+=ETA*P.S2[j]*P.X1[i]+ALPH
            *(P.W12c[i][j]-P.W12p[i][j]);
        P.W12p[i][j]=Save;
    }
    Save=P.T2c[j];
    P.T2c[j]+=ETA*P.S2[j]+ALPH*(P.T2c[j]-P.T2p[j]);
    P.T2p[j]=Save;
}

for(i=0;i<N1;i++) {
    for(j=0,P.S1[i]=0.0;j<N2;j++)
        P.S1[i]+=P.W12p[i][j]*P.S2[j];
    P.S1[i]*=P.X1[i]*(1.0-P.X1[i]);
    //line(5*i+400,300,5*i+400,300.5-50.0*P.S1[i]);
}
for(j=0;j<N1;j++) {
    for(i=0;i<NN;i++) {
        Save=P.WI1c[i][j];
        P.WI1c[i][j]+=ETA*P.S1[j]*P.XI[i]+ALPH
            *(P.WI1c[i][j]-P.WI1p[i][j]);
        P.WI1p[i][j]=Save;
    }
    Save=P.T1c[j];
}

```

```

        P.T1c[j]+=ETA*P.S1[j]+ALPH*(P.T1c[j]-P.T1p[j]);
        P.T1p[j]=Save;
    }
    if(k==STEPS-1)
        getch();
    cleardevice();
}
closegraph();
printf("\n antrenare terminată");

for(i=0;i<NN;i++) //aplică intrare
    P.XI[i]=Input[4*NC][i];
for(j=0;j<N1;j++) { //calculează ieșiri
    for(i=0,P.X1[j]=0.0;i<NN;i++)
        P.X1[j]+=P.W11c[i][j]*P.XI[i];
    P.X1[j]=1.0/(1.0+exp(-P.T1c[j]-P.X1[j]));
}
for(j=0;j<N2;j++) {
    for(i=0,P.X2[j]=0.0;i<N1;i++)
        P.X2[j]+=P.W12c[i][j]*P.X1[i];
    P.X2[j]=1.0/(1.0+exp(-P.T2c[j]-P.X2[j]));
}
for(j=0;j<NC;j++) {
    for(i=0,P.Y[j]=0.0;i<N2;i++)
        P.Y[j]+=P.W2Yc[i][j]*P.X2[i];
    P.Y[j]=1.0/(1.0+exp(-P.TYc[j]-P.Y[j]));
}
for(j=0;j<NC;j++)
    printf("\n%12.6f ",P.Y[j]);

//dealocări
Free_DMatrix(Input,4*NC+1,NN);
DeAll_Net();
return(0);
}

```

Retea RBF cu antrenare hibridă.

```

#include <stdlib.h>
#include <stdio.h>
#include <math.h>

#define DBL_MAX 1.7976931348623158e+308
#define PI 3.1415926535
#define byte unsigned char

#define OFF 20 // ofset geometric pentru construcția claselor

#define NC 3 // numărul de clase
#define N1 4 // numărul total de clase (inclusiv clasa de rejecție)
#define N2 256 // numărul total de clusteri
#define NI 2 // numărul de intrări în rețea (x,y)
#define NF 600 // numărul de forme per clasă
#define NN (N1*NF) // numărul total de forme de intrare

#define EPOCHS 200 // parametri antrenare
#define ETA 0.35
#define ALPH 0.7

double **Input; // matrice date de intrare

```

```

byte    **Image; // matrice imagine bitmap
int     *Histo;  // histograma distribuției datelor de intrare

typedef struct tagBITMAPFILEHEADER { // antet fișier bitmap
    unsigned short bfType;
    unsigned long  bfSize;
    unsigned short bfReserved1;
    unsigned short bfReserved2;
    unsigned long  bfOffBits;
} BITMAPFILEHEADER;

typedef struct tagBITMAPINFOHEADER { // antet bitmap
    unsigned long  biSize;
    long          biWidth;
    long          biHeight;
    unsigned short biPlanes;
    unsigned short biBitCount;
    unsigned long  biCompression;
    unsigned long  biSizeImage;
    long          biXPelsPerMeter;
    long          biYPelsPerMeter;
    unsigned long  biClrUsed;
    unsigned long  biClrImportant;
} BITMAPINFOHEADER;

typedef struct tagRGBQUAD { // paleta de culori
    byte  rgbBlue;
    byte  rgbGreen;
    byte  rgbRed;
    byte  rgbReserved;
} RGBQUAD;

struct RBFNet // rețea RBF
{
    double *XI; // intrare în rețea
    double **Mp; // medii precedente
    double **Dp; // dispersii precedente
    double **Mc; // medii curente
    double **Dc; // dispersii curente
    double *Z; // ieșiri din primul strat

    double **Wp; // ponderi precedente strat de ieșire
    double **Wc; // ponderi curente strat de ieșire
    double *Tp; // praguri precedente strat de ieșire
    double *Tc; // praguri curente strat de ieșire
    double *Ey; // funcția de eroare
    double *Y; // ieșire din rețea
    double *D; // ieșire dorită din rețea
} R;

double **DMatrix(int M,int N);
byte **BMatrix(int M,int N);
double *DVector(int N);
int *IVector(int N);
void Free_DMatrix(double **m,int M,int N);
void Free_BMatrix(byte **m,int M,int N);
void Free_DVector(double *v,int N);
void Free_IVector(int *v,int N);
void Alloc_Net(void);
void Free_Net(void);

```

```

/*-----*/
void Alloc_Net(void)
{
    //alocă primul strat
    R.XI=DVector(NI);
    R.Mp=DMatrix(NI,NZ);
    R.Dp=DMatrix(NI,NZ);
    R.Mc=DMatrix(NI,NZ);
    R.Dc=DMatrix(NI,NZ);
    R.Z=DVector(NZ);
    //alocă stratul secund
    R.Wp=DMatrix(NZ,NC);
    R.Wc=DMatrix(NZ,NC);
    R.Tp=DVector(NC);
    R.Tc=DVector(NC);
    R.Ey=DVector(NC);
    R.Y=DVector(NC);
    R.D=DVector(NC);
}
/*-----*/
void Free_Net(void)
{
    //dealocă stratul secund
    Free_DVector(R.D,NC);
    Free_DVector(R.Y,NC);
    Free_DVector(R.Ey,NC);
    Free_DVector(R.Tc,NC);
    Free_DVector(R.Tp,NC);
    Free_DMatrix(R.Wc,NZ,NC);
    Free_DMatrix(R.Wp,NZ,NC);
    //dealocă primul strat
    Free_DVector(R.Z,NZ);
    Free_DMatrix(R.Dc,NI,NZ);
    Free_DMatrix(R.Mc,NI,NZ);
    Free_DMatrix(R.Dp,NI,NZ);
    Free_DMatrix(R.Mp,NI,NZ);
    Free_DVector(R.XI,NI);
}
/*-----*/

main()
{
    int      idum, i, j, k, n, nEr;
    long     r, x1, y1, x2, y2, x3, y3;
    double   x, y, Sum, Save, Sgn, Err;

    // definește intrare
    r = (long)((480.0-OFF-OFF)/(2+sqrt(3.0)));
    x1 = r+OFF;
    y1 = r+OFF;
    x2 = 2*r+OFF;
    y2 = 479-r-OFF;
    x3 = 3*r+OFF;
    y3 = r+OFF;

    // creaza rețea
    Alloc_Net();
    // creează matrice date de intrare
    Input = DMatrix(NN, NI);
    // creează bitmap

```

```

Image = BMatrix(480, 640);

idum = -1;
ranl(&idum);
i = 0;
// generează formele din prima clasă
do {
    x = (ranl(&idum)*2-1)*r;
    y = (ranl(&idum)*2-1)*r;
    if (x*x+y*y <= r*r) {
        x += x1;
        y += y1;
        Input[i][0] = x/400.0;
        Input[i][1] = y/400.0;
        i++;
    }
} while(i < NF);
// generează formele din clasa a doua
do {
    x = (ranl(&idum)*2-1)*r;
    y = (ranl(&idum)*2-1)*r;
    if (x*x+y*y <= r*r) {
        x += x2;
        y += y2;
        Input[i][0] = x/400.0;
        Input[i][1] = y/400.0;
        i++;
    }
} while(i < 2*NF);
// generează formele din clasa a treia
do {
    x = (ranl(&idum)*2-1)*r;
    y = (ranl(&idum)*2-1)*r;
    if (x*x+y*y <= r*r) {
        x += x3;
        y += y3;
        Input[i][0] = x/400.0;
        Input[i][1] = y/400.0;
        i++;
    }
} while(i < 3*NF);
// generează formele din clasa de rejecție
do {
    x = ranl(&idum)*(4*r+2*OFF-2)+1;
    y = ranl(&idum)*478+1;
    if(((x-x1)*(x-x1)+(y-y1)*(y-y1) > r*r)
    && ((x-x2)*(x-x2)+(y-y2)*(y-y2) > r*r)
    && ((x-x3)*(x-x3)+(y-y3)*(y-y3) > r*r)) {
        Input[i][0] = x/400.0;
        Input[i][1] = y/400.0;
        i++;
    }
} while(i < NN);

// inițializează bitmap (fond alb)
for (j=0; j<480; j++) {
    for (i=0; i<640; i++)
        Image[j][i] = 0xff;
}
// trasează limitele claselor (trei cercuri tangente)
for (k=0; k<360; k++) {

```

```

    i = (int)(x1 + r *sin(k*PI/180));
    j = (int)(y1 + r *cos(k*PI/180));
    Image[j][i] = 0x00;
    i = (int)(x2 + r *sin(k*PI/180));
    j = (int)(y2 + r *cos(k*PI/180));
    Image[j][i] = 0x00;
    i = (int)(x3 + r *sin(k*PI/180));
    j = (int)(y3 + r *cos(k*PI/180));
    Image[j][i] = 0x00;
}
// trasează formele de intrare
for (k=0; k<NF; k++) { // prima clasă: simbol x
    i = (int)(400.0*Input[k][0]);
    j = (int)(400.0*Input[k][1]);
    Image[j][i] = 0xaa;
    Image[j-1][i-1] = 0xaa; Image[j-1][i+1] = 0xaa;
    Image[j+1][i-1] = 0xaa; Image[j+1][i+1] = 0xaa;
}
for (k=NF; k<NF*2; k++) { // a doua clasă: simbol +
    i = (int)(400.0*Input[k][0]);
    j = (int)(400.0*Input[k][1]);
    Image[j][i] = 0xaa;
    Image[j][i-1] = 0xaa; Image[j][i+1] = 0xaa;
    Image[j-1][i] = 0xaa; Image[j+1][i] = 0xaa;
}
for (k=NF*2; k<NF*3; k++) { // a treia clasă: simbol o
    i = (int)(400.0*Input[k][0]);
    j = (int)(400.0*Input[k][1]);
    Image[j-1][i-1] = 0xaa; Image[j-1][i] = 0xaa; Image[j-1][i+1] = 0xaa;
    Image[j][i-1] = 0xaa; Image[j][i+1] = 0xaa;
    Image[j+1][i-1] = 0xaa; Image[j+1][i] = 0xaa; Image[j+1][i+1] = 0xaa;
}
for (k=NF*3; k<NN; k++) { // clasa de rejecție: simbol I
    i = (int)(400.0*Input[k][0]);
    j = (int)(400.0*Input[k][1]);
    Image[j-1][i-1] = 0xaa; Image[j-1][i] = 0xaa; Image[j-1][i+1] = 0xaa;
    Image[j][i] = 0xaa;
    Image[j+1][i-1] = 0xaa; Image[j+1][i] = 0xaa; Image[j+1][i+1] = 0xaa;
}

////////////////////
// antrenare strat intrare //
////////////////////
//construiește nesupervizat prototipuri pentru primul strat
int z = 1; // contor clase (una singură la început, clasa 0)
for (i=0; i<NI; i++) {
    for (n=0, R.Mc[i][0]=0.0; n<NN; n++)
        R.Mc[i][0] += Input[n][i];
    R.Mc[i][0] /= NN; // medie
    for (n=0, R.Dc[i][0]=0.0; n<NN; n++)
        R.Dc[i][0] += (Input[n][i]-R.Mc[i][0])*(Input[n][i]-R.Mc[i][0]);
    R.Dc[i][0] /= NN; // dispersie
}

int s = 1; // offset poziție neuron curent în stratul de intrare
do {
    if(s*2 > NZ) break;
    s = s*2;
} while(1);

double DP, DC, eps=0.001;

```



```

do { //while z<NZ
  srand(1);
  if(z == s) {
    // completează numărul de clase până la NZ
    for (j=0; j<NZ-z; j++) {
      for (i=0; i<NI; i++) {
        Sgn=(rand()/32767000.0-0.0005);
        R.Mp[i][j*2] = R.Mc[i][j]+Sgn*R.Dc[i][j];
        Sgn=(rand()/32767000.0-0.0005);
        R.Mp[i][j*2+1] = R.Mc[i][j]+Sgn*R.Dc[i][j];
      }
    }
    // păstrează restul claselor
    for (i=0; i<NI; i++) {
      for (j=2*(NZ-z); j<NZ; j++)
        R.Mp[i][j] = R.Mc[i][j];
    }
    z = NZ;
  } else {
    // dublează numărul de clase
    for (j=0; j<z; j++) {
      for (i=0; i<NI; i++) {
        Sgn=(rand()/32767000.0-0.0005);
        R.Mp[i][j*2] = R.Mc[i][j] + Sgn*R.Dc[i][j];
        Sgn=(rand()/32767000.0-0.0005);
        R.Mp[i][j*2+1] = R.Mc[i][j] - Sgn*R.Dc[i][j];
      }
    }
    z = z*2;
  }
}

// LBG: bucla de minimizare a erorii de aproximare pentru 'z' clase
DC=DBL_MAX;
do {
  DP=DC;
  DC=0;
  // Inițializări
  Histo = IVector(z);
  for (j=0; j<z; j++) {
    for (i=0; i<NI; i++) {
      R.Mc[i][j] = 0.0;
      R.Dc[i][j] = 0.0;
    }
    Histo[j] = 0;
  }
  // află pentru fiecare vector de intrare partiția cea mai apropiată
  for (n=0; n<NN; n++) {
    double dMinDist2, dDist2;
    int nMinClass=-1;
    for (j=0, dMinDist2=DBL_MAX; j<z; j++) {
      for (i=0, dDist2=0.0; i<NI; i++)
        dDist2 += (Input[n][i]-R.Mp[i][j])*(Input[n][i]-R.Mp[i][j]);
      if(dDist2 < dMinDist2) {
        dMinDist2 = dDist2;
        nMinClass = j;
      }
    }
    if (nMinClass == -1)
      exit(1);
    Histo[nMinClass]++;
    // actualizează eroarea medie pătratică de aproximare

```

```

    DC += dMinDist2;
    // valoarea contribuției la noua medie & dispersie
    for (i=0; i<NI; i++) {
        R.Mc[i][nMinClass] += Input[n][i];
        R.Dc[i][nMinClass] += Input[n][i]*Input[n][i];
    }
}
for (j=0; j<z; j++) {
    for (i=0; i<NI; i++) {
        R.Mc[i][j] = R.Mc[i][j]/Histo[j]; // calcul final medie
        R.Dc[i][j] = R.Dc[i][j]/Histo[j];
        R.Dc[i][j] -= R.Mc[i][j]*R.Mc[i][j]; // calcul final dispersie
    }
}
for (j=0; j<z; j++)
    printf("%2d ", Histo[j]);
printf("\neroare absoluta = %f\n",DC);
Free_IVector(Histo, z);
} while ((DP-DC)/DC > eps);
printf("eroare relativa = %f\n", (DP-DC)/DC);
printf("partitionare %d clase terminata\n\n",z);
} while (z < NZ);
// marchează în imagine pozițiile centrelor grupărilor
for (z=0; z<NZ; z++) {
    i = (int)(R.Mc[0][z]*400.0);
    j = (int)(R.Mc[1][z]*400.0);
    Image[j][i] = 0x00;
}

////////////////////////////////////
// antrenare strat ieșire //
////////////////////////////////////
// asignare ponderi și praguri inițiale (stratul de ieșire)
srand(1);
for (k=0; k<NC; k++) {
    for (j=0; j<NZ; j++)
        R.Wp[j][k] = R.Wc[j][k] = rand()/32767.0 - 0.5;
    R.Tp[k] = R.Tc[k] = rand()/32767.0 - 0.5;
}

// aplică succesiv intrări și ieșirile dorite, adaptează parametri rețea
for (s=0; s<EPOCHS; s++) {
    Err = 0.0; nEr = 0;
    for (n=0; n<NN; n++) {
        // aplică intrare în ordinea 0,1,2,rej,0,1,2,rej,...
        for (i=0; i<NI; i++)
            R.XI[i] = Input[(n%NC1)*NF+n/NC1][i];
        // aplică ieșire dorită
        for (i=0; i<NC; i++)
            R.D[i] = 0.0;
        if (n%NC1 < 3) // ordinea 0,1,2,rej,0,1,2,rej,...
            R.D[n%NC1] = 1.0;
        // calculează ieșiri din primul strat
        for (j=0; j<NZ; j++) {
            for(i=0, R.Z[j]=0.0; i<NI; i++) {
                if (R.Dc[i][j] > 0)
                    R.Z[j] += (R.XI[i]-R.Mc[i][j])
                        *(R.XI[i]-R.Mc[i][j])/R.Dc[i][j];
            }
            R.Z[j] = exp(-R.Z[j]/2.0);
        }
    }
}

```

```

// normalizare
for (j=0, Sum=0.0; j<NZ; j++)
    Sum += R.Z[j];
for (j=0; j<NZ; j++)
    R.Z[j] /= Sum;
// calculează ieșiri strat de ieșire
for (k=0; k<NC; k++) {
    for (j=0, R.Y[k]=0.0; j<NZ; j++)
        R.Y[k]+=R.Wc[j][k]*R.Z[j];
    R.Y[k] = 1.0 / (1.0 + exp(-R.Tc[k]-R.Y[k]));
}
// calculează eroare
for (k=0; k<NC; k++)
    Err += (R.Y[k]-R.D[k])*(R.Y[k]-R.D[k]);
// test clasificare corectă
for (k=0; k<NC; k++) {
    if (k == (n%NC1)) {
        if (R.Y[k] < 0.5)
            break;
    } else {
        if (R.Y[k] > 0.5)
            break;
    }
}
if (k != NC)
    nEr++; // incrementează numărul de erori
// adaptează ponderi și praguri (stratul de ieșire)
for (k=0; k<NC; k++)
    R.Ey[k] = R.Y[k] * (1.0-R.Y[k]) * (R.D[k]-R.Y[k]);
for (k=0; k<NC; k++) {
    for (j=0; j<NZ; j++) {
        Save = R.Wc[j][k];
        R.Wc[j][k] += ETA*R.Ey[k]*R.Z[j]
            + ALPH*(R.Wc[j][k]-R.Wp[j][k]);
        R.Wp[j][k] = Save;
    }
    Save = R.Tc[k];
    R.Tc[k] += ETA*R.Ey[k] + ALPH*(R.Tc[k]-R.Tp[k]);
    R.Tp[k] = Save;
}
printf("step=%4d\r", n);
}
printf("\nepoch=%4d err=%12.6f ner=%d\n", s, Err, nEr);
}
printf("\n antrenare terminata\n");

// test final
nEr = 0;
for (n=0; n<NN; n++) {
    // aplică intrare
    for (i=0; i<NI; i++)
        R.XI[i] = Input[n][i];
    // calculează ieșiri din primul strat
    for (j=0; j<NZ; j++) {
        for(i=0, R.Z[j]=0.0; i<NI; i++) {
            if (R.Dc[i][j] > 0)
                R.Z[j] += (R.XI[i]-R.Mc[i][j])*(R.XI[i]-R.Mc[i][j])/R.Dc[i][j];
        }
        R.Z[j] = exp(-R.Z[j]/2.0);
    }
}
// normalizare

```

```

for (j=0, Sum=0.0; j<NZ; j++)
    Sum += R.Z[j];
for (j=0; j<NZ; j++)
    R.Z[j] /= Sum;
// calculează ieșiri strat de ieșire
for (k=0; k<NC; k++) {
    for (j=0, R.Y[k]=0.0; j<NZ; j++)
        R.Y[k] += R.Wc[j][k] * R.Z[j];
    R.Y[k] = 1.0/(1.0+exp(-R.Tc[k]-R.Y[k]));
}
// test clasificare corectă
for (k=0; k<NC; k++) {
    if (k == n/NF) {
        if (R.Y[k] < 0.5)
            break;
    } else {
        if (R.Y[k] > 0.5)
            break;
    }
}
if (k != NC)
    nEr++; // incrementează numărul de erori
else {
    // clasificare corectă, marchează intrările recunoscute corect
    switch (n/NF) {
        case 0: // prima clasă
            i = (int)(400.0*Input[n][0]);
            j = (int)(400.0*Input[n][1]);
            Image[j][i] = 0x55;
            Image[j-1][i-1] = 0x55; Image[j-1][i+1] = 0x55;
            Image[j+1][i-1] = 0x55; Image[j+1][i+1] = 0x55;
            break;
        case 1: // a doua clasă
            i = (int)(400.0*Input[n][0]);
            j = (int)(400.0*Input[n][1]);
            Image[j][i] = 0x55;
            Image[j][i-1] = 0x55; Image[j][i+1] = 0x55;
            Image[j-1][i] = 0x55; Image[j+1][i] = 0x55;
            break;
        case 2: // a treia clasă
            i = (int)(400.0*Input[n][0]);
            j = (int)(400.0*Input[n][1]);
            Image[j-1][i-1] = 0x55; Image[j-1][i] = 0x55;
            Image[j-1][i+1] = 0x55; Image[j][i-1] = 0x55;
            Image[j][i+1] = 0x55; Image[j+1][i-1] = 0x55;
            Image[j+1][i] = 0x55; Image[j+1][i+1] = 0x55;
            break;
        case 3: // clasa de rejectie
            i = (int)(400.0*Input[n][0]);
            j = (int)(400.0*Input[n][1]);
            Image[j-1][i-1] = 0x55; Image[j-1][i] = 0x55;
            Image[j-1][i+1] = 0x55; Image[j][i] = 0x55;
            Image[j+1][i-1] = 0x55; Image[j+1][i] = 0x55;
            Image[j+1][i+1] = 0x55;
            break;
    }
}
}
printf("\nTotal %d erori din %d\n", nEr, NN);
// construcție fișier bitmap
// antet fișier

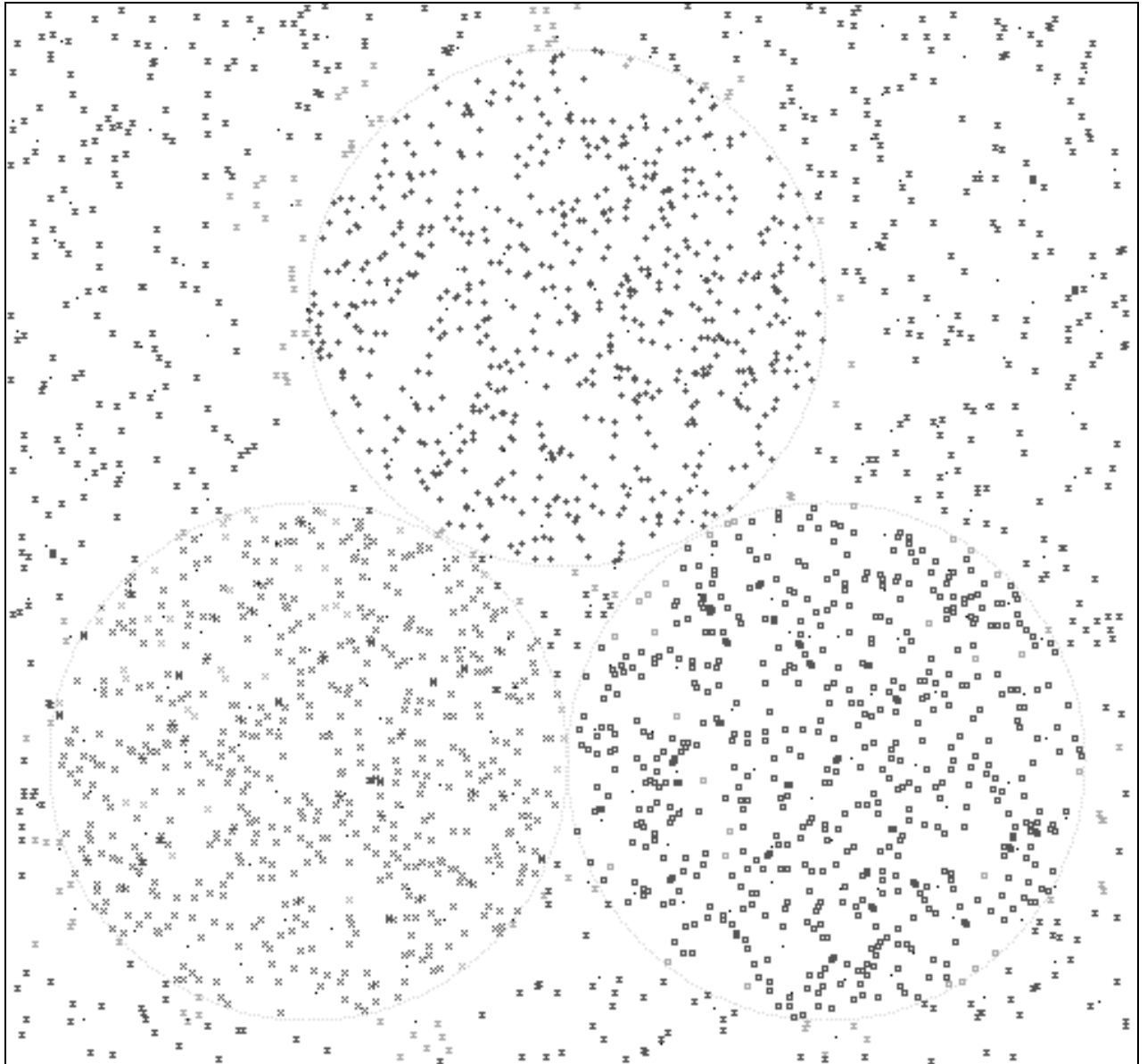
```

```

BITMAPFILEHEADER bmfh;
bmfh.bfType = 0x4d42;
bmfh.bfSize = sizeof(BITMAPFILEHEADER)+sizeof(BITMAPINFOHEADER)
             + 2*sizeof( RGBQUAD)+640*480;
bmfh.bfReserved1 = 0;
bmfh.bfReserved2 = 0;
bmfh.bfOffBits = sizeof(BITMAPFILEHEADER)+sizeof(BITMAPINFOHEADER)
                 + 256*sizeof( RGBQUAD);
// antet bitmap
BITMAPINFOHEADER bmih;
bmih.biSize = sizeof(BITMAPINFOHEADER);
bmih.biWidth = 640;
bmih.biHeight = 480;
bmih.biPlanes = 1;
bmih.biBitCount = 8;
bmih.biCompression = 0;
bmih.biSizeImage = 640*480/8;
bmih.biXPelsPerMeter = 0;
bmih.biYPelsPerMeter = 0;
bmih.biClrUsed = 0;
bmih.biClrImportant = 0;
// paleta de culori
RGBQUAD rgbq[256];
for (i=0; i<256; i++) {
    rgbq[i].rgbBlue = rgbq[i].rgbGreen = rgbq[i].rgbRed = i;
    rgbq[i].rgbReserved = 0;
}
// scrie fișier bitmap
FILE* pFile = fopen("c:\\rbf.bmp", "wb");
fwrite(&bmfh, sizeof(BITMAPFILEHEADER), 1, pFile);
fwrite(&bmih, sizeof(BITMAPINFOHEADER), 1, pFile);
for (i=0; i<256; i++)
    fwrite(&rgbq[i], sizeof( RGBQUAD), 1, pFile);
for (j=0; j<480; j++) {
    for (i=0; i<640; i++)
        fwrite(&Image[j][i], 1, 1, pFile);
}
fclose(pFile);

// dealocări
Free_BMatrix(Image, 480, 640);
Free_DMatrix(Input, NN, NI);
Free_Net();
return(0);
}

```



Fișier imagine (bitmap) generat de programul de test pentru rețeaua RBF cu antrenare hibridă.

15. Selecția trăsăturilor.

- 15.1. Metode bazate pe estimarea caracteristicilor statistice ale trăsăturilor.
- 15.2. Metode bazate pe densitatea de probabilitate.
- 15.3. Transformări diagonale pentru selecția trăsăturilor.
- 15.4. Selecția optimală a trăsăturilor.
- 15.5. Transformări rotaționale pentru selecția trăsăturilor.
- 15.6. Măsuri ale calității trăsăturilor.
- 15.7. Detalii de implementare.

Dintr-un proces oarecare se pot extrage un număr foarte mare de trăsături. Odată cu creșterea numărului de trăsături folosite, crește însă și complexitatea clasificatorului. De aceea se pune problema selecției acelor trăsături care sunt esențiale în procesul de recunoaștere.

15.1. Metode bazate pe estimarea caracteristicilor statistice ale trăsăturilor.

Fie $\{X_j\}_{j \leq j \leq N}$ setul de N vectori de date folosiți pentru antrenarea clasificatorului. Notând cu x_{ij} trăsătura "j" a vectorului X_i și cu N_k numărul de forme prototip pentru clasa "k", avem:

$$N = \sum_{k=1}^{N_c} N_k \quad (1)$$

și putem defini în continuare:

Media trăsăturii "j" pentru vectorii din setul de date:

$$m_j = \frac{1}{N} \sum_{i=1}^N x_{ij} \Leftrightarrow m_j = \frac{1}{N} \sum_{i=1}^N \sum_{k=1}^{N_c} x_{ij}^{(k)} \quad (2)$$

Varianța trăsăturii "j" pentru setul de vectori de date:

$$v_j = \frac{1}{N} \sum_{i=1}^N (x_{ij} - m_j)^2 \Leftrightarrow v_j = \frac{1}{N} \sum_{i=1}^N \sum_{k=1}^{N_c} (x_{ij}^{(k)} - m_j)^2 \quad (3)$$

Dacă v_j are valori foarte mici (nesemnificative), trăsătura "j" poate fi eliminată din setul de trăsături folosite pentru definirea formelor, ea nereușind să separe bine clasele.

Variabilitatea intraclasă pentru trăsătura "j" se definește prin:

$$V_j^{(in)} = \frac{1}{p} \sum_{(k,l)} (x_{kj} - x_{lj})^2 \quad (4)$$

unde suma se efectuează pentru toate perechile de forme din setul de date aparținând aceleiași clase, "p" fiind numărul de astfel de perechi de forme.

Variabilitatea interclasă pentru trăsătura "j" este dată de:

$$V_j^{(ic)} = \frac{1}{r} \sum_{(k,l)} (x_{kj} - x_{lj})^2 \quad (5)$$

unde suma se calculează pentru toate perechile posibile de forme aparținând unor clase diferite, "r" fiind numărul de astfel de perechi.

Cu cât $V_j^{(in)}$ este mai mic, cu atât gruparea valorilor trăsăturii în jurul mediei este mai bună, deci clasificarea va fi mai facilă, și cu cât $V_j^{(ic)}$ este mai mare, cu atât clasele sunt mai depărtate, deci mai bine separate. Atunci, pentru fiecare trăsătura în parte se calculează raportul:

$$g_j = \frac{V_j^{(in)}}{V_j^{(ic)}} \quad (6)$$

reținându-se acele trăsături pentru care valoarea g_j este cât mai mică.

Se mai utilizează pentru problemele de clasificare binară raportul (ponderea) Fisher:

$$F_j = \frac{(m_{j1} - m_{j2})^2}{V_{j1} - V_{j2}} \quad (7)$$

sau raportul Coomans:

$$C_j = \frac{m_{j1} - m_{j2}}{\sqrt{V_{j1}} + \sqrt{V_{j2}}} \quad (8)$$

15.2. Metode bazate pe densitatea de probabilitate.

Pentru un clasificator bayesian cu funcție de pierdere simetrică, riscul condiționat este dat de:

$$L(X, \omega_k) = p(X/\omega_k) p(\omega_k) \quad (9)$$

Eroarea globală de clasificare este dată de:

$$\varepsilon = \sum_{k=1}^{N_c} \int_{\bar{\omega}_k} L(X, \omega_k) dX \quad (10)$$

de unde se poate scrie:

$$\varepsilon = \sum_{k=1}^{N_c} p(\omega_k) \int_{\bar{\omega}_k} p(X/\omega_k) dX \quad (11)$$

O expresie asemănătoare se poate scrie și pentru fiecare trăsătura în parte:

$$\varepsilon_j = \sum_{k=1}^{N_c} p(\omega_k) \int_{\bar{\omega}_{k(j)}} p(x_j/\omega_k) dx_j \quad (12)$$

Pentru fiecare trăsătură în parte se calculează ε_j , cunoscând aprioric sau estimând $p(\omega_k)$ și $p(x_j/\omega_k)$, iar apoi se rețin acele trăsături pentru care ε_j este minim și eliminându-le pe celelalte ca fiind nesemnificative.

15.3. Transformări diagonale pentru selecția trăsăturilor.

Aceste metode permit mărirea gradului de similaritate a formelor dintr-o clasă prin îmbunătățirea gradului de grupare a formelor din aceeași clasă și prin accentuarea trăsăturilor comune formelor din aceeași clasă.

Fie X un vector de formă oarecare:

$$X = (x_1, x_2, \dots, x_n) \quad (13)$$

Considerăm transformarea diagonală:

$$\mathbf{X} \rightarrow (\mathbf{diag} \mathbf{W})\mathbf{X}, \text{ unde } \mathbf{diag} \mathbf{W} = \begin{bmatrix} w_{11} & \dots & 0 \\ \dots & \dots & \dots \\ 0 & \dots & w_{nn} \end{bmatrix} \quad (14)$$

Ca măsură a varianței vectorilor de forma din clasa ω_k se poate folosi suma pătratelor distanțelor între perechile posibile de vectori de forma din clasa ω_k , adică:

$$D_k^2 = \frac{1}{N_k(N_k - 1)} \sum_{i=1}^{N_k} \sum_{j=1}^{N_k} \mathbf{d}^2(\mathbf{X}_i^{(k)}, \mathbf{X}_j^{(k)}) \quad (15)$$

Aceeași relație în spațiul transformatei devine:

$$D_k^2 = \frac{1}{N_k(N_k - 1)} \sum_{i=1}^{N_k} \sum_{j=1}^{N_k} \mathbf{d}^2((\mathbf{diag} \mathbf{W})\mathbf{X}_i^{(k)}, (\mathbf{diag} \mathbf{W})\mathbf{X}_j^{(k)}) \quad (16)$$

Dar:

$$\mathbf{d}^2(\mathbf{X}, \mathbf{Y}) = \sum_{c=1}^n (x_c - y_c)^2 \quad (17)$$

unde "n" este numărul de trăsături folosite.

Înlocuind, se obține:

$$D_k^2 = \frac{1}{N_k(N_k - 1)} \sum_{i=1}^{N_k} \sum_{j=1}^{N_k} \sum_{c=1}^n w_c^2 (x_{ic}^{(k)} - x_{jc}^{(k)})^2 \quad (18)$$

Transformarea diagonală optimă pentru clasa "k" se poate obține din condiția de minimizare a lui D_k^2 și folosind o condiție suplimentară de forma:

$$\sum_{c=1}^n w_c = 1 \quad \text{sau} \quad \prod_{c=1}^n w_c = 1 \quad (19)$$

condiție necesară pentru a limita valorile ponderilor printr-o scalare aditivă sau multiplicativă.

Deci vom deduce valorile ponderilor w_c din condiția:

$$\frac{\partial D_k^2}{\partial w_m} = 0 \quad (20)$$

plus una din condițiile suplimentare precedente, folosind metoda multiplicatorilor lui Lagrange.

Astfel, pentru prima variantă (scalare aditivă a parametrilor), trebuie de minimizat funcția:

$$\mathbf{f} = \frac{1}{N_k(N_k - 1)} \sum_{i=1}^{N_k} \sum_{j=1}^{N_k} \sum_{c=1}^n w_c^2 (x_{ic}^{(k)} - x_{jc}^{(k)})^2 - \lambda \left(\sum_{c=1}^n w_c - 1 \right) \quad (21)$$

Se obține:

$$\frac{\partial \mathbf{f}}{\partial w_m} = 0 \Rightarrow \frac{1}{N_k(N_k - 1)} \sum_{i=1}^{N_k} \sum_{j=1}^{N_k} 2w_m (x_{ic}^{(k)} - x_{jc}^{(k)})^2 - \lambda = 0 \quad (22)$$

$$2w_m \frac{1}{N_k(N_k - 1)} \sum_{i=1}^{N_k} \sum_{j=1}^{N_k} (x_{ic}^{(k)} - x_{jc}^{(k)})^2 = \lambda \quad (23)$$

Remarcând faptul că:

$$\sigma_m^2 = \frac{1}{N_k(N_k - 1)} \sum_{i=1}^{N_k} \sum_{j=1}^{N_k} (x_{ic}^{(k)} - x_{jc}^{(k)})^2 \quad (24)$$

este tocmai varianța trăsăturii "m" pentru clasa "k", rezultă:

$$2w_m \sigma_m^2 = \lambda \Rightarrow w_m = \frac{\lambda}{2\sigma_m^2} \quad (25)$$

și folosind condiția suplimentară de scalare aditivă, se obține prin înlocuire:

$$1 = \frac{\lambda}{2} \sum_{m=1}^n \frac{1}{\sigma_m^2} \Rightarrow \lambda = \frac{2}{\sum_{m=1}^n \frac{1}{\sigma_m^2}} \quad (26)$$

Ca urmare rezultă în final:

$$w_c^{(k)} = \frac{1}{\sigma_c^2 \sum_{m=1}^n \frac{1}{\sigma_m^2}} \quad (27)$$

Deoarece ponderile w_c sunt proporționale cu $1/\sigma_c^2$, în urma acestei transformări, trăsăturile cu varianță mare vor fi ponderate cu valori mici, deci importanța lor va scăde.

Dacă se utilizează condiția suplimentară de scalare multiplicativă a coeficienților transformării diagonale, va trebui să minimizăm funcția:

$$f = \frac{1}{N_k(N_k - 1)} \sum_{i=1}^{N_k} \sum_{j=1}^{N_k} \sum_{c=1}^n w_c^2 (x_{ic}^{(k)} - x_{jc}^{(k)})^2 - \lambda \left(\prod_{c=1}^n w_c - 1 \right) \quad (28)$$

Efectuând același șir de operații se obține succesiv:

$$\frac{\partial f}{\partial w_m} = 0 \Rightarrow \frac{1}{N_k(N_k - 1)} \sum_{i=1}^{N_k} \sum_{j=1}^{N_k} 2w_m (x_{ic}^{(k)} - x_{jc}^{(k)})^2 - \frac{\lambda}{w_m} = 0 \quad (29)$$

$$\frac{2w_m^2}{N_k(N_k - 1)} \sum_{i=1}^{N_k} \sum_{j=1}^{N_k} (x_{ic}^{(k)} - x_{jc}^{(k)})^2 = \lambda \Leftrightarrow 2w_m^2 \sigma_m^2 = \lambda \Leftrightarrow w_m^2 = \frac{\lambda}{2\sigma_m^2} \quad (30)$$

Înlocuind în condiția de scalare multiplicativă:

$$\frac{\lambda^n}{2^n \prod_{m=1}^n \sigma_m^2} = 1 \Leftrightarrow \lambda = 2 \left(\prod_{m=1}^n \sigma_m^2 \right)^{1/n} \quad (31)$$

Rezultă în final:

$$w_c^{(k)} = \frac{\left(\prod_{m=1}^n \sigma_m^2 \right)^{1/n}}{\sigma_c} \quad (32)$$

Cu formulele obținute se poate construi o transformare diagonală care să separe foarte bine o clasă de celelalte. Aceeași transformare permite, de asemenea, selectarea trăsăturilor semnificative prin reținerea acelor pentru care ponderea $w_c^{(k)}$ are valoare mare.

Pentru a selecta trăsăturile semnificative pentru toate clasele, se pot utiliza funcții de cost de forma $f(w_c^{(k)})$, dependente de ponderile transformării diagonale obținute pentru fiecare clasă. Există "n" asemenea funcții, corespunzătoare fiecărei trăsături. Se pot reține acele trăsături pentru care "f" ia valoarea cea mai mare pentru toate clasele.

15.4. Selecția optimală a trăsăturilor.

Selecția optimală a trăsăturilor se realizează construind o transformare ortogonală (unitară) în următorul sistem de selecție a trăsăturilor:

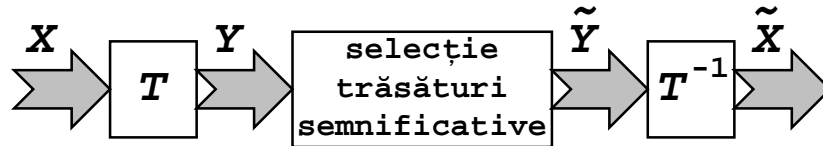


Fig. 1. Selecția optimă a trăsăturilor.

unde:

X - vectorul de formă de intrare, $X = (x_1, x_2, \dots, x_n)^T$

Y - vectorul de formă transformat, $Y = (y_1, y_2, \dots, y_n)^T$

\tilde{Y} - vectorul de formă redus, $\tilde{Y} = (y_1, y_2, \dots, y_k, c_{k+1}, \dots, c_n)$

\tilde{X} - estimarea vectorului de formă de intrare, $\tilde{X} = (\tilde{x}_1, \tilde{x}_2, \dots, \tilde{x}_n)^T$

Se remarcă modul de efectuare a reducerii datelor prin forțarea ultimelor " $n - k$ " valori din vectorul transformat la constante.

Se urmărește determinarea matricii transformării ortogonale unitare din condiția ca eroarea medie pătratică de estimare a formei inițiale să fie minimă. Se folosesc notațiile:

$$T = \begin{bmatrix} u_{11} & u_{12} & \dots & u_{1n} \\ u_{21} & u_{22} & \dots & u_{2n} \\ \dots & \dots & \dots & \dots \\ u_{n1} & u_{n2} & \dots & u_{nn} \end{bmatrix} = \begin{bmatrix} u_1^T \\ u_2^T \\ \dots \\ u_n^T \end{bmatrix} \quad (33)$$

Deoarece transformarea T este unitară, avem:

$$T^{-1} = T^T \quad (34)$$

și atunci:

$$T^T = \begin{bmatrix} u_{11} & u_{12} & \dots & u_{1n} \\ u_{21} & u_{22} & \dots & u_{2n} \\ \dots & \dots & \dots & \dots \\ u_{n1} & u_{n2} & \dots & u_{nn} \end{bmatrix} = [u_1 \quad u_2 \quad \dots \quad u_n] \quad (35)$$

Din structura schemei bloc rezultă:

$$Y = TX \implies X = T^T Y = [u_1 \quad u_2 \quad \dots \quad u_n] \begin{bmatrix} y_1 \\ y_2 \\ \dots \\ y_n \end{bmatrix} \implies X = \sum_{j=1}^n u_j y_j \quad (36)$$

Eroarea medie pătratică de estimare a lui X este dată de:

$$\varepsilon = E \{ \|X - \tilde{X}\|^2 \} = E \{ (X - \tilde{X})^T (X - \tilde{X}) \} \quad (37)$$

Dar, deoarece:

$$X - \tilde{X} = \sum_{j=1}^n u_j y_j - \sum_{j=1}^n u_j \tilde{y}_j = \sum_{j=k+1}^n u_j (y_j - c_j) \quad (38)$$

Rezultă pentru eroarea medie patrică expresia:

$$\varepsilon = E \left\{ \sum_{j=k+1}^n (y_j - c_j) u_j^T \sum_{j=k+1}^n u_j (y_j - c_j) \right\} = E \left\{ \sum_{i=k+1}^n \sum_{j=k+1}^n (y_j - c_j) u_j^T u_i (y_i - c_i) \right\} \quad (39)$$

și deoarece din condiția de ortogonalitate avem:

$$\mathbf{u}_j^T \mathbf{u}_i = \begin{cases} 1, & \text{pentru } i = j \\ 0, & \text{pentru } i \neq j \end{cases} \quad (40)$$

se obține în final:

$$\varepsilon = \mathbf{E} \left\{ \sum_{j=k+1}^n (y_j - c_j)^2 \right\} \quad (41)$$

Primul pas al optimizării constă în determinarea constantelor "c" din condiția de minimizare a erorii medii pătratice:

$$\frac{\partial \varepsilon}{\partial c_j} = 0 \Leftrightarrow \mathbf{E} \{ -2(y_j - c_j) \} = 0 \Leftrightarrow c_j = \mathbf{E} \{ y_j \} = \bar{y}_j \quad (42)$$

Atunci eroarea medie pătratică de estimare a intrării devine:

$$\varepsilon = \mathbf{E} \left\{ \sum_{j=k+1}^n (y_j - \bar{y}_j)^2 \right\} = \mathbf{E} \left\{ \sum_{j=k+1}^n (y_j - \bar{y}_j)(y_j - \bar{y}_j)^T \right\} \quad (43)$$

Deoarece:

$$y_j = \mathbf{u}_j^T \mathbf{X} \quad \text{și} \quad \bar{y}_j = \mathbf{u}_j^T \bar{\mathbf{X}} \quad (44)$$

rezultă după înlocuiri:

$$\varepsilon = \mathbf{E} \left\{ \sum_{j=k+1}^n \mathbf{u}_j^T (x_j - \bar{x}_j)(x_j - \bar{x}_j)^T \mathbf{u}_j \right\} = \sum_{j=k+1}^n \mathbf{u}_j^T \mathbf{E} \{ (x_j - \bar{x}_j)(x_j - \bar{x}_j)^T \} \mathbf{u}_j \quad (45)$$

Deci:

$$\varepsilon = \sum_{j=k+1}^n \mathbf{u}_j^T \mathbf{K}_{XX} \mathbf{u}_j \quad (46)$$

unde \mathbf{K}_{XX} este matricea de covarianță asociată procesului aleator care descrie vectorii formelor de intrare.

Pentru a determina \mathbf{u}_j din condiția de minimizare a erorii medii pătratice de estimare, adică:

$$\nabla_{\mathbf{u}_j} \varepsilon = 0 \quad (47)$$

cu condiția suplimentară $\mathbf{u}_j^T \mathbf{u}_j = 1$ care exprimă proprietatea de ortogonalitate a matricii \mathbf{T} , se folosește metoda multiplicatorilor lui Lagrange, adică se minimizează funcția:

$$\nabla_{\mathbf{u}_j} f = 0 \quad (48)$$

unde:

$$f = \sum_{j=k+1}^n \mathbf{u}_j^T \mathbf{K}_{XX} \mathbf{u}_j - \lambda_j (\mathbf{u}_j^T \mathbf{u}_j - 1) \quad (49)$$

Rezultă în final:

$$(\mathbf{K}_{XX} - \lambda_j \mathbf{I}_n) \mathbf{u}_j = 0 \quad (50)$$

care exprima faptul că $\lambda_j, j = 1..n$ sunt valorile proprii ale matricii de covarianță a intrării, iar $\mathbf{u}_j, j = 1..n$ sunt vectorii proprii ai aceleiași matrici \mathbf{K}_{XX} .

Deci matricea \mathbf{T} a transformării ortogonale căutate are drept linii, vectorii proprii ai matricii de covarianță a domeniului de intrare.

Mărimea erorii medii pătratice de estimare a intrării este dată atunci de:

$$\varepsilon = \sum_{j=k+1}^n \mathbf{u}_j^T \mathbf{K}_{XX} \mathbf{u}_j = \sum_{j=k+1}^n \mathbf{u}_j^T \lambda_j \mathbf{u}_j = \sum_{j=k+1}^n \lambda_j \mathbf{u}_j^T \mathbf{u}_j \quad (51)$$

și folosind condiția de ortogonalitate obținem:

$$\varepsilon = \sum_{j=k+1}^n \lambda_j \quad (52)$$

Această condiție permite alcătuirea următorului algoritm de selecție optimală a trăsăturilor:

- (1). Se calculează sau se estimează matricea de covarianță a formelor de intrare \mathbf{K}_{XX} .
- (2). Se calculează valorile proprii ale matricii \mathbf{K}_{XX} .
- (3). Se ordonează descrescător aceste valori proprii.
- (4). Se construiește matricea \mathbf{T} a transformării unitare căutate din vectorii proprii ai matricii \mathbf{K}_{XX} , conform ordinii găsite pentru valorile proprii.
- (5). Numărul "k" de trăsături care se rețin după transformarea unitară se obține din valoarea maximă admisibilă a erorii medii pătratice de estimare.

Matricea de covarianță a domeniului transformatei este dată de:

$$\mathbf{K}_{YY} = \mathbf{E} \{ (\mathbf{Y} - \bar{\mathbf{Y}})(\mathbf{Y} - \bar{\mathbf{Y}})^T \} = \mathbf{E} \{ \mathbf{T}(\mathbf{X} - \bar{\mathbf{X}})(\mathbf{X} - \bar{\mathbf{X}})^T \mathbf{T}^T \} = \mathbf{T} \mathbf{K}_{XX} \mathbf{T}^T \quad (53)$$

și deoarece:

$$\mathbf{K}_{XX} \mathbf{u}_j = \lambda_j \mathbf{u}_j, \text{ pentru } j = 1 \dots n \quad (54)$$

rezultă:

$$\mathbf{K}_{XX} [\mathbf{u}_1 \ \mathbf{u}_2 \ \dots \ \mathbf{u}_n] = \mathbf{diag}(\lambda_1 \ \lambda_2 \ \dots \ \lambda_n) [\mathbf{u}_1 \ \mathbf{u}_2 \ \dots \ \mathbf{u}_n] \quad (55)$$

$$\mathbf{K}_{XX} \mathbf{T}^T = \mathbf{A} \mathbf{T}^T$$

Atunci matricea de covarianță a domeniului transformatei se scrie:

$$\mathbf{K}_{YY} = \mathbf{T} \mathbf{A} \mathbf{A}^T = \mathbf{A} \mathbf{T} \mathbf{T}^T = \mathbf{A} \quad (56)$$

Deci prin aplicarea transformării optimale se obțin trăsături necorelate.

15.5. Transformări rotaționale pentru selecția trăsăturilor.

Considerând formele din spațiul formelor $\Omega \subset R^n$ dezvoltate folosind o bază ortonormată completă de vectori:

$$\{\tilde{\mathbf{b}}\} = \{\mathbf{b}_p, p = 1 \dots m\} \quad (57)$$

unde $m < n$, atunci orice formă poate fi exprimată sub forma unei combinații liniare a vectorilor din această bază:

$$\mathbf{X}_j^{(k)} = a_{j1} \mathbf{b}_1 + a_{j2} \mathbf{b}_2 + \dots + a_{jm} \mathbf{b}_m \quad (58)$$

Eroarea indusă de această dezvoltare are expresia:

$$e_j^{(k)} = \mathbf{E} \left\{ \left| \mathbf{X}_j^{(k)} - \sum_{p=1}^m a_{jp} \mathbf{b}_p \right|^2 \right\} \quad (59)$$

Dacă se urmărește în continuare determinarea bazei ortonormate $\{\tilde{\mathbf{b}}\}$ în condițiile minimizării erorii medii pătratice anterioare, se obține, așa cum s-a arătat în paragraful precedent, transformarea Karhunen-Loeve.

Volumul de calcule necesar implementării acestei transformări este foarte mare și de aceea, pentru anumite aplicații care permit modelarea formelor de intrare cu un proces Markov de ordinul unu, se folosește Transformata Cosinus Discretă (DCT) care aproximează cel mai bine transformarea optimală descrisă anterior, mai ales pentru valori mici ale numărului de trăsături $n \leq 64$. În plus, algoritmul transformării DCT rapide (derivat din FFT) permite reducerea substanțială a numărului de calcule, de la n^2 la $2n \log_2 n$ operații (o operație = o înmulțire și o adunare).

Proprietăți de decorare a vectorilor aplicați la intrare prezintă însă și alte transformări, cum ar fi:

(1). Transformata Fourier, pentru calculul căreia există algoritmul FFT (Fast Fourier Transform) care permite micșorarea substanțială a numărului de calcule, de la n^2 la $n \log_2 n$ operații.

(2). Transformata Walsh-Hadamard care prezintă avantajul că pentru calculul ei sunt necesare doar $n \log_2 n$ adunări/scăderi și nici o înmulțire.

(3). Transformata Haar, care furnizează la ieșire o combinație liniară a tuturor valorilor din vectorul de intrare doar prin intermediul primilor doi coeficienți, în timp ce restul coeficienților conțin câte o combinație liniară doar a valorilor de intrare adiacente. Pentru calculul ei sunt necesare doar $2(n-1)$ adunări/scăderi.

15.6. Măsuri ale calității trăsăturilor.

Pe lângă parametri descriși în primul paragraf al acestui capitol pentru caracterizarea calității trăsăturilor, adică varianța trăsăturilor, variabilitatea intraclasă, variabilitatea interclasă, (ponderea) Fisher și raportul Coomans, există un set întreg de măsuri de separabilitate a claselor, cum ar fi:

(1) Divergența, care trebuie maximizată pentru o bună separabilitate a claselor:

$$Q_1 = \int_{\Omega} [p(\omega_i) p(X/\omega_i) - p(\omega_j) p(X/\omega_j)] \log \left[\frac{p(\omega_i) p(X/\omega_i)}{p(\omega_j) p(X/\omega_j)} \right] dX \quad (60)$$

(2) Distanța Bhattacharyya (B-distanța), al cărui minim asigură o bună separabilitate a claselor:

$$Q_2 = -\log \int_{\Omega} [p(X/\omega_i) p(X/\omega_j)]^{1/2} dX \quad (61)$$

(3). Patrick și Fisher sugerează folosirea coeficientului:

$$Q_3^2 = -\log \int_{\Omega} [p(X/\omega_i) p(X/\omega_j)]^2 dX \quad (62)$$

(4). Meisel propune varianta discretă următoare, care este utilă mai ales în cazul formelor cu număr mare de trăsături:

$$Q_4^2 = \frac{P_i}{M_i} \sum_{k=1}^{M_i} [p(\omega_i) p(X/\omega_i) - p(\omega_j) p(X/\omega_j)]^2 + \frac{P_j}{M_j} \sum_{k=1}^{M_j} [p(\omega_i) p(X/\omega_i) - p(\omega_j) p(X/\omega_j)]^2 \quad (63)$$

(5). Măsura următoare ține cont de eroarea de clasificare pentru un clasificator Bayes:

$$Q_5^2 = \frac{P_i}{M_i} \sum_{k=1}^{M_i} \mu [p(\omega_i) p(X/\omega_i) - p(\omega_j) p(X/\omega_j)]^2 + \frac{P_j}{M_j} \sum_{k=1}^{M_j} \mu [p(\omega_i) p(X/\omega_i) - p(\omega_j) p(X/\omega_j)]^2 \quad (64)$$

unde:

$$\mu(x) = \begin{cases} 1, & \text{pentru } x \geq 0 \\ 0, & \text{pentru } x < 0 \end{cases}$$

Dacă măsurile precedente se referă la separabilitatea între clasele ω_i și ω_j , următoarele măsuri urmăresc separabilitatea globală, deci pentru toate cele N_c clase.

(6). O variantă continuă pentru estimarea separabilității globale a claselor este:

$$Q_6 = \int_{\Omega} \max_{i=1, \dots, N_c} p(\omega_i) p(X/\omega_i) dX \quad (65)$$

(7). Altă modalitate de apreciere are la bază riscul condiționat de clasificare eronată:

$$\mathbf{Q}_7 = \int_{\Omega} \left[\sum_{i=1}^{N_c} \mathbf{p}(\omega_i) \mathbf{p}(\mathbf{X}/\omega_i) \right]^2 d\mathbf{X} - \int_{\Omega} \sum_{i=1}^{N_c} [\mathbf{p}(\omega_i) \mathbf{p}(\mathbf{X}/\omega_i)]^2 d\mathbf{X} \quad (66)$$

(8). Varianta discretă a coeficientului precedent este dată de:

$$\mathbf{Q}_8 = \frac{1}{M} \sum_{j=1}^M \left\{ \left[\sum_{i=1}^{N_c} \mathbf{p}(\omega_i) \mathbf{p}(\mathbf{X}/\omega_i) \right]^2 - \sum_{i=1}^{N_c} \mathbf{p}(\omega_i) \mathbf{p}(\mathbf{X}/\omega_i) \right\} \quad (67)$$

Alegerea criteriului optim de selecție a acelor trăsături care asigură cea mai bună separabilitate a claselor este încă o problemă deschisă, ea depinzând de legea de distribuție care guvernează formele de intrare (pentru distribuția gaussiană se recomandă \mathbf{Q}_1 și \mathbf{Q}_2) și de volumul de calcule necesar pentru determinarea lor.

15.7. Detalii de implementare.

Concret se urmărește proiectarea unui sistem bazat pe circuitul *INMOS A100* - filtru digital transversal cu 32 de nivele - care să rezolve problema calculului Transformatei Cosinus Discretă (DCT) și a ieșirilor unei rețele neuronale de tipul perceptron multistrat, ambele fiind mari consumatoare de timp și ambele având la bază calculul unor sume ponderate.

$$DCT(u, v) = \frac{1}{2N} \sum_{j=0}^{N-1} \sum_{k=0}^{N-1} f(j, k) \cos\left(\frac{\pi u j}{N}\right) \cos\left(\frac{\pi v k}{N}\right) \quad (68)$$

iar pentru rețea neuronală:

$$z_{pj} = f\left(\sum_{k=1}^N w_{kj}^{(z)} y_{pk}\right) \quad y_{pj} = f\left(\sum_{k=1}^M w_{kj}^{(y)} x_{pk}\right) \quad x_{pj} = f\left(\sum_{k=1}^L w_{kj}^{(x)} u_{pk}\right) \quad (69)$$

IMS A100 este un filtru transversal cu 32 de etaje, de precizie și viteză înaltă. Arhitectura sa flexibilă face posibilă utilizarea acestui circuit ca un element constitutiv într-o gamă largă de aplicații pentru prelucrare de semnal (DSP = 'digital signal processing'). Cuvântul de date la intrare este în lungime de 16 biți, iar mărimea coeficientului este programabilă la 4, 8, 12, 16 biți. Pentru ambii se folosește formatul în complement față de doi. Coeficienții pot fi reactualizați asincron față de ceasul sistemului, permițând ca circuitul să fie folosit în sisteme adaptive. *IMS A100* poate fi cascadat pentru a se construi filtre transversale de lungime mai mare, fără a folosi circuite suplimentare. Și în acest caz, se păstrează precizia de lucru și domeniul dinamic.

Circuitul *IMS A100* implementează o structură de filtru transversal modificată (Fig. 2).

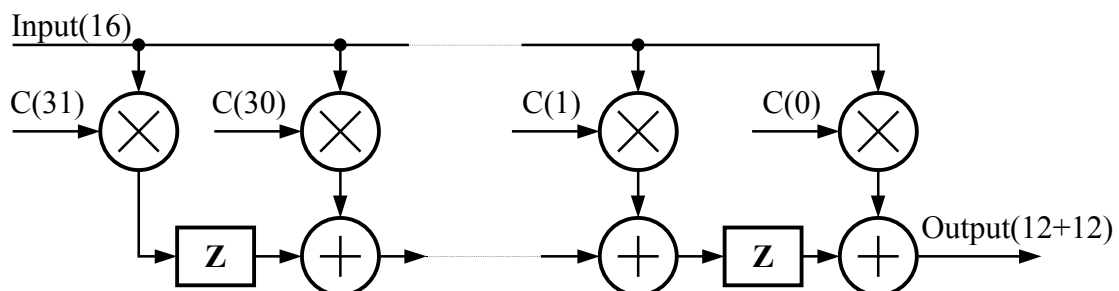


Fig. 2. Schema bloc a circuitului *IMS A100*.

Ieșirea se calculează cu relația:

$$y(kT) = C(0) * x(kT) + C(1) * x((k-1)T) + \dots + C(N-1) * x((k-N+1)T) \quad (70)$$

unde $x(kT)$ reprezintă eșantionul de ordinul k , iar $C(0), \dots, C(N-1)$ sunt coeficienții pentru cele N etaje.

IMS A100 este prevăzut cu două tipuri de interfețe: una asincronă ce se conectează la microprocesorul "gazdă", (pentru furnizarea datelor "brute" și pentru preluarea rezultatelor) și o

interfață sincronă (pentru cascada circuitelor și pentru realizarea de structuri de filtrare "on-line", terminate cu convertoare analog/digitale și digital/analogice). Rezultatul se calculează pe 36 de biți. Sub controlul programului, în funcție de aplicație, se poate alege din aceștia orice câmp de 24 de biți. Puterea de calcul, pentru lungimea coeficientului 'Lc' și frecvența de ceas a circuitului 'F', rezultă din formula $2 * F / Lc$.

Deoarece scopul principal al demersului nostru este de a calcula rapid sume ponderate de forma:

$$Y = \sum_{i=0}^{N+1} w_i x_i \quad (71)$$

iar coeficienții (ponderile) w_i sunt deja cunoscute, ele pot fi încărcate într-o memorie de tip **PROM/EPROM** de capacitate convenabil aleasă.

Astfel deoarece $N = 32$ pentru calculul Transformatei Cosinus Discrete (DCT), sunt necesari 1024 de coeficienți a 16 biți fiecare pentru aplicații de tipul celor descrise anterior (DCT bidimensională pentru o matrice 32x32).

Proiectarea s-a axat pe o variantă constructivă a cărei schemă bloc este prezentată în continuare și a cărei utilizare poate fi extinsă la o gamă întreagă de aplicații de aceeași natură.

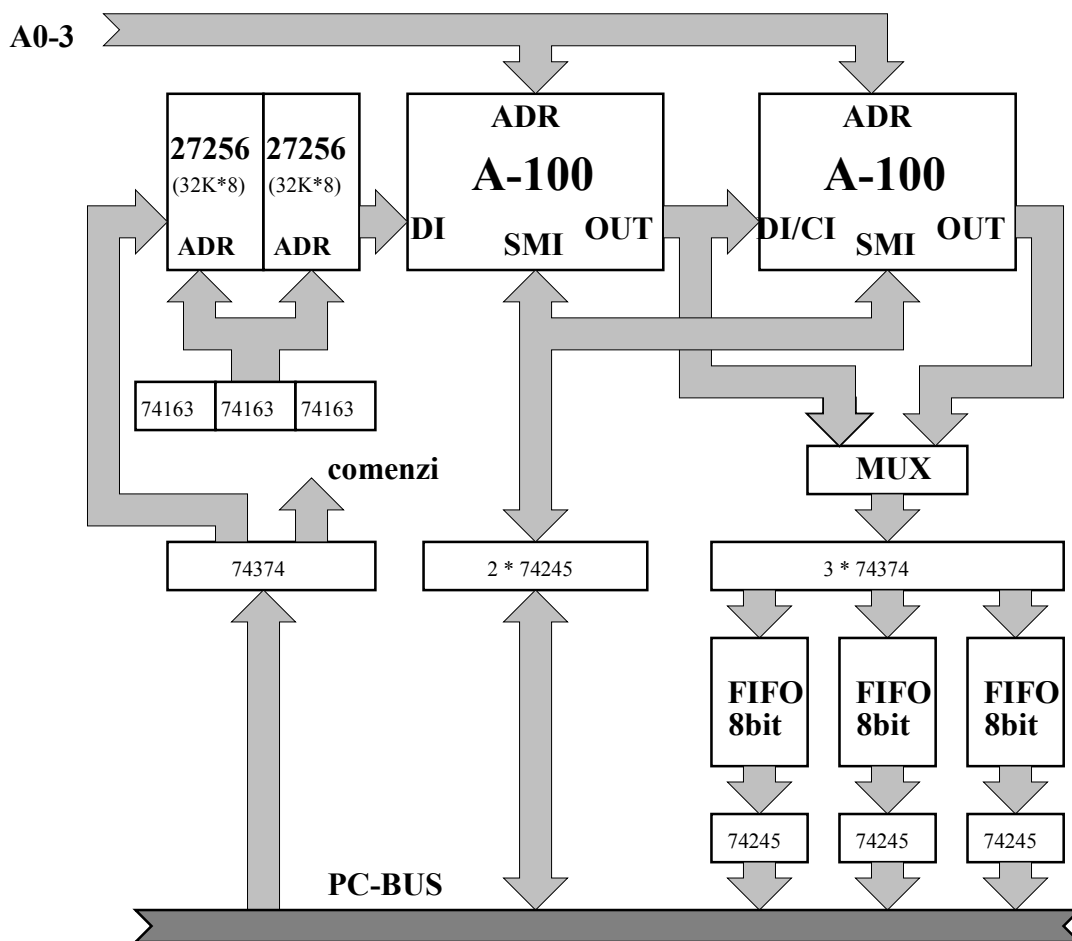


Fig. 3. Schema bloc a acceleratorului.

Ținând cont de complexitatea aplicațiilor studiate până acum, s-a optat pentru o rețea neuronală având maximum 64 intrări, 64 neuroni pe primul strat, maximum 32 neuroni pe stratul al doilea și maximum 32 neuroni pe stratul de ieșire (ultimul strat). Pentru varianta maximală de rețea neuronală, numărul de ponderi ce trebuie stocate este:

$$64 * 64 + 64 * 32 + 32 * 32 = 4Kword + 2Kword + 1Kword = 7Kword \quad (72)$$

Se poate opta și pentru o variantă mai complexă, care necesită însă încă un circuit **IMS A100**, variantă care ar permite o rețea neuronală având maximum 96 intrări, 96 neuroni pe primul strat, maximum 64 neuroni pe stratul al doilea și maximum 32 neuroni pe stratul de ieșire (ultimul strat), capacitatea de stocare necesară fiind:

$$96*96 + 96*64 + 64*32 = 9Kword + 6Kword + 2Kword = 17Kword \quad (73)$$

În toate cazurile capacitatea de stocare nu depășește 32 Kword și de aceea se vor utiliza pentru stocarea acestor coeficienți două circuite **EPROM 32KO**. Adresele lor sunt furnizate în parte de procesorul central (pentru selecția bancului de coeficienți/ponderi) iar restul de un numărator pe 12/14 biți.

Deoarece în unele cazuri este necesară calcularea sumei ponderate a 32 termeni (DCT, stratul de ieșire al rețelei) iar în altele apare o sumă de 64 termeni, ieșirile celor două circuite **IMS A100** sunt multiplexate (pentru selecția ieșirii dorite) și apoi despachetate într-un buffer.

Circuitele FIFO permit stocarea temporară a rezultatelor (furnizate la rată foarte mare de **IMS A100**), urmând ca apoi, printr-un transfer DMA ele să fie mutate în memoria calculatorului gazdă.

O problemă delicată este calculul funcțiilor sigmoide caracteristice neuronilor. Ele ar putea fi implementate tabelar în memorii **PROM/EPROM** având capacitatea de 128KO (64Kword) intercalate în lanțul de ieșire după multiplexor și buffere, dar s-a renunțat în final la ele pentru a nu complica excesiv schema, dar mai ales pentru că soluția software echivalentă este suficient de rapidă.

Studiile și simulările efectuate relevă o remarcabilă mărire a vitezei de calcul, în timp ce precizia mai scăzută a calculelor nu afectează semnificativ performanțele globale ale sistemului, iar prețul de cost al circuitelor folosite rămâne destul de modest. Gama de aplicații a sistemului poate fi extinsă și în multe alte domenii (ex. filtre digitale).

16. Algoritmi de gestiune a seturilor de forme de antrenament.

- 16.1. Calculul scorurilor de concidență.
- 16.2. Strategii de adaptare a setului de forme de antrenament
- 16.3. Descrierea algoritmilor.
- 16.4. Detalii de implementare.

Structura setului de antrenare influențează direct performanțele unui clasicator antrenat cu respectivul set de forme.

Cu cât setul de antrenament este mai mare, cu atât limitele de decizie sunt mai precis poziționate și eroarea de clasificare este mai mică. În schimb, timpul de antrenare este oarecum proporțional cu numărul de forme din setul de antrenament și de aceea este mai avantajos din punctul de vedere al timpului consumat un set de antrenament de dimensiuni mici.

Există multe aplicații la care performanțele clasicatorului se pot ameliora în timp prin luarea în considerare a noi forme nerecunoscute sau recunoscute incorect, dar a căror apartenență corectă la clase este clară. Aceasta se întâlnește, de exemplu, în situația când, după o primă antrenare a clasicatorului, verificarea comportării lui pe setul de forme de test furnizează un număr de simboluri nerecunoscute; la acestea se pot adăuga simbolurile nerecunoscute rezultate din exploatarea sistemului.

Practic, s-ar putea adăuga aceste noi forme la setul de antrenament și apoi se reia antrenarea clasicatorului, pentru includerea lor în clasele corespunzătoare. În schimb, în acest fel dimensiunea setului de forme de antrenament poate crește nelimitat, depășind capacitățile de stocare (memorie, disc) curent folosite.

Pentru a evita această situație și a menține limitată dimensiunea setului de antrenament, ideea studiată și apoi folosită este de a înlocui anumite forme din setul de antrenament, forme a căror contribuție la construcția efectivă a clasicatorului este nesemnificativă sau mai puțin importantă cu forme noi, nerecunoscute, și a căror includere în setul de antrenare poate ameliora performanțele clasicatorului.

Problema care apare este care anume forme din setul de antrenament să se elimine în scopul înlocuirii lor cu noile forme.

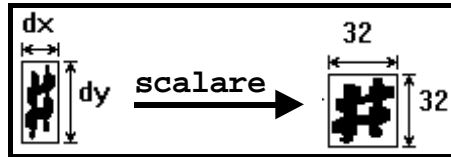
16.1. Calculul scorurilor de concidență.

Prima operație care se impune este construirea *matricii scorurilor de coincidență (similitudine)*. Pot exista mai multe soluții, funcție de modul de extragere și selecție a trăsăturilor. Deoarece în aplicațiile descrise în următoarele trei capitole se folosește o metodă specifică de

extragere a trăsăturilor, ea va fi descrisă sumar în continuare, urmând ca pe baza lor să se discute modalitățile de construcție a matricii scorurilor de coincidență.

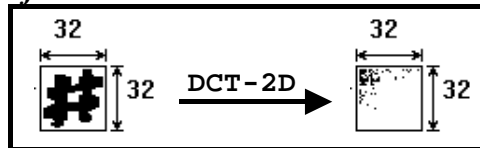
Pentru cazul recunoașterii unor simboluri tipărite (caractere, simboluri muzicale), faza de extragere a trăsăturilor presupune parcurgerea următorilor pași:

a) Scalarea simbolurilor:



Se obține o matrice binară de dimensiune constantă (32x32), conținând imaginea scalată.

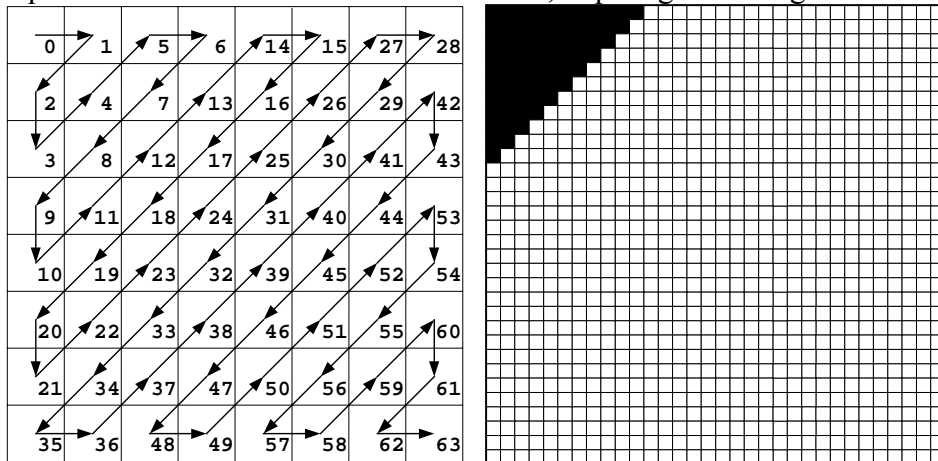
b) Transformata Cosinus Discretă bidimensională:



Această transformare se folosește pentru decorelarea informației existente în matricea scalată, după transformarea DCT bidimensională rezultând o matrice de aceeași dimensiune, cu valori reale, slab corelate. Valorile semnificative ale acestei matrici sunt plasate în colțul din stânga sus.

c) Ordonarea Zig - Zag.

Este o procedură de vectorizare a matricii DCT, după regula din figura de mai jos:



Matrice 8x8 \implies Vector[64];

Matrice 32x32 \implies Vector[1024];

Deoarece DCT bidimensională concentrează informația din imaginea inițială în colțul din stînga sus al matricii rezultate, după ordonarea Zig - Zag aceeași informație va fi regăsită în primele elemente ale vectorului obținut.

d) Selecția trăsăturilor.

Se rețin primele valori din vectorul obținut după pasul precedent, aproximativ cele marcate cu negru în figura de mai sus. Conform afirmațiilor anterioare, aceste elemente concentrează cea mai mare parte din informația din imaginea inițială și ele vor fi folosite în faza de recunoaștere.

Dacă N este mărimea setului de antrenament, scorurile de coincidență S_{KL} reprezintă o matrice $N \times N$ simetrică și cu elementele de pe diagonală nule, deci calculul ei înseamnă calculul a $N(N/2 - 1)$ valori semnificative. Pentru $N = 120$ rezultă 7080 valori. Ele se calculează practic o singură dată și doar se actualizează pe parcursul rulării algoritmului (în pasul 5).

Pentru estimarea scorurilor de coincidență au fost testate mai multe măsuri:

$$S^{(1)}_{KL} = \sum_{I=1}^{32} \sum_{J=1}^{32} |MS^{(K)}[I,J] - MS^{(L)}[I,J]| \quad (1)$$

care reprezintă distanța Hamming între obiectele "K" și "L" (imagini binare scalate - 32x32). Este foarte ușor de calculat, dar prezintă un dezavantaj care rezultă din următoarea figură:



Deși obiectele sunt foarte asemănătoare, un mic zgomot poate afecta mult încadrarea în fereastră, deci și valoarea calculată pentru scorul de coincidență. O expresie mai corectă este:

$$S^{(2)} = \min_{M,N} \left(\sum_{I=1}^{32} \sum_{J=1}^{32} (MS^{(K)}[I,J] - ME^{(L)}[I+M, J+N])^2 \right) \quad (2)$$

care calculează cel mai bun scor de coincidență între simbolul (K) și simbolul (L) translat pe orizontală și verticală. Deoarece prelucrările ulterioare asupra imaginii (DCT) nu sunt invariante la translații, (2) ar putea fi folosită în cazul utilizării unui neocognitron în faza de recunoaștere.

$$S^{(3)}_{KL} = \sum_{I=1}^{32} \sum_{J=1}^{32} (DCT^{(K)}[I,J] - DCT^{(L)}[I,J])^2 \quad (3)$$

reprezintă distanța euclidiană între obiectele "K" și "L" descrise în spațiul transformatei DCT. Este mai greu de calculat, deoarece setul de antrenament este memorat pe calculator sub forma imaginilor binare scalate.

$$S^{(4)}_{KL} = \sum_{I=1}^{66} (Z^{(K)}[I] - Z^{(L)}[I])^2 \quad (4)$$

reprezintă distanța euclidiană între vectorii "K" și "L" rezultați în urma ordonării Zig-Zag. Implică de asemenea un volum mare de calcule, dar se referă exact la valorile care se aplică intrării în clasificator. Pe de altă parte pare mai corectă o ponderare a valorilor $Z^{(K)}[I]$, funcție de contribuția lor la "forma" simbolului, dar nu se pot face decât presupuneri privind valorile acestor ponderi.

16.2. Strategii de adaptare a setului de forme de antrenament

Pentru eliminarea din setul de antrenament a unor forme mai puțin semnificative în scopul înlocuirii lor, pot fi adoptate diferite strategii:

(1). Pentru fiecare clasă ω_i se caută perechea de forme $(X_K^{(i)}, X_L^{(i)})$ pentru care scorul de coincidență $S_{KL}^{(i)}$ este minim. Regula de eliminare a simbolurilor este:

$$\begin{aligned} & \text{IF } S_{KM}^{(i)} < S_{LM}^{(i)}, \forall M \neq K, M \neq L, \text{ THEN} \\ & \quad \text{elimină forma } X_K^{(i)} \\ & \text{ELSE} \\ & \quad \text{elimină forma } X_L^{(i)} \end{aligned} \quad (5)$$

În acest caz rezultă o distribuție cvasiuniformă a formelor din fiecare clasă. Sunt eliminate succesiv formele mai apropiate între ele.

(2). Pentru fiecare clasă ω_i se caută perechea de forme $(X_K^{(i)}, X_L^{(i)})$ pentru care scorul de coincidență $S_{KL}^{(i)}$ este minim. Se calculează apoi distanța $d(X_K^{(i)}, X_M^{(i)})$, $\forall j \neq i$ de la fiecare din formele $X_K^{(i)}$ și $X_L^{(i)}$ la fiecare din formele aparținând celorlalte clase. Regula de eliminare a simbolurilor este:

$$\text{IF } \min_{X_M \in \omega_i} d(X_K^{(i)}, X_M) < \min_{X_M \in \omega_i} d(X_L^{(i)}, X_M), \text{ THEN}$$

elimină forma $X_K^{(i)}$ (6)
ELSE
 elimină forma $X_L^{(i)}$

adică se păstrează acele forme aflate mai aproape de vecinii din alte clase.

Formele din setul de antrenament, fără a fi eliminate din zona centrală a clasei curente, capătă o densitate locală mai mare în apropierea limitelor de decizie.

(3). Pentru fiecare clasă ω_i și fiecare formă $X_K^{(i)}$ se calculează distanța până la vecinul cel mai apropiat aparținând altei clase, adică cel pentru care avem:

$$\min_{X_M \notin \omega_i} d(X_K^{(i)}, X_M) \quad (7)$$

Dintre toate formele clasei ω_i se elimină cea pentru care această distanță este maximă:

$$\max_K \min_{X_M \notin \omega_i} d(X_K^{(i)}, X_M) \quad (8)$$

adică se elimină forma cea mai depărtată de vecinii cei mai apropiați din alte clase.

Ca urmare dispar din setul de antrenament acele forme dispuse către zona centrală a clasei curente, rămânând în setul de antrenament doar acele forme apropiate de limita de decizie între clase.

16.3. Descrierea algoritmilor.

Algoritmul de actualizare a setului de antrenament utilizat începe după o primă antrenare a clasificatorului și include următorii pași:

Algoritmul de optimizare a setului de antrenament

- 1) Marcarea celor "n" simboluri nerecunoscute din setul de test;
- 2) Calculul scorurilor de coincidență S_{KL} pentru perechile (KL) de simboluri din setul de antrenament (metoda 1) sau a distanțelor $d(X_K^{(i)}, X_M)$ menționate mai sus (metodele 2,3).
- 3) Elimină din setul de antrenare "m" simboluri, maximum câte un simbol din fiecare clasă, cele corespunzătoare regulilor de eliminare aferente strategiei alese;
- 4) Înlocuiește simbolurile eliminate cu "m" din simbolurile nerecunoscute; setul de antrenament include acum o parte din simbolurile nerecunoscute detectate;
- 5) Actualizează scorurile de coincidență S_{KL} corespunzătoare celor "n" simboluri nou introduse în setul de antrenament.
- 6) Antrenează clasificatorul (ex. rețea neurală), plecând eventual de la ponderile deja calculate.
- 7) Testare clasificator: dacă numărul "n" de erori detectate devine acceptabil de mic, algoritmul se termină; în caz contrar salt la pasul 3).

Dacă, folosind o rețea neurală, după un număr predeterminat de pași numărul de erori de recunoaștere detectate nu devine suficient de mic, rezultă că rețeaua neurală folosită nu poate "învăța" un număr atât de mare de simboluri, deci ar trebui adăugați neuroni pe primele straturi ale rețelei.

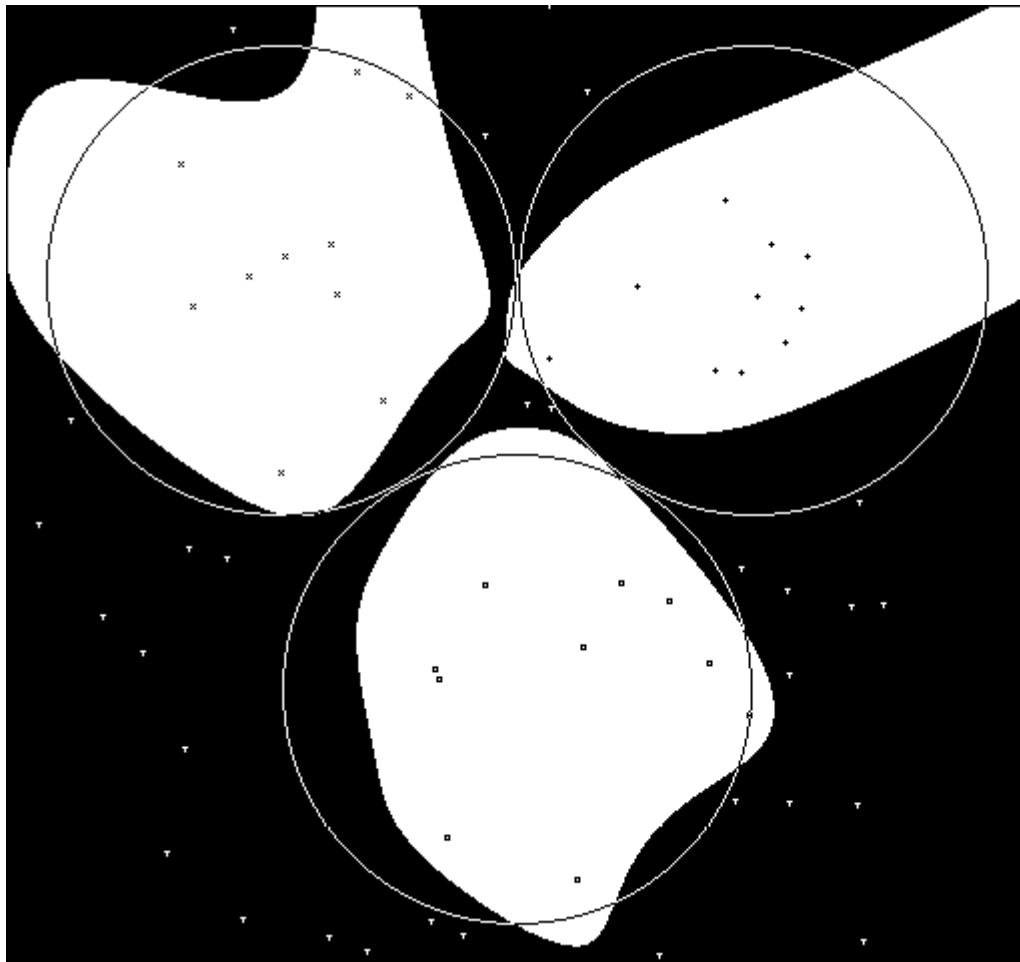
16.4. Detalii de implementare.

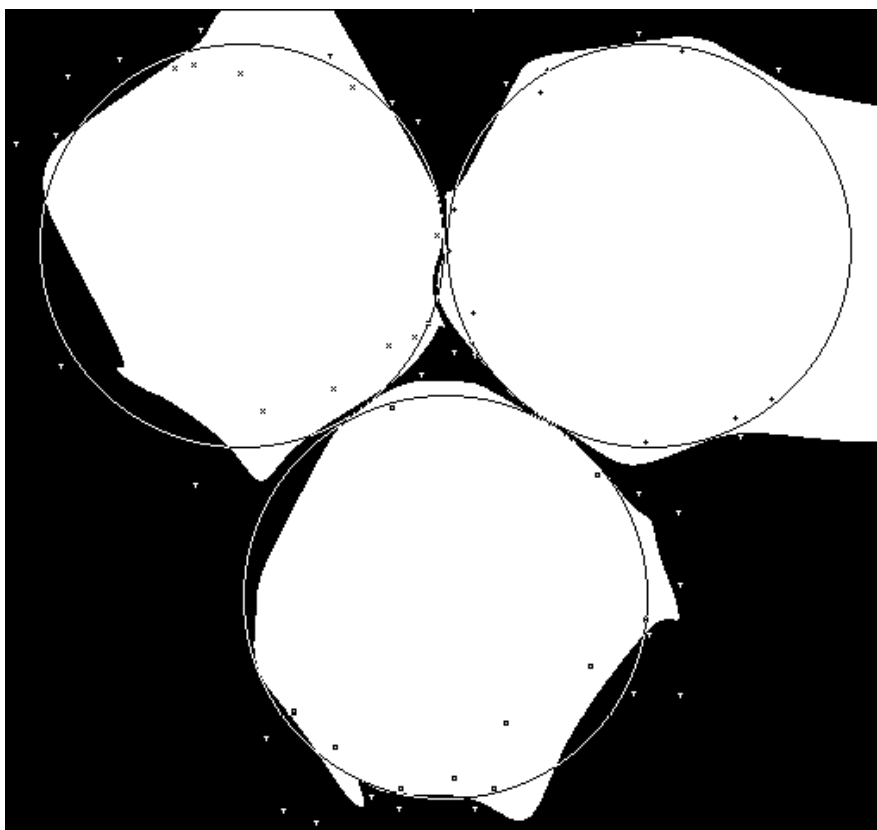
Algoritmii descriși au fost testați pentru cazul existenței a trei clase plus o clasă de rejecție, folosindu-se pentru aceasta o rețea neurală (perceptron cu trei straturi) având doar 18 neuroni (10+5+3). Formele de intrare, câte 10 pentru fiecare clasă și 30 pentru clasa de rejecție

au fost amplasate aleator în interiorul a trei cercuri tangente, cu raze egale, marcate în figurile următoare. Forme de intrare generate la fel și nerecunoscute inițial au fost incluse în setul de antrenare, după eliminarea unor forme deja existente în set. Formele sunt generate cu distribuție normală și dispersie 0.4 la o rază a claselor de 0.5 .

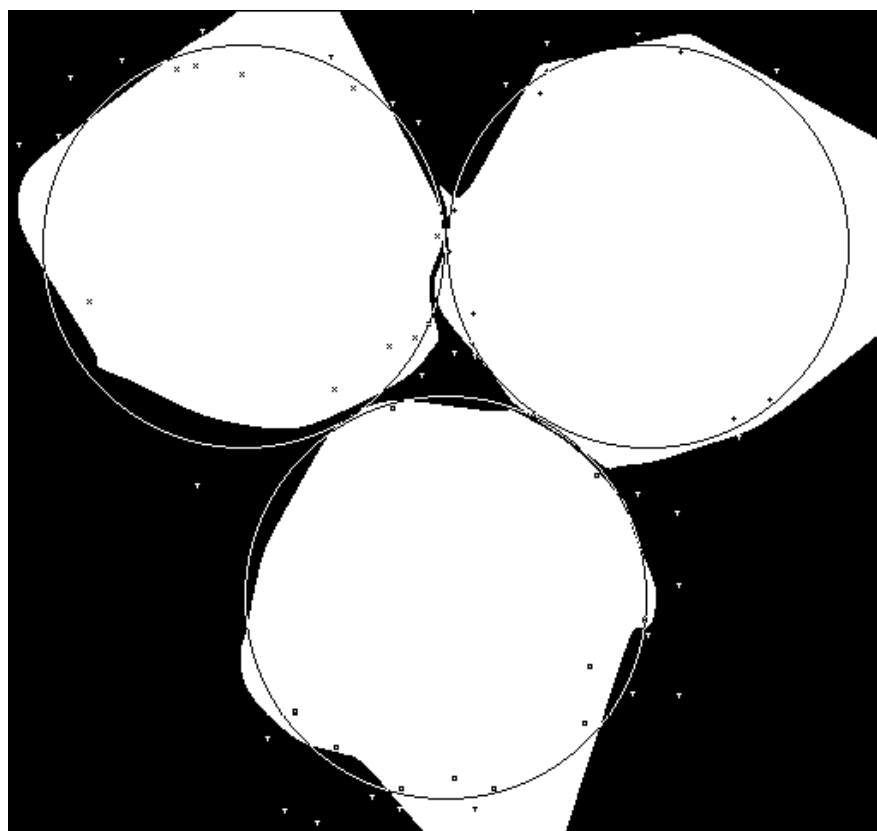
Se remarcă în figura următoare faptul că după prima antrenare a rețelei, limitele de decizie obținute sunt total nesatisfăcătoare, datorită numărului mic de forme din setul de antrenament.

După șase și respectiv șapte iterații, structura obținută a claselor s-a ameliorat mult și se îmbunătățește continuu.





```
NORMAL  
SET= 10  
VAR=0.40  
err= 3  
ETA=0.35  
ALP=0.70  
STP=10000  
ITR= 6
```



```
NORMAL  
SET= 10  
VAR=0.40  
err= 4  
ETA=0.35  
ALP=0.70  
STP=10000  
ITR= 7
```

17. Recunoașterea obiectelor imagistice cu invarianțe specificate.

- 17.1. Segmentarea.
- 17.2. Localizarea obiectelor în imagine.
- 17.3. Invarianța la condițiile de iluminare.
- 17.4. Transformarea din coordonate carteziane în coordonate polare.
- 17.5. Transformarea inversă: coordonate polare-coordonate carteziane.
- 17.6. Scalarea și invarianța la rotații.
- 17.7. Extragerea trăsăturilor din imagine.
- 17.8. Momentele Zernike.
- 17.9. Rezultate obținute, detalii de implementare.

Studiul de față are drept scop final realizarea unor studii comparative privind unele metode de recunoaștere a obiectelor imagistice. O problemă care apare destul de des este recunoașterea obiectelor dintr-o imagine indiferent de mărimea (distanța față de observator) și orientarea lor.

Imaginile luate cu o cameră de luat vederi sunt prelucrate de un sistem software construit în acest scop, urmărindu-se într-o primă fază extragerea unor trăsături invariante la translație, rotație și scalare pentru fiecare obiect care a fost depistat în imagine. Se propun două metode, una bazată pe transformarea imaginii în coordonate polare, cealaltă pe calculul momentelor Zernike.

Sunt luate în considerare și unele metode de realizare a invarianței la condițiile de iluminare, utilizându-se o transformare care furnizează o imagine cu luminozitate și contrast aproximativ constante.

Pentru faza de recunoaștere este utilizat un clasificator neural implementat cu un perceptron multistrat. Construirea acestui clasificator se face prin program, definindu-se în prealabil o bază de date de trăsături extrase din obiecte având diferite orientări, drept set de antrenament. Pentru testarea clasificatorului se folosește un alt set de obiecte din care s-au extras trăsăturile cu exact aceeași metodă.

Metodele folosite pot fi folosite într-o gamă largă de aplicații și de aceea se are în vedere continuarea studiilor pentru:

- perfecționarea algoritmilor de segmentare folosiți;
- implementarea unor metode mai eficiente de localizare a obiectelor de formă cunoscută dintr-o imagine, folosind transformata Hough;
- optimizări de viteză;
- studiul numărului necesar de trăsături de extras raportat la complexitatea problemei.

] Sunt prezentate în acest studiu etapele parcurse pentru construcția unui sistem-test de recunoaștere a obiectelor imagistice în condiții de invarianță la translație, scalare și rotație. Pașii de parcurs sunt explicați în detaliu, iar în finalul raportului este dată o prezentare a programului de test care implementează algoritmi descriși.

Exemplele prezentate sunt extrase dintr-o aplicație de recunoaștere a numărului de serie înscris pe anumite ceasuri de mână. Exemple de imagini analizate de această aplicație sunt prezentate în continuare:

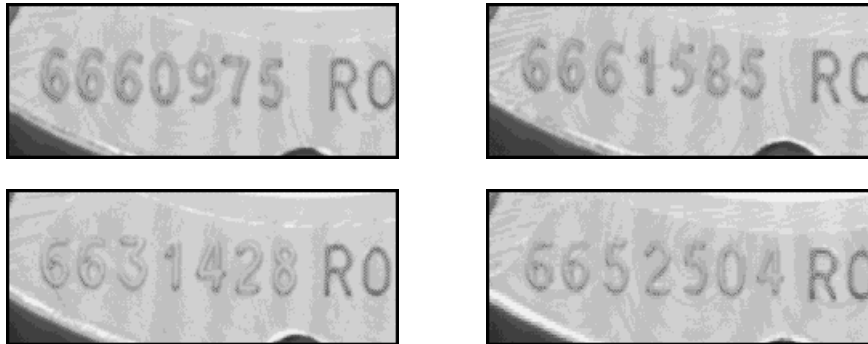


Fig. 1. Imagini ale numărului serial al ceasurilor.

17.1. Segmentarea

Segmentarea este un proces de partiționare a imaginii digitizate în submulțimi, prin atribuirea pixelilor individuali la aceste submulțimi (denumite și clase), rezultând obiectele distincte din scenă.

Algoritmii de segmentare se bazează, în general, pe două principii de bază:

- discontinuitate, având ca principală metodă detecția conturului;
- similitudine, cu metoda pragului și metoda regiunilor, cele mai utilizate.

1) *Detecția conturului.*

Un operator de contur este un operator matematic, cu o extindere spațială mică, pentru a putea determina existența unui contur local în funcția imagine. Există diferite tipuri de operatori de contur, în funcție de aplicație, dar proprietatea care-i unește este faptul că determină direcția schimbării intensității maxime a nivelului de gri și modulul, care dă severitatea acestei schimbări.

Utilizarea măștilor de convoluție spațială care baleiază întreaga imagine pixel cu pixel, calculând o mărime proporțională cu discontinuitatea existentă în porțiunea de imagine aflată sub mască constituie cei mai simpli și rapizi asemenea operatori de detecție a conturilor.

2) *Metoda pragului.*

Pentru cele mai multe imagini sunt puține locuri unde modulul gradientului este zero, datorită prezenței zgomotului în imagine. Din acest motiv se utilizează o metodă mai expeditivă, cea a pragului, care considera un element de contur în punctul de coordonate (i,j) dacă funcția $f(i,j)$ este mai mare decât un prag. Obținerea unor bune rezultate cu această metodă depinde de alegerea pragului.

3) *Metoda regiunilor.*

Segmentarea iterativă sau segmentarea prin tehnici de relaxare este o metodă care folosește procedee probabilistice de clasificare în fiecare punct, în paralel la fiecare iterație. Procesul de relaxare este conceput pentru a aduce nivelele de gri spre capetele opuse ale scării de gri astfel încât pragul T să devină o problemă banală. Acest tip de procesare este fundamental în aria analizei automate de scene sau a recunoașterii de modele, unde una dintre dorințe este de a folosi mașina pentru a extrage date detaliate despre conținutul imaginii la nivel de obiect. Obiectivul tehnicii de segmentare este de a partiționa o imagine dată în regiuni sau componente.

specificate.

De exemplu, pentru o imagine derivată dintr-o scena tridimensională, obiectivul segmentării poate fi identificarea regiunilor corespunzătoare obiectelor din scenă.

Putem considera segmentarea ca o problemă punctuală sau regională, ambele legate de procesul în cauză. În prima categorie intră metodele care se bazează pe examinarea imaginii pixel cu pixel. În a doua categorie, așa cum implică și denumirea, intră metodele care se bazează pe utilizarea informațiilor din imagine în prescrierea vecinătăților. În ambele cazuri putem vedea problema ca o luare de decizie în procesul de recunoaștere a modelelor, ale cărui obiective sunt stabilite în limitele unor regiuni.

Segmentarea scenelor diferă de celelalte probleme de recunoaștere prin câteva proprietăți. Una din cele mai importante diferențe este că după ce am obținut soluția, regiunile dintr-o imagine pot fi vizualizate, iar apoi verificate la un mare nivel de acuratețe. În mod uzual este oricând posibil să suprapunem rezultatele segmentării cu originalul pentru a putea determina eficacitatea metodei. Prima operație este de a localiza granițele sau marginile regiunilor. A doua operație este de a grupa punctele în regiuni similare, cu alte cuvinte chiar determinarea hotarelor. Cele două metode sunt similare și le-am putea defini ca exprimate în puncte sau ca intersecție a două suprafețe.

În situațiile în care este cerută setarea automată a pragului, această problemă revine la a caracteriza o histogramă dată într-un mod invariant.

Presupunem că este știut aprioric că imaginea conține două regiuni principale. Dacă forma densităților de probabilitate este cunoscută atunci este posibil să determinăm un prag optim (în direcția unei erori minime) pentru segmentarea imaginii în două regiuni diferite de strălucire.

Presupunem că imaginea conține două valori combinate cu un zgomot aditiv Gaussian. Funcția de densitate probabilă a mixturii este dată de:

$$p(x) = P_1 p_1(x) + P_2 p_2(x) \quad (1)$$

și pentru cazul Gaussian :

$$p(x) = \frac{P_1}{\sqrt{2\pi}\sigma_1} \exp\left(-\frac{(x-\mu_1)^2}{2\sigma_1^2}\right) + \frac{P_2}{\sqrt{2\pi}\sigma_2} \exp\left(-\frac{(x-\mu_2)^2}{2\sigma_2^2}\right) \quad (2)$$

unde: μ_1 și μ_2 sunt valorile medii ale celor două nivele de strălucire,

σ_1 și σ_2 sunt deviațiile standard de la medie,

P_1 și P_2 sunt probabilitățile nivelelor.

Având în vedere faptul că relația următoare este satisfăcută automat:

$$P_1 + P_2 = 1 \quad (3)$$

în formulă avem cinci parametri necunoscuți. Deci dacă toți parametrii ar fi cunoscuți atunci pragul optim ar fi ușor de determinat.

Presupunem că regiunea întunecată corespunde fondului iar regiunea mai strălucitoare corespunde obiectelor. În acest caz $\mu_1 < \mu_2$ și vom defini pragul T astfel încât să considerăm că toți pixelii cu nivelul de gri aflat sub pragul T fac parte din punctele fondului, iar toți pixelii care au nivelul de gri peste pragul T fac parte din obiecte.

Probabilitatea clasificării eronate a punctelor din cadrul unui obiect ca fiind puncte din fond este:

$$E_1(T) = \int_{-\infty}^T p_2(x) dx \quad (4)$$

Similar, probabilitatea clasificării unui punct de fond ca fiind punct-obiect este:

$$E_2(T) = \int_T^{\infty} p_1(x) dx \quad (5)$$

De aici eroarea totală probabilă este:

$$E(T) = P_2 E_1(T) + P_1 E_2(T) \quad (6)$$

Pentru a găsi acea valoare a pragului pentru care această eroare este minimă, va trebui să diferențiem $E(T)$ relativ la T (folosind regula lui Leibnitz) și să egalăm rezultatul cu zero:

$$P_1 p_1(T) = P_2 p_2(T) \quad (7)$$

Deoarece zgomotul afectează în mod egal atât fondul cât și obiectele, avem $\sigma^2 = \sigma_1^2 = \sigma_2^2$ și atunci:

$$T = \frac{\mu_1 + \mu_2}{2} + \frac{\sigma^2}{\mu_2 - \mu_1} \ln \frac{P_1}{P_2} \quad (8)$$

Dacă probabilitățile sunt egale $P_1 = P_2$, atunci pragul optim este chiar media. În capitolul 6 este prezentată o metodă grafică de determinare a parametrilor formulei anterioare și depistare automată a pragului optim.

În capitolul 18 este prezentată o implementare foarte robustă, bazată pe prelucrarea vectorului histogramă folosind filtre nerecursive. Filtrul este aplicat succesiv de mai multe ori, până când histograma devine clar bimodală, după care pragul se obține imediat folosind o formulă deviată din cea precedentă.

În practică, dacă aplicația studiată permite obținerea unor informații suplimentare, se pot utiliza metode mai puțin sofisticate. Astfel, dacă se cunoaște sau poate fi estimat raportul R între aria obiectelor din imagine și aria fondului, atunci pragul de segmentare dorit este dat de primul nivel de gri (ordine crescătoare) de la $0[negru]$ la $N-1[alb]$, de obicei 256] pentru care este îndeplinită următoarea inegalitate:

$$\sum_{j=1}^{T-1} H[j] / \sum_{j=T}^N H[j] > R \quad (9)$$

O asemenea metodă, foarte rapidă, a fost folosită în implementarea aplicației de recunoaștere a numărului de serie a ceasurilor de mână.

17.2. Localizarea obiectelor într-o imagine.

Scopul acestei operații este de a localiza obiectele dintr-o scenă pentru a putea fi apoi supuse ori altor prelucrări ori unor transformări de imagine (de exemplu scalări, invariante la rotații, translații, etc.).

În principiu această metodă se bazează pe găsirea zonelor de contact între fondul imaginii și obiectul-imagine. În studiu s-a folosit această tehnică după realizarea segmentării, obținând o separare precisă a fondului de obiecte.

Presupunem că asociem fondului codul 1, iar obiectului- imagine codul 0. Problema ar reveni la a determina perechile de pixeli $(1,0)$ și a marca pixelii de graniță ai obiectului.

Algoritmul ce se poate folosi este următorul:

Algoritm de localizare obiecte.

- (1). Se baleiază imaginea linie cu linie până se găsește perechea de pixeli $(1,0)$, în care pixelul obiect este denumit pixel de start: (x_s, y_s) ;
- (2). Se baleiază pixelii vecini până când se determină un alt pixel obiect, folosind pentru aceasta următoarea matrice de căutare :

7	0	1
6	C	2
5	4	3

unde: C = este pixelul de căutare vechi;

1, ..., 7 = direcțiile corespunzătoare după care fac căutarea.

specificate.

Acestor direcții li se asociază doi vectori de direcție care reprezintă incrementii pentru abscisa și ordonata pixelului curent.

Vectorul incrementilor coordonatei x pentru pixelul de căutare este:

$$V_x = [0, 1, 1, 1, 0, -1, -1, -1]$$

Vectorul incrementilor coordonatei y pentru pixelul de căutare este:

$$V_y = [-1, -1, 0, 1, 1, 1, 0, -1]$$

Noul pixel găsit devine pixel actual și este marcat. În același timp se rețin valorile actualizate pentru minimele și respectiv maximele lui x, y .

(3). Stop când pixelul curent coincide cu pixelul de start, adică:

$$xc = xs, yc = ys$$

În cazul existenței mai multor obiecte în scena respectivă, se caută un alt obiect, aceasta revenind la găsirea unei alte perechi de pixeli de tipul $(1, 0)$.

În program s-a folosit și testul de pixel izolat, care se bazează tot pe căutarea după matricea de direcții. În plus, tehnica standard de conturare este de a determina toate zonele de graniță $(1, 0)$, apoi se elimină acele zone din interiorul obiectelor mari. În studiu s-a folosit o variantă a acestei metode fără a mai căuta conturul interior al obiectelor deja localizate.

În multe cazuri, în lista obiectelor localizate apar și obiecte a căror analiză nu se dorește. De aceea trebuie proiectat, cel mai adesea pe baze euristice, un selector de obiecte utile – numit adesea și *filtru logic* sau *filtru euristic*. Folosind cel mai adesea criterii dimensionale (lungime, lățime, arie, perimetru, raport de sveltețe, etc.) se selectează din mulțimea obiectelor localizate pe acelea care vor face obiectul operației propriu-zise de recunoaștere.

Un asemenea filtru logic va fi descris în capitolul 18, criterii asemănătoare de selecție fiind aplicate și în cazul aplicației de recunoaștere a numărului serial marcat pe ceasuri de mână.

17.3. Invarianța la condițiile de iluminare.

Urmând modelul reglajului automat al amplificării existent în orice camera TV (și nu numai), se poate construi o transformare punctuală care, aplicată tuturor pixelilor din zona de interes (de obicei numai pixelilor obiectului de recunoscut, determinarea cărora s-a făcut prin segmentare și apoi parcurgerea conturilor lor) astfel încât să se asigure o luminozitate globală constantă.

Problema se poate traduce matematic prin setarea mediei și dispersiei variabilei aleatoare atașate nivelului de gri al pixelilor obiectului la valori prestabilite. Media și respectiv dispersia sunt date de:

$$m_\theta = \frac{1}{M_\theta} \sum_{(x,y) \in \theta} f(x,y) \quad (10)$$

$$\sigma_\theta^2 = \frac{1}{M_\theta} \sum_{(x,y) \in \theta} [f(x,y) - m_\theta]^2 \quad (11)$$

unde: - θ este mulțimea pixelilor obiectului a cărui invarianță la iluminare se urmărește;
- M_θ este numărul pixelilor corespunzători acestui obiect θ .

Atunci variabila aleatoare:

$$\bar{f}(x,y) = f(x,y) - m_\theta, (x,y) \in \theta \quad (12)$$

are media nulă și dispersia neschimbată,

$$\tilde{f}(x,y) = \frac{f(x,y) - m_\theta}{\sigma_\theta^2}, (x,y) \in \theta \quad (13)$$

este o variabilă aleatoare cu media nulă și dispersia unitară, iar:

$$\tilde{f}(x,y) = \frac{f(x,y) - m_{\theta}}{\sigma_{\theta}^2} + q, (x,y) \in \Theta \quad (14)$$

reprezintă o variabilă aleatoare cu media "q" și dispersie unitară. Constanta "q" se alege de obicei la mijlocul gamei dinamice a nivelelor de gri cu care se lucrează (ex. $q=128$).



Fig. 2. Invarianța la condițiile de iluminare.

O altă modalitate de asigurare a invarianței la condițiile de iluminare este egalizarea histogramei nivelelor de gri corespunzătoare pixelilor obiectului. Fiind mai complexă decât precedenta soluție, se folosește destul de rar.

17.4. Transformarea din coordonate carteziene în coordonate polare.

După ce s-a realizat localizarea într-un dreptunghi de arie minimă a obiectelor din imagine folosind imaginea binară, se localizează centrul de greutate al acestor obiecte și se determină raza minimă a cercului de încadrare (circumscribit), având centrul în centrul de greutate al obiectelor. Coordonatele centrului de greutate sunt date de următoarele formule:

$$X_G = \frac{\sum_{i=x_{min}}^{x_{max}} \sum_{j=y_{min}}^{y_{max}} x_i * f(x_i, y_j)}{\sum_{i=x_{min}}^{x_{max}} \sum_{j=y_{min}}^{y_{max}} f(x_i, y_j)}, \quad Y_G = \frac{\sum_{i=x_{min}}^{x_{max}} \sum_{j=y_{min}}^{y_{max}} y_i * f(x_i, y_j)}{\sum_{i=x_{min}}^{x_{max}} \sum_{j=y_{min}}^{y_{max}} f(x_i, y_j)} \quad (15)$$

Raza de încadrare se obține parcurgând iarăși conturul și determinând distanța maximă față de centrul de greutate.

Realizarea adițională a acestei operații asigură invarianța la translație, prin raportarea ulterioară a tuturor coordonatelor la centrul de greutate al fiecărui obiect din imagine.

Aproape orice transformare geometrică a unei imagini se realizează aplicând în final o interpolare liniară în două dimensiuni. Prin aceasta dorim să găsim o estimare a lui $G(x_1, x_2, \dots, x_n)$, pentru fiecare din variabilele independente x_1, x_2, \dots, x_n .

Pentru cazul particular al trecerii în coordonate polare avem:

$$\begin{cases} r = \sqrt{x^2 + y^2} \\ \theta = \arctg(y/x) \end{cases} \quad \begin{cases} x = r \cos \theta \\ y = r \sin \theta \end{cases} \quad (16)$$

Având o matrice $f(j,k)$, unde $j=1..m; k=1..n$ și funcțiile r și s , relația dintre aceste valori de intrare și funcția $f(r,s)$ este:

$$G(j,k) = f[r(j), s(k)] \quad (17)$$

Scopul este să estimăm prin interpolare valoarea funcției în câteva puncte (r,s) . Grila pătratică de reprezentare a imaginii în coordonate carteziene face ca punctul (r,s) din matricea polară să aibă corespondent un punct localizat prin indecși neîntregi, deci în afara grilei carteziene. Totuși, el este înconjurat de patru puncte ale acestei grile cunoscute. Deci mai precis, dacă:

$$r(j) \leq r \leq r(j+1) \quad \text{și} \quad s(k) \leq s \leq s(k+1) \quad (18)$$

și având j, k :

specificate.

$$\begin{aligned} g_1 &\equiv \mathbf{G}(j,k); & g_2 &\equiv \mathbf{G}(j+1,k); \\ g_3 &\equiv \mathbf{G}(j,k+1); & g_4 &\equiv \mathbf{G}(j+1,k+1); \end{aligned} \quad (19)$$

Interpolarea liniară se obține cu:

$$\begin{aligned} t &\equiv [r - r(j)] / [r(j+1) - r(j)] \\ u &\equiv [s - s(k)] / [s(k+1) - s(k)] \end{aligned} \quad (20)$$

cu u, t între 0 și 1:

$$\mathbf{G}(x_1, x_2) = (1-t)(1-u)g_1 + t(1-u)g_2 + (1-t)ug_3 + tug_4 \quad (21)$$

În prelucrarea de imagini aceasta are ca efect regăsirea fiecărui sector din cercul de încadrare al imaginii-obiect în linia corespunzătoare matricii transformatei polare.

17.5. Transformarea inversă: coordonate polare-coordonate carteziane

Se procedează astfel: se pleacă de la punctele din imaginea originală și în funcție de poziționarea acestora față de centrul de greutate al obiectului-imagini, se găsește poziția valorii corespondente în matricea transformării polare. Ca și în cazul precedent, se poate aplica o interpolare, de obicei liniară.

17.6. Scalarea și invarianța la rotații.

Scalarea este realizată dacă în transformarea din coordonate carteziane în coordonate polare este respectată condiția ca raza maximă (devenită ordonată maximă) a matricii transformării în coordonate polare să fie constantă pentru toate obiectele. În programul realizat se consideră raza polară ca fiind egală cu 32, regăsită în numărul de linii ale matricii polare.

Această matrice reprezintă spațiul coordonatelor polare în care originea este în $(0,0)$, axa unghiurilor este abscisa, iar axa razelor este ordonata. Având în vedere că raza este tot timpul 32 avem de-a face într-adevăr cu o scalare.

Se folosesc valorile estimate pentru valorile discrete:

$$f_n \equiv \frac{n}{N\Delta}, n = -\frac{N}{2}, \dots, \frac{N}{2} \quad (22)$$

Următorul pas este de a calcula transformata Fourier discretă a liniilor matricii transformării polare:

$$H_n \equiv \sum_{k=0}^{N-1} h_k e^{2\pi j k n/N} \quad (23)$$

Ultima sumare este transformata Fourier discretă a N puncte h_k . Transformata Fourier operează asupra a N numere complexe (h_k -urile) și furnizează N numere complexe (H_n -urile).

Pentru a putea face transformata pentru un set de numere reale se împărțe setul de date în două subseturi luând numerele cu index **par** f_j pentru un set, iar numerele cu index **impar** f_j pentru celălalt set. *Puterea acestui artificiu consta în faptul că putem vedea vectorul real de intrare ca o arie de numere complexe cu dimensiunea la jumătate.* Cu alte cuvinte putem considera:

$$h_j = f_{2j} + i f_{2j+1}, \text{ pentru } j = 0, \dots, N/2-1 \quad (24)$$

Vom aplica asupra acestora algoritmul FFT, care returnează un vector complex:

$$H_n = F_n^e + j F_n^o, n = 0, \dots, N/2-1 \quad (25)$$

cu:

$$F_n^e = \sum_{k=0}^{N/2-1} f_{2k} e^{2\pi j k n/(N/2)} \quad \text{și} \quad F_n^o = \sum_{k=0}^{N/2-1} f_{2k+1} e^{2\pi j k n/(N/2)} \quad (26)$$

Pentru a obține invarianța la rotație calculăm **modulul transformatei Fourier** deoarece o rotație în spațiul cartezian $f(x,y)$ se regăsește în spațiul (r,f_i) , al transformării polare ca o translație și atunci transformata Fourier a acestei mișcări este:

$$\tilde{F}\{f(x-x_0)\} = \tilde{F}\{f(x)\} * e^{-jx_0} \quad (27)$$

Având în vedere că $|e^{-jx_0}| = 1$ și aplicând modulul obținem egalitate între modulul translației în (r,f_i) și funcția netranslată.

17.7. Extragerea trăsăturilor din imagine.

În urma scalării și a prelucrărilor pentru a realiza invarianța la rotație se obține o matrice de dimensiune constantă $(32 * 32)$, conținând informațiile procesate din imaginea primară.

Pașii ce urmează a fi făcuți sunt următorii:

a) Transformata Cosinus Discretă.

Deoarece implementarea transformării optimale Karhunen-Loeve (**KL**) este dificilă, modelând intrarea $\{X\}$ cu un proces Markov de ordinul unu, cea mai bună aproximare a transformării **KL** discretă este **DCT** (Transformata Cosinus Discretă). Această modelare nu este foarte restrictivă și se poate folosi cu succes în multe aplicații.

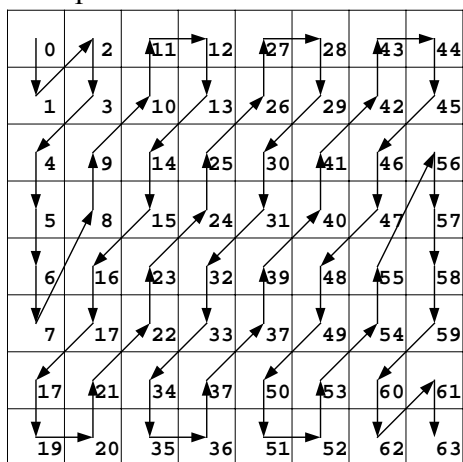
Pentru calculul **DCT** există nu numai algoritmi rapizi de calcul, ci și circuite specializate de mare viteză. Pentru cazul bidimensional se folosește:

$$F(u,v) = \frac{1}{2N} \sum_{j=0}^{N-1} \sum_{k=0}^{N-1} f(j,k) \cos\left(\frac{\pi u j}{N}\right) \cos\left(\frac{\pi v k}{N}\right) \quad (28)$$

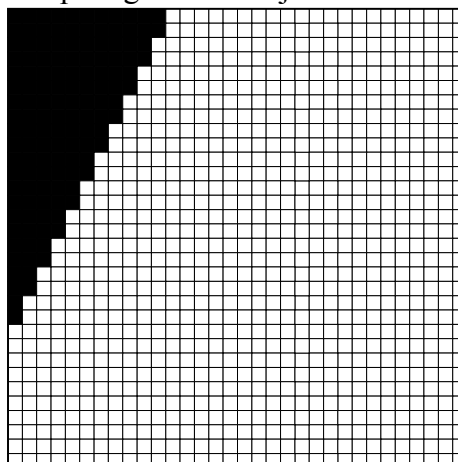
rezultând o matrice de aceeași dimensiune, cu valori reale slab corelate. Valorile semnificative ale acestei matrici sunt plasate în colțul din stânga sus.

b) Ordonarea Zig - Zag modificată.

Este o procedură de vectorizare a matricii DCT după regula de mai jos:



Mat [8][8] ==> Z[64]



Mat [D][D] ==> Z[D*D]

Deoarece **DCT** bidimensională concentrează informația din imaginea inițială în colțul din stânga sus al matricii rezultate, după ordonarea în Zig-Zag aceeași informație va fi regăsită în primele elemente ale vectorului obținut. Forma specifică a "colțului" în care se concentrează informațiile semnificative se datorează transformării Fourier (FFT) efectuate anterior asupra liniilor matricii, transformare care prezintă și ea proprietăți de decorelare, însă mai slabe decât DCT.

specificate.

c) Se rețin primele F valori din vectorul $Z[D^*D]$, adică doar o fracțiune din valori, cele marcate cu negru în figura de mai sus. Conform afirmațiilor anterioare, aceste elemente concentrează cea mai mare parte din informația din imaginea inițială și ele vor fi folosite în faza de recunoaștere.

Acest bloc funcțional elimină trăsăturile care sunt neimportante în faza de recunoaștere. Ieșirile lui sunt aplicate la intrarea **clasificatorului neural**, descris mai amănunțit în capitolul precedent.

Obiectivul antrenării rețelei neurale este de a ajusta ponderile astfel încât aplicarea unui set de intrări să producă ieșirea dorită. Vom denumi seturile de intrări-ieșiri vectori. Antrenarea atribuie fiecărui vector de intrare un vector pereche denumit vector țintă și care reprezintă ieșirea dorită. Acestea amândouă sunt denumite "perechea de antrenare".

Uzual o rețea este antrenată după un anumit număr de perechi de antrenare, iar grupul perechilor de antrenare este denumit "set de antrenare". Înainte de a începe procesul de antrenare, toate ponderile trebuie să fie inițializate la valori aleatoare mici. Aceasta ne asigură că rețeaua nu este saturată prin valori mari ale ponderilor, și ne asigură că nu mai apar și alte defecte de antrenare (de exemplu dacă toate ponderile de start au valori egale iar performanțele dorite cer valori neegale, atunci rețeaua nu va învăța).

17.8. Momentele Zernike.

Drept variantă alternativă a algoritmului descris anterior se prezintă în continuare un tip special de momente ce prezintă proprietatea de invarianță la rotație. Momentele au fost utilizate încă de la început drept trăsături într-un mare număr de aplicații. Momentele regulate au fost cele mai populare, ele fiind definite prin:

$$m_{pq} = \int_{-\infty}^{+\infty} \int_{-\infty}^{+\infty} x^p y^q f(x,y) dx dy \quad (29)$$

unde "p" și "q" indică ordinul momentului respectiv. Pentru imagini digitale, momentul se calculează prin:

$$m_{pq} = \sum_x \sum_y x^p y^q f(x,y) \quad (30)$$

Momentele Zernike se definesc pe un domeniu egal cu interiorul cercului unitate:

$$x^2 + y^2 = 1 \quad (31)$$

Pentru construcția lor se definește mai întâi un set de polinoame ortogonale, notate:

$$V_{nm}(x,y), \text{ cu } n-|m| \text{ par și } |m| < n, \quad (32)$$

Expresia de definiție a lor este:

$$V_{nm}(x,y) = V_{nm}(\rho, \theta) = R_{nm}(\rho) \exp(jm\theta) \quad (33)$$

unde:

$$R_{nm}(\rho) = \sum_{s=0}^{(n-|m|)/2} (-1)^s \frac{(n-s)!}{s![(n+|m|)/2-s]![(n-|m|)/2-s]!} \rho^{n-2s} \quad (34)$$

Se poate remarca faptul că:

$$R_{n,-m}(\rho) = R_{nm}(\rho) \quad (35)$$

Aceste polinoame $\{V_{nm}(x,y)\}$ fiind ortogonale, satisfac condițiile de ortogonalitate:

$$\iint_{x^2+y^2 \leq 1} [V_{nm}(x,y)]^* V_{pq}(x,y) dx dy = \frac{\pi}{n+1} \delta_{np} \delta_{mq} \quad (36)$$

unde:

$$\delta_{ab} = \begin{cases} 1, & \text{pentru } a = b \\ 0, & \text{pentru } a \neq b \end{cases} \quad (37)$$

Momentele Zernike sunt proiecții ale funcției imagine pe această bază ortogonală. Presupunând că $f(x,y) = 0$ în afara cercului unitate, avem momentul Zernike de ordinul $n + m$:

$$A_{nm} = \frac{n+1}{\pi} \iint_{x^2+y^2 \leq 1} f(x,y) V_{nm}^*(\rho, \theta) dx dy \quad (38)$$

Pentru cazul discret, momentul Zernike de același ordin se scrie:

$$A_{nm} = \frac{n+1}{\pi} \sum_x \sum_y f(x,y) V_{nm}^*(\rho, \theta), \text{ cu } x^2 + y^2 \leq 1 \quad (39)$$

Cunoscând momentele Zernike, se poate efectua transformarea inversă, care permite reconstrucția imaginii inițiale cu precizie din ce în ce mai mare pe măsură ce "n" crește:

$$\tilde{f}(x,y) = \sum_{n=0}^{n_{max}} \sum_m A_{nm} V_{nm}(\rho, \theta) \quad (40)$$

Descompunând această expresie în:

$$\tilde{f}(x,y) = \sum_{n=0}^{n_{max}} \sum_{m<0} A_{nm} V_{nm}(\rho, \theta) + \sum_{n=0}^{n_{max}} \sum_{m \geq 0} A_{nm} V_{nm}(\rho, \theta) \quad (41)$$

și folosind o proprietate enunțată anterior, putem scrie:

$$\tilde{f}(x,y) = \sum_{n=0}^{n_{max}} \sum_{m>0} A_{-n,-m} V_{-n,-m}(\rho, \theta) + \sum_{n=0}^{n_{max}} \sum_{m \geq 0} A_{nm} V_{nm}(\rho, \theta) \quad (42)$$

adică:

$$\tilde{f}(x,y) = \sum_{n=0}^{n_{max}} \sum_{m>0} A_{nm}^* V_{nm}^*(\rho, \theta) + \sum_{n=0}^{n_{max}} \sum_{m \geq 0} A_{nm} V_{nm}(\rho, \theta) \quad (43)$$

Cele două sume pot fi acum unificate scriind:

$$\tilde{f}(x,y) = A_{n0} V_{n0}(\rho, \theta) + \sum_{n=0}^{n_{max}} \sum_{m>0} [A_{nm}^* V_{nm}^*(\rho, \theta) + A_{nm} V_{nm}(\rho, \theta)] \quad (44)$$

Deoarece este mai ușor de operat cu numere reale vom descompune numerele complexe din formula anterioară:

$$\begin{aligned} \tilde{f}(x,y) = & [\text{Re}(A_{n0}) - j \text{Im}(A_{n0})] V_{n0}(\rho, \theta) + \\ & + \sum_{n=0}^{n_{max}} \sum_{m>0} [[\text{Re}(A_{nm}) - j \text{Im}(A_{nm})] R_{nm}(\rho) (\cos m\theta - j \sin m\theta) + \\ & + [\text{Re}(A_{nm}) + j \text{Im}(A_{nm})] R_{nm}(\rho) (\cos m\theta + j \sin m\theta)] \end{aligned} \quad (45)$$

Efectuând calculele rezultă expresia:

$$\tilde{f}(x,y) = \frac{1}{2} C_{n0} R_{n0}(x,y) + \sum_{n=0}^{n_{max}} \sum_m [C_{nm} \cos m\theta + S_{nm} \sin m\theta] R_{nm}(x,y) \quad (46)$$

în care

$$C_{nm} = 2 \text{Re}(A_{nm}) \quad \iff \quad C_{nm} = \frac{2n+2}{\pi} \sum_x \sum_y f(x,y) R_{nm}(x,y) \cos m\theta \quad (47)$$

și:

$$S_{nm} = -2 \text{Im}(A_{nm}) \quad \iff \quad S_{nm} = \frac{-2n-2}{\pi} \sum_x \sum_y f(x,y) R_{nm}(x,y) \sin m\theta \quad (48)$$

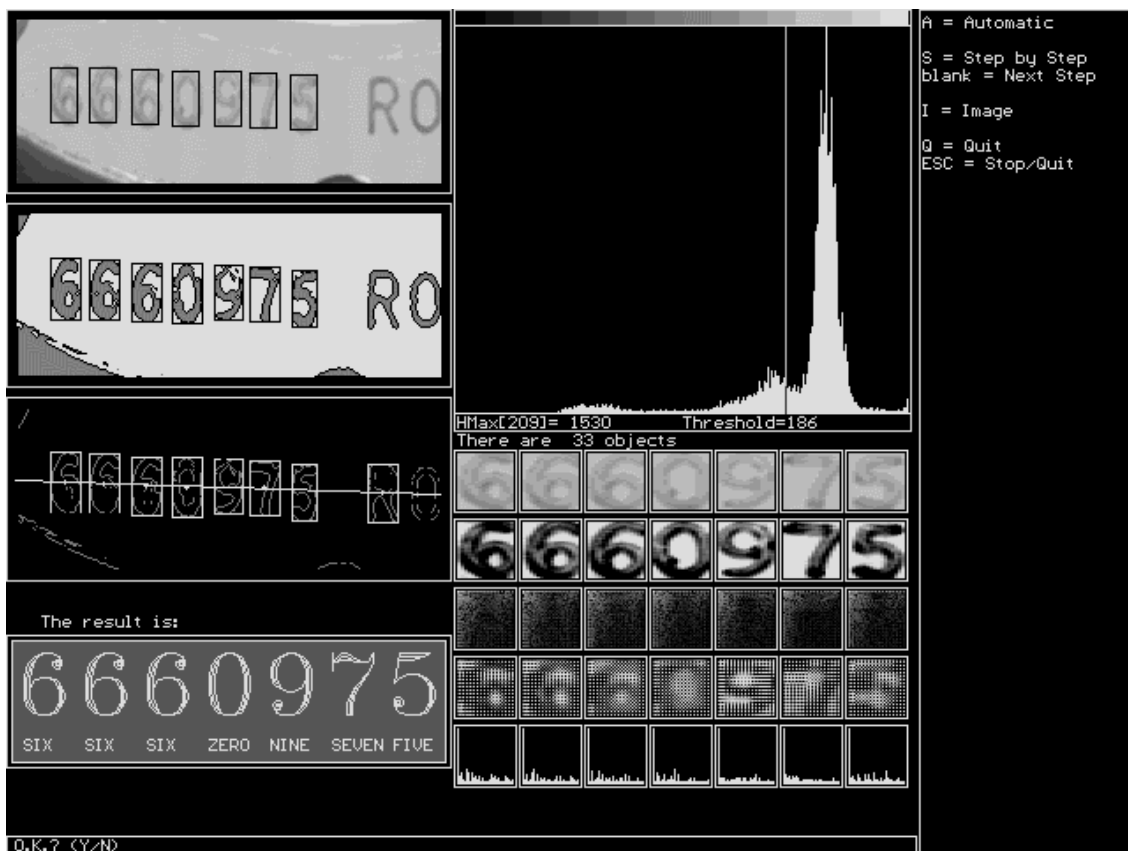
Se demonstrează foarte ușor că modulul momentelor Zernike este invariant la rotație și ca urmare ele pot fi folosite drept trăsături invariante la rotație.

specificate.

17.9. Rezultate obținute, detalii de implementare.

Programul elaborat recunoaște cu precizie foarte bună toate obiectele din imagine pentru care a fost antrenat. Erorile de recunoaștere care mai apar se datorează reducerii masive de date realizate în selectorul de trăsături (de ordinul a 60-70 ori), aceasta însemnând o limitare considerabilă a cantității de informație existente în imaginea inițială. Testele au fost făcute pe imagini realizate în condiții de variație a condițiilor de iluminare, a poziției (rotație) și a mărimii (scalare). Adăugând la toate acestea dezvoltarea unor algoritmi mai performanți de segmentare, se poate face o idee asupra direcțiilor ulterioare de perfecționare a programului.

În ce privește sistemul de recunoaștere automată a numărului serial al ceasurilor de mână, este prezentat în figurile următoare ecranul principal al aplicației pentru două imagini de test. Imaginile au fost furnizate sub formă de fișiere, urmând ca într-o etapă ulterioară să se conecteze direct aplicația la un sistem de achiziție de imagini.



După cum se poate deduce și din analiza imaginilor precedente, principalele operații efectuate de sistemul de recunoaștere a numărului serial sunt:

- Determinarea automată a pragului de segmentare prin analiza histogramei;
- Segmentarea cu prag;
- Localizarea obiectelor din imagine;
- Filtrul euristic de selecție a cifrelor de recunoscut;
- Scalarea obiectelor de interes;
- Realizarea invarianței la condițiile de iluminare;
- Aplicarea transformatei DCT bidimensionale;
- Ordonarea Zig-Zag și reținerea trăsăturilor semnificative pentru fiecare obiect;
- Recunoașterea propriu-zisă folosind o rețea neurală tip perceptron cu trei straturi.

Aplicația a fost scrisă în limbajul C (Borland C 3.1), iar codul sursă și programul executabil sunt incluse în CD-ul atașat cărții de față. Programul (numit DigitRecogn.exe) poate fi rulat după instalare.

18. Măsurarea automată a sitelor textile.

- 18.1. Introducere.
- 18.2. Etapele metodei de măsurare automată.
- 18.3. Segmentarea.
- 18.4. Etichetarea componentelor.
- 18.5. Aproximarea poligonală a ochiurilor sitei.
- 18.6. Măsurători asupra sitei.
- 18.7. Rezultate experimentale. Concluzii.

18.1. Introducere.

Standarde înalte în controlul calității textilelor pot fi obținute doar prin dezvoltarea și implementarea unor noi metode de testare, caracterizate prin acuratețe înaltă și viteză de răspuns mare. Măsurarea parametrilor produselor textile trebuie făcută cel mai adesea on-line, fără nici un fel de pierderi în productivitate.

Pentru măsurarea sitelor textile pot fi utilizate nu numai metode simple, cum ar fi cele bazate pe măsurători regionale ale transparenței (folosind de obicei o pereche –emițător-receptor- de dispozitive opto-electronice), ci și metode mai sofisticate, cum ar fi cele bazate pe difracția laser (Sodomka[103]), metodele bazate pe analiza Fourier (Ribolzi[89]), sau metodele bazate pe analiza digitală a imaginilor (Wolfrum[112]), (Baetens[08]).

Există o multitudine de metode de analiză a produselor textile, multe dintre ele fiind destinate unui anumit tip de material textil. În particular, sitele textile au o structură vizuală foarte simplă, ceea ce le face potrivite pentru analiza computerizată a imaginilor lor. În consecință, am încercat să îmbunătățim precizia evaluării lor printr-o metodă bazată pe analiza digitală a imaginilor. Ea urmărește în primul rând îmbunătățirea preciziei măsurătorilor. Se folosește un nou algoritm de aproximare poligonală pentru localizarea ochiurilor sitei, după care o evaluare statistică completă a parametrilor eșantionului de sită textilă studiat este furnizată.

Toate etapele metodei de măsurare automată sunt descrise în amănunt. Metoda a fost implementată și testată, și este dată o descriere amănunțită a rezultatelor experimentale obținute.

18.2. Etapele metodei de măsurare automată.

Lanțul prelucrărilor folosite pentru a obține măsurătorile dorite asupra unor eșantioane de site textile este descris în următoarea schemă bloc (Fig. 1).

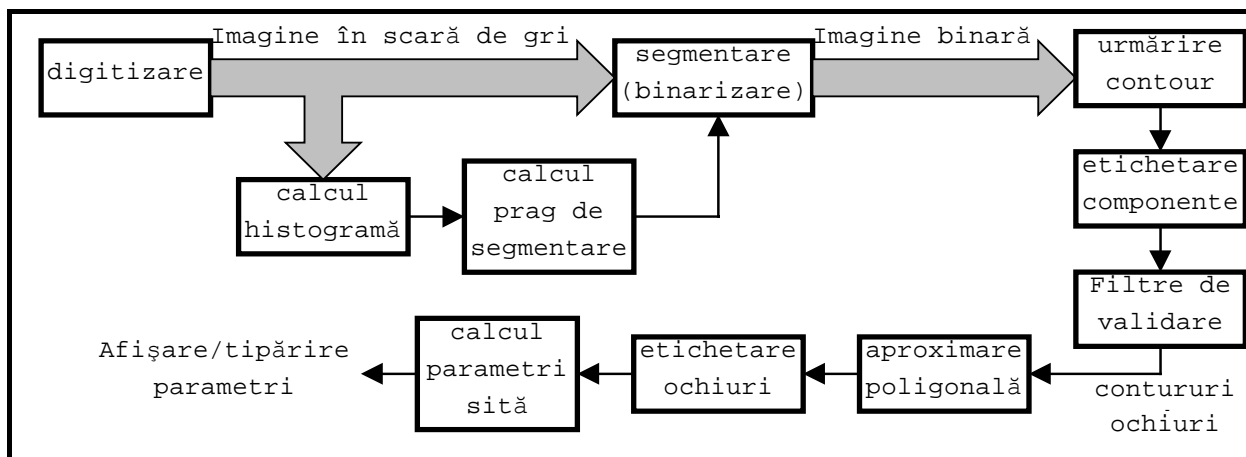


Figura 1. Schema bloc a sistemului.

Primul pas către scopul propus este obținerea unor imagini de bună calitate (Ballard[10]) ale sitelor textile (iluminare uniformă, claritate, contrast bun, fără zgomot). Folosind o camera TV conectată la un microscop și o interfață specializată de calculator, aceste imagini sunt digitizate în scară de gri (256 de nivele) și, dacă este necesar, salvate ca fișiere pe unitatea de disc dur a calculatorului (fig. 2).

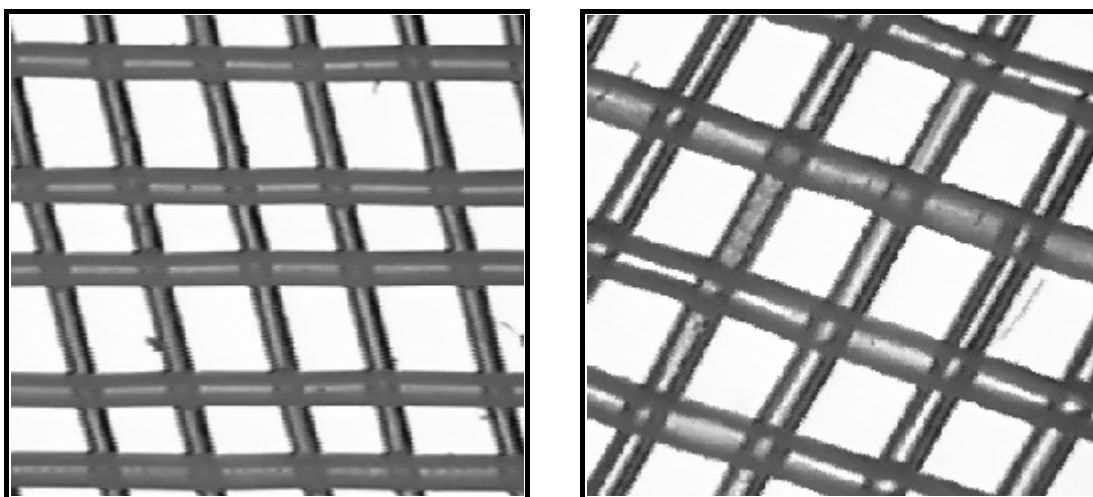


Fig. 2. Imagini ale eșantioanelor de sită textilă.

18.3. Segmentarea.

Pentru fiecare imagine se calculează histograma nivelelor de gri (fig. 3) în scopul obținerii unui prag (nivel de gri) de segmentare cât mai bun (Pavlidis[79]), (Haralick[45]), (Pratt[84]). Două strategii au fost testate pentru a realiza acest lucru:

1. Presupunând că următorul raport este cunoscut:

$$R = \frac{\text{arie fire}}{\text{arie ochiuri}} \quad (1)$$

sau poate fi estimat pentru un anumit eșantion de sită textilă, pragul de segmentare dorit este dat de primul nivel de gri (ordine crescătoare) de la 0 [negru] la N-1 [alb, de obicei 256] pentru care este îndeplinită următoarea inegalitate:

$$\frac{\sum_{j=1}^{T-1} H[j]}{\sum_{j=T}^N H[j]} > R \quad (2)$$

Această strategie este foarte rapidă, dar valoarea raportului R trebuie cunoscută. Acest raport depinde de densitatea sitei textile, grosimea firelor folosite, transparența lor, și deci el poate varia foarte mult de la un eșantion la altul.

2. Folosind un filtru digital liniar nerecursiv, vectorul histogramă este filtrat până când mai rămân doar două maxime locale (fig. 4). Două soluții au fost încercate pentru a construi acest "filtru de netezire a histogramei". Prima dintre ele este un filtru de ordinul trei:

$$y[j] = \frac{1}{3}(x[j-1] + x[j] + x[j+1]) \quad (3)$$

care trebuie aplicat succesiv vectorului histogramă până acestuia îi mai rămân doar două maxime locale. A doua soluție implică folosirea unui filtru de ordin superior:

$$y[j] = \frac{1}{2k+1} \sum_{i=j-k}^{i=j+k} x[i] \quad (4)$$

unde k crește de la 1 la cea valoare pentru care histogramei filtrate îi mai rămân doar două maxime locale. Ordinul filtrului este $2k+1$.

Principalul dezavantaj al acestui din urmă filtru este că, pentru imagini cu contrast scăzut (cele două maxime locale sunt foarte apropiate unul de altul), și când ordinul filtrului de apropiere ca valoare de distanța între aceste maxime, atunci precizia localizării lor nu mai este așa de bună comparativ cu primul filtru descris.

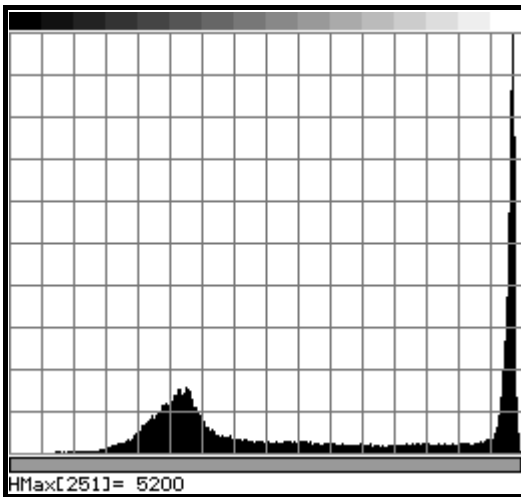


Fig. 3. Histograma inițială.

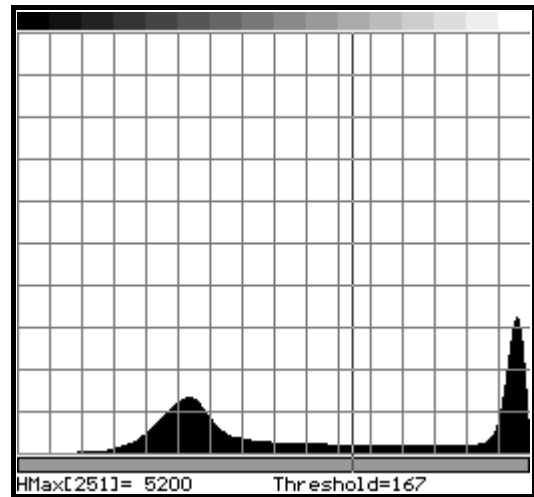


Fig. 4. Histograma filtrată.

Pragul de segmentare poate fi stabilit ca fiind nivelul de gri corespunzător *minimului local* aflat între cele două maxime localizate anterior, dar dacă cele două maxime principale sunt foarte bine separate, așa cum apar ele în figura 4, atunci precizia localizării acestui minim local nu este așa de bună. O variantă mai bună calculează acest prag ca o funcție de pozițiile maximelor găsite, adică, dacă m_1, m_2 sunt nivelele de gri pentru care vectorul histogramă atinge cele două maxime, iar $H[m_1], H[m_2]$ sunt aceste valori maxime, atunci pragul de segmentare este dat de:

$$T = \frac{m_1 + m_2}{2} \quad \text{sau} \quad T = \frac{m_2 H[m_2] - m_1 H[m_1]}{H[m_2] - H[m_1]} \quad (5)$$

Această din urmă strategie este mai lentă, dar dă rezultate mai bune pentru marea majoritate a eșantioanelor de site folosite. Ea poate localiza cu precizie cele două maxime principale din histogramă și pragul de segmentare.

Dacă timpul de răspuns al sistemului nu este critic, atunci este mai simplu de implementat o procedură interactivă de segmentare.

Folosind pragul de segmentare găsit anterior, segmentarea prin binarizare a imaginii originale $f(x,y)$ este realizată (fig. 5) prin:

$$f_s(x,y) = \begin{cases} 0, & \text{pentru } f(x,y) < T \\ 1, & \text{pentru } f(x,y) \geq T \end{cases} \quad (6)$$

Această etapă de prelucrare poate eșua dacă eșantioanele de sită nu sunt iluminate uniform, cel mai adesea ca urmare a plasării incorecte a surselor de lumină. Această situație poate fi eliminată prin software, adică prin includerea următorilor pași de prelucrare:

- Achiziționarea unei imagini $b(x,y)$ a fondului folosit (fără eșantion de sită pe el).
- Eliminarea zgomotelor din imaginea $b(x,y)$ prin aplicarea unui filtru (ex. median) clasic.
- Aplicarea următoarei transformări punctuale pentru fiecare pixel al imaginilor de analiză:

$$f_c(x,y) = f(x,y) - b(x,y) + \max_{x,y} |f(x,y) - b(x,y)| \quad (7)$$

18.4. Etichetarea componentelor.

Imaginile binare obținute în urma prelucrărilor anterioare, $f_s(x,y)$ sunt folosite pentru a localiza cu precizie ochiurile sitei. Folosind un algoritm de urmărire/extragere de contur (Pratt[84]), (Jain[55]) (fig. 6) toate componentele obiectelor din imagine sunt localizate și pentru fiecare dintre ele se salvează într-o listă aria ocupată (A_i), coordonatele punctului de start (x_s, y_s) ale conturului, și coordonatele dreptunghiului de încadrare, $(X_{min}^{(i)}, Y_{min}^{(i)}, X_{max}^{(i)}, Y_{max}^{(i)})$. Toate aceste informații vor fi utilizate în următoarele etape de prelucrare.

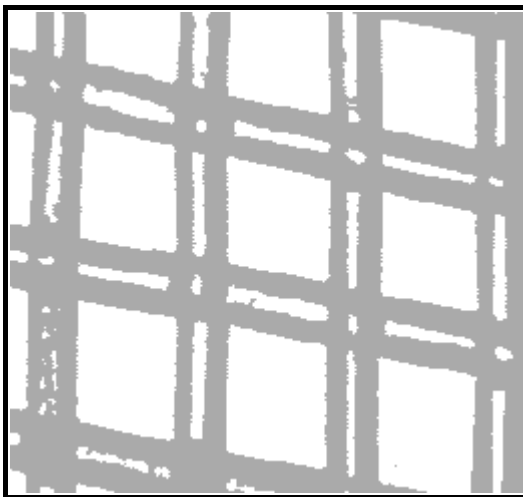


Figura 5. Imaginea segmentată.



Figura 6. Contururi extrase.

Conform figurilor precedente, există multe obiecte localizate care nu sunt ochiuri ale sitei, și deci ele trebuie eliminate din lista de obiecte (Duda[36]). Pentru efectuarea acestor operații se definește un "filtru logic euristic" care verifică succesiv următoarele reguli pentru fiecare obiect:

1. Conturul unui ochi de sită *nu este inclus* în nici un alt contur.
2. Conturul (complet) al unui ochi de sită *nu atinge* limitele imaginii (el ar putea fi incomplet, deci trebuie ignorat).
3. Raportul laturilor orizontală și verticală ale dreptunghiului de încadrare pentru fiecare ochi de sită localizat *trebuie să îndeplinească* următoarea condiție:

$$1/K_1 < \Delta x/\Delta y < K_1 \quad (8)$$

4. Aria unui ochi de sită trebuie să fie peste un nivel minim (zgomotul tip "sare și piper" într-o imagine poate da asemenea obiecte mici):

$$A_i > A_{min} \quad (9)$$

5. Raportul dintre aria unui ochi de sită și aria celui mai mare obiect din imagine trebuie să fie peste un anumit nivel minim:

$$A_i / \max_j(A_j) > K_2 \quad (10)$$

Acele obiecte care nu îndeplinesc *toate* regulile anterioare vor fi șterse din lista ochiurilor sitei (fig. 7).

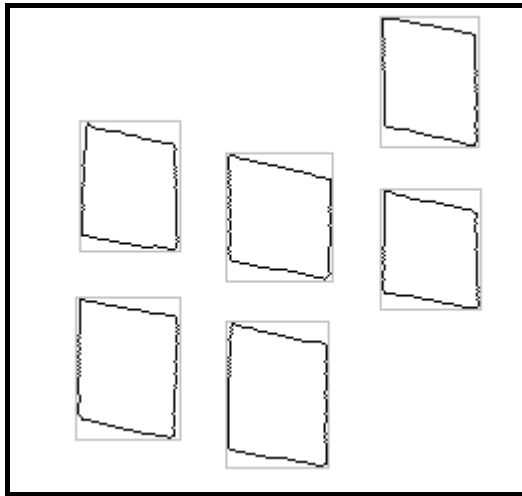


Fig. 7. Contururi de ochiuri selectate.

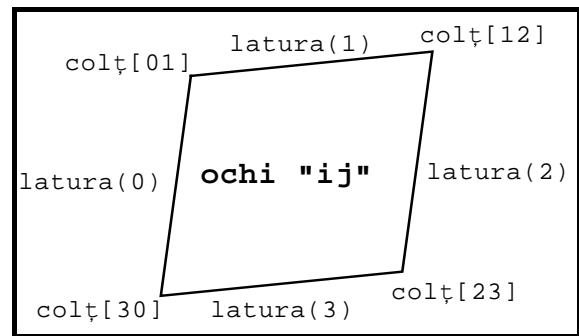


Fig. 8. Notății.

18.5 Aproximarea poligonală a ochiurilor sitei.

Pentru a efectua măsurătorile dorite asupra eșantionului de sită, trebuie să localizăm cât mai precis posibil *cele patru colțuri* ale fiecărui ochi de sită. Laturile fiecărui ochi sunt approximate prin segmente de dreaptă, așa încât avem de-a face cu o problemă de aproximare poligonală (fitting) (Jain[56]), (Pavlidis[80]) care trebuie rezolvată (fig. 8).

Soluția dezvoltată se bazează pe minimizarea iterativă a erorii de aproximare (eroarea medie pătratică). Pentru că numărul laturilor poligonului de aproximare este stabilit la patru, aproximarea inițială a ochiului sitei poate fi setată la dreptunghiul său de încadrare.

Punctele de contur corespunzătoare fiecărei laturi a poligonului (patrulaterului) se stabilesc folosind un criteriu de distanță minimă, adică lista punctelor de contur este partiționată în patru grupe, fiecare corespunzător unei laturi, fiecare punct al conturului fiind atașat celui mai apropiat segment aproximant.

Dacă există în total N puncte de contur pentru un obiect (fig. 9) și partițiile punctelor de contur conțin respectiv N_0 , N_1 , N_2 și N_3 elemente, atunci, desigur:

$$N = N_0 + N_1 + N_2 + N_3 \quad (11)$$

Ecuția dreptei care trece prin punctul (x_0, y_0) și are panta dată de φ_0 este:

$$(x - x_0) \sin \varphi_0 - (y - y_0) \cos \varphi_0 = 0 \quad (12)$$

Ecuția dreptei care trece prin punctul (x_k, y_k) și este perpendiculară pe dreapta (12) este:

$$(x - x_k) \cos \varphi_0 + (y - y_k) \sin \varphi_0 = 0 \quad (13)$$

Atunci punctul de intersecție a acestor două drepte are coordonatele următoare:

$$x = x_0 \sin^2 \varphi_0 + x_k \cos^2 \varphi_0 - (y_0 - y_k) \sin \varphi_0 \cos \varphi_0 \quad (14)$$

$$y = y_0 \cos^2 \varphi_0 + y_k \sin^2 \varphi_0 - (x_0 - x_k) \sin \varphi_0 \cos \varphi_0 \quad (15)$$

Distanța de la punctul (x_k, y_k) la linia care trece prin punctul (x_0, y_0) și are panta φ_0 este dată de:

$$d_k^2 = (x - x_k)^2 + (y - y_k)^2 \quad (16)$$

adică:

$$d_k^2 = [(x_0 - x_k) \sin^2 \varphi_0 - (y_0 - y_k) \sin \varphi_0 \cos \varphi_0]^2 + [(y_0 - y_k) \cos^2 \varphi_0 - (x_0 - x_k) \sin \varphi_0 \cos \varphi_0]^2 \quad (17)$$

Atunci eroarea medie pătratică corespunzătoare fiecărei partiții a punctelor de contur este:

$$E_0 = \frac{I}{N_0} \sum_{k_0=1}^{N_0} d_{k_0}^2 \quad E_1 = \frac{I}{N_1} \sum_{k_1=1}^{N_1} d_{k_1}^2 \quad E_2 = \frac{I}{N_2} \sum_{k_2=1}^{N_2} d_{k_2}^2 \quad E_3 = \frac{I}{N_3} \sum_{k_3=1}^{N_3} d_{k_3}^2 \quad (18)$$

Pentru prima partiție, eroarea medie pătratică poate fi exprimată prin:

$$E_0 = \frac{I}{N_0} \sum_{k_0=1}^{N_0} \{ [(x_0 - x_{k_0}) \sin^2 \varphi_0 - (y_0 - y_{k_0}) \sin \varphi_0 \cos \varphi_0]^2 + [(y_0 - y_{k_0}) \cos^2 \varphi_0 - (x_0 - x_{k_0}) \sin \varphi_0 \cos \varphi_0]^2 \} \quad (19)$$

și dacă definim următoarele cantități (tot pentru prima partiție):

$$\overline{x_{(0)}} = \frac{I}{N_0} \sum_{k_0=1}^{N_0} x_{k_0}; \quad \overline{y_{(0)}} = \frac{I}{N_0} \sum_{k_0=1}^{N_0} y_{k_0}; \quad \overline{xy_{(0)}} = \frac{I}{N_0} \sum_{k_0=1}^{N_0} x_{k_0} y_{k_0}; \quad \overline{x_{(0)}^2} = \frac{I}{N_0} \sum_{k_0=1}^{N_0} x_{k_0}^2; \quad \overline{y_{(0)}^2} = \frac{I}{N_0} \sum_{k_0=1}^{N_0} y_{k_0}^2 \quad (20)$$

se obține următoarea expresie pentru eroarea medie pătratică E_0 :

$$E_0 = (x_0^2 - 2x_0 \overline{x_{(0)}} + \overline{x_{(0)}^2}) \sin^2 \varphi_0 - 2(x_0 y_0 - x_0 \overline{y_{(0)}} - \overline{x_{(0)}} y_0 + \overline{xy_{(0)}}) \sin \varphi_0 \cos \varphi_0 + (y_0^2 - 2y_0 \overline{y_{(0)}} + \overline{y_{(0)}^2}) \cos^2 \varphi_0 \quad (21)$$

Prin minimizarea acestei erori valorile necunoscute x_0 , y_0 și φ_0 pot fi aflate:

$$\frac{\partial E}{\partial x_0} = 0 \Leftrightarrow (x_0 - \overline{x_{(0)}}) \sin \varphi_0 - (y_0 - \overline{y_{(0)}}) \cos \varphi_0 = 0 \Leftrightarrow x_0 = \overline{x_{(0)}} \quad (22)$$

$$\frac{\partial E}{\partial y_0} = 0 \Leftrightarrow -(x_0 - \overline{x_{(0)}}) \sin \varphi_0 + (y_0 - \overline{y_{(0)}}) \cos \varphi_0 = 0 \Leftrightarrow y_0 = \overline{y_{(0)}} \quad (23)$$

$$\frac{\partial E}{\partial \varphi_0} = 0 \Leftrightarrow \varphi_0 = \frac{1}{2} \arctan \frac{2(\overline{xy_{(0)}} - \overline{x_{(0)}} \overline{y_{(0)}})}{x_{(0)}^2 - (\overline{x_{(0)}})^2 - y_{(0)}^2 + (\overline{y_{(0)}})^2} \quad (24)$$

Formule similare pot fi scrise pentru toate partițiile atașate conturului ochiului sitei, astfel încât toate seturile $[(x_0, y_0), \varphi_0]$, $[(x_1, y_1), \varphi_1]$, $[(x_2, y_2), \varphi_2]$, și $[(x_3, y_3), \varphi_3]$ pot fi obținute.

Rezolvând sistemul de ecuații:

$$\begin{cases} (x - x_0) \sin \varphi_0 - (y - y_0) \cos \varphi_0 = 0 \\ (x - x_1) \sin \varphi_1 - (y - y_1) \cos \varphi_1 = 0 \end{cases} \quad (25)$$

coordonatele primului colț al ochiului se calculează cu:

$$x_{01} = \frac{(x_0 \sin \varphi_0 - y_0 \cos \varphi_0) \cos \varphi_1 - (x_1 \sin \varphi_1 - y_1 \cos \varphi_1) \cos \varphi_0}{\sin(\varphi_0 - \varphi_1)} \quad (26)$$

$$y_{01} = \frac{(x_0 \sin \varphi_0 - y_0 \cos \varphi_0) \sin \varphi_1 - (x_1 \sin \varphi_1 - y_1 \cos \varphi_1) \sin \varphi_0}{\sin(\varphi_0 - \varphi_1)} \quad (27)$$

și expresii similare pot fi găsite pentru celelalte trei colțuri ale poligonului aproximant, adică pentru (x_{12}, y_{12}) , (x_{23}, y_{23}) și (x_{30}, y_{30}) .

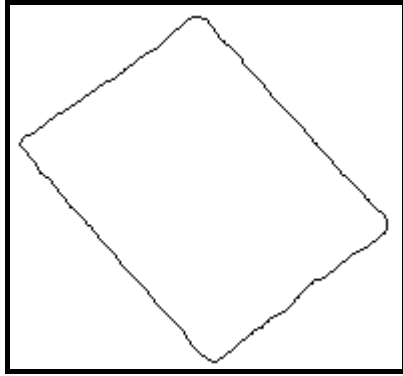


Fig. 9. Conturul inițial.

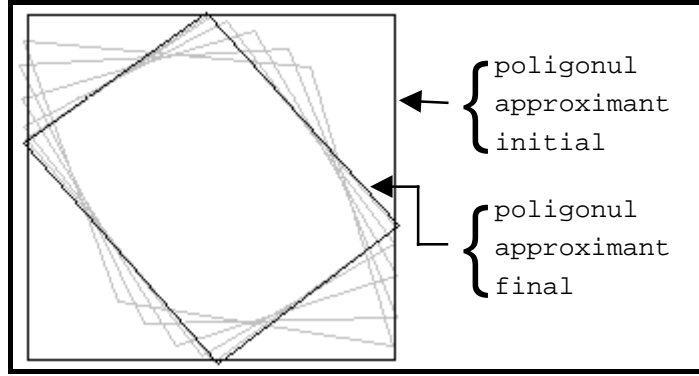


Fig. 10. Procesul de aproximare.

Acest nou poligon este folosit mai departe pentru a construi alte patru partiții ale punctelor de contur ale ochiului sitei, pe baza cărora se va obține o mai bună aproximare a ochiului. Acest proces continuă (fig. 10) până când eroarea globală relativă de aproximare îndeplinește condiția:

$$\varepsilon = \frac{E^{(t)} - E^{(t+1)}}{E^{(t)}} < \varepsilon_0 \quad (28)$$

unde $E^{(t)} = E_0^{(t)} + E_1^{(t)} + E_2^{(t)} + E_3^{(t)}$ este eroarea globală pentru iterația "t".

18.6. Măsurători asupra sitei.

Dacă orientările corespunzătoare firelor de urzeală și respectiv bătătură se calculează cu:

$$\bar{\varphi}_{02} = \frac{1}{2M} \sum_i \sum_j (\varphi_0^{(ij)} + \varphi_2^{(ij)}) \quad \bar{\varphi}_{13} = \frac{1}{2M} \sum_i \sum_j (\varphi_1^{(ij)} + \varphi_3^{(ij)}) \quad (29)$$

atunci unghiul mediu între firele de urzeală și cele de bătătură este:

$$\bar{\varphi} = \frac{1}{M} \sum_i \sum_j \varphi^{(ij)} \quad (30)$$

unde

$$\varphi^{(ij)} = \frac{1}{2} (\varphi_0^{(ij)} + \varphi_2^{(ij)} - \varphi_1^{(ij)} - \varphi_3^{(ij)}) \quad (31)$$

Unghiurile $\bar{\varphi}_{02}$ și $\bar{\varphi}_{12}$ sunt apoi folosite pentru etichetarea matriceală a ochiurilor sitei, folosind teste de poziție relativă în lungul acestor două direcții (fig. 11).

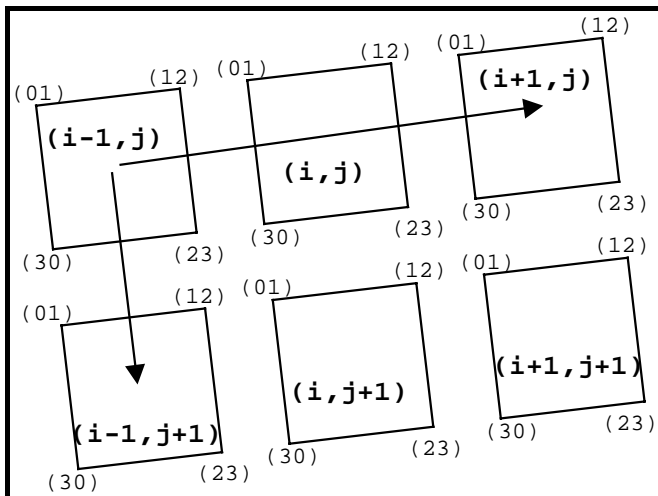


Fig. 11. Direcțiile de căutare pentru etichetare.

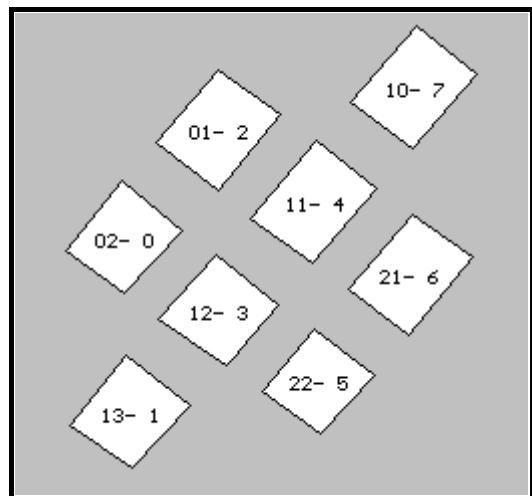


Fig. 12. Ochiuri etichetate.

Această etichetare (fig. 12) este utilizată mai departe pentru a stabili perechile valide de ochiuri vecine în lungul ambelor direcții.

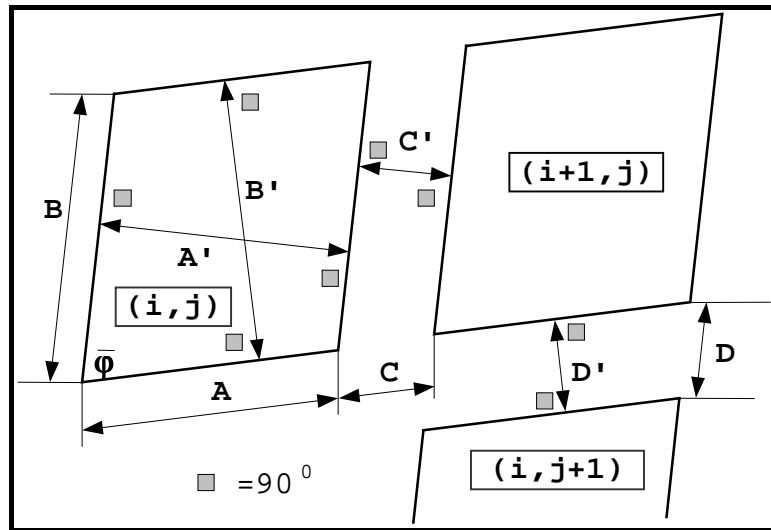


Fig. 13. Principalele măsurători asupra eșantionului de sită.

Valorile distanțelor marcate în figura (13) se calculează folosind formulele următoare:

$$A_{(ij)} = \frac{1}{2} \left[\sqrt{(x_{01}^{(ij)} - x_{12}^{(ij)})^2 + (y_{01}^{(ij)} - y_{12}^{(ij)})^2} + \sqrt{(x_{23}^{(ij)} - x_{30}^{(ij)})^2 + (y_{23}^{(ij)} - y_{30}^{(ij)})^2} \right] \quad (32)$$

$$B_{(ij)} = \frac{1}{2} \left[\sqrt{(x_{01}^{(ij)} - x_{30}^{(ij)})^2 + (y_{01}^{(ij)} - y_{30}^{(ij)})^2} + \sqrt{(x_{12}^{(ij)} - x_{23}^{(ij)})^2 + (y_{12}^{(ij)} - y_{23}^{(ij)})^2} \right] \quad (33)$$

$$C_{(ij)} = \frac{1}{2} \left[\sqrt{(x_{12}^{(ij)} - x_{01}^{(i+1,j)})^2 + (y_{12}^{(ij)} - y_{01}^{(i+1,j)})^2} + \sqrt{(x_{23}^{(ij)} - x_{30}^{(i+1,j)})^2 + (y_{23}^{(ij)} - y_{30}^{(i+1,j)})^2} \right] \quad (34)$$

$$D_{(ij)} = \frac{1}{2} \left[\sqrt{(x_{30}^{(ij)} - x_{01}^{(i,j+1)})^2 + (y_{30}^{(ij)} - y_{01}^{(i,j+1)})^2} + \sqrt{(x_{23}^{(ij)} - x_{12}^{(i,j+1)})^2 + (y_{23}^{(ij)} - y_{12}^{(i,j+1)})^2} \right] \quad (35)$$

$$A'_{(i,j)} = A_{(ij)} \sin \varphi^{(ij)} \quad B'_{(i,j)} = B_{(ij)} \sin \varphi^{(ij)} \quad C'_{(i,j)} = C_{(ij)} \sin \varphi^{(ij)} \quad D'_{(i,j)} = D_{(ij)} \sin \varphi^{(ij)} \quad (36)$$

unde:

- A = lungimea laturii ochiului corespunzătoare firelor de urzeală;
- B = lungimea laturii ochiului corespunzătoare firelor de bătătură;
- A' = distanța între firele de urzeală;
- B' = distanța între firele de bătătură;
- C' = diametrul firelor de urzeală;
- D' = diametrul firelor de bătătură.

Valorile lor medii, corespunzătoare tuturor ochiurilor de sită din imagine sau mai bine, conform regulilor impuse de controlul de calitate, pentru un set de imagini ale aceluiași sortiment de sită textilă sunt:

$$\begin{aligned} \bar{A} &= \frac{1}{M} \sum_i \sum_j A_{(i,j)} & \bar{B} &= \frac{1}{M} \sum_i \sum_j B_{(i,j)} & \bar{C} &= \frac{1}{M_H} \sum_i \sum_j C_{(i,j)} & \bar{D} &= \frac{1}{M_V} \sum_i \sum_j D_{(i,j)} \\ \bar{A}' &= \frac{1}{M} \sum_i \sum_j A'_{(i,j)} & \bar{B}' &= \frac{1}{M} \sum_i \sum_j B'_{(i,j)} & \bar{C}' &= \frac{1}{M_H} \sum_i \sum_j C'_{(i,j)} & \bar{D}' &= \frac{1}{M_V} \sum_i \sum_j D'_{(i,j)} \end{aligned} \quad (37)$$

- unde
- M este numărul total de ochiuri;
- M_H este numărul de ochiuri vecine în lungul direcției $\bar{\varphi}_{13}$.
- M_V este numărul de ochiuri vecine în lungul direcției $\bar{\varphi}_{02}$.

O bună aproximare a ultimelor patru valori din (37) este dată de:

$$\overline{A'} = \overline{A} \sin \overline{\varphi}; \quad \overline{B'} = B_{(ij)} \sin \overline{\varphi}; \quad \overline{C'} = C \sin \overline{\varphi}; \quad \overline{D'} = D \sin \overline{\varphi} \quad (38)$$

O descriere statistică completă a acestor măsurători implică cel puțin calculul dispersiilor lor:

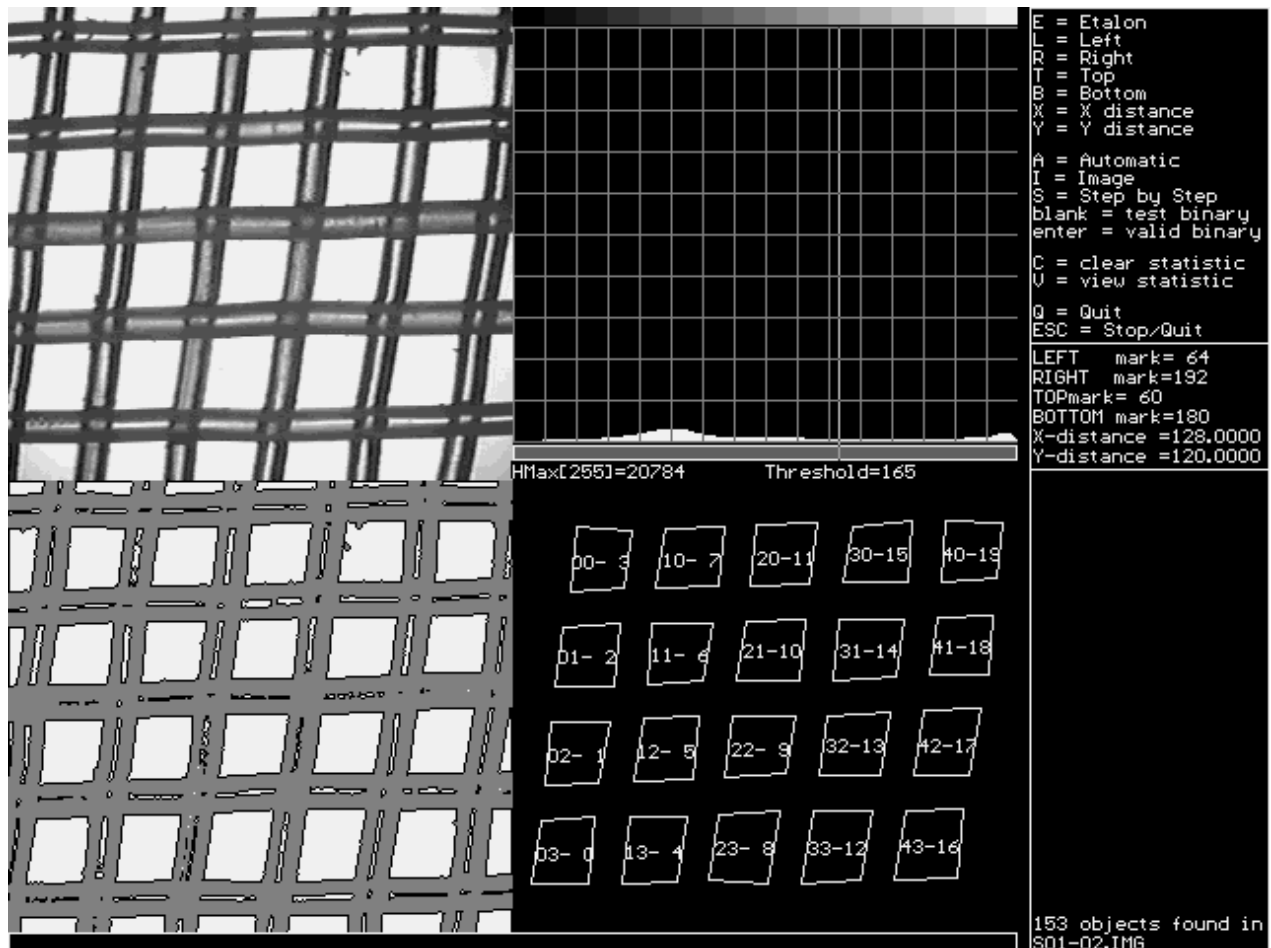
$$\delta_A^2 = \frac{1}{M} \sum_i \sum_j (A_{(ij)} - \overline{A})^2, \text{ etc.} \quad (39)$$

18.7. Rezultate experimentale. Concluzii.

Un mediu software integrat a fost dezvoltat pentru a realiza o analiză completă a eșantioanelor de site textile. El include și opțiuni software de calibrare, care pot fi folosite pentru a converti toate distanțele în milimetri, cu ajutorul imaginilor unor rigle de calibrare.

Toate valorile calculate (buletine de analiză) sunt afișate pe ecran și/sau pot fi salvate pe unitățile de disc ale calculatorului.

S-a folosit pentru această aplicație un calculator cu o interfață de achiziție a imaginilor și o cameră TV standard conectată la un microscop. Toate programele au fost scrise în limbajul C++.



Acuratețea măsurătorilor este foarte bună și este afectată doar de erorile de digitizare și de cele datorate aproximării poligonale a ochiurilor sitei.

Pentru un prag de eroare de $\varepsilon_0 = 0.01$, numărul maxim de iterații necesar pentru aproximarea poligonală este de 5-7 și depinde de orientarea inițială a firelor. Dacă laturile ochiurilor sunt aproape orizontale/verticale, numărul necesar de iterații scade la 2-3. Am folosit în experimente următoarele valori pentru constantele descrise anterior:

$$K_1 = 4, \quad A_{min} = 10 \quad \text{și} \quad K_2 = 0.2. \quad (40)$$

Deși unele optimizări de viteză încă mai pot fi făcute, timpul de prelucrare obținut pentru o imagine 256x240 în scară de gri este de 0.4sec pe un calculator Pentium 400Mhz și crește pentru imagini mai mari (1sec pentru o imagine 640x480 în scară de gri).

Rezultatele obținute demonstrează acuratețea acestei metode de măsurare, ca și posibilitatea de a detecta multe din defectele de țesere posibile. Echipamentul necesar pentru a implementa această metodă nu este foarte costisitor și poate fi adaptat cu ușurință la o instalație de producție pentru testarea on-line a sitelor textile.

Aceași metodă a fost testată cu succes și pentru site metalice și poate fi extinsă la alte sortimente de materiale țesute.

Programul executabil (SitaApp.exe) se găsește împreună cu codul sursă pe CD-ul atașat și poate fi rulat după instalare.

19. Recunoașterea simbolurilor muzicale tipărite.

- 19.1. Descrierea aplicației generale.
- 19.2. Crearea setului de date de antrenament / test.
- 19.3. Sistemul de recunoaștere.
- 19.4. Extragerea trăsăturilor.
- 19.5. Selecția trăsăturilor.
- 19.6. Rețeaua neurală.
- 19.7. Adaptarea setului de date de antrenament.
- 19.8. Rezultate obținute și concluzii.

Recunoașterea automată a simbolurilor crește spectaculos eficiența interfețelor om-mașină. Dar nu întotdeauna "simbol" înseamnă caracter, el poate însemna de asemenea simbol muzical. Se constată un interes în creștere pentru recunoașterea simbolurilor muzicale, datorat în mare măsură multiplelor aplicații posibile (Sicard[101]).

În continuare este prezentată o soluție robustă adoptată pentru recunoașterea unor simboluri muzicale tipărite, folosită în cadrul unei aplicații de recunoaștere a partiturilor muzicale. Este descris modul de construcție a setului de simboluri de antrenament/test, algoritmul de pregătire a datelor pentru recunoaștere (extragerea trăsăturilor) și o procedură nouă de adaptare a setului de date de antrenament.

19.1. Descrierea aplicației generale.

S-a urmărit construcția unui sistem complet de recunoaștere a partiturilor muzicale.

Partitura tipărită este digitizată folosind un scanner, după care procedura generală de recunoaștere parcurge următorii pași:

- *separare semiautomată portative*, necesară deoarece există simboluri mai apropiate de un portativ, dar aparținând logic altuia;
- pentru fiecare portativ, *extragere linii portativ*, cu distorsionarea minimă a simbolurilor muzicale;
- *localizare obiecte* prin încadrare în fereastra dreptunghiulară; algoritmi dedicați trebuie utilizați pentru simbolurile fragmentate sau atinse.

Informația din dreptunghiul de încadrare este utilizată pentru recunoaștere, într-un sistem cu schema bloc din fig.1 :

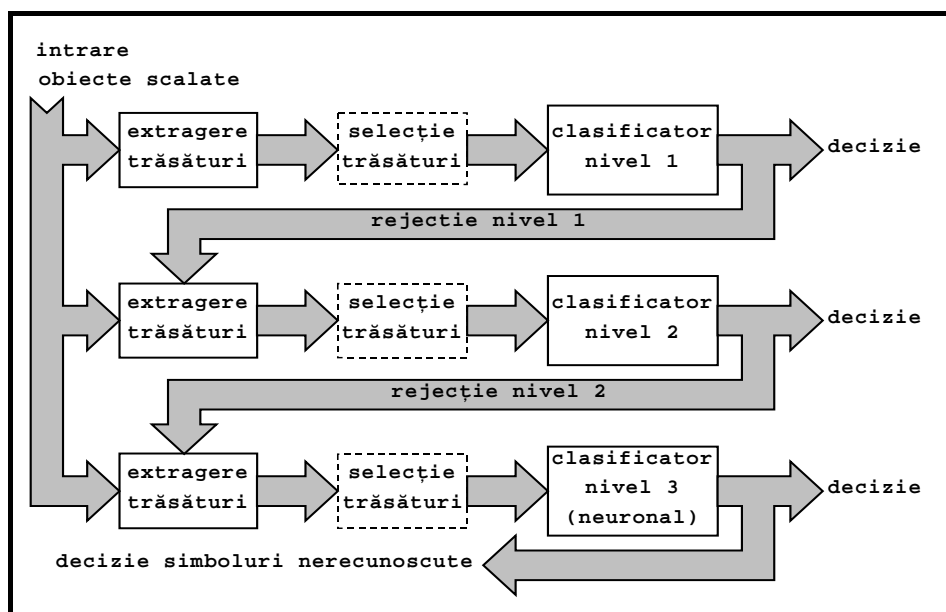


Fig. 1: Schema bloc a sistemului de recunoaștere a partiturilor.

Preclasificarea împarte obiectele în clase. Pentru fiecare clasă se utilizează metode specifice de clasificare, urmărindu-se, evident, mărirea ratei de recunoaștere la un timp de clasificare cât mai mic. A utiliza aceeași metodă în toate nivelurile de clasificare de mai sus este o soluție greșită: sau obiectele pot fi separate prin metode specifice foarte simple, fie numai metode sintactice duc la performanțele dorite.

Deoarece aplicația impune invarianța la scalare se lucrează în general cu mărirea normalizată a obiectelor, adică (fig.2):

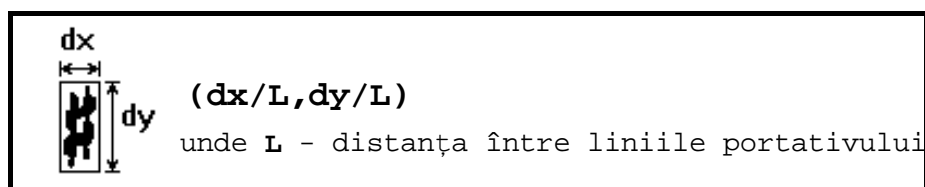


Fig. 2. Normalizarea obiectelor.

Capitolul curent prezintă modul de implementare a unui clasificator (nivelul 3, fig.1) pentru recunoașterea a șase simboluri muzicale: *diez*, *bemol*, *becar*, *pauza 1/4*, *pauza 1/16* și *pauza 1/8*, pentru care alte metode testate au dat rezultate mult mai slabe.

Aspectul obiectelor care urmează a fi recunoscute depinde de calitatea partiturii originale, performanțele scanner-ului utilizat în digitizare și de efectele algoritmului de eliminare a liniilor portativului. Oricum, rezultă o mare variabilitate a formei simbolurilor din aceeași clasă (fig 3):

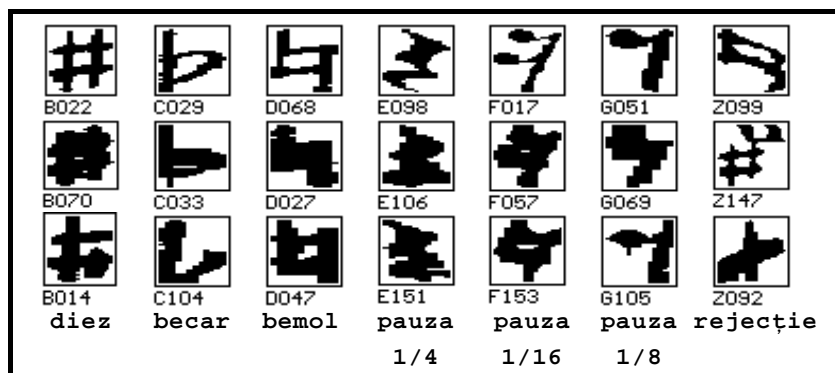


Fig. 3. Clasele de simboluri ce trebuiesc recunoscute.

tipărite.

Se remarcă utilizarea unei a 7-a clase de obiecte, "clasa de rejecție" (Pudil[88]), care permite obținerea unor rezultate net superioare. Din punct de vedere teoretic, introducerea ei este justificată de faptul că în lipsa clasei de rejecție, spațiul trăsăturilor este partiționat în șase clase, astfel încât obiectele care nu aparțin la nici una din cele șase clase pot fi ușor atribuite lor.

Construind clasa de rejecție, care include cifrele, literele, fragmente de simboluri și obiecte concatenate, limita de decizie între clasa de rejecție și cele 6 clase devine bine precizată.

19.2. Crearea setului de date de antrenament / test.

Pentru crearea seturilor de date de antrenament și test se folosesc partituri tipice din punctul de vedere al fonturilor muzicale folosite. Simbolurile extrase sunt salvate sub formă de fișiere al căror nume indică apartenența la clasa corespunzătoare.

Simbolurile care trec de preclasificator și sunt diferite de cele 6 simboluri studiate se atribuie clasei de rejecție. Ele reprezintă cifre, litere, alte simboluri muzicale, fragmente de simboluri, simboluri concatenate.

Astfel s-au creat:

- 337 forme de tipul "diez";
- 171 forme de tipul "bemol";
- 223 forme de tipul "becar";
- 360 forme de tipul "pauză 1/4";
- 239 forme de tipul "pauză 1/16";
- 351 forme de tipul "pauză 1/8";
- 191 forme de tipul "rejecție";

Deci s-au folosit 1872 simboluri: setul de antrenament conține primele 120 simboluri din fiecare clasă (plus clasa de rejecție), deci în total 840 simboluri de antrenament și 1032 simboluri în setul de test. De menționat faptul că, deoarece simbolurile din setul de antrenament au fost alese aleator, există multe simboluri similare. Pentru selectarea în setul de antrenament a celor mai semnificative simboluri (fără a crește dimensiunea acestui set) s-a dezvoltat un algoritm de gestiune a seturilor de antrenament, descris în paragraful 7.

19.3. Sistemul de recunoaștere.

Recunoașterea celor 6 simboluri muzicale a fost implementată (Duda[35]), (Meisel[72]) pe baza următoarei scheme bloc generale (fig.4):

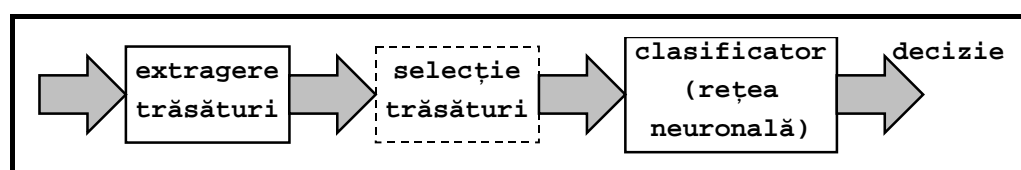


Fig. 4. Schema bloc a clasificatorului.

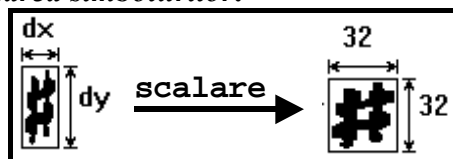
În proiectarea acestui clasificator s-a urmărit, pe lângă optimizarea timpului de răspuns (cât mai mic) și a ratei de recunoaștere (cât mai mare), și posibilitatea unei implementări hardware, într-o structură dedicată de mare viteză, care să poată rezolva probleme asemănătoare (dar nu identice).

Selectorul de trăsături poate reține cele mai semnificative caracteristici furnizate de extractorul de trăsături. Decizia clasificatorului este asimilată cu activarea specifică a ieșirilor rețelei neurale.

19.4. Extragerea trăsăturilor.

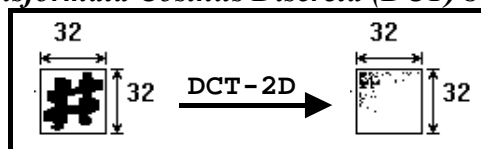
Faza de extragere a trăsăturilor presupune parcurgerea următorilor pași:

a) Scalarea simbolurilor:



Se obține o matrice binară de dimensiune constantă (32x32), conținând imaginea scalată. Astfel este rezolvată invarianța la scalare pe orizontală și verticală, impusă de aplicație.

b) Transformata Cosinus Discretă (DCT) bidimensională:



Se obține o matrice de valori reale de aceeași dimensiune ca cea inițială. Se folosește DCT deoarece proprietățile ei o fac utilă în selecția trăsăturilor (Rosenfeld[95]), (Ahmed[03]).

Un selector optimal de trăsături se construiește astfel (fig.5):

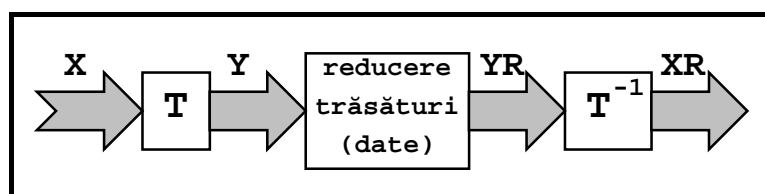


Fig. 5. Construcția selectorului optimal de trăsături.

unde:

$X = (x_1, x_2, \dots, x_N)$ - vectorul de intrare;

$Y = (y_1, y_2, \dots, y_N)$ - vectorul transformat;

$YR = (y_1, y_2, \dots, y_k, c_{k+1}, c_{k+2}, \dots, c_N)$ - vectorul de trăsături redus; el se obține din Y înlocuind cu constante ultimele $(N-K)$ valori;

$XR = (xr_1, xr_2, \dots, xr_N)$ - estimăția vectorului de intrare.

$T = \|\mathbf{u}_1^T, \mathbf{u}_2^T, \dots, \mathbf{u}_N^T\|^T$, cu $\mathbf{u}_j^T = (u_{j0}, u_{j1}, \dots, u_{jN})$ este matricea unei transformări ortogonale unitare care se va determina în condițiile minimizării erorii medii pătratice date de:

$$e = E\{(\mathbf{X} - \bar{\mathbf{X}})^T \times (\mathbf{X} - \bar{\mathbf{X}})\}$$

Notând:

$\mathbf{K}_{XX} = E\{(\mathbf{X} - \bar{\mathbf{X}})(\mathbf{X} - \bar{\mathbf{X}})^T\}$, matricea de covarianță a intrării, unde $\bar{\mathbf{X}} = E\{\mathbf{X}\}$, se obține transformata Karhunen-Loeve discretă (sau Hotelling) cu proprietățile:

1. $(\mathbf{K}_{XX} - \lambda_j \times \mathbf{I}_N) \times \mathbf{u}_j = 0$ - liniile matricii transformării sunt valorile proprii ale matricii de covarianță a domeniului de intrare;
2. $\mathbf{K}_{YY} = \text{diag}(\lambda_1, \lambda_2, \dots, \lambda_N)$ - transformarea furnizează la ieșire coeficienți necorelați;
3. $E = \sum_{j=k+1}^N \lambda_j$ - expresia erorii.

Deoarece implementarea transformării (KL) este dificilă și în plus, modelând intrarea $\{X\}$ cu un proces Markov de ordinul 1, cea mai bună aproximare a transformării Karhunen-Loeve

tipărite.

discrete este DCT (*Transformata Cosinus Discretă*). Această modelare nu este foarte restrictivă și se poate folosi cu succes în multe aplicații (Ahmed[03]).

Pentru calculul DCT există nu numai algoritmi rapizi de calcul, ci și circuite specializate de mare viteză..

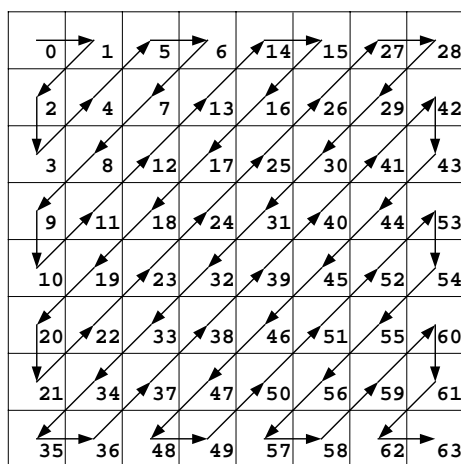
Pentru cazul bidimensional se folosește:

$$F(u,v) = \frac{1}{2N} \sum_{j=0}^{N-1} \sum_{i=0}^{N-1} f(j,k) \cos\left(\frac{\pi u j}{N}\right) \cos\left(\frac{\pi v k}{N}\right)$$

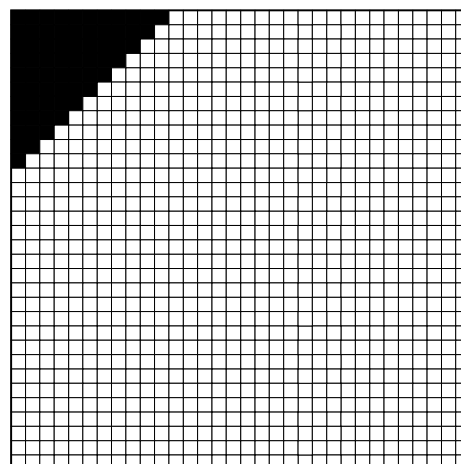
rezultând o matrice de aceeași dimensiune, cu valori reale, slab corelate. Valorile semnificative ale acestei matrici sunt plasate în colțul din stânga sus.

c) Ordonarea Zig - Zag.

Este o procedură de vectorizare a matricii DCT, după regula din figura de mai jos:



Matrice[8][8] ==> Vector[64];



Matrice[32][32] ==> Vector[1024];

Deoarece DCT bidimensională concentrează informația din imaginea inițială în colțul din stânga sus al matricii rezultate, după ordonarea Zig - Zag aceeași informație va fi regăsită în primele elemente ale vectorului obținut.

19.5. Selecția trăsăturilor.

Pentru a minimiza timpul de clasificare/recunoaștere, cea mai bună soluție este de a utiliza doar cele mai semnificative dintre trăsăturile extrase. În cazul nostru, trăsăturile cele mai semnificative se găsesc la începutul vectorului de trăsături. Ca urmare se rețin doar primele 66 valori din vectorul $Z[1024]$, adică 6.5% din valori, cele marcate cu negru în figura anterioară.

Conform afirmațiilor anterioare, aceste elemente concentrează cea mai mare parte din informația din imaginea inițială și ele vor fi folosite în faza de recunoaștere. În plus, deoarece restul vectorului Zig-Zag nu este folosit, valorile corespunzătoare din matricea DCT nici nu mai trebuie calculate, ceea ce reduce semnificativ timpul de calcul al DCT (doar 18.8% din multiplicări sunt necesare).

19.6. Rețeaua neurală.

Primele 66 elemente ale vectorului Z se aplică la intrarea unei rețele neurale de tipul perceptron cu trei straturi și nelinearitate sigmoidală simetrică (+/-1) la toți neuronii (Lipmann[66]), (Rumelhart[98]).

Număr de neuroni folosiți este de 80 neuroni pentru stratul de intrare, 20 neuroni pentru stratul intermediar și 6 neuroni pentru stratul de ieșire.

Pentru antrenare s-a folosit evident algoritmul "backpropagation" cu factorul de câștig $\eta = 0.3$, factorul de inerție $\alpha = 0.7$. Antrenarea s-a făcut prin aplicarea ciclică a trăsăturilor obiectelor din fiecare clasă la intrările rețelei neurale.

Fiecare neuron din stratul de ieșire este asigurat unei clase, ca urmare ieșirea dorită pentru fiecare clasă înseamnă activarea neuronului corespunzător clasei respective și inhibarea celorlalți neuroni de ieșire. Pentru obiectele din clasa de rejecție rețeaua neurală trebuie să răspundă cu toate ieșirile inactice.

Decizia de apartenență a unui obiect X la una din clase este de forma:

**IF [y1>thr] and [y2<(-thr)] and [y3<(-thr)] and [y4<(-thr)] and [y5<(-thr)] and [y6<(-thr)] THEN
Obiectul X aparține clasei (1)**

unde pragul este $0 < thr < 1$. Pentru cazul aplicației de față se pot scrie 6 asemenea condiții, câte una pentru fiecare clasă. Pentru clasa de rejecție condiția este:

**IF [y1<(-thr)] and [y2<(-thr)] and [y3<(-thr)] and [y4<(-thr)] and [y5<(-thr)] and [y6<(-thr)]
THEN
Obiectul X aparține clasei de rejecție**

Dacă nici una din cele 6+1 condiții nu este adevărată, decizia este de "obiect nerecunoscut". Un asemenea tip de condiție va furniza, evident și funcție de prag, mai multe obiecte nerecunoscute decât greșit recunoscute, în concordanță cu cerințele aplicației. De notat faptul că *este mai avantajos cazul în care clasificatorul furnizează obiecte nerecunoscute decât obiecte recunoscute greșit deoarece corectarea interactivă a obiectelor recunoscute greșit implică o operație în plus (ștergerea simbolului greșit recunoscut) pe lângă înlocuirea lui.*

19.7. Adaptarea setului de date de antrenament.

În exploatarea sistemului pot apare noi tipuri de fonturi ce trebuiesc recunoscute. De aceea este necesară actualizarea setului de date de antrenament și reantrenarea periodică a rețelei neurale folosite. Am impus condiția de limitare a numărului de simboluri din setul de antrenament pentru limitarea spațiului de memorie folosit și a timpului necesar pentru reantrenarea rețelei.

Descrierea mai amănunțită a acestui gen de algoritmi se poate găsi în capitolul 16.

Pentru estimarea scorurilor de coincidență pentru perechi de obiecte din setul de antrenament, au fost testate mai multe măsuri:

$$S^{(1)}_{KL} = \sum_{I=1}^{32} \sum_{J=1}^{32} |MS^{(K)}[I,J] - MS^{(L)}[I,J]| \quad (1)$$

care reprezintă distanța Hamming între obiectele "K" și "L" (imagini binare scalate - 32x32). Este foarte ușor de calculat, dar pentru obiecte foarte asemănătoare, un mic zgomot poate afecta mult încadrarea în fereastră, deci și valoarea calculată pentru scorul de coincidență. O expresie mai corectă este:

$$S^{(2)} = \min_{M,N} \left(\sum_{I=1}^{32} \sum_{J=1}^{32} (MS^{(K)}[I,J] - ME^{(L)}[I+M, J+N])^2 \right) \quad (2)$$

care calculează cel mai bun scor de coincidență între simbolul (K) și simbolul (L) traslat pe orizontală și verticală. Deoarece prelucrările ulterioare asupra imaginii (DCT) nu sunt invariante la translații, (2) ar putea fi folosită în cazul utilizării unui neocognitron în faza de recunoaștere.

tipărite.

$$S^{(3)}_{KL} = \sum_{I=1}^{32} \sum_{J=1}^{32} (\text{DCT}^{(K)} [I,J] - \text{DCT}^{(L)} [I,J])^2 \quad (3)$$

reprezintă distanța euclidiană între obiectele "K" și "L" descrise în spațiul transformatei DCT. Este mai greu de calculat, deoarece setul de antrenament este memorat pe calculator sub forma imaginilor binare scalate.

$$S^{(4)}_{KL} = \sum_{I=1}^{66} (\mathbf{Z}^{(K)} [I] - \mathbf{Z}^{(L)} [I])^2 \quad (4)$$

reprezintă distanța euclidiană între vectorii "K" și "L" rezultați în urma ordonării Zig-Zag. Implică de asemenea un volum mare de calcule, dar se referă exact la valorile care se aplică intrării în clasificator. Pe de altă parte pare mai corectă o ponderare a valorilor $\mathbf{Z}^{[K]} [I]$, funcție de contribuția lor la "forma" simbolului, dar nu se pot face decât presupuneri privind valorile acestor ponderi.

Testele efectuate au arătat că distanțele (1), (3), (4) dau rezultate similare, așa că distanța (1) a fost aleasă datorită complexității reduse a calculelor

După o primă antrenare a rețelei, verificarea comportării ei pe setul de test furnizează un număr de simboluri nerecunoscute. La acestea se adaugă simbolurile nerecunoscute rezultate din exploatarea sistemului. Pe baza lor se schimbă succesiv structura bazei de date, reantrenând de fiecare dată rețeaua neurală folosită drept clasificator. Se îmbunătățește astfel rata de recunoaștere în condițiile menținerii dimensiunii setului de forme de antrenament.

Dacă după un număr predeterminat de pași numărul de erori de recunoaștere detectate nu devine suficient de mic, rezultă că rețeaua neurală folosită nu poate "învăța" un număr atât de mare de simboluri, deci ar trebui adaugați neuroni pe primele două straturi ale rețelei neurale.

19.8. Rezultate obținute și concluzii.

Timpul de recunoaștere obținut (localizare, scalare, DCT, rețea neurală) pentru un calculator Pentium 200MHz este sub 100msec/simbol.

Rata de recunoaștere obținută inițial pentru setul de antrenament/setul de test (840 / 1032 simboluri) rezultă din tabelul următor.

Înainte de actualizare set antrenament:

După adaptare set antrenament (3iterații):

Erori/Prag	0.1	0.2	0.3	0.4	Erori/Prag	0.1	0.2	0.3	0.4
Diez	0 / 1	0 / 0	0 / 0	0 / 0	Diez	0 / 0	0 / 0	0 / 0	0 / 0
Becar	0 / 0	0 / 0	0 / 0	0 / 0	Becar	0 / 0	0 / 0	0 / 0	0 / 0
Bemol	0 / 1	0 / 1	0 / 0	0 / 0	Bemol	0 / 0	0 / 0	0 / 0	0 / 0
Pauză ¼	2 / 6	1 / 4	0 / 3	0 / 1	Pauză ¼	0 / 3	0 / 2	0 / 1	0 / 0
Pauză 1/16	0 / 0	0 / 0	0 / 0	0 / 0	Pauză 1/16	0 / 0	0 / 0	0 / 0	0 / 0
Pauză 1/8	1 / 4	1 / 3	0 / 2	0 / 1	Pauză 1/8	0 / 1	0 / 1	0 / 1	0 / 0
Rejecție	0 / 2	0 / 1	0 / 1	0 / 0	Rejecție	0 / 1	0 / 0	0 / 0	0 / 0
Total	3 / 14	2 / 9	0 / 6	0 / 2	Total	0 / 5	0 / 3	0 / 2	0 / 0
Antr(%)	0.36%	0.24%	0%	0%	Antr(%)	0%	0%	0%	0%
Test(%)	1.36%	0.87%	0.58%	0.19%	Test(%)	0.47%	0.28%	0.19%	0%

Rularea aplicației a furnizat într-o primă fază un număr de 42 simboluri nerecunoscute provenite de la un stil nou de partituri. Ele au fost adăugate setului de test (1072 simboluri) și a fost rulată procedura descrisă anterior.

Câteva luni de utilizare a sistemului de recunoaștere au confirmat robustețea lui și eficacitatea algoritmului de adaptare a setului de antrenament. De asemenea a fost confirmată

ideea supradimensionării inițiale a rețelei neurale, tocmai în scopul de a putea învăța noi simboluri pe durata exploatării, folosind algoritmul de adaptare descris.

20. Recunoașterea automată a textelor tipărite.

- 20.1. Scanarea.
- 20.2. Localizarea obiectelor din imagine.
- 20.3. Localizarea zonelor de text din imagine.
- 20.4. Definirea relațiilor între obiecte.
- 20.5. Algoritm de segmentare a textului prin analiză morfologică.
 - 20.5.1. Conectarea obiectelor.
 - 20.5.2. Tratarea conexiunilor convergente.
 - 20.5.3. Tratarea conexiunilor divergente.
 - 20.5.4. Tratarea conexiunilor multiple reziduale.
 - 20.5.5. Ordonarea obiectelor din text.
- 20.6. Extragerea trăsăturilor.
- 20.7. Clasificarea propriu-zisă.
- 20.8. Construcția setului de date de antrenament și test.
- 20.9. Adaptarea setului de date de antrenament.
- 20.10. Detalii de implementare, rezultate obținute și concluzii.

Studiile efectuate s-au concentrat în direcția recunoașterii caracterelor tipărite și a caracterelor izolate scrise de mână, deoarece pentru ambele cazuri pot fi folosite metode oarecum similare. Complexitatea mare a problemei e datorată nu atât numărului de caractere, cât variabilității mari a fonturilor utilizate în tipărirea documentelor, respectiv variabilității scrisului de mână.

Scopul urmărit în această primă etapă este recunoașterea textelor tipărite în condițiile unor pagini de document suficient de bune calitativ, astfel încât să se evite, pe cât posibil, apariția în text a caracterelor concatenate ("atînse") sau fragmentate ("sparte"). Deși există soluții și pentru astfel de cazuri, ele nu formează obiectul studiului de față.



Fig. 1. Caractere concatenate și caractere fragmentate

Un sistem complet de recunoaștere a documentelor tipărite ar trebui să execute următoarele operații:

1. **Scanarea** (achiziția) imaginii documentului de recunoscut. De regulă, se obține la ieșire un fișier, într-un format standard (**PCX**, **BMP**, **TIFF**, etc. în cazul conectării scanner-ului la un calculator compatibil IBM), care conține imaginea scanată.

2. **Separarea zonelor de text** de cele grafice din imagine. Pașii următori se referă doar la zonele de text astfel localizate. Unele implementări de sisteme de recunoaștere descrise în literatură propun strategii diferite de abordare, ceea ce se traduce prin realizarea separării zonelor de text după sau chiar în cadrul operației de localizare a obiectelor (pasul 3).

3. **Localizarea obiectelor** din imagine (sau din zona de text determinată) prin încadrarea lor într-o fereastră dreptunghiulară.

4. **Ordonarea obiectelor**, funcție de poziția lor relativă, de la stânga la dreapta și de sus în jos, pentru a le furniza clasificatorului în ordinea naturală a scrisului.

5. Se tratează **cazurile particulare** ale punctului precedent, adică simbolurile compuse, precum "i", "j", "!"(semnul exclamării), "?"(semnul întrebării), ";"(punct și virgulă), ":"(două puncte), ""(ghilimele), "%" (procent), la care se adaugă, în cazul limbii române, caracterele "ă", "â", "î", "ș", "ț", plus spațiile(caracterele "blank" și "tab). Funcție de poziția relativă a acestor obiecte ele se concatenează pentru a forma, în dreptunghiul de încadrare, simbolul căutat.

Observație. Se poate adopta și o altă strategie, mai puțin eficientă însă. Se renunță în această fază la punctul 5, încercându-se recunoașterea **obiectelor** izolate: "i fără punct", "j fără punct", "."(punct), ","(virgulă), "/"(de la procent %), "o" (de la procent %), urmând ca apoi să se ia decizia definitivă după reguli simple de forma:

- "."(punct) deasupra unui "i fără punct" ==> caracterul "i";
- "o" în stânga-sus față de obiectul "/" și un alt "o" în dreapta-jos față de același obiect "/" ==> caracterul "%", etc.

Ca urmare, se poate utiliza o tehnică de *preclasificare* a obiectelor în "obiecte mici", incluzând "."(punctul), ","(virgula), etc. și restul obiectelor. Cu reguli de genul celor de mai sus se face apoi asamblarea obiectelor în caractere. Dezavantajul apare în cazul caracterelor compuse, la care obiectele componente se ating (caz destul de des întâlnit), pentru care această a doua metodă nu mai funcționează.

6. **Extragerea și selecția trăsăturilor** are drept scop obținerea celor mai semnificative trăsături ale fiecărui caracter. Ele trebuie să fie suficient de puține la număr pentru a scurta timpul de clasificare, dar și suficient de multe pentru a caracteriza cât mai bine fiecare caracter.

7. **Clasificarea** propriu-zisă furnizează la ieșire decizia de apartenență a fiecărui obiect la una din clasele posibile.

8. Pasul care urmează în mod natural este un **analizor lexical** care să valideze informațiile furnizate de sistemul de recunoaștere.

20.1. Scanarea.

Scanarea unei pagini de text (document) se face la o rezoluție care să permită separarea corectă a obiectelor din pagină (dimensiunea unui pixel să fie mai mică decât grosimea oricărui obiect din pagină), fără să apară obiecte concatenate sau sparte din această cauză. Este de preferat o rezoluție mai mare decât necesară pentru început (sunt posibile scalări ulterioare ale imaginii).

Deși majoritatea scanner-elor existente pot furniza la ieșire imagini binare (deci gata segmentate), pentru calități mai slabe ale tipăriturii, ele dau rezultate nesatisfăcătoare, fapt pentru care este de preferat achiziția imaginii în scară de gri, urmată de o segmentare folosind algoritmi mai performanți.

Diferitele tipuri de scannere existente sunt livrate cu un software dedicat. Indiferent de principiul lor de funcționare, pentru imaginile tip document, ele furnizează la ieșire un fișier, într-un format standard, conținând o imagine binară (la 1 bit/pixel) sau cu mai multe nuanțe (de gri sau culori).

Formatele utilizate în mod curent sunt **BMP**, **PCX** și **TIFF**. Deoarece există deja programe de conversie dintr-un format într-altul (Picture Eze, Graphics Workshop, etc.), am optat pentru lucrul cu formatul cel mai simplu, adică **BMP**.

Formatul **PCX** prezintă avantajul unui spațiu-disc ocupat mai mic, datorită compresiei **RLL** utilizate. Formatul **TIFF**, probabil cel mai complet format de descriere a fișierelor imagistice, are un antet destul de complex, iar informația propriu-zisă poate fi necompresată sau compresată (cel mai ades cu algoritmul **LZW** care asigură o rată de compresie deosebit de bună).

De notat faptul că informația propriu-zisă este scrisă în fișier linie cu linie; un octet include deci 8 pixeli succesivi dintr-o linie, iar numărul de octeți alocat unei linii este întotdeauna rotunjit la multiplu de 4 octeți (32 biți). Prima linie din imagine corespunde ultimei linii din fișier.

Selectarea unui fișier de imagine pentru recunoaștere corespunde deschiderii fișierului **.BMP** respectiv și verificării câmpurilor antetului corespunzător acestui format, astfel încât să fie respectată condiția ca fișierul să conțină o imagine (binară sau nu). Lungimea acestui fișier este:

$$L_{total} = L_{antet} + \Delta x \Delta y N_{bit/pixel} / 8 \quad (1)$$

20.2. Localizarea obiectelor din imagine.

Algoritmul de localizare a obiectelor din imagine este, în principiu, un algoritm de urmărire de contur, adaptat la necesitățile aplicației.

Pașii urmați de acest algoritm sunt următorii:

(a). Prima și ultima linie, prima și ultima coloană din imagine sunt șterse (forțate la $alb=1$), ceea ce asigură funcționarea rapidă și corectă a algoritmului. Nu se mai execută testele de "depășire limite imagine" pentru fiecare pixel, ceea ce mărește viteza de execuție a urmăririi de contur. De asemenea, această ștergere nu poate produce nici un fel de pierdere de informație, deoarece nu pot exista informații esențiale în zonele menționate.

(b). Se baleiază imaginea linie cu linie, de sus în jos și de la stânga la dreapta, până la depistarea unui pixel obiect. (Prin obiect, în cele ce urmează, vom desemna caracterele încă nerecunoscute, părți sau fragmente de caracter, caractere concatenate, alte "pete" negre pe fond alb).

Se rețin coordonatele X_S și Y_S ale acestui prim pixel aparținând unui obiect din imagine. El devine "pixelul curent", adică $P(X_C, Y_C)$.

(c). Plecând de la coordonatele $(X_S, Y_S - 1)$ se baleiază vecinii pixelului curent, (în sens orar, de exemplu), în căutarea unui alt pixel obiect.

Dacă nu se găsește așa ceva, avem de-a face cu un pixel izolat, care se șterge, adică $P(X_C, Y_C) = P(X_S, Y_S) = 1(alb)$. În caz contrar, pixelul nou găsit devine pixel curent, cu coordonatele (X_C, Y_C) . Astfel se elimină o parcurgere suplimentară a imaginii în scopul ștergerii pixelilor izolați.

Plecând de la precedentul pixel curent, se baleiază în același sens vecinii pixelului curent, până la depistarea unui nou pixel obiect, care va deveni pixel curent. Procedeu continuă până la închiderea conturului, adică până când pixel curent devine $P(X_S, Y_S)$.

(d). Pacurgerea conturului unui obiect este însoțită de determinarea limitelor dreptunghiului de încadrare, adică vor fi determinate valorile $X_{MIN}, X_{MAX}, Y_{MIN}, Y_{MAX}$, astfel:

$$X_{MIN} = X_{MAX} = X_S; Y_{MIN} = Y_{MAX} = Y_S; \text{ (inițializare)}$$

apoi, pentru fiecare pas al algoritmului (pixel curent) avem:

$$\text{IF } (X_C < X_{MIN}) \text{ THEN } X_{MIN} = X_C; \quad (2)$$

$$\text{IF } (X_C > X_{MAX}) \text{ THEN } X_{MAX} = X_C; \quad (3)$$

$$\text{IF } (Y_C < Y_{MIN}) \text{ THEN } Y_{MIN} = Y_C; \quad (4)$$

$$\text{IF } (Y_C < X_{MAX}) \text{ THEN } Y_{MIN} = Y_C; \quad (5)$$

(e). Pacurgerea conturului unui obiect este însoțită de determinarea ariei mărginite de conturul urmărit. Dacă notăm cu A variabila-acumulator folosită pentru calculul ariei, inițial avem $A=0$ și pentru fiecare nou pixel de contur ea este incrementată cu o valoare dependentă de poziția relativă a pixelului curent față de cel precedent, conform tabelelor următor:

<i>Sens orar parcurgere contur</i>				<i>Sens trigonometric parcurgere contur</i>			
Cod	Δx	Δy	ΔA	Cod	Δx	Δy	ΔA
0	+1	0	+y	0	+1	0	-y
1	+1	+1	+y+0.5	1	+1	+1	-y-0.5
2	0	+1	0	2	0	+1	0
3	-1	+1	-y+0.5	3	-1	+1	+y+0.5
4	-1	0	-y	4	-1	0	+y
5	-1	-1	-y-0.5	5	-1	-1	+y-0.5
6	0	-1	0	6	0	-1	0
7	+1	-1	+y-0.5	7	+1	-1	-y+0.5

Dacă valoarea finală obținută pentru arie este negativă s-a parcurs un contur interior, deci nu avem de-a face cu un obiect autentic. Aria calculată poate fi folosită încă din această etapă pentru selectarea obiectelor foarte mici în scopul eliminării lor.

Odată localizat, obiectul ar putea fi salvat și șters din imagine. De notat că este mai corectă ștergerea obiectelor din interiorul conturului închis decât ștergerea tuturor pixelilor din dreptunghiul de încadrare, deoarece astfel se evită ștergerea unor informații utile ca în exemplul următor:

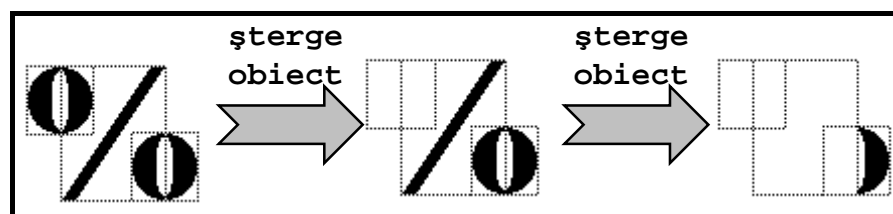


Fig. 2. Ștergerea eronată a obiectelor localizate.

Apoi se reia baleiajul de la exact aceeași linie (Y_s), în căutarea altor obiecte. Obiectele prea mici sau prea mari se vor elimina (filtrul logic). Condițiile de eliminare folosite sunt următoarele:

$$(X_{MAX} - X_{MIN}) < Th_1 \text{ sau } (Y_{MAX} - Y_{MIN}) < Th_2 \text{ sau } \sum_{i=X_{MIN}}^{X_{MAX}} \sum_{j=Y_{MIN}}^{Y_{MAX}} [1 - P(i,j)] < Th_3 \quad (6)$$

$$(X_{MAX} - X_{MIN}) > Th_4 \text{ sau } (Y_{MAX} - Y_{MIN}) > Th_5 \text{ sau } \sum_{i=X_{MIN}}^{X_{MAX}} \sum_{j=Y_{MIN}}^{Y_{MAX}} [1 - P(i,j)] < Th_6 \quad (7)$$

20.3. Localizarea zonelor de text din imagine.

O componentă importantă a procesului de pregătire a unui document pentru recunoaștere este separarea zonelor de text din documentul scanat. O pagină document obișnuită poate conține nu numai text ci și imagini, desene, grafice, etc.

Separarea zonelor de text dintr-o imagine scurtează semnificativ timpul de operare, știut fiind faptul că operațiile de netezire obiecte, localizare obiecte, ordonare pe rânduri și coloane, etc. durează destul de mult și aplicarea unor algoritmi specifici care să limiteze aria de interes doar la zonele de text este în măsură să micșoreze timpul de răspuns al sistemului de recunoaștere.

Algoritmul RLSA (Run Length Smoothing Algorithm) conectează împreună în aceeași zonă caractere care sunt separate de mai puțin de un număr dat de pixeli. Acest algoritm se aplică pe verticală și orizontală iar rezultatul final se obține printr-o intersecție logică între cele două imagini binare astfel obținute. Rezultă astfel blocuri pentru fiecare rând de text. Apoi blocurile (deci rândurile de text) se concatenează pentru a forma paragrafe.

Inițial obiectele din imagine pot fi clasificate în 6 tipuri (clase):

- **Tip 1** : separator vertical.
- **Tip 2** : text sau zgomot;
- **Tip 3** : separator orizontal;
- **Tip 4** : text;
- **Tip 5** : tabel, diagramă sau grafic;
- **Tip 6** : imagine "halftone";

Testele de mărime se referă la înălțimea obiectelor și la raportul lățime/înălțime, iar testul de "halftone" verifică conectivitatea între liniile adiacente ale aceluiași bloc, prin studierea LAG (Line Adjacency Graph) atașat blocului curent. Obiectele cu lățime mare pot fi încadrate într-unul din tipurile (2), (3), sau (4); un obiect cu înălțime mare dar cu lățime foarte mică va fi un separator vertical (6), etc.

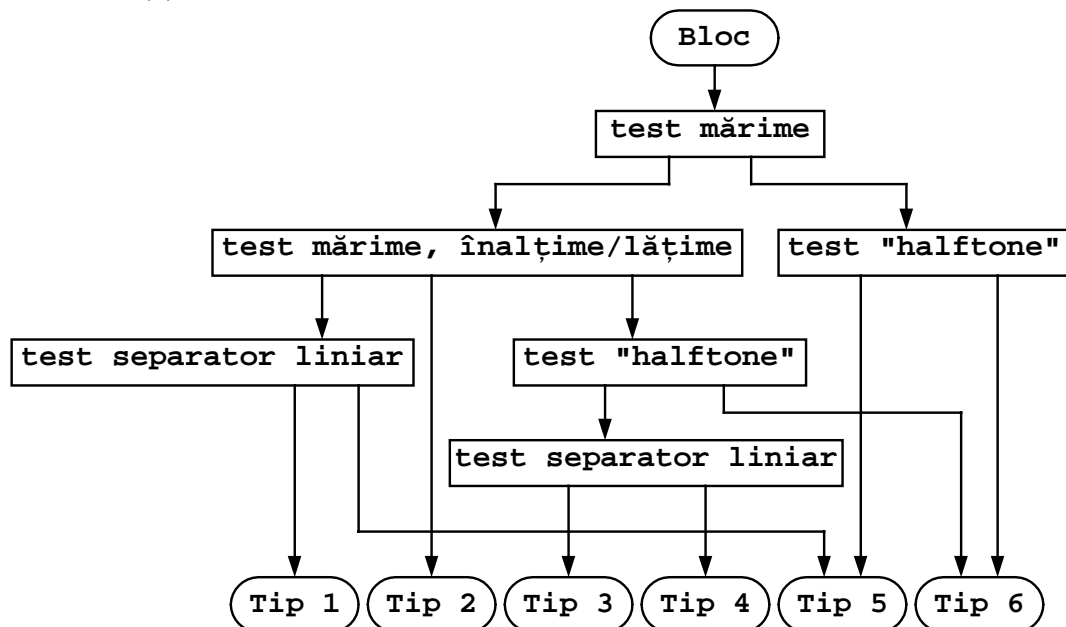


Fig. 3. Clasificarea obiectelor din imagine funcție de dimensiuni.

Estimarea înclinării liniei de bază a rândurilor de text se poate face de asemenea prin mai multe metode. Se folosește curent o tehnică LMS de potrivire a unei linii care trece prin centrul blocului atașat unui rând de text. Pot apărea erori de estimare din cauza înălțimii diferite a caracterelor în limbile ce folosesc caractere latine (ex.: "h" față de "e"). Deoarece frecvența cea mai mare de apariție o au caracterele cu înălțime mică ("m", "n", "e", "a", "s", etc.), eliminându-le pe celelalte, se poate micșora eroarea de estimare a acestui unghi.

20.4. Definirea relațiilor între obiecte.

Două obiecte "i" și "j" se pot considera ca aparținând aceluiași rând din document dacă:

$$\max[Y_{MIN}(i), Y_{MIN}(j)] < \min[Y_{MAX}(i), Y_{MAX}(j)]$$

Dacă însă avem de-a face cu o scanare relativ incorectă, adică rândurile tipărite apar înclinate în imaginea scanată, atunci regula anterioară nu mai este valabilă.

Evident, pot fi utilizate tehnici mai performante de separare a rândurilor într-o imagine scanată, cum ar fi algoritmul următor:

- a) ordonează obiectele în ordinea crescătoare a lui X_{MIN} ;

b) pentru primul obiect din lista ordonată se selectează vecinul lui din dreapta, adică acel obiect "i" pentru care:

$$\max[Y_{MIN}(I), Y_{MIN}(i)] < \min[Y_{MAX}(I), Y_{MAX}(i)] \text{ și}$$

$$X_{MIN}(i) = \min_{k=2, \dots} [X_{MIN}(K)]$$

c) Se selectează succesiv obiectele din același rând, folosind procedura de căutare anterioară. Căutarea se oprește când nu mai există obiecte care să îndeplinească condițiile de mai sus. Se obține o secvență de obiecte aflată, în ordinea selectării, pe același rând, de la stânga la dreapta.

d) Se elimină din șirul ordonat obiectele marcate anterior ca aparținând unui rând. Se repetă pașii b), c), d) ai algoritmului, plecând de fiecare dată de la primul obiect din șirul ordonat.

Obiectele din același rând pentru care este îndeplinită condiția:

$$\max[X_{MIN}(i), X_{MIN}(j)] < \min[X_{MAX}(i), X_{MAX}(j)]$$

aparțin aceluiași caracter, deci ele vor fi concatenate prin plasarea lor într-o fereastră cu coordonatele colțurilor:

$$(\min[X_{MIN}(i), X_{MIN}(j)], \min[Y_{MIN}(i), Y_{MIN}(j)]) \text{ și}$$

$$(\max[X_{MAX}(i), X_{MAX}(j)], \max[Y_{MAX}(i), Y_{MAX}(j)])$$

O altă procedură care ar putea fi folosită implică utilizarea unor ferestre mobile, și este descrisă în continuare:

a) ordonează obiectele în ordinea crescătoare a lui X_{MIN} ;

b) pentru primul obiect din lista ordonată, care implicit este plasat pe prima poziție din stânga a unui rând oarecare se construiește o fereastră având ordonatele date de:

$$[Y_{MIN} - k * (Y_{MAX} - Y_{MIN}), Y_{MIN} + k * (Y_{MAX} - Y_{MIN})]$$

căutarea făcându-se în această fereastră, după deplasarea ei pe orizontală, către dreapta.

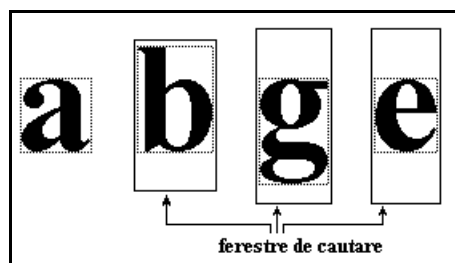
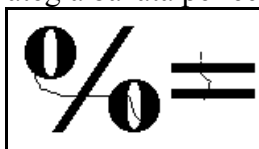


Fig. 4. Fereastră mobilă de căutare a caracterelor.

Avantajul acestei metode este evident în cazul în care apar caractere concatenate formate din obiecte care se ating, caz în care strategia bazată pe recunoașterea obiectelor eșuează.



O altă variantă determină, după localizarea primului obiect, valoarea $(Y_{MIN} + Y_{MAX}) / 2$, căutarea următoarelor obiecte făcându-se în stânga și în dreapta obiectului găsit, de-a lungul liniei cu ecuația:

$$y = (Y_{MIN} + Y_{MAX}) / 2 = \text{const.}$$

Se remarcă posibilitatea funcționării incorecte a acestei variante pentru anumite caractere speciale, precum ":", ";", ".", ",", etc. Amplasarea corectă în text a acestor simboluri se poate face ulterior.

Dacă *nu se execută în această fază operația de asamblare* a caracterelor compuse din mai multe simboluri, asamblarea poate fi făcută mai târziu, pe baze logice. Către clasificator vor fi trimise în acest caz nu *caractere* ci *obiecte*. Lista obiectelor ce pot rezulta în urma operației de localizare (fără asamblare) este:

Cifrele(10): **01234567890**;

Litere mici(23): **abcdefghijklmnopqrstvwxyz**;

Litere mari(25): **ABCDEFGHIJKLMNOPQRSTUVWXYZ**;

Caractere speciale(18): () [] { } @ # \$ & * + / \ < > ^ ~

Alte caractere și fragmente de caractere(8):

- **punct, virgulă, bară orizontală, bară verticală**;
- **"i fără punct", "j fără punct"**;
- **"semnul întrebării fără punct"**;
- **"% de la procent %"**.

Rezultă un total de 84 simboluri la care, pentru cazul limbii române, ar putea fi adăugate căciulița de la "î" și "â". Pot fi folosite în acest scop însă ultimele două simboluri de la caractere speciale (^ și ~), deoarece diferențierea între cele două perechi de simboluri se face relativ ușor din studiul pozițiilor relative ale obiectelor aflate pe același rând și la aceeași abscisă: "^" și "~" apar izolate, pe când căciulițele apar deasupra unui **"i fără punct"**, respectiv **"a"**.

Caracterele "0"(zero), "o"(o mic) și "O"(O mare), datorită formei lor mult prea asemănătoare vor fi considerate ca reprezentând un singur caracter. Diferențierea lor se va face din analiza contextului, eventual din estimarea proporțiilor.

Odată recunoscute aceste obiecte, recunoașterea caracterelor compuse se face după următorul șir de reguli:

- **"(punct) deasupra unui "i fără punct" ==> caracterul "i"**;
- **"(punct) deasupra unui "j fără punct" ==> caracterul "j"**;
- **"o" în stânga-sus față de obiectul "/" și un alt "o" în dreapta-jos față de același obiect "/" ==> caracterul "%"**;
- **"(punct) deasupra unui "(punct) ==> caracterul ":**;
- **"(punct) deasupra unui ",(virgula) ==> caracterul ";**;
- **"(punct) sub o bară verticală ==> caracterul "!"**;
- **"(punct) sub "semnul întrebării fara punct" ==> caracterul "?"**;
- **În plus, pentru limba româna, apar regulile:**
- **"~" deasupra unui obiect "a" ==> caracterul "a"**;
- **"^" deasupra unui obiect "a" ==> caracterul "a"**;
- **"^" deasupra unui "i fără punct" ==> caracterul "i"**;
- **"," (virgula) sub un obiect "s" ==> caracterul "s"**;
- **"," (virgula) sub un obiect "t" ==> caracterul "t"**;
- **"," (virgula) sub un obiect "S" ==> caracterul "S"**;
- **"," (virgula) sub un obiect "T" ==> caracterul "T"**;
- **"-" (minus) sub sau deasupra unui alt "-" ==> caracterul "="**.

Un alt set de reguli suplimentare pot fi folosite pentru a elimina anumite tipuri de erori, destul de frecvente, precum confuzia între "(punct)", "(virgula)", "^" și "~":

- **"," (virgula) sub un "!" fără punct" se transformă în "." pentru a forma caracterul "!"**;
- **"," (virgula) sub un "?" fără punct" se transformă în "." pentru a forma caracterul "?"**;
- **"," (virgula) deasupra unui "i fără punct" se transformă în "." pentru a forma caracterul "i"**;

- *","(virgula) deasupra unui "j fără punct" se transformă în "." pentru a forma caracterul "j";*
- *","(punct) sub un caracter "s", "S", "t", "T" se transformă în obiectul "virgulă" pentru a forma caracterele din limba română "s", "S", "t", "T";*

20.5. Algoritm de segmentare a textului prin analiză morfologică.

În acest paragraf se descrie un algoritm original de segmentare a textului prin analiza morfologică a obiectelor din imagine. El se bazează pe folosirea unor informații apriorice referitoare la structura oricărui text tipărit.

Orice text tipărit poate fi definit ca o mulțime de obiecte (care pot fi caractere sau părți din caractere – cum ar fi punctul literei "i") a căror poziții relative permit gruparea lor în caractere, a caracterelor în cuvinte, a cuvintelor în rânduri și, eventual, a rândurilor în paragrafe și a paragrafelor în coloane.

Această definiție constituie cheia algoritmului care va fi descris în continuare.

Doar câteva caractere sunt compuse din mai multe obiecte. Pe lângă "i", "j", "!"(semnul exclamării), "?"(semnul întrebării), ":"(două puncte), ";"(punct și virgulă), ""(ghilimele) și "%" (procent) care se folosesc în mai toate limbile de origine europeană, s-au mai introdus în studiu caracterele specifice limbii române: "ă", "î", "ș", "ț", "â".

Propozițiile următoare definesc pozițiile relative ale obiectelor din cadrul caracterelor compuse:

- *Toate aceste caractere compuse sunt alcătuite din câte două obiecte, cu excepția caracterului "%" (procent).*
- *Toate caracterelor compuse se caracterizează prin amplasarea relativă a celor două obiecte componente "unul deasupra celuilalt", cu excepția caracterelor ""(ghilimele) și "%" (procent).*
- *Caracterul ""(ghilimele) este format din două obiecte de dimensiuni aproximativ egale, mai mici decât caracterele necompușe și amplasate pe aceeași linie*
- *Caracterul "%" (procent) este compus din trei obiecte, un "o" în stânga-sus față de obiectul "/" și un alt "o" în dreapta-jos față de același obiect "/".*

Analizând, pe baza propozițiilor precedente, obiectele localizate într-o imagine se realizează gruparea obiectelor în caractere.

Un alt grup de reguli poate fi definit pentru gruparea caracterelor în cuvinte pentru limbile de origine europeană.

- *În cadrul unui cuvânt, caracterele se poziționează pe aceeași linie, unul în stânga celuilalt.*
- *Distanțele dintre caractere sunt sensibil mai mici decât distanțele dintre cuvinte.*

Următorul grup de reguli poate fi definit pentru gruparea cuvintelor în rânduri pentru limbile de origine europeană.

- *În cadrul unui rând, cuvintele se poziționează pe aceeași linie, unul în stânga celuilalt.*
- *Distanțele dintre coloane sunt sensibil mai mari decât distanțele dintre cuvinte.*

Pentru gruparea rândurilor în paragrafe, funcție de stilul de tehnoredactare ales, poate fi folosită una din regulile următoare (de obicei doar una din ele este adevărată).

- *Distanța dintre două paragrafe este mai mare ca distanța dintre două rânduri.*
- *Rândul de început al unui paragraf are limita stângă sensibil mai mare decât limita stânga a următorului rând din paragraf.*

Pentru gruparea paragrafelor în coloane, poate fi folosită una din regulile următoare (de obicei doar una din ele este adevărată).

- *Paragrafele din aceeași coloană au aceeași limită stângă și (aproximativ) aceeași limită dreaptă.*
- *Distanțele pe orizontală dintre coloane sunt sensibil mai mari decât distanțele dintre cuvinte.*
- *Distanțele pe verticală dintre coloane sunt sensibil mai mari decât distanțele dintre paragrafe.*

Adesea segmente de linie suplimentare se folosesc ca separatori de coloane sau pentru separarea articolelor între ele.

Relațiile dimensionale definite până acum urmează a fi traduse în relații matematice mai departe. Folosind regulile descrise aici s-a dezvoltat un algoritm original de segmentare a textului din imaginile digitale.

20.5.1. Conectarea obiectelor.

În această fază se urmărește construcția unui graf orientat care să descrie cât mai fidel relațiile dintre obiectele localizate în imagine. Fiecare din nodurile acestui graf este aferent unuia din obiectele detectate în imagine. Conexiunile dintre ele (arcele) se construiesc pe baza pozițiilor relative ale obiectelor corespunzătoare, folosind un set de reguli deduse folosind propozițiile definite în paragraful următor.

În faza inițială se face o conectare preliminară a obiectelor, după care se încearcă tratarea conexiunilor multiple (conexiuni de la sau către un nod comun).

Regula folosită în această fază inițială este dată de:

- *Orice obiect se conectează cu cel mai apropiat obiect aflat în dreapta sa, pe aceeași linie.*
- *Implementarea acestei reguli se realizează principal în doi pași:*
- *Se conectează mai întâi orice obiect cu toate obiectele aflate în stânga sa pe același rând.*
- *Pentru orice tripletă de obiecte $\{A, B, C\}$ aflate în această ordine pe același rând, în perechea de conexiuni $[A \rightarrow B]$ și $[A \rightarrow C]$ se înlocuiește ultima conexiune cu $[B \rightarrow C]$.*

Graful orientat care se obține în această fază din imaginea unei zone de text va conține conexiuni multiple doar pentru caracterele compuse. Prezența în imagine a altor zone diferite de cele de text (linii, grafice, imagini) generează conexiuni multiple suplimentare. După tratarea acelor conexiuni multiple datorate caracterelor multiple, se poate presupune cu un grad extrem de mare de siguranță, că toate conexiunile multiple rămase sunt aferente obiectelor de tip linie, grafic, imagine, dar nu obiectelor de tip text.

- Pentru fiecare obiect din imagine (nod în graf) se rețin următoarele informații:
- Coordonatele punctului de start pentru parcurgerea conturului; ele sunt necesare în acele cazuri în care dreptunghiurile de încadrare ale caracterelor alăturate se suprapun, caz destul de des întâlnit dacă caracterele din text sunt de tip “*italic*”. Coordonatele acestui punct de start sunt necesare pentru selecția rapidă a obiectului vizat din dreptunghiul de încadrare;
- Coordonatele dreptunghiului de încadrare;
- Lista referințelor către obiectele țintă cu care acest obiect este conectat;
- Lista referințelor către obiectele rădăcină conectate cu acest obiect;
- Indicator pentru cazul în care obiectul curent este atașat unui alt obiect împreună cu care formează un obiect compus;

Pentru accelerarea manipulării informațiilor referitoare la obiectele din imagine și conexiunile între ele se poate completa lista precedentă cu:

- Numărul obiectelor țintă cu care este conectat obiectul curent;
- Numărul obiectelor rădăcină conectate cu acest obiect;
- Indicator pentru obiectele aflate la început de rând de text.

20.5.2. Tratarea conexiunilor convergente.

Plecând de la ipoteza că unele din conexiunile multiple rămase sunt datorate caracterelor compuse din mai multe obiecte, se verifică pozițiile relative ale acestor obiecte și dacă ele satisfac ipotezele corespunzătoare descrise în paragraful 20.4, vor fi etichetate în mod corespunzător.

În figurile următoare este prezentat un caz tipic de evoluție a unei conexiuni convergente datorate unui caracter compus (litera "i" în acest caz). Ambele obiecte componente ale acestui caracter se află pe același rând cu caracterul "b", ceea ce duce la apariția conexiunii convergente.

Deoarece obiectele "punct" și "m" nu se află în aceeași coloană, conexiunea de la obiectul "punct" la obiectul "b" se înlocuiește cu conexiunea mai scurtă de la obiectul "punct" la obiectul "m". Se obține o conexiune multiplă similară, care se tratează folosind aceleași reguli. Situația obținută acum este diferită, deoarece obiectele rădăcină ale conexiunii multiple se află acum în aceeași coloană, deci se poate presupune că ele aparțin aceluiași caracter. Ca urmare, se va eticheta într-un mod special obiectul rădăcină mai mic ("punct") și va fi atașat de obiectul rădăcină mai mare "i fără punct".

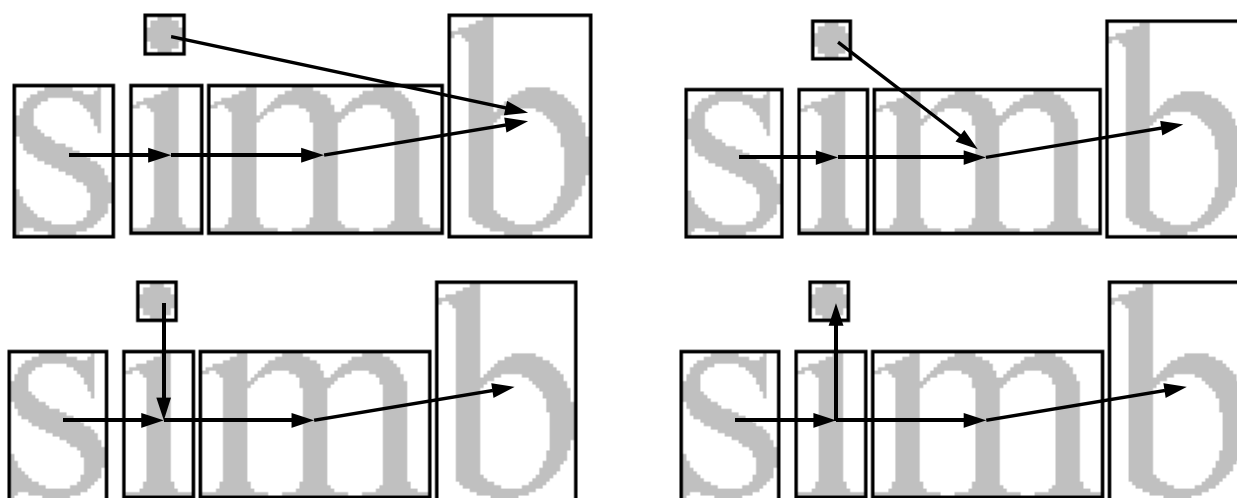


Fig. 5. Tratarea conexiunilor convergente.

Generalizând, o conexiune convergentă se tratează folosind următoarele două reguli:

- Dacă obiectele rădăcină ale unei conexiuni convergente se află în coloane diferite, conexiunea de la obiectul rădăcină aflat mai la stânga capătă ca destinație celălalt obiect rădăcină.
- Dacă obiectele rădăcină ale unei conexiuni convergente se află în aceeași coloană, obiectul rădăcină mai mic se conectează la obiectul rădăcină mai mare, conexiunea sa către obiectul destinație este distrusă, el fiind etichetat ca obiect "atașat".

20.5.3. Tratarea conexiunilor divergente.

Se va folosi și în acest caz ipoteza că unele din conexiunile multiple rămase sunt datorate caracterelor compuse din mai multe obiecte. Verificând pozițiile relative ale acestor obiecte pe baza ipotezelor corespunzătoare descrise în paragraful 20.4, ele pot fi tratate în mod asemănător conexiunilor convergente.

În figurile următoare este prezentat un caz tipic de evoluție a unei conexiuni divergente datorate unui caracter compus (litera "i"). Ambele obiecte componente ale acestui caracter se află pe același rând cu caracterul "l", ceea ce duce la apariția conexiunii divergente.

Deoarece obiectele "punct" și "a" nu se află în aceeași coloană, conexiunea de la obiectul "l" la obiectul "punct" se înlocuiește cu conexiunea mai scurtă de la obiectul "a" la obiectul "punct". Se obține o conexiune divergentă similară, care se tratează folosind aceleași reguli.

Situația obținută după trei pași este diferită, deoarece obiectele țintă ale conexiunii multiple se află acum în aceeași coloană, deci se poate presupune că ele aparțin aceluiași caracter. Ca urmare, se va eticheta într-un mod special obiectul rădăcină mai mic ("punct") și va fi atașat de obiectul rădăcină mai mare "i fără punct".

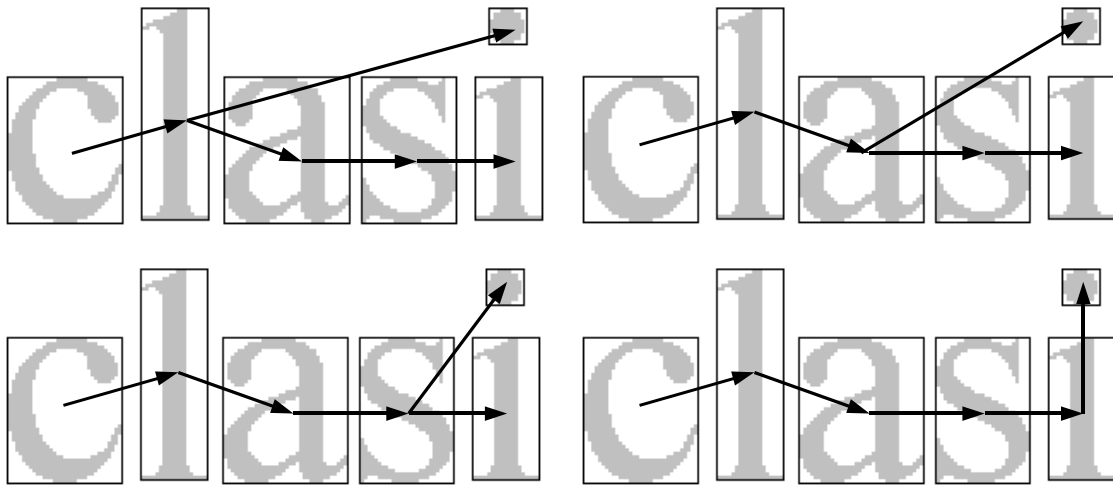


Fig. 6. Tratarea conexiunilor divergente.

Generalizând, o conexiune divergentă se tratează folosind următoarele două reguli:

- *Dacă obiectele țintă ale unei conexiuni convergente se află în coloane diferite, conexiunea către la obiectul țintă aflat mai la dreapta capătă ca rădăcină celălalt obiect țintă.*
- *Dacă obiectele țintă ale unei conexiuni divergente se află în aceeași coloană, obiectul țintă mai mic se conectează la obiectul țintă mai mare, conexiunea sa de la obiectul rădăcină este distrusă, el fiind etichetat ca obiect "atașat".*

Se poate remarca cu ușurință simetria existentă în modul de tratare a conexiunilor convergente și a celor divergente.

20.5.4. Tratarea conexiunilor multiple reziduale.

Conexiunile multiple rămase în această fază a algoritmului pot fi datorate unor cauze diferite:

- *Erori de scanare, de obicei sub forma caracterelor fragmentate, ceea ce duce la mai mult de două obiecte pentru un caracter. De asemenea prezența zgomotului poate avea același efect.*
- *Prezența în imaginea scanată a unor obiecte diferite de text: linii, desene, imagini binarizate (half-tone images).*
- *Prezența în imaginea scanată, în zonele de text, a formulelor matematice.*

Obiectele implicate în conexiunile multiple rămase se tratează separat, încercându-se fie concatenarea lor, fie eliminarea unor conexiuni inutile, fie chiar eliminarea unora din obiecte din faza de recunoaștere. Se apelează pentru aceasta la criteriile dimensionale și la analiza poziției lor relative.

Apariția în text a caracterelor de tip "italic" duce adesea la suprapunerea drepunghiurilor de încadrare a caracterelor alăturate.



Fig. 7. Suprapunerea dreptunghiurilor de încadrare.

Aceasta nu afectează cu nimic comportarea algoritmului de segmentare, atâta timp cât caracterele nu se ating între ele. În faza de recunoaștere trebuie însă avut în vedere faptul că nu trebuie analizat întreg conținutul dreptunghiului de încadrare, ci doar caracterul corespunzător.

20.5.5. Ordonarea obiectelor din text.

Folosind metoda descrisă până acum, este foarte simplu de efectuat ordonarea obiectelor din text, pentru a furniza la intrarea clasificatorului caracterele în ordinea naturală a scrisului și a stabili în același timp localizarea finală a celorlalte componente ale documentului: cuvinte, rânduri, paragrafe, eventual coloane, linii, desene, imagini.

Folosind informația din structura de date care descrie graful orientat obținut până acum se realizează mai întâi gruparea obiectelor în caractere, grupând obiectele etichetate ca “atașate” astfel încât ele vor fi considerate mai departe ca formând împreună un caracter.

Gruparea caracterelor în cuvinte este echivalentă cu detectarea separatorilor (spațiilor) dintre cuvinte. Este o operație simplă care are ca efect etichetarea conexiunilor între acele caractere care sunt suficient de depărtate între ele. Pragul peste care distanța între două caractere se consideră a fi un separator de cuvânt se determină foarte simplu, ca o fracțiune din înălțimea caracterelor respective. După faza de recunoaștere între caracterele recunoscute corespunzătoare se vor însera unul sau mai multe caractere spațiu, funcție de distanța măsurată.

O distanță foarte mare între două caractere aflate pe același rând poate însemna faptul că ele aparțin unor coloane de text diferite.

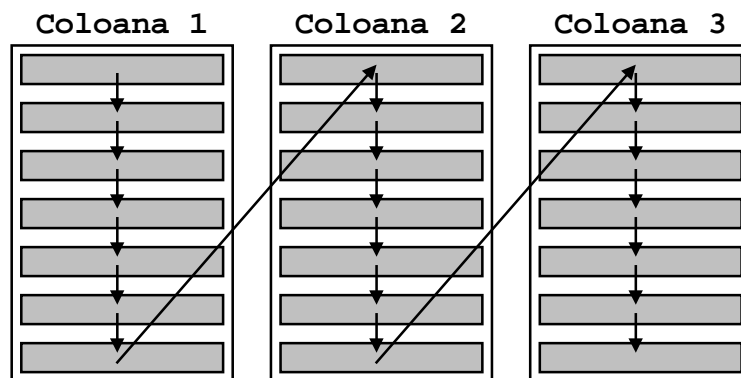


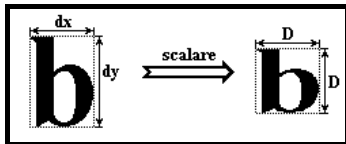
Fig. 8. Ordonarea rândurilor și coloanelor de text.

În acest caz conexiunea între caracterele corespunzătoare trebuie distrusă, iar în aplicarea algoritmului de ordonare a rândurilor de text trebuie analizată poziția relativă a rândurilor depistate, nu doar ordonata începutului de rând.

20.6. Extragerea trăsăturilor.

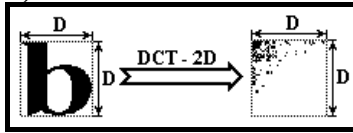
Faza de extragere a trăsăturilor presupune parcurgerea următorilor pași:

a) Scalarea simbolurilor:



Se obține o matrice binară de dimensiune constantă, conținând imaginea scalată. Astfel este rezolvată invarianța la scalare pe orizontală și verticală, impusă de aplicație.

b) Transformata Cosinus Discretă bidimensională:



Deoarece implementarea transformării optimale (Karhunen-Loeve) este dificilă, modelând intrarea $\{X\}$ cu un proces Markov de ordinul unu, cea mai bună aproximare a transformării Karhunen-Loeve discretă este **DCT** (Transformata Cosinus Discretă). Această modelare nu este foarte restrictivă și se poate folosi cu succes în multe aplicații.

Pentru calculul **DCT** există nu numai algoritmi rapizi de calcul, ci și circuite specializate de mare viteză.

Pentru cazul bidimensional se folosește:

$$F(u,v) = \frac{1}{2N} \sum_{j=0}^{N-1} \sum_{k=0}^{N-1} f(j,k) \cos\left(\frac{\pi u j}{N}\right) \cos\left(\frac{\pi v k}{N}\right)$$

rezultând o matrice de aceeași dimensiune, cu valori reale, slab corelate. Valorile semnificative ale acestei matrici sunt plasate în colțul din stânga sus.

c) Ordonarea Zig - Zag.

Este o procedură de vectorizare a matricii **DCT**, după regula din figura de mai jos:

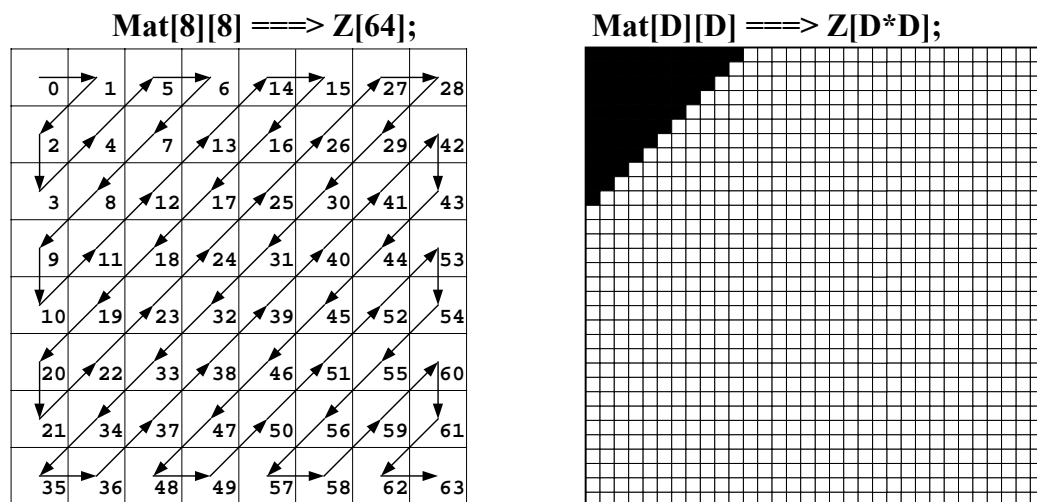


Fig. 9. Ordonarea Zig-Zag.

Deoarece **DCT** bidimensională concentrează informația din imaginea inițială în colțul din stânga sus al matricii rezultate, după ordonarea Zig - Zag aceeași informație va fi regăsită în primele elemente ale vectorului obținut.

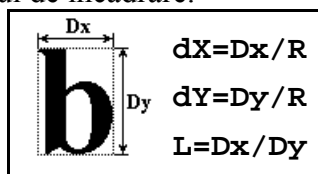
d) Selecția trăsăturilor.

Se rețin primele **F** valori din vectorul $Z[D*D]$, adică doar o fracțiune din valori, cele marcate cu negru în figura de mai sus. Conform afirmațiilor anterioare, aceste elemente concentrează cea mai mare parte din informația din imaginea inițială și ele vor fi folosite în faza de recunoaștere.

Acest bloc funcțional elimină trăsăturile care sunt neimportante în faza de recunoaștere. Ieșirile lui sunt aplicate la intrarea clasificatorului neural. Soluția prezentată de obținere a trăsăturilor poate fi implementată pe un suport hardware dedicat de mare viteză, care poate fi utilizat pentru a rezolva probleme similare.

20.7. Clasificarea propriu-zisă.

La intrarea în sistemul de clasificare se aplică, pentru fiecare caracter, vectorul de trăsături extrase în faza precedentă, la care se adaugă dimensiunile normalizate ale fiecărui caracter (normalizarea se face prin raportare la înălțimea estimată a rândului). De asemenea se utilizează și raportul dimensiunilor dreptunghiului de încadrare.



Se remarcă faptul că aceste noi trăsături sunt și ele invariante la scalare, așa cum aplicația o cere.

Caracterele care trebuiesc recunoscute sunt 89 la număr:

Cifrele(10): **0123456789**;

Litere mici(25): **abcdefghijklmnopqrstuvwxy**z;

Litere mari(25): **ABCDEFGHIJKLMNPQRSTUVWXYZ**;

Caractere speciale(29): () [] { } @ # \$ % & * + / \ < > ^ ~

.,(virgula, apostroafe) -(minus, underline) | ? ! % " ; : =

Pentru limba română mai apar în plus și caracterele "ă", "â", "î", "ș", "ț".

Numărul lor poate fi redus la 78 dacă se realizează recunoașterea unor caractere simple încă din faza de localizare, utilizând pentru aceasta doar măsurătorile dimensionale (trăsături) menționate mai sus: dimensiunile normalizate la înălțimea estimată a rândului pentru fiecare caracter și raportul dimensiunilor dreptunghiului de încadrare. Pot fi astfel recunoscute următoarele caractere: -(minus), _(underline), =(egal), !(semnul exclamării), |(bara verticală), .(punct), ,(virgula), ;(punct și virgulă), :(două puncte), "(ghilimele), '(apostroafe).

Complexitatea problemei poate fi micșorată împărțind-o în mai multe sarcini mai mici, și anume alcătuind câteva grupe de caractere (fiecare caracter = o clasă) și apoi construind câte un clasificator pentru fiecare grupă de caractere. Trăsăturile extrase se aplică simultan la intrările tuturor clasificatorilor și în mod normal unul singur va furniza decizia de recunoaștere. Rolul logicii de decizie este de a furniza o decizie corectă în cazurile cu o oarecare doză de incertitudine, utilizând informațiile furnizate de toate clasificatoarele. Schema bloc a unui asemenea sistem este prezentată în figura 10.

Pentru simbolurile nerecunoscute se mai face o încercare în ipoteza că ele reprezintă caractere concatenate: se încearcă separarea lor cu metode specifice, apoi rezultatul este iarăși aplicat la intrarea clasificatorului pentru o nouă încercare.

Avantajul unei asemenea scheme apare evident în cazul unei structuri de calcul paralel care să implementeze rețelele neurale componente ale clasificatorului. Deși această variantă este optimă, se poate utiliza, pentru simplificarea problemei, un preclasificator care să specifice cărei grupări îi aparține fiecare caracter de intrare și în consecință, care rețea neurală trebuie folosită pentru recunoașterea efectivă.

Această variantă este descrisă în schema bloc din figura 11:

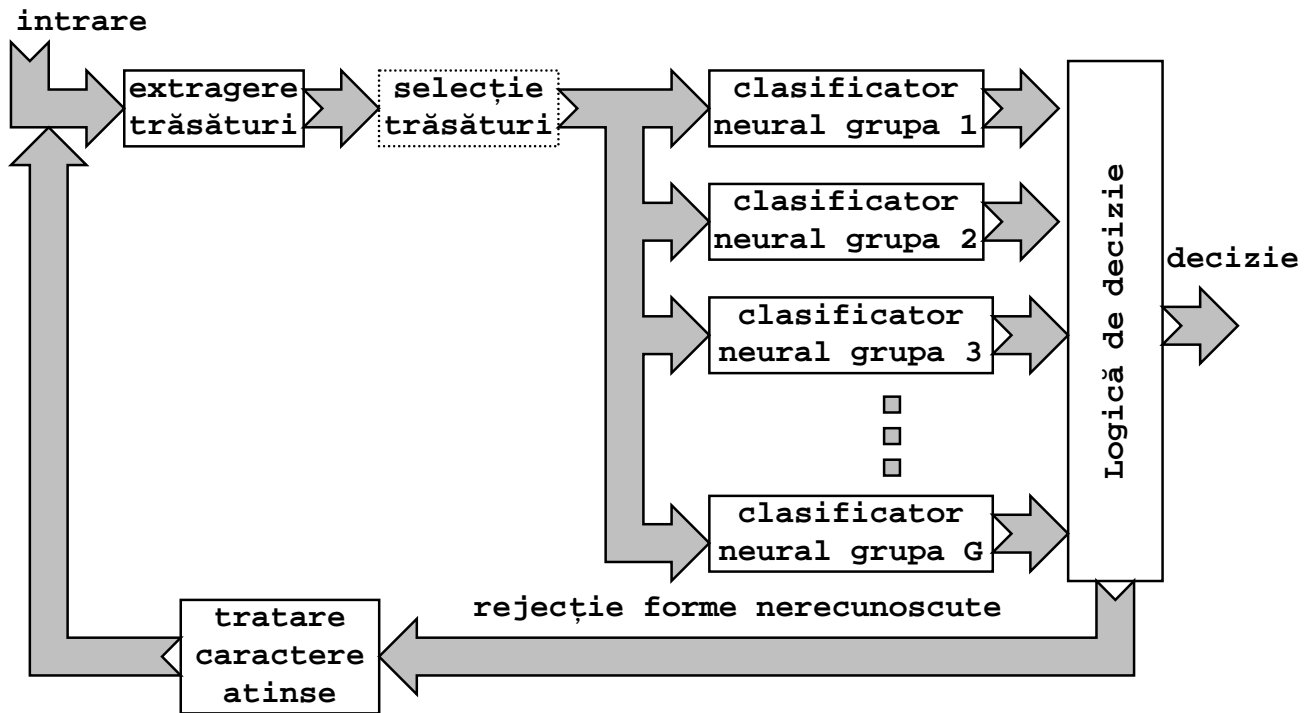


Fig. 10. Sistem de recunoaștere caractere, varianta 1.

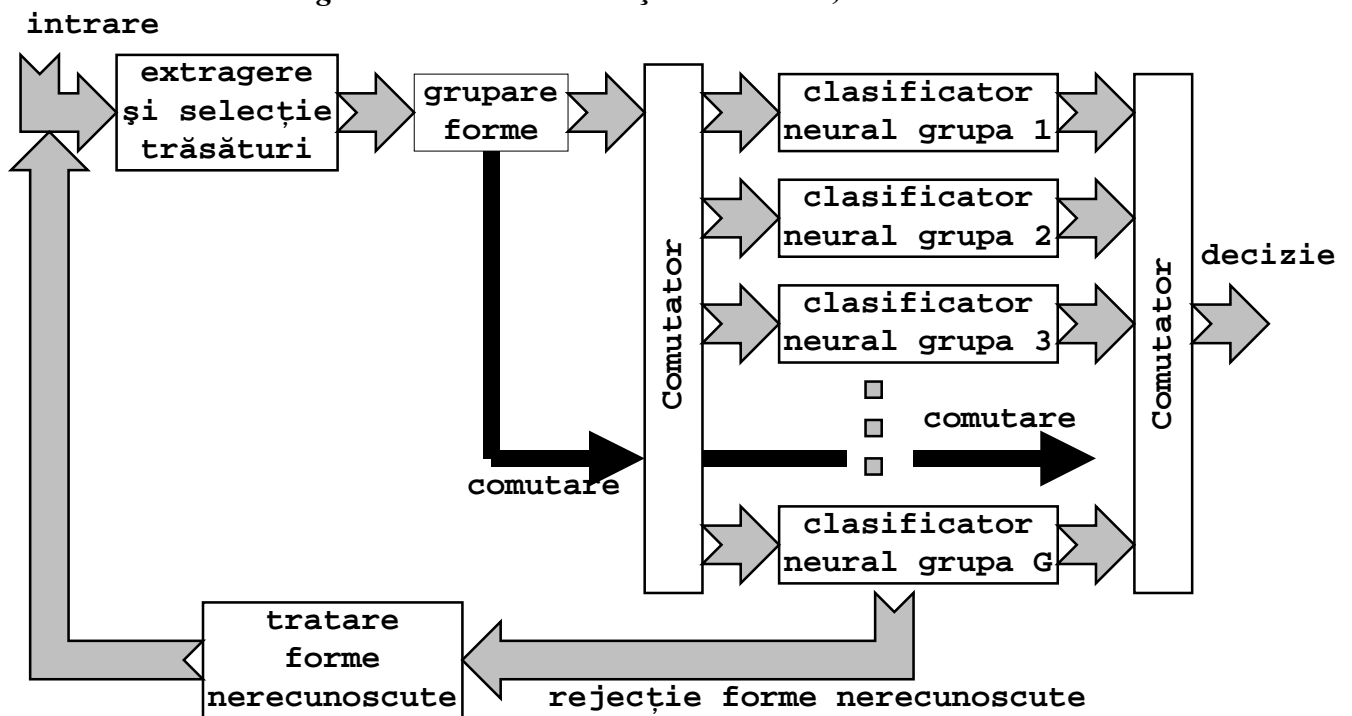


Fig. 11. Sistem de recunoaștere caractere, varianta 2.

Folosind un algoritm de grupare, cum ar fi algoritmul LBG (Linde-Buzo-Gray) de cuantizare vectorială, se construiesc prin antrenare nesupervizată un număr (predeterminat sau nu, funcție de algoritmul ales) de G grupe, fiecareia atașându-i-se câte un clasificator. Trăsăturile extrase se aplică modulului de grupare care indică cărei grupe îi aparține fiecare caracter ce trebuie recunoscut. Odată această informație cunoscută, se selectează, folosind comutatorul, clasificatorul atașat grupeii determinate. Ieșirea lui va furniza decizia de apartenență a caracterului de intrare la una din clasele posibile sau îl va rejepta în cazul eșuării operației de recunoaștere.

Schema simplificată a unui sistem de recunoaștere este:

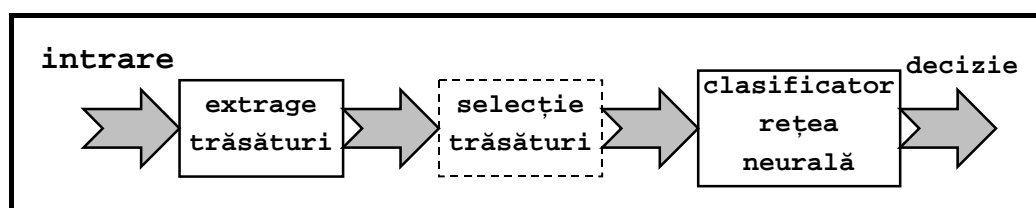


Fig. 12. Schema simplificată a unui sistem de recunoaștere.

În proiectarea acestui clasificator s-a urmărit, pe lângă optimizarea timpului de răspuns (cât mai mic) și a ratei de recunoaștere (cât mai mare), și posibilitatea unei implementări hardware, într-o structură dedicată de mare viteză, care să poată rezolva probleme asemănătoare (dar nu identice).

Selectorul de trăsături poate reține cele mai semnificative caracteristici furnizate de extractorul de trăsături. O anumită decizie a clasificatorului înseamnă o configurație particulară de activare a neuronilor de pe stratul de ieșire a rețelei.

Primele F elemente ($F < L * L$) ale vectorului Z se aplică la intrarea unei rețele neurale de tipul *perceptron cu trei straturi* și nelinearitate sigmoidală simetrică (+/-1) la toți neuronii.

Numărul de neuroni folosiți în primul din cele trei straturi depinde de numărul de trăsături extrase. Stratul de ieșire trebuie să aibă un număr de neuroni dependent de numărul de clase din grupa corespunzătoare și de regula de decizie adoptată.

Dacă numărul de neuroni este egal cu numărul de clase din grupă, regula de decizie adoptată este:

Caracterul C_i aparține clasei "K" dacă:

$$Y_k > \text{Prag} \text{ și } Y_j < (1 - \text{Prag}), \text{ oricare } j \neq k, \text{ unde } 0 < \text{Prag} < 1.$$

Se remarcă faptul că, pentru obiectele nerecunoscute, rețeaua neurală trebuie să răspundă în acest caz cu toate ieșirile inactice sau cu mai mult de o ieșire activă. Caracterele nerecunoscute corespund fie caracterelor aparținând altor grupări, fie caracterelor concatenate, caz în care toate rețelele neurale vor trebui să răspundă identic.

Dacă numărul de neuroni este mai mic decât numărul de clase din grupă, regula de decizie adoptată poate fi:

Caracterul C_i aparține clasei "K" dacă:

$$\{ [K \text{ div } 2^p] = 0 \text{ și } Y_p < (1 - \text{Prag}) \} \text{ sau } \{ [K \text{ div } 2^p] = 0 \text{ și } Y_p > \text{Prag} \},$$

unde p este numărul de ordine al ieșirii, cu $p = [0.5 + [\log_2 Ng]]$, iar Ng - numărul de clase din grupa "g".

În acest caz p este lungimea minimă de reprezentare în binar a lui Ng , iar la ieșirea rețelei vor trebui activați doar acei neuroni corespunzători lui "1" logic în reprezentarea binară a lui K . Pentru obiectele nerecunoscute rețeaua va răspunde activând neuronii de ieșire după o configurație corespunzătoare codului $K + 1$.

Pentru antrenare s-a folosit evident algoritmul "backpropagation" cu factorul de câștig $\eta = 0.3$, factorul de inerție $\alpha = 0.7$.

20.8. Construcția setului de date de antrenament și test.

Pentru obținerea unui set de antrenament și test reprezentativ trebuie selectate documente tipărite caracteristice unei game cât mai largi de fonturi, mărimi de simboluri și calități ale tipăriturii. Vor trebui incluse, pentru același font, variantele normal, **bold**, *italics* și **bold-italics**.

Setul de antrenament conține simboluri etichetate din toate clasele și se remarcă în plus utilizarea unei clase de obiecte, "*clasa de rejecție*", care include, pentru fiecare grupare, caracterele care **nu** aparțin acelei grupări, plus un set de caractere concatenate. Ea permite, pentru fiecare grupare în parte, obținerea unor rezultate net superioare.

Pentru determinarea claselor care aparțin de fiecare grupare, s-a optat pentru utilizarea algoritmului **LBG** (Linde-Buzo-Gray) de cuantizare vectorială, care este în esență un algoritm de grupare cu număr predeterminat de clase. El permite construirea unui număr predeterminat de grupe, conținând formele cele mai apropiate.

Analizând componența fiecărei clase, se poate decide care anume caractere vor fi atribuite fiecărui clasificator. Tot astfel se pot trage concluzii privind probabilitățile de eroare de clasificare pentru diferite clase: vor fi confundate mai ușor obiecte aflate în aceeași grupare și nu în grupări diferite.

Cu cât sunt mai multe grupări, cu atât complexitatea clasificatorului neural este mai mică (scade numărul de neuroni de pe stratul intermediar și cel de ieșire), ceea ce diminuează timpul de antrenament și spațiul de memorie ocupat de fiecare clasificator. Pe de altă parte, mărirea numărului de grupări crește atât timpul global de antrenament, cât și spațiul total de memorie ocupat. În concluzie, numărul de grupări ale caracterelor trebuie să satisfacă un compromis în ceea ce privește timpul de antrenament și spațiul de memorie ocupat.

De notat faptul că, pentru o implementare paralelă prima variantă optimizează timpul de răspuns.

Construcția efectivă a *bazei de date* pentru fiecare clasificator în parte se face selectând un set semnificativ de caractere extrase din documente, toate aparținând grupării aferente, la care se adaugă simbolurile pentru clasa de rejecție, conform celor de mai sus. Pentru fiecare asemenea caracter se parcurg etapele: *scalare, DCT-2D, ordonare Zig-Zag și selecție de trăsături*. Rezultatul este un vector de date, care se va salva într-un fișier pe disc.

Este foarte importantă pentru funcționarea corectă a algoritmilor de antrenare (**LBG** și backpropagation) ordinea de aplicare a datelor de intrare. Studiile efectuate au arătat că pentru algoritmul **LBG** este de preferat selecția unei ordini aleatoare de aplicare a vectorilor de trăsături corespunzători claselor.

Pentru algoritmul de antrenare a perceptronului multistrat s-a optat pentru o ordine aleatoare de aplicare a vectorilor de date, dar intercalând între oricare doi asemenea vectori un vector de trăsături corespunzător unui caracter din clasa de rejecție. O asemenea construcție reușește să elimine majoritatea erorilor de tipul "*caracter recunoscut greșit*" (confuzie de caractere), știut fiind faptul că erorile de tipul "*caracter nerecunoscut*" pot fi semnalate și deci corectate interactiv în faza de exploatare.

20.9. Adaptarea setului de date de antrenament.

În exploatarea sistemului pot apare noi tipuri de fonturi ce trebuiesc recunoscute. De aceea este necesară actualizarea setului de date de antrenament și reantrenarea periodică a clasificatorului (rețelelor neurale) folosit.

A adauga noile simboluri la setul de antrenament nu este o soluție eficientă deoarece astfel crește necondiționat dimensiunea setului de antrenament. S-a impus condiția de limitare a numărului de simboluri din setul de antrenament pentru limitarea spațiului de memorie folosit și a timpului necesar pentru reantrenare.

Soluția utilizată este de a începe cu un număr fix de simboluri în setul de antrenament și apoi să se înlocuiască succesiv simboluri din acele perechi de simboluri având cele mai mari scoruri de coincidență, cu noile simboluri ce trebuiesc învățate. Algoritmul a fost testat folosind *caractere nerecunoscute* sau *recunoscute greșit* din setul de test, iar apoi adăugând în setul de antrenament "greșelile" furnizate de exploatarea sistemului de recunoaștere.

Algoritmul de actualizare a setului de antrenament utilizat se rulează **pentru fiecare grup de clase** în parte, începe după o primă antrenare a rețelei neurale și a fost descris amănunțit în paragraful precedent.

Se elimină doar un singur simbol din fiecare pereche de simboluri corespunzătoare celor mai bune scoruri de coincidență. Se utilizează pentru aceasta regula:

$$\text{IF } \underset{1 \leq l \leq N}{\text{Min}}(D_{K,l}^{(C)}) > \underset{1 \leq l \leq N}{\text{Min}}(D_{L,l}^{(C)}) \text{ THEN elimină simbol "L"}$$

ELSE elimină simbol "K"

Această strategie selectează cele mai reprezentative simboluri pentru setul de antrenament prin eliminarea acelor simboluri care sunt mai apropiate de vecinii lor din aceeași clasă.

20.10. Detalii de implementare, rezultate obținute și concluzii.

Implementarea metodelor descrise anterior o constituie un program scris în Visual C++ 6.0, care este prezentat succint în continuare. El este un mediu integrat care permite încărcarea doar a imaginilor bitmap Windows(BMP), color, în scară de gri, sau binare.

Deoarece sistemul de recunoaștere propriu-zis lucrează doar cu imagini binare (alb-negru), programul include instrumentele necesare conversiei imaginilor color și în scară de gri. Imaginile color se convertesc mai întâi în imagini în scară de gri, atribuind fiecărui pixel un nivel de gri egal cu luminanța sa. Conversia imaginilor în scară de gri la imagini binare, adică **binarizarea imaginilor**, se face semiautomat, prin analiza histogramei. Programul furnizează automat un prag de segmentare, dar utilizatorul îl poate schimba și verifica în același timp rezultatul segmentării (folosind butonul Preview).

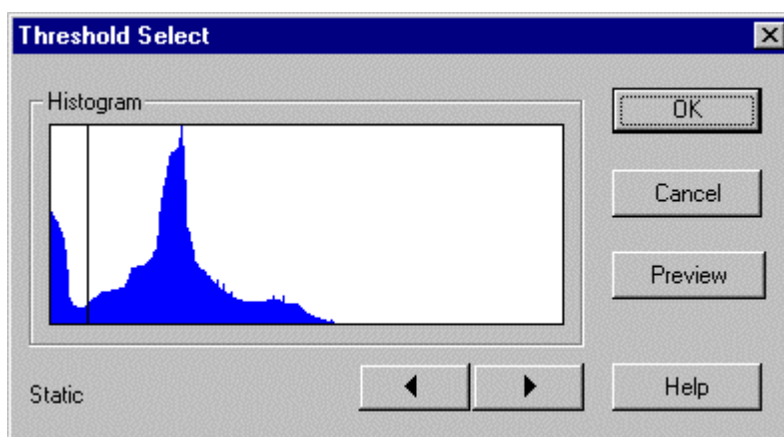


Fig. 12. Binarizarea automată/interactivă a imaginilor.

După obținerea imaginii binare este efectuată **segmentarea automată a textului** prin analiza morfologică a obiectelor din imagine. Imaginea următoare prezintă un eșantion de text care va fi folosit în continuare pentru demonstrarea etapelor algoritmului de segmentare.

Construcția efectivă a *bazei de date* pentru semnificativ de caractere extrase din documente, simbolurile pentru clasa de rejecție, conform cel parcurs etapele: *scalare, DCT-2D, ordonare Zi* vector de date, care se va salva într-un fișier pe dis

Fig. 13. Imagine de test.

Algoritmul de localizare a obiectelor aplicat imaginii precedente furnizează o listă se structuri de date conținând informația necesară localizării obiectelor din imagine. Algoritmul de urmărire de contur folosit permite în același timp separarea conturilor exterioare de cele interioare, calculul ariei mărginite de aceste contururi și eliminarea obiectelor de dimensiune prea mică, apărute de obicei datorită zgomotului care au afectat imaginea originală.

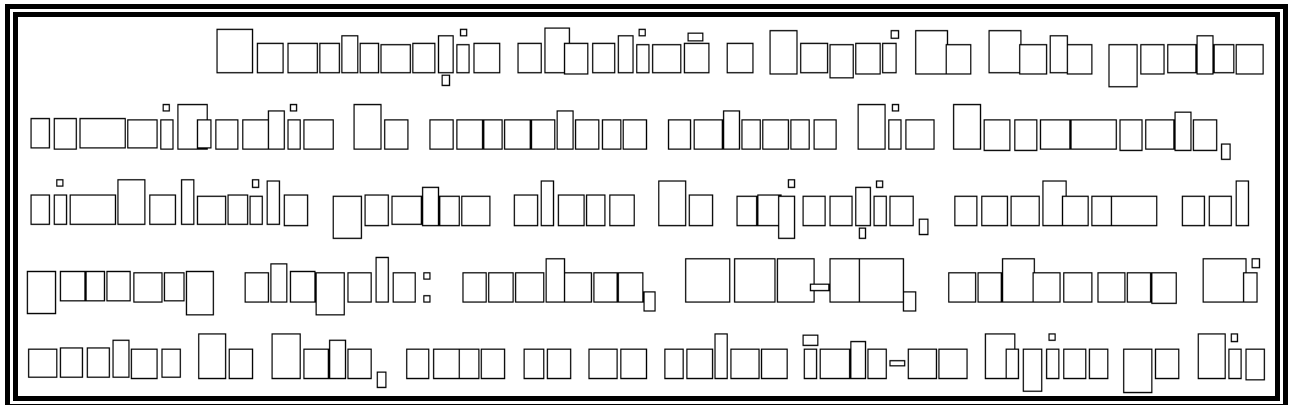


Fig. 14. Localizarea obiectelor din imaginea de test.

Imaginea următoare prezintă rezultatul conectării obiectelor localizate în imagine. Se conectează acele obiecte a căror poziție relativă îndeplinește setul de condiții descrise anterior. Aici se poate remarca avantajul esențial al acestei metode. Din imagine a fost extrasă în urma localizării toată informația necesară efectuării segmentării și astfel volumul de date de prelucrat s-a redus dramatic. Segmentarea nu se mai face operând asupra unei imagini ci doar asupra unei liste cu informații despre obiecte.

Conectarea obiectelor poate fi văzută ca fiind construcția unui graf orientat ale cărui noduri sunt obiectele localizate în imagine. Conexiunile dintre obiecte pot fi doar de trei tipuri:

- **Conexiuni regulate, între caracterele aceluiași cuvânt;**
- **Conexiuni tip separator de cuvinte, între ultimul caracter al unui cuvânt și primul caracter al cuvântului următor de pe același rând**
- **Conexiuni tip atașament, care unesc obiectele componente ale unui caracter.**

Datorită structurii complexe a textului (caractere de diferite mărimi, formate din două sau mai multe obiecte, grupate în cuvinte, rânduri, paragrafe, coloane), cât și prezenței liniilor, graficelor și imaginilor într-un document scanat, în urma conectării obiectelor se pot obține multe conexiuni multiple, care trebuiesc analizate și eliminate sau etichetate corespunzător.

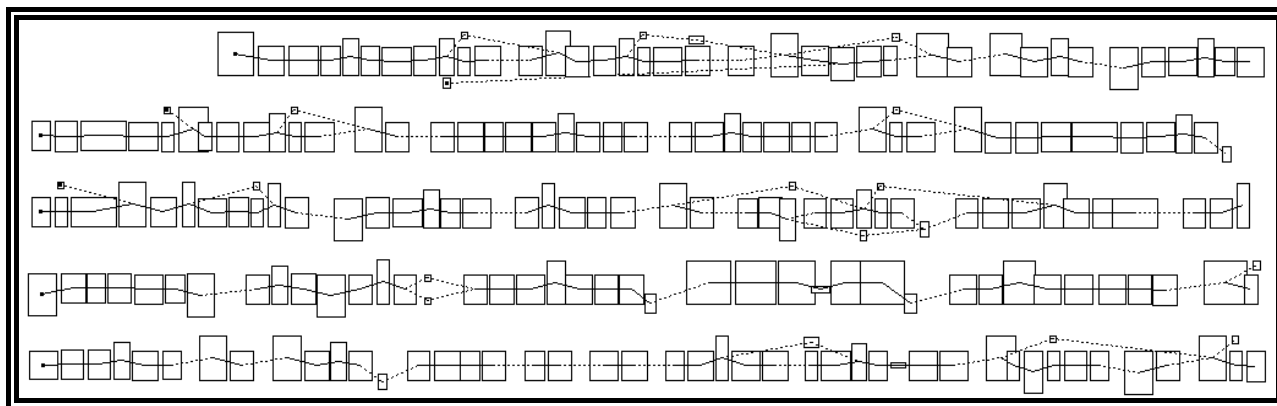


Fig. 15. Conectarea obiectelor din imaginea de test.

În faza următoare se tratează conexiunile divergente, conform regulilor descrise anterior în acest capitol. Ca urmare, după cum se poate remarca în figura următoare, ele vor fi fie eliminate, fie transformate în conexiuni de tip atașament.

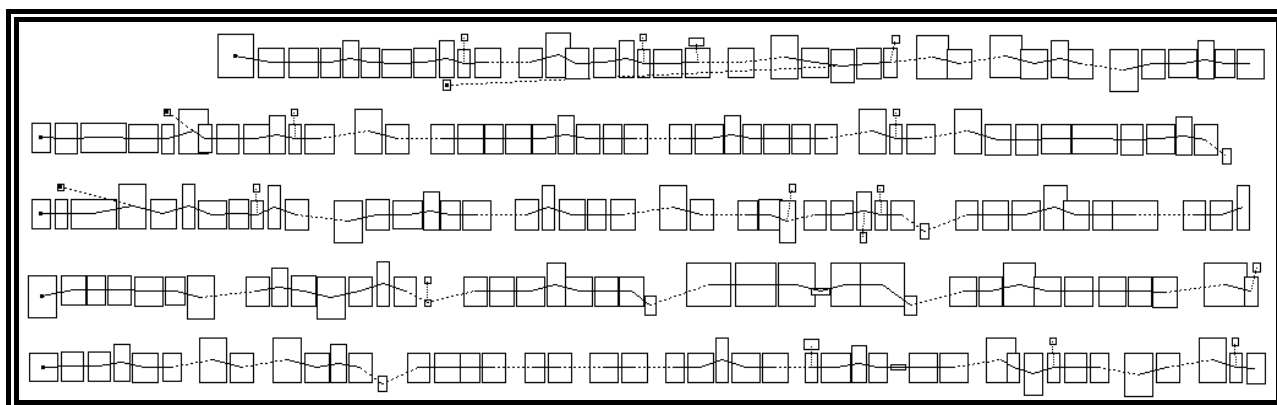


Fig. 16. Tratarea conexiunilor divergente.

În faza finală a algoritmului de segmentare se prelucrează conexiunile convergente, care, ca și în cazul precedent, fie se transformă în conexiuni de tip atașament, fie se elimină.

Analiza distanțelor dintre caracterele conectate până acum permite determinarea conexiunilor de tip separator de cuvinte și eliminarea conexiunilor prea lungi (conexiuni între rânduri coliniare dar din coloane diferite, conexiuni între caractere și linii, grafice sau imagini prezente în documentul scanat).

Conexiunile multiple rămase după această fază finală trebuiesc eliminate, deoarece ele pot proveni doar de la:

- Formule matematice incluse în text;
- Grafice, linii, imagini incluse în documentul scanat, foarte apropiate de zonele de text.

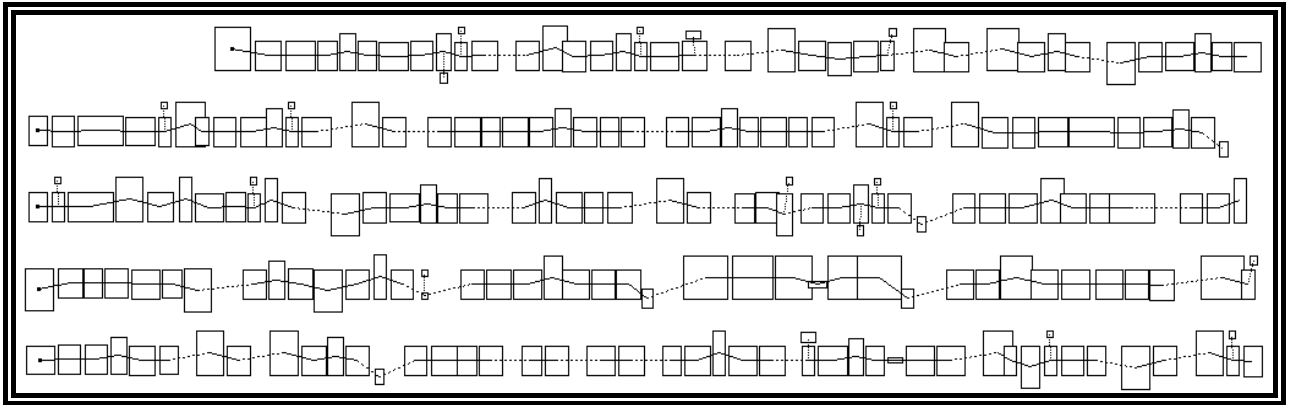


Fig. 17. Tratarea conexiunilor convergente.

Aplicația a fost concepută să permită crearea și întreținerea unei baze de date de antrenament pentru clasificator. Ca urmare, selectând opțiunea corespunzătoare, după localizarea obiectelor din imagine și conectarea lor, caracterele (ordonate în ordinea naturală a scrisului) pot fi vizualizate și apoi etichetate de către utilizator, pentru a forma setul de caractere de antrenament.

Imaginea fiecărui caracter etichetat este salvată sub formă de fișier BMP, eticheta atribuită lui fiind inclusă în numele fișierului. În acest fel utilizatorul poate vizualiza rapid conținutul bazei de date de antrenament și îl poate modifica în sensul optimizării lui.

În acest fel fiecare din caracterele etichetate este atribuit unei clase. Unele din obiectele localizate pot fi incluse în clasa de rejecție, care trebuie să includă orice fel de obiect (fragment de caracter, obiecte formate din mai multe caractere care se ating, etc) a cărui aplicare la intrarea clasificatorului trebuie să dea furnizeze decizia de simbol nerecunoscut.



Fig. 18. Etichetarea caracterelor localizate.

Aplicația a fost implementată pe un calculator PC486, 66MHz. Timpul de recunoaștere obținut în acest stadiu al implementării (localizare, scalare, DCT, rețea neurală) pentru o pagină tipică este de aproximativ 40 secunde.

Este de așteptat ca noi optimizări să îmbunătățească considerabil acest timp. Nu se vor face estimări asupra ratei de recunoaștere decât după trecerea unui timp de exploatare a sistemului, cunoscând dependența acesteia de componența setului de antrenament. Se așteaptă o îmbunătățire progresivă a ratei de recunoaștere pe măsura rulării algoritmului de adaptare a setului de antrenament.

Se poate nota dependența ratei de recunoaștere de pragul Th de decizie. Un prag mare dă un grad mare de încredere în deciziile de recunoaștere corectă, dar mărește și probabilitatea erorilor de tipul "caracter nerecunoscut". Un prag optim este în jurul valorii $Th=0.6$.

Pentru micșorarea timpului de răspuns în faza de exploatare când se rulează și algoritmul de gestiune a setului de antrenament, s-a utilizat următoarea structură ce folosește două calculatoare de același tip, astfel conectate.

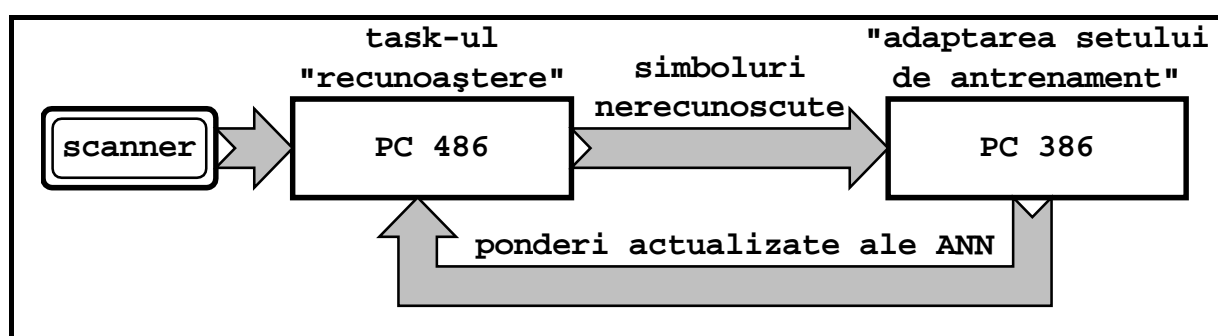
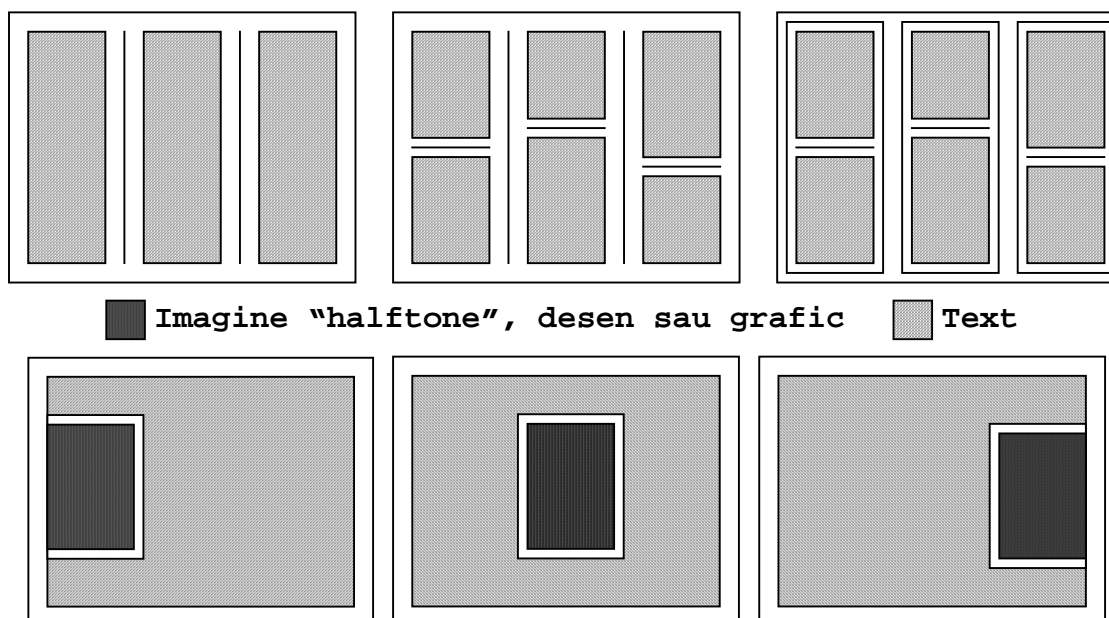


Fig. 18. Utilizarea on-line a algoritmului de adaptare a setului de antrenament.

Rularea aplicației furnizează simboluri nerecunoscute provenite, de obicei, de la un stil nou de documente (alte fonturi, altă calitate a tipăririi). Ele se adaugă setului de test și apoi se rulează procedura descrisă anterior de adaptare a setului de antrenament. Rezultatele se materializează în actualizarea ponderilor rețelelor neurale care alcătuiesc clasificatorul.



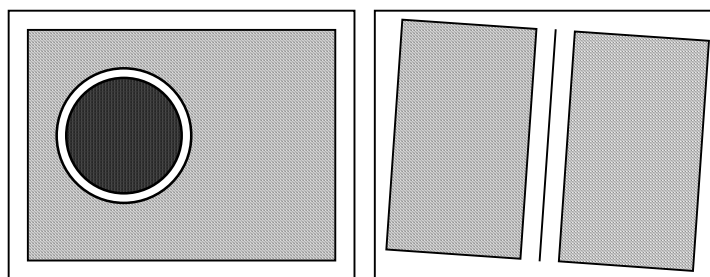


Fig. 19. Imagini tipice de test, prezentate schematic.

În figurile precedente sunt prezentate schematic situații tipice de amplasare a textului în imagine, care au fost folosite pentru analiza performanțelor sistemului de recunoaștere, în special ale implementării algoritmului de segmentare a textului. Imaginile de test folosite includ linii verticale și orizontale de separare a coloanelor de text, dreptunghiuri (casete) care includ coloane de text, imagini/desene înserate în text în diferite poziții și zone de text rotite cu un unghi mic față de orizontală.

Rândurile de text rotite față de orizontală pot apare adesea ca rezultat al amplasării imperfecte a paginilor de text originale la operația de scanare. Algoritmii de segmentare a textului prin metoda proiecțiilor eșuează la asemenea imagini, dacă două rânduri succesive nu sunt separate de cel puțin o linie de pixeli albi (altfel proiecțiile lor se suprapun și segmentarea nu mai este posibilă). În acest caz se folosesc în prealabil algoritmi de “îndreptare a liniilor de text” (deskew), pentru a asigura funcționarea corectă a metodei proiecțiilor.

Adesea este foarte importantă forma conturului exterior al imaginilor/desenelor înserate în text. Unii algoritmi de segmentare a textului expandează, din motive de viteză, obiectele diferite de text la zone rectangulare. Ca urmare, documente precum cel din ultimul desen (Fig. 19) sunt segmentate incorect de majoritatea sistemelor de recunoaștere existente.

Parametru/Metodă	Metoda proiecțiilor	Analiză de textură	Analiză morfologică
Calitate segmentare	Calitate slabă	Calitate medie	Calitate foarte bună
Viteză de răspuns	Foarte rapidă (3sec)	Foarte lentă (40sec)	Viteză medie (10sec)
Precizie segmentare	Precizie foarte bună	Precizie slabă	Precizie foarte bună
Rânduri înclinate	Îndreptare rânduri(3sec)	Îndreptare rânduri(3sec)	Imunitate completă

Tabelul precedent prezintă sintetic o comparație a principalilor parametri (calitate, viteză, precizie, comportare la rânduri de text înclinate) care caracterizează diferiți algoritmi de segmentare de text de referință înglobați în diferite produse comerciale sau profesionale de recunoaștere de texte –OCR (Optical Character Recognition). Calitatea medie a segmentării realizate de algoritmul bazat pe analiza de textură se referă la incapacitatea algoritmului de a detecta liniile din imagine, mai ales dacă acestea sunt apropiate de zonele de text. În schimb algoritmul se comportă foarte bine la discriminarea diferitelor zone de text între ele (text scris cu caractere regulate / **bold** / *italic* / **bold italic** de dimensiuni apropiate). Viteza medie realizată de algoritmul de segmentare a textului prin analiză morfologică poate fi îmbunătățită sensibil printr-o implementare optimizată (prezenta implementare se bazează pe utilizarea intensivă a clasei CPTrList din Microsoft Foundation Classes, foarte lentă).

Figura următoare (Fig. 20) prezintă un caz tipic de document scanat – un obiect înserat în text, în așa fel încât practic textul înconjoară obiectul. Forma neregulară (discoidală în acest caz) a obiectului, constituie un test dificil pentru alți algoritmi de segmentare a textului, majoritatea eșuând.

Algoritmii de segmentare bazați pe metoda proiecțiilor, urmărind cel mai adesea o implementare de mare viteză, nu realizează localizarea obiectelor din imagine și ca urmare, deși obiectul precedent ar putea fi eliminat din imagine folosind criterii dimensionale, algoritmul etichetează drept text doar primele două și ultimele trei rânduri din imagine, restul documentului fiind categorisit drept grafic.

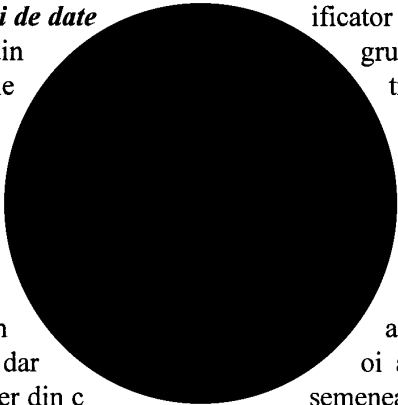
Produsele OCR testate au fost Recognita (Caere), Omnipage, Corel. Fiecare din ele prezintă atât variante comerciale cât și profesionale de produse. Nucleul sistemului de recunoaștere înglobat în aceste produse nu variază esențial de la o variantă la alta. Opțiunile suplimentare furnizate de variantele profesionale se referă la seturi extinse de caractere pentru limbi diferite, gamă extinsă de formate de fișiere de intrare (imagini), gamă extinsă de fișiere de ieșire (compatibile cu diferite editoare de text), posibilitatea utilizării într-un mediu de producție, etc. Toate aceste produse de referință au eșuat în segmentarea imaginilor următoare.

De notat faptul că, pentru o implementare paralelă prima variantă optimizează timpul de răspuns.

Construcția efectivă a **bazei de date** semnificativ de caractere extrase din simbolurile pentru clasa de rejecție parcurg etapele: **scalare, DCT-2** vector de date, care se va salva în

Este foarte importantă (backpropagation) ordinea de a algoritmul **LBG** este de prefera corespunzător claselor.

Pentru algoritmul de antren de aplicare a vectorilor de date, dar trăsături corespunzător unui caracter din c majoritatea erorilor de tipul "**caracter recunoscut greșit**" (confuzie de caractere), știut fiind faptul că erorile de tipul "**caracter nerecunoscut**" pot fi semnalate și deci corectate interactiv în faza de exploatare.



ificator în parte se face selectând un set grupării aferente, la care se adaugă tru fiecare asemenea caracter se **e trăsături**. Rezultatul este un

milor de antrenare (**LBG** și efectuate au arătat că pentru icare a vectorilor de trăsături

a optat pentru o ordine aleatoare oi asemenea vectori un vector de semenea construcție reușește să elimine

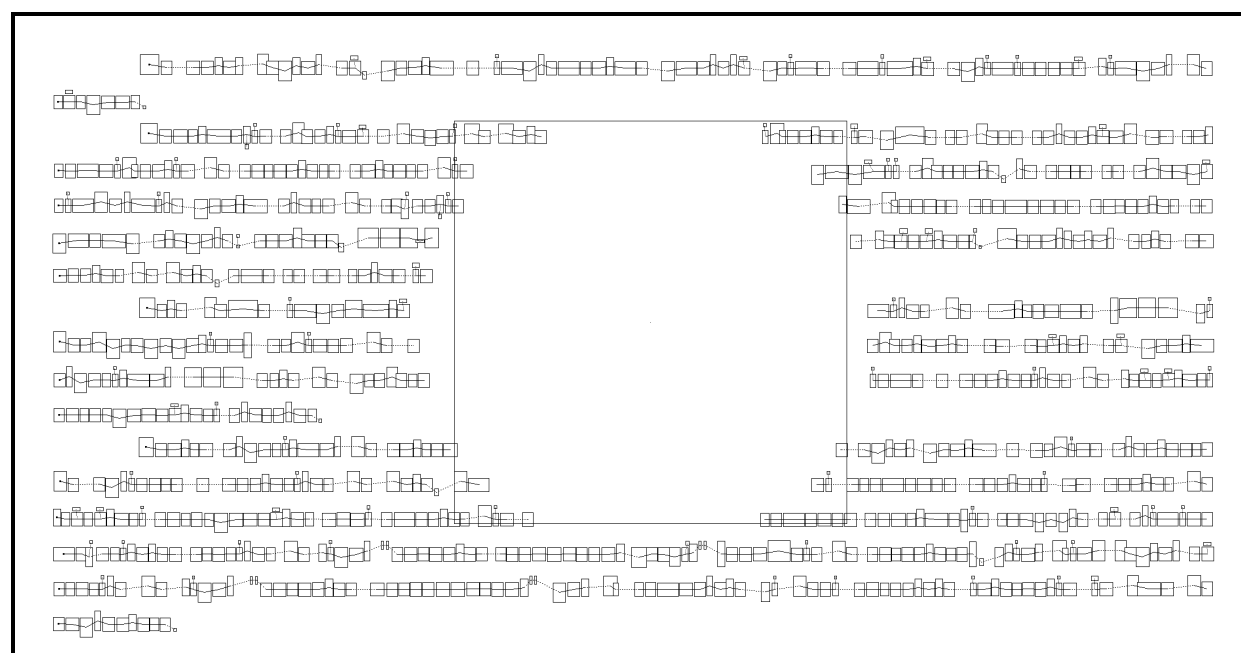


Fig. 20. Imagine de test și rezultatul segmentării ei cu metoda propusă.

De asemenea rezultate eronate au furnizat OCR-urile de referință pentru imaginile următoare, în timp ce algoritmul propus a funcționat corect, confirmând imunitatea algoritmului la rotația imaginii cu unghiuri mici. Imaginea de test reprezintă un paragraf text având rândurile înclinate cu un unghi de 5° în sens trigonometric.

Construcția efectivă a **bazei de date** pentru fiecare clasificator în parte se face selectând un set semnificativ de caractere extrase din documente, toate aparținând grupării aferente, la care se adaugă simbolurile pentru clasa de rejecție, conform celor de mai sus. Pentru fiecare asemenea caracter se parcurg etapele: **scalare, DCT-2D, ordonare Zig-Zag și selecție de trăsături**. Rezultatul este un vector de date, care se va salva într-un fișier pe disc.

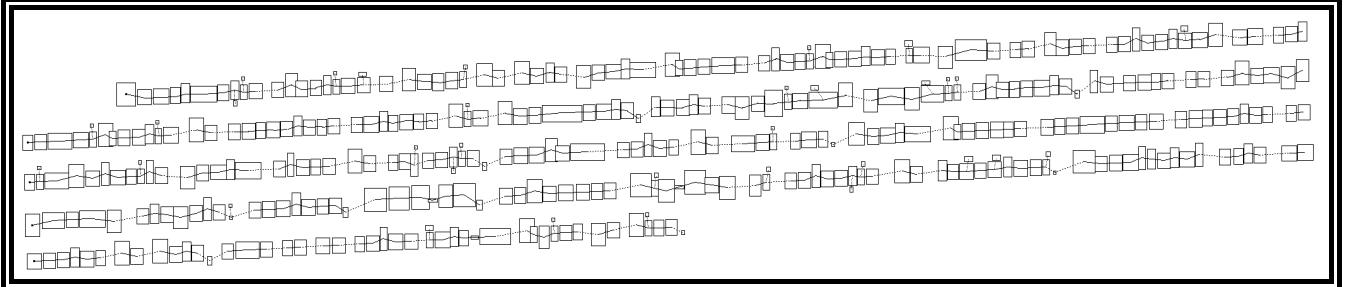


Fig. 21. Imagine de test și rezultatul segmentării ei cu metoda propusă.

Testele au confirmat robustețea metodelor de segmentare și recunoaștere prezentate și eficacitatea algoritmului de adaptare a setului de antrenament. Algoritmul de segmentare a textului se comportă calitativ mult mai bine decât orice produs similar existent. El este la fel de precis sau chiar mai precis decât algoritmi folosiți drept referință. Deși timpul de răspuns este mai mare, trebuie ținut cont că metoda prezentată elimină necesitatea aplicării algoritmului de “îndreptare a rândurilor de text”, iar implementarea realizată nu este complet optimizată.

De asemenea a fost confirmată ideea supradimensionării inițiale a rețelei neurale, tocmai în scopul de a putea învăța noi simboluri pe durata exploatării, folosind algoritmul de adaptare descris. Trăsătura de bază a acestui algoritm este capacitatea lui de a mări rata de recunoaștere prin construirea unui set de antrenament reprezentativ.

Extensia metodei prezentate la alte aplicații de recunoaștere de obiecte în imagini binare este posibilă. În plus este posibilă proiectarea unei structuri hardware dedicate care să rezolve acest gen de probleme. O structură sistolică care să utilizeze un procesor dedicat fiecărui pas de prelucrare (scalare, DCT-2D, ordonare Zig-Zag și clasificatori neurali) pare a fi o soluție bună și foarte rapidă.

Aplicația dezvoltată pentru testare, deși funcțională, nu este încă terminată. Este necesară optimizarea vitezei implementării curente a algoritmului de separare a zonelor de text din imagine. Îmbunătățirea performanțelor clasificatorului se obține, în condiții de exploatare a aplicației, prin rularea algoritmului de gestiune a setului de date de antrenament.

CD-ul atașat conține atât codul sursă cât și programul executabil. O descriere a modului de utilizare a programului poate fi găsită în anexe.

RETELE NEURONALE

Curs 1: Introducere în calculul inteligent

1 Calculul inteligent si rezolvarea problemelor

Din punctul de vedere al rezolvării lor automate, problemele pot fi clasificate în două categorii:

- *Probleme "bine-puse"*: caracterizate prin faptul că li se poate asocia un model formal (de exemplu, un model matematic) pe baza căruia se poate dezvolta o metoda de rezolvare cu caracter algoritmic. În această categorie intră probleme clasice în informatică cum ar fi problema căutării într-o bază de date cu informații despre persoane folosind drept cheie de căutare codul numeric personal.
- *Probleme "rău-puse"*: caracterizate prin faptul că nu pot fi descrise complet printr-un model formal, ci cel mult se cunosc exemple de rezolvare a problemei. O problemă similară celei de mai sus dar care poate fi considerată "rău pusă" este aceea a căutării în baza de date folosind drept indiciu o poză a persoanei căutate.

Rezolvarea unei probleme înseamnă stabilirea unei asocieri între datele de intrare (valori inițiale, ipoteze etc.) și răspunsul corect. În cazul problemelor bine-puse această asociere este o relație funcțională explicită construită pe baza modelului asociat problemei.

În cazul problemelor rău-puse, însă, o astfel de relație explicită nu poate fi pusă în evidență, rolul sistemului care rezolvă problema fiind de a dezvolta o relație de asociere întrebare-răspuns pe baza unor exemple. Procesul prin care sistemul își formează modelul propriu al problemei și pe baza acestuia relația de asociere se numește *adaptare* sau chiar *învățare*.

Pe de altă parte, din punctul de vedere al complexității rezolvării și al relevanței răspunsului problemele pot fi clasificate în:

- Probleme pentru care este esențială obținerea unui răspuns exact indiferent de resursele implicate. Acestea necesită utilizarea unor tehnici exacte.
- Probleme pentru care este preferabil să se obțină un răspuns "aproximativ" folosind resurse "rezonabile" decât un răspuns exact dar folosind resurse foarte costisitoare.

Calculul inteligent este un domeniu al Inteligenței Artificiale care grupează tehnici de rezolvare a problemelor "rău-puse" sau a celor pentru care modelele formale conduc la algoritmi foarte costisitori.

Principalele direcții ale calculului inteligent sunt:

- *Calcul neuronal*. Este folosit în principal în rezolvarea problemelor de asociere (clasificare, aproximare, predicție etc), bazându-se pe extragerea, prin învățare, a unui model pornind de la exemple. Sursa de inspirație o reprezintă structura și funcționarea creierului.

- *Calcul evolutiv*. Este folosit în principal în rezolvarea problemelor bazate pe căutarea soluției într-un spațiu mare de soluții potențiale (în particular în rezolvarea problemelor de optimizare). Sursa de inspirație o reprezintă principiile evoluționismului de tip darwinist.
- *Calcul fuzzy*. Este folosit atunci când datele problemei (și relațiile dintre acestea) nu pot fi descrise exact ci există un grad de incertitudine ("fuzziness"). Ideea de bază este de a înlocui valorile exacte ("crisp") cu valori fuzzy descrise prin funcții de apartenență.

În fiecare dintre cele trei direcții majoritatea prelucrărilor care se efectuează au *caracter numeric*, fiind necesară o codificare numerică adecvată a problemei. Aceasta motivează parțial prezența cuvântului *calcul* în denumirea domeniului. Pe de altă parte în fiecare dintre direcțiile de mai sus se încearcă simularea unor comportamente inteligente ceea ce motivează prezența termenului *inteligent*.

Principiul fundamental al calculului neuronal și al celui evolutiv este de a dezvolta sisteme de calcul inteligent pornind de la implementarea unor *reguli simple*, comportamentul complex al acestor sisteme derivând din aplicarea în *paralel* și în *manieră interactivă* a acestor reguli. Această abordare de tip bottom-up este în contrast cu abordarea de tip "top-down" specifică altor abordări din Inteligența Artificială.

Calculul neuronal și cel evolutiv fac parte din sfera mai largă a *calculului natural* al cărui principiu este de a prelua idei de rezolvare a problemelor din sistemele naturale (fizice, chimice, biologice, ecologice). Obiectivul principal al calculului natural este de a dezvolta metode de rezolvare a problemelor rău-puse și a celor nerezolvabile prin metodele tradiționale (de exemplu, rezolvarea problemelor NP-complete în timp polinomial).

Pe lângă componentele amintite deja, calculul natural mai include *calculul molecular* (DNA Computing), *calculul cu membrane* (Membrane Computing) și *calculul cuantic* (Quantum Computing). Dacă primele două direcții sunt deja tradiționale, ultimele trei sunt încă în primele faze de dezvoltare. O scurtă trecere în revistă a sursei de inspirație corespunzătoare acestor domenii este prezentată în tabelul următor.

Sursa de inspirație	Model de calcul (soft)	Implementare (hard)
Creier	Calcul neuronal	Electronică
ADN	Calcul evolutiv	Electronică
ADN	Calcul molecular	Biologică
Celula	Calcul membranar	Electronică, biologică
Sistem fizic	Calcul cuantic	Nanoelectronică

2 Specificul calculului neuronal

Din punct de vedere *funcțional* o rețea neuronală este un sistem ce primește date de intrare (corespunzătoare datelor inițiale ale unei probleme) și produce date de ieșire (ce pot fi interpretate ca răspunsuri ale problemei analizate). O caracteristică esențială a rețelelor neuronale este capacitatea de a se adapta la mediul informațional corespunzător unei probleme concrete printr-un proces de învățare. În felul acesta rețeaua extrage modelul problemei pornind de la exemple.

Din punct de vedere *structural* o rețea neuronală este un ansamblu de unități interconectate (neuroni) fiecare fiind caracterizată de o funcționare simplă. Funcționarea unităților este influențată de o serie de parametri adaptabili. Astfel o rețea neuronală este un sistem extrem de flexibil.

Structura unităților funcționale, prezența conexiunilor și a parametrilor adaptivi precum și modul de funcționare sunt inspirate de creierul uman. Fiecare unitate funcțională primește câteva semnale de intrare pe care le prelucrează și produce un semnal de ieșire. Interacțiunea multor unități cu funcționare simplă conduce la un sistem care poate să rezolve probleme complexe. Funcționarea sistemului este controlată de un set numeros de parametri ajustabili care permit acestuia să se adapteze cât mai fidel mediului informațional în care este amplasat (specific problemei de rezolvat). Una dintre cele mai importante caracteristici ale unui sistem neuronal este caracterul său adaptiv, faptul că poate să-și stabilească parametrii de funcționare printr-un proces de învățare bazat pe informațiile primite. Astfel de sisteme sunt adecvate, astfel, pentru problemele ce sunt dificil sau chiar imposibil de formalizat pentru ele existând doar exemple de rezolvare.

2.1 Motivația biologică

În încercarea de a proiecta sisteme inteligente cel mai la îndemână model este chiar creierul uman. Acesta este capabil să prelucreze cantități mari de date la un moment dat și surclasează în mod cert calculatoarele (în special cele seriale) în probleme complexe de tipul înțelegerii scenelor (cum ar fi recunoașterea unei imagini familiare într-un mediu necunoscut).

Din punct de vedere biologic creierul este constituit dintr-un număr mare de celule (neuronii, cca $10^{10} \div 10^{12}$) care efectuează sarcini simple și la o viteză nu prea mare (timpul de răspuns la un stimul este de aproximativ 10^{-3} s) dar care sunt puternic interconectate (există cca $10^{14} \div 10^{15}$ interconexiuni) și lucrează în paralel. Având în vedere faptul că, componentele electronice care stau la baza calculatoarelor actuale au timpi de răspuns mult mai mici (10^{-9} s) și totuși sunt surclasate de către creier în rezolvarea unor probleme complexe (vedere, decizii pe baza unor date incomplete etc.), rezultă că puterea computațională a creierului rezidă în faptul că bilioane de neuroni operează *simultan*. Evident, ar fi de dorit realizarea de sisteme care să lucreze cu viteză componentelor electronice și să fie caracterizate de conectivitatea creierului.

Dintre caracteristicile creierului care sunt de dorit și în sistemele artificiale pot fi enumerate: robustețe și toleranță la erori (mor zilnic neuroni, fără ca aceasta să afecteze *semnificativ* performanțele creierului), flexibilitate (ființele sunt capabile să se adapteze la un nou mediu prin învățare), capacitatea de a prelucra informație incompletă, nedeterministă sau chiar inconsistentă.

În ceea ce privește robustețea și toleranța la erori ea este asigurată de faptul că informația este reprezentată în mod distribuit și nu localizat. Astfel, din punct de vedere cibernetic creierul este un *sistem natural de prelucrare paralel-distribuită a informației*.

Rețelele neuronale pot fi văzute atât ca modele ale creierului cât și ca sisteme de prelucrare a informației și rezolvare a problemelor. Acestea sunt două direcții distincte în domeniul rețelelor neuronale fiind diferite atât din punct de vedere al tehnicilor utilizate cât și din punct de vedere al aplicațiilor.

În ceea ce urmează ne vom referi doar la rețele neuronale artificiale destinate rezolvării unor probleme computaționale.

2.2 Structura unei rețele neuronale artificiale

O rețea neuronală artificială este un ansamblu de unități funcționale amplasate în nodurile unui graf orientat. De-a lungul arcelor grafului circulă semnale care permit unităților funcționale să comunice între ele. Elementele definitorii ale unei rețele neuronale sunt:

- *Arhitectura*: specifică modul în care sunt amplasate și interconectate unitățile funcționale. Arhitectura determină și fluxul informațional în cadrul rețelei.

- *Funcționarea*: specifică modul în care fiecare unitate în parte și rețeaua în ansamblul ei transformă semnalele de intrare în semnale de ieșire. Funcționarea este influențată de arhitectură, în special de modul de interconectare a unităților.
- *Adaptarea (învățarea)*: specifică modul de stabilire a parametrilor ajustabili astfel încât rețeaua să poate rezolva anumite probleme. În funcție de natura informației de care se dispune, învățarea poate fi *supervizată* sau *nesupervizată*.

Învățarea constă în modificarea funcționalității rețelei prin modificarea parametrilor și/sau a structurii acesteia. Procesul de învățare bazat pe adaptarea parametrilor constă în existența unor *reguli de modificare* a parametrilor și a unui algoritm (de regulă iterativ) de aplicare a acestor reguli. Structura generală a unui algoritm de învățare bazat pe modificarea parametrilor este:

```
// initializarea (aleatoare) a parametrilor rețelei
  init W(0)
// initializarea indicatorului de iteratie
  t=0
// prelucrare repetitiva
  repeat
    W(t+1)=adjust(W(t),X(t)[,d(t)])
    t=t+1
  until <criteriu de stop>
```

unde $W(t)$ reprezintă valorile parametrilor la momentul t , $X(t)$ reprezintă semnalul de intrare, iar $d(t)$ semnalul de învățare corespunzător (poate fi chiar răspunsul corespunzător intrării $X(t)$ sau doar un indicator de corectitudine/eroare a răspunsului dat de rețea). În cazul învățării nesupervizate $d(t)$ poate lipsi din regula de învățare.

2.3 Ce pot și ce nu pot face rețelele neuronale

Ce pot face rețelele neuronale ? În principiu, pot reprezenta orice funcție calculabilă. Ceea ce este însă mai important este că pot învăța orice astfel de funcție pornind de la exemple. Nu sunt însă eficiente pentru orice problemă, ele fiind utile în rezolvarea problemelor pentru care se dispune de un număr mare de exemple și pentru care nu pot fi găsite ușor și rapid reguli de formalizare. Abilitatea unei rețele neuronale de a rezolva o anumită problemă este influențată și de modul în care sunt pregătite datele de intrare. Fără o preprocesare atentă a datelor de intrare demersul rezolvării problemei cu rețele neuronale poate fi sortit eșecului.

2.4 Clase de probleme ce pot fi rezolvate cu rețele neuronale

În continuare sunt prezentate câteva dintre categoriile de probleme pentru care rețelele neuronale au fost aplicate cu succes.

Clasificare și recunoaștere.

Date de intrare. Descriere sintetică a unui obiect (de exemplu descrierea grafică a unei litere sau ansamblul caracteristicilor acesteia). În majoritatea situațiilor descrierea este un vector de valori numerice obținute printr-o prelucrare prealabilă (*preprocesare*) a informațiilor brute.

Date de ieșire. Indicator al clasei căreia îi aparține obiectul (de exemplu numărul de ordine al literei în cadrul alfabetului).

Abilitatea de clasificare a rețelei este rezultatul unui proces de învățare pornind de la exemple de clasificare corectă.

Pe lângă exemplul de mai sus, de recunoaștere a caracterelor, alte probleme concrete de clasificare sunt: recunoașterea vorbirii, clasificarea semnalelor (de exemplu separarea electrocardiogramelelor în normale și anormale), clasificarea celulelor în normale și anormale, recunoașterea unor fețe într-o imagine, clasificarea texturilor etc.

Gruparea și categorizarea datelor. Este similară problemei de clasificare cu diferența că antrenarea rețelei se realizează pornind doar de la date de intrare, fără a specifica clasele cărora le aparțin. Clasele sunt construite pornind doar de la similaritățile existente în datele de intrare pe care rețeaua este capabilă să le identifice. În felul acesta rețeaua neuronală descoperă criteriul de grupare. Probleme concrete din această categorie intervin în analiza datelor (în special în domeniul cunoscut sub denumirea de "data mining") și în compresia datelor.

Aproximare și estimare. Se referă la extragerea dependenței funcționale dintre două mărimi pornind de la un set de valori ale celor două mărimi. De regulă valorile din set sunt alterate de zgomot (afectate de erori de măsurare sau de altă natură). Folosind acest set rețeaua este antrenată pentru a determina dependența dintre cele două mărimi. O dată rețeaua antrenată, pentru orice valoare a argumentului ea furnizează aproximarea valorii asociate. O problemă concretă din această clasă este reprezentată de determinarea dependenței funcționale între mărimi măsurate experimental. În aceeași clasă se încadrează determinarea parametrilor unor modele din inginerie sau orice altă problemă de asociere. În acest context rețelele neuronale pot fi văzute ca modele de regresie neliniară caracterizate printr-un număr mare de parametri.

Predicție.

Date de intrare. O succesiune de valori (numită *serie temporală*) pentru care nu este cunoscută o relație formală care să le genereze.

Data de ieșire. Aproximarea următoarei valori din serie.

Antrenarea rețelei se realizează pornind de la valorile cunoscute din serie. Probleme concrete din această clasă sunt predicția evoluției stocurilor, predicția în meteorologie, predicție în evoluția vânzărilor etc.

Optimizare. Diferite probleme din știință, inginerie și economie pot fi formulate ca probleme de optimizare constând în necesitatea determinării unei valori care satisface anumite restricții și optimizează o funcție obiectiv. Rețelele neuronale sunt adecvate pentru rezolvarea problemelor de optimizare dificile pentru care este suficient să se obțină soluții suboptimale. Probleme concrete din această categorie sunt cele ce intervin în proiectarea circuitelor electronice, în alocarea resurselor, în rezolvarea problemelor de rutare în rețele etc.

Stocarea și regăsirea informației după conținut. Rețelele neuronale permit stocarea informației astfel încât aceasta să fie ulterior regăsită pornind de la indicii legate de conținut (indiciile pot fi porțiuni din informația stocată). Astfel de sisteme de stocare sunt mai tolerante la erori în raport cu memoriile bazate pe adrese. Aplicații concrete sunt în proiectarea bazelor de date multi-media.

Modelare și control adaptiv. Controlul unui sistem dinamic se referă la a determina un semnal de control, $u(t)$, care asigură producerea unui semnal de ieșire dorit $y(t)$. Rețeaua neuronală este antrenată pornind de la un model de referință.

Prelucrarea și analiza semnalelor.

Date de intrare. Un semnal, care poate fi o imagine sau un semnal sonor.

Date de ieșire. Semnalul transformat (de exemplu prin eliminarea zgomotului) sau o informație extrasă din cadrul lui.

2.5 Descriere a unor aplicații clasice

În continuare sunt enumerate câteva dintre problemele pentru care rețelele neuronale au fost aplicate

cu succes încă din primii ani de dezvoltare.

2.5.1 Eliminarea adaptivă a zgomotului - "adaptive noise canceling"

La transmiterea unui semnal (sonor sau de altă natură) printr-un canal de comunicație (de exemplu o linie telefonică) intervine un zgomot care afectează calitatea transferului. Pentru oameni a separa un sunet dintr-un anumit context sonor (de exemplu a înțelege ceea ce spune o persoană într-o încăpere în care se aude și muzică) nu este o problemă dificilă. Aceasta este o abilitate de a elimina zgomotul pe care o utilizăm fără să ne gândim explicit la ceea ce facem. În mod analog dacă în timpul unei convorbiri telefonice intervine un zgomot pe linie îl putem ignora deși zgomotul respectiv nu are o anumită caracterizare. Tocmai datorită acestui fapt este foarte dificil dacă nu imposibil să separăm prin metodele clasice zgomotul de sunetul util. Oamenii sunt capabili să ignore acest zgomot deoarece au învățat această abilitate din experiență. Acesta este motivul pentru care această problemă a fost rezolvată utilizând rețele neuronale încă din primii ani ai dezvoltării lor (1950-1960, rețeaua ADALINE proiectată de B. Widrow).

2.5.2 Evaluarea riscului creditului ipotecar

Unul dintre cele mai importante aspecte pe care o bancă trebuie să le ia în considerare înaintea aprobării unui credit unei persoane este evaluarea riscului ca persoana să nu fie capabilă să returneze împrumutul. O rețea antrenată pe baza a câtorva mii de informații privind cererile acceptate sau respinse a obținut o rată de succes de 98% (în timp ce rata de succes a funcționarilor este în jur de 85%).

2.5.3 Cititor de coduri poștale

Serviciul poștal din SUA manevrează volume mari de corespondență. Una dintre sarcinile angajaților este clasificarea corespondenței pe baza codului poștal. Un sistem care asigură clasificarea pe baza codului poștal rezolvă următoarele subprobleme:

- identificarea zonei în care este scris codul;
- împărțirea acestei zone în subzone mai mici care se suprapun pentru izolarea cifrelor.
- recunoașterea cifrelor;

A doua etapă este repetată în paralel cu recunoașterea cifrelor până când sunt recunoscute toate cifrele. Rețelele neuronale sunt folosite de regulă în etapa de recunoaștere propriu-zisă. Rata de succes a acestei aplicații este de 95%. Ea a reprezentat punctul de pornire pentru aplicațiile destinate recunoașterii scrisului de mână (deși rata de succes a acestor aplicații este mult mai mică).

2.5.4 Recunoașterea vorbirii

Pentru oameni, recunoașterea vorbirii pare ceva intuitiv dar a realiza o aplicație care să facă acest lucru nu mai este deloc un lucru simplu. La începutul anilor 1980, Intel a proiectat o aplicație bazată pe o rețea neuronală artificială care putea să identifice vocea unei persoane pe baza unui vocabular limitat. Acest sistem, cunoscut sub numele de sistem de recunoaștere automată a vorbirii, poate identifica vocea unei persoane ce folosește un vocabular limitat pe baza căruia a fost antrenată rețeaua de către acea persoană. Această aplicație este utilizată în liniile de asamblare unde un inspector poate comunica cu calculatorul printr-o interfață vocală pentru a controla procesul de asamblare.

2.5.5 Clasificarea semnalelor produse de "sonar"

"Sonar"-ul este un echipament care permite detectarea obstacolelor submarine. Utilizarea echipamentului necesită un operator experimentat care să recunoască adevăratele obstacole în raport cu cele false. A fost realizată o aplicație bazată pe o rețea neuronală antrenată pe baza unor date ale sonarului înregistrate din cât mai multe direcții posibile. Sistemul a reușit să identifice 98% dintre obstacolele din setul de antrenare și 90% din datele noi.

2.6 Calculul neuronal în comparație cu calculul clasic

Între abordarea problemelor cu ajutorul rețelelor neuronale artificiale și cea clasică bazată pe implementarea unui algoritm pornind de la un model formal există o serie de diferențe. Câteva sunt marcate în continuare.

	<i>Prelucrare neuronală</i>	+/-	<i>Prelucrare algoritmică</i>	+/-
1	Foarte multe procesoare fiecare executând un program simplu.	+	Unul sau câteva procesoare executând programe complicate.	-
2	Robustețe la erori.	+	Un singur bit eronat poate compromite un program.	-
3	Pot rezolva probleme a căror structură logică nu este pe deplin lămurită.	+	Este necesară buna cunoaștere a problemei pentru a o descompune în unități logice.	-
4	Sunt sisteme adaptive (se pot adapta la mediul informațional, pot învăța din experiență).	+	Sunt entități înghețate destinate rezolvării unei clase bine precizate de probleme.	-
5	Nu oferă garanția corectitudinii răspunsului pe care-l dau.	-	Un algoritm corect asigură corectitudinea răspunsului.	+
6	Nu furnizează explicația răspunsului pe care-l dau și sunt dificil de testat.	-	Există metode de testare a algoritmilor și programelor.	+
7	Produc soluții aproximative.	-	Produc soluții exacte.	+

Pe de altă parte pot fi puse în evidență, în aceeași manieră diferențele care există între rețelele neuronale și sistemele expert:

	<i>Rețele neuronale</i>	<i>Sisteme expert</i>
1	Imită structura și funcționarea creierului.	Imită raționamentul uman.
2	Prelucrare paralelă a informației.	Prelucrare secvențială a informației.
3	Cunoștințele sunt reprezentate implicit.	Cunoștințele sunt reprezentate explicit.
4	Implementează raționamente de tip inductiv	Implementează raționamente de tip deductiv
1	Prelucrare preponderent numerică a informației.	Prelucrare preponderent simbolică a informației.
2	Reguli deduse prin învățare.	Reguli încorporate aprioric în sistem.
3	Fără capacitate explicativă	Posedă modul explicativ.

2.7 Motivații pentru studiul rețelelor neuronale

Există mai multe motive de a studia rețelele neuronale. Dintre acestea amintim:

1. Sunt o *alternativă* la paradigma computațională clasică bazată pe utilizarea unui model formal și pe proiectarea unor algoritmi a căror comportare nu se modifică pe parcursul utilizării.
2. Integrează rezultate din discipline variate în scopul obținerii unor arhitecturi simple de calcul. Reformularea unitară, în cadrul teoriei rețelelor neuronale, a unor tehnici deja clasice dar aparținând unor diverse domenii asigură acoperirea unor zone de graniță, fapt important în condițiile în care interdisciplinaritatea câștigă tot mai mult teren.
3. Modelează inteligența umană, putând contribui la o mai bună înțelegere a modului cum funcționează creierul uman.

2.8 Scurt istoric

În continuare sunt enumerate câteva dintre principalele etape parcurse în evoluția rețelelor neuronale artificiale:

[McCullough and Pitts, 1943] Au propus primul model formal al neuronului punând în evidență abilitatea de calcul a acestuia și posibilitatea de a imita funcționarea acestuia prin circuite electrice.

[Hebb, 1949] A enunțat principiul adaptării permeabilității sinaptice conform căruia de fiecare dată când o conexiune sinaptică este "folosită" permeabilitatea ei crește. Acest principiu stă la baza adaptării prin modificarea ponderilor sinaptice.

[Rosenblatt, 1957] A dezvoltat o rețea implementată hard, numită perceptron, pentru clasificarea caracterelor tipărite.

[Widrow și Hoff, 1950-1960] Au dezvoltat algoritmi de învățare bazați pe minimizarea erorii pe setul de antrenare pentru rețele cu un nivel de unități funcționale (ADALINE - ADaptive LINear Element și MADALINE - Multiple ADaptive LINear Element).

[Minsky și Papert, 1969] Au publicat cartea "Perceptrons" în care se pun în evidență limitele rețelelor cu un singur nivel de unități funcționale. Reprezintă finalul primei etape de dezvoltare a rețelelor neuronale după care a urmat o perioadă de circa 10 ani în care cercetările în domeniu au fost reduse considerabil.

[Hopfield, 1982] Propune o abordare a analizei rețelelor neuronale folosind formalismul fizicii statistice prin punerea în evidență a analogiei între rețelele recurente (destinate memorării asociative) și sistemele de spini magnetici. Marchează începutul unei noi perioade de interes în domeniu caracterizată prin extinderea domeniilor de aplicabilitate și volumul mare de implementări soft și hard folosite în aplicații practice.

[Rumelhart, Parker, 1985] Este descris, într-o manieră accesibilă, algoritmul de învățare al rețelelor cu mai multe nivele bazat pe ideea minimizării unei funcții de eroare calculată pornind de la un set de antrenare (ideea a fost formulată anterior de Werbos însa a devenit cunoscută abia după prezentarea într-o manieră explicită a lui Rumelhart și Parker). Algoritmul este cunoscut sub denumirea de "backpropagation" provenită de la faptul că pentru determinarea ajustărilor ce vor fi aplicate ponderilor se propagă prin rețea în sens invers (de la nivelul de ieșire către cel de intrare) un semnal de eroare.

[Carpenter, Grosberg, 1983] Dezvoltă "teoria rezonanței adaptive" ce conduce la algoritmi de învățare nesupervizată bazată pe procese de competiție.

[Kohonen, 1980] Dezvoltă rețele cu auto-organizare care modelează procese neuronale dar pot fi folosite și pentru prelucrarea datelor.

3 Specificul calculului evolutiv

Calculul evolutiv oferă mecanisme de căutare în spațiul soluțiilor bazate pe principiile evoluției naturale (de tip darwinist). Pentru găsirea soluției se utilizează o *populație* de *căutători*. Elementele populației reprezintă soluții potențiale ale problemei. Pentru a ghida căutarea către soluția problemei asupra populației se transformări specifice evoluției naturale:

- *Selecție*. Elementele populației care se apropie de soluția problemei sunt considerate adecvate și sunt favorizate în sensul ca au mai multe șanse de a supraviețui în generație următoare precum și de a participa la generarea de "urmași".
- *Încrucișare*. La fel ca în înmulțirea din natură pornind de la două sau mai multe elemente ale populației (numite părinți) se generează noi elemente (numite urmași). În funcție de calitatea acestora (apropierea de soluția problemei) urmașii își pot înlocui părinții.
- *Mutație*. Pentru a asigura variabilitatea populației se aplică, la fel ca în natură, transformări cu caracter aleator asupra elementelor populației permițând apariția unor trăsături (gene) care doar prin încrucișare și selecție nu ar fi apărut în cadrul populației.

În funcție de modul în care este construită populația și de modul în care este implementată evoluția, sistemele de calcul evolutiv se încadrează în una dintre următoarele categorii:

- *Algoritmi genetici*. Se folosesc în special pentru rezolvarea unor probleme de optimizare discretă (combinatorială). Populația este reprezentată de stări din spațiul problemei codificate binar (un element al populației este un șir de biți) iar principalii operatori sunt cei de încrucișare și selecție, cel de mutație având probabilitate mică de aplicare. Algoritmii genetici au fost propuși de către Holland în perioada anilor 1960, inițial ca modele ale evoluției și adaptării la mediu a sistemelor naturale. Ulterior s-a observat că algoritmi genetici pot fi utilizați și ca instrumente eficiente în rezolvarea problemelor de optimizare.
- *Programare genetică*. Este o direcție mai recentă a calculului evolutiv, dezvoltată în jurul anilor 1990 de către Koza. Scopul programării genetice este dezvoltarea unor "modele" de calcul (programe simple). Astfel, populația este reprezentată de programe care candidează la rezolvarea problemei. Există diferite reprezentări ale elementelor populației, una dintre cele mai clasice fiind aceea în care se utilizează o structură arborescentă pentru reprezentarea programelor. În anumite aplicații, cum este regresia simbolică, programele sunt de fapt expresii. De exemplu, "programul-expresie" "a+b*c" poate fi descris prin (+ a (* b c)). O astfel de structură este poate fi ușor codificată în Lisp, astfel că primele implementări din programarea genetică foloseau acest limbaj. Într-o astfel de reprezentare încrucișarea este realizată selectând aleator subarbori din arborele asociat programelor părinte și interschimbându-le. Ca și în cazul algoritmilor genetici mutația are pondere mică.
- *Strategii evolutive*. Au fost concepute inițial pentru a rezolva probleme de optimizare în tehnică fiind destinate rezolvării problemelor de optimizare continuă. Populația este constituită din elemente din domeniul de definiție al funcției obiectiv. Operatorul principal este cel

de mutație dar și recombinația este folosită. Pentru strategiile evolutive au fost dezvoltate scheme de adaptare a parametrilor de control (auto-adaptare). La dezvoltarea strategiilor evolutive contribuții importante au adus Rechenberg și Schwefel.

- *Programare evolutivă.* Inițial programarea evolutivă a avut ca obiectiv dezvoltarea unor structuri de calcul (automate) printr-un proces de evoluție în care operatorul principal este cel de mutație. Bazele domeniului au fost puse de către Fogel. Ulterior programarea evolutivă a fost orientată către rezolvarea problemelor de optimizare având aceeași sferă de aplicabilitate ca și strategiile evolutive.

Toate aceste metode se bazează pe faptul că *simulează evoluția* unei mulțimi (*populație*) de structuri informaționale (*configurații* sau *indivizi*) sub acțiunea unor procese similare celor din evoluția naturală și anume: *selecție, mutație și încrucișare.*

Acțiunea acestor procese este controlată prin intermediul unei funcții de *performanță* ("fitness") care măsoară gradul de adecvare a fiecărui individ la *mediul* din care face parte. De exemplu, în cazul rezolvării unei probleme de optimizare (maximizare) funcția "fitness" este chiar funcția obiectiv a problemei.

3.1 Structura unui algoritm evolutiv

Majoritatea algoritmilor evolutivi au un caracter iterativ. Structura generală a unui astfel de algoritm (algoritm genetic, strategie evolutivă etc.) este:

```
// initializarea indicatorului de iteratie
    t := 0;
// initializarea (aleatoare) a populatiei (multime de configuratii
// a caror structura depinde de problema)
    init P(t);
// calculul functiei "fitness" pentru fiecare individ al populatiei
    evaluate P(t);
// proces iterativ de evoluție
repeat
    // incrementarea indicatorului de iteratie\\
    t = t + 1
    // selectarea unei sub-populatii in scopul reproduceri(parinti)
    P1(t) = select P(t)
    // incrucisarea "genelor" parintilor avand ca rezultat obtinerea unei noi populatii
    P2(t) = recombine P1(t)
    // perturbarea aleatoare a noii populatii (mutatie)
    P3(t) = mutatare P2(t)
    // evaluarea noii populatii(calculul functiei "fitness" pentru noua populatie)
    evaluate P3(t)
    // selectia supravietuitorilor din cele doua populatii
    // (pe baza valorii functiei fitness)
    P(t+1) = survive (P(t),P3(t))
until <conditie de stop>
```

Conția de oprire se poate referi la numărul de iterații (generații) sau la proprietățile populației curente (de exemplu, întreaga populație converge către o singură valoare).

3.2 Domenii de aplicabilitate

La fel ca și rețelele neuronale, algoritmi evolutivi se utilizează atunci când nu există altă strategie de rezolvare a problemei și este acceptat un răspuns aproximativ. Se utilizează în special atunci când problema poate fi formulată ca una de optimizare. Câteva dintre domeniile de aplicabilitate sunt:

- *Planificare.* Majoritatea problemelor de planificare (alegerea traseelor optime ale unor vehicule, rutarea mesajelor într-o rețea de telecomunicații, planificarea unor activități etc.) pot fi formulate ca probleme de optimizare cu sau fără restricții. Multe dintre acestea sunt probleme din clasa "NP-hard" necunoscându-se algoritmi de rezolvare care să aibă complexitate polinomială. Pentru astfel de probleme algoritmi evolutivi oferă posibilitatea obținerii în timp rezonabil a unor soluții sub-optimale de calitate acceptabilă.
- *Proiectare.* Algoritmi evolutivi au fost aplicați cu succes în proiectarea circuitelor digitale, a filtrelor dar și a unor structuri de calcul cum sunt rețelele neuronale. Ca metode de estimare a parametrilor unor sisteme care optimizează anumite criterii se aplică în diverse domenii din inginerie cum ar fi: proiectarea avioanelor, proiectarea reactoarelor chimice, proiectarea structurilor în construcții etc.
- *Simulare și identificare.* Simularea presupune să se determine modul de comportare a unui sistem pornind de la un model al acestuia. Identificarea este sarcina inversă a identificării structurii sistemului pornind de la modul de comportare. Algoritmi evolutivi sunt utilizați atât în simularea unor sisteme din inginerie dar și din economie (de exemplu pentru modelarea proceselor de competiție în marketing). Identificarea unui model este utilă în special în efectuarea de predicții în diverse domenii (economie, finanțe, medicină, științele mediului etc.)
- *Control.* Asemenea rețelelor neuronale algoritmi evolutivi pot fi utilizați pentru a implementa controlere on-line asociate sistemelor dinamice (de exemplu pentru a controla roboții mobili).
- *Clasificare.* Se poate considera că din domeniul calculului evolutiv fac parte și sistemele de clasificare. Un sistem de clasificare se bazează pe o populație de reguli de asociere (reguli de producție) care evoluează pentru a se adapta problemei de rezolvat (calitatea unei reguli se stabilește pe baza unor exemple). Evoluția regulilor are același scop ca și învățarea în rețelele neuronale. Algoritmi evolutivi au fost utilizați cu succes în clasificarea imaginilor, în biologie (pentru determinarea structurii proteinelor) sau în medicină (pentru clasificarea electrocardiogramelor).

4 Specificul calculului fuzzy

Calculul fuzzy se caracterizează prin faptul că permite manipularea conceptelor vagi care nu pot fi modelate prin concepte matematice exacte (numere, mulțimi sau funcții clasice). Probleme în care intervin concepte vagi apar în teoria controlului când sistemele au caracter neliniar iar stările lor nu pot fi descrise în mod exact ci doar prin enunțuri care au un grad de ambiguitate. Să considerăm spre exemplu un sistem de control a temperaturii și umidității aerului într-o încăpere. Regulile pe care trebuie să le respecte un astfel de sistem ar putea fi:

Dacă temperatura și umiditatea sunt *scăzute* atunci mărește viteza ventilatorului (pentru aer cald și umed).

Dacă temperatura și umiditatea sunt *ridicate* atunci micșorează viteza ventilatorului (pentru aer cald și umed).

Regulile de mai sus sunt exemple de reguli fuzzy de inferență. Prelucrările efectuate de un sistem expert care prelucrează cunoștințe vagi se bazează pe teoria mulțimilor fuzzy și logica fuzzy. Variabilelor lingvistice *scăzut* sau *ridicat* li se pot asocia cuantificări prin așa numitele funcții de apartenență.

4.1 Structura unui sistem fuzzy

Un sistem fuzzy este constituit din:

- un subsistem de extragere a regulilor fuzzy pornind de la datele problemei (etapa de fuzzificare);
- un subsistem de efectuare a inferențelor fuzzy (etapa de raționament)
- un subsistem de transformare a cunoștințelor fuzzy în date efective (etapa de defuzzificare).

4.2 Domenii de aplicabilitate

Principalele aplicații ale calcului fuzzy sunt: recunoașterea formelor; aproximarea funcțiilor; controlul sistemelor; compresia imaginilor.

Curs 2: Structura și proiectarea rețelelor neuronale artificiale

Din punct de vedere structural o rețea neuronală este un ansamblu de unități funcționale simple interconectate. Orice rețea neuronală este caracterizată prin:

- Specificul unităților funcționale componente.
- Arhitectura - modul de aranjare și interconectare a unităților funcționale.
- Funcționare - procesul prin care rețeaua transformă semnalele de intrare (de exemplu datele de intrare ale problemei de rezolvat) în semnale de ieșire (răspunsul rețelei).
- Învățare - procesul prin care rețeaua se adaptează la specificul problemei.

1 Unități funcționale

Unitatea funcțională este componenta elementară de prelucrare a informației în cadrul unei rețele neuronale. Funcționarea acestor unități este inspirată de modul de funcționare a neuronilor biologici fără a ține însă cont de toate particularitățile acestora. În rețelele artificiale sunt folosite și modele de unități funcționale care nu au relevanță biologică.

1.1 Modelul neuronului biologic

Celula nervoasă (neuronul) este constituită din:

- *corp neuronal* – constituit, în principal, din membrană și ”substanță” intracelulară;
- *axon* – prelungire a corpului neuronal cu rol de canal de ieșire;
- *dendrite* – prelungiri ale corpului neuronal cu rol de canale de intrare.

La nivelul celulei nervoase au loc procese de natură fizico-chimică destul de complexe. Se consideră că neuronul primește informație (prin intermediul dendritelor) sub formă de *impulsuri nervoase* de natură electrică. Aceste impulsuri provoacă depolarizări ale membranei neuronale adică modificări ale diferenței de potențial dintre interiorul și exteriorul celulei. Potențialele locale generate pe suprafața membranei se ”însușesc” spațial și temporal, iar dacă potențialul rezultat depășește o anumită valoare *prag*, atunci se generează un potențial de acțiune (PA) care se transmite de-a lungul axonului.

Cercetările din biologie au condus la concluzia că potențialele de acțiune au amplitudine constantă și că aceasta nu depinde de intensitatea stimulilor sosiți pe neuron. Intensitatea și durata

stimulilor de intrare influențează doar frecvența potențialelor de acțiune, întrucât un stimul suficient de intens și de lung provoacă nu un PA singular (care nu poartă suficientă informație) ci o secvență de potențiale de acțiune (*tren de impulsuri*).

La nivelul neuronului se poate considera că informația codificată sub forma intensității unor stimuli (deci analogic) este transformată într-o informație binară (prezența sau absența potențialelor de acțiune) sau eventual discretă (frecvența potențialelor de acțiune).

Din punct de vedere biologic lucrurile sunt mult mai complicate, punându-se în evidență fenomene ca: existența unei perioade refractare după activarea unui neuron, creșterea pragului de activare ("oboseala" neuronului), prezența unor descărcări (generare potențial de acțiune) spontane (în absența stimulului).

Informația pe care o primește un neuron din partea altora este codificată *analogic* datorită faptului că semnalele discrete emise de acei neuroni au fost transformate printr-un proces chimic complex care se desfășoară la nivelul *sinapsei* (spațiul dintre terminația axonului unui neuron și dendritele altuia).

Sinapsa poate fi definită ca o joncțiune funcțională în spațiul dintre două celule excitabile. În momentul în care trenul de impulsuri propagat de-a lungul axonului a ajuns la terminația acestuia el provoacă "deschiderea" unor vezicule și eliberarea unor substanțe chimice purtătoare de informație (neurotransmițători) în spațiul sinaptic. Cantitatea de neurotransmițători depinde de numărul de impulsuri din cadrul "trenului" dar și de alți factori (unii dintre ei neidentificați).

Pe membrana postsinaptică sunt prezente formațiuni care "recepționează" neurotransmițătorii provocând modificări ale permeabilității ionice a membranei, deci depolarizări.

După efectul pe care-l provoacă, sinapsele sunt: *excitatoare* (provoacă depolarizare pozitivă) sau *inhibitoare* (provoacă depolarizare negativă). S-a observat că stimulări succesive ale unei perechi de neuroni conduc la creșterea permeabilității sinapsei corespunzătoare (de exemplu prin sporirea numărului de receptori). Pe această observație biologică se bazează ideea că învățarea (adaptarea) poate fi realizată prin modificări ale permeabilității sinaptice.

1.2 Modelul neuronului formal

O unitate funcțională primește semnale din partea altor unități și produce un semnal de ieșire. Atât semnalele de intrare cât și cel de ieșire sunt codificate numeric iar unitatea efectuează următoarele prelucrări:

1. *integrează* (de exemplu, însumează) semnalele de intrare ținând cont de *ponderea asociată* fiecăruia;
2. *transformă* semnalul "integrat" prin aplicarea unei funcții, numită *funcție de transfer* sau *funcție de activare* obținând astfel un număr care reprezintă semnalul de ieșire.

Ponderile asociate conexiunilor sunt parametri ai funcției de integrare, care pentru un vector de semnale de intrare, $Y \in \mathbf{R}^N$, determină o valoare, x_i numită starea neuronului.

Funcția de agregare (integrare) asociată unui neuron i care primește semnale de la N neuroni este de forma $G_{W_i} : \mathbf{R}^N \rightarrow \mathbf{R}$ unde W_i reprezintă mulțimea ponderilor conexiunilor către neuronul i . Componenta w_{ij} reprezintă ponderea conexiunii dintre unitatea j și unitatea i .

Exemple simple de funcții de agregare sunt:

1. liniară: $G_{W_i}(Y) = \sum_{j=1}^N w_{ij} y_j$.
2. pătratică: $G_{W_i^{(1)}, W_i^{(2)}}(Y) = \sum_{j=1}^N w_{ij}^{(1)} y_j + \sum_{j,k=1}^N w_{ijk}^{(2)} y_j y_k$.

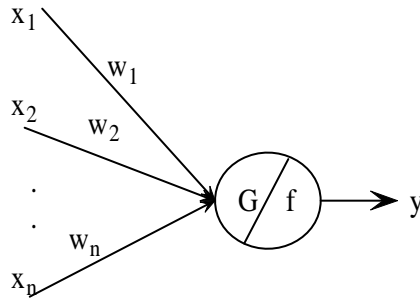


Figura 1: Exemplu de unitate functionala

3. distanța euclidiană: $G_{W_i}(Y) = \sqrt{(\sum_{j=1}^N (w_{ij} - y_j)^2)}$.

Semnalul de ieșire pe care îl produce o unitate funcțională i se determină prin $y_i = f_i(G(Y) - \theta_i)$ unde θ_i reprezintă pragul de activare a unității iar f_i funcția de activare (transfer). Principalele tipuri de funcții de activare sunt:

1. Funcții binare deterministe (modelul McCullough-Pitts): $f : R \rightarrow B$ cu $B = \{0, 1\}$ iar

$$f(x) = \begin{cases} 1 & \text{dacă } x \geq 0 \\ 0 & \text{dacă } x < 0 \end{cases}$$

adică funcția Heaviside. O altă variantă este cea cu $B = \{-1, 1\}$, funcția f fiind de fapt funcția signum.

2. Funcții binare stohastice (cu repartiție de tip Glauber): $f : R \rightarrow B$ cu $B = \{0, 1\}$

$$P(f(x) = 1) = \frac{1}{1 + e^{-\beta x}}, \quad P(f(x) = 0) = \frac{1}{1 + e^{\beta x}}$$

Se poate folosi și varianta în care $B = \{-1, 1\}$, probabilitățile având aceeași formă. Ideea acestor funcții de transfer este preluată din fizica sistemelor de spini magnetici.

3. Funcții continue, $f : R \rightarrow R$:

- (a) $f(x) = x$ (principalul avantaj al funcțiilor liniare este simplitatea studiului analitic, iar principalul dezavantaj este nemărginirea);
- (b) Dezavantajul de mai sus poate fi eliminat prin folosirea unor funcții mărginite, liniare pe porțiuni (funcții de tip "rampă") dar care au dezavantajul de a nu fi netede. Un exemplu simplu de astfel de funcție este:

$$f(x) = \begin{cases} -1 & \text{dacă } x < -1 \\ x & \text{dacă } -1 \leq x \leq 1 \\ 1 & \text{dacă } x > 1 \end{cases}$$

- (c) Pentru a fi eliminat dezavantajul nenetezimei se utilizează funcții sigmoideale:

- i. (logistica) $f(x) = 1/(1 + \exp(-\beta x))$, $\beta > 0$;
- ii. (tangenta hiperbolică) $f(x) = \tanh(\beta x) = \frac{\exp(2\beta x) - 1}{\exp(2\beta x) + 1}$, $\beta > 0$;

Parametrul β permite controlul pantei funcțiilor sigmoidale. Când β tinde către infinit funcția logistică devine din ce în ce mai apropiată de funcția Heaviside iar tangenta hiperbolică tinde către funcția signum.

(d) Dintre funcțiile nemonotone, cele mai des utilizate sunt cele de tip gaussian:

$$f(x) = \exp(-\beta x^2) \quad \beta > 0.$$

2 Arhitectura

Arhitectura unei rețele neuronale se referă la modul în care sunt amplasate unitățile funcționale (*topologie*) și la modul în care sunt interconectate (*conectivitate*).

Din punct de vedere al arhitecturii o rețea neuronală poate fi formalizată printr-un graf orientat etichetat în nodurile căruia sunt amplasate unitățile funcționale și ale cărui arce specifică conexiunile și, implicit, fluxul informațional.

Din punctul de vedere al rolului pe care îl au unitățile funcționale în cadrul rețelei, ele pot fi descompuse în trei categorii principale:

- *Unități de intrare.* Primesc semnale din partea mediului. În cazul în care primesc semnale doar din exterior nu au alt rol decât de a retransmite semnalul primit către alte unități din rețea. În această situație nu sunt unități funcționale propriu-zise întrucât nu realizează nici o prelucrare asupra semnalului primit.
- *Unități ascunse.* Sunt conectate doar cu alte unități ale rețelei fără a comunica direct cu mediul extern. Rolul lor este de a colecta semnale, de a le prelucra și de a distribui semnalul de ieșire către alte unități.
- *Unități de ieșire.* Colectează semnale de la alte unități, le prelucreză și transmit semnalul pe care îl obțin mediului extern.

În unele rețele cele trei categorii de unități formează mulțimi distincte. Cazul cel mai frecvent întâlnit este cel al rețelelor organizate pe nivele: un nivel de unități de intrare, unul sau mai multe nivele de unități ascunse și un nivel de ieșire. O situație particulară o reprezintă rețelele ce nu conțin unități ascunse ci doar un nivel de unități de intrare și un nivel de unități de ieșire.

În alte rețele nu se face distincție netă între unitățile de intrare și cele de ieșire: toate unitățile preiau semnale din mediu, le prelucreză și transmit rezultatul atât unităților din rețea cât și mediului.

Modul de amplasare a unităților determină *topologia* rețelei. Din punctul de vedere al acesteia există:

- Rețele în care nu are importanță (din punctul de vedere al algoritmilor de funcționare și/sau de învățare) poziția geometrică a unităților. Astfel de topologii sunt asociate rețelelor organizate pe nivele (fig. 2) și rețelelor Hopfield (fig. 3). În reprezentările schematice ale rețelelor organizate pe nivele unitățile aceluiași nivel sunt reprezentate grupat deși poziția lor nu are semnificație pentru procesul de funcționare și cel de învățare.

- Rețele în care este esențială organizarea geometrică, relațiile de vecinătate dintre unități intervenind în algoritmul funcționare sau în cel de învățare. Astfel de topologii sunt cele asociate rețelelor Kohonen (fig. 4, fig. 5) sau rețelelor celulare (fig. 6). Esențial în acest caz este definirea unei relații de vecinătate între unități.

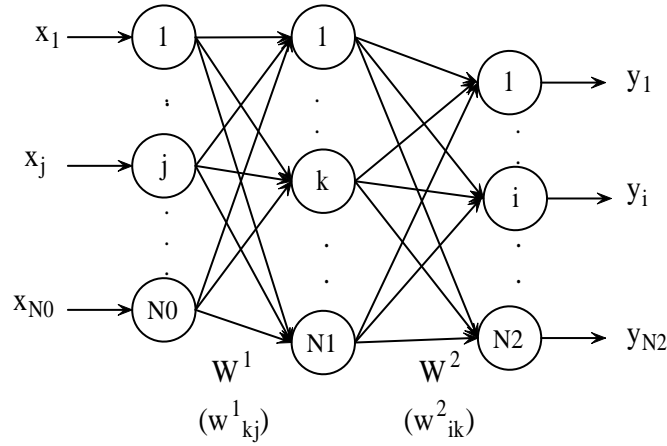


Figura 2: Exemplu de rețea cu un nivel ascuns

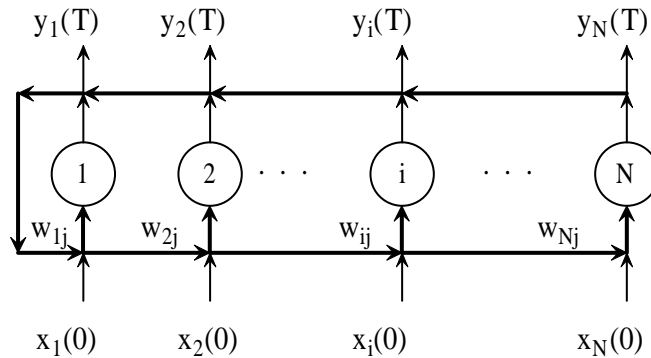


Figura 3: Exemplu de rețea cu conectivitate totală (rețea de tip Hopfield)

Modul de interconectare a unităților determină *fluxul de semnale* prin rețea fiind un factor esențial în stabilirea algoritmului de funcționare. Din perspectiva prezenței conexiunilor inverse în graful asociat, rețelele pot fi clasificate în:

- *Rețele de tip "feed-forward"*. Nu există conexiuni inverse, fluxul informațional fiind unidirecțional dinspre setul unităților de intrare către cel al unităților de ieșire. Conectivitatea între nivele poate fi totală sau locală. Exemple de astfel de rețele sunt ilustrate în fig. 7, 8, 9.
- *Rețele recurente*. Graful asociat conține conexiuni inverse directe (bucle) sau indirecte (circuite). Exemple de rețele cu conexiuni inverse sunt ilustrate în fig.3, fig.6 și fig.10 .

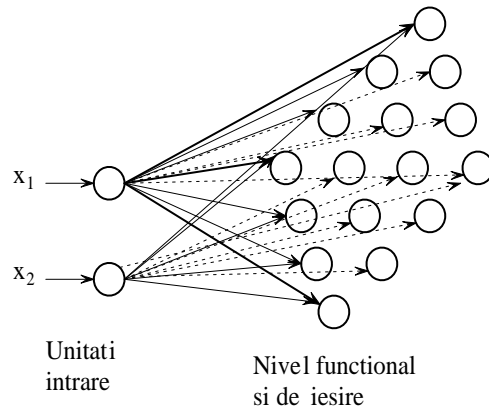


Figura 4: Exemplu de rețea cu organizare geometrică a nivelului de ieșire (rețea Kohonen)

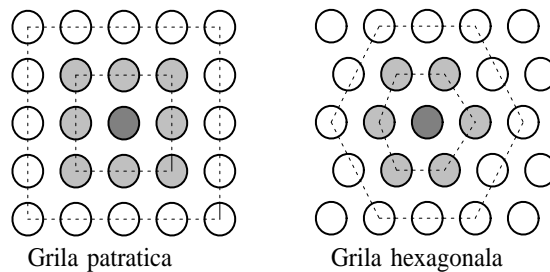


Figura 5: Tipuri de grile bidimensionale utilizate în algoritmii de învățare de la rețelele Kohonen

2.1 Topologii

Principalele tipuri de topologii sunt:

- *Arbitrară.* Pe mulțimea unităților funcționale nu este definită nici o relație de ordine. În acest caz nu are importanță nici locul și nici distanțele dintre unități. Un model cu o astfel de topologie este modelul Hopfield. De regulă, acestei topologii îi corespunde o conectivitate totală.
- *Pe nivele.* Unitățile sunt împărțite în mai multe submulțimi, numite nivele. În cadrul unui nivel nu are importanță modul de aranjare a unităților. În această categorie intră rețelele feedforward cu unul sau mai multe nivele.
- *Cu structură geometrică.* Unitățile sunt amplasate în nodurile unei grile unidimensionale, bidimensionale sau chiar tridimensionale. În acest caz se poate defini o funcție distanță între unități. În această categorie intră rețelele de tip Kohonen și cele celulare.

În practică se utilizează și arhitecturi mixte în care fiecare nivel poate avea o anumită structură geometrică.

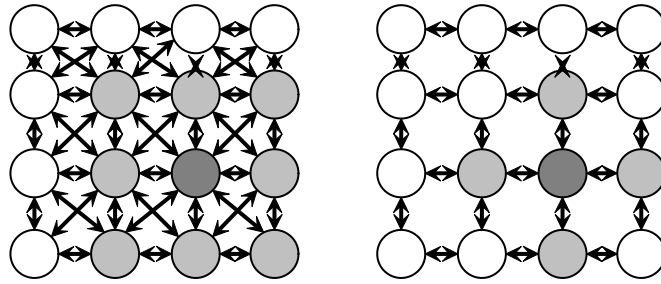


Figura 6: Exemple de rețele celulare

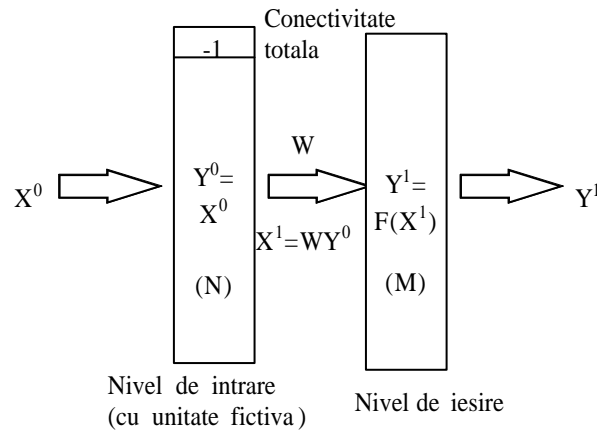


Figura 7: Reprezentare schematică a unei rețele cu un nivel de intrare ($N+1$ unități) și un nivel de ieșire (M unități) și conectivitate totală între nivelul de intrare și cel de ieșire.

2.2 Conexiuni

Principalele tipuri de conexiuni sunt:

- Conexiuni între elementele a două nivele distincte. Sunt folosite în special la rețelele organizate pe nivele.
- Conexiuni între elementele aceluiași nivel (conexiuni laterale). Se folosesc la rețelele cu structură geometrică.
- Conexiuni inverse prin care o unitate este conectată cu ea însăși. Pot fi folosite la toate tipurile de topologii.

2.3 Flux informațional

Fluxul informațional reprezintă modul în care "curge" informația prin rețea (de la unitățile care preiau datele de intrare către unitățile care produc semnalul de ieșire). În funcție de modul de interconectare a unităților, fluxul informațional poate fi de una dintre categoriile:

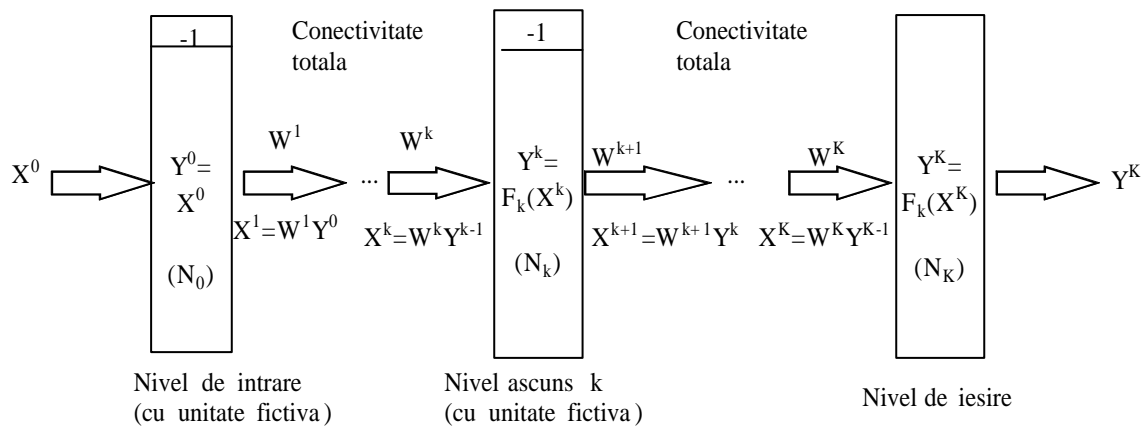


Figura 8: Reprezentare schematică a unei rețele cu K nivele de unități funcționale și conectivitate totală între nivelele consecutive.

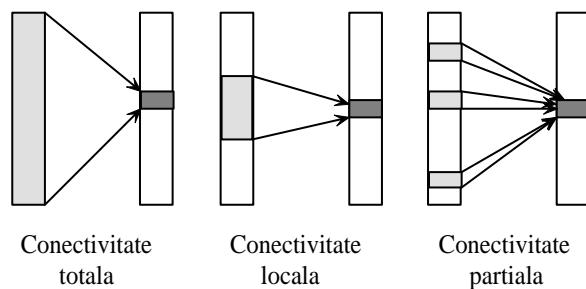


Figura 9: Variante de conectare a unităților de pe două nivele

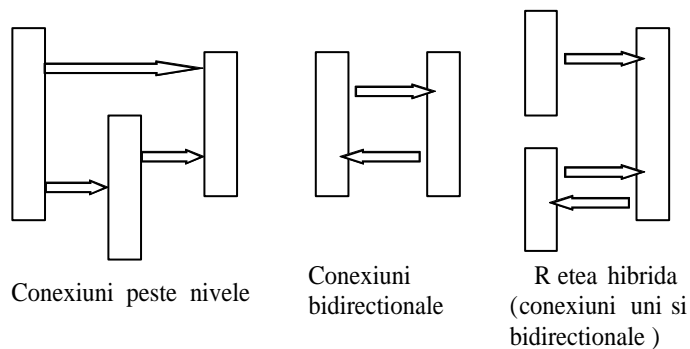


Figura 10: Variante de conectare între două sau mai multe nivele

- *Feedforward*: flux unidirecțional (informația circulă doar dinspre nivelul unităților de intrare înspre cel al unităților de ieșire). Este întâlnit la rețelele organizate pe nivele în care nu există conexiuni inverse.
- *Feedback*: flux multidirecțional (un semnal produs de o unitate poate să ajungă din nou la unitatea respectivă fie direct, fie prin intermediul altor unități). Este întâlnit la rețelele cu organizare oarecare și la cele în care sunt prezente conexiunile laterale sau inverse.

3 Funcționare

Funcționarea se referă la modul în care rețeaua transformă un semnal de intrare, X , într-un semnal de ieșire, Y . Ea depinde atât de modul în care funcționează unitățile cât și de modul în care sunt interconectate.

Unul dintre parametrii cei mai importanți ai funcționării este ansamblul ponderilor asociate tuturor conexiunilor (W). La prima vedere, o rețea neuronală poate fi văzută ca o cutie neagră care primește date de intrare și produce un rezultat (figura 11).

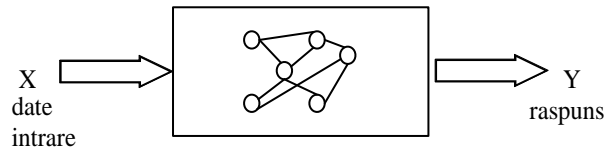


Figura 11: Rețeaua neuronală ca sistem de transformare a semnalelor de intrare în semnale de ieșire.

În funcție de specificul fluxului informațional există două moduri principale de funcționare: *Funcționare neiterativă*. În cazul rețelelor în care fluxul informațional este de tip feedforward, semnalul de ieșire, Y , se poate obține prin aplicarea unei funcții, F_W (care depinde de parametrii rețelei), asupra semnalului de intrare, X (figura 12).

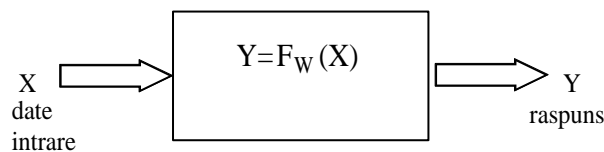


Figura 12: Funcționarea unei rețele cu flux de tip feedforward

Un exemplu simplu de funcționare neiterativă (directă) este cel al unei rețele constituită dintr-un nivel de N unități de intrare și un nivel de M unități de ieșire. Dacă $X = (x_1, \dots, x_N)$ reprezintă vectorul semnalelor de intrare în rețea, vectorul semnalelor de ieșire va avea componentele:

$$y_i = f_i\left(\sum_{j=1}^N w_{ij}x_j - \theta_i\right), \quad i = \overline{1, M}.$$

Funcționare iterativă. În cazul rețelelor în care sunt prezente conexiuni inverse nu este suficientă o singură "trecere" a semnalului de intrare, X , prin rețea pentru a obține semnalul de ieșire. Dimpotrivă, în acest caz funcționarea se desfășoară în timp, putând fi descrisă printr-un proces iterativ (fig. 13) de forma:

$$X(0) = X, \quad X(t + 1) = F_W(X(t)), \quad t \geq 0.$$

Semnalul de ieșire se consideră ca fiind limita lui $X(t)$ ($X^* = \lim_{t \rightarrow \infty} X(t)$). În implementări, limita se aproximează prin $X(T)$, T fiind momentul în care este oprit procesul iterativ. Calitatea acestei aproximări depinde atât de proprietățile lui F_W cât și de $X(0)$.

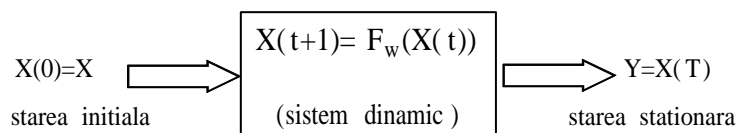


Figura 13: Funcționarea unei rețele recurente

4 Învățare

Învățarea poate fi văzută ca fiind un proces prin care un sistem își îmbunătățește performanțele prin achiziție de cunoaștere.

Pentru rețelele neuronale învățarea se referă la orice modificare a mulțimii parametrilor (ponderile asociate conexiunilor și pragurile asociate unităților) care asigură o mai bună adecvare a comportării rețelei la problema pentru care a fost proiectată.

Capacitatea de a învăța este una dintre cele mai importante calități ale unei rețele neuronale, prin care aceasta este superioară altor metode. Posibilitatea învățării din exemple permite evitarea formalizării în detaliu a problemei de rezolvat, un avantaj important mai ales în cazul problemelor pentru care o astfel de formalizare nu există. Prin procesul de învățare în parametrii rețelei este înglobată implicit o formalizare a problemei, aceasta putând fi utilizată în faza de funcționare.

Un alt aspect important al rețelelor neuronale este *capacitatea de generalizare* adică de a produce răspunsuri și pentru date pentru care nu a fost antrenată.

Procesul de învățare se bazează pe două elemente:

- o mulțime de informații (numită și *set de antrenare*;
- un algoritm de adaptare la informațiile primite care se bazează pe o regulă de ajustare a parametrilor.

În funcție de natura informațiilor primite, învățarea poate fi de una dintre categoriile:

1. *Nesupervizată (auto-organizare)*. Sistemul primește doar semnale de intrare din partea mediului și pe baza acestora descoperă trăsăturile statistice ale populației stimulilor construindu-și o reprezentare codificată în ponderi a mediului. Această reprezentare poate fi ulterior utilizată pentru alți stimuli care provin din partea aceluiași mediu. Din punct de vedere algoritmic o asemenea metodă de adaptare constă într-un algoritm de construire a ponderilor care poate

fi iterativ sau nu. Regula de ajustare a ponderilor are forma generală: $\Delta w_{ij} = A(y_j, x_i)$, ceea ce sugerează că în procesul de adaptare a ponderii conexiunii dintre unitatea j și unitatea i intervin doar semnalele de ieșire respectiv de intrare ale celor două unități. Aceste metode sunt utilizate pentru aplicații de memorare asociativă, grupare a datelor (clustering), analiza componentelor principale.

2. *Supervizată*. Se dispune de un *set de antrenare* (mulțime de exemple) care conține perechi de forma (I, D) cu I reprezentând semnalul de intrare, iar D răspunsul corect (în cazul învățării supervizate propriu-zise) sau un indicator de corectitudine (în cazul celei de tip recompensă/penalizare). Pe baza setului de antrenare ponderile se construiesc iterativ urmărind maximizarea unui indice de performanță sau minimizarea unei funcții de eroare. În acest caz regula de ajustare a ponderilor are forma generală $\Delta w_{ij} = A(y_j, x_i, \delta_{ij})$ unde δ_{ij} este un semnal de antrenare determinat pe baza setului de antrenare și a metodei de optimizare folosite.

Relativ la învățarea supervizată apar și următoarele probleme:

- (a) *Validarea rețelei "antrenate"* : se face de regulă prin reținerea din setul de antrenare a unui subset de validare (care nu este utilizat în determinarea ponderilor).
- (b) *Asigurarea unei bune capacități de generalizare*: se menține un nivel *acceptabil* de eroare pe setul de antrenare în scopul evitării *suprainvățării* (învățarea detaliilor nesemnificative din cadrul exemplilor).

5 Rezolvarea unei probleme folosind rețele neuronale

Rezolvarea clasică (cu algoritmi bine precizați pentru fiecare clasă de probleme) a problemelor necesită cunoașterea a suficiente date despre problemă pentru a o putea descompune în unități logice elementare și pentru a elabora un algoritm care va rămâne "înghețat" în structura lui, modificându-se doar datele pe care le prelucrează.

Dacă datele despre problemă nu sunt suficiente atunci problema nu poate fi formalizată și metoda de mai sus nu poate fi aplicată. În aceste situații pot fi utilizate rețele neuronale, etapele de rezolvare fiind:

1. Stabilirea unei arhitecturi inițiale care să fie compatibilă cu problema (de exemplu structura nivelului de intrare în rețea trebuie să fie compatibilă cu numărul de date inițiale ale problemei) și alegerea tipului de unități funcționale. Stabilirea gradului de maleabilitate al rețelei prin specificarea parametrilor ajustabili (o rețea va fi cu atât mai generală cu cât va avea mai mulți parametri ajustabili). Pentru fiecare instanțiere a parametrilor se obține o anumită funcție asociată rețelei (două rețele având aceeași arhitectură dar valori diferite ale parametrilor pot rezolva două probleme diferite). În anumite cazuri chiar și arhitectura (de exemplu numărul de unități) este maleabilă ea fiind stabilită prin procesul de învățare.
2. Alegerea unui algoritm de învățare potrivit cu arhitectura rețelei și cu cantitatea de informație de care se dispune despre problemă. În alegerea algoritmului de învățare trebuie să se țină cont de:
 - (a) funcția pe care o poate realiza rețeaua (deci de arhitectură);
 - (b) specificul "mediului informațional" al problemei (de volumul și natura datelor despre problemă).

3. Antrenarea rețelei pentru a rezolva o anumită problemă. Antrenarea se realizează prin "amplasarea" rețelei în "mediul informațional" specific problemei și activarea algoritmului de învățare.
4. Testarea (validarea) rețelei presupune verificarea corectitudinii răspunsurilor pe care le dă rețeaua când primește date de intrare care nu aparțin setului de antrenare dar pentru care se cunoaște răspunsul corect.
5. Utilizarea propriu-zisă a rețelei.

Primele două etape se referă la proiectarea rețelei iar celelalte la adaptarea (antrenarea) și utilizarea ei. Adeseori o etapă premergătoare o reprezintă preprocesarea datelor. De exemplu dacă datele de intrare se constituie în vectori de valori numerice o transformare utilă o reprezintă normalizarea acestora.

Curs 3-4: Rețele feedforward cu un singur nivel

1 Arhitectura

Rețelele feed-forward cu un singur nivel de unități funcționale sunt constituite din:

1. Un nivel de N unități de intrare caracterizate prin faptul că retransmit semnalul pe care-l primesc. Luând în considerare și unitatea fictivă utilizată pentru modelarea pragului, nivelul de intrare transmite vectorul $X = (x_0, x_1, \dots, x_N)^T$ cu $x_0 = -1$.
2. Un nivel de M unități de ieșire caracterizate prin funcții de transfer $f_i : \mathbb{R} \rightarrow \mathbb{R}$ specifice.
3. Un ansamblu de conexiuni între nivelul de intrare și cel de ieșire, care în cazul cel mai simplu realizează o conectivitate totală. Conexiunilor le sunt asociate ponderile: $w_{ij} \in \mathbb{R}$ cu $i \in \{1, \dots, M\}$ și $j \in \{0, \dots, N\}$, w_{i0} reprezentând pragul unității de ieșire i .

Structura unei astfel de rețele este ilustrată schematic în figura 1.

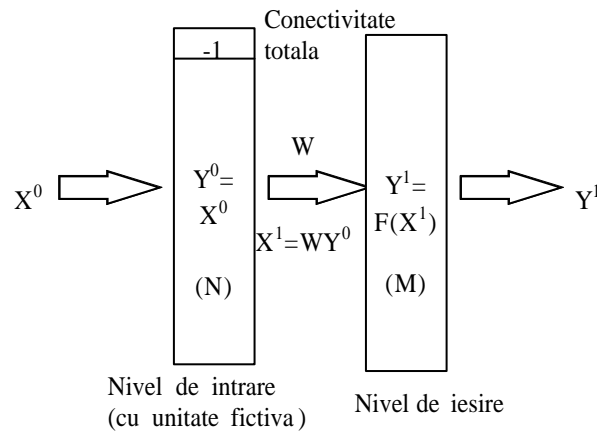


Figura 1: Reprezentare schematică a unei rețele cu un nivel de intrare ($N+1$ unități) și un nivel de ieșire (M unități) și conectivitate totală între nivelul de intrare și cel de ieșire.

2 Funcționare

Funcționarea unei astfel de rețele depinde de matricea ponderilor conexiunilor $W = (w_{ij})_{i=\overline{1,M}, j=\overline{0,N}}$ și de funcțiile de transfer $(f_i)_{i=\overline{1,M}}$ și poate fi descrisă prin:

$$y_i = f_i\left(\sum_{j=0}^N w_{ij}x_j\right), \quad i \in \{1, \dots, M\}.$$

Principala problemă rămâne determinarea valorilor w_{ij} care asigură rezolvarea de către rețea a unei anumite probleme, de exemplu efectuarea unor asocieri dintre vectori de intrare și vectori de ieșire: $X^1 \rightarrow d^1, \dots, X^L \rightarrow d^L$ cu $X^l \in \mathbb{R}^N$ și $d_l \in \mathbb{R}^M$.

3 Aplicabilitate

Rețelele feedforward (în general, nu numai cele cu un singur nivel) permit realizarea de asocieri între date de intrare $X \in \mathbb{R}^N$ și date de ieșire $Y \in \mathbb{R}^M$. Aceste asocieri pot fi formalizate prin funcții $\phi : D \subset \mathbb{R}^N \rightarrow \mathbb{R}^M$, deci rețelele pot reprezenta funcții vectoriale. Problematika aproximării funcțiilor poate fi descrisă, în mod simplificat, astfel:

Presupunem că se cunosc valorile funcției ϕ doar pentru o mulțime de valori ale argumentelor (de exemplu se cunosc: $\{(X^1, \phi(X^1)), \dots, (X^L, \phi(X^L))\}$). Se dorește estimarea valorilor lui ϕ pentru orice argument X din domeniul său de definiție.

Despre o funcție $\psi : \mathbb{R}^N \rightarrow \mathbb{R}^M$ se poate spune că aproximează pe ϕ cu precizia ϵ dacă are loc, de exemplu, $\|\phi(X) - \psi(X)\| < \epsilon$ pentru orice X , $\|\cdot\|$ fiind o normă definită pe \mathbb{R}^M .

Diferite probleme concrete pot fi formalizate ca probleme de aproximare de funcții. De exemplu:

1. Determinarea unei relații funcționale între două mărimi pornind de la date obținute prin măsurători (*fitarea* datelor experimentale).
2. Efectuarea unei *predicții* în cadrul unei serii temporale (valori ale unei mărimi ce evoluează în timp) pornind de la un set de valori anterioare. În acest caz se încearcă aproximarea unei funcții $\phi : D \subset \mathbb{R}^k \rightarrow \mathbb{R}$ care să surprindă legătura dintre k valori anterioare din serie, $x_{t-1}, x_{t-2}, \dots, x_{t-k}$ și valoarea curentă, x_t .
3. *Codificarea/ compresia datelor*. Se caută o funcție $\phi_1 : \mathbb{R}^N \rightarrow \mathbb{R}^M$, $M < N$ (folosită pentru etapa de codificare) și o funcție $\phi_2 : \mathbb{R}^M \rightarrow \mathbb{R}^N$ (folosită pentru etapa de decodificare) astfel încât compusa lor, $\phi_2 \circ \phi_1 : \mathbb{R}^N \rightarrow \mathbb{R}^N$, să fie cât mai apropiată de funcția identică, $I : \mathbb{R}^N \rightarrow \mathbb{R}^N$, $I(X) = X$.
4. Clasificarea unor vectori din \mathbb{R}^N în M clase poate fi văzută ca o asociere între elementul $X \in \mathbb{R}^N$ și un vector indicator al clasei. De exemplu, clasa i poate fi reprezentată de vectorul $(0, \dots, 1, \dots, 0)$ singura valoare 1 aflându-se pe poziția i .

În proiectarea unei rețele neuronale, \mathcal{R} , destinate rezolvării unei probleme de asociere (de exemplu, aproximarea funcției ϕ) trebuie rezolvate următoarele probleme:

- *Problema reprezentării.* Poate rețeaua \mathcal{R} (caracterizată de o anumită arhitectură, un anumit mod de funcționare și de un anumit set de parametri) să aproximeze funcția ϕ ? Această problemă este importantă întrucât nu orice rețea poate să aproximeze orice funcție (de exemplu funcția XOR nu poate fi aproximată printr-o rețea cu un singur nivel, funcții liniare de integrare și funcții de transfer de tip Heaviside).
- *Problema învățării.* Presupunem că \mathcal{R} este o rețea a cărei arhitecturi îi permite, teoretic, să aproximeze funcția ϕ . Se pune problema *cum* să se determine valorile parametrilor rețelei pornind de la informațiile cunoscute despre ϕ (setul de antrenare) astfel încât aceasta să aproximeze efectiv pe ϕ .
- *Problema generalizării.* Fie \mathcal{R} o rețea antrenată să aproximeze pe ϕ . Se pune problema *cât de bine* aproximează \mathcal{R} pe ϕ pentru date de intrare care nu fac parte din setul de antrenare.

4 Rețele destinate rezolvării problemelor de clasificare

Rețelele din această categorie sunt denumite perceptroni. Termenul "perceptron" provine de la una dintre primele rețele neuronale artificiale implementate. Este vorba despre o rețea neuronală destinată recunoașterii unor caractere și care a fost implementată în perioada 1950-1960 de către o echipă coordonată de către Rosenblatt. O astfel de rețea este capabilă să rezolve doar probleme liniar separabile permițând prin algoritmul de învățare specific (algoritmul perceptronului) determinarea coeficienților hiperplanelor care separă clasele.

4.1 Specificul problemelor de clasificare. Liniar separabilitate.

Problematika clasificării, denumită și recunoașterea formelor ("pattern recognition"), se referă la încadrarea unei descrieri asociate unui obiect (numită formă, șablon sau tipar) într-o categorie de obiecte *similare*, numită *clasă*.

Un exemplu simplu de clasificare este cel al asocierii dintre o descriere prin matrice de pixeli a unui caracter (de exemplu litera C) și un indicator al clasei căreia îi aparține (de exemplu valoarea 3 reprezentând numărul de ordine al clasei asociate literei C).

Procesul de clasificare depinde de modul de descriere a obiectului. Există două modalități principale de descriere a obiectelor:

- *Geometrică.* Obiectului i se asociază un vector cu valori numerice asociate unui set de caracteristici specifice. Acestei modalități de descriere îi corespund sistemele de clasificare decizional-statistice.
- *Structurală.* Obiectul este descris într-o manieră simbolică pornind de la un set de primitive. Sistemele de clasificare specifice acestei descrieri se bazează pe o analiză sintactică.

În rezolvarea cu rețele neuronale a problemelor de clasificare se pornește de la descrierea geometrică. Dacă mulțimea formelor este $\Omega \subset \mathbb{R}^N$, aceasta poate fi descompusă într-un set de clase, $\Omega = C_1 \cup C_2 \cup \dots \cup C_M$. Separarea în clase este asigurată de existența unor funcții de decizie, D_1, D_2, \dots, D_M , cu $D_i : \mathbb{R}^N \rightarrow \mathbb{R}$.

În cazul a două clase, C_1 și C_2 este suficientă o singură funcție de decizie $D(X)$ care permite clasificarea în modul următor: $X \in C_1$ dacă și numai dacă $D(X) > 0$, iar $X \in C_2$ dacă și numai dacă $D(X) < 0$. Vectorii X cu proprietatea că $D(X) = 0$ se află chiar pe suprafața de decizie.

Dacă funcția de decizie este liniară, $D(X) = w_1x_1 + w_2x_2 + \dots + w_Nx_N - w_0$, atunci cele două clase se numesc *liniar separabile*, iar suprafața de decizie este un hiperplan. Dacă nu există nici o funcție de decizie liniară care să separe cele două clase atunci ele sunt numite *neliniar separabile*. Pentru cazul particular $N = 2$ liniar separabilitatea este ilustrată în fig. 2.

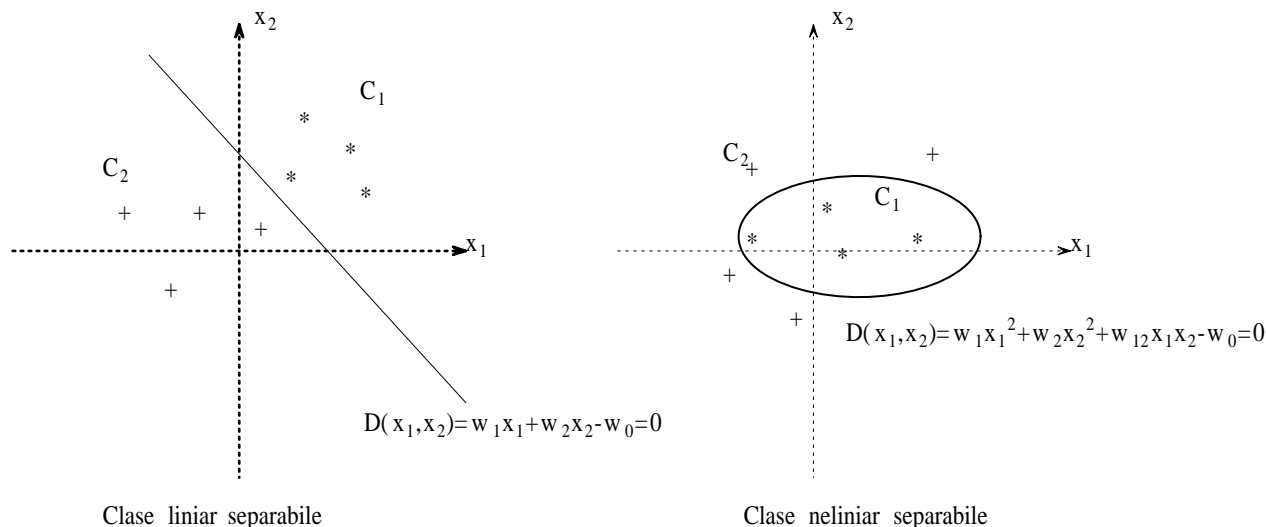


Figura 2: Liniar separabilitate și neliniar separabilitate în cazul a două clase ($M = 2, N = 2$)

Noțiunea de liniar separabilitate poate fi extinsă la cazul $M > 2$ în unul dintre următoarele moduri:

- *Clase puternic liniar separabile.* Dacă există M funcții liniare, $D_i(X) = w_{i1}x_1 + w_{i2}x_2 + \dots + w_{iN}x_N - w_{i0}$, cu proprietatea că

$$X \in C_i \quad \text{dacă și numai dacă } D_i(X) > 0 \text{ și } D_j(X) < 0 \quad \text{pentru orice } j \in \{1, \dots, M\}, j \neq i$$

atunci clasele se numesc puternic liniar separabile.

- *Clase simplu liniar separabile.* Dacă există M funcții liniare, $D_i(X) = w_{i1}x_1 + w_{i2}x_2 + \dots + w_{iN}x_N - w_{i0}$, cu proprietatea că

$$X \in C_i \quad \text{dacă și numai dacă } D_i(X) > D_j(X) \text{ pentru orice } j \in \{1, \dots, M\}, j \neq i$$

atunci clasele se numesc simplu liniar separabile.

Clasele puternic liniar separabile sunt și simplu liniar separabile. Clasele care nu sunt simplu liniar separabile se numesc neliniar separabile. În cazul a 3 clase liniar separabilitatea este ilustrată în fig. 3.

4.2 Perceptronul simplu

Este o rețea ce conține o singură unitate funcțională având funcție de transfer binară (de tip Heaviside) sau bipolară (de tip signum). Este destinată rezolvării problemelor de clasificare în două clase, C_1 și C_2 .

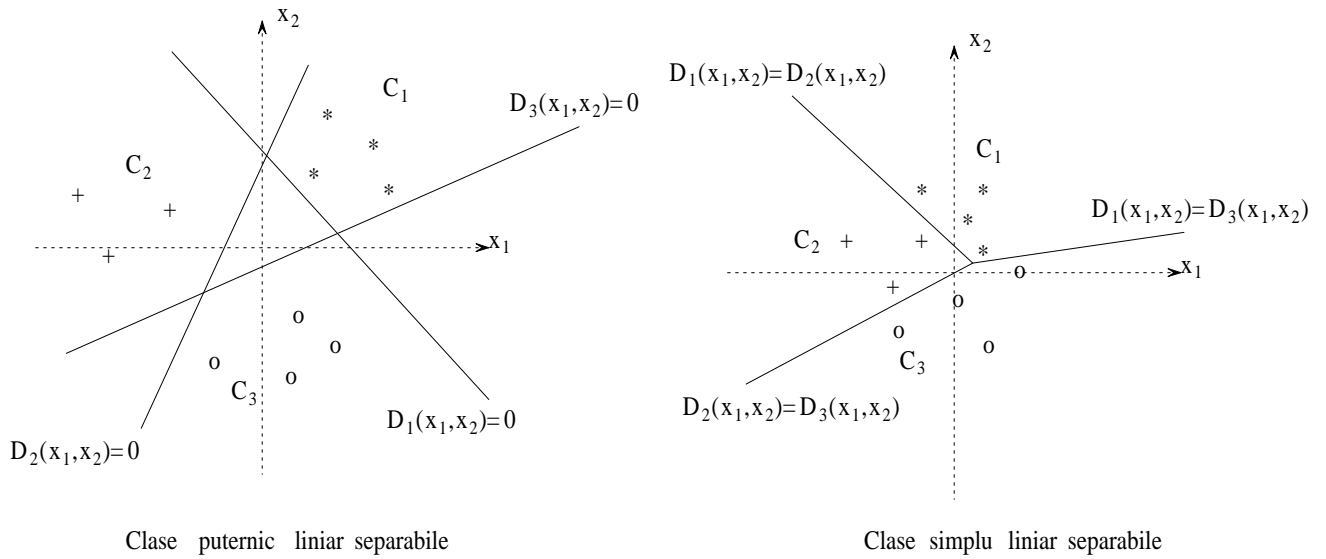


Figura 3: Liniar separabilitate în cazul a 3 clase ($M = 3$, $N = 2$)

Considerând funcția de transfer de tip signum, pentru un vector de intrare $X = (x_1, \dots, x_N)^T \in \mathbb{R}^N$ rețeaua produce semnalul de ieșire:

$$y = \text{sgn}\left(\sum_{i=0}^N w_i x_i\right)$$

care poate fi interpretat astfel: dacă $y = -1$ atunci vectorul X aparține clasei C_1 , altfel el aparține clasei C_2 . Corespondența dintre valoarea produsă de rețea și clasa asociată se stabilește înainte de a iniția procesul de învățare (în momentul construirii setului de antrenare).

Un sistem cu o astfel de funcționare este de fapt un clasificator binar cu funcție liniară de decizie, coeficienții acesteia fiind $W = (w_0, w_1, \dots, w_N)$. Pentru determinarea coeficienților funcției de decizie se utilizează un set de antrenare: $\{(X^1, d_1), \dots, (X^L, d_L)\}$ cu $d_l \in \{-1, 1\}$ răspunsul corect corespunzător intrării X^l , pe baza căruia se ajustează iterativ vectorul ponderilor $W = (w_0, w_1, \dots, w_N)$. Algoritmul de antrenare a perceptronului constă, ca majoritatea algoritmilor de antrenare supervizată, în două etape principale:

- Inițializarea valorilor ponderilor.
- Ajustarea iterativă a ponderilor până este asigurată comportarea corectă pe setul de antrenare. Aceasta se bazează pe ideea de a modifica ponderile doar dacă răspunsul rețelei nu este corect, ajustându-le astfel încât răspunsul rețelei să se apropie de cel corect.

Structura generală a algoritmului este prezentată în fig. 4.

Observații.

1. Regula de ajustare din algoritmul de învățare al perceptronului simplu se bazează pe modificarea ponderilor doar dacă răspunsul furnizat de rețea, y_l pentru vectorul de intrare X^l este

Inițializări.

Se aleg valorile inițiale pentru $w_j, j = \overline{0, N}$

Se inițializează contorul de iterații, $k = 1$

Ajustare iterativă.

REPEAT

FOR $l = \overline{1, L}$ DO

$$y_l = \sum_{j=0}^N w_j x_j^l$$

$$w_j = w_j + \frac{1}{2} \eta (d_l - y_l) x_j^l, j = \overline{0, N}$$

$k = k + 1$

UNTIL "la ultima parcurgere nu s-a efectuat nici o ajustare" OR $k > k_{max}$

Figura 4: Algoritmul de învățare pentru perceptronul simplu

diferit de răspunsul corect d_l . Regula de ajustare a ponderilor poate fi descrisă și prin:

$$\begin{aligned} w_j &= w_j - \eta x_j^l, & \text{dacă } d_l = -1, y_l = 1 \\ w_j &= w_j + \eta x_j^l, & \text{dacă } d_l = 1, y_l = -1 \end{aligned}$$

sau prin $w_j = w_j + \eta d_l x_j^l$.

2. Rata de corecție, η , poate fi aleasă în diferite moduri:

(a) $\eta = \text{constant}$ (ex: $\eta = 1$);

(b) *Algoritmul corecției:* η se alege la fiecare iterație (și pentru fiecare exemplu (X^l, d_l)) suficient de mare pentru a garanta că vectorul X^l va fi clasificat corect după ajustarea coeficienților. Dacă $W(k)$ este vectorul ponderilor corespunzător iterației k atunci η se alege astfel încât $y_l(k+1)d_l > 0$ adică

$$(W(k) + \eta(k, l)d_l X^l)^T X^l d_l > 0$$

ceea ce este echivalent cu

$$\eta(k, l) > \frac{|W(k)^T X^l|}{\|X^l\|^2}.$$

De exemplu se poate alege astfel:

$$\eta(k, l) = \frac{1 + |W(k)^T X^l|}{\|X^l\|^2}.$$

O altă variantă o reprezintă *corecția parțială*:

$$\eta(k, l) = \lambda \frac{|W(k)^T X^l|}{\|X^l\|^2}$$

cu $\lambda \in (0, 2)$.

3. Alegerea valorilor inițiale pentru W influențează viteza de convergență și forma clasificatorului. Dacă este posibil este indicat ca W să fie inițializate pe baza unor informații despre problemă. De exemplu se consideră că doi dintre vectorii din setul de antrenare pot reprezenta, la o primă aproximare, prototipuri ale celor două clase. Coeficienții hiperplanului perpendicular pe dreapta determinată de cele două puncte se consideră a fi valorile inițiale ale ponderilor.

Varianta cea mai simplă de inițializare o reprezintă însă afectarea de valori aleatoare cuprinse în $(0, 1)$ sau $(-1, 1)$.

4. Perceptronul simplu poate reprezenta funcții booleene $F : \{-1, 1\}^N \rightarrow \{-1, 1\}$ dar nu oarecare ci dintre cele cu proprietatea că există o transformare liniară $D : \mathbb{R}^{N+1} \rightarrow \mathbb{R}$, $D(X) = \sum_{i=0}^N w_i x_i$ cu proprietatea că $F(X) = -1$ dacă și numai dacă $D(X) \leq 0$ și $F(X) = 1$ dacă și numai dacă $D(X) > 0$. Se pune problema dacă pentru orice funcție booleană cu această proprietate algoritmul perceptronului furnizează o soluție. Răspunsul este afirmativ și cuprins în următoarea teoremă.

Teoremă. *Pentru o problemă liniar separabilă algoritmul perceptronului conduce după un număr finit de iterații la coeficienții unei funcții de decizie (deci la reprezentarea unei funcții booleene cu proprietățile de mai sus).*

Demonstrație. Problema de clasificare fiind liniar separabilă rezultă că există $W^* \in \mathbb{R}^{N+1}$ astfel încât $D(X) = (W^*)^T X$ să fie funcție de decizie.

Cum $d_l \in \{-1, 1\}$ rezultă că relațiile de ajustare corespunzătoare iterației k pot fi scrise astfel:

$$W(k+1) = W(k) \text{ dacă } d_l W(k)^T X^l > 0$$

$$W(k+1) = W(k) + \eta d_l X^l \text{ dacă } d_l W(k)^T X^l \leq 0$$

Evident $(W^*)^T X^l d_l > 0$, deci putem considera că există $\delta > 0$ cu $\eta d_l (W^*)^T X^l > \delta$.

Deci:

$$W(k+1)^T W^* = W(k)^T W^* + \eta (W^*)^T X^l d_l > W(k)^T W^* + \delta$$

Prin inducție rezultă imediat că: $W(k+1)^T W^* > W(1)^T W^* + k\delta$.

Pe de altă parte, dacă $W(k+1) \neq W(k)$ are loc:

$$\|W(k+1)\|^2 = \|W(k)\|^2 + 2\eta d_l W(k)^T X^l + \eta^2 \|X^l\|^2 \leq$$

$$\|W(k)\|^2 + \eta^2 \|X^l\|^2 \leq \|W(k)\|^2 + M$$

Prin inducție rezultă imediat că: $\|W(k+1)\|^2 \leq \|W(1)\|^2 + kM$. Notând cu $\alpha(k+1)$ unghiul format de $W(k+1)$ și W^* se observă că:

$$\cos(\alpha(k+1)) = \frac{W(k+1)^T W^*}{\|W(k+1)\| \|W^*\|} > \frac{W(1)^T W^* + k\delta}{\|W^*\| \sqrt{\|W(1)\|^2 + kM}}$$

Dacă presupunem că nu există k^* astfel încât $W(k^*+1) = W(k^*)$ atunci:

$$\lim_{k \rightarrow \infty} \cos(\alpha(k+1)) = \infty$$

Absurd, căci $\cos(u) \leq 1$. Deci există $k^* < \infty$ astfel încât $W(k^*+1) = W(k^*)$ adică algoritmul converge în număr finit de pași. \square

4.3 Perceptronul multiplu

Perceptronul multiplu permite clasificarea în mai mult de două clase cu condiția ca acestea să fie liniar separabile. Din punct de vedere al arhitecturii, perceptronul multiplu este o rețea care conține un nivel de M unități funcționale total conectate cu cele $N + 1$ unități de intrare.

Ponderile conexiunilor dintre unitățile de intrare și cele funcționale (care sunt totodată unități de ieșire) pot fi organizate într-o matrice, W , cu M linii și $N + 1$ coloane (pentru a cuprinde și unitatea fictivă asociată pragului unităților funcționale).

Din punct de vedere al funcționării, pentru un semnal de intrare $X \in \mathbb{R}^N$ se obține semnalul de ieșire $Y \in \mathbb{R}^M$ astfel:

$$Y = WX \quad \text{adică } y_i = \sum_{j=0}^N w_{ij}x_j = W^i X, i = \overline{1, M}$$

W^i fiind linia i din matricea W . Rezultatul obținut de către rețea se interpretează în modul următor:

Se determină componenta maximă y_{i^*} a vectorului Y :

$$y_{i^*} = \max_{i=\overline{1, M}} y_i$$

iar i^* este considerat indicatorul clasei căreia îi aparține vectorul de intrare X .

4.3.1 Algoritmul de învățare

Fie setul de antrenare $\{(X^1, d_1), \dots, (X^L, d_L)\}$ unde $d_l \in \{1, \dots, M\}$ este indicatorul clasei căreia îi aparține X^l . Algoritmul de antrenare al perceptronului multiplu este o extindere a celui al perceptronului simplu bazându-se pe ajustarea ponderilor doar în cazul în care rețeaua nu furnizează răspunsul corect. Structura algoritmului este descrisă în fig. 5.

Inițializări.

Se aleg valorile inițiale pentru w_{ij} , $i = \overline{1, M}$, $j = \overline{0, N}$

Se inițializează contorul de iterații: $k = 1$

Ajustare iterativă.

REPEAT

FOR $l = \overline{1, L}$ DO

$$y_i^l = \sum_{j=0}^N w_{ij}x_j^l, i = \overline{1, M}$$

determină $i^* \in \{1, \dots, M\}$ cu proprietatea că $y_{i^*}^l \geq y_i^l$, $i = \overline{1, M}$

IF $i^* \neq d_l$ THEN

$$w_{i^*j} = w_{i^*j} - \eta x_j^l, \quad j = \overline{0, N}$$

$$w_{d_lj} = w_{d_lj} + \eta x_j^l, \quad j = \overline{0, N}$$

$k = k + 1$

UNTIL "la ultima parcurgere nu s-a efectuat nici o ajustare" OR $k > k_{max}$

Figura 5: Algoritmul de învățare pentru perceptronul multiplu

Observațiile referitoare la alegerea ratei de învățare pentru perceptronul simplu rămân valabile și în cazul perceptronului multiplu. Principalul rezultat referitor la convergența acestui algoritm este:

Teoremă. *Dacă cele M clase sunt simplu liniar separabile atunci algoritmul conduce, după un număr finit de pași, la coeficienții unor hiperplane separatoare.*

5 Rețele destinate rezolvării problemelor de aproximare

Principalele diferențe între aceste rețele și perceptroni sunt legate de modul de interpretare a răspunsului și de principiul algoritmului de învățare.

Perceptronii sunt considerați rețele destinate rezolvării unor probleme de decizie (cum sunt problemele de clasificare) deci apare necesară determinarea unității care produce ieșirea maximă, pe când rețelele din această categorie sunt destinate în special rezolvării problemelor de aproximare astfel că răspunsul rețelei este chiar semnalul de ieșire produs.

Cele mai reprezentative rețele univale sunt cele cu funcții de transfer liniare. În această categorie se încadrează rețelele ADALINE (ADAPtive LINear Element), cu o singură unitate de ieșire, respectiv MADALINE (Multiple ADAPtive LINear Element) cu mai multe unități de ieșire. Aceste rețele au fost introduse în perioada anilor 1960 de către Widrow și Hoff. Spre deosebire de perceptron o astfel de rețea poate fi utilizată pentru a reprezenta funcții liniare continue, principalele aplicații fiind în regresia liniară și în filtrarea liniară a semnalelor.

Algoritmul propus de Widrow și Hoff pentru determinarea parametrilor W este tot unul cu caracter supervizat dar bazat pe altă idee și anume aceea a minimizării unui criteriu de eroare. Cel mai frecvent utilizat criteriu este eroarea pătratică calculată pe setul de antrenare.

Fie $\{(X^1, d^1), \dots, (X^L, d^L)\}$ setul de antrenare. Eroarea pătratică pe setul de antrenare este:

$$E(W) = \frac{1}{2} \sum_{l=1}^L \|y^l - d^l\|^2, \quad y^l = W^T X^l$$

Se poate lucra și cu eroarea pătratică medie pe setul de antrenare (obținută din $E(W)$ prin împărțire la L). Obiectivul algoritmului de învățare devine astfel minimizarea lui E în raport cu parametrii grupați în W .

În cazul rețelelor liniare, E este funcție pătratică cu minim unic. Pentru determinarea lui W^* care minimizează pe E se pot utiliza instrumente din algebra liniară. În cazul în care $M = 1$, $d_l \in \mathbb{R}$ și cum d_l^2 nu depinde de $W \in \mathbb{R}^{N+1}$ rezultă că minimizarea lui $E(W)$ este echivalentă cu minimizarea lui:

$$\begin{aligned} E(W) &= \frac{1}{2} \sum_{l=1}^L ((W^T X^l)^2 - 2d_l W^T X^l) = \\ &= \frac{1}{2} W^T \left(\sum_{l=1}^L X^l (X^l)^T \right) W - W^T \left(\sum_{l=1}^L d_l X^l \right) = \frac{1}{2} W^T R W - W^T Q \end{aligned}$$

unde $R = \sum_{l=1}^L X^l (X^l)^T$ și $Q = \sum_{l=1}^L d_l X^l$.

Se observă că matricea R este simetrică și pozitiv definită, deci $E(W)$ are un minim unic. O primă variantă de determinare a minimului lui $E(W)$ se bazează pe determinarea punctului critic al lui E , adică pe rezolvarea sistemului $RW = Q$, în raport cu W .

O altă modalitate de determinare a lui W^* , care poate fi aplicată și pentru cazul în care E nu este funcție pătratică, este de a folosi o metodă iterativă de minimizare. Una dintre cele mai simple este metoda gradientului care conduce la următoarea regulă iterativă de ajustare a ponderilor:

$$W(k+1) = W(k) - \eta \nabla E(W(k))$$

cu $\nabla E(W) = (\partial E(W)/\partial w_1, \dots, \partial E(W)/\partial w_N)$ reprezentând gradientul lui E iar $\eta > 0$ pasul de descreștere, care în domeniul algoritmilor de învățare este denumit rată de învățare.

Pornind de la această idee a fost dezvoltat algoritmul Widrow-Hoff, în care însă ajustarea se calculează separat pentru fiecare termen pornind de la valoarea erorii corespunzătoare fiecărui exemplu (X^l, d^l) din setul de antrenare:

$$E_l(W) = \frac{1}{2} \|d^l - y^l\|^2 = \frac{1}{2} \sum_{i=1}^M (d_i^l - y_i^l)^2 = \frac{1}{2} \sum_{i=1}^M (d_i^l - \sum_{j=0}^N w_{ij} x_j^l)^2.$$

Ajustarea fiecărei ponderi w_{ij} este determinată de derivata parțială a lui $E_l(W)$:

$$\frac{\partial E_l(W)}{\partial w_{ij}} = -(d_i^l - y_i^l) x_j^l.$$

Algoritmul de învățare va consta în parcurgerea repetată a setului de antrenare și în ajustarea ponderilor până la îndeplinirea unei condiții de oprire. În aceste condiții structura algoritmului este descrisă în fig. 6.

Observații.

1. Valoarea E_* reprezintă eroarea maximă admisă în faza de antrenare și este denumită toleranța la antrenare.
2. Datorită convexității lui $E(W)$ metodele de minimizare de tip gradient sunt convergente (dar nu în număr finit de pași ca algoritmul perceptronului). Principala problemă care apare este cea a vitezei de convergență, care poate fi controlată, într-o oarecare măsură, prin alegerea ratei de învățare. De regulă se folosește o rată constantă: $\eta \in [0.01, 1]$. Una dintre valorile cel mai frecvent folosite este: $\eta = 0.1$.
3. Inițializarea ponderilor ($W(1)$) se efectuează, de regulă, cu valori aleatoare din $(0, 1)$ sau chiar $(-1, 1)$.

6 Rețele cu funcții de transfer continue neliniare

Dacă unitățile de ieșire au funcții de transfer neliniare atunci rețeaua poate reprezenta și funcții continue neliniare (din păcate un singur nivel funcțional nu poate asigura reprezentarea oricărei funcții). Diferența față de cazul unităților liniare se manifestă atât în funcționalitate cât și în algoritmul de învățare.

Ideea algoritmului de învățare este tot minimizarea erorii pe setul de antrenare, ajustarea de tip gradient fiind aplicată pentru fiecare exemplu din setul de antrenare asupra lui E_l :

$$E_l(W) = \frac{1}{2} \sum_{i=1}^M (d_i^l - f(\sum_{j=0}^N w_{ij} x_j^l))^2$$

Inițializări.
Se aleg valorile inițiale pentru w_{ij} , $i = \overline{1, M}$, $j = \overline{0, N}$
Se inițializează contorul de iterații, $k = 1$
Ajustare iterativă.
REPEAT
FOR $l = \overline{1, L}$ DO
Ajustare de tip gradient în raport cu E_l

$$y_i^l = \sum_{j=0}^N w_{ij} x_j^l, \quad i = \overline{1, M}$$

$$\delta_i^l = d_i^l - y_i^l, \quad i = \overline{1, M}$$

$$w_{ij} = w_{ij} + \eta \delta_i^l x_j^l, \quad i = \overline{1, M}, j = \overline{0, N}$$
Recalcularea valorii erorii pe setul de antrenare
 $E=0$
FOR $l = \overline{1, L}$ DO

$$y_i^l = \sum_{j=0}^N w_{ij} x_j^l, \quad i = \overline{1, M}$$

$$E = E + \sum_{i=1}^M (d_i^l - y_i^l)^2$$
 $E=E/(2L)$
 $k = k + 1$
UNTIL $E < E_*$ OR $k > k_{max}$

Figura 6: Algoritmul de învățare Widrow-Hoff

cu ajutorul unei metode de tip gradient. În acest caz componentele gradientului lui E_l sunt de forma:

$$\frac{\partial E_l(W)}{\partial w_{ij}} = -f'(\sum_{j=0}^N w_{ij} x_j^l) (d_i^l - y_i^l) x_j^l$$

iar ajustarea ponderilor ca urmare a prezentării perechii (X^l, d^l) este similară algoritmului Widrow-Hoff cu diferența că $\delta_i^l = f'(\sum_{j=0}^N w_{ij} x_j^l) (d_i^l - y_i^l)$.

Algoritmul propriu-zis, numit "delta-rule", are aceeași structură ca algoritmul Widrow-Hoff diferind doar prin relația de calcul pentru δ_i^l .

Observații.

1. Datorită neliniarității funcțiilor de transfer funcția de eroare nu mai determină o suprafață paraboloidală, deci $E(W)$ poate avea mai multe minime. Din acest motiv nu mai este garantată atingerea prin algoritmi de tip gradient a minimumului global ci algoritmul se poate "bloca" într-un minim local.
2. Eficiența algoritmului depinde mai mult de modul de alegere a ponderilor inițiale și a ratei de învățare decât în cazul liniar.
3. Cele mai des utilizate funcții neliniare de transfer sunt:

(a) Funcția logistică:

$$f(u) = \frac{1}{1 + \exp(-\beta u)}$$

cu $f'(u) = \beta f(u)(1 - f(u))$.

(b) Funcția tanh:

$$f(u) = \frac{\exp(2\beta u) - 1}{\exp(2\beta u) + 1}$$

cu $f'(u) = \beta(1 - (f(u))^2)$.

7 Limite ale rețelelor feed-forward cu un nivel

Una dintre cele mai mari limite ale rețelelor cu un nivel este aceea că nu pot reprezenta unele funcții simple, cel mai des citat exemplu fiind cel al funcțiilor boolene de paritate: $F : \{0, 1\}^N \rightarrow \{0, 1\}$ cu $F(X) = 0$ dacă X conține un număr par de componente egale cu 1 și $F(X) = 1$ în caz contrar.

Cel mai simplu exemplu este cel al funcției XOR ($N = 2$). O rețea ar putea reprezenta XOR dacă are două unități de intrare și una de ieșire cu o funcție de transfer care verifică:

$$f(0) \geq 0 \quad f(w_1 + w_2) \geq 0 \quad f(w_1) < 0 \quad f(w_2) < 0$$

Evident funcția signum, funcția liniară sau chiar cea sigmoidală nu pot satisface condițiile de mai sus.

În schimb prin adăugarea unui nivel intermediar între cel de intrare și cel de ieșire se poate reprezenta funcția XOR. Aceasta motivează utilizarea rețelelor feedforward cu mai multe nivele de unități funcționale. De remarcat că aplicabilitatea rețelelor multinivel cu funcții de transfer liniare pe toate nivelele nu este semnificativ mai largă decât a celor cu un nivel (în fond, o rețea neuronală cu mai multe nivele având funcții liniare de transfer poate reprezenta doar funcții liniare). Astfel se explică de ce în majoritatea modelelor funcțiile de transfer ale unităților de pe nivelele ascunse sunt neliniare.

Retele feed-forward cu nivele ascunse

Capacitatea de reprezentare restrânsă a rețelelor cu un singur nivel a condus la necesitatea dezvoltării rețelelor cu mai multe nivele. Dintre aceste nivele, unul este de intrare, unul de ieșire iar restul nu comunică cu mediul fiind numite nivele ascunse. Din punct de vedere intuitiv rolul nivelului ascunse este de a asigura extragerea implicită a unor caracteristici ale datelor de intrare.

Introducerea nivelului ascunse sporește capacitatea de reprezentare a rețelelor feedforward dar ridică dificultăți în ceea ce privește procesul de învățare, algoritmi de tip "delta" neputând fi aplicați în mod direct. Acesta a fost unul dintre principalele motive ale stagnării dezvoltării rețelelor feedforward cu învățare supervizată între 1969 (anul în care Papert și Minsky au pus în evidență limitele rețelelor uni-nivel) și 1985 (anul în care algoritmul BackPropagation, dezvoltat în paralel de mai mulți cercetători) a devenit cunoscut.

Rețelele din această categorie sunt aproximatori universali fiind utilizate în probleme concrete de asociere cum sunt: clasificare (inclusiv pentru clase neliniar separabile), predicție, compresie etc.

1 Arhitectura

Dacă specificul problemei nu impune utilizarea unei anumite arhitecturi atunci se poate opta pentru o rețea constând din: un nivel de intrare, un nivel ascuns și unul de ieșire. În ceea ce privește modul de conectare a unităților, varianta standard este de a conecta total nivelele vecine. În aceste condiții singura problemă ce mai trebuie rezolvată este aceea a stabilirii numărului de unități de pe fiecare nivel. La stabilirea dimensiunii (complexității) rețelei se ține cont de următoarele lucruri:

- Nivelele de intrare, respectiv de ieșire trebuie să aibă atâtea unități câte sunt necesare pentru a reprezenta datele de intrare, respectiv răspunsul rețelei. De exemplu, pentru o rețea proiectată să reprezinte o funcție $\phi : R^N \rightarrow R^M$ se utilizează N unități pe nivelul de intrare, respectiv M pe nivelul de ieșire.
- Numărul de unități ascunse se stabilesc astfel încât rețeaua să fie suficient de complexă pentru a rezolva problema dar nu mai mult decât este necesar. Stabilirea numărului de unități ascunse se bazează fie pe rezultatele teoretice referitoare la capacitatea de reprezentare (rezolvare) a unei anumite arhitecturi, fie pe reguli euristice (de exemplu pentru o rețea cu N unități de intrare, M unități de ieșire și un nivel ascuns se poate alege pentru acesta dimensiunea: \sqrt{MN}) fie pe tehnici de adaptare a acestora la problema de rezolvat.

Alegerea arhitecturii nu este o problemă simplă întrucât pentru aceeași problemă pot exista mai multe arhitecturi care permit rezolvarea ei. O arhitectură adecvată poate simplifica procesul de învățare și poate asigura o bună capacitate de generalizare.

Exemplu. Pentru reprezentarea funcției XOR există cel puțin două arhitecturi diferite (figura 1).

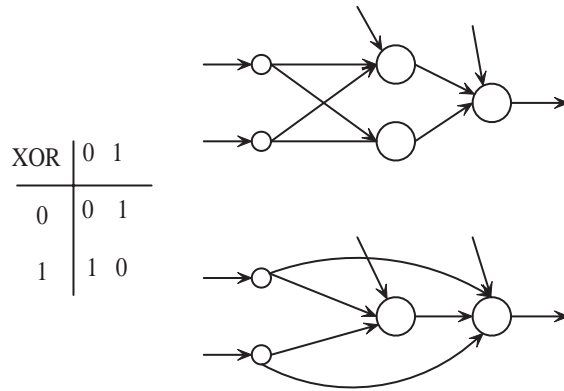


Figura 1: Arhitecturi pentru reprezentarea funcției XOR

2 Funcționare

Modul în care rețeaua funcționează depinde funcțiile de integrare și de transfer ale unităților funcționale precum și de modul de conectare. Pentru o rețea cu K nivele funcționale (dintre care $K - 1$ sunt ascunse), completate cu unitate fictivă (cu excepția ultimului) pentru modelarea pragului de activare (vezi fig. 2) semnalul, Y^K , de ieșire pentru un semnal de intrare, X^0 , este:

$$Y^K = F^K(W^K F^{K-1}(W^{K-1} F^{K-2}(\dots F^1(W^1 X^0)\dots)))$$

unde $F^k(U) = (-1, f_1^k(u), \dots, f_{N_k}^k(u))^T$ pentru $k = \overline{1, K-1}$ iar $F^K(U) = (f_1^K(u), \dots, f_{N_K}^K(u))^T$. Operațiile din relația de mai sus se efectuează la nivel vectorial, pentru un nivel k , W^k reprezentând matricea (N_k linii și N_{k-1} coloane) ponderilor conexiunilor către acel nivel.

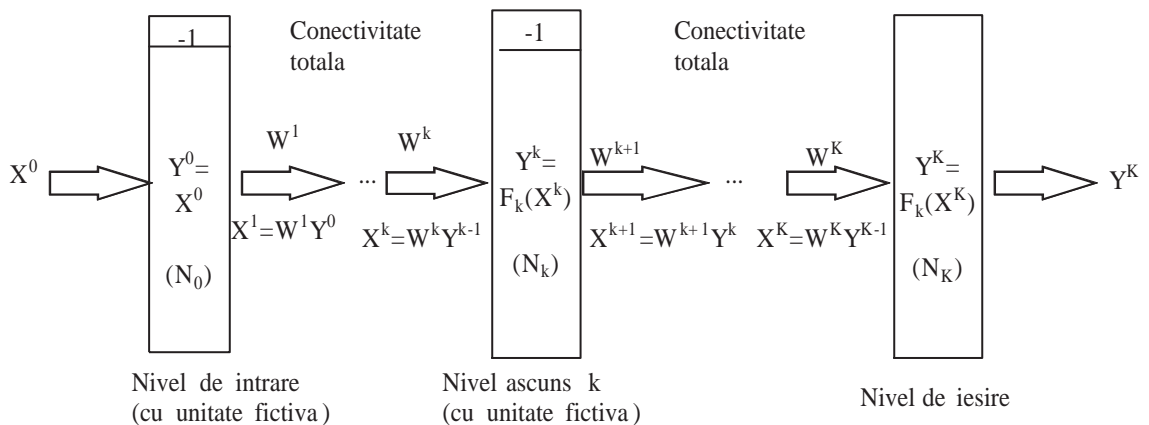


Figura 2: Structura unei rețele multinivel

Din punct de vedere matematic funcționarea rețelei constă în compunerea unor transformări iar din punct de vedere algoritmic poate fi implementată printr-un algoritm iterativ simplu:

Algoritmul de funcționare (FORWARD).

Pas 1. Se stabilește semnalul de X^0 ($x_0^0 = -1$ iar $x_j^0 = x_j$ pentru $j = \overline{1, N_0}$) și se determină:
 $x_i^1 = \sum_{j=0}^{N_0} w_{ij}^1 \cdot x_j^0$, $y_i^1 = f^1(x_i^1)$ pentru $i = \overline{1, N_1}$.

Pas 2. Pentru fiecare k de la 1 la $K - 1$ se efectuează: $x_i^{k+1} = \sum_{j=0}^{N_k} w_{ij}^{k+1} y_j^k$, $y_i^{k+1} = f^{k+1}(x_i^{k+1})$ pentru $i = \overline{1, N_{k+1}}$ (pentru $k < K$ componenta 0 a vectorului Y^k este -1).

Rezultatul obținut de rețea este interpretat în funcție natura problemei. Astfel în cazul unei probleme de clasificare rețeaua se completează cu un nivel care determină maximum valorilor obținute obținându-se, astfel, indicatorul clasei căreia îi aparține vectorul de intrare.

3 Capacitate de reprezentare

Problema capacității de reprezentare a rețelelor feedforward a fost rezolvată demonstrându-se că rețelele feedforward sunt *aproximatori universali*, adică pentru orice funcție continuă (sau doar măsurabilă), ϕ , există o rețea feedforward cu cel puțin un nivel ascuns, care aproximează pe ϕ .

Există două abordări principale, bazate pe rezultate din teoria aproximării funcțiilor, care furnizează condiții suficiente pentru ca o rețea multi-nivel să poată aproxima o funcție arbitrară.

Prima abordare se bazează pe următorul rezultat teoretic [Hornik, 1991], [Cybenko, 1989], [Funahashi, 1989]:

Orice funcție măsurabilă $\phi : D \subset \mathbf{R}^N \rightarrow \mathbf{R}^M$ (cu D o mulțime compactă) poate fi aproximată cu o acuratețe arbitrară de către o rețea feedforward caracterizată prin:

(i) N unități de intrare, M unități de ieșire și un nivel de unități ascunse (acuratețea aproximării depinde de numărul unităților ascunse).

(ii) funcții de integrare liniare ($G_{W_i}(X) = \sum_{j=0}^N w_{ij} x_j$) și funcții de transfer, $f : \mathbf{R} \rightarrow (a, b)$, continue (sau doar măsurabile) și crescătoare cu $\lim_{u \rightarrow \infty} f(u) = b$, $\lim_{u \rightarrow -\infty} f(u) = a$.

Acest rezultat sugerează modul de alegere a funcțiilor de integrare și transfer, fără a furniza, însă, suficiente informații despre numărul de unități de pe nivelul ascuns. Acuratețea aproximării depinde însă de acesta.

A doua abordare pornește de la o teoremă a lui A.K. Kolmogorov [1957] de reprezentare a funcțiilor continue de mai multe variabile prin funcții continue de o singură variabilă:

Există $\lambda_1, \dots, \lambda_N \in \mathbf{R}$ și $\psi_1, \dots, \psi_{2N+1} \in \mathcal{C}(I)$ cu proprietatea că pentru orice funcție continuă $\phi : I^N \rightarrow \mathbf{R}$, există o funcție continuă $h : \mathbf{R} \rightarrow \mathbf{R}$ astfel încât:

$$\phi(x_1, \dots, x_N) = \sum_{k=1}^{2N+1} h(\lambda_1 \psi_k(x_1) + \dots + \lambda_N \psi_k(x_N)).$$

Pornind de la acest rezultat, Hecht-Nielsen [1989] a enunțat:

Orice funcție continuă $\phi : [0, 1]^N \rightarrow \mathbf{R}^M$ poate fi aproximată printr-o rețea feedforward caracterizată prin:

(i) N unități de intrare, $(2N + 1)$ unități ascunse, M unități de ieșire.

(ii) Unitățile ascunse au funcția de integrare de forma:

$$g^k(X) = \sum_{j=1}^N \lambda_k \varphi(x_j + k\epsilon) + k,$$

iar funcția de transfer $f^k(u) = u$, $k \in \{1, \dots, 2N + 1\}$. Funcția φ este continuă monoton crescătoare, nu depinde de ϕ , dar depinde de N , iar ϵ este un număr rațional.

(iii) Unitățile de ieșire au funcția de integrare:

$$g^i(X) = \sum_{k=1}^{2N+1} h^i(x_k),$$

iar funcțiile de transfer $f^i(u) = u$, $i \in \{1, \dots, M\}$. h^i sunt funcții continue care depind de ϕ și ϵ .

Acest rezultat furnizează sugestii privind alegerea structurii fiecărui nivel, fără a indica însă tipul funcțiilor de integrare și transfer.

Ambele abordări prezintă dezavantajul că nu conduc direct la metode efective de proiectare a rețelei. Pe de altă parte pentru o problemă concretă o rețea cu două sau mai multe nivele ascunse se poate comporta mai bine decât una cu un singur nivel ascuns, deși rezultatele teoretice asigură faptul că rețelele cu un nivel ascuns sunt aproximatori universali.

4 Antrenarea unei rețele multinivel

Învățarea presupune adaptarea rețelei la problema de rezolvat prin utilizarea informațiilor de care se dispune despre problemă. Se poate desfășura la unul dintre nivelele:

- *Ponderile conexiunilor.* Este varianta cea mai frecvent folosită. Se presupune că arhitectura este fixată și rămân de stabilit doar valorile ponderilor.
- *Conexiuni.* Prin învățare se ajustează nu numai ponderile conexiunilor ci și conexiunile în sine care pot fi eliminate sau introduse. Partea fixă a rețelei este reprezentată de topologie (numărul unităților și modul de amplasare) iar restul (conexiuni și ponderi) sunt adaptabile.
- *Arhitectura.* Întreaga arhitectură este ajustabilă, prin procesul de învățare adăugându-se sau eliminându-se unități și/sau conexiuni și în același timp determinându-se ponderile asociate. Este cea mai flexibilă variantă dar conduce la un algoritm complex de învățare.

În continuare vom analiza cazul adaptării ponderilor, considerând arhitectura fixată. În cazul problemelor de asociere se dispune de un set de antrenare de forma: $\{(X^1, d^1), \dots, (X^L, d^L)\}$ unde $X^l \in R^N$ reprezintă data de intrare iar d^l reprezintă răspunsul corect asociat. În aceste condiții comportarea rețelei poate fi apreciată prin intermediul erorii asociate setului de antrenare. Cel mai frecvent se optează pentru utilizarea erorii medii pătratice:

$$E(W^1, \dots, W^K) = \frac{1}{L} \sum_{l=1}^L E_l(W^1, \dots, W^K) \text{ unde } E_l(W^1, \dots, W^K) = \frac{1}{2} \sum_{i=1}^{N_K} (d_i^l - y_i^{K,l})^2 \quad (1)$$

cu $Y^{K,l}$ vectorul de ieșire corespunzător intrării X^l .

Scopul procesului de învățare este determinarea rețelei care minimizează funcția de eroare (1). În cazul în care adaptarea se referă doar la determinarea ponderilor problema învățării constă în a determina parametrii care minimizează pe E .

Determinarea ponderilor prin minimizarea funcției de eroare. În cazul în care funcțiile de transfer asociate unităților au proprietăți matematice suficient de bune (de exemplu sunt continuu diferențiabile) pentru rezolvarea problemei de minimizare poate fi folosită o metodă de tip gradient.

Majoritatea algoritmilor de învățare supervizată bazați pe minimizarea unei funcții de eroare folosesc o metodă de tip gradient astfel că structura lor generală cuprinde două etape principale: inițializarea parametrilor și procesul iterativ de ajustare. În funcție de metoda de minimizare aleasă se poate construi câte un algoritm de învățare. În continuare vom descrie un algoritm pentru determinarea ponderilor unei rețele feedforward folosind metoda gradientului simplu. Este vorba despre algoritmul BACKPROPAGATION, cel mai răspândit algoritm de antrenare supervizată.

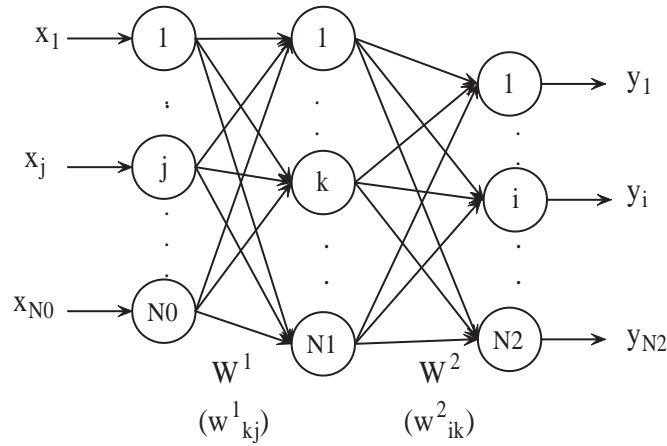


Figura 3: Structura unei rețele multinele

Pentru a deduce relațiile de ajustare vom considera o rețea cu un singur nivel ascuns (fig. 3) și vom indica elementele vectorilor asociați nivelului de intrare cu j , cele ale vectorilor asociați nivelului ascuns cu k iar pentru nivelul de ieșire cu i . În felul acesta vom omite indicii nivelului la vectorii X și Y . Pentru a deduce relațiile de ajustare calculăm componentele gradientului funcției $E_l(W^1, W^2)$ prima dată în raport cu componentele w_{ik}^2 ale matricii W^2 după care în raport cu componentele w_{kj}^1 ale matricii W^1 . Reamintim că $y_i = f(x_i) = f(\sum_{k=0}^{N_1} w_{ik}^2 y_k)$, $i = \overline{1, N_2}$ iar $y_k = f(x_k) = f(\sum_{j=0}^{N_0} w_{kj}^1 y_j)$ pentru $k = \overline{1, N_1}$ și -1 pentru $k = 0$. Componentele y_j sunt determinate de vectorul de intrare. Dacă acesta este X^l , atunci $y_0 = -1$ și $y_j = x_j^l$ pentru $j = \overline{1, N_0}$.

Cu aceste notații, derivatele parțiale ale lui $E_l(w_{kj}^1, w_{ik}^2)$ pot fi scrise:

$$\frac{\partial E_l(w_{kj}^1, w_{ik}^2)}{\partial w_{ik}^2} = -(d_i^l - y_i) \frac{\partial y_i(w_{ik}^2)}{\partial w_{ik}^2} = -f'(x_i)(d_i^l - y_i)y_k = -\delta_i^l y_k \quad (2)$$

cu $\delta_i^l \stackrel{not}{=} f'(x_i)(d_i^l - y_i)$.

$$\begin{aligned} \frac{\partial E_l(w_{kj}^1, w_{ik}^2)}{\partial w_{kj}^1} &= - \sum_{i=1}^{N_2} \frac{\partial y_i(w_{kj}^1)}{\partial w_{kj}^1} (d_i^l - y_i) = - \sum_{i=1}^{N_2} f'(x_i) w_{ik}^1 f'(x_k) x_j (d_i^l - y_i) = \\ &= -x_j f'(x_k) \sum_{i=1}^{N_2} w_{ik}^1 f'(x_i) (d_i^l - y_i) = -x_j f'(x_k) \sum_{i=1}^{N_2} w_{ik}^2 \delta_i^l = -x_j \delta_k^l, \end{aligned} \quad (3)$$

cu $\delta_k^l = f'(x_k) \sum_{i=1}^{N_2} w_{ik}^2 \delta_i^l$.

Modul de calcul al lui δ_k^l sugerează transmiterea prin rețea a semnalului de eroare corespunzător nivelului de ieșire (δ_i^l) în sens invers celui în care circulă semnalele în faza de funcționare. Aceasta analogie stă la baza denumirii algoritmului: ”(error) backpropagation”=”propagare înapoi (a erorii)”. Pe baza relațiilor (2) și (3) se deduc relațiile de ajustare corespunzătoare exemplului l din setul de antrenare (X^l, d^l). Cum eroarea globală, E , se obține însumând erorile parțiale, E_l , ajustările corespunzătoare întregului set de antrenare s-ar obține prin însumarea celor corespunzătoare fiecărui exemplu în parte.

Din punctul de vedere al modului de aplicare a ajustărilor în raport cu parcurgerea setului de antrenare există două variante ale algoritmului Backpropagation:

- *Serială.* (fig. 4) La fiecare iterație se parcurge întreg setul de antrenare și ajustările se operează după prelucrarea fiecărui exemplu. Nu corespunde unei implementări fidele a metodei gradientului însă prezintă avantajul că nu trebuie cumulate toate ajustările înainte de a fi aplicate.
- *Pe blocuri.* (fig. 5) La fiecare iterație se parcurge întreg setul de antrenare, se cumulează toate ajustările după care se aplică efectiv. Provine din aplicarea directă a algoritmului de minimizare asupra funcției E . Prezintă avantajul că este mai robust în raport cu eventualele erori din datele de intrare.

Etapa 1. Inițializări. Se inițializează:
matricile W^1, \dots, W^K cu valori aleatoare mici (uniform repartizate în $(-1,1)$)
rata de învățare $\eta(0)$
toleranța la învățare E^*
numărul maxim de epoci de antrenare p_{max}
contorul de epoci $p = 0$

Etapa 2. Proces iterativ de ajustare.
REPEAT
 FOR $l = \overline{1, L}$ DO
 Etapa FORWARD: se aplică algoritmul FORWARD pentru $X^0 = X^l$
 Etapa BACKWARD:
 $\delta_i^{K,l} = f'_K(x_i^{K,l})(d_i^l - y_i^{K,l}), i = \overline{1, N_K}$ (calculul erorii la nivelul de ieșire)
 FOR $k = \overline{K-1, 1}$ DO (propagarea erorii înapoi în rețea)
 $\delta_j^{k,l} = f'_k(x_j^{k,l}) \sum_{i=1}^{N_{k+1}} w_{ij}^{k+1} \delta_i^{k+1,l}, j = \overline{1, N_k}$
 Etapa ajustării propriu-zise:
 $w_{ij}^k = w_{ij}^k + \eta(p) \delta_i^{k,l} y_j^{k-1}, i = \overline{1, N_k}, j = \overline{0, N_{k-1}}, k = \overline{1, K}$
 Recalcularea erorii:
 $E = 0$
 FOR $l = \overline{1, L}$ DO
 Calculează $Y^{K,l}$ aplicând din nou algoritmul FORWARD
 $E = E + \|d^l - Y^{K,l}\|^2$
 $E = E/L$
 $p = p + 1$
 UNTIL $(E \leq E^*)$ OR $(p > p_{max})$.

Figura 4: Algoritmul backpropagation în varianta serială

Etapa 1. Inițializări. Se inițializează:
matricile W^1, \dots, W^K cu valori aleatoare mici (uniform repartizate în $(-1,1)$)
rata de învățare $\eta(0)$
toleranța la învățare E^*
numărul maxim de epoci de antrenare p_{max}
contorul de epoci $p = 0$

Etapa 2. Proces iterativ de ajustare.
REPEAT
 $\Delta_{ij}^k = 0$ pentru $k = \overline{1, K}, i = \overline{1, N_k}, j = \overline{0, N_{k-1}}$
FOR $l = \overline{1, L}$ DO
 Etapa FORWARD: se aplică algoritmul FORWARD pentru $X^0 = X^l$
 Etapa BACKWARD:
 $\delta_i^{K,l} = f'_K(x_i^{K,l})(d_i^l - y_i^{K,l}), i = \overline{1, N_K}$ (determinarea erorii pentru nivelul de ieșire)
 FOR $k = \overline{K-1, 1}$ (propagarea erorii înapoi în rețea)
 $\delta_j^{k,l} = f'_k(x_j^{k,l}) \sum_{i=1}^{N_{k+1}} w_{ij}^{k+1} \delta_i^{k+1,l}, j = \overline{1, N_k}$
 Cumularea ajustărilor
 $\Delta_{ij}^k = \Delta_{ij}^k + \delta_i^{k,l} y_j^{k-1}, i = \overline{1, N_k}, j = \overline{0, N_{k-1}}, k = \overline{1, K}$
 Etapa ajustării propriu-zise:
 $w_{ij}^k = w_{ij}^k + \eta(p) \Delta_{ij}^k, i = \overline{1, N_k}, j = \overline{0, N_{k-1}}, k = \overline{1, K}$
 Recalcularea erorii:
 $E = 0$
 FOR $l = \overline{1, L}$ DO
 Calculează $Y^{K,l}$ aplicând din nou algoritmul FORWARD
 $E = E + \|d^l - Y^{K,l}\|^2$
 $E = E/L$
 $p=p+1$

UNTIL $(E \leq E^*)$ OR $(p > p_{max})$.

Figura 5: Algoritmul backpropagation în varianta "pe blocuri"

Variante ale algoritmului Backpropagation

Pornind de la algoritmul BackPropagation standard pot fi dezvoltate diferite variante care diferă între ele prin:

- modul de alegere a ratei de învățare: constantă sau adaptivă;
- relațiile de ajustare (determinate de algoritmul de minimizare utilizat, ce poate fi diferit de algoritmul gradientului simplu: algoritmi de tip gradient conjugat, algoritmi de tip Newton, algoritmi aleatori de descreștere, algoritmi genetici etc.);
- modul de inițializare a parametrilor: inițializare aleatoare sau bazată pe un algoritm de căutare.
- parcurgerea setului de antrenare (influențează doar varianta serială a algoritmului): secvențială sau aleatoare;
- funcția de eroare: pe lângă eroarea medie pătratică se pot folosi și măsuri ale erorii specifice problemei de rezolvat (de exemplu în cazul problemelor de clasificare se poate folosi și eroarea bazată pe entropie);
- criteriul de oprire: pe lângă criteriul bazat pe numărul maxim de epoci și pe eroarea core-spunzătoare setului de antrenare se pot folosi și criterii legate de eroarea pe setul de validare și de mărimea ajustărilor din cadrul ultimei epoci.

Motivația dezvoltării unor variante ale algoritmului standard o reprezintă faptul că acesta prezintă o serie de inconveniente:

- *Convergența lentă*: necesită multe epoci pentru a atinge o valoare suficient de mică pentru eroarea pe setul de antrenare.
- *Blocarea în minime locale*: o data ce algoritmul ajunge într-un minim local al funcției de eroare, algoritmul nu permite evadarea din acest minim pentru a atinge optimul global.
- *Stagnarea (paralizarea)*: algoritmul stagnează într-o regiune care nu este neapărat în vecinătatea unui minim local ca urmare a faptului că ajustările aplicate parametrilor sunt foarte mici.
- *Supraantrenarea*: rețeaua asigură o bună aproximare pe setul de antrenare însă posedă o capacitate de generalizare redusă.

1 Problema convergenței lente.

1.1 Cauze.

Algoritmul BackPropagation standard, fiind bazat pe metoda gradientului simplu, necesită utilizarea unei rate mici de învățare pentru a asigura convergența. Aceasta alegere conduce la necesitatea unui număr mare de epoci.

1.2 Soluții.

Există soluții euristice (modificarea ratei de învățare în funcție de evoluția valorii erorii și varianta momentului) și soluții bazate pe utilizarea unei alte metode de minimizare.

Adaptarea ratei de învățare. Proprietățile metodei gradientului sugerează că pentru a se asigura convergența algoritmului BackPropagation este necesară folosirea unei rate mici de învățare. Aceasta conduce însă la o durată mare a procesului de învățare. În cazul unei funcții pătratice de eroare $E(W) = \frac{1}{2}W^TAW + b^TW + c$ (rețelele liniare) se poate determina valoarea maximă a ratei de învățare care nu provoacă oscilații, $\eta = 2/\lambda_{max}(A)$ ($\lambda_{max}(A)$ este valoarea proprie maximă a a matricii A). O bună viteză de convergență poate fi atinsă folosind o valoare a ratei apropiată de cea maximă.

În cazul general nu mai există o singură valoare critică pentru η deoarece funcția de eroare nu mai este pătratică. Din acest motiv pare natural să se adapteze valoarea lui η în funcție de caracteristicile suprafeței de eroare.

Rata de învățare influențează comportarea algoritmului de învățare în modul următor: valori mici ale ratei pot conduce la convergență lentă iar valori mari pot conduce la oscilații în procesul de căutare a minimumului funcției de eroare.

Notăm cu $\eta(p)$ rata corespunzătoare epocii p iar cu $E(p)$ și $E(p - 1)$ valorile erorii corespunzătoare epocii p respectiv epocii anterioare. La sfârșitul fiecărei epoci, după calcularea erorii se efectuează următoarea analiză:

- Dacă $E(p) > (1 + \gamma)E(p - 1)$ atunci se ignoră ajustările efectuate în cadrul epocii p și se modifica rata: $\eta(p) = a\eta(p - 1)$, $0 < a < 1$;
- Dacă $E(p) < (1 - \gamma)E(p - 1)$ atunci se acceptă ajustările efectuate în cadrul epocii p și se modifica rata: $\eta(p) = b\eta(p - 1)$, $1 < b < 2$;
- Dacă $(1 - \gamma)E(p - 1) \leq E(p) \leq (1 + \gamma)E(p - 1)$ atunci se acceptă ajustările efectuate în cadrul epocii p și rata se păstrează nemodificată.

Valoarea γ utilizată în regulile de mai sus se alege mică (de exemplu, $\gamma = 0.05$).

În afara variantelor euristice de alegere a ratei de învățare se pot folosi și metode de minimizare unidimensională pentru a alege la fiecare epocă rata care asigură descreșterea maximă.

Varianta cu moment. O altă tehnică euristică de accelerare a convergenței algoritmului Backpropagation constă în utilizarea ca ajustări în epoca curentă a unei combinații convexe dintre ajustările aplicate la epoca anterioară și ajustările calculate la epoca curentă pe baza semnalelor de eroare. Intuitiv, utilizarea ajustărilor de la epoca anterioară joacă rolul unei inerții aplicate în procesul de căutare a minimumului funcției de eroare. Tehnica momentului poate fi aplicată atât variantei seriale cât și celei batch a algoritmului. Pentru a ilustra tehnica o vom exemplifica pe structura generală a variantei batch a algoritmului (figura ??). Pentru a simplifica notațiile atât ponderile cât și ajustările și valorile momentului vor fi desemnate prin matricile generice: W , Δ respectiv

Etapa 1. Inițializări. $W = \text{rand}(-1, 1)$, $M = 0$
Etapa 2. Proces iterativ de ajustare.
 REPEAT
 $\Delta := 0$
 FOR $l := \overline{1, L}$ DO
 Etapa FORWARD
 Etapa BACKWARD
 Cumularea ajustărilor
 $\Delta_{ij}^k := \Delta_{ij}^k + \delta_i^{k,l} y_j^{k-1}$, $i = \overline{1, N_k}$, $j = \overline{0, N_{k-1}}$, $k = \overline{1, K}$
 Etapa ajustării propriu-zise:
 $W := W + \eta(1 - \alpha)\Delta + \alpha M$ (ajustarea ponderilor)
 $M := \eta(1 - \alpha)\Delta + \alpha M$ (reținerea momentelor pentru epoca următoare)

 Recalcularea erorii: $E(W) = \frac{1}{2L} \sum_{l=1}^L \sum_{i=1}^n (d_i^l - y_i^l)^2$
 $p = p + 1$
 UNTIL ($E \leq E^*$) OR ($p > p_{max}$).

Figura 1: Structura generală a variantei cu moment

M . Prelucrările corespunzătoare etapelor FORWARD și BACKWARD sunt cele de la algoritmul BackPropagation standard. Valoarea parametrului asociat termenului moment (α) se alege între 0.2 și 0.9.

Utilizarea altei metode de minimizare. Metoda gradientului simplu utilizată în deducerea ajustărilor din cadrul algoritmului Backpropagation standard are viteză mică de convergență. Metode de minimizare caracterizate prin viteză mai mare de convergență sunt metodele de tip gradient conjugat și cele de tip Newton.

2 Problema blocării în minime locale

2.1 Cauze.

Principala cauză a blocării într-un minim local este faptul că metodele de tip gradient sunt metode de optimizare locală, permițând determinarea punctului de minim aflat în vecinătatea aproximației inițiale (valorile inițiale ale ponderilor).

2.2 Soluții.

Pentru a evita blocarea în minime locale se pot utiliza metode euristice sau poate fi înlocuită metoda de minimizare locală cu una de minimizare globală.

Metode euristice. Se bazează pe ideea că introducerea unor perturbații aleatoare în algoritmul de învățare permite evadarea dintr-un minim local. Cea mai simplă tehnică (care nu implică modificarea algoritmului) este de a relua algoritmul de antrenare de la valori diferite ale ponderilor inițiale. O altă variantă constă în perturbarea aleatoare, pe parcursul antrenării, a valorilor ponderilor ($w_{ij} := w_{ij} + \xi_{ij}$).

```

Etapa 1. Inițializări.  $W = \text{rand}(-1, 1)$ 
Etapa 2. Proces iterativ de ajustare.
  Calcul eroare  $E(W)$  pe setul de antrenare
REPEAT
  Generare ajustari aleatoare  $\Delta$  ( $\Delta_{ij} = \text{rand}(-1, 1)$ )
  Calcul ponderi modificate:  $W' = W + \Delta$ 
  Recalculare eroare  $E(W')$ 
  IF  $E(W') < E(W)$  THEN se accepta ajustările ( $W = W'$ )
  ELSE ponderile rămân nemodificate
  p=p+1
UNTIL ( $E(W) \leq E^*$ ) OR ( $p > p_{max}$ ).

```

Figura 2: Algoritm de căutare aleatoare

Metode de optimizare globală. Utilizând metode de optimizare globală pentru determinarea punctului de minim a funcției de eroare este posibilă evitarea blocării în minime locale. Metodele cel mai frecvent utilizate sunt:

- algoritmi de căutare aleatoare;
- algoritmi de tip "simulated annealing" (călire simulată);
- algoritmi genetici.

Considerăm ca exemplu un algoritm simplu de căutare aleatoare (fig 2). Această variantă simplă de algoritm aleator nu este eficientă însă poate fi utilizată ca tehnică de alegere a valorilor inițiale ale ponderilor în Backpropagation. Rolul căutării aleatoare este să plaseze valorile ponderilor în zona minimumului global pe când rolul algoritmului Backpropagation este să rafineze valorile ponderilor.

3 Problema stagnerii

Stagnarea algoritmului de învățare înseamnă stoparea procesului de îmbunătățire a ponderilor ca urmare a unor valori prea mici ale termenilor de ajustare. Situația este întâlnită când se ajunge într-o porțiune plată a suprafeței de eroare.

3.1 Cauze

Principala cauză a stagnerii o reprezintă valorile mari ale semnalelor de intrare în unitățile funcționale bazate pe funcții de transfer de tip sigmoidal. Derivatele funcțiilor sigmoide de transfer devin foarte mici pentru valori mari în modul ale argumentului (de exemplu, pentru argumente mai mari în modul decât 10 derivata tangentei hiperbolice este mai mică decât 10^{-8}). Cum valorile derivatelor intervin în termenul de ajustare a ponderilor rezultă că ponderile nu vor fi modificate semnificativ. Valori mari ale semnalelor de intrare în unitățile funcționale de pe nivelele ascunse pot fi produse de valori mari ale ponderilor sau ale semnalelor de intrare în rețea.

3.2 Soluții

Stagnarea poate fi evitată prin penalizarea valorilor mari ale ponderilor sau prin eliminarea derivatelor din termenii de ajustare.

Prima varianta poate fi aplicată prin adăugarea unui termen suplimentar funcției de eroare prin care se penalizează valorile mari ale ponderilor. Astfel în locul erorii medii pătratice, E se folosește $E_m(W) = E(W) + \lambda \sum_{i,j} w_{ij}^2$, al doilea termen cuprinzând suma pătratelor tuturor ponderilor rețelei. Parametrul $\lambda > 0$ reflectă importanța care se acordă penalizării valorilor mari ale ponderilor.

A doua tehnică poate fi implementată prin înlocuirea derivatelor parțiale din ajustări cu valori calculate pe baza unei relații de recurență. Pe această idee se bazează algoritmul RPROP (Resilient BackPropagation) în care ajustarea corespunzătoare parametrului w_{ij} la epoca p , $\Delta w_{ij}(p)$ se stabilește în funcție de semnul derivatei parțiale a funcției de eroare:

$$\Delta w_{ij}(p) = \begin{cases} -\Delta_{ij}(p) & \text{if } \frac{\partial E(W(p))}{\partial w_{ij}} > 0 \\ 0 & \text{if } \frac{\partial E(W(p))}{\partial w_{ij}} = 0 \\ \Delta_{ij}(p) & \text{if } \frac{\partial E(W(p))}{\partial w_{ij}} < 0 \end{cases}$$

unde termenii de ajustare sunt determinați pe baza regulii:

$$\Delta_{ij}(p) = \begin{cases} a\Delta_{ij}(p-1) & \text{if } \frac{\partial E(W(p-1))}{\partial w_{ij}} \frac{\partial E(W(p))}{\partial w_{ij}} > 0 \\ \Delta_{ij}(p-1) & \text{if } \frac{\partial E(W(p-1))}{\partial w_{ij}} \frac{\partial E(W(p))}{\partial w_{ij}} = 0 \\ b\Delta_{ij}(p-1) & \text{if } \frac{\partial E(W(p-1))}{\partial w_{ij}} \frac{\partial E(W(p))}{\partial w_{ij}} < 0 \end{cases}$$

cu parametrii $0 < b < 1 < a$ (de exemplu, $b = 0.5$, $a = 1.2$). Valorile inițiale ale termenilor de ajustare, $\Delta(0)$ se aleg relativ mici (de exemplu 0.1). În RPROP, se impune o limită superioară pentru Δ_{ij} astfel că toate valorile ajustărilor sunt trunchiate la o valoare prestabilită Δ_{max} (de exemplu $\Delta_{max} = 5.0$).

4 Problema supraantrenării

Supraantrenarea este situația în care eroarea rețelei este mică pe setul de antrenare însă mare pentru date de intrare ce nu aparțin acestui set. Aceasta înseamnă că rețeaua nu are putere de generalizare.

4.1 Cauze

Cauzele supraantrenării pot fi mai multe: număr prea mare de unități ascunse, volum mic al setului de antrenare, toleranță prea mică la antrenare, număr mare de epoci etc. Acestea fac ca rețeaua să modeleze inclusiv zgomotele din setul de antrenare reducând abilitatea rețelei de a generaliza pornind de la exemple. Nu pentru orice problemă oricare dintre elementele enumerate mai sus provocă supraantrenare. Experimente numerice au arătat că un număr prea mare de epoci generează mai frecvent supraantrenare decât un număr mare de unități ascunse.

4.2 Soluții

Atunci când cauza supraantrenării o reprezintă numărul prea mare de epoci, o soluție simplă o reprezintă controlul numărului de epoci prin modificarea condiției de oprire. Aceasta se poate

realiza prin a calcula atât eroarea pe setul de antrenare cât și eroarea pe un set de validare disjunct de cel de antrenare și de a opri antrenarea în momentul în care eroarea pe setul de validare începe să crească. Pentru a construi setul de validare, setul de informații cunoscute se divide în două seturi disjuncte. O tehnică clasică este cea a validării încrucișate ("cross-validation") caracterizată prin faptul că se construiește succesiv câte un set de validare prin extragerea a k elemente din setul de antrenare. La fiecare nouă construire a setului de antrenare se aleg alte k elemente. În felul acesta se evită prezența sistematică a acelorași elemente în setul de antrenare, respectiv în cel de validare.

În cazul în care se presupune că numărul de unități ascunse este cauza supraantrenării soluția este de a aplica tehnici de adaptare a numărului de unități ascunse. Există două categorii principale: (i) *constructive*: se pornește cu un număr mic de unități și dacă rețeaua nu are suficientă capacitatea de reprezentare (de exemplu învățarea nu progresează) se mai adaugă unități; (ii) *destructive*: se pornește cu un număr mare de unități și dacă rețeaua nu are suficientă capacitate de generalizare atunci se elimină unități (pentru eliminare sunt selectate unitățile a căror contribuție la semnalul de ieșire este relativ mică).

Rețele cu funcții de transfer radiale

1 Arhitectură și funcționare.

Rețelele cu funcții de transfer radiale, numite și rețele de tip RBF ("Radial Basis Functions") sunt constituite din N unități de intrare, K unități ascunse și M unități de ieșire. Diferența dintre rețelele feedforward multinivel și cele RBF constă în funcțiile de integrare și cele de transfer specifice nivelului ascuns. Semnalul produs de unitatea k aflată pe nivelul ascuns, corespunzător unui semnal de intrare X , este:

$$y_k = g_k(\|X - C^k\|)$$

unde $C^k = (c_{k1}, \dots, c_{kN})$ este vectorul ponderilor conexiunilor către unitatea ascunsă k numit și *centrul* sau *prototipul* acesteia. Deci funcția de integrare asociată unităților ascunse se bazează pe calculul unei distanțe dintre vectorul de intrare și centrul corespunzător, distanța cea mai frecvent folosită fiind cea euclidiană ($\|X - C^k\|^2 = \sum_{j=1}^N (x_j - c_{kj})^2$). Funcțiile de transfer, g_k , sunt diferite de cele sigmoideale, fiind similare funcțiilor *nucleu* folosite în teoria aproximării. Cele mai frecvent folosite sunt cele caracterizate prin simetrie radială care au proprietatea de localitate (produc valori semnificative doar pentru valori mici ale argumentului și tind către zero în cazul valorilor mari). Exemple de astfel de funcții sunt cea gaussiană ($g_k(u) = \exp(-\frac{u^2}{2\sigma_k^2})$), cea de tip Cauchy ($g_k(u) = 1/(u^2 + \sigma^2)$) și $g_k(u) = 1/\sqrt{(u^2 + \sigma^2)}$.

Ieșirea produsă de rețea, pentru un semnal de intrare $X \in R^N$ este vectorul $Y \in R^M$ având componentele:

$$y_i = \sum_{k=1}^K w_{ik} g_k(\|X - C^k\|) - w_{i0}, \quad i = \overline{1, M}$$

unde $W = (w_{ik})_{i=\overline{1, M}, k=\overline{0, K}}$ este matricea ponderilor conexiunilor dintre nivelul ascuns și cel de ieșire, iar $\|\cdot\|$ reprezintă norma euclidiană. În continuare vom nota cu z_k semnalul produs de către unitatea ascunsă, k , adică $z_k = g_k(\|X - C^k\|)$. Se poate folosi și o variantă normalizată, în care z_k se calculează după cum urmează:

$$z_k = \frac{g_k(\|X - C^k\|)}{\sum_{l=1}^K g_l(\|X - C^l\|)}.$$

Caracterul de localitate al funcției de transfer face ca fiecare unitate ascunsă să producă ieșiri semnificative doar pentru semnale de intrare apropiate de centrul corespunzător unității. Fiecare unitate ascunsă reacționează doar la semnale provenind din zona care le este asociată, zonă numită *câmp receptiv*. O bună comportare a rețelei se obține dacă domeniul datelor de intrare este acoperit de câmpurile receptiv ale unităților ascunse. Dimensiunea câmpurilor receptiv depinde de parametrul σ_k corespunzător. O valoare mare pentru σ_k induce o dimensiune mare a câmpului receptiv pe când o valoare mică a lui σ_k conduce la un câmp receptiv restrâns.

2 Capacitatea de reprezentare.

La fel ca și rețelele feedforward cu cel puțin un nivel ascuns de unități sigmoide și rețelele RBF sunt aproximatori universali:

Fie $S \subset \mathbb{R}^N$ o mulțime compactă și $\varphi : S \rightarrow \mathbb{R}^M$ o funcție continuă. Pentru orice $\epsilon > 0$ există o rețea RBF cu N unități de intrare, M unități de ieșire și K unități ascunse astfel încât $\sup_{X \in S} \|\varphi(X) - Y\| < \epsilon$, Y fiind vectorul de ieșire corespunzător vectorului de intrare X .

Calitatea aproximării depinde de numărul de unități ascunse. Diferența esențială dintre rețelele feedforward multinivel și cele RBF este dată de faptul că primele realizează o aproximare globală iar celelalte o aproximare locală. Rețelele RBF asigură o partiționare a domeniului datelor de intrare caracterizată prin faptul că pentru fiecare zonă există o unitate ascunsă care produce o valoare semnificativă atunci când primește semnale din zona respectivă. Dacă semnalul de intrare se află la frontiera dintre două zone atunci unitățile ascunse corespunzătoare ambelor zone vor produce valori semnificative astfel că răspunsul rețelei va fi o medie ponderată a valorilor asociate acestor unități ascunse. În felul acesta, rețeaua asigură o trecere "netedă" de la o zonă la alta.

Rețelele RBF pot fi aplicate pentru rezolvarea problemelor de clasificare, de aproximare și pentru predicție în serii temporale.

3 Algoritmi de învățare.

Parametrii ajustabili ai unei rețele RBF sunt: centrele C^k ale unităților ascunse, ponderile conexiunilor către nivelul de ieșire, W și parametrii σ_k care controlează lărgimile câmpurilor receptive.

În funcție de modul în care se determină parametrii corespunzători nivelului ascuns și cei corespunzători nivelului de ieșire există două categorii principale de algoritmi: cu antrenare simultană, respectiv cu antrenare separată a acestor parametri.

În ambele situații antrenarea este cu caracter supervizat și se bazează pe un set de antrenare: $\{(X^1, d^1), \dots, (X^L, d^L)\}$.

3.1 Determinarea simultană a tuturor parametrilor

Acest mod de antrenare se bazează pe ideea folosită la rețelele feedforward standard constând în aplicarea unei metode de minimizare a erorii pătratice medii calculată pe setul de antrenare, adică:

$$E(C, \sigma, W) = \frac{1}{L} \sum_{l=1}^L E_l(C, \sigma, W)$$
$$E_l(C, \sigma, W) = \frac{1}{2} \sum_{i=1}^M (d_i^l - (\sum_{k=1}^K w_{ik} g_k(\|X - C^k\|) - w_{i0}))^2.$$

Pentru a aplica o metodă de tip gradient pentru minimizarea lui E trebuie calculate derivatele parțiale:

$$\frac{\partial E_l}{\partial w_{i0}}(C, \sigma, W) = d_i^l - y_i^l$$
$$\frac{\partial E_l}{\partial w_{ik}}(C, \sigma, W) = -z_k (d_i^l - y_i^l)$$

$$\frac{\partial E_l}{\partial c_{kj}}(C, \sigma, W) = -\frac{1}{\sigma_k^2} \sum_{i=1}^M (d_i^l - y_i^l) w_{ik} z_k(x_j^l - c_{kj})$$

$$\frac{\partial E_l}{\partial \sigma_k}(C, \sigma, W) = -\frac{1}{\sigma_k^3} \sum_{i=1}^M (d_i^l - y_i^l) w_{ik} z_k \|X^l - C^k\|^2.$$

Folosind ideea de la varianta serială a algoritmului BackPropagation se obține un algoritm a cărui structură generală este ilustrată în fig. 1. Fiind un caz particular al algoritmului BackPropagation, adaptat pentru o rețea cu un singur nivel ascuns,

astfel că problemele ce apar la aplicarea algoritmului BP (minime locale, convergență lentă etc) apar și în acest caz.

Inițializarea aleatoare a tuturor parametrilor
REPEAT
 FOR $l = \overline{1, L}$:
 $w_{ik} = w_{ik} - \eta \frac{\partial E_l}{\partial w_{ik}}(W, \sigma, C), \quad i = \overline{1, M}, k = \overline{0, K}$
 $c_{kj} = c_{kj} - \eta \frac{\partial E_l}{\partial c_{kj}}(W, \sigma, C), \quad k = \overline{1, K}, j = \overline{1, N}$
 $\sigma_k = \sigma_k - \eta \frac{\partial E_l}{\partial \sigma_k}(W, \sigma, C), \quad k = \overline{1, K}$
 Recalcularea erorii
 UNTIL *este satisfăcută o condiție de oprire*

Figura 1: Antrenarea rețelei RBF cu algoritm de tip BackPropagation

3.2 Determinarea separată a parametrilor

Vom considera procesul de antrenare descompus în trei procese distincte care se desfășoară în următoarea ordine:

- determinarea centrelor $C^k \in R^N, k = \overline{1, K}$;
- determinarea lărgimilor câmpurilor receptive, $\sigma_k, k = \overline{1, K}$;
- determinarea ponderilor conexiunilor dintre nivelul ascuns și cel de ieșire, $w_{ik}, i = \overline{1, M}, k = \overline{0, K}$.

3.2.1 Determinarea centrelor.

Centrele reprezintă vectori prototip selectați din domeniul datelor de intrare, pe baza cărora se realizează partiționarea domeniului de intrare în mici regiuni (câmpurile receptive) de fiecare dintre acestea fiind responsabilă o unitate ascunsă.

În cazul în care setul de antrenare nu este prea mare atunci se poate considera că datele de intrare prezente în acesta determină centrele. Astfel, $K = L$ și $C^k = X^k$, pentru fiecare $k \in \{1, \dots, K\}$. Un exemplu simplu de astfel de situație îl reprezintă problema aproximării funcției booleene XOR. În acest caz datele de intrare sunt vectorii: $(0, 0)$, $(0, 1)$, $(1, 0)$ și $(1, 1)$ iar în cadrul rețelei se consideră 4 unități ascunse cărora li se afectează ca centri acești vectori.

Dacă, însă, setul de antrenare conține multe date (unele cu caracter redundant) atunci pentru setarea centrelor se alege doar o parte dintre acestea. O variantă simplă de alegere o reprezintă

selecția aleatoare a K date însă o variantă mai adecvată o reprezintă aplicarea unui algoritm de grupare (clustering).

Problematika grupării este următoarea: se dau L vectori X^1, X^2, \dots, X^L și se pune problema amplasării lor în $K < L$ clase (grupe sau clusteri) astfel încât elementele aflate într-o clasă să fie mai apropiate între ele decât cele aflate în clase diferite. Noțiunea de apropiere se stabilește pornind de la criteriul ce a stat la baza grupării. Un astfel de criteriu îl poate reprezenta distanța euclidiană.

În rezolvarea unei probleme de grupare pot interveni două situații: numărul de clase, K , este cunoscut, respectiv este necunoscut.

Un algoritm simplu de grupare, bazat pe cunoașterea numărului de clase, este *algoritmul mediilor* bazat pe ideea că centrul (prototipul) unei clase poate fi reprezentat de media aritmetică a elementelor clasei, iar afectarea unui vector la o clasă sau alta se face pe criteriul distanței minime (fig. 2).

Se inițializează centrele C^1, C^2, \dots, C^K cu vectori selectați aleator din setul de antrenare.

REPEAT

Construirea claselor: fiecare vector X^l este afectat clasei ω_k care verifică:

$$d(X^l, C^k) \leq d(X^l, C^i), \quad \text{pentru orice } i \in \{1, \dots, K\} \quad d \text{ fiind distanța euclidiană}$$

Recalcularea centrelor: pentru fiecare clasă ω_k se recalculează centrul:

$$C^k = \frac{1}{\text{card } \omega_k} \sum_{X \in \omega_k} X, \quad k = \overline{1, K}.$$

UNTIL este îndeplinit un criteriu de oprire.

Figura 2: Algoritm de grupare. Metoda K-mediilor

Observații.

1. Algoritmul este oprit fie când la ultima parcurgere clasele nu s-au modificat fie când s-au efectuat un număr mare de iterații.
2. Prin acest algoritm se pot alege ca prototipuri vectori ce nu fac parte din setul inițial de antrenare.
3. Algoritmul mediilor conduce la determinarea acelor centri care minimizează

$$\sum_{k=1}^K \sum_{X \in \omega_k} d(X, C^k).$$

Dacă numărul de clase nu este cunoscut se poate folosi un algoritm bazat pe principiul competiției (vezi fig. 3 în care numărul claselor este inițializat cu o valoare mică și ulterior este mărit dacă este cazul. De exemplu, dacă un vector de intrare din setul de antrenare nu face parte din câmpul receptiv al nici unei unități ascunse atunci se adaugă o nouă unitate având centrul determinat chiar de vectorul de intrare.

Valoarea parametrului δ influențează modul de partiționare a domeniului datelor de intrare. Valori mici ale lui δ favorizează partiționarea domeniului de intrare în multe zone, pe când valori mai mari ale lui δ conduce la stabilirea a mai puține centre. Valoarea η_t controlează mărimea ajustării parametrilor c_{kj} . Când devine suficient de mică, ajustarea este neglijabilă și algoritmul poate fi stopat. Descrescerea ratei η_t trebuie să fie lentă pentru a nu provoca oprirea algoritmului înaintea ajustării suficiente a centrilor.

Inițializări:

Se stabilește numărul inițial de centre, K .

Se inițializează valorile centrelor cu elemente selectate aleator din setul de antrenare.

Se inițializează indicatorul de iterație, $t = 1$ și rata de învățare, $\eta_1 \in (0, 1)$.

REPEAT

FOR $l = \overline{1, L}$ se efectuează

se determină $k^* \in \{1, \dots, K\}$ cu $\|X^l - C^{k^*}\| = \min_k \|X^l - C^k\|$;

IF $\|X^l - C^{k^*}\| < \delta$ THEN $C^{k^*} = C^{k^*} + \eta_t(X^l - C^{k^*})$

ELSE se adaugă o nouă unitate ascunsă: $K = K + 1$ și $C^{K+1} = X^l$

Incrementează indicatorul de iterație, $t = t + 1$

Determină nouă valoare η_t a ratei de învățare, $\eta_t = \eta_0 t^{-\alpha}$, $\alpha \in (0, 1]$.

UNTIL $t > t_{max}$ sau $\eta_t < \epsilon$

Figura 3: Algoritm de determinare a centrilor bazat pe un proces de competiție

3.2.2 Determinarea lărgimii câmpurilor receptive.

Valoarea parametrilor σ_k controlează modul în care este partiționat domeniul datelor de intrare. Valori prea mici ale lui σ conduce la o acoperire incompletă a domeniului de intrare, în sensul că pot rămâne porțiuni ce nu aparțin nici unui câmp receptiv. Valori prea mari ale lui σ provoacă mai multe unități ascunse să producă valori mari astfel că semnalul produs de rețea va fi unul aproape constant.

O regulă, cu caracter euristic, de determinare a parametrilor σ , după ce în prealabil au fost determinate centrele, este următoarea:

$$\sigma_k = \gamma d(C^k, C^j), \quad \text{unde } C^j \text{ este centrul cel mai apropiat de } C^k, \text{ iar } \gamma \in [0.5, 1].$$

O regulă similară constă în

$$\sigma_k = \frac{1}{2}(d(C^k, C^i) + d(C^k, C^j)), \quad \text{unde } C^i \text{ și } C^j \text{ sunt centrii cei mai apropiați de } C^k$$

3.2.3 Determinarea ponderilor conexiunilor către nivelul de ieșire.

O dată ce au fost determinate centrele și lărgimile câmpurilor receptoare, pentru orice semnal de intrare X^l poate fi determinat semnalul produs de nivelul unităților ascunse, Z^l . Astfel se poate considera că trebuie determinate ponderile conexiunilor asociate unei rețele cu un singur nivel de unități (liniare) pornind de la setul de antrenare $\{(Z^l, d^L)\}_{l=\overline{1, L}}$. Acest lucru poate fi realizat cu un algoritm clasic de antrenare a unei rețele cu un singur nivel, de exemplu cu algoritmul Widrow-Hoff.

Un caz particular este acela când centrele au fost setate cu elementele setului de antrenare. În aceste condiții vectorul ponderilor conexiunilor dintre unitatea ascunsă k și nivelul de ieșire poate fi setat cu vectorul răspunsurilor dorite: d^k . O astfel de setare se poate face pentru rețeaua destinată aproximării funcției XOR.

Învățare nesupervizată bazată pe procese de competiție

Învățarea nesupervizată este un proces prin care se extrag informații, modele, reguli din date fără a avea la dispoziție exemple de asociere ci doar folosind relațiile existente între datele de intrare. Spre deosebire de învățarea supervizată, cea nesupervizată permite identificarea unor structuri în datele de intrare fără a utiliza informații suplimentare.

Rețelele neuronale cu învățare nesupervizată au aplicații în clasificarea, compresia și analiza datelor.

1 Problematika grupării

Problema grupării datelor constă în identificarea unor clase (clustere) în cadrul datelor astfel încât elementele unei clase să fie suficient de similare iar cele ce aparțin unor clase diferite să fie suficient de disimilare. Fiecare clasă poate fi identificată printr-un element reprezentativ numit prototip al clasei. Un exemplu simplu de grupare în clase reprezentate prin prototipuri este ilustrat în Figura 1.

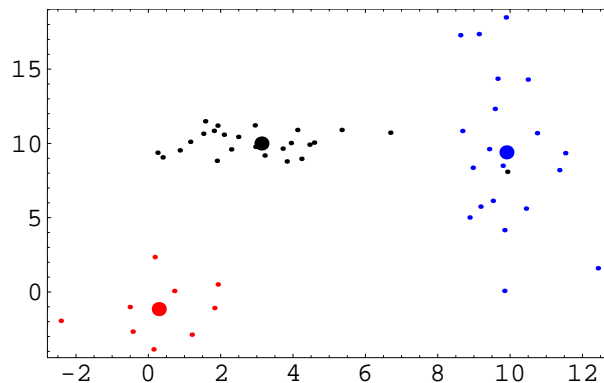


Figura 1: Clustere si prototipuri

Măsuri de similaritate. Pentru a aprecia similaritatea sau disimilaritatea între date se folosesc măsuri specifice. În cazul în care datele sunt reprezentate prin vectori din R^N că măsură a disimilarității poate fi folosită distanța euclidiană: $d(X, Y) = \sqrt{\sum_{i=1}^N (x_i - y_i)^2}$ (cu cât distanța este mai mare cu atât este mai mare disimilaritatea). Dacă vectorii corespunzători datelor sunt normalizați ($\|X\| = \|Y\| = 1$) atunci o măsură a similarității poate fi considerat produsul scalar $X^T Y = \sum_{i=1}^N x_i y_i$ (cu cât produsul scalar este mai mare cu atât similaritatea este mai mare).

Legătura dintre distanța euclidiană și produsul scalar rezultă din relația:

$$d^2(X, Y) = \|X\|^2 - 2X^T Y + \|Y\|^2 = 2(1 - X^T Y)$$

Întrucât $X^T Y = \|X\| \|Y\| \cos \alpha$, α fiind unghiul dintre X și Y rezultă că în cazul datelor normate o altă măsură a similarității este cosinusul unghiului dintre cei doi vectori.

Prototipuri. Fiecare clasă poate fi identificată printr-un element reprezentativ numit prototip al clasei. Un astfel de prototip poate fi centroidul clasei (media aritmetică a elementelor clasei) sau medoidul acesteia (elementul din clasă care este cel mai apropiat de media aritmetică a elementelor clasei).

O dată stabilite prototipurile afectarea unui vector la o clasă se realizează pe baza criteriului distanței minime (vectorul este asociat clasei față de prototipul căreia se află la distanța minimă).

Aplicații. Identificarea unor clustere în cadrul datelor are aplicații în: identificarea unor categorii de clienți ai unui sistem de comerț electronic; identificarea unor profiluri de utilizatori ai unor resurse Web; organizarea unor documente electronice etc. În toate aceste cazuri clasificarea se face pe baza valorilor unor atribute asociate entităților ce trebuie clasificate.

O dată identificate clusterelor, sistemul poate fi utilizat pentru a efectua predicții sau recomandări. De exemplu în cazul unui sistem de comerț electronic la apariția unui nou client pe baza informațiilor colectate și pe baza clusterelor existente se pot face predicții privind preferințele acestuia astfel că i se pot face recomandări privind produsele în care este cel mai probabil interesat.

2 Rețele neuronale pentru clustering

Arhitectura. Pentru gruparea în K clase a unor date N -dimensionale arhitectura adecvată constă din:

- un nivel de N unități de intrare;
- un nivel cu K unități liniare de ieșire.

În cazul în care numărul de clase nu este cunoscut numărul unităților de pe nivelul de ieșire este adaptabil, fiind modificat în procesul de învățare. Conectivitatea dintre cele două nivele este totală iar ponderile conexiunilor pot fi organizate într-o matrice W cu K linii și N coloane. Linia i a matricii W poate fi interpretată că fiind prototipul clasei i . După antrenare, setul de vectori $\{W^1, \dots, W^K\}$ reprezintă prototipurile celor K clase.

Funcționare. În timpul funcționării rețeaua trebuie să returneze indicele sau prototipul clasei asociate datei de intrare. Clasa asociată datei de intrare este determinată de unitatea de ieșire învingătoare. Unitatea învingătoare este determinată printr-un proces de competiție care presupune calculul măsurii de similaritate dintre data de intrare, X , și fiecare dintre vectorii prototip $\{W^1, \dots, W^K\}$ și determinarea unității ce are asociat prototipul cel mai apropiat de data de intrare. În cazul în care măsura de similaritate este distanța euclidiană determinarea unității învingătoare presupune:

- calcul d_1, d_2, \dots, d_K (cu $d_i = d(X, W^i)$);
- determinare $k^* \in \{1, \dots, K\}$ cu proprietatea că $d_{k^*} \leq d_i$ pentru orice $i \in \{1, \dots, K\}$.

Indicele k^* al unității învingătoare poate fi interpretat ca indice al clasei căreia îi aparține data de intrare. Dacă există mai multe prototipuri care se află la aceeași distanță față de X atunci trebuie să se decidă care este unitatea învingătoare (de exemplu se alege unitatea cu indicele cel mai mic).

Etapa 1. Inițializarea prototipurilor.

$$w_{ij} = \text{rand}(-1, 1), \quad i = \overline{1, K}, \quad j = \overline{1, N}$$

$$t = 1$$

Etapa 2. Proces iterativ de ajustare a prototipurilor.

REPEAT FOR $l = \overline{1, L}$ DO

Determină k^* cu proprietatea $d(X^l, W^{k^*}) \leq d(X^l, W^i)$, $i = \overline{1, K}$

$$W^{k^*} = W^{k^*} + \eta(t)(X^l - W^{k^*})$$

$$t = t + 1$$

UNTIL $(\eta(pt) < \epsilon)$ OR $(t > t_{max})$.

Figura 2: Algoritm simplu de tip WTA

Dacă într-o implementare software determinarea unității învingătoare este o prelucrare simplă în implementări hard sau în modelele biologice ea este mai complicată, bazându-se pe existența unor conexiuni laterale inhibitorii al căror rol este să accentueze diferența dintre semnalul produs de unitatea învingătoare și cele produse de către celelalte unități. În felul acesta semnalul produs de către unitatea învingătoare devine semnificativ mai mare astfel că detecția acesteia devine mai simplă.

Antrenare. Există două variante principale de antrenare:

- Numărul de unități funcționale (K) este prestabilit nemodificându-se pe parcursul antrenării. Un exemplu de algoritm de învățare din această categorie este cel bazat pe principiul "învățătorul ia totul" (WTA - the winner takes all).
- Numărul unităților funcționale este adaptat pe parcursul procesului de învățare. Algoritmi din această categorie se bazează pe "teoria rezonanței adaptive" (ART - adaptive resonance theory).

În continuare este prezentat câte un exemplu de algoritm de învățare din fiecare categorie. În ambele situații considerăm că setul de antrenare este constituit din vectori N -dimensionali, $\{X^1, X^2, \dots, X^L\}$. *Algoritm simplu de tip WTA.* Presupunem că numărul de unități funcționale este K . Un algoritm simplu bazat pe competiție este ilustrat în fig. 2.

Ideea de bază a ajustării este de a modifica doar vectorul ponderii unității învingătoare astfel încât el să devină mai apropiat de data de intrare. Pentru a evita oscilația permanentă a ponderilor și a stabili prototipurile se utilizează o rată descrescătoare de învățare, $\eta(p)$. Valorile lui η trebuie să descrească ($\eta(p+1) < \eta(p)$) însă nu prea rapid pentru a permite ajustarea suficientă a ponderilor. Se consideră că șirul valorilor $\eta(p)$ trebuie să satisfacă următoarele proprietăți:

$$\lim_{t \rightarrow \infty} \eta(t) = 0, \quad \sum_{t=1}^{\infty} \eta(t) = \infty, \quad \sum_{t=1}^{\infty} \eta(t^2) < \infty \quad (1)$$

Un exemplu de rată de învățare care satisface proprietățile (1) sunt:

$$\eta(t) = \frac{\eta(0)}{t^\alpha}, \quad \alpha \in (0.5, 1], \quad \eta(0) > 0 \quad (2)$$

Chiar dacă nu satisface toate proprietățile din (1) se mai folosește și $\eta(t) = \eta(0) / \ln(t+1)$.

În practică se obișnuiește să se normalizeze atât datele de intrare ($\|X^l\| = 1$) cât și vectorii de ponderi. Pentru a asigura faptul că vectorii de ponderi sunt normalizați ajustarea acestora se realizează prin

$$W^{k^*} = \frac{W^{k^*} + \eta(t)(X^l - W^{k^*})}{\|W^{k^*} + \eta(t)(X^l - W^{k^*})\|}.$$

Unul dintre dezavantajele algoritmilor de tip WTA îl reprezintă faptul că este posibil ca anumite unități să nu devină niciodată învingătoare. Astfel de unități sunt numite "moarte". Pentru a evita apariția unităților moarte se ajustează nu numai ponderile unității învingătoare ci și cele ale celorlalte unități însă cu o rată de învățare mai mică (de exemplu de circa 10 ori mai mică). O altă modalitate de a evita apariția unităților moarte este așa numitul mecanism al conștiinței. Acesta se caracterizează prin a lua în considerare la determinarea unității învingătoare și a unui prag care variază invers proporțional cu frecvența victoriilor. Astfel se decide că unitatea k^* este învingătoare (pentru intrarea X) dacă:

$$d(X, W^{k^*}) - \theta_{k^*} \leq d(X, W^k) - \theta_k, \quad \text{pentru } k \in \{1, \dots, K\},$$

iar cu cât numărul de victorii este mai mare cu atât valoarea pragului descrește reducând șansa unității de a deveni prea frecvent învingătoare.

Algoritm de tip ART. Un alt dezavantaj al algoritmului WTA este faptul că numărul de clase este prestabil. Există situații în care nu se cunoaște numărul de clase, sarcina de a determina acest număr revenindu-i tot algoritmului de învățare. În dezvoltarea unui sistem adaptiv (rețea neuronală) de rezolvare a problemelor de grupare intervin două aspecte contradictorii:

- *Adaptabilitate:* capacitatea sistemului de a asimila noi informații și de a identifica noi clustere.
- *Stabilitate:* capacitatea sistemului de a conserva structura de clustere detectată la un moment dat, astfel ca pe parcursul procesului de adaptare sistemul să nu-și schimbe radical răspunsul pentru o aceeași dată de intrare.

Pornind de la această dilemă adaptabilitate-stabilitate a fost dezvoltată de către Carpenter și Grossberg teoria cunoscută sub numele de teoria rezonanței adaptive și au fost dezvoltate modele sofisticate de rețele neuronale care implementează diverse mecanisme cu suport biologic. În continuare este prezentată o variantă simplificată de algoritm de tip ART specific grupării datelor din R^N . Rețeaua neuronală suport este constituită dintr-un nivel de N unități de intrare și un nivel de unități funcțională a căror număr poate crește pe parcursul procesului de învățare.

Ideea de baza a algoritmului este aceea de a verifica gradul de similaritate între data de intrare și vectorul de ponderi asociat unității învingătoare iar în cazul în care acest grad nu depășește un prag de vigilență se consideră că nici o unitate dintre cele existente nu este suficient de reprezentativă pentru data de intrare, motiv pentru care se adaugă o nouă unitate. Structura algoritmului este descrisă în fig. 3.

Parametrul $\rho > 0$ este pragul de vigilență și cu cât se alege mai mic cu atât vor fi create mai multe clustere. Este corelat cu "raza" maximă a clusterelor. În calculul lui $\text{card}(\omega_k)$ elementele din setul de antrenare sunt afectate la ω_k pe baza distanței minime.

Algoritmul ART prezentat este o variantă simplificată a algoritmului ART2 propus de Carpenter și Grossberg și diferă de algoritmul utilizat la rețelele RBF pentru determinarea centrelor doar prin forma relației de ajustare.

Unul dintre principalele dezavantaje ale acestui algoritm simplu este acela că gruparea pe care o identifică depinde de ordinea în care sunt prezentate datele de intrare.

Inițializări:

Se stabilește numărul inițial de unități funcționale, $K < L$.

Se inițializează vectorii ponderilor cu elemente distincte selectate aleator din setul de antrenare.

$t = 1$

REPEAT

FOR $l = \overline{1, L}$ se efectuează

se determină $k^* \in \{1, \dots, K\}$ cu $d(X^l, W^{k^*}) = \min_k d(X^l, W^k)$;

IF $d(X^l, W^{k^*}) < \rho$ OR $K = K_{max}$ THEN $W^{k^*} = (X^l + W^{k^*} \text{card}(\omega_{k^*})) / (1 + \text{card}(\omega_{k^*}))$
($\text{card}(\omega_{k^*})$ reprezintă numărul de elemente din clasa k^*)

ELSE se adaugă o nouă unitate ascunsă: $K = K + 1$ și $W^{K+1} = X^l$

Incrementează indicatorul de iterație, $t = t + 1$

UNTIL $t > t_{max}$

Figura 3: Algoritm de tip ART pentru grupare de vectori din R^N

3 Cuantizare vectorială

Rolul cuantizării (discretizării) vectoriale este de a mapa un domeniu continuu de date vectoriale (din R^N) într-un domeniu discret (o mulțime finită de vectori numiți prototipuri sau "codebook vectors" cărora li se pot asocia indicatori scalari). Prin cuantizare se asigură partiționarea domeniului datelor de intrare în regiuni, fiecărei regiuni corespunzându-i un prototip sau un număr de ordine. Astfel fiecare vector din domeniul datelor de intrare poate fi asociat cu un scalar (numărul de ordine al prototipului corespunzător). În felul acesta se poate asigura o compresie a datelor de intrare. Printr-o astfel de compresie se pierde din informația purtată de datele inițiale iar scopul urmărit este să se minimizeze această pierdere.

În acest scop, discretizarea trebuie să conserve proprietățile distribuției de probabilitate asociată sursei de informație ce generează datele de intrare (plasarea prototipurilor reprezintă o aproximare a distribuției datelor de intrare). De exemplu în zonele în care densitatea datelor de intrare este mare se impune o partiționare mai fină, deci existența mai multor prototipuri.

Asocierea prototipului la o dată de intrare se bazează pe criteriul distanței minime.

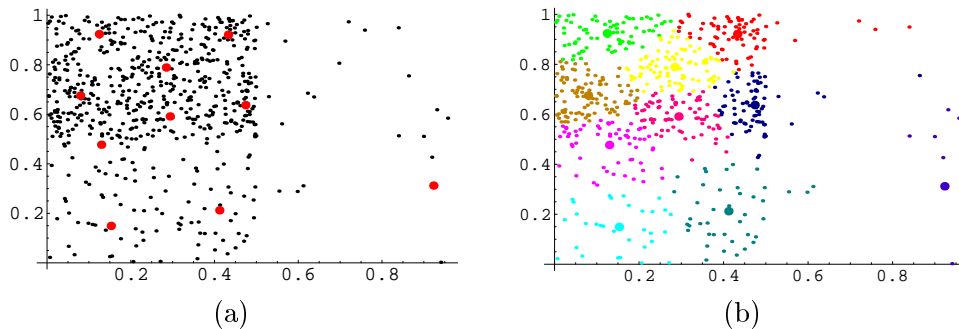


Figura 4: Cuantizare vectoriala folosind algoritmul WTA (100 epoci, $\eta(0) = 0.1$, $\eta(p) = \eta(0)/p$, $K = 10$)(a) Datele de intrare si pozitiile prototipurilor obtinute; (b) Separarea în clase

Dacă numărul de clase este cunoscut pentru identificarea prototipurilor se poate folosi un algoritm simplu de tip WTA. Un exemplu de cuantizare pentru vectori bidimensionali este ilustrat în fig. 4. Într-o astfel de variantă unitățile sunt afectate claselor într-o manieră relativ arbitrară care depinde de modul de inițializare a ponderilor și de ordinea de prezentare a datelor de intrare.

Dacă se dorește utilizarea unei astfel de rețele pentru rezolvarea unei probleme de clasificare și dacă se cunosc exemple de clasificare corectă atunci se poate utiliza o variantă supervizată a algoritmului cunoscută sub denumirea de LVQ - Learning Vector Quantization. De regulă numărul claselor în care se realizează clasificarea este mai mic decât numărul clusterelor detectate în cadrul datelor de intrare. În acest caz setul de antrenare este de forma: $\{(X^1, d_1), \dots, (X^L, d_L)\}$ (X^l sunt vectori N -dimensionali iar d_l este indicator de clasă) iar antrenarea constă în parcurgerea etapelor următoare:

- Se stabilesc K vectori prototip folosind un algoritm de tip WTA pornind de la datele de intrare $\{X^1, \dots, X^L\}$ din setul de antrenare. Această etapă are ca scop modelarea distribuției de probabilitate a datelor de intrare.
- Pentru fiecare prototip se stabilește indicatorul clasei din care face parte: (i) se afectează (folosind criteriul distanței minime) vectorii X^l din setul de antrenare la fiecare dintre clusterelor asociate prototipurilor; (ii) în cadrul fiecărui cluster se determină indicatorul ce apare cel mai frecvent; acesta va fi indicatorul asociat prototipului respectiv.
- Se ajustează iterativ (de-a lungul mai multor epoci $p = \overline{1, p_{max}}$ prototipurile clusterelor folosind setul de antrenare și regulile: (i) pentru X^l se determină prototipul cel mai apropiat (considerăm că acesta este W^{k^*} iar indicatorul asociat acestuia este c_l); dacă $c_l = d_l$ atunci se face ajustarea $W^{k^*} = W^{k^*} + \eta(t)(X^l - W^{k^*})$ iar dacă $c_l \neq d_l$ atunci se face ajustarea $W^{k^*} = W^{k^*} - \eta(t)(X^l - W^{k^*})$. Scopul acestei etape este de a mări distanța dintre prototipuri și suprafețele de separare a diferitelor clase.

4 Mapare topologică și rețele Kohonen

Mapare topologică. Maparea topologică este o variantă de cuantizare vectorială prin care se asigură conservarea relațiilor de vecinătate din domeniul datelor de intrare. Acest lucru impune existența unei organizări geometrice a nivelului unităților funcționale astfel încât pentru fiecare unitate funcțională să poată fi definită o vecinătate. Astfel poziția fiecărei unități funcționale trebuie identificată cu un vector de poziție (dacă nivelul are o structură n -dimensională atunci vectorul de poziție al unității p este $r_p = (r_p^1, \dots, r_p^n)$). Întrucât prin maparea topologică se urmărește reducerea dimensiunii datelor de intrare se folosește $n \leq 3$: nivel unidimensional ($n = 1$), bidimensional ($n = 2$) sau tridimensional ($n = 3$). Rețelele cu astfel de organizare a nivelului de unități funcționale sunt cunoscute sub numele de rețele Kohonen sau hărți cu autoorganizare (SOM - self-organizing maps) și au fost propuse de către Kohonen la începutul anilor 1980. Rețelele din această categorie au un pronunțat suport biologic întrucât în creier există hărți corticale care pot fi interpretate ca mapări ale spațiului stimulilor (hărți topografice corespunzătoare stimulilor vizuali, hărți tonotopice corespunzătoare stimulilor auditivi, hărți senzoriale asociate cu simțul tactil).

Arhitectura. O rețea Kohonen este constituită dintr-un nivel de intrare și un nivel de unități funcționale structurat geometric (vezi fig. 5 pentru cazul unui nivel funcțional bidimensional). În cazul unui nivel unidimensional unitățile pot fi plasate în nodurile unei diviziuni (echidistante) pe când în cazul bidimensional ele pot fi plasate în nodurile unei grile pătratice (fig. 6(a)), hexagonale (fig. 6(b)) sau chiar neregulată.

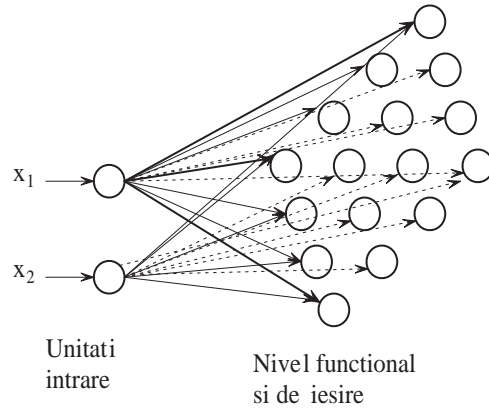


Figura 5: Exemplu de rețea cu organizare geometrică a nivelului de ieșire (rețea Kohonen)

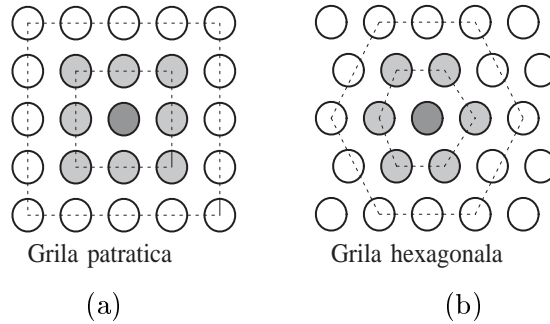


Figura 6: Tipuri de grile bidimensionale utilizate în algoritmii de învățare de la rețelele Kohonen

Vecinătăți. O modalitate simplă de a defini un sistem de vecinătăți în cadrul nivelului de ieșire se bazează pe utilizarea unei distanțe în domeniul \mathcal{L} al vectorilor de poziție (în cazul unidimensional $\mathcal{L} = \{1, \dots, M\}$, iar în cazul bidimensional $\mathcal{L} = \{1, \dots, m\} \times \{1, \dots, m\}$, $M = m^2$). Câteva dintre distanțele ce pot fi folosite sunt:

- $d_1(r_p, r_q) = \sqrt{\sum_{i=1}^n (r_p^i - r_q^i)^2}$ (distanța euclidiană);
- $d_2(r_p, r_q) = \sum_{i=1}^n |r_p^i - r_q^i|$ (distanța Manhattan);
- $d_3(r_p, r_q) = \max_{i=1, \dots, n} |r_p^i - r_q^i|$.

În relațiile de mai sus, $r_p \in \mathcal{L}$ și $r_q \in \mathcal{L}$ reprezintă vectorii de poziție ai unităților p respectiv q .

Utilizând o astfel de distanță pentru o unitate p o vecinătate de ordin s va fi constituită din $V_s(p) = \{q | d(r_p, r_q) \leq s\}$. De exemplu în cazul unei grile bidimensionale pătratice vecinătățile de ordin 1 ale unității p ($r_p = (i, j)$) corespunzătoare celor trei distanțe sunt:

$$V_1^{(1)}(i, j) = V_1^{(2)}(i, j) = \{(i-1, j), (i+1, j), (i, j-1), (i, j+1)\}$$

$$V_2^{(3)}(i, j) = \{(i-1, j), (i+1, j), (i, j-1), (i, j+1), (i-1, j-1), (i-1, j+1), (i+1, j-1), (i+1, j+1)\}.$$

Etapa 1. Inițializări.

$$w_{ij} = \text{rand}(-1, 1), \quad i = \overline{1, K}, \quad j = \overline{1, N}$$

$$t = 1, s(t) = s_1, \eta(t) = \eta_1$$

Etapa 2. Proces iterativ de ajustare.

REPEAT Pentru data de intrare X

Determină p^* cu proprietatea $d(X, W^{p^*}) \leq d(X, W^p)$, $p \in \mathcal{L}$

$$W^p = W^p + \eta(t)(X - W^p) \text{ pentru orice } p \in V_{s(t)}(p^*)$$

$$t = t + 1$$

UNTIL $(\eta(t) < \epsilon)$ OR $(t > t_{max})$.

Figura 7: Algoritm de antrenare pentru o rețea Kohonen

Algoritm de învățare. Specificul învățării în rețelele Kohonen este faptul că nu se ajustează doar ponderile unității învingătoare ci și cele corespunzătoare unităților din vecinătatea acesteia. Ajustarea acestor ponderi permite "ordonarea" unităților astfel încât în faza de funcționare pentru date de intrare similare să reacționeze unități funcționale învecinate. Considerând că rețeaua primește succesiv date de intrare varianta on-line a algoritmului de învățare este descrisă în fig. 7.

Atât dimensiunea vecinătății cât și rata de învățare descresc treptat de la o iterație la alta. Prin utilizarea unei dimensiuni variabile a vecinătății se pun în evidență două faze ale procesului de învățare:

- *Faza de ordonare.* Corespunde iterațiilor în care dimensiunea vecinătății este relativ mare și are ca efect aranjarea unităților (prin ajustarea ponderilor asociate) astfel încât unor date de intrare similare să le corespundă unități apropiate.
- *Faza de ajustare fină.* Corespunde ultimelor iterații, în care vecinătățile sunt reduse (uneori chiar la un singur element, algoritmul fiind în acest caz de tip WTA) și are ca scop ajustarea ponderilor astfel încât acestea să fie cât mai reprezentative pentru datele de intrare.

Inițial raza vecinătății se alege suficient de mare, astfel încât ajustarea să se extindă asupra tuturor unităților. Ulterior raza se micșorează. O modalitate simplă de reducere a vecinătății este înjumătățirea razei după un anumit număr de iterații.

Modificarea ratei de învățare asigură stabilizarea valorii ponderilor. Ca reguli de descreștere se pot folosi cele de la algoritmul WTA. Pentru a diferenția ajustarea aplicată unității învingătoare de cea aplicată unităților din vecinătate se poate modifica relația de ajustare prin introducerea unei funcții de vecinătate $\Lambda(p, q)$ a cărei valoare maximă este atinsă pentru unitatea învingătoare. Relația de ajustare devine în acest caz:

$$W^p = W^p + \eta(t)\Lambda(p^*, p)(X - W^p)$$

. Dacă funcția de vecinătate verifică:

$$\Lambda(p, q) = \begin{cases} 1 & \text{dacă } q \in V_s(p) \\ 0 & \text{altfel} \end{cases}$$

atunci se reobține relația inițială de ajustare. O altă variantă prin care mărimea ajustării depinde de distanța față de unitatea învingătoare este:

$$\Lambda(p, q) = \exp\left(-\frac{d^2(r_p, r_q)}{2s^2}\right)$$

Graficele acestor funcții sunt reprezentate în fig. 8

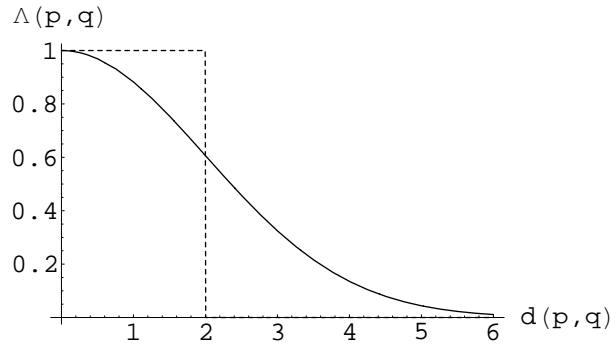


Figura 8: Funcții de vecinătate

La fel ca și în cazul algoritmilor de tip WTA normalizarea datelor de intrare și a vectorilor cu ponderi după fiecare ajustare poate fi benefică procesului de învățare.

Modul în care o rețea Kohonen se autoorganizează astfel încât se mapeze cât mai fidel domeniul datelor de intrare poate fi ilustrat grafic pentru date de intrare bidimensionale ($N = 2$). În acest caz fiecărei unități funcționale îi corespunde un vector cu două ponderi. Vizualizarea constă în reprezentarea pentru fiecare unitate funcțională a punctului corespunzător vectorului cu ponderi și în unirea punctelor corespunzătoare unităților vecine (în cazul unidimensional punctul asociat unității i se unește cu cele asociate unităților $i - 1$ și $i + 1$ iar în cazul bidimensional unitatea (i, j) se unește cu unitățile $(i - 1, j)$, $(i + 1, j)$, $(i, j - 1)$, $(i, j + 1)$). Exemple pentru cazul unidimensional și cel bidimensional sunt prezentate în fig 9 (pentru cazul în care datele sunt generate aleator în interiorul unui cerc) și în fig. 10 (pentru cazul coroanei circulare).

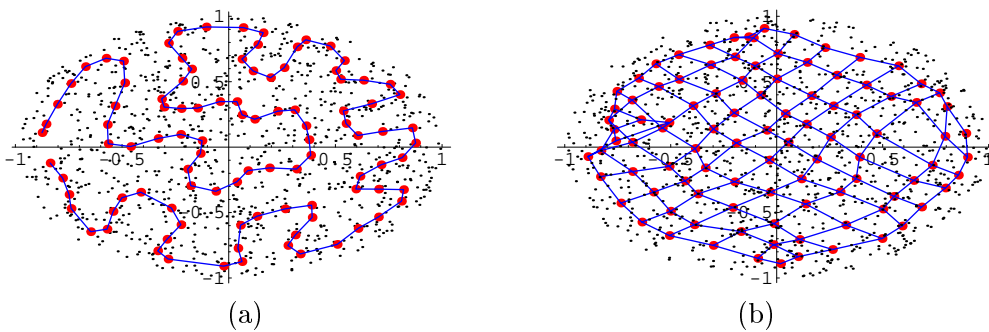


Figura 9: Maparea datelor generate aleator în interiorul unui cerc (a) rețea unidimensională; (b) rețea bidimensională

Aplicații ale rețelelor Kohonen. Rețelele Kohonen au fost aplicate cu succes în recunoașterea vorbirii, controlul brațelor de robot, clasificarea site-urilor Web (WebSOM), rezolvarea problemelor de optimizare combinatorială.

Controlul brațelor de robot. Fiecărei articulații a unui braț de robot îi corespunde un set de

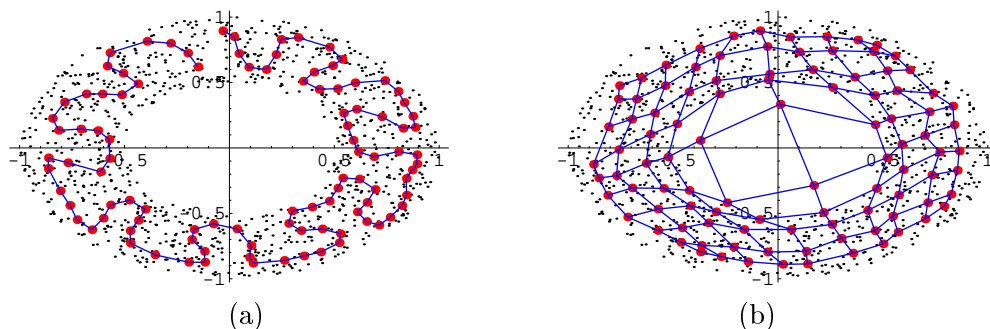


Figura 10: Maparea datelor generate aleator într-o coroană circulară (a) rețea unidimensională; (b) rețea bidimensională

unghiuri a căror valoare determină poziția extremității efectoare a brațului. O rețea Kohonen tridimensională poate fi antrenată cu date de intrare reprezentând seturi de valori ale unghiurilor corespunzătoare mișcării brațului. Rețeaua va realiza o mapare a pozițiilor extremității efectoare. Această mapare permite evitarea obstacolelor (zonele cărora nu le corespund date de intrare sunt probabil ocupate de obstacole astfel că aceste zone nu sunt mapate). În practică rețeaua va fi inițializată cu o mapare ce ține cont de poziția obstacolelor procesului de învățare revenindu-i rolul de a realiza ajustări ulterioare impuse de modificarea condițiilor de lucru sau de degradarea senzorilor.

Rezolvarea problemei comis-voiajorului. Problema comis-voiajorului (TSP - Travelling Salesman Problem) este o problemă clasică de optimizare care constă în găsirea traseului de cost minim pe care trebuie să îl parcurgă un comis-voiajor astfel încât să treacă o singură dată prin fiecare oraș dintr-un set prestabilit. Dacă se consideră că orașele pot fi reprezentate prin puncte în plan iar costul trecerii de la un oraș o la un oraș o' este proporțional cu distanța $d(o, o')$ dintre cele două orașe problema poate fi rezolvată aproximativ printr-o rețea de tip Kohonen unidimensională cu unități plasate circular (în cazul a m unități se consideră că unitatea 1 și unitatea m sunt vecine). O astfel de rețea este denumită și rețea elastică. Ideea rezolvării este de a furniza rețelei, ca date de intrare, coordonatele orașelor. Procesul de adaptare conduce la apropierea unor unități de punctele corespunzătoare orașelor și cum unitățile formează un inel acesta va tinde către un traseu. Cum mai multe unități pot fi atrase către același punct numărul de unități trebuie să fie mai mare decât numărul de orașe. Traseul obținut nu este neapărat cel optim însă unul suficient de bun. Astfel tehnica de optimizare cu rețele neuronale nu este una exactă ci una aproximativă.

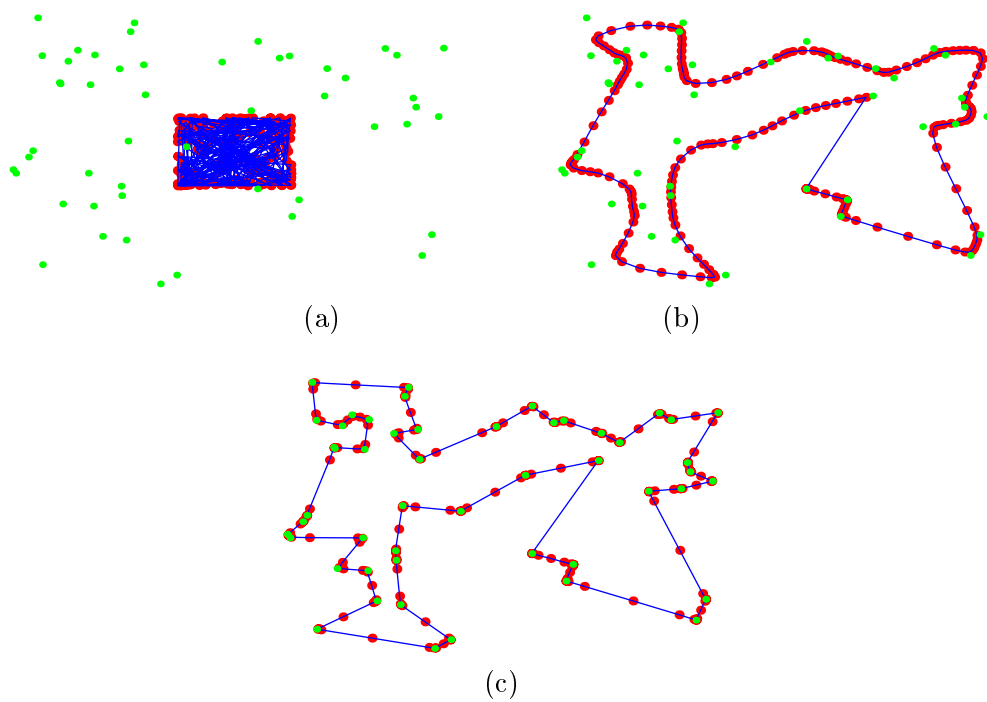


Figura 11: Rețea elastică cu 200 de unități (roșu) pentru rezolvarea problemei comis-voiajorului (50 orașe (verde)). (a) configurația inițială; (b) după 1000 iterații; (c) după 2000 iterații

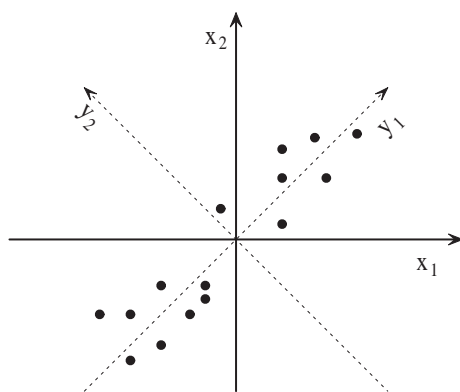
Rețele neuronale pentru analiza în componente principale

1 Analiza în componente principale

Analiza în componente principale (ACP) este o prelucrare statistică a datelor reprezentate vectorial având drept scop principal reducerea dimensiunii acestora cu păstrarea a cât mai mult din informația pe care o poartă. Această tehnică este utilă în transformarea datelor înaintea efectuării unor prelucrări de genul clasificării sau grupării precum și în prelucrarea semnalelor (de exemplu pentru compresia imaginilor).

Din punct de vedere intuitiv ACP constă în transformarea unui ansamblu de informații reprezentate prin vectori N dimensional într-un ansamblu de vectori M dimensional astfel încât noile componente ale vectorilor să exprime cât mai bine variabilitatea datelor analizate. În fig. 1 este ilustrat cazul în care $N = 2$. Inițial vectorii sunt reprezentați în sistemul de axe de coordonate x_1Ox_2 . Se observă însă că prin înlocuirea acestui sistem cu un altul, y_1Oy_2 , se poate surprinde structura setului de date reținând doar componenta corespunzătoare noii axe Oy_1 (numită componentă principală). Axa Oy_1 este direcția de-a lungul căreia datele variază cel mai mult astfel că dacă se urmărește să se realizeze o clasificare a datelor atunci ar fi suficient să se rețină doar componenta corespunzătoare ei.

În practică, N este mare (de exemplu, datele analizate pot fi un ansamblu de caracteristici ale unui activ financiar) și se impune reducerea dimensiunii vectorilor pentru a fi mai ușor de prelucrat. Determinarea componentelor principale permite eliminarea redundanței sau a zgomotului din cadrul datelor permițând ca informația relevantă să poată fi reprezentată prin vectori de dimensiune mai mică.



Ilustrarea componentelor principale

Din punct de vedere formal problema poate fi descrisă în modul următor. Se consideră că informația de prelucrat poate fi modelată printr-un vector aleator, $X \in \mathbb{R}^N$, caracterizat de o anumită repartiție. Pentru simplitate vom considera în continuare că vectorul aleator este de medie nulă ($E(X) = 0$). Se pune problema găsirii unei transformări, $T : \mathbb{R}^N \rightarrow \mathbb{R}^M$, (cu $M < N$) și a inversei sale, $S : \mathbb{R}^M \rightarrow \mathbb{R}^N$, astfel încât vectorul reconstruit, $\hat{X} = S(T(X))$, să fie cât mai apropiat de vectorul inițial X . Vectorul, Y , obținut prin transformarea prin T a lui X poate fi considerat o reprezentare condensată a acestuia (ca urmare a faptului că dimensiunea a fost redusă).

În cazul clasic transformarea T căutată este liniară: $T(X) = WX$, W fiind o matrice cu M linii și N coloane. În statistică se arată că matricea W care asigură cea mai mică eroare la reconstruire (pentru $S(Y) = W^T Y$) se obține reținând vectorii proprii ai matricii de corelație, $C = M(XX^T)$, corespunzători celor mai mari M valori proprii. Întrucât matricea de corelație este simetrică și semipozitiv definită toate valorile sale proprii vor fi reale și pozitive. Dacă valorile proprii sunt ordonate descrescător: $\lambda_1 \geq \lambda_2 \geq \dots \geq \lambda_N$ atunci linia W^i a matricii va fi vectorul propriu corespunzător lui λ_i . Vectorul Y nu este altceva decât proiecția lui X pe spațiul determinat de cei M vectori proprii selectați.

Transformarea obținută în acest mod este cunoscută și sub numele de transformarea Karhunen-Loeve și este utilizată în prelucrarea semnalelor.

Construirea transformării presupune:

- Determinarea matricii de corelație (cum media vectorului aleator este nulă ea coincide cu matricea de covarianță). În cazul în care distribuția vectorului aleator este cunoscută, matricea de corelație poate fi determinată exact iar în caz contrar se estimează pornind de la vectori obținuți prin selecție.
- Determinarea valorilor proprii și a vectorilor proprii corespunzători. Această prelucrare se poate realiza utilizând metode numerice adecvate.

În cazul în care se urmărește determinarea on-line a matricii W prin ajustarea ei pentru fiecare realizare a vectorului aleator sau în cazul în care N este mare o metodă alternativă o reprezintă utilizarea unui algoritm iterativ de învățare nesupervizată aplicat unei rețele neuronale cu arhitectură simplă.

2 Arhitectura suport

Rețelele destinate rezolvării problemelor de determinare a componentelor principale au o arhitectură foarte simplă:

- N unități de intrare;
- M unități funcționale, total conectate cu unitățile de intrare, având funcții liniare de transfer.

În aceste condiții pentru un semnal de intrare $X = (x_1, x_2, \dots, x_N)$ se obține semnalul de ieșire $Y = (y_1, y_2, \dots, y_M)$ caracterizat prin:

$$Y = W \cdot X \text{ adică } y_i = \sum_{j=1}^N w_{ij} x_j, \quad i = \overline{1, M}.$$

Semnalul "reconstruit" pornind de la Y , $\hat{X} = (\hat{x}_1, \hat{x}_2, \dots, \hat{x}_N)$ are componentele:

$$\hat{X} = W^T \cdot Y \text{ adică } \hat{x}_j = \sum_{i=1}^M w_{ij} y_i, \quad j = \overline{1, N}.$$

Dacă obținerea semnalului codificat se bazează pe "trecerea" directă prin rețea obținerea semnalului reconstruit poate fi interpretată ca trecerea prin rețea în sens invers a semnalului codificat.

3 Algoritmi de învățare

Unul dintre cei mai simpli algoritmi de învățare este cel propus de Oja. Dezvoltat inițial pornind de la o regulă simplă de învățare corelativă (regula Hebb, conform căreia ajustarea ponderii w_{ij} trebuie să fie proporțională cu produsul $x_j y_i$) el poate fi văzut și ca un algoritm de tip Widrow-Hoff aplicat cu scopul de a minimiza eroarea dintre semnalul inițial și cel reconstruit (în acest caz setul de antrenare poate fi văzut ca fiind $\{(X^1, X^1), \dots, (X^L, X^L)\}$ iar învățarea poate fi interpretată ca fiind *autosupervizată*). Regula de ajustare a ponderilor este:

$$w_{ij} = w_{ij} + \eta y_i (x_j - \hat{x}_j), \quad i = \overline{1, M}, j = \overline{1, N}. \quad (1)$$

Se observă cu ușurință că relația 1 este similară celei de la învățarea Widrow-Hoff cu diferența că eroarea este calculată la nivelul de intrare și ea este înmulțită cu semnalul de ieșire.

Se poate demonstra că prin ajustări succesive liniile matricii W tind către M primii vectori proprii ai matricii de corelație neasigurându-se însă o legătură directă între numărul de ordine al liniei și cel al vectorului propriu (când valorile proprii sunt ordonate descrescător).

Această deficiență este remediată de o variantă a algoritmului propusă de Sanger în care regula de ajustare este:

$$w_{ij} = w_{ij} + \eta y_i (x_j - \tilde{x}_j^i), \quad \tilde{x}_j^i = \sum_{k=1}^i w_{kj} y_k \quad i = \overline{1, N}, j = \overline{1, M}. \quad (2)$$

Structura generală a algoritmului, atât în varianta Oja cât și în varianta Sanger, este ilustrată în fig. 1.

```

Se inițializează matricea  $W$ 
 $t = 0$  (inițializarea indicatorului de iterație)
REPEAT
    ajustarea ponderilor pentru semnalul curent,  $X$ , folosind (1) sau (2)
     $t = t + 1$ 
    determinarea noii valori a ratei de învățare
UNTIL este îndeplinit un criteriu de oprire.

```

Figura 1: Structura generală a algoritmilor Oja și Sanger

Rețele recurente

Rețelele neuronale recurente se caracterizează prin prezența conexiunilor inverse, semnalul produs de către o unitate ajungând, fie direct fie indirect (prin intermediul altor unități), la unitatea de la care a pornit. Graful asociat unei rețele recurente conține cicluri, iar acest lucru modifică atât modul de funcționare al rețelei cât și potențialul său aplicativ. Din punct de vedere al gradului de conectivitate există:

- *Rețele total recurente.* Acestea se caracterizează prin conectivitate totală (fiecare unitate este conectată cu toate celelalte și, uneori, chiar cu sine însăși). Rețelele din această categorie sunt cunoscute și sub denumirea de rețele Hopfield (sau modelul Hopfield) și au fost dezvoltate cu scopul de a implementa *memorii asociative* și de a rezolva probleme de optimizare.
- *Rețele parțial recurente.* Acestea se caracterizează prin faptul că o unitate este conectată doar cu o parte dintre celelalte unități însă, spre deosebire de rețelele feed-forward, există și conexiuni inverse. Din această categorie fac parte *rețelele cu unități contextuale* utilizate în special în prelucrarea seriilor temporale și *rețelele celulare* utilizate în special în prelucrarea imaginilor.

Existența conexiunilor inverse face ca rețelele recurente să se comporte ca niște sisteme dinamice. Astfel semnalul de ieșire nu mai este obținut prin calcul direct pornind de la semnalul de intrare ci este nevoie de un proces iterativ prin care se estimează starea staționară către care tinde rețeaua.

Din punct de vedere al modului de funcționare, rețelele parțial recurente pot fi văzute ca și cazuri particulare ale rețelelor total recurente, astfel că este suficient ca principiul funcționării să fie ilustrat pentru acestea din urmă.

1 Rețele total recurente. Modelul Hopfield.

Vom ilustra modul de funcționare a unei rețele recurente pentru cazul modelului Hopfield.

Arhitectura. Modelul Hopfield este o rețea constituită din N unități total interconectate, în care fiecare unitate joacă simultan rol de unitate de intrare și de ieșire (vezi fig. 1).

El poate fi utilizat atât pentru simularea *memoriilor asociative* (sisteme dinamice ce permit stocarea informațiilor prin intermediul parametrilor lor și regăsirea acestora pornind de la exemplare incomplete sau afectate de zgomot) cât și pentru rezolvarea problemelor de optimizare combinatorială. Funcțiile de activare se aleg în conformitate cu problema ce trebuie rezolvată (de exemplu, la implementarea memoriilor asociative se utilizează în special funcția signum).

Funcționare. Prezența conexiunilor inverse face ca în deducerea relațiilor ce descriu funcționarea rețelei să se țină cont de evoluția în timp a caracteristicilor rețelei (semnale de intrare și de ieșire din unitățile funcționale). Pentru a descrie relațiile de funcționare ale rețelei, pentru fiecare neuron i vom folosi următoarele notații:

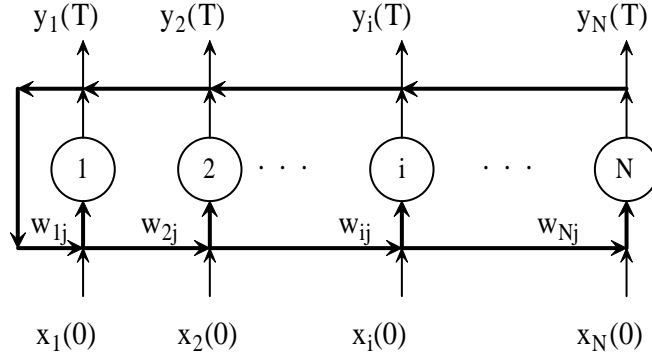


Figura 1: Arhitectura modelului Hopfield

- $x_i(t)$ - potențialul neuronului la momentul t (suma ponderată a semnalelor provenite de la celelalte unități);
- $y_i(t) = f_i(x_i(t))$ - semnalul de ieșire produs de neuron (f_i este funcția de activare);
- $I_i(t)$ - semnal de intrare primit din partea mediului;
- w_{ij} - ponderea conexiunii dintre unitatea j și unitatea i . Ansamblul tuturor ponderilor formează o matrice pătratică $W = (w_{ij})_{i=\overline{1,N}, j=\overline{1,N}}$.

Întrucât în majoritatea aplicațiilor toate unitățile au același tip de funcție de activare vom considera că $f_i = f$ pentru $i = \overline{1,N}$. Prezența conexiunilor inverse face ca semnalul produs de către o unitate să revină direct (prin bucle) sau indirect (transformat prin intermediul altor unități) la unitatea de la care a pornit. Din acest motiv funcționarea constă de fapt în evoluția stării rețelei până în momentul atingerii unei stări staționare (care va fi interpretată ca răspunsul rețelei). Orice rețea recurentă poate fi modelată printr-un *sistem dinamic* a cărui evoluție poate fi descrisă în timp discret (prin intermediul unui sistem de ecuații cu diferențe - relații de recurență) sau în timp continuu (prin intermediul unui sistem de ecuații diferențiale).

Evoluție în timp discret. Este adecvată situației în care rețeaua va fi simulată soft. Să considerăm că la un moment dat, t , starea rețelei este determinată de către vectorul $Y(t) = (y_1(t), \dots, y_N(t))$ al semnalelor pe care le produc unitățile. Există două strategii de modificare a stării rețelei:

- *Asincronă.* La un moment dat o singură unitate (i^*) își schimbă starea, astfel că evoluția stării rețelei poate fi descrisă de:

$$\begin{cases} y_i(t+1) = f\left(\sum_{j=1}^N w_{ij}y_j(t) + I_i(t)\right) & i = i^* \\ y_i(t+1) = y_i(t) & i \neq i^* \end{cases} \quad (1)$$

Alegerea unității i^* se poate efectua într-o manieră aleatoare (prin selecție fără revenire a unui indice din $\{1, \dots, N\}$) sau într-o manieră secvențială (prima dată se selectează unitatea 1, după aceea unitatea 2 ș.a.m.d).

- *Sincronă.* Unitățile își schimbă simultan starea:

$$y_i(t+1) = f \left(\sum_{j=1}^N w_{ij} y_j(t) + I_i(t) \right), \quad i = \overline{1, N} \quad (2)$$

O astfel de evoluție poate fi implementată cu ușurință în paralel.

Pentru a putea implementa funcționarea rețelei, relațiile (1) și (2) trebuie completate cu starea inițială ($Y(0) = Y^0$) și cu o condiție de oprire de tipul $\|Y(t+1) - Y(t)\| < \epsilon$ ($\|\cdot\|$ reprezintă o normă în R^N iar $\epsilon > 0$ este o măsură a erorii apriori acceptată pentru aproximarea *punctului fix* al procesului iterativ).

Evoluție în timp continuu. Este adecvată pentru a modela funcționarea implementărilor hard. În implementarea prin circuite electrice fiecare unitate este realizată dintr-un circuit care conține un amplificator (modelează funcția de activare, f) precum și un rezistor (r_i) conectat în paralel cu un condensator (C_i) (vezi figura 2). Starea fiecărei unități, x_i , reprezintă tensiunea de intrare, iar y_i reprezintă tensiunea de ieșire din amplificator. Unitatea i este conectată cu unitatea j prin intermediul unui rezistor, a cărui rezistență, R_{ij} , determină ponderea conexiunii.

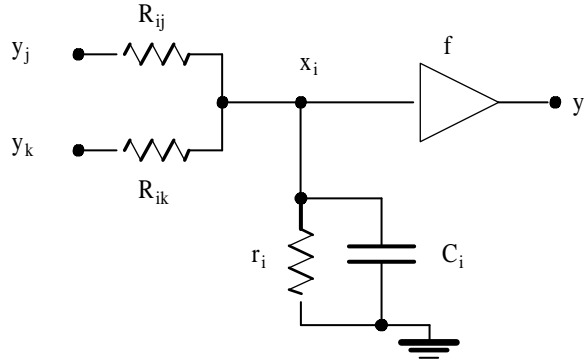


Figura 2: Circuit pentru implementarea unei unități și a conexiunii cu alte unități

Cu aceste notații ecuațiile circuitului pot fi scrise:

$$\tau_i \frac{dx_i(t)}{dt} = -x_i(t) + \sum_{j=1}^N w_{ij} f(x_j(t)) + I_i(t), \quad i = \overline{1, N} \quad (3)$$

unde $\tau_i = R_i C_i$, $1/R_i = 1/r_i + \sum_{i=1}^N 1/R_{ij}$ și $w_{ij} = R_i/R_{ij}$. Pentru a simplifica relațiile se consideră că $\tau_i = 1$.

În ambele variante, pentru a putea determina răspunsul rețelei (astfel încât rețeaua să poată rezolva o sarcină computațională) este necesar ca procesul de evoluție să se *stabilizeze* într-o *stare staționară*, $X = (x_1, \dots, x_N)$, care verifică

$$x_i = \sum_{j=1}^N w_{ij} f(x_j) + I_i, \quad i = \overline{1, N}. \quad (4)$$

Dacă se consideră ca starea rețelei este reprezentată de vectorul semnalelor de ieșire, $Y = (y_1, \dots, y_N)$ atunci starea staționară verifică

$$y_i = f\left(\sum_{j=1}^N w_{ij} y_j + I_i\right), \quad i = \overline{1, N}. \quad (5)$$

Problema care apare este de a stabili în ce condiții rețeaua evoluează către o stare staționară și cum este influențat acest lucru de starea inițială. În domeniul sistemelor dinamice probleme de acest tip sunt abordate utilizând metoda Liapunov.

Proprietăți de stabilitate și funcții Liapunov. Comportarea unei rețele recurente, descrisă prin evoluția stării sale (de exemplu $X(t)$) se poate încadra într-una dintre situațiile:

- $X(t)$ tinde către o stare staționară X^* (numită și *punct fix* al dinamicii rețelei).
- $X(t)$ oscilează permanent între două sau mai multe stări posibile (comportare *periodică*).
- $\|X(t)\|$ devine din ce în ce mai mare pe măsură ce t crește.
- $X(t)$ are o comportare haotică.

Comportarea cea mai utilă, atât din perspectiva utilizării ca memorii asociative cât și pentru a rezolva probleme de optimizare este cea corespunzătoare primei situații. Din punct de vedere practic o proprietate utilă a stării staționare X^* este cea de *asimptotic stabilitate*. Din punct de vedere intuitiv, proprietatea de stabilitate poate fi ilustrată prin starea de echilibru a unei bile aflată pe o suprafață convexă (stare asimptotic stabilă), orizontală (stare stabilă) respectiv concavă (stare instabilă) (vezi figura 3).

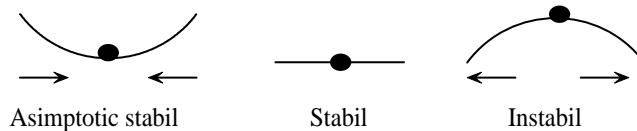


Figura 3: Proprietatea de stabilitate a unui punct de echilibru

Pentru a defini formal aceste noțiuni să considerăm un sistem descris prin

$$\frac{dX(t)}{dt} = F(X(t)), \quad t \geq 0 \quad (6)$$

iar $X^* = F(X^*)$ un punct fix al acestuia. Pentru sistemul (6) completat cu o condiție inițială $X(0) = X^0$ vom nota prin $X(t; X^0)$ unica soluție ce corespunde condiției. Asimptotic stabilitatea constă din două proprietăți:

Stabilitate:

X^* este stabilă dacă pentru orice $\epsilon > 0$ există $\delta(\epsilon) > 0$ astfel încât pentru orice X^0 cu $\|X^0 - X^*\| < \delta$ are loc $\|X(t; X^0) - X^*\| < \epsilon$ pentru orice $t > 0$.

Atractivitate:

X^* este atractivă dacă există $\delta > 0$ astfel încât pentru orice X^0 cu $\|X^0 - X^*\| < \delta$ are loc $\lim_{t \rightarrow \infty} X(t; X^0) = X^*$.

Mulțimea $\mathcal{A}(X^*) = \{X^0 | \lim_{t \rightarrow \infty} X(t; X^0) = X^*\}$ se numește *regiune de atracție* a lui X^* . Dacă $\mathcal{A}(X^*) = R^N$ atunci X^* este *global atractivă* (dacă are și proprietatea de stabilitate este *global asimptotic stabilă*) altfel este *local atractivă* (respectiv *local asimptotic stabilă*). Global asimptotic stabilitatea este o proprietate utilă în cazul problemelor de optimizare pe când local asimptotic stabilitatea este utilă în modelarea prin rețele recurente a memoriilor asociative.

Verificarea proprietăților de asimptotic stabilitate pe baza definițiilor este dificilă când soluția nu este cunoscută explicit (cum este cazul rețelelor neuronale). În acest caz un instrument util este metoda lui Liapunov la baza căreia stă următoarea teoremă.

Teorema de stabilitate a lui Liapunov. Dacă există o funcție $V : R^N \rightarrow R$ mărginită inferior astfel încât $\frac{dV(X(t))}{dt} < 0$ pentru orice $t > 0$ atunci orice soluție staționară, X^* , a lui (6) este asimptotic stabilă.

Funcția V se numește funcție Liapunov și este într-un fel analoagă noțiunii de energie din fizică, în sensul că X^* este un punct de minim al lui V iar o poziție de echilibru stabil (vezi figura 3) are asociată o energie minimă.

Rezultatele de mai sus au corespondent și pentru sistemele discrete de forma:

$$X(t+1) = -X(t) + F(X(t))$$

diferența principală fiind dată de faptul că derivata funcției Liapunov este înlocuită cu o diferență de forma: $V(X(t+1)) - V(X(t))$.

Principalele rezultate privind existența funcțiilor Liapunov pentru rețele neuronale sunt:

Funcție Liapunov pentru rețele cu dinamică discretă asincronă (1). Dacă $w_{ij} = w_{ji}$ pentru orice $i \neq j$, $w_{ii} = 0$ pentru orice i , f este funcția signum (cu valori în $\{-1, 1\}$) sau Heaviside (cu valori în $\{0, 1\}$), iar semnalul de intrare este constant ($I_i(t) = I_i$) atunci

$$V(y_1, \dots, y_N) = -\frac{1}{2} \sum_{i,j=1}^N w_{ij} y_i y_j - \sum_{i=1}^N y_i I_i \quad (7)$$

este funcție Liapunov pentru (1), singurele soluții asimptotic stabile fiind punctele staționare.

Funcție Liapunov pentru rețele cu dinamică continuă (3). Dacă $w_{ij} = w_{ji}$ pentru orice $i \neq j$, $\tau_i = 1$ pentru orice i , f este funcție diferentiabilă strict crescătoare, iar semnalul de intrare este constant ($I_i(t) = I_i$) atunci

$$V(x_1, \dots, x_N) = -\frac{1}{2} \sum_{i,j=1}^N w_{ij} f(x_i) f(x_j) - \sum_{i=1}^N f(x_i) I_i + \sum_{i=1}^N \int_0^{f(x_i)} f^{-1}(z) dz \quad (8)$$

este funcție Liapunov pentru (3), iar singurele soluții asimptotic stabile sunt punctele staționare.

2 Memorii asociative

O memorie asociativă este un sistem de stocare a informației care permite regăsirea acesteia pe baza conținutului. Spre deosebire de memoriile adresabile clasice unde informația este stocată localizat și regăsirea se bazează pe cunoașterea adresei unde a fost stocată, în memoriile asociative informația este stocată în manieră distribuită iar regăsirea se bazează pe indicii reprezentate de porțiuni din informație sau variante afectate de zgomot ale acesteia. Memoriile asociative pot fi utilizate pentru regăsirea informației pe baza conținutului. Un exemplu simplu este cel al stocării unor șabloane (de exemplu reprezentări ale unor caractere) și al regăsirii acestora pornind de la variante alterate ale acestora. Principiul memoriilor asociative este mai apropiat de cel al memoriei umane decât modul de funcționare a memoriilor adresabile.

Memoriile asociative pot fi implementate în hardware (implementări de natură electronică sau optică) sau pot fi simulate soft. Deși prima varianta este cea cu mai mare potențial practic în continuare vom analiza simularea soft a memoriilor asociative utilizând modelul Hopfield.

Vom considera că datele care trebuie stocate sunt codificate sub forma unor vectori N -dimensionali ale căror elemente aparțin mulțimii $\{-1, 1\}$. Dacă datele de stocat reprezintă pattern-uri grafice reprezentate prin matrici de pixeli atunci vectorul N -dimensional se obține prin liniarizarea matricii și prin asocierea valorii -1 fiecărui pixel inactiv și a valorii 1 fiecărui pixel activ.

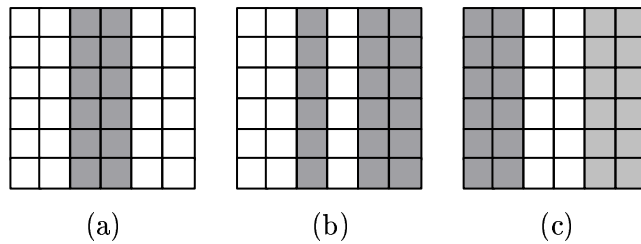


Figura 4: Exemple de șabloane

În Figura 4 sunt ilustrate câteva șabloane reprezentate pe matrici 6×6 . Acestor șabloane le corespund vectori cu $N = 36$ componente. De exemplu, pentru șablonul (a) vectorul asociat este $(-1, -1, 1, 1, -1, -1, -1, -1, 1, 1, -1, -1, -1, -1, 1, 1, -1, -1, -1, -1, 1, 1, -1, -1, -1, -1, 1, 1, -1, -1)$

Ca în orice memorie și în memoriile asociative trebuie asigurate două mecanisme: de stocare a informațiilor și de regăsire a acestora.

Stocarea informațiilor. Dacă se dorește stocarea unor vectori N -dimensionali atunci trebuie utilizată o rețea total interconectată constituită din N neuroni. În acest caz ponderile conexiunilor pot fi organizate într-o matrice pătratică, $W = (w_{ij})_{i=1, \dots, N, j=1, \dots, N}$. Stocarea unui set de vectori, $\{X^1, \dots, X^L\} \in \{-1, 1\}$ este echivalentă cu alegerea ponderilor astfel încât acești vectori să corespundă unor stări staționare ale dinamicii rețelei. Rezultatele din secțiunea anterioară afirmă că dacă matricea ponderilor este simetrică și se lucrează cu o dinamică asincronă atunci punctele fixe sunt asimptotic stabile. Aceasta va permite ca pornind din configurații aflate în regiunea de atracție a punctelor fixe să se ajungă la acestea prin dinamica naturală a rețelei.

Cele mai cunoscute metode de determinare a ponderilor sunt: regula Hebb și regula pseudo-inversei (cu varianta sa iterativă reprezentată de algoritmul Diederich-Opper).

Regula Hebb. Este cea mai simplă regulă de stocare și se bazează pe principiul lui Hebb care afirmă

că tăria sinapsei dintre doi neuroni activați simultan crește. Modalitatea de calcul a ponderilor este în acest caz:

$$w_{ij} = \frac{1}{N} \sum_{l=1}^L x_i^l x_j^l, \quad i = \overline{1, N}, j = \overline{1, N} \quad (9)$$

Dacă se dorește ca rețeaua să nu conțină autoconexiuni atunci elementele diagonalei principale a matricii de ponderi se setează explicit pe 0 ($w_{ii} = 0$)

Se poate verifica prin calcul direct că dacă vectorii de stocat sunt ortogonali doi câte doi ($(X^k)^T \cdot X^l = 0$ pentru orice $k \neq l$) atunci elementele setului $\{X^1, \dots, X^L\}$ vor fi puncte fixe ale dinamicii sistemului. Condiția de ortogonalitate semnifică, din punct de vedere practic, că vectorii sunt necorelați, deci suficient de diferiți între ei. De exemplu vectorii corespunzători șabloanelor (a) și (b) din Figura 4 sunt ortogonali (numărul pozițiilor în care diferă coincide cu numărul pozițiilor în care coincid). În schimb șabloanele (a) și (c) nu pot fi considerate necorelate întrucât una este complementara celeilalte. În acest caz produsul scalar este $-N$.

Dacă N este impar condiția de ortogonalitate nu poate fi satisfăcută exact. În acest caz este suficient ca produsul scalar să fie suficient de mic (de exemplu 1).

Regula pseudo-inversei. Permite stocarea ca puncte fixe nu numai a vectorilor ortogonali doi câte doi ci a mulțimilor de vectori liniar independenți. Modul de calcul al ponderilor este în acest caz:

$$w_{ij} = \frac{1}{N} \sum_{l,k} x_i^l (Q^{-1})_{lk} x_j^k, \quad i = \overline{1, N}, j = \overline{1, N} \quad (10)$$

unde $(Q^{-1})_{lk}$ este elementul de pe linie l coloana k a inversei matricii Q ale cărei elemente sunt de forma:

$$Q_{kl} = \frac{1}{N} \sum_{i=1}^N x_i^k x_i^l \quad (11)$$

Se poate verifica că dacă matricea Q este inversabilă atunci toate elementele setului $\{X^1, \dots, X^L\}$ sunt puncte fixe ale dinamicii rețelei.

Pentru a evita calculul matricii inverse s-a dezvoltat un algoritm iterativ ce permite aproximarea acesteia și a cărei structură este apropiată de cea a algoritmului Widrow-Hoff.

```

t := 0
Se inițializează matricea W(0) folosind regula Hebb
REPEAT
  FOR l := 1, L DO
    y_i^l := sum_{j=1}^N w_{ij}(t) x_j^l, i = overline{1, N}
    w_{ij}(t+1) := w_{ij}(t) + 1/N (x_i^l - y_i^l) x_j^l, i = overline{1, N}, j = overline{1, N}
  t := t + 1
UNTIL ||W(t) - W(t-1)|| < epsilon

```

Figura 5: Algoritmul Diederich-Opper

Regăsirea informației. Regăsirea informației este asigurată prin evoluția naturală a rețelei către unul dintre punctele sale fixe (printre care se află și vectorii stocați) în condițiile în care starea inițială a rețelei este setată pe indicul pornind de la care se dorește regăsirea. În cazul unui simulator de memorie asociativă regăsirea va consta în fixarea stării inițiale: $y_i(0) = x_i^s$ ($i = \overline{1, N}$), X^s fiind vectorul corespunzător indicului, și în efectuarea procesului iterativ:

$$y_i(t+1) = \operatorname{sgn} \left(\sum_{j=1}^N w_{ij} y_j(t) \right), \quad i = \overline{1, N}$$

până când se atinge starea staționară ($Y(t+1) = Y(t)$ sau distanța dintre aceștia este suficient de mică).

Întrucât regulile de stocare prezentate mai sus conduc toate la matrici simetrice de ponderi, dacă se lucrează cu dinamică asincronă rezultatele teoretice referitoare la asimptotic stabilitatea stărilor staționare garantează faptul că se va ajunge la o stare staționară.

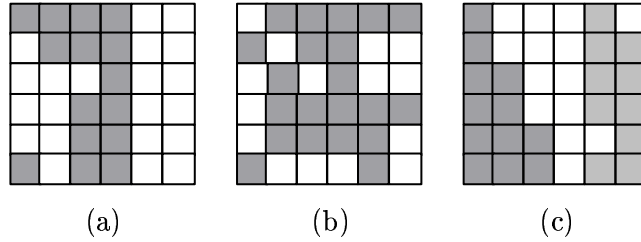


Figura 6: Variante incomplete sau afectate de zgomot

În figura 6 sunt ilustrate trei exemple de indicii de la care se poate iniția regăsirea șabloanelor stocate. Acestea sunt obținute prin modificarea aleatoare a unor poziții din șablonul (a) (fig. 4): varianta (a) este obținută prin modificarea a maxim 25% dintre poziții, varianta (b) este obținută prin modificarea a maxim 50% dintre poziții iar varianta (c) este obținută prin modificarea a maxim 75% dintre poziții. Pentru o rețea ale cărei ponderi au fost stabilite pe baza șabloanelor (a) și (b) din figura 4, pornind de la indiciul (a) sau de la indiciul (b) (fig. 6) se ajunge într-o singură iterație la șablonul stocat (a). Pornind de la indiciul (c) se ajunge însă la complementarul primului șablon stocat (vezi fig. 4 (c)).

Capacitatea de stocare. Cantitatea de informație care poate fi stocată și regăsită este denumită capacitate de stocare. Pentru memoriile asociative de tip Hopfield capacitatea de stocare poate fi definită în funcție de eroarea acceptată în faza de regăsire. Dacă se dorește ca informația să poată fi regăsită exact atunci capacitatea de stocare are ordinul $O(N/(4 \ln N))$. Dacă în faza de regăsire se acceptă prezența cu o anumită probabilitate (de exemplu $P_{err} = 0.005$) a unor componente eronate (valori 1 și -1 inversate) capacitatea de stocare este de ordinul $0.15N$.

Atracori paraziți. Unul dintre principalele dezavantaje ale memoriilor asociative de tip Hopfield este faptul că pe lângă datele care se doresc a fi explicit stocate se stochează în mod implicit și altele. De exemplu se observă ușor că aplicând regula Hebb prin stocarea unui vector se stochează implicit și complementarul său (de exemplu la stocarea $(1, -1, 1)$ se stochează și $(-1, 1, -1)$). Pe lângă acești vectori complementari se mai pot stoca implicit și combinații liniare ale vectorilor din setul de memorat. Pentru evitarea atracțiilor paraziți fie se modifică regula de stocare fie dinamica de regăsire. O variantă de modificare a acesteia din urmă este aceea în care se utilizează unități funcționale cu comportare aleatoare:

$$P(y_i(t+1) = 1|Y(t)) = \frac{1}{1 + \exp(-\beta \sum_{j=1}^n w_{ij} y_j(t))}$$

$$P(y_i(t+1) = -1|Y(t)) = \frac{1}{1 + \exp(\beta \sum_{j=1}^n w_{ij} y_j(t))}.$$

Utilizarea unităților funcționale aleatoare permite evadarea din regiunile de atracție ale atractorilor nedoriți (a căror dimensiune de este de regulă mai redusă).

3 Rețele cu unități contextuale. Prelucrarea seriilor temporale.

O serie temporală este o serie de date înregistrate la momente succesive de timp care permite descrierea unei mărimi ce evoluează în timp (de exemplu prețul unui tip de acțiuni, rata de schimb valutar, temperatura atmosferică etc.). Elementele seriei pot fi valori scalare sau vectoriale. În continuare vom analiza cazul mai simplu al valorilor scalare însă cazul vectorial este principial similar.

Una dintre principalele prelucrări ce intervin în prelucrarea seriilor temporale este predicția valorii (valorilor) viitoare din serie. În scopul efectuării unei predicții este utilă punerea în evidență a unui model care surprinde dependența între valoarea viitoare a seriei și valoarea curentă și eventual cele anterioare. Pentru o serie scalară $x(t)$ un model este o funcție $F : R^{p+s} \rightarrow R$ ce satisface:

$$x(t+1) = F(x(t), x(t-1), \dots, x(t-p+1), \varphi_1, \varphi_2, \dots, \varphi_s)$$

cu φ_i parametri ce modelează factorii externi ce influențează valoarea viitoare a seriei. În funcție de proprietățile funcției F modelele sunt: liniare sau neliniare, deterministe sau nedeterministe (componentele aleatoare se introduc pentru a modela factorii necunoscuți și/sau erorile de măsurare). În statistică sunt utilizate diverse modele. Unul dintre acestea, cunoscut ca model autoregresiv de ordin p , $AR(p)$ se bazează pe relația:

$$x(t+1) = \sum_{i=0}^{p-1} \alpha_i x(t-i) + \epsilon \quad (12)$$

unde ϵ este o variabilă aleatoare cu repartiție normală și medie nulă.

Rețelele neuronale permit modelarea unor dependențe neliniare. Atunci când ordinul modelului, p , este cunoscut se pot utiliza rețele fără recurențe dar în cazul în care p nu este cunoscut rețelele recurente sunt mai adecvate.

Rețele feedforward cu ferestre temporale. Permit efectuarea de predicții în cazul în care se cunoaște numărul de valori anterioare care influențează valoarea viitoare. Arhitectura acestor rețele, ilustrată în fig.7(a), se caracterizează prin faptul că nivelul de intrare conține pe lângă unitatea ce primește semnalul curent, $x(t)$, alte $p-1$ unități care transmit semnalele anterioare: $x(t-1), \dots, x(t-p+1)$. Se poate considera că aceste unități nu comunică direct cu mediul ci își transmit succesiv semnalele primite de la prima unitate. În felul acesta dependența temporală specifică seriei este transformată într-una spațială.

Dacă pe nivelul ascuns există K unități având funcția de transfer f , semnalul produs de rețea (aproximarea următoarei valori a seriei) este:

$$y = \sum_{k=1}^K w_k^2 f\left(\sum_{j=0}^{p-1} w_{kj}^1 x(t-j)\right)$$

Întrucât rețeaua nu conține conexiuni inverse funcționarea este cea specifică unei rețele feedforward. În ceea ce privește antrenarea, aceasta poate fi asigurată aplicând algoritmul BackPropagation cu condiția ca setul de antrenare să fie pregătit adecvat. Folosind setul de valori cunoscute ale seriei: $x(1), x(2), \dots, x(p), x(p+1), \dots, x(t)$ elementele din setul de antrenare vor fi perechi de forma $((x(l), x(l-1), \dots, x(l-p+1)), x(l+1))$ pentru $l = \overline{p, t}$.

Rețele de tip Elman. Principalul dezavantaj al rețelelor cu ferestre temporale este faptul că necesită cunoașterea parametrului p . Rețelele Elman permit modelarea implicită a dependenței temporale prin utilizarea unor unități contextuale ce joacă rolul de memorie de scurtă durată. Acest tip de rețea a fost dezvoltată în 1990, inițial pentru a învăța structura gramaticală a unui set de propoziții generate aleator pe baza unui vocabular limitat. Scopul rețelei era predicția următorului cuvânt din rețea pe baza celui curent.

Arhitectura rețelei (descrisă în fig.7(b)) constă dintr-o rețea feedforward cu un nivel ascuns completată cu un nivel de unități contextuale care comunică doar cu unitățile ascunse. Fiecărei unități ascunse îi corespunde o unitate contextuală ce conține la momentul t valoarea produsă de unitatea ascunsă corespunzătoare la momentul $t - 1$. Singurele conexiuni inverse sunt cele de la unitățile ascunse către unitățile contextuale corespunzătoare. Ponderile acestor conexiuni sunt fixate pe 1, realizându-se de fapt o copie a semnalului de ieșire a nivelului ascuns în nivelul contextual. Notând cu $h_i(t)$ semnalul produs la momentul t de către unitatea ascunsă i , cu W^x vectorul cu ponderile conexiunilor dinspre unitatea de intrare către nivelul ascuns, cu W^c matricea ponderilor conexiunilor directe dintre unitățile contextuale și cele ascunse și cu W^2 vectorul cu ponderi ale conexiunilor către nivelul de ieșire, semnalul de ieșire, corespunzător intrării $x(t)$ se calculează prin:

$$y = \sum_{k=1}^K w_k^2 h_k(t)$$

$$h_k(t) = f \left(w_k^x x(t) + \sum_{j=1}^K w_{kj}^c h_j(t-1) \right)$$

Se consideră că $h_j(0) = 0$. Deși sunt prezente conexiuni inverse funcționarea nu este de tip dinamic. Ordinul modelului nu apare explicit în arhitectura rețelei însă abilitatea ei de predicție este influențată de numărul de unități ascunse.

Întrucât ponderile conexiunilor inverse sunt fixate antrenarea este similară cu cea din cazul rețelelor feedforward. Setul de antrenare conține perechi de forma $(x(l), x(l+1))$, $l = \overline{1, t-1}$. Ca algoritmul de învățare se poate folosi BackPropagation.

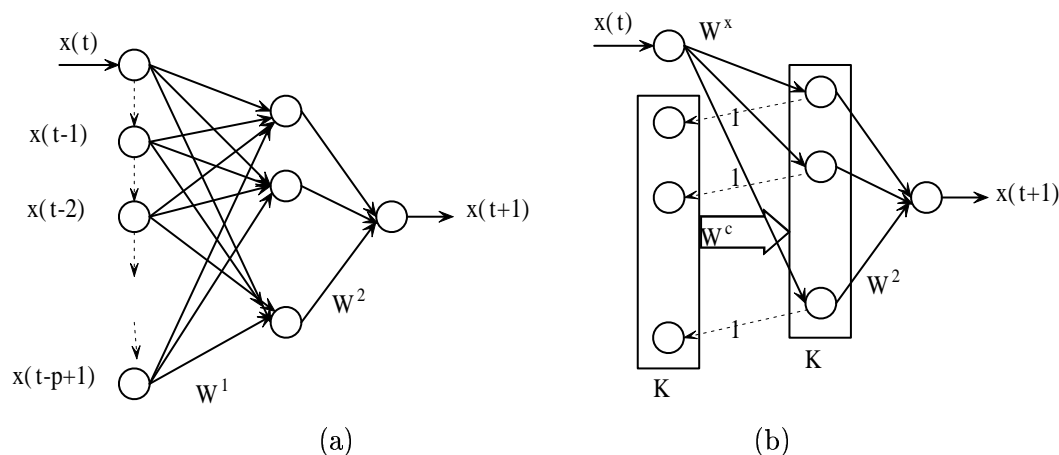


Figura 7: Arhitecturi specifice prelucrării seriilor temporale. (a) Rețea feedforward cu fereastră temporală; (b) Rețea de tip Elman.

4 Rețele celulare.

Rețelele celulare se caracterizează prin faptul că unitățile funcționale (care, la fel ca în cazul modelului Hopfield, sunt în același timp unități de intrare și de ieșire) sunt plasate în nodurile unei grile geometrice (similar nivelului de unități funcționale ale rețelelor de tip Kohonen) și sunt conectate doar cu unitățile din vecinătatea lor. Aceasta conectivitate locală face ca aceste rețele să poată fi ușor implementate prin circuite electronice. Aceasta permite realizarea unor chip-uri care rezolvă rapid anumite probleme (de exemplu, prelucrări de imagini). Pe de altă parte, simularea soft a acestor rețele permite modelarea unor fenomene neliniare, a unor dinamici haotice sau a unor sisteme fizice.

Arhitectura. Ca și în cazul rețelelor de tip Kohonen cel mai frecvent model este cel bazat pe o grilă bidimensională în nodurile căreia sunt plasate unitățile funcționale. Fiecare unitate poate fi astfel identificată prin poziția ei în cadrul grilei: $p = (i, j) \in \{1, \dots, n\} \times \{1, \dots, n\} = \mathcal{L}$ și are asociat un set de vecini. Vecinătatea de ordin s a unității p se definește utilizând o funcție distanță: $V_s(p) = \{q \in \mathcal{L} | d(p, q) \leq s\}$. Se poate utiliza distanța euclidiană sau distanța Manhattan. Fiecare unitate p este conectată cu toate unitățile din $V_s(p)$. În figura 8 este ilustrată arhitectura unei rețele cu 25 de unități bazată pe o grilă pătratică și vecinătăți de ordin 1.

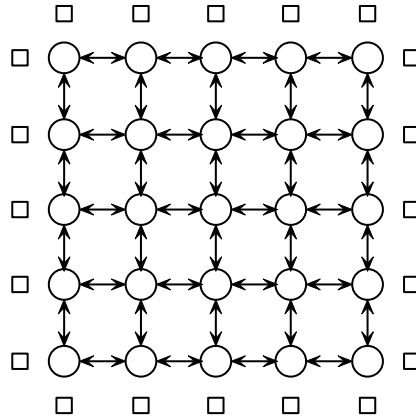


Figura 8: Rețea celulară cu grilă pătratică și vecinătăți de ordin 1 .

Funcționare. Funcția de transfer cel mai frecvent utilizată la rețelele celulare este cea rampă: $f(u) = (|u + 1| - |u - 1|)/2$. Pentru a descrie relațiile de funcționare ale rețelei folosim următoarele notații:

- $X(t) = \{x_p(t) | p \in \mathcal{L}\}$ reprezintă ansamblul semnalelor de intrare în unitățile funcționale;
- $Y(t) = \{y_p(t) | p \in \mathcal{L}\}$ reprezintă ansamblul semnalelor de ieșire, $y_p(t) = f(x_p(t))$;
- $U(t) = \{u_p(t) | p \in \mathcal{L}\}$ reprezintă ansamblul semnalelor de control transmise unităților;
- $I(t) = \{i_p(t) | p \in \mathcal{L}\}$ reprezintă ansamblul pragurilor corespunzătoare unităților;
- a_{pq} este ponderea conexiunii dintre unitatea q și unitatea p ;
- b_{pq} este ponderea conexiunii de la componenta q a semnalului de control la unitatea funcțională p ;

Cu aceste notații funcționarea rețelei poate fi descrisă prin:

$$\frac{dx_p(t)}{dt} = -x_p(t) + \sum_{q \in V(p)} a_{pq}y_q(t) + \sum_{q \in V(p)} b_{pq}u_q(t) + i_p(t), \quad p \in \mathcal{L} \quad (13)$$

Pentru unitățile aflate pe frontieră se poate considera că ele primesc semnale și de la niște unități fictive (marcate în figura 8 prin pătrate). Semnalul pe care unitatea p de pe frontieră îl primește de la unitatea fictivă corespunzătoare va fi notat cu z_p . Alegerea valorii pentru aceste semnale depinde de problema pentru care se proiectează rețeaua însă în multe aplicații se consideră că $z = 0$.

Relația (13) poate fi simplificată dacă ponderile conexiunilor dintre unitățile vecine nu depind de poziția acestora. Aceasta înseamnă că pentru o unitate $p = (i, j)$ ponderea conexiunii dintre ea și unitatea vecină $q = (i-1, j)$ este aceeași cu ponderea conexiunii dintre unitatea $p' = (i', j')$ și unitatea $q' = (i'-1, j')$. Astfel ponderea unei conexiuni depinde doar de poziția relativă a celor două unități vecine și nu de poziția lor absolută în cadrul rețelei: $a_{pq} = a_{p'q'}$. Valoarea comună a celor două ponderi se notează cu $a_{-1,0}$.

Astfel de rețele se numesc rețele celulare cu șabloane independente de poziție ("cloning template cellular neural network").

Dacă se lucrează cu vecinătăți de ordinul 1, de forma:

$$V_1(i, j) = \{(i-1, j-1), (i-1, j), (i-1, j+1), (i, j-1), (i, j), (i, j+1), (i+1, j-1), (i+1, j), (i+1, j+1)\}$$

parametrii lor sunt reprezentați de două matrici șablon:

$$A = \begin{bmatrix} a_{-1,-1} & a_{-1,0} & a_{-1,1} \\ a_{0,-1} & a_{0,0} & a_{0,1} \\ a_{1,-1} & a_{1,0} & a_{1,1} \end{bmatrix} \quad B = \begin{bmatrix} b_{-1,-1} & b_{-1,0} & b_{-1,1} \\ b_{0,-1} & b_{0,0} & b_{0,1} \\ b_{1,-1} & b_{1,0} & b_{1,1} \end{bmatrix} \quad (14)$$

Presupunând că toate unitățile au asociată aceeași valoare a pragului, I , numărul total de parametri ai rețelei este 19 fapt ce facilitează procesul de determinare a acestora.

Cu aceste notații sistemul de ecuații (13) poate fi rescris într-o formă mai simplă:

$$\frac{dx_{i,j}(t)}{dt} = -x_{i,j}(t) + \sum_{(k,l) \in V^*} a_{k,l}y_{i+k,j+l}(t) + \sum_{(k,l) \in V^*} b_{k,l}u_{i+k,j+l}(t) + I, \quad i, j \in \{1, \dots, n\} \quad (15)$$

cu

$$V^* = \{(-1, -1), (-1, 0), (-1, 1), (0, -1), (0, 0), (0, 1), (1, -1), (1, 0), (1, 1)\}$$

La simularea soft a acestor rețele sistemul (13) sau sistemul (15) completat cu o condiție inițială $x_p(0) = x_p^0$, $p \in \mathcal{L}$ se rezolvă numeric (utilizând de exemplu metoda Euler explicită). În aceste condiții răspunsul rețelei se obține efectuând procesul iterativ:

$$x_p(t+1) = (1-h)x_p(t) + h\left(\sum_{q \in V(p)} a_{pq}y_q(t) + \sum_{q \in V(p)} b_{pq}u_q(t) + i_p(t)\right), \quad p \in \mathcal{L}$$

respectiv

$$x_p(t+1) = (1-h)x_p(t) + h\left(\sum_{(k,l) \in V^*} a_{k,l}y_{i+k,j+l}(t) + \sum_{(k,l) \in V^*} b_{k,l}u_{i+k,j+l}(t) + I\right), \quad i, j \in \{1, \dots, n\}$$

Parametrul h din relațiile de mai sus reprezintă pasul de integrare utilizat de metoda numerică.

Utilizarea în prelucrarea imaginilor. Rețelele celulare cu șabloane independente de poziție pot fi utilizate pentru implementarea unor filtre din prelucrarea imaginilor alb-negru. Presupunem că imaginea care trebuie prelucrată este constituită din $n \times n$ pixeli și este codificată printr-o matrice Q ale cărei elemente corespund pixelilor (-1 pentru un pixel alb și 1 pentru un pixel negru).

Alegând adecvat șabloanele A și B , semnalul de control U , pragul I , valorile de pe frontieră, z și starea inițială a rețelei pot fi implementate diverse filtre din prelucrarea imaginilor. Pentru unele prelucrări pot exista mai multe variante de determinare a parametrilor. La prelucrările simple, determinarea parametrilor se bazează pe regulile locale de transformare a pixelilor ce asigură transformarea dorită a imaginii (de exemplu la eliminarea zgomotului cea mai simplă regulă este cea a majorității: un pixel alb încojurat de pixeli negri se transformă în negru și invers). În cazul unor prelucrări complexe determinarea parametrilor se realizează prin învățare (în cazul rețelelor celulare învățarea se bazează pe diverse metode de optimizare, cum ar fi algoritmi evolutivi).

Câteva dintre cele mai simple prelucrări de imagini și parametrii rețelei celulare corespunzătoare sunt prezentați în continuare.

Determinarea contururilor. Se aleg următorii parametri:

$$A = \begin{bmatrix} 0 & 0 & 0 \\ 0 & 1 & 0 \\ 0 & 0 & 0 \end{bmatrix} \quad B = \begin{bmatrix} -1 & -1 & -1 \\ -1 & 8 & -1 \\ -1 & -1 & -1 \end{bmatrix} \quad (16)$$

$I = -1$, $z = 0$. Semnalul de control este reprezentat de imaginea de prelucrat ($U(t) = Q$) iar starea inițială a rețelei poate fi aleasă arbitrar.

Eliminarea zgomotului (pixeli izolați). Se aleg următorii parametri:

$$A = \begin{bmatrix} 0 & 0 & 0 \\ 0 & 2 & 0 \\ 0 & 0 & 0 \end{bmatrix} \quad B = \begin{bmatrix} 1 & 1 & 1 \\ 1 & 1 & 1 \\ 1 & 1 & 1 \end{bmatrix} \quad (17)$$

$I \in (-1, 1)$, $z = 0$. Semnalul de control este reprezentat de imaginea de prelucrat ($U(t) = Q$) iar starea inițială a rețelei se fixează pe 0 ($x_{i,j}(t) = 0$ pentru orice i și j).

SISTEM DE RECUNOAȘTERE AUTOMATĂ A VORBIRII BAZAT PE REȚELE NEURONALE FUZZY

În această lucrare este prezentat un sistem de recunoaștere automată a vorbirii bazat pe rețele neuronale fuzzy, ca elemente de clasificare și recunoaștere a eșantioanelor vocale prezentate sistemului. Sistemul prezentat este capabil să realizeze recunoașterea frazelor discrete, independent de vorbitor, pe baza unor serii de timp ale rapoartelor de formați. Sistemul a fost implementat pe un PC cu soundcard și microfon, iar aplicațiile software utilizate au fost programul GoldWave, pentru înregistrarea on-line a eșantioanelor vocale și mediul de programare MatLab, pentru prelucrarea semnalelor și simularea rețelei neuronale.

1 Introducere

Interesul actual generat de rețelele neuronale fuzzy este determinat în mare parte de speranța că aceste tehnologii, bazate pe modelul creierului uman, vor fi capabile să rezolve categorii de probleme aflate acum mult dincolo de capacitățile de rezolvare ale calculatoarelor din ziua de azi [1] (funcții extrem de complexe, din punct de vedere al posibilităților de calcul, pentru calculatoarele numerice convenționale, cum sunt înțelegerea vorbirii sau a stimulilor vizuali, sunt mult mai eficient realizate de sistemele neurologice ale organismelor biologice). Studiul rețelilor neuronale a determinat apariția unor categorii de arhitecturi de rețele care să modeleze capacitățile creierului uman.

Recunoașterea automată a vorbirii reprezintă un element important în sistemele de înțelegere a vorbirii, care tinde să îmbunătățească ușurința cu care oamenii interacționează cu calculatorul. Astfel, comunicația cu calculatorul prin vorbire permite utilizatorilor accesarea de la distanță a serviciilor furnizate de calculator chiar și prin linii telefonice standard. Cerințele pentru aceste tehnologii sunt determinate în principal de rațiuni economice, dar și de dezvoltarea de noi tehnologii în domeniul telefoniei.

Astfel recunoașterea automată a vorbirii se referă la utilizarea unor instrumente pentru a realiza identificarea unor elemente lingvistice prezente în exprimarea limbajului uman. Sistemele de recunoaștere automată a vorbirii reprezintă primul pas în dezvoltarea unui sistem care recunoaște cuvintele unei persoane, interpretează sensul și furnizează un răspuns adecvat.

Actualmente atât din rațiuni economice, cât și financiare se dorește realizarea unor sisteme de recunoaștere automată a vorbirii capabile să învețe rapid noi seturi de eșantioane vocale, independent de vorbitor sau de limbaj. Ideal, eșantioanele vocale trebuie memorate într-o manieră modulară astfel încât aceste submulțimi de informații să poată fi combinate în pachete adaptate fiecărei noi aplicații, fără necesitatea unei reinstruirii pentru extinderea sistemului.

2 Etapele procesului de recunoaștere automată a vorbirii

Procesul de recunoaștere automată a vorbirii poate fi descris ca un proces în patru etape și anume: înregistrarea eșantioanelor vocale, prelucrarea semnalelor, extragerea caracteristicilor și clasificarea exprimărilor [2].

Prima etapă este cea a înregistrării eşantioanelor vocale, în care este extrem de importantă recepția eficientă și conversia semnalului acustic provenit de la vorbitor într-un echivalent electronic care poate fi memorat pentru prelucrări ulterioare.

A doua etapă este etapa de prelucrare a semnalelor și constă în principal în analiza spectrală a semnalului electronic pentru a obține o reprezentare parametrizată care codifică informația spectrală.

Etapa a treia este etapa de extragere a caracteristicilor și se referă în principal la eliminarea informațiilor nerelevante sau redundante din prezentarea parametrizată obținută în etapa a doua. Se obține astfel o compresie a datelor și o reducere a încărcării pentru prelucrările ulterioare.

Ultima etapă este etapa de clasificare a exprimării și constă în identificarea cuvintelor rostite. Această etapă implică recunoașterea fonemelor, grupelor de foneme, cuvinte sau fraze, cu ajutorul rețelelor neuronale, a modelării Markov ascunse [3].

3 Sistem de recunoaștere automată a vorbirii bazat pe rețele neuronale fuzzy

Sistemul de recunoaștere automată a vorbirii bazat pe rețele neuronale fuzzy a fost implementat pe un PC cu soundcard și microfon, iar aplicațiile software utilizate au fost programul GoldWave, pentru înregistrarea on-line a eşantioanelor vocale și mediul de programare MatLAB, pentru prelucrarea semnalelor și simularea rețelei neuronale.

Prezentarea sistemului de recunoaștere automată (ASR – Automatic Speeck Recognition) se face pe baza celor patru etape ale procesului de recunoaștere automată a vorbirii, descrise anterior.

3.1 Înregistrarea eşantioanelor vocale

Necesitatea efectuării unor teste cât mai apropiate de realitate exclude utilizarea unor eşantioane vocale înregistrate într-un interval restrâns de timp. Este necesară deci o bază de date de eşantioane vocale înregistrate pe o perioadă mare de timp, pentru a îngloba astfel variațiile zilnice care apar în vocea unui vorbitor. Pentru optimizare, s-a utilizat un set de mai multe fraze, înregistrate într-un interval larg de timp și memorate în fișiere pe calculator.

Pentru a obține un sistem robust este important să se țină cont de diverși factori implicați în metodele utilizate privind mediul acustic, sistemul de microfoane, sistemul de transmitere și variabilitatea specifică vorbirii, astfel încât eşantionarea și memorarea semnalelor să se realizeze cu minimum de distorsiuni.

Toate eşantioanele vocale au fost numerizate utilizând placa de sunet a calculatorului. Semnalele audio au fost numerizate utilizând o rată de eşantionare de 22050 Hz cu o rezoluție de 16 biți.

3.2 Prelucrarea semnalelor

În prima etapă, semnalele vocale au fost eşantionate și convertite într-un format digital, cu o rată de eşantionare de 22050 Hz și o rezoluție de 16 biți pe eşantion. Înregistrările cu ajutorul telefonului au fost eşantionate cu o rată de 8000 Hz, de o rezoluție de 16 biți pe eşantion.

În etapa a doua s-a realizat analiza spectrală a semnalelor eşantionate, cu ajutorul unui program elaborat în limbajul MatLAB, care utilizează o fereastră Hamming de 512 puncte de eşantionare. Amplitudinea semnalului în domeniul timp a fost normalizată înainte de calcularea spectrogramei. Pragul relativ al zgomotului de fond variază puternic între eşantioanele vocale, astfel încât utilizarea unui prag fix al zgomotului de fond poate constitui o sursă de erori.

Eșantioanele vocale au fost împărțite în segmente de lungime fixată (1 s), s-a calculat spectrograma pentru fiecare segment, iar spectrograma finală a fost obținută concatenând spectrogramele rezultate pentru fiecare segment în parte.

Pentru îndeplinirea cerințelor de memorare, s-au memorat în fișierul de ieșire doar părțile din spectrogramă care reprezentau frecvențele mai mici de 5000 Hz.

Spectrograma finală obținută cu ajutorul programului elaborat în limbajul MatLAB este reprezentată în figura 1.

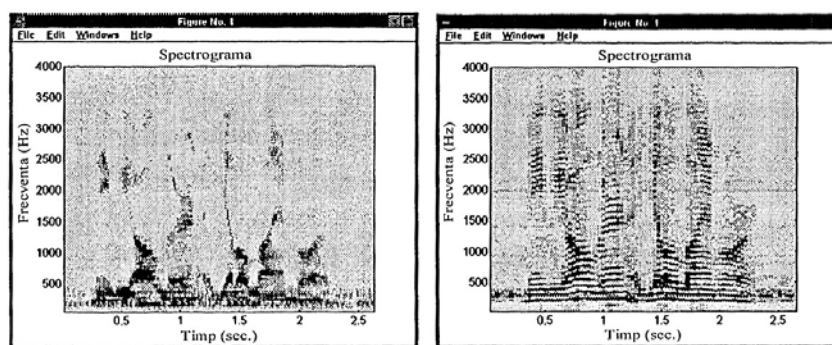


Fig. 1: Spectrograma totală a semnalului.

3.3 Extragerea caracteristicilor

Etapa a treia se referă la izolarea caracteristicilor lingvistice din spectrogramele eșantioanelor vocale, după eliminarea datelor nerelevante, pentru a reduce încărcarea în etapele de calcul ulterioare.

Pentru filtrarea zgomotelor de fond care apar evident în eșantioanele vocale s-a construit o mască de zgomot, utilizând eșantioane cu zgomot de fond prelevate la diferite intervale de timp. Pentru construcția acestei măști, s-a calculat o spectrogramă pe o secundă a zgomotului de fond eșantionat, s-a identificat amplitudinea maximă pentru fiecare bandă de frecvență din spectrogramă zgomotului, obținându-se astfel un vector-mască. Acest spectru de valori maxime ale amplitudinii zgomotului a fost scăzut din fiecare secvență de timp a spectrogramelor calculate mai sus, eliminându-se astfel orice contribuție posibilă a zgomotului de fond. Valorile negative obținute în urma calculelor au fost considerate nule. Utilizarea acestei metode de mascare a zgomotului a îmbunătățit identificarea frecvențelor formanților. Vectorii de mascare obținuți sunt prezentați în fig. 2, iar spectrograma semnalului după mascarea zgomotului de fond este indicată în fig. 3.

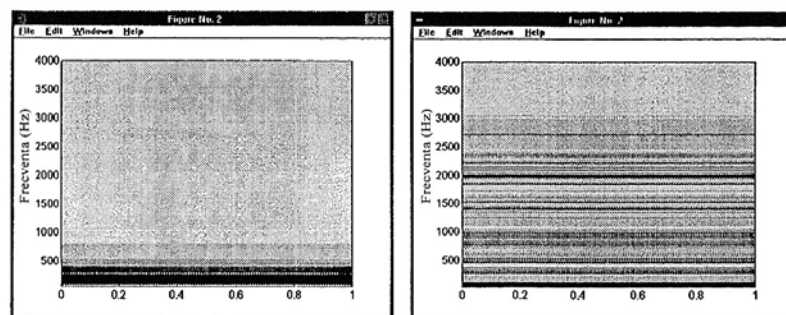


Fig. 2: Mască de zgomot în cazul înregistrării cu ajutorul microfonului/telefonului.

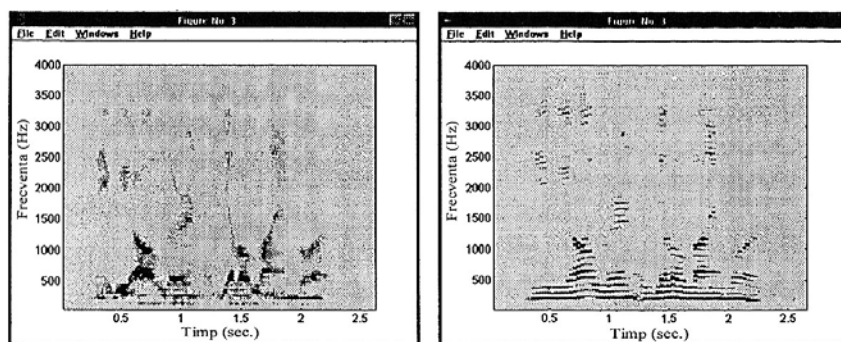


Fig. 3: Spectrograma semnalului după mascarea zgomotului.

Eliminarea perioadelor de pauză din eșantionul vocal s-a realizat pe baza unei curbe de energie pe termen scurt, obținută din spectrograma eșantionului. Fiecare punct al curbei corespunde sumei amplitudinilor în frecvență pentru o secvență de timp dată. Deoarece formații apar doar în porțiunile de eșantion în care se vorbește, este importantă izolarea acestor porțiuni pentru a obține îmbunătățirea înregistrării formaților.

Întrucât aceste porțiuni au energie relativă mai mare în comparație cu perioadele de pauză, toate secvențele de timp în care curba de energie scade sub un anumit prag (fixat la un procent din maximumul de energie din curbă) sunt eliminate.

Pentru fiecare bandă de frecvență dintr-o secvență de timp dată dintr-o spectrogramă, se compară amplitudinea frecvenței cu cele ale frecvențelor învecinate într-o fereastră de dimensiuni fixe, și în care banda de frecvență respectivă este poziționată la mijlocul ferestrei. După ce au fost identificate toate maximele locale, se memorează doar acelea cu amplitudinea cea mai mare ca fiind valori utile pentru localizarea frecvențelor formaților.

Prin procesul de separare se elimină secvențele de timp din spectrogramă care au estimări eronate ale frecvențelor formaților. Dacă prima frecvență este estimată la mai mult de 1200 HZ, sau dacă nu există trei estimări pentru o secvență dată, atunci secvența respectivă este eliminată. Rezultatul obținut reprezintă o serie de estimări considerate corespunzătoare, care sunt apoi memorate într-un vector formant.

3.4 Clasificarea exprimărilor

În această etapă, rețeaua neuronală fuzzy este utilizată pentru a clasifica vectorii reprezentând eșantioanele vocale obținuți în etapa a treia. Rețelele neuronale fuzzy bazate pe teoria rezonanței adaptive combină logica fuzzy și procesele bazate pe teoria rezonanței adaptive de instruire, rezonanță, selectarea clasei. Valorile de intrare variază continuu între zero și unu, astfel că intrările pot fi atât analogice cât și binare, sistemul fiind capabil să realizeze o instruire nesupervizată la prezentarea la intrare a unor modele arbitrare în timp ce se mențin stabilitatea și plasticitatea, utilizând complet capacitățile de memorie. Astfel arhitectura rețelelor neuronale fuzzy bazate pe teoria rezonanței adaptive diferă de cea a rețelelor neuronale obișnuite, avantajul principal fiind acela că sistemul este proiectat să funcționeze corect și autonom, să învețe într-o manieră cât mai stabilă și într-un mediu care variază continuu când este expus unei secvențe arbitrare de modele la intrare, până la utilizarea completă a capacităților de memorie [4].

Figura 4 prezintă procesul de clasificare prin trei grafice. În primul grafic se află reprezentarea ca vector raport tri-format (TRFV – Tri Formant Ratio Vector) a eșantionului vocal prezentat rețelei. Cel de-al doilea grafic indică vectorul regăsit de rețeaua propusă ca răspuns la intrarea rețelei, iar ultimul grafic indică o comparație între cei doi vectori.

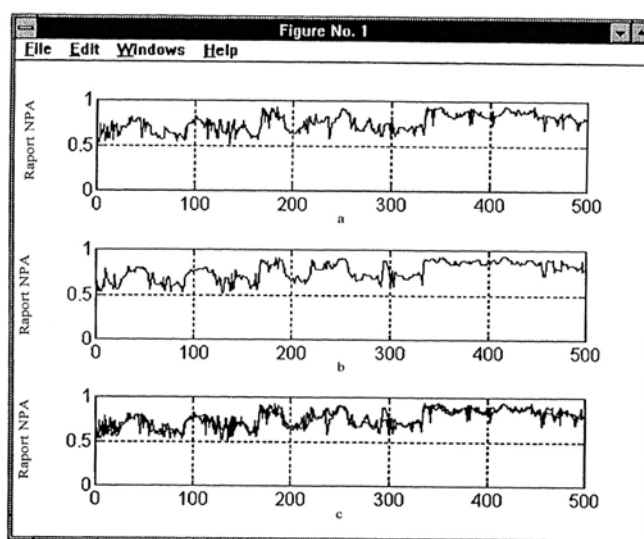


Fig. 4: Recunoașterea formelor cu ajutorul rețelei neuronale pentru un semnal obținut prin microfon.

4 Concluzii

Lucrarea demonstrează aplicabilitatea rețelelor neuronale fuzzy în cazul procesului de recunoaștere automată a vorbirii prin implementarea unui sistem care utilizează rețeaua fuzzy ca element de recunoaștere. Sistemul de recunoaștere automată a vorbirii prezentat este capabil să realizeze recunoașterea frazelor discrete, independent de vorbitor, pe baza unor serii de timp ale rapoartelor de formanți.

Procesul de conversie a semnalului acustic într-o reprezentare corespunzătoare pentru intrarea în blocul de recunoaștere a fost descris ca un proces de recunoaștere automată a vorbirii în patru etape, care include înregistrarea eșantioanelor vocale, prelucrarea semnalelor, extragerea caracteristicilor și clasificarea exprimărilor.

Au fost utilizate atât microfonul cât și telefonul în etapa de înregistrare a sunetelor pentru a măsura și compara performanțele sistemului în ambele cazuri de transmitere a semnalului. Semnalele acustice au fost numerizate și convertite într-o spectrogramă. Pentru obținerea primilor trei formanți s-a realizat reducerea zgomotelor, a perioadelor de pauză și o normalizare a amplitudinii în frecvență. Formanții au fost apoi combinați secvențial într-o reprezentare vector raport tri-format, care reduce puternic diferențele între diverse reprezentări ale frazelor rostite, diferențe datorate vârstei și sexului vorbitorului. Reprezentarea a fost apoi normalizată în gama de valori fuzzy și s-a realizat apoi o limitare a vectorului raport tri-format la dimensiunea stratului de intrare al rețelei neuronale.

Cercetări ulterioare pot fi realizate pentru a îmbunătăți analiza erorilor, pentru dezvoltarea unor tehnici de normalizare a amplitudinii în frecvență care să adapteze atenuarea spectrală a unei conexiuni telefonice. Pot fi obținute îmbunătățiri majore prin utilizarea unui sistem de testare on-line, pentru a profita de avantajul măștii de zgomot adaptată pentru fiecare eșantion vocal, și prin îmbunătățirea rezoluției temporale pentru detecta schimbările rapide în semnalul vocal prin utilizarea unei rate de eșantionare mai mari. În final, sistemul poate fi făcut mai rapid prin compilarea sa ca un program executabil.

Sistemele de recunoaștere automată a vorbirii reprezintă primul pas în dezvoltarea unui sistem care recunoaște cuvintele unei persoane, interpretează sensul și furnizează un răspuns adecvat. Cercetările efectuate în acest domeniu sunt importante deoarece dezvoltările ulterioare vor permite

interacțiunea cu calculatorul cu ajutorul vorbirii, ușurând astfel accesul persoanelor neinstruite în domeniul informaticii la resurse controlate de calculator. Aceste noi tehnologii permit executarea de tranzacții on-line, creare de documente și trimitere de faxuri prin simple dictări către un microfon atașat calculatorului, posibilitatea realizării de traduceri bi-direcționale pentru o gamă largă de limbi de circulație internațională.

Referințe

- [1] D. Dumitrescu, H. Costing. *Rețele neuronale – Teorie și aplicații*, Editura Teora, București, 1996
- [2] N. Dixon, T. Martin. *Automatic Speech & Speaker Recognition*, *IEEE Press*, New York, 1999.
- [3] W. A. Ainsworth, *Speech Recognition by Machine*, Peter Peregrinus Ltd., London, 1988.
- [4] G. Carpenter, S. Grossberg, The ART of Adaptive Pattern Recognition by a Self-Organizing Neural Network, *IEEE Computer*, March, 1991.

PRELUCRAREA ȘI ANALIZA IMAGINILOR

dr. dipl. ing. Catalin DUMITRESCU

Cuprins

1	INTRODUCERE	6
1.1	Imagini digitale	7
1.2	Structura unui sistem de prelucrare și analiza imaginilor	9
1.3	Stocarea imaginilor	12
1.3.1	Stocarea imaginilor în memorie	13
1.3.2	Stocarea imaginilor în fișiere	14
2	TEHNICI DE ÎMBUNĂTĂȚIRE A IMAGINILOR	17
2.1	Operații punctuale de modificare a contrastului	18
2.1.1	Modificarea liniară a contrastului	19
2.1.2	Modificarea neliniară a contrastului	23
2.2	Pseudocolorarea	25
2.3	Operații de contrastare bazate pe histograma imaginii	26
3	FILTRAREA LINIARĂ A IMAGINILOR	31
3.1	Filtrarea liniară de netezire	34
3.2	Filtrarea liniară de contrastare	36
3.3	Filtrarea liniară adaptivă	38
4	TRANSFORMĂRI INTEGRALE UNITARE DISCRETE	42

4.1	Generalități	42
4.2	Proprietățile transformatelor unitare unidimensionale	44
4.3	Transformata Fourier discretă	45
4.3.1	Proprietățile fundamentale ale transformatei Fourier	46
4.3.2	Transformata Fourier rapidă	49
4.4	Alte transformări	53
4.4.1	Transformata cosinus	53
4.4.2	Transformata sinus	54
5	FILTRAREA NELINIARĂ A IMAGINILOR	56
5.1	Filtrarea de ordine	57
5.1.1	Filtrul median	59
5.1.2	Filtrele de ordine ponderate și structurile multietaj	62
5.2	Filtre de ordine de domeniu	65
5.3	L-filtre	65
5.4	Aspecte de implementare	66
6	ELEMENTE DE MORFOLOGIE MATEMATICĂ	71
6.1	Transformări morfologice de bază	72
6.1.1	Transformarea Hit or Miss	72
6.1.2	Erodarea morfologică	74
6.1.3	Dilatarea morfologică	75
6.1.4	Proprietățile erodării și dilatării	77
6.1.5	Aspecte de implementare	84
6.2	Transformări morfologice derivate	85
6.2.1	Deschiderea și închiderea	85

6.2.2	Filtrele alternate secvențial	88
6.2.3	Operatori morfologici de contur	88
6.3	Extinderea morfologiei matematice la nivele de gri	89
7	METODE DE COMPRESIE A IMAGINILOR	92
7.1	Compresia imaginilor binare	93
7.1.1	Codarea entropică (Huffman)	93
7.1.2	Codarea pe flux de biți	95
7.2	Compresia imaginilor cu nivele de gri	99
7.2.1	Codarea predictivă	100
7.2.2	Compresia imaginilor cu transformate	101
7.2.3	Codarea cu arbori cuaternari	102
7.2.4	Cuantizarea vectorială	105
8	SEGMENTAREA IMAGINILOR	110
8.1	Segmentarea orientată pe regiuni	111
8.1.1	Segmentarea bazată pe histogramă	111
8.1.2	Creșterea și fuziunea regiunilor	119
8.2	Segmentarea orientată pe contururi	123
8.2.1	Metode derivative	123
8.2.2	Alte metode	128
9	PARAMETRI DE FORMĂ	130
9.1	Parametri geometrici	130
9.2	Momente statistice și invarianți	131
9.3	Semnătura formei	133

9.4	Skeletoane morfologice și generalizate	135
9.4.1	Skeletonul morfologic	135
9.4.2	Skeletonul generalizat	137
10	PRINCIPII DE IMPLEMENTARE SOFTWARE ȘI HARDWARE	139

Capitolul 1

INTRODUCERE

Prelucrarea și analiza imaginilor (numită adeseori prescurtat doar prelucrarea imaginilor) s-a născut datorită ideii și necesității de a înlocui observatorul uman printr-o mașină. Este important de precizat că analiza imaginilor a mers mai departe decât simpla înlocuire a observatorului uman, deoarece au apărut soluții novatoare pentru probleme cu care acesta nu mai fusese confruntat - ca în cazul imaginilor non-vizibile (imagini acustice, ultrasonore, radar). După cum se remarcă în [9], prelucrarea imaginilor înglobează posibilitatea de a dezvolta mașina totală de viziune, capabilă să realizeze funcțiile vizuale ale oricărei viețuitoare (desigur, după realizarea a importante dezvoltări teoretice și tehnologice).

“Image processing holds the possibility of developing the ultimate machine that could perform the visual functions of all living beings”.

Trebuie remarcată terminologia anglo-saxonă (originală), în care disciplina este denumită *Digital Image Processing*, deci prelucrarea digitală a imaginilor. Prin prelucrarea digitală a imaginilor se înțelege prelucrarea pe un calculator digital a unor date bidimensionale (imagini). Termenul cheie este cuvântul *digital*, înlocuit adesea în mod eronat în multe traduceri românești cu termenul de numeric. După cum o arată dicționarul limbii române moderne, definiția cuvântului *numeric* este aceea de

“care aparține numerelor, privitor la numere, exprimat prin numere”.

Rezultatul oricărui calcul este numeric. Termenul *digital* înseamnă însă

“ceea ce este referitor la reprezentarea informației discrete în calculatoare”

Deci atâta vreme cât acceptăm ideea că unealta de lucru în prelucrarea imaginilor este calculatorul, și acesta la rândul său este digital, atunci și prelucrarea este la rândul ei digitală, ca un caz particular al oricărei prelucrări numerice. Desigur că există însă și prelucrări de imagini care sunt analogice - așa cum sunt toate prelucrările ce au loc în cadrul lanțului de transmisie și recepție a imaginii standard de televiziune.

1.1 Imagini digitale

La început, imaginile sunt semnale, dar nu funcții temporale, ci funcții definite pe un domeniu spațial. Orice imagine este o structură bidimensională (tablou, matrice) de date. Un element al imaginii se numește *pixel* (cuvânt preluat din engleză, unde provine de la **p**icture **e**lement). Aceste date pot fi numere naturale, reale sau complexe, reprezentate însă pe un număr finit de biți. După tipul datelor din această structură bidimensională, imaginile prelucrate pot fi împărțite în mai multe categorii:

- imagini scalare, în care fiecare componentă este un scalar (un unic număr); ca exemple de astfel de imagini se pot da imaginile monocrome (în care punctele au doar două valori posibile, ce corespund unui conținut binar al imaginii, în general alb-negru) și imaginile cu nivele de gri (de tipul imaginii de luminanță de pe ecranele televizoarelor alb-negru).
- imagini vectoriale, în care fiecare componentă este un vector de numere; cazul particular cel mai de interes este acela al imaginilor color, în care vectorul are trei elemente (ce corespund celor trei componente de bază ale oricărei culori); în general, pentru imaginile multicomponentă, vectorul asociat fiecărui punct din imagine are mai multe elemente (caz ce corespunde imaginilor preluate în mai multe benzi de frecvență, așa cum sunt imaginile de teledetecție ale sateliților, imaginile de termodetecție în benzile de infraroșu,...). Tot în categoria imaginilor vectoriale intră însă și imaginile stereo (o pereche de imagini ale aceleiași scene, luate din unghiuri diferite) și secvențele de imagini.

Conform datelor prezentate în [11], dintre imaginile prelucrate în aplicații funcționale, 20 % sunt alb-negru, 32 % sunt cu nivele de gri, 20 % sunt color, 10 % sunt imagini stereoscopice și 18 % sunt secvențe de imagini.

În mod clasic, valoarea unui element al unei imaginii este o măsură a intensității luminoase în punctul considerat; acesta nu este însă decât un caz particular. După natura lor, imaginile pot fi clasificate ca imagini abstracte, imagini non-vizibile și imagini vizibile [2]. Imaginile abstracte sau modelele sunt de fapt funcții [matematice], continue sau discrete, de două variabile. Imaginile non-vizibile, care, evident, nu pot fi percepute în mod direct de ochiul uman, sunt de fapt achiziții ale unor câmpuri bidimensionale de parametri fizici

(presiune, temperatură, presiune, densitate, ...). În fine, imaginile ce pot fi percepute în mod direct de către ochiul uman (deci imaginile vizibile) sunt la rândul lor imagini optice, generate ca distribuții de intensitate luminoasă (așa ca hologramele, imaginile de interferență și difracție) sau imagini propriu-zise (de luminanță - în sensul curent al termenului, ce se referă la fotografii, desene, picturi, schițe, scheme și altele din aceeași categorie).

O altă împărțire a imaginilor scalare se poate face după semnificația ce se dă valorii numerice a pixelilor. Vom distinge astfel imagini de intensitate și imagini indexate. O imagine de intensitate este o imagine în care valoarea fiecărui pixel este o măsură directă a intensității luminoase sau a mărimii fizice preluate de senzor, ca de exemplu în imaginile cu nivele de gri. Pixelii unei imagini de intensitate pot avea orice fel de valori: reale sau naturale (depinzând dacă imaginea este sau nu cuantizată).

O imagine indexată este acea imagine în care valoarea fiecărui pixel este un indice prin care se regăsește informația de culoare asociată pixelului respectiv. Deci, pentru afișarea sau reprezentarea unei imagini indexate este necesară o informație suplimentară, de asociere între indici și culori. Această asociere se face prin intermediul tabelii de culoare. Tabela de culoare este o matrice în care fiecare linie conține descrierea unei culori (deci cele trei componente ce definesc culoarea - în mod tipic intensitățile relative de roșu, verde și albastru ce compun culoarea dată printr-un amestec aditiv). Deci tabela de culoare are trei coloane; numărul de linii al tabelii de culoare este egal cu numărul de culori din imaginea reprezentată și este în mod tipic o putere a lui doi (16, 256, ...). Indicele (valoarea pixelului) va fi numărul de ordine al liniei din tabela de culoare pe care se găsește descrierea culorii. Este evident că valorile pixelilor unei imagini indexate nu pot fi decât numere naturale (deoarece sunt indici într-o matrice).

Această tehnică este folosită și în grafica pe calculator. Afișarea imaginilor pe ecranul monitorului se face corespunzător unui anumit mod grafic, determinat din placa video a calculatorului. Un mod video definește numărul maxim de culori ce pot fi utilizate simultan și dimensiunile ecranului (în pixeli de afișaj). Culorile utilizate la un moment dat sunt grupate într-o paletă de culori de afișare. Paleta de afișare este o structură logică definită în BGI¹ (Borland Graphics Interface), pentru programare în sesiuni de tip DOS, ca:

```
struct palettetype {
    unsigned char size;
    int colors[MAXCOLORS+1]; }
```

Modificarea unei culori din paletă (o intrare a tabelului) se face cu:

```
void far setpalette(int index_culoare, int culoare);
```

¹Exemplele de cod C prezentate în lucrare corespund mediilor integrate Borland (Borland C++ 3.1, Turbo C 2.0)

Afișarea unui pixel cu o anumită culoare se face cu:

```
putpixel(int pozx, int pozy, int index_culoare);
```

Sub Windows, este suportată și specificarea directă a culorii de afișat (sub forma unui triplet RGB²), sistemul de operare aproximând culoarea respectivă cu cea mai apropiată culoare disponibilă din paleta de lucru curentă (în acest fel, utilizatorul poate neglija existența acesteia).

Pentru o imagine cu nivele de gri, componentele de roșu, verde și albastru ale fiecărei culori din paleta de culoare sunt identice. Dacă specificarea componentelor de culoare se face prin numere de 8 biți (deci între 0 și 255, adică cazul cel mai des folosit), tabela de culoare va avea 256 de culori (tonuri de gri) diferite. Specificarea acestora se va face cu indecși între 0 și 255, alocați conform convenției 0 - negru, 255 - alb. În acest fel, pentru o imagine indexată cu nivele de gri, nu mai este necesară specificarea tabelii de culoare; culorii reprezentate de indexul i îi corespunde nivelul de gri i , adică tripletul RGB (i, i, i) .

Modelul imaginii indexate este un caz particular de folosire a tehnicii dicționar (sau tehnicii tabelului de echivalență - *Look Up Table* - LUT): o tehnică de regăsire a unei cantități de informație folosind asocierea unei chei de căutare mult mai mici.

1.2 Structura unui sistem de prelucrarea și analiza imaginilor

Structura tipică a unui sistem de prelucrarea (evident digitală) și analiza imaginilor este alcătuită din punct de vedere funcțional dintr-un număr mic de blocuri (vezi figura 1.1):

- sistemul de formare a imaginii (de exemplu sistemul de lentile al camerelor de luat vederi): strânge radiația electromagnetică a obiectului studiat pentru a forma imaginea trăsăturilor de interes
- convertorul de radiație: convertește radiația electromagnetică din planul imaginii într-un semnal electric.

Sistemul de formare a imaginii și convertorul de radiație formează senzorul; acesta realizează o proiecție plană (bidimensională) a scenei reale (care este în general tridimensională). Un studiu realizat în Germania în anul 1996 [11] prin inventarierea sistemelor de

²Red Green Blue - Roșu, Verde, Albastru: sistemul primar de reprezentare a culorilor.

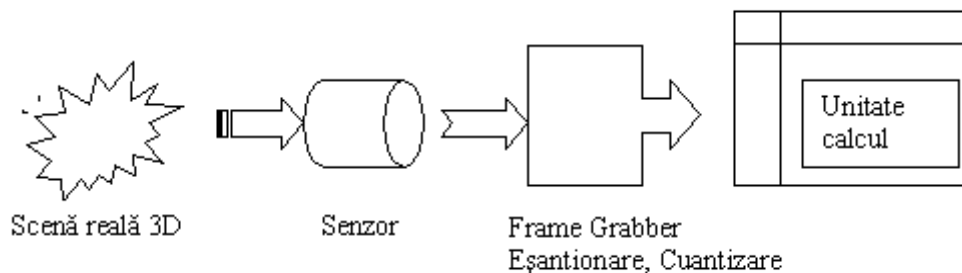


Fig. 1.1: Schema generală a unui sistem de analiza și prelucrarea imaginilor

preluare a imaginilor folosite în industrie indică o distribuție a tipurilor de senzori după gama de radiație captată conform tabelului 1.1:

Domeniu electromagnetic	Infraroșu depărtat	Infraroșu apropiat	Vizibil	Ultraviolet	Radar (microunde)	Radiație X
Procent	5 %	25 %	40 %	10 %	10 %	10 %

Tabel 1.1: Tipuri de senzori folosiți în prelucrarea imaginilor

- sistemul de achiziție (echivalent unui *frame-grabber* sau *video-blaster*): convertește semnalul electric al senzorului într-o imagine digitală, pe care o stochează; acesta nu este altceva decât un dispozitiv de eșantionare (discretizare a suportului imaginii) și cuantizare (discretizare a domeniului de valori a imaginii).
- sistemul de prelucrare (în mod tipic un calculator, fie el PC sau stație de lucru); în această categorie se încadrează însă și mașinile specializate de calcul, calculatoarele de proces, ...
- software-ul specializat: implementează algoritmi de prelucrare și analiză

În [11] se arată că unitatea de prelucrare hardware (deci calculatorul) folosită la aplicațiile de prelucrare a imaginilor funcționale la acea dată este în cea mai mare majoritate a cazurilor un PC obișnuit, cu performanțe standard; datele sunt sintetizate în tabelul 1.2:

Platformă hardware	Procent din piață
PC standard, bus ISA, Windows 3.1, 95, NT	40 %
Calculatoare industriale (procesoare Intel), bus VME	15 %
PC standard cu acceleratoare specializate, bus VLB, PCI	15 %
Stații de lucru (workstations)	10 %
Mașini specializate	10 %
Calculatoare Macintosh, calculatoare paralele (transputere), altele	10 %

Tabel 1.2: Unități de calcul folosite în prelucrarea imaginilor

Sistemul software specializat care este responsabil cu realizarea efectivă a unei sarcini concrete poate fi descompus în mai multe module, nu neapărat bine separate și nu neapărat prezente împreună: îmbunătățirea, restaurarea, compresia, segmentarea și analiza [9].

Blocul de îmbunătățire a imaginilor are ca scop accentuarea anumitor trăsături [ale obiectelor conținute în imagine] pentru ușurarea unor sarcini ulterioare de analiză automată sau interpretare prin afișare. Asemenea metode pot fi utile la extragerea trăsăturilor caracteristice ale obiectelor, eliminarea zgomotelor suprapuse imaginii, mărirea confortului vizual. Acești algoritmi nu măresc conținutul informațional al imaginii și sunt în general interactivi și puternic dependenți de aplicație.

Restaurarea imaginilor se referă la eliminarea sau minimizarea efectelor unor perturbații și a unor degradări. Perturbațiile reprezintă în general zgomotele (modelate ca procese aleatoare) ce se suprapun în cursul achiziției imaginii (din cauza sensorului și a lanțului de transmisiune și captare); degradările sunt cauzate de imperfecțiunile și limitările deterministe ale sensorului (efecte de apertură, timp de expunere, deficiențe geometrice ale sistemului de lentile, ...).

Compresia imaginilor se referă la reducerea volumului de date (numărului de biți) cu care este reprezentată imaginea, printr-o transformare reversibilă - imaginea trebuie să poată să fie recuperată integral (sau cu diferențe foarte mici, controlabile) din versiunea sa comprimată.

Segmentarea este procesul de descompunere a unei imagini (sau scene) în elementele (obiectele) sale constituente. Adeseori, segmentarea este strâns legată de algoritmi de analiză, al căror scop este de a realiza măsurători cantitative sau evaluări calitative asupra unor anumite categorii de obiecte, prezente în imaginea dată.

Sfera de aplicabilitate a tehnicilor de prelucrare și analiza imaginilor este deosebit de largă; practic, în orice domeniu de activitate se pot găsi numeroase aplicații. Această clasă de aplicații extrem de specifice a fost caracterizată drept “consumul imaginii” [1] (imaginea folosită în vederea analizei, deci a luării unor decizii). Imaginile preluate de către sateliți pot fi folosite la descoperirea resurselor terestre, cartografiere geografică, predicția recoltelor, urmărirea dezvoltării urbane, urmărirea vremii, controlul și prevenirea incendi-

ilor și inundațiilor, precum și alte aplicații ecologice și militare. Aplicațiile transmisiei și compresiei imaginilor se regăsesc în televiziunea digitală, sistemele de teleconferință, transmisiile fax, birotică, comunicația pe rețele distribuite, sisteme de securitate cu circuit închis, aplicații militare. În aplicațiile medicale sunt prelucrate radiografiile cu raze X, angiogramele, echografiile, tomografiile, imaginile de rezonanță magnetică nucleară. Acestea pot fi utilizate pentru monitorizarea pacienților și pentru descoperirea și identificarea de boli și tumori.

O largă clasă de aplicații sunt cele industriale, în care componentele de prelucrare și analiza imaginilor sunt folosite în sisteme mai mari de asigurare a calității produselor (metrologie, controlul calității - inclusiv defectoscopie nedistructivă). Soluțiile sunt extrem de specifice, puternic legate de procesul de fabricație urmărit și tind să devină din ce în ce mai utilizate odată cu impunerea normelor de “calitate totală” ale standardului ISO9000 (se poate urmări [10] pentru aplicații specifice ale diferitelor firme germane). Din acest punct de vedere este interesantă comparația între câteva caracteristici ale sistemului vizual și de prelucrare uman și un sistem de prelucrare și analiza imaginilor [8], folosite pentru aplicații industriale, prezentată în tabelul 1.3.

criterii	Om	Sistem de prelucrare imaginilor
Obiectivitate	NU	DA
Control 100%	NU	DA
Rată de eroare	MARE	MICĂ
Rată de lucru	MICĂ	MARE
Rezistență la oboseală	MICĂ	MARE
Iluzie optică	DA	NU
Prelucrare statistică	Greu realizabil	DA
Reproductibilitate	Greu realizabil	DA
Măsurare geometrică	Cu instrumente auxiliare	DA
Recunoaștere de forme	DA	DA

Tabel 1.3: Comparația între caracteristici esențiale ale sistemului vizual uman și sistemele de prelucrare și analiza imaginilor

1.3 Stocarea imaginilor

Se poate considera că există două moduri de stocare a imaginilor: stocarea în memoria de lucru a unității de prelucrare a imaginii de lucru (care este o stocare de scurtă durată - doar pe durata prelucrării efective) și stocarea de lungă durată imaginilor, în fișiere, pe suporturi externe de memorie (benzi, discuri, etc.). Diferența esențială între cele două tipuri de stocare este aceea că în memorie imaginea va fi reprezentată complet, în formă necomprimată, pentru a permite accesul rapid direct la informația fiecărui pixel.

1.3.1 Stocarea imaginilor în memorie

Principalul limbaj de programare utilizat pentru aplicații cu calcule intensive rămâne încă limbajul C (C++). Stocarea imaginilor se va face, evident, prin intermediul unor variabile ce implementează structuri de date bidimensionale. Ceea ce este deosebit este modul de declarare a acestora: declararea statică nu este convenabilă din cauza dimensiunilor în general mari ale imaginilor, și deci este necesară o declarare dinamică. Particularitatea este dată de memorarea separată a fiecărei linii (sau coloane) a matricii într-un vector alocat dinamic, și gruparea adreselor de început a acestora într-un vector de pointeri, la care se va reține adresa de început (deci un alt pointer). Dacă considerăm un tip generic de date pentru componentele matricii (caracter, sau întreg, sau real), atunci o secvență C de declarare a unui imaginii poate fi:

```
tip ** imagine;
unsigned int contor;
imagine=(tip**) malloc(nr_linii*sizeof(typ*));
for (contor=0;contor<nr_linii;contor++)
    imagine[contor]=(tip*) malloc(nr_coloane*sizeof(typ));
```

Se remarcă folosirea constantelor *nr_linii* și *nr_coloane* (cu semnificație evidentă) și a tipului generic *tip* pentru valoarea pixelilor. Linia a 3-a alocă spațiul pentru un masiv de pointeri la date de tip pointer; spațiul de memorie necesar (argumentul funcției *malloc*) este dat de numărul de pointeri la liniile imaginii ce înmulțește dimensiunea unui astfel de pointer (*sizeof(typ*)*). Valoarea *imagine[contor]* este adresa de început a spațiului de memorie la care încep valorile pixelilor de pe linia *contor*; aceștia sunt stocați într-un vector declarat de *malloc(nr_coloane*sizeof(typ))*. Trebuie remarcată conversia de tip (cast) obligatorie ce însoțește fiecare alocare de memorie (se știe că funcția *malloc* întoarce un pointer la *void*). De asemenea se observă că secvența anterioară nu face nici un fel de verificare a succesului operației de alocare de memorie (verificarea faptului că valoarea returnată de funcția *malloc* nu este *NULL*). În mod implicit, la compilare, toți pixelii (toate valorile matricii *imagine*) sunt inițializați cu 0.

Spre deosebire de C, limbajul Matlab³ aduce mari simplificări. Există un singur tip de date, reprezentate pe 8 octeți (caracteristică ce se schimbă începând cu versiunea 5.0, ce admite valori reale, întregi sau caracter, declarate explicit). Orice variabilă Matlab este creată în momentul folosirii sale în membrul stâng al unei expresii (deci nu este necesară declararea prealabilă folosirii); orice variabilă este o matrice (scalarul este o matrice de o linie și o coloană). Funcțiile returnează matrici. Secvența C anterioară este echivalentă cu:

```
imagine=zeros(nr_linii,nr_coloane);
```

³Codurile Matlab prezentate în lucrare corespund versiunii Matlab 4.2c.

1.3.2 Stocarea imaginilor în fișiere

Un fișier este entitatea logică de organizare a informației înscrise pe mediile magnetice de stocare și se compune dintr-un șir de octeți. Pentru stocarea imaginii este necesar ca acești octeți să conțină informația aferentă pixelilor precum și informație despre tipul imaginii: dimensiunile acesteia, dacă este sau nu indexată, dacă are sau nu o tabelă de culoare atașată, dacă este sau nu comprimată și după ce metodă. Anumite structuri de fișiere au fost impuse de-a lungul timpului de firme producătoare de software sau de organisme de standardizare, căpătând denumirea de formate de imagini. Formatele de imagini s-au făcut cunoscute mai ales după extensia standard a fișierelor ce conțin imaginile stocate după formatul respectiv: BMP, TIF, GIF, PCX, JPG În cele ce urmează ne vom referi la formatele RAW(cunoscut și ca IMG), unul dintre cele mai rudimentare formate de fișiere imagine, și Windows Bitmap -BMP al firmei Microsoft, care este unul dintre cele mai larg recunoscute formate de fișiere.

Un fișier RAW conține imagini indexate cu nivele de gri, de formă pătrată. Fișierul nu are antet (dimensiunile imaginii fiind deduse din dimensiunea fișierului ce o conține) și nu conține nici tabel de culoare (acesta are toate componentele liniei i egale între ele, reprezentând griuri). Fiecare pixel al imaginii este codat cu numărul corespunzător de biți (4, 8, etc.); imaginea este baleiată în ordinea normală (începând cu prima linie a imaginii, de la stânga la dreapta).

Un fișier BMP⁴ are trei componente consecutive: un antet de fișier (BITMAPFILEHEADER), o structură de informație a imaginii(BITMAPINFO) și codarea pixelilor. Antetul de fișier (BITMAPFILEHEADER) conține informații asupra tipului, dimensiunii și reprezentării fișierului Bitmap independent de dispozitiv (DIB - Device Independent Bitmap); semnificațiile componentelor sunt date în tabelul 1.4.

```
typedef struct tagBITMAPFILEHEADER{
WORD bfType;
DWORD bfType;
WORD bfReserved1;
WORD bfReserved2;
DW bfOffBits;
}BITMAPFILEHEADER;
```

Structura de informație a imaginii (BITMAPINFO) conține informații asupra dimensiunilor și culorilor unui DIB, și este alcătuită din două componente: antetul structurii de informații (BITMAPINFOHEADER), a cărui componente sunt descrise în tabelul 1.5 și tabelul de culoare, format din structuri RGBQUAD.

⁴Denumirile componentelor logice ale fișierului sunt cele standardizate de Microsoft.

Câmp	Descriere
bfType	Specifică tipul de fișier; trebuie să conțină caracterele BM
bfSize	Specifică lungimea fișierului în DWORD
bfReserved1	Câmp rezervat, valoare 0
bfReserved2	Câmp rezervat, valoare 0
bfOffBits	Specifică deplasamentul în octeți de la sfârștul structurii BITMAPFILEHEADER până la zona din fișier ce conține pixelii codați

Tabel 1.4: Descrierea câmpurilor structurii BITMAPFILEHEADER

Câmp	Descriere
biSize	Numărul de octeți ai structurii BITMAPINFOHEADER
biWidth	Lățimea imaginii, în pixeli
biHeight	Înălțimea imaginii, în pixeli
biPlanes	Numărul de plane de culoare ale dispozitivului de afișaj (1)
biBitCount	Numărul de biți cu care se codează un pixel; poate fi 1, 4, 8 sau 24
biCompression	Tipul de compresie utilizată: BI_RGB fără compresie, BI_RLE8 sau BI_RLE4 pentru compresie de tip RLE cu cuvinte de respectiv 8 sau 4 biți
biSizeImage	Dimensiunea imaginii în octeți
biXPelsPerMeter	Rezoluția pe orizontală a dispozitivului țintă (în pixeli pe metru)
biYPelsPerMeter	Rezoluția pe verticală a dispozitivului țintă (în pixeli pe metru)
biClrUsed	Numărul de culori utilizate în imagine; dacă este 0, imaginea folosește toate culorile disponibile ale paletei
biClrImportant	Numărul de culori considerate importante; dacă este 0, toate culorile sunt luate în considerare

Tabel 1.5: Descrierea câmpurilor structurii BITMAPINFOHEADER

```
typedef struct tagBITMAPINFOHEADER{
DWORD biSize;
DWORD biWidth;
DWORD biHeight;
WORD biPlanes;
WORD biBitCount;
DWORD biCompression;
DWORD biSizeImage;
DWORD biXPelsPerMeter;
DWORD biYPelsPerMeter;
DWORD biClrUsed;
DWORD biClrImportant;
} BITMAPINFOHEADER;
```

Structura RGBQUAD descrie o culoare prin componentele sale de roșu, verde și albastru, și un câmp rezervat având valoarea 0.

```
typedef struct tagRGBQUAD{  
BYTE rgbBlue;  
BYTE rgbGreen;  
BYTE rgbRed;  
BYTE rgbReserved;  
}RGBQUAD;
```

Codarea pixelilor se face după câteva reguli. Fiecare pixel va fi codat pe `biBitCount` biți; dacă `biBitCount` este 1, 4 sau 8, imaginea va fi indexată și fișierul conține tabela de culoare asociată imaginii. Codurile pixelilor se grupează pe octeți (deci pentru o codare de 4 biți per pixel, fiecare octet de cod va corespunde la doi pixeli alăturați). Dacă `biBitCount` este 24, pentru fiecare pixel se asociază direct trei octeți, ce reprezintă componentele de roșu, verde și albastru ale culorii respective; această imagine se numește *True Color* și nu mai are un tabel de culoare asociat. Denumirea de *True Color* (culoare adevărată) provine din faptul că numărul total de culori ce se pot astfel reprezenta (2^{24}) depășește limita sensibilității umane de discernere a culorilor.

Codarea se face independent pe fiecare linie orizontală a imaginii. Codurile (indexurile) tuturor pixelilor unei linii sunt concatenate; șirul rezultat trebuie să fie multiplu de 32 de biți (sau de 4 octeți, sau să conțină un număr întreg de `DWORD`'s). Dacă această constrângere nu este respectată, linia respectivă se completează cu numărul necesar de biți (care, în mod evident, nu vor fi utilizați la citirea imaginii din fișier). Codarea imaginii începe cu ultima linie, și pentru fiecare linie baleiajul este normal (de la stânga la dreapta).

Capitolul 2

TEHNICI DE ÎMBUNĂTĂȚIRE A IMAGINILOR

Îmbunătățirea imaginilor este o sintagmă generală ce se referă la o clasă largă de operații al căror scop este mărirea detectabilității componentelor imaginii. Detectabilitatea componentelor este legată mai mult de percepția vizuală a unui observator uman decât de o analiză automată cantitativă. Percepția vizuală de referință este cea a unui expert uman în domeniul aplicației din care provine imaginea.

Așadar criteriile de evaluare ale calității unei imagini sunt subiective și specifice aplicației. În [2] se face analogia operațiilor de îmbunătățire a imaginilor cu reglajul tonalității muzicii ascultate; în funcție de ascultător, se vor favoriza componentele înalte sau joase, sau nici unele. Ca o consecință, procesul de îmbunătățire va fi interactiv, transformările efectuate trebuind să fie validate (cel puțin în etapa de proiectare sau probă) de către un utilizator uman.

Principiul (aproape unanim acceptat) este că îmbunătățirea calității unei imagini se face fără a lua în considerare nici o informație asupra imaginii originale sau asupra procesului de degradare (prin care imaginea nu este suficient de bună). Conform acestui punct de vedere chiar și o imagine originală (nedegradată) poate fi îmbunătățită, obținând o imagine falsificată, dar subiectiv preferabilă [18]. În general, calitatea subiectivă a unei imagini poate fi apreciată pe baza contrastului sau accentuării elementelor de contur (muchii, frontiere, linii, margini) și pe baza netezimii în regiunile uniforme.

Creșterea uniformității regiunilor este însă asimilată eliminării unui eventual zgomot suprapus imaginii, operație denumită în mod clasic filtrare. Filtrarea ce are ca scop eliminarea zgomotului va fi studiată în următoarele capitole.

Din punctul de vedere al metodelor utilizate, putem distinge mai multe tipuri de operații de îmbunătățire:

- operații punctuale, prin care se realizează o corespondență de tip “unu la unu” între vechea valoare a nivelului de gri și noua valoare a acestuia, pentru fiecare pixel al imaginii. Tot în această categorie vom include și operațiile de pseudocolorare, care se referă la afișarea imaginii folosind o paletă de culoare modificată.
- operații locale (sau de vecinătate), prin care noua valoare a nivelului de gri într-un pixel este obținută din vechea valoare a pixelului respectiv și din valorile unor pixeli vecini pixelului considerat.
- operații integrale, în care noua valoare a unui pixel este dependentă de valorile tuturor pixelilor imaginii

În acest capitol vom studia doar operațiile punctuale și de pseudocolorare.

Prin îmbunătățire, unei imagini nu i se adaugă nici o informație nouă față de cea ce exista inițial [9] (deci nu se adaugă nimic imaginii), ci doar este prezentat altfel conținutul inițial al acesteia. Deși la o examinare superficială afirmația este corectă, putem găsi măcar două obiecții (sau contraexemple) la această formulare:

- din punctul de vedere al utilizatorului, informația, chiar dacă există, nu poate fi folosită, deci este asimilabil nulă. Acesta este cazul imaginilor obținute în condiții extreme de iluminare, ce prezintă un contrast foarte slab (imagini subexpuse sau supraexpuse) [5].
- din punctul de vedere al teoriei informației, informația din imagine poate fi asimilată entropiei procesului aleator ale cărui realizări particulare sunt valorile de gri ale pixelilor. Entropia se modifică însă la orice transformare ce afectează distribuția nivelelor de gri din imagine.

2.1 Operații punctuale de modificare a contrastului

Operațiile punctuale de modificare a contrastului (numite și transformări ale nivelului de gri) sunt asocieri (*mapping*, în engleză) ce leagă nivelul de gri original de noua sa valoare. O asemenea asociere nu este altceva decât o funcție:

$$v = T(u), u \in [0; L - 1] \quad (2.1)$$

În [5] se stabilesc ca necesare condițiile ca:

- transformarea T să păstreze gama admisibilă de valori ale imaginii (dacă nivelele de gri au fost reprezentate pe L nivele de cuantizare, atunci $0 \leq T(u) \leq L - 1$, $\forall u \in [0; L - 1]$)

- transformarea T să fie monotonă (crescătoare sau descrescătoare) pentru a păstra ordinea între nivelele de gri

2.1.1 Modificarea liniară a contrastului

Cea mai des folosită tehnică de modificare liniară a contrastului este o transformare liniară pe porțiuni, dată de:

$$v = \begin{cases} \frac{\alpha}{T_1}u, & 0 \leq u < T_1 \\ \alpha + \frac{\beta - \alpha}{T_2 - T_1}(u - T_1), & T_1 \leq u < T_2 \\ \beta + \frac{L - 1 - \beta}{L - 1 - T_2}(u - T_2), & T_2 \leq u < L \end{cases} \quad (2.2)$$

În formula anterioară, parametrii de control sunt T_1 , T_2 , α și β ; aceștia sunt grupați câte doi, definind punctele (T_1, α) și (T_2, β) . Aceste două puncte de control, împreună cu punctele fixe $(0, 0)$ și $(L - 1, L - 1)$ vor defini cele trei segmente de dreaptă ce apar în formula (2.2). Rezultatul aplicării unei asemenea operații punctuale se obține modificând valoarea (nivelul de gri) fiecărui pixel al imaginii inițiale, u , conform (2.2), obținând noul nivel de gri v . Transformarea poate fi făcută în două moduri: fie se repetă calculele de la (2.2) pentru fiecare pixel, baleind imaginea, fie noile valori ale contrastului se calculează de la început pentru toate nivelele de gri posibile (între 0 și $L - 1$) și apoi aceste modificări se aplică imaginii. Codul C următor implementează a doua variantă de calcul, care este mai rapidă (calculele nivelelor de gri au fost separate de ciclul de baleiere al imaginii și au fost eliminate structurile condiționale *if* - impuse de definiția de tip “acoladă” - prin separarea domeniilor de calcul în trei cicluri). Trebuie remarcată de asemenea definirea nivelului de gri ca *unsigned int*, ceea ce crează posibilitatea folosirii unui număr de nivele de gri mai mare de 256 (pentru care ar fi fost suficient un *unsigned char*).

```
unsigned int T1,T2,alfa,beta,gri_vechi,i,j;
gri_nou=(unsigned int *) malloc (L*sizeof(unsigned int));
for (gri_vechi=0;gri_vechi<T1;gri_vechi++)
    gri_nou[gri_vechi]=alfa*gri_vechi/T1;
for (gri_vechi=T1;gri_vechi<T2;gri_vechi++)
    gri_nou[gri_vechi]=alfa+(beta-alfa)*(gri_vechi-T2)/(T2-T1);
for (gri_vechi=T2;gri_vechi<L;gri_vechi++)
    gri_nou[gri_vechi]=beta+(L-1-beta)*(gri_vechi-T1)/(L-1-T2);
for (i=0;i<NRLIN;i++)
    for (j=0;j<NRCOL;j++)
        imagine_noua[i][j]=gri_nou[imagine_veche[i][j]];
```

Vom prezenta în cele ce urmează un exemplu; în figura 2.1 este prezentată pe de o parte imaginea originală “lena” (una dintre fotografiile impuse ca standard de fapt în raportarea rezultatelor obținute), iar alăturat imaginea obținută cu o modificare liniară pe porțiuni

a contrastului, determinată de parametrii $T_1 = 30$, $T_2 = 100$, $\alpha = 20$, $\beta = 200$. În figura 2.2 este prezentată funcția de transformare a nivelelor de gri ($T(u)$).



Fig. 2.1: Imagine originală și imagine cu contrastul modificat

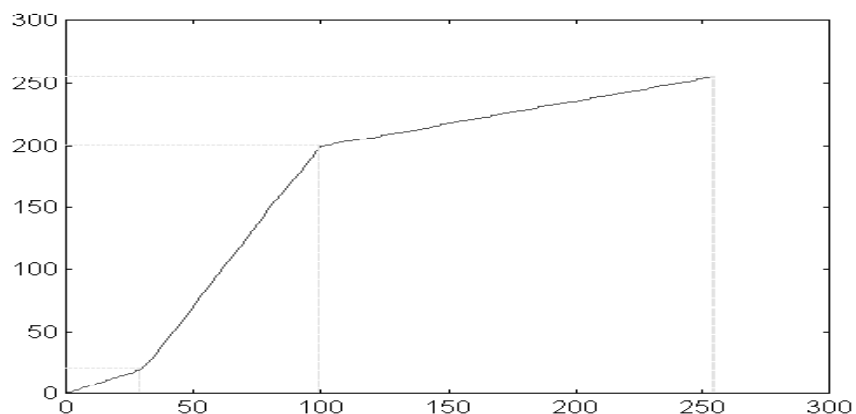


Fig. 2.2: Îmbunătățire liniară pe porțiuni, definită de punctele $(0,0)$, $(30,20)$, $(100,200)$, $(255,255)$

Vizibilitatea componentelor scenei este în general determinată în cea mai mare parte de contrastul zonei din imagine; contrastul este o măsură proporțională cu diferența dintre luminozitatea anumitor pixeli (nivelul lor de gri). Pentru a putea prevedea deci efectele unei operații de îmbunătățire de tipul prezentat asupra contrastului este deci suficientă studiarea diferențelor de nivele de gri între o aceeași pereche de pixeli înainte și după efectuarea transformării. La limită, este posibil ca pixelii să aibă nivelul de gri original diferit cu doar o unitate (cuanta minimă), și atunci modificarea contrastului va fi dată

de diferența valorilor transformate, adică de derivata funcției de transformare:

$$C = \frac{\Delta v}{\Delta u} = \frac{T(u_2) - T(u_1)}{u_2 - u_1} = \frac{dT(u)}{du} = T'(u) \quad (2.3)$$

Pentru funcția liniară pe porțiuni este evident că derivata va fi constantă pe aceleași intervale, având valoarea egală cu panta segmentului de dreaptă.

$$C = \begin{cases} \frac{\alpha}{T_1}, & \text{dacă } u \in [0; T_1] \\ \frac{\beta - \alpha}{T_2 - T_1}, & \text{dacă } u \in [T_1; T_2] \\ \frac{L - 1 - \beta}{L - 1 - T_2}, & \text{dacă } u \in [T_2; L - 1] \end{cases} \quad (2.4)$$

Dacă pe un interval această pantă este subunitară, atunci diferența între nivelele alăturate de gri se micșorează și deci contrastul scade; dacă din contră, panta dreptei este supraunitară, diferența dintre nivelele de gri alăturate se mărește și contrastul va crește. Spre exemplu, în transformarea din figura 2.2, pe intervalul $[30, 100]$ contrastul crește, iar pe intervalele $[0, 30]$ și $[100, 255]$ contrastul scade. Aceste efecte sunt ușor vizibile pe imaginile din figura 2.1: de exemplu scăderea contrastului pentru nivelele de gri de la capătul superior al gamei admise (dinspre alb) se observă prin dispariția detaliilor luminoase din imagine (panglica lată de la pălărie); creșterea contrastului pe intervalul $[30, 100]$ (deci griuri închise) este vizibil în zona penei de pălărie, ale cărei detalii sunt acum mult mai sesizabile.

În funcție de alegerea celor patru parametri, se pot obține câteva cazuri particulare de interes ce poartă denumiri specifice.



Fig. 2.3: Imagine originală și imagine binarizată cu pragul 125

Dacă $T_1 = T_2$ și $\alpha = 0$, $\beta = L - 1$, se obține prăguirea sau binarizarea (“thresholding”) (vezi figura 2.4); în imaginea rezultată nu există decât alb și negru (figura 2.3); toate

nivelele de gri inițiale a căror valoare era mai mică decât T_1 fiind negre și toate nivelele de gri inițiale mai mari ca T_1 devenind albe. După cum se va vedea la capitolul de segmentare orientată pe regiuni (capitolul 8), aceasta este și una dintre tehnicile cele mai simple de segmentare. În urma acestei transformări, contrastul este maximizat la nivelul întregii imagini.

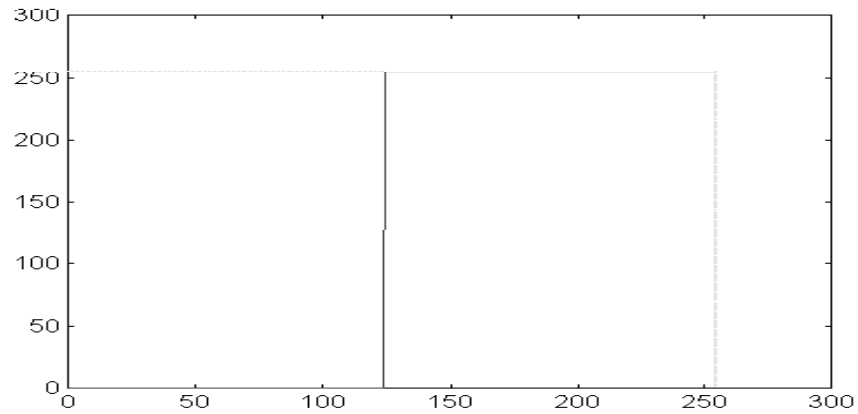


Fig. 2.4: Transformarea de binarizare

Dacă $\alpha = 0$ și $\beta = L - 1$ se obține operația de întindere maximă a contrastului (*contrast stretching*) (vezi figura 2.5) pentru intervalul $[T_1; T_2]$. Nivelele de gri care se găsesc în afara acestui interval vor fi înlocuite fie cu alb, fie cu negru.

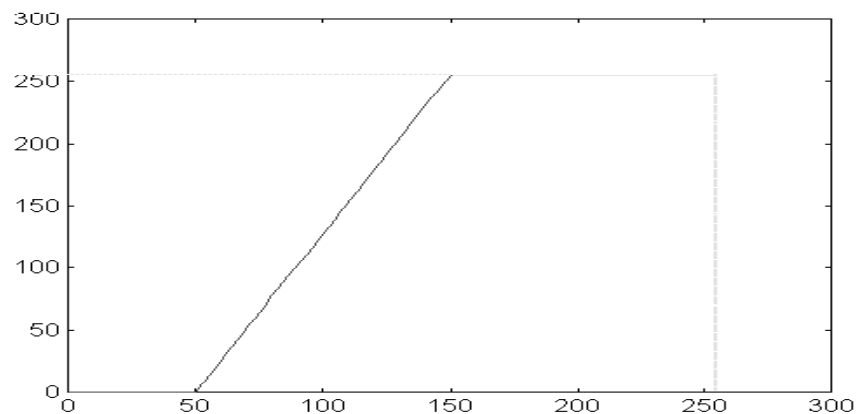


Fig. 2.5: Transformarea de întindere maximă a contrastului

2.1.2 Modificarea neliniară a contrastului

Principalul dezavantaj al tehnicii liniare pe porțiuni prezentate este faptul că modificarea contrastului este aceeași pe un întreg interval de nivele de gri, și nu este posibilă o modificare neuniformă a contrastului pe întregul interval de nivele de gri sau în jurul unui anume nivel de gri. Tehnicile neliniare au aceste proprietăți.

O primă variantă este compandarea domeniului [9], definită de o curbă logaritmică și cu punctele fixe $(0, 0)$ și $(L - 1, L - 1)$:

$$v = T(u) = \frac{L - 1}{\lg L} \lg(1 + u) \quad (2.5)$$

Contrastul va varia neuniform de-a lungul scalei de gri, mărindu-se la capătul inferior (negru) și micșorându-se la capătul superior (alb). În mod reciproc se poate defini expandarea domeniului, ca transformare inversă celei de compandare, și deci având o alură exponențială:

$$v = T(u) = (L - 1) \frac{e^u - 1}{e^{L-1} - 1} \quad (2.6)$$

Contrastul va varia neuniform de-a lungul scalei de gri, mărindu-se la capătul superior (alb) și micșorându-se la capătul inferior (negru). Termenii de compandare și de expandare au fost dați prin asemănare cu transformările folosite în teoria codării și cuantizării (ce intervin în metodele de cuantizare a semnalului vocal pentru telefonía digitală, cunoscute sub numele de legea A în Europa și legea μ în America). Trebuie însă subliniat că în prelucrarea imaginilor aceste transformări nu afectează domeniul de valori, care rămâne $[0, L - 1]$.

Alte transformări neliniare pot fi obținute prin folosirea unor funcții de tip putere; și acestea au nivelele de gri extreme ca puncte fixe $((0, 0)$ și $(L - 1, L - 1))$. O primă variantă este funcția putere:

$$v = T(u) = (L - 1) \left(\frac{u}{L - 1} \right)^r \quad (2.7)$$

După valorile parametrului-putere r se pot obține două comportări diferite: pentru $r < 1$ comportarea este de același tip cu al funcției de compandare logaritmice, iar pentru $r > 1$ comportarea este de tipul funcției de expandare. Trebuie remarcat că legile de variație ale contrastului vor fi însă diferite.

Există însă și o variantă la care se mai adaugă un punct fix (T, T) , funcția devenind cu două intervale de definiție:

$$v = T(u) = \begin{cases} T \left(\frac{u}{T} \right)^r, & \text{dacă } u \in [0; T] \\ L - 1 - (L - 1 - T) \left(\frac{L-1-u}{L-1-T} \right)^r, & \text{dacă } u \in [T, L - 1] \end{cases} \quad (2.8)$$

Funcția are o alură de tipul celei prezentate în figura 2.6.

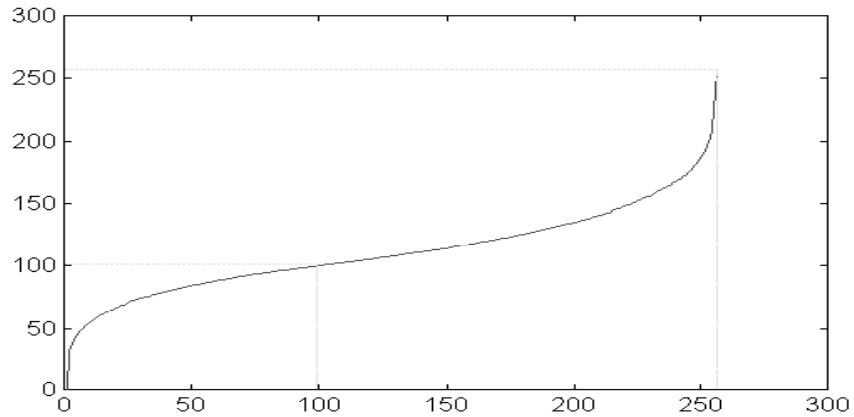


Fig. 2.6: Modificare neliniară a contrastului, cu trei puncte fixe

În [9], în cadrul operațiilor punctuale de îmbunătățire a imaginilor sunt prezentate și operații aritmetice simple, ca de exemplu negativarea. Negativarea este descrisă de:

$$v = T(u) = L - 1 - u \quad (2.9)$$

Efectul acesteia de modificare a contrastului se bazează doar pe caracteristicile sistemului vizual uman, pentru care contrastul depinde de diferența de luminozitate între pixeli aparținând unui obiect, respectiv fundalului, raportată la luminanța medie a fundalului. O categorie aparte de aplicații în care sunt utile asemenea inversiuni este analiza imaginilor medicale, care pentru o analiză automată trebuie inversate; un astfel de exemplu este imaginea angiografică din figura 2.7.

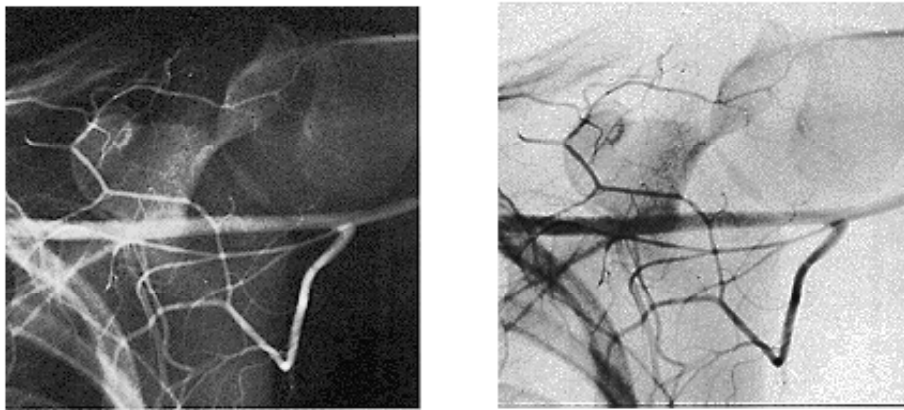


Fig. 2.7: Imagine originală și negativată (dintr-o aplicație medicală)

Alte operații posibile (tratate în [9], dar de mai mică semnificație practică) sunt repre-

zentarea planelor de bit (pentru fiecare pixel al imaginii, fiecare bit al reprezentării binare a nivelului de gri este considerat ca valoarea unui pixel al unei imagini binare), transformarea de lipire *clipping* (care păstrează nemodificate nivelele de gri dintr-un anumit interval și le anulează pe celelalte - imaginea rezultată conținând obiectele de interes pe fond negru) și transformarea de tăiere *slicing* (care transformă nivelele de gri dintr-un interval fixat în alb și tot restul în negru; nu este altceva decât un alt tip de binarizare).

2.2 Pseudocolorarea

Pseudocolorarea este o tehnică de îmbunătățire a vizibilității anumitor componente ale imaginii (sau a imaginii în ansamblu) prin modificarea paletei de culoare cu care imaginea este afișată (reprezentată). Aceasta înseamnă că pentru anumite nivele de gri, afișarea nu se va mai face cu culoarea a cărei componente sunt toate egale cu indexul (nivelul de gri), ci cu o altă culoare. Această definiție acoperă însă și cazul operațiilor de modificare a contrastului prezentate anterior; funcția $v = T(u)$ nu este altceva decât o funcție de construcție a unei noi palete de culoare pentru aceeași imagine. Spre exemplu, codul modificării neliniare de contrast devine:

```
unsigned int T1,T2,alfa,beta,gri_vechi;
gri_nou=(unsigned int *) malloc (L*sizeof(unsigned int));
for (gri_vechi=0;gri_vechi<T1;gri_vechi++)
    gri_nou[gri_vechi]=alfa*gri_vechi/T1;
for (gri_vechi=T1;gri_vechi<T2;gri_vechi++)
    gri_nou[gri_vechi]=alfa+(beta-alfa)*(gri_vechi-T2)/(T2-T1);
for (gri_vechi=T2;gri_vechi<L;gri_vechi++)
    gri_nou[gri_vechi]=beta+(L-1-beta)*(gri_vechi-T1)/(L-1-T2);
for (gri_vechi=0;gri_vechi<L;gri_vechi++)
    setpalette(gri_vechi,(color) gri_nou[gri_vechi]);
```

Ultima buclă *for* a codului modifică paleta de culoare pentru fiecare index (intrare) a acesteia, conform noilor valori calculate. Remarcați cast-ul (schimbarea de tip) la tipul *color*; acesta este inserat mai mult ca o măsură de atenționare: culoarea (deci variabila de tip *color*) trebuie obținută din scalarul nivel de gri în conformitate cu regulile de descriere a culorilor valabile în respectivul mod grafic.

Ideea de bază în pseudocolorare este de a folosi culori pentru a pune în evidență zone de interes din imagini cu nivele de gri (există și varianta colorării false - *false coloring*, care transformă o imagine color într-o altă imagine color, dar cu un contrast mult mai pronunțat și artificial între elementele sale). Această idee este normală dacă se are în vedere faptul că ochiul (sistemul vizual) uman distinge ceva mai puțin de 256 nuanțe de gri, deși diferențiază câteva milioane de culori [9].

O aplicație interesantă a pseudocolorării este prezentată în [2]. La NASA, la începuturile erei digitale în tehnicile de achiziție a imaginilor, era necesară digitizarea unor imagini de microscopie, pentru care iluminarea era reglată manual, până la o vizibilitate maximă a tuturor detaliilor. Pentru că operatorul nu putea distinge clar și precis care era iluminarea cea mai potrivită (care nici nu producea suprailuminare și nici nu lăsa umbre mai mari decât era necesar), la afișarea în timp real a imaginii achiziționate pe monitoarele de control, paleta de griuri a fost modificată pe ultima poziție (alb), unde s-a inserat roșu. Atunci instrucțiunile pentru operator erau: crește curentul prin lampă (iluminarea) până când în imagine apare roșu, după care redu curentul până când culoarea roșie dispăre. Rezultatul acestei tehnici simple au fost mii de imagini digitizate corect.

În final merită poate amintită remarca (destul de acidă) din [2]:

“Deși prin natura sa este un detaliu al tehnicilor de afișare, pseudocolorarea a fost adesea glorificată prin termeni ca prelucrare prin pseudocolorare sau analiză prin pseudocolorare. Pseudocolorarea rămâne un accesoriu favorit al vânzătorilor, care o utilizează adesea în demonstrațiile produselor [software], deoarece poate stârni interesul în ochii clienților mult mai repede decât orice altă metodă de afișare cunoscută. Cercetările mele au adus la lumină o listă dureros de scurtă a aplicațiilor demonstabile productive a pseudocolorării”

2.3 Operații de contrastare bazate pe histograma imaginii

Pentru o imagine f de $M \times N$ pixeli și L nivele de gri, histograma este definită (2.10) ca probabilitatea (frecvență relativă) de apariție în imagine a diferitelor nivele de gri posibile.

$$h(i) = \frac{1}{MN} \sum_{m=0}^{M-1} \sum_{n=0}^{N-1} \delta(i - f(m, n)) \quad , \quad i = 0, 1, \dots, L - 1 \quad (2.10)$$

Din punct de vedere statistic, putem considera valoarea fiecărui pixel al imaginii ca o realizare particulară a unei variabile aleatoare asociată nivelelor de gri, caz în care histograma (2.10) este funcția de densitate de probabilitate a acestei variabile aleatoare. Fiind o funcție de densitate de probabilitate, histograma oricărei imaginii verifică condiția de normare $\sum_{i=0}^{L-1} h(i) = 1$.

Din punct de vedere practic, calculul histogramei unei imaginii înseamnă parcurgerea punct cu punct a imaginii și contorizarea numărului de nivele de gri întâlnite. Presupunând L nivele de gri posibile în imaginea de dimensiuni $NRLIN$ și $NRCOL$, codul

următor alocă pentru fiecare nivel de gri posibil câte un *unsigned int*, ce va contoriza numărul de apariții ale nivelului de gri respectiv. Pentru fiecare punct al imaginii se incrementează poziția din histogramă ce corespunde valorii de gri din acel pixel. Ceea ce rezultă în final diferă de histograma descrisă de (2.10) prin constanta de normare “numărul total de puncte ale imaginii” (deci MN sau $NRLIN*NRCOL$); este evident că valorile obținute pot fi normate pentru a obține o funcție de densitate de probabilitate prin împărțirea cu $NRLIN*NRCOL$ și definirea histogramei ca fiind formată din *real* sau *float*.

```

histo=(unsigned int*)malloc(L*sizeof (unsigned int));
for (i=0;i<L;i++)
    histo[i]=0;
for (i=0;i<NRLIN;i++)
    for (j=0;j<NRCOL;j++)
        histo[imagine[i][j]]++;

```

În Matlab, implementarea oricărei funcții este cu atât mai eficientă (din punctul de vedere al timpului de rulare) cu cât sunt evitate structurile repetitive (în particular buclele *for*). Cum, pentru calculul histogramei, ciclarea nu poate fi evitată (deci trebuie parcurse fie toate punctele imaginii, fie toate nivelele de gri), se alege varianta care implică repetarea minimă a ciclării:

```

histo=zeros(1,L);
for i=1:L
    p=find(imagine==i);
    histo(i)=length(p);
% histo(i)=length(p)/prod(size(imagine));
end

```

Funcția *find* (funcție standard a pachetului Matlab) returnează pozițiile (indicii) la care este găsită valoarea i în matricea *imagine* (adică întoarce pozițiile punctelor ce au valoarea i); numărând aceste puncte (deci calculând lungimea vectorului în care sunt stocate) se găsește numărul de puncte ce au respectivul nivel de gri. Normarea histogramei se poate face fără a modifica declarațiile de definire a structurilor (pentru Matlab este indiferent dacă se stochează întregi sau numere cu parte zecimală). Această structură este mai rapidă decât cea prin care se parcurgea toată imaginea deoarece se folosește o singură buclă de lungime L (și nu două bucle imbricate, de lungime totală $NRLIN*NRCOL$), iar funcția *find* este rapidă, fiind o funcție precompilată.

Histograma imaginii oferă informații asupra plasamentului în “nuanță” a conținutului imaginii (vezi figura 2.8). La majoritatea imaginilor există o distribuție neuniformă a nivelelor de gri; există nivele de gri predominante și există nivele de gri folosite puțin sau

deloc. Operațiile de îmbunătățire a imaginilor (pentru îmbunătățirea percepției vizuale) au ca scop redistribuirea nivelelor de gri, astfel ca acestea să ocupe întreaga gamă de variație disponibilă, în mod uniform: aceasta este egalizarea de histogramă [9], [18].

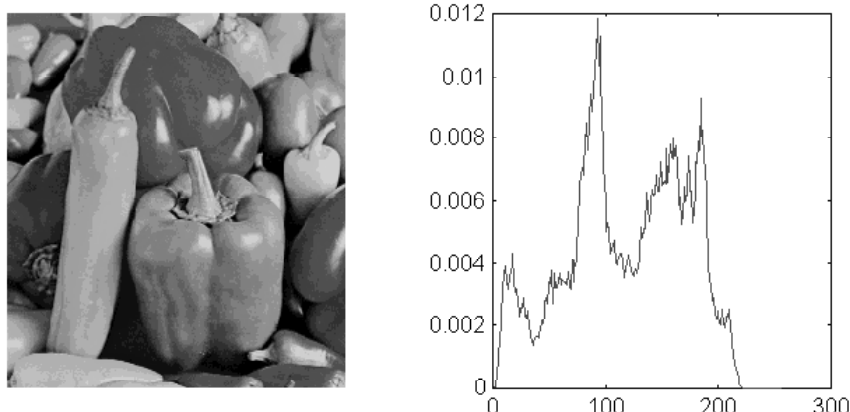


Fig. 2.8: Imagine cu nivele de gri și histograma acesteia

Scopul egalizării de histogramă este deci obținerea unei distribuții uniforme a nivelelor de gri; imaginea rezultată va prezenta cea mai mare îmbunătățire a contrastului, distribuit regulat în întreaga gamă dinamică a nivelelor de gri. Din punct de vedere matematic, egalizarea de histogramă înseamnă transformarea unei distribuții oarecari (descrisă de histograma imaginii inițiale) într-o distribuție uniformă. Considerând variabilele aleatoare $X(\xi, x)$ și $Y(\xi, y)$ legate prin $Y = g(X)$, atunci între funcțiile de densitate de probabilitate a celor două variabile aleatoare există relația [16]:

$$f_Y(y) = f_X(x) \frac{1}{|(g^{-1}(y))'|} \Big|_{x=g^{-1}(y)}$$

Dacă dorim ca funcția de densitate de probabilitate $f_Y(y)$ să fie uniformă (în condițiile în care funcția de densitate de probabilitate $f_X(x)$ este dată), atunci înseamnă că vom avea $|(g^{-1}(y))'| = \frac{1}{k} f_X(g^{-1}(y))$. Rezolvarea acestei ecuații produce soluția $y = g(x) = \int_{-\infty}^x f_X(t) dt$.

Pentru cazul particular al imaginilor, variabila aleatoare X ia valori naturale - nivelele de gri. Funcția de densitate de probabilitate $f_X(x)$ este histograma [normată] a imaginii iar funcția de transformare devine $y = g(x) = \int_0^x f_X(t) dt$. Ținând seama că valorile de gri sunt discrete, integrala se transformă în sumă și această formă nu este altceva decât

histograma cumulativă a imaginii; dacă h este histograma imaginii, atunci

$$g(x) = H(x) = \sum_{i=0}^x h(i) \quad (2.11)$$

Valorile funcției trebuie însă redistribuite în intervalul permis de valori de gri, ceea ce duce la deducerea formulei care exprimă noile valori de gri:

$$v = \left[\frac{H(u) - H(0)}{MN - H(0)}(L - 1) + 0.5 \right] \quad (2.12)$$

O variantă de cod care realizează egalizarea de histogramă este prezentată în continuare. Trebuie remarcat că modul de calcul al histogramei cumulative este de tip iterativ, bazându-se pe formula $H(x) = H(x - 1) + h(x)$, ce se poate deduce imediat din (2.11). Mai trebuie de asemenea remarcat că se folosește o histogramă nenormată.

```
gri_nou=(unsigned int *) malloc (L*sizeof(unsigned int));
histo_cum=(unsigned int *) malloc (L*sizeof(unsigned int));
tot=NRLIN*NRCOL;
histo_cum[0]=histo[0];
for (i=1;i<L;i++)
    histo_cum[i]=histo_cum[i-1]+histo[i];
for (i=0;i<L;i++)
    gri_nou[i]=round((histo_cum[i]-histo_cum[0])*(L-1)/(tot-histo_cum[0]));
```

Figurile următoare prezintă o imagine originală (“lena”) și rezultatul egalizării de histogramă, precum și histogramele originale și egalizate (figura 2.9). Ceea ce se remarcă cu ușurință este diferența dintre histograma obținută și histograma perfect uniformă dorită. Unul dintre efectele secundare notabile este introducerea de nivele de gri lipsă în histograma egalizată (aspectul “în pieptene” al acesteia).



Imagine originală



Imagine după egalizarea de histogramă

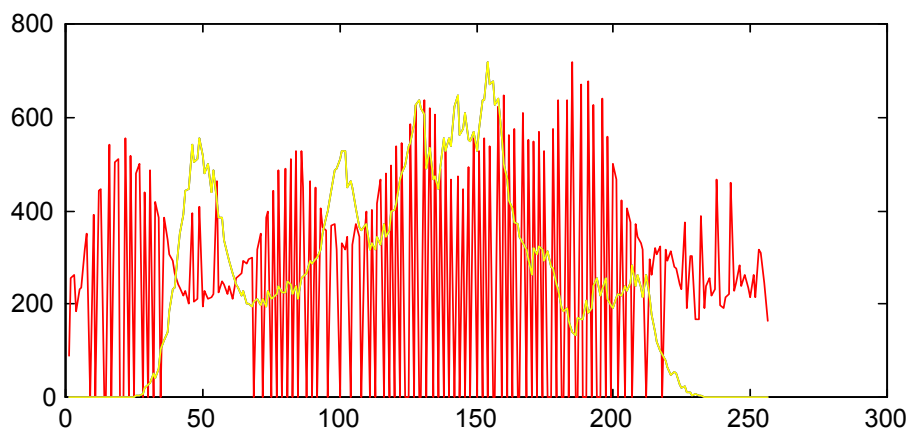


Fig. 2.9: Histograma imaginii “lena”, înainte și după egalizare

Alte variante de egalizare a histogramei [18] folosesc histograme modificate ale imaginii (prin contabilizarea doar a anumitor pixeli) sau limitează amplitudinea vârfurilor histogramei, redistribuind uniform pixelii în exces.

Tehnica de egalizare a histogramei poate fi extinsă prin realizarea unei histogramme de formă impusă (dar oarecare) a imaginii rezultat; această metodă este denumită specificare de histogramă [9], [5].

O ultimă remarcă se poate referi la validitatea introducerii tehnicilor de îmbunătățire a histogramei în categoria de operații punctuale. Majoritatea autorilor consideră că orice operație care este echivalentă cu modificarea paletii de culoare a imaginii este o operație punctuală. În același timp însă, noile valori de gri ale fiecărui punct sunt calculate pe baza histogrammei imaginii, deci pe baza unei măsurii ce ia în calcul valorile din întreaga imagine; din acest punct de vedere, egalizarea de histogramă poate fi inclusă în categoria operațiilor integrale.

Capitolul 3

FILTRAREA LINIARĂ A IMAGINILOR

Odată cu operațiile de filtrare liniară, se începe studiul operatorilor de vecinătate: operatorii al căror rezultat depinde atât de valoarea punctului în care au fost aplicați, cât și de valorile unui număr de alte puncte vecine (nu neapărat topologic) punctului curent de calcul. Filtrarea se cheamă liniară pentru că operația verifică principiul superpoziției (liniarității): pentru două imagini f_1 și f_2 , doi scalari a_1 și a_2 și operatorul liniar L avem

$$L(a_1 f_1 + a_2 f_2) = a_1 L(f_1) + a_2 L(f_2) \quad (3.1)$$

Operația de filtrare liniară calculează noua valoare a unui pixel al imaginii (din poziția (m, n)) ca o combinație liniară (medie ponderată) a unui număr de valori din imaginea originală:

$$v(m, n) = \sum_{(k, l) \in W} w_{kl} f(m - k, n - l) \quad (3.2)$$

W este vecinătatea punctului curent în care se face calculul; W este numită mască sau fereastră de filtrare și este o formă plană, descrisă ca o mulțime de puncte din spațiul cartezian, în coordonate relative (deci în alt sistem de coordonate decât sistemul de coordonate a imaginii). Scalarii w_{kl} sunt atașați pozițiilor (k, l) din fereastra de filtrare și poartă numele de coeficienți ai filtrului. Spre exemplu, o mască simplă de mediere este media aritmetică a valorilor dintr-o vecinătate pătrată de 3×3 pixeli, centrată în pixelul curent; pentru acest caz, toți coeficienții vor avea valoarea $1/9$ și masca de filtrare W va fi: $W = \{(0, 0), (-1, 0), (1, 0), (0, -1), (-1, -1), (1, -1), (0, 1), (-1, 1), (1, 1)\}$. Pentru acest caz particular, expresia (3.2) devine:

$$v(m, n) = \sum_{k=-1}^1 \sum_{l=-1}^1 \frac{f(m - k, n - l)}{9} \quad (3.3)$$

adică, desfășurat, $v(m, n) = \frac{f(m+1, n-1)}{9} + \frac{f(m+1, n)}{9} + \frac{f(m+1, n+1)}{9} + \frac{f(m, n)}{9} + \frac{f(m, n-1)}{9} + \frac{f(m, n+1)}{9} + \frac{f(m+1, n-1)}{9} + \frac{f(m+1, n)}{9} + \frac{f(m+1, n+1)}{9}$. Același lucru se poate exprima și prin specificarea matricială a măștii de filtrare și marcarea originii acesteia, ca $W = \begin{pmatrix} 1/9 & 1/9 & 1/9 \\ 1/9 & \boxed{1/9} & 1/9 \\ 1/9 & 1/9 & 1/9 \end{pmatrix}$.

Formula de definiție (3.2) nu este altceva decât suma produselor punct cu punct a coeficienților măștii și a valorilor pixelilor imaginii din zonă de imagine peste care a fost suprapusă masca. Această sumă de produse se calculează pentru fiecare punct al imaginii, deplasând masca. Descrierea algoritmului nu este însă altceva decât descrierea plastică a unei operații de convoluție bidimensională, în care, prin convenție, masca de filtrare este considerată nucleul de convoluție. Deplasarea măștii (ferestrei de filtrare) a condus la adoptarea denumirii de tehnică a ferestrei glisante; aplicarea acesteia se poate descrie simplu:

- se plasează originea ferestrei de filtrare (pe rând) în fiecare punct al imaginii și se selectează punctele imaginii situate în interiorul ferestrei (putem imagina fereastra de filtrare ca fiind o apertură într-o placă opacă; într-o anumită poziție a acesteia valorile selectate din imagine sunt valorile punctelor ce se “văd” prin apertură).
- pentru fiecare poziție se face suma produselor punct cu punct coeficient mască - valoare pixel.

Fereastra de filtrare este deci definită de formă (mulțimea W) și valori (coeficienții w_{kl}). Cele mai simple ferestre de filtrare sunt cele de formă pătrată, având originea în centru (deci fiind pătrate de dimensiuni impare: 3 x 3, 5 x 5, etc.) - de tipul celei prezentate în exemplul anterior. Fereastra de filtrare are în general o dimensiune mult mai mică decât dimensiunile imaginii (mai sunt numite și nuclee mici, făcând referință la operația de convoluție). Codul care urmează exemplifică această cea mai simplă filtrare, cu un nucleu de dimensiune 3 x 3. Se remarcă alocarea statică a coeficienților w ai filtrului (numere reale) și alocarea dinamică a imaginii rezultat (considerată aici ca având valori întregi). Calculul valorilor pixelilor din imaginea filtrată s-a făcut decupând câte un rând și o coloană de la extremitățile imaginii originale (pentru a evita efectele de margine, în care masca “debordează” în afara imaginii), acestea fiind completate în imaginea rezultat prin copierea valorilor originale. O altă variantă de evitare a efectelor de margine este bordarea (completarea) imaginii la capete cu câte o linie și o coloană cu valori nule. De asemenea, se poate constata că în expresia de calcul efectiv indicii tabelului de coeficienți ai măștii au fost deplasați, astfel încât indicele minim să fie 0, și nu negativ.

```
real w[3][3];
img_out=(int**)malloc(NRLIN*sizeof(int*));
for (i=0;i<NRLIN;i++)
```

```

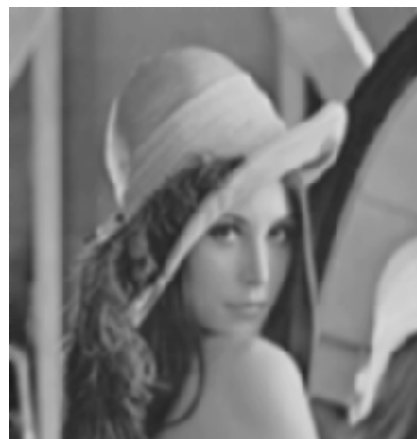
    img_out[i]=(int*)malloc(NRCOL*sizeof(int));
for (i=0;i<NRCOL;i++)
{ img_out[0][i]=img[0][i];
  img_out[NRLIN-1][i]=img[NRLIN-1][i];}
for (i=0;i<NRLIN;i++)
{ img_out[i][0]=img[i][0];
  img_out[i][NRCOL-1]=img[i][NRCOL-1];}
for (i=1;i<NRLIN-1;i++)
  for (j=1;j<NRCOL-1;j++)
    img_out[i][j]=round(w[1][1]*img[i][j]+w[1][0]*img[i][j-1]+
      w[1][2]*img[i][j+1]+w[0][1]*img[i-1][j]+w[0][0]*img[i-1][j-1]+
      w[0][2]*img[i-1][j+1]+w[2][1]*img[i+1][j]+w[2][0]*img[i+1][j-1]+
      w[2][2]*img[i+1][j+1]);

```

Pentru o imagine pătrată de dimensiune N și o mască de filtrare pătrată de dimensiune n , numărul de operații necesare unei filtrări liniare este de N^2n^2 înmulțiri și $N^2(n^2 - 1)$ adunări, adică complexitatea de calcul este $O[N^2]$, atât față de dimensiunile imaginii cât și față de dimensiunile ferestrei de filtrare. Aceasta duce la constrângerea practică de a folosi ferestre de filtrare cât mai mici (și de a încerca descompunerea ferestrelor mari de filtrare într-o succesiune de ferestre mai mici - spre exemplu o filtrare cu un nucleu de 5×5 , care ar necesita 25 de operații pentru fiecare pixel, poate fi echivalată cu două filtrări succesive cu nuclee de 3×3 pixeli, care necesită doar 18 operații pentru fiecare pixel). În figurile următoare se prezintă efectul unei operații de mediere cu un nucleu de 7×7 : se remarcă faptul că imaginea rezultat este mai neclară și cețoasă (efect de *blur*) și că toate contururile au devenit mai vagi.



Imagine originală



Rezultatul unei filtrări de mediere

3.1 Filtrarea liniară de netezire

Efectul de încetșare a unei imagini poate fi considerat și ca un efect de îmbunătățire a uniformității regiunilor [18]. Aceasta înseamnă că se elimină micile diferențe dintre valorile pixelilor aparținând unei aceleiași regiuni (zone cu intensitate luminoasă relativ constantă). Acesta este fundamentul metodelor de reducere a zgomotului alb aditiv gaussian (normal) suprapus imaginii: un asemenea zgomot ce afectează o regiune absolut uniformă (în care toți pixelii ce o formează au aceeași valoare) produce variația valorilor din interiorul acesteia, deci micșorează uniformitatea. Variațiile introduse sunt cu atât mai mari cu cât puterea zgomotului este mai mare; pentru un zgomot de medie nulă (așa cum este zgomotul alb gaussian aditiv) puterea este identică cu varianța. Teoria proceselor aleatoare [16] arată că, pentru o combinație liniară de realizări ale unei variabile aleatoare $y = \sum_{i=1}^n a_i x_i$, varianța noii variabile aleatoare este proporțională cu varianța

variabilei aleatoare din care au provenit realizările particulare: $\sigma_y^2 = \sum_{i=1}^n a_i^2 \sigma_x^2$. Deci, prin medierea a n realizări ale unei variabile aleatoare, varianța este redusă de n ori ($a_i = \frac{1}{n}$).

Măsurile de calitate folosite pentru a caracteriza în mod obiectiv calitatea unei imagini (sau rezultatul unei prelucrări) sunt extensii bidimensionale ale măsurilor de calitate folosite pentru caracterizarea semnalelor unidimensionale. Dacă considerăm f imaginea originală (corectă) și g imaginea a cărei calitate trebuie determinată (g este considerată că provine din f prin suprapunerea unui zgomot aditiv), rapoartele de calitate cele mai utilizate sunt: raportul semnal zgomot (Signal to Noise Ratio - SNR) (3.4), raportul semnal de vârf zgomot (Peak Signal to Noise Ratio - PSNR) (3.5), eroare pătratică medie (Mean Squared Error - MSE) (3.6) și eroarea medie absolută (Mean Absolute Error - MAE) (3.7).

$$SNR = 10 \log \frac{\sum_{n=1}^N \sum_{m=1}^M f^2(n, m)}{\sum_{n=1}^N \sum_{m=1}^M (g(m, n) - f(n, m))^2} \text{ dB} \quad (3.4)$$

$$PSNR = 10 \log \frac{NM \left(\max_{n, m} f(n, m) \right)^2}{\sum_{n=1}^N \sum_{m=1}^M (g(m, n) - f(n, m))^2} \text{ dB} \quad (3.5)$$

$$MSE = \frac{1}{NM} \sum_{n=1}^N \sum_{m=1}^M (g(m, n) - f(n, m))^2 \quad (3.6)$$

$$MAE = \frac{1}{NM} \sum_{n=1}^N \sum_{m=1}^M |g(m, n) - f(n, m)| \quad (3.7)$$



Fig. 3.1: Imagine degradată de un zgomot aditiv gaussian



Fig. 3.2: Reducerea zgomotului prin filtrarea de mediere

Figurile următoare prezintă o imagine degradată cu un zgomot aditiv, alb, gaussian, de medie nulă (figura 3.1 SNR=16.97 dB, PSNR=22.43 dB, MAE=15.22) și imaginea filtrată cu un filtru liniar de mediere aritmetică, cu fereastră 3 x 3 (figura 3.2 SNR=19.33 dB, PSNR=24.79 dB, MAE=9.31). Se poate observa atât o calitate vizuală mai bună (regiuni mai uniforme) cât și factori de calitate mai buni (SNR și PSNR mai mari, MAE mai mic).

Un caz particular de interes este considerarea regiunilor constante (absolut uniforme) ale imaginii; în aceste regiuni toți pixelii vor avea aceeași valoare, și deci uniformitatea nu mai poate fi îmbunătățită. În același timp, operația de filtrare de netezire trebuie să păstreze această valoare constantă a pixelilor (pe care o vom nota cu μ); înlocuind în formula de

definiție a filtrării liniare (3.2), vom obține că

$$\mu = \sum_{(k,l) \in W} w_{kl} \mu$$

adică:

$$\sum_{(k,l) \in W} w_{kl} = 1 \quad (3.8)$$

Această condiție (suma coeficienților măștii de filtrare să fie unitară) se numește condiția de normare a nucleelor de filtrare de netezire și definește un astfel de nucleu.

Nucleele de filtrare folosite nu trebuie limitate strict la nucleele ce realizează media aritmetică într-o vecinătate pătrată, centrată în punctul considerat. Măștile următoare rea-

lizează medieri ponderate: $W_1 = \begin{pmatrix} 1/16 & 1/16 & 1/16 \\ 1/16 & \boxed{1/2} & 1/16 \\ 1/16 & 1/16 & 1/16 \end{pmatrix}$, $W_2 = \begin{pmatrix} 0 & 1/5 & 0 \\ 1/5 & \boxed{1/5} & 1/5 \\ 0 & 1/5 & 0 \end{pmatrix}$,

$W_3 = \begin{pmatrix} 0 & 1/8 & 0 \\ 1/8 & \boxed{1/4} & 1/8 \\ 0 & 1/8 & 0 \end{pmatrix}$, $W_4 = \begin{pmatrix} \boxed{1/2} & 1/6 \\ 1/6 & 1/6 \end{pmatrix}$. Nucleul de filtrare poate avea orice

formă (deci există o libertate totală în definirea mulțimii W (3.2)); în același timp însă, practica a demonstrat suficiența considerării unor forme regulate (pătrate, centrate) pentru mască. Orice mască poate fi extinsă cu puncte ce au atașat un coeficient nul, pentru a rezulta o mască pătrată centrată; spre exemplu, masca W_4 poate fi scrisă și ca

$W_4 = \begin{pmatrix} 0 & 0 & 0 \\ 0 & \boxed{1/2} & 1/6 \\ 0 & 1/6 & 1/6 \end{pmatrix}$; la fel s-a procedat și cu măștile W_2 și W_3 . Trebuie remarcat

că toate aceste măști respectă condiția de normare a unui nucleu de netezire (3.8).

3.2 Filtrarea liniară de contrastare

Contrastarea unei imagini are ca obiectiv îmbunătățirea percepției vizuale a conturilor obiectelor (îmbunătățirea detectabilității componentelor scenei de-a lungul frontierelor acestora). În principiu, acest deziderat se poate realiza prin modificarea valorilor pixelilor aflați de o parte și de alta a unei frontiere comune.

O experiență de percepție vizuală subiectivă (“benzile lui Mach”) a pus în evidență faptul că sistemul vizual uman are tendința de a adânci profilul zonelor de tranziție dintre regiuni uniforme. Studiul fiziologiei sistemului vizual a demonstrat că acesta se realizează prin prelucrări de tip derivativ ce apar în diferitele etape pe care le parcurge informația vizuală; efectul global poate fi descris ca scăderea din semnalul original a unei derivate secunde a acestuia, ponderată corespunzător (așa cum prezintă figurile 3.3 și 3.4, pentru cazul unidimensional - secțiunea unei frontiere între regiunile imaginii).

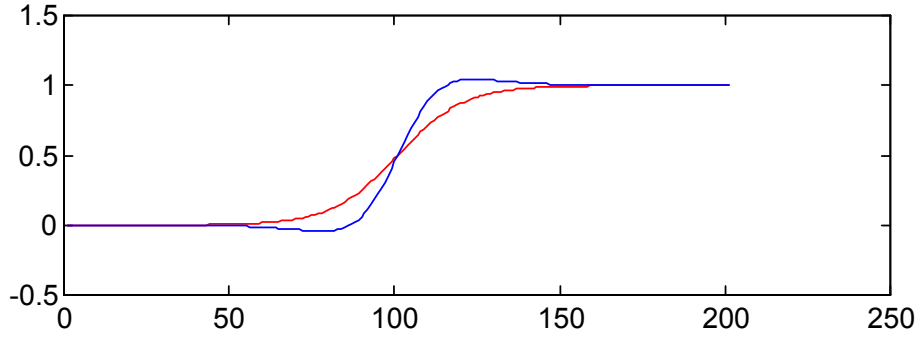


Fig. 3.3: Profilul original de tranziție și profilul adâncit prin scăderea derivatei secunde

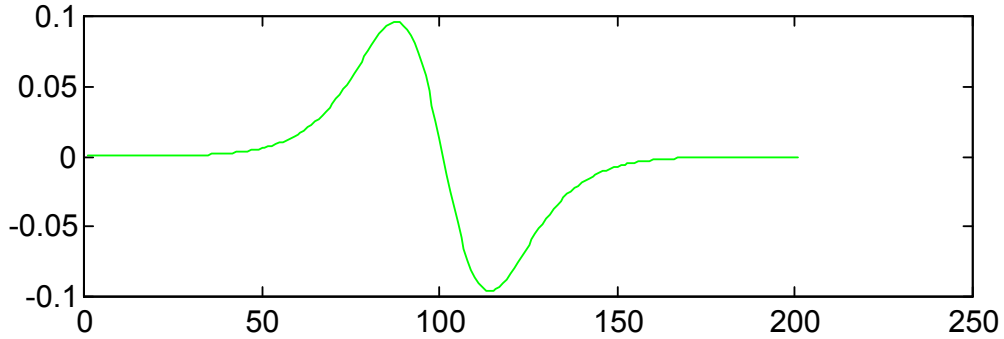


Fig. 3.4: Derivata secundă a profilului original prezentat anterior

Implementarea unei derivate secunde pentru cazul discret va trebui să ia în considerare existența a două direcții de derivare de bază și modul de definire a derivatei în cazul discret (de exemplu prima derivată pe direcția orizontală poate fi $f'(m, n) = f(m, n+1) - f(m, n)$ sau $f'(m, n) = f(m, n) - f(m, n-1)$ sau $f'(m, n) = f(m, n+1) - f(m, n-1)$). Măști obișnuite de implementare a unei derivate secunde bidirecționale (operator Laplacian)

pot fi [9], [19], [5]: $W_5 = \begin{pmatrix} 0 & -1/4 & 0 \\ -1/4 & \boxed{1} & -1/4 \\ 0 & -1/4 & 0 \end{pmatrix}$, $W_6 = \begin{pmatrix} 1/4 & -1/2 & 1/4 \\ -1/2 & \boxed{1} & -1/2 \\ 1/4 & -1/2 & 1/4 \end{pmatrix}$,

$$W_7 = \begin{pmatrix} -1/8 & -1/8 & -1/8 \\ -1/8 & \boxed{1} & -1/8 \\ -1/8 & -1/8 & -1/8 \end{pmatrix}.$$

Pentru un astfel de operator de derivare este esențial ca răspunsul său pentru pixeli din interiorul unei regiuni absolut uniforme (de valoare μ) să fie nul (derivata unei constante este nulă); pentru aceasta, din formula de definiție a filtrării liniare (3.2) avem că $0 =$

$\sum_{(k,l) \in W} w_{kl} \mu$, adică:

$$\sum_{(k,l) \in W} w_{kl} = 0 \quad (3.9)$$

Aceasta este condiția de normare a unui nucleu de filtrare derivativă, pentru care suma coeficienților măștii trebuie deci să fie nulă. Se remarcă faptul că nucleele de derivată secundă (operatori laplacieni) prezentate anterior verifică această condiție de normare (3.9). Figurile următoare prezintă o imagine slab contrastată și varianta sa îmbunătățită prin contrastare cu nucleul laplacian W_5 .



Imagine originală



Contrast îmbunătățit

3.3 Filtrarea liniară adaptivă

Termenul de adaptiv se referă la capacitatea filtrului de a-și ajusta comportarea (care este determinată de caracteristicile sale de definiție) în funcție de anumite criterii, urmărind optimizarea unor măsuri de calitate. În mod curent, optimizarea măsurilor de calitate se traduce în prelucrarea semnalelor unidimensionale prin minimizarea erorii pătratică medii (sau, corespunzător, maximizarea raportului semnal zgomot). Pe lângă măsurile obiective de calitate, prelucrarea imaginilor adaugă și o măsură subiectivă: confortul vizual al unui observator, pentru care imaginea dată arată bine, sau mai bine decât o alta. Prin procesul de adaptare, în fiecare nou punct prelucrat structura filtrului este alta, luând în considerare caracteristicile locale pixelului curent prelucrat.

Atâta timp cât (cel puțin teoretic) în fiecare punct al imaginii operația este diferită (deoarece se face cu un filtru diferit), filtrarea globală nu mai este liniară (nu mai respectă principiul superpoziției (3.1)).

Adaptarea filtrelor liniare nu poate urmări decât două variante: modificarea formei ferestrei de filtrare, sau modificarea coeficienților unei ferestre de filtrare de formă fixată.

Exemplul cel mai folosit de modificare a formei ferestrei de filtrare este filtrul de netezire direcțională adaptivă [9]. Termenul de filtrare direcțională se referă la forma puternic orientată a ferestrei de filtrare (deci fereastra de filtrare nu mai este pătrată, ci va avea o formă liniară, orientată după o anumită direcție). Pentru fiecare punct al imaginii se pot considera mai multe orientări (deci mai multe direcții) posibile pentru masca de mediere. Pentru fiecare dintre direcțiile alese se obține în urma filtrării o valoare. În mod ideal, dorim ca valoarea obținută prin filtrare să nu difere în mod semnificativ de valoarea inițială din pixelul considerat. O diferență semnificativă poate însemna că punctul curent este situat pe un contur, și acceptarea acestei valori mult diferite de cea inițială produce efectul de încetșoare a imaginii (caracteristic oricărei filtrări de netezire). Soluția adusă de filtrul adaptiv este de a alege din setul de valori obținute pentru diferitele ferestre de filtrare pe aceea care este cea mai apropiată de valoarea inițială din punctul curent. Fragmentul de cod următor prezintă un caz particular de filtrare direcțională adaptivă: ferestrele direcționale au trei puncte și sunt alese după cele patru direcții principale (orizontal, vertical și cele două diagonale, adică direcțiile orientate la 0° , 45° , 90° și 135° față de orizontală).

```
int val_temp1, val_temp2, out0, out45, out90, out135;
for (i=1; i<NRLIN-1; i++)
  for (j=1; j<NRCOL-1; j++) {
    out0=round((img[i][j]+img[i][j-1]+img[i][j+1])/3);
    out90=round((img[i][j]+img[i-1][j]+img[i+1][j])/3);
    out45=round((img[i][j]+img[i-1][j+1]+img[i+1][j-1])/3);
    out135=round((img[i][j]+img[i-1][j-1]+img[i+1][j+1])/3);
    if (abs(out0-img[i][j])>abs(out90-img[i][j]))
      val_temp1=out90;
    else
      val_temp1=out0;
    if (abs(out45-img[i][j])>abs(out135-img[i][j]))
      val_temp2=out135;
    else
      val_temp2=out45;
    if (abs(val_temp1-img[i][j])>abs(val_temp2-img[i][j]))
      img_out[i][j]=val_temp2;
    else
      img_out[i][j]=val_temp1; }
}
```

În cod nu a mai fost inclusă alocarea de memorie pentru imaginea de ieșire *img_out* și nici partea de copiere a valorii marginilor imaginii; se remarcă folosirea a patru variabile suplimentare *out0*, *out45*, *out90*, *out135* care primesc valorile obținute prin filtrarea direcțională cu masca orientată la 0° , 45° , 90° și 135° . Variabilele *val_temp1* și *val_temp2* sunt folosite apoi pentru a calculul valorii celei mai apropiate de valoarea originală.

Ideea de a accepta valoarea produsă de medierea valorilor selectate de fereastra filtrului

numai dacă această valoare este suficient de apropiată de valoarea originală se poate aplica și pentru filtrarea de netezire cu fereastră și coeficienți ficși [5]. În acest caz rezultatul netezirii într-un punct va fi acceptat doar dacă diferența față de valoarea originală este mai mică decât un prag impus:

$$g(n, m) = \begin{cases} \sum_{(k,l) \in W} w_{kl} f(m-k, n-l), & \text{dacă } \left| f(m, n) - \sum_{(k,l) \in W} w_{kl} f(m-k, n-l) \right| < T \\ f(m, n), & \text{în rest} \end{cases}$$

O variantă clasică de filtrare liniară adaptivă, realizată prin recalcularea coeficienților măștii de filtrare în fiecare punct al imaginii este prezentată în [18]. Acest filtru este o combinație liniară convexă a imaginii zgomotoase și a imaginii obținute din aceasta printr-o filtrare liniară de mediere (cu fereastră constantă), adică: $\hat{f} = \alpha f + \beta \bar{f}$. O combinație liniară convexă se obține doar dacă $\alpha + \beta = 1$. Deci

$$\hat{f} = \alpha f + (1 - \alpha) \bar{f} \quad (3.10)$$

Imaginea zgomotoasă f provine dintr-o imagine corectă g , la care s-a adăugat un zgomot alb aditiv de medie nulă ($\bar{n} = 0$) și necorelat cu imaginea ($\overline{n\bar{g}} = \bar{n}\bar{g} = 0$): $f = g + n$. Atunci

$$\hat{f} = \alpha(g + n) + (1 - \alpha)\overline{(g + n)} = \alpha g + \alpha n + (1 - \alpha)\bar{g} \quad (3.11)$$

Ceea ce definește filtrul adaptiv este coeficientul α ; acesta este calculat local impunând optimizarea unei măsuri de calitate obiective - eroarea pătratică medie între imaginea originală g și rezultatul filtrării \hat{f} .

$$\begin{aligned} \varepsilon^2 &= (\hat{f} - g)^2 = (\alpha n + (\alpha - 1)(g - \bar{g}))^2 = \alpha^2 n^2 + 2\alpha(\alpha - 1)ng - 2\alpha(\alpha - 1)n\bar{g} + (\alpha - 1)^2(g - \bar{g})^2 \\ \overline{\varepsilon^2} &= \overline{\alpha^2 n^2 + 2\alpha(\alpha - 1)ng - 2\alpha(\alpha - 1)n\bar{g} + (\alpha - 1)^2(g - \bar{g})^2} = \alpha^2 \overline{n^2} + (\alpha - 1)^2 \overline{(g - \bar{g})^2} \\ \overline{\varepsilon^2} &= \alpha^2 \sigma_n^2 + (\alpha - 1)^2 \sigma_g^2 \end{aligned} \quad (3.12)$$

Formula (3.12) arată că eroarea pătratică medie este suma ponderată dintre varianța (puterea) zgomotului σ_n^2 și varianța imaginii originale σ_g^2 . Găsirea coeficientului α optim înseamnă găsirea minimumului lui $\overline{\varepsilon^2}$, deci anularea derivatei acestuia.

$$\frac{d\overline{\varepsilon^2}}{d\alpha} = 2\alpha\sigma_n^2 + 2(\alpha - 1)\sigma_g^2 = 0$$

$$\alpha = \frac{\sigma_g^2}{\sigma_g^2 + \sigma_n^2} = 1 - \frac{\sigma_n^2}{\sigma_f^2} \quad (3.13)$$

De aici rezultă expresia finală a filtrului:

$$\hat{f} = \left(1 - \frac{\sigma_n^2}{\sigma_f^2}\right) f + \frac{\sigma_n^2}{\sigma_f^2} \bar{f} \quad (3.14)$$

Se observă că trebuiesc cunoscute puterea de zgomot și varianța locală (în fiecare punct) al imaginii zgomotoase. Adaptarea se face între două cazuri limită: dacă puterea de zgomot este mult mai mare decât varianța valorilor imaginii originale ($\sigma_n^2 \gg \sigma_g^2$) atunci, din prima parte a formulei (3.13) rezultă $\alpha = 0$ și deci filtrul optim este un simplu filtru de mediere; dacă varianța valorilor din imagine este mult mai mare decât puterea de zgomot ($\sigma_f^2 \gg \sigma_n^2$, deci este de presupus că punctul curent considerat este situat pe un contur) atunci $\alpha = 1$ și filtrul optim este un filtru identitate (trece tot). Prezentăm în continuare codul Matlab ce implementează această filtrare adaptivă:

```
[NRLIN,NRCOL]=size(img);
for i=2:NRLIN-1
    for j=2:NRCOL-1
        temp=img(i-1:i+1,j-1:j+1);
        temp=temp(:);
        varianta_img=std(temp);
        alfa=1-varianta_zg/varianta_img;
        img_out(i,j)=alfa*img(i,j)+(1-alfa)mean(temp);
    end
end
```

Se folosesc funcțiile Matlab *mean* (pentru a calcula media valorilor selectate de fereastra de filtrare pătrată de 3 x 3) și *std* (pentru a calcula varianța locală a imaginii). Se presupune că puterea de zgomot *varianta_zg* este un parametru cunoscut.

În capitolul următor se va introduce o nouă posibilitate de caracterizare a efectelor filtrării liniare a imaginilor: reprezentarea în domeniul frecvențelor spațiale (o extensie directă a spectrului semnalelor unidimensionale). De asemenea vom arăta că rămâne valabilă teorema convoluției, prin care vom introduce și o nouă modalitate de implementare a filtrelor liniare: filtrarea în domeniul de frecvență.

Capitolul 4

TRANSFORMĂRI INTEGRALE UNITARE DISCRETE

4.1 Generalități

Această categorie de prelucrări include operații de tip integral – totalitatea pixelilor imaginii inițiale contribuie la obținerea valorii fiecărui pixel din imaginea rezultat. În [9] se consideră că termenul de transformări de imagine se referă în mod uzual la o clasă de matrici unitare folosite pentru reprezentarea imaginilor. Orice imagine poate fi reprezentată ca o serie de matrici de bază ortonormale. Pentru o imagine pătrată \mathbf{U}^1 de dimensiune N , o dezvoltare în serie este

$$\mathbf{U} = \sum_{m=0}^{N-1} \sum_{n=0}^{N-1} \mathbf{A}_{kl}^* V(k, l) \quad (4.1)$$

unde \mathbf{A}_{kl}^* sunt matricile de bază² (de dimensiuni $N \times N$) iar $V(k, l)$ sunt coeficienții dezvoltării în serie. Exprimând relația (4.1) la nivelul fiecărui pixel al imaginii \mathbf{U} obținem

$$U(m, n) = \sum_{k=0}^{N-1} \sum_{l=0}^{N-1} a_{kl}^*(m, n) V(k, l) \quad (4.2)$$

Calculul coeficienților $V(k, l)$ ai transformării se poate face în condițiile impuse de orto-

¹În acest capitol vom folosi notațiile matriciale și vectoriale clasice: litere mari, drepte și groase pentru matrici (\mathbf{A} este o matrice), litere mici, drepte și groase pentru vectori (\mathbf{v} este un vector) și litere înclinate pentru elementele vectorilor și matricilor ($A(i, j)$, $v(m)$).

²Numite uneori și imagini de bază.

gonalitate și completitudine a matricilor de bază \mathbf{A}_{kl}^* prin:

$$V(k, l) = \sum_{m=0}^{N-1} \sum_{n=0}^{N-1} a_{kl}(m, n)U(m, n) \quad (4.3)$$

Mulțimea coeficienților transformării $V(k, l)$ formează matricea \mathbf{V} , transformata imaginii. Atunci relația (4.2) este transformarea directă a imaginii, iar relația (4.3), prin care se obține imaginea din transformata sa, este transformata inversă. Se poate remarca faptul că ambele transformări (directă și inversă) necesită N^4 operații de înmulțire, și deci o complexitate $O(N^4)$.

Condiția de ortonormalitate a matricilor de bază se exprimă ca

$$\sum_{m=0}^{N-1} \sum_{n=0}^{N-1} a_{kl}(m, n)a_{k'l'}^*(m, n) = \delta(k - k', l - l'), \forall k, l, k', l' \quad (4.4)$$

și asigură faptul că orice dezvoltare în serie trunchiată minimizează eroarea pătratică de aproximare.

Condiția de completitudine a matricilor de bază se exprimă ca

$$\sum_{k=0}^{N-1} \sum_{l=0}^{N-1} a_{kl}(m, n)a_{kl}^*(m', n') = \delta(m - m', n - n'), \forall m, n, m', n' \quad (4.5)$$

și asigură faptul că baza de matrici folosită este completă.

O transformare de tip (4.2) este deci caracterizată de cei N^4 coeficienți $a_{kl}(m, n)$, ce pot fi interpretați ca valori ai unei funcții de patru variabile (k, l, m, n) , câte două pentru fiecare imagine (inițială și transformată). Această funcție se numește nucleul transformării. Prin definiție, o transformare se zice separabilă dacă nucleul ei este separabil după perechi de variabile corespondente:

$$a_{kl}(m, n) = a_k(m)b_l(n) = a(k, m)b(l, n) \quad (4.6)$$

Impunând condițiile (4.4) și (4.5) acestei noi forme a coeficienților transformării, rezultă că matricile $\mathbf{A} = \{a(k, m)\}$ și $\mathbf{B} = \{b(l, n)\}$ trebuie să fie matrici unitare:

$$\mathbf{A}\mathbf{A}^{*T} = \mathbf{A}^T\mathbf{A}^* = \mathbf{I}_N \quad (4.7)$$

$$\mathbf{B}\mathbf{B}^{*T} = \mathbf{B}^T\mathbf{B}^* = \mathbf{I}_N$$

Pentru o transformare separabilă, relațiile de definiție (4.2) și (4.3) pot fi rescrise sub formă matricială ca:

$$\mathbf{V} = \mathbf{A}\mathbf{U}\mathbf{B}^T \quad (4.8)$$

$$\mathbf{U} = \mathbf{A}^{*T}\mathbf{V}\mathbf{B}^* \quad (4.9)$$

Numărul de înmulțiri necesare pentru a realiza oricare dintre transformările (4.8) sau (4.9) este doar N^3 (deci o complexitate $O(N^3)$). Proprietatea de separabilitate conduce deci la reducerea complexității calculului cu un ordin de mărime; în practică se folosesc numai transformări separabile, pentru care, în plus, $\mathbf{A} = \mathbf{B}$. În acest caz particular, relația (4.8) se poate scrie ca

$$\mathbf{V} = \mathbf{A}\mathbf{U}\mathbf{A}^T = \mathbf{A}(\mathbf{A}\mathbf{U}^T)^T = (\mathbf{U}^T\mathbf{A}^T)^T\mathbf{A}^T$$

ceea ce înseamnă că se poate face o transformare unidimensională pe fiecare linie sau coloană a lui \mathbf{U} urmată de aceeași transformare pe fiecare coloană sau linie a rezultatului. Astfel, transformările practic utilizate în prelucrarea imaginilor (matricilor) sunt (paradoxal ?) unidimensionale.

Aceste observații ne conduc la concluzia că pentru acoperirea cazurilor utilizate în mod curent este suficientă studierea proprietăților transformărilor integrale unitare unidimensionale.

4.2 Proprietățile transformărilor unitare unidimensionale

În cele ce urmează vom considera semnalul de intrare $\mathbf{u} = (u(0), u(1), \dots, u(N-1))$ și transformata sa \mathbf{v} , obținută prin folosirea matricii unitare \mathbf{A} . Relațiile de transformare (directă și inversă) sunt $\mathbf{v} = \mathbf{A}\mathbf{u}$ și $\mathbf{u} = \mathbf{A}^{*T}\mathbf{v}$.

1. Energia semnalului se conservă printr-o transformare unitară.

$$E_{\mathbf{v}} = \|\mathbf{v}\|^2 = \mathbf{v}^{*T}\mathbf{v} = (\mathbf{A}\mathbf{u})^{*T}\mathbf{A}\mathbf{u} = \mathbf{u}^{*T}\mathbf{A}^{*T}\mathbf{A}\mathbf{u} = \mathbf{u}^{*T}\mathbf{u} = \|\mathbf{u}\|^2 = E_{\mathbf{u}} \quad (4.10)$$

Energia vectorului semnal este de fapt lungimea (Euclidiană) a acestuia în spațiul N -dimensional de reprezentare. Conservarea energiei este deci echivalentă cu conservarea lungimii vectorului, deci transformarea unitară este o rotație în spațiul semnalului. Aceasta înseamnă că baza de reprezentare a lui \mathbf{u} este rotită, iar \mathbf{v} este proiecția lui \mathbf{u} pe noua bază.

2. Energia medie a semnalului se conservă printr-o transformare unitară.

$$\overline{\mathbf{v}} = \overline{\mathbf{A}\mathbf{u}} = \mathbf{A}\overline{\mathbf{u}} \quad (4.11)$$

$$\overline{E_{\mathbf{v}}} = \overline{\mathbf{v}^{*T}\mathbf{v}} = (\mathbf{A}\overline{\mathbf{u}})^{*T}\mathbf{A}\overline{\mathbf{u}} = \overline{\mathbf{u}}^{*T}\mathbf{A}^{*T}\mathbf{A}\overline{\mathbf{u}} = \overline{\mathbf{u}}^{*T}\overline{\mathbf{u}} = \overline{E_{\mathbf{u}}} \quad (4.12)$$

Corelațiile componentelor semnalului se modifică; dacă notăm cu \mathbf{C} matricea de covariație atunci:

$$\mathbf{C}_{\mathbf{u}} = \overline{(\mathbf{u} - \overline{\mathbf{u}})(\mathbf{u} - \overline{\mathbf{u}})^{*T}} \quad (4.13)$$

$$\mathbf{C}_v = \overline{(\mathbf{v} - \bar{\mathbf{v}})(\mathbf{v} - \bar{\mathbf{v}})^*T} = \overline{\mathbf{A}(\mathbf{u} - \bar{\mathbf{u}})(\mathbf{u} - \bar{\mathbf{u}})^*T \mathbf{A}^*T} = \mathbf{A} \mathbf{C}_u \mathbf{A}^*T \quad (4.14)$$

Majoritatea transformărilor unitare au tendința de a aglomera o mare parte a energiei medii a semnalului în relativ puțini coeficienți ai transformării. Deoarece energia totală se conservă prin transformare, mulți coeficienți ai transformării vor conține foarte puțină energie. Energia medie a coeficienților transformării va avea o distribuție neuniformă, chiar dacă în secvența de intrare aceasta era uniform distribuită.

Dacă componentele lui \mathbf{u} sunt puternic corelate, coeficienții transformării vor fi decorelați (termenii matricii de covariație care nu sunt pe dioagonala principală vor avea valori mici comparativ cu valorile de pe diagonală).

3. Entropia unui vector cu componente aleatoare se conservă printr-o transformare unitară

$$H(\mathbf{u}) = \frac{N}{2} \log_2(2\pi e |\mathbf{C}_u|^{1/N}) = \frac{N}{2} \log_2(2\pi e |\mathbf{C}_v|^{1/N}) = H(\mathbf{v}) \quad (4.15)$$

Deoarece entropia este o măsură a cantității de informație (informația medie) înseamnă ca transformările unitare păstrează informația conținută în semnal.

4.3 Transformata Fourier discretă

Transformata Fourier este poate cea mai importantă transformare integrală unitară, ce asigură trecerea între spațiul semnalului și spațiul de frecvențe ale semnalului. După cum semnalul este “clasic” (temporal, și deci unidimensional) sau cu suport spațial bidimensional (image), spațiul de frecvență marchează frecvențe propriu-zise sau frecvențe spațiale.

Transformata Fourier discretă bidimensională este o transformare separabilă, în care nucleul se poate descompune în termeni identici $\mathbf{A} = \mathbf{B} = \mathbf{F}$. Matricea \mathbf{F} a transformării este o matrice unitară, ce verifică (4.7). Elementele matricii transformării sunt exponențialele complexe:

$$F(k, n) = \frac{1}{\sqrt{N}} e^{-j \frac{2\pi}{N} kn} = \frac{1}{\sqrt{N}} w_N^{kn} \quad (4.16)$$

Separabilitatea ne permite deci să studiem majoritatea proprietăților transformării pe cazul unidimensional, urmând ca rezultatele să fie ușor extinse pentru cazul bidimensional. Folosind notațiile introduse în secțiunea 4.2, putem scrie deci transformata Fourier unidimensională directă ca:

$$v(k) = \sum_{n=0}^{N-1} u(n) w_N^{kn}, \quad k = \overline{0, N-1} \quad (4.17)$$

iar transformarea inversă ca

$$u(n) = \frac{1}{N} \sum_{k=0}^{N-1} v(k) w_N^{-kn}, \quad n = \overline{0, N-1} \quad (4.18)$$

Relațiile se extind imediat la cazul bidimensional:

$$v(k, l) = \sum_{m=0}^{N-1} \sum_{n=0}^{N-1} u(m, n) w_N^{kn+ml}, \quad k, l = \overline{0, N-1} \quad (4.19)$$

$$u(m, n) = \frac{1}{N^2} \sum_{k=0}^{N-1} \sum_{l=0}^{N-1} v(k, l) w_N^{-(kn+ml)}, \quad m, n = \overline{0, N-1} \quad (4.20)$$

Trebuie totuși remarcat că formele prezentate ale transformărilor nu mai sunt unitare (apare o asimetrie între transformarea directă și cea inversă prin factorul de scalare de tip $1/N$). Matematic, definiția (4.16) este corectă, dar în practică se folosesc formele neunitare prezentate în (4.17), (4.18) și (4.19), (4.20).

4.3.1 Proprietățile fundamentale ale transformatei Fourier

Dintre numeroasele proprietăți ale transformatei Fourier [9], [19] ne vom referi doar la două proprietăți fundamentale: simetria centrală a spectrului de frecvență (având drept consecință importantă faptul că este necesar același spațiu de memorie pentru a reprezenta fie spectrul unei imagini, fie imaginea propriu-zisă) și teorema convoluției circulare (care face legătura între filtrarea în domeniul spațial și în domeniul de frecvență).

Transformata Fourier a unei secvențe (matrici) reale este complex conjugată față de mijlocul său [9]. Aceasta înseamnă că

$$v\left(\frac{N}{2} - k\right) = v^*\left(\frac{N}{2} + k\right), \quad k = \overline{0, \frac{N}{2}} \quad (4.21)$$

$$v\left(\frac{N}{2} - k, \frac{N}{2} - l\right) = v^*\left(\frac{N}{2} + k, \frac{N}{2} + l\right), \quad k, l = \overline{0, \frac{N}{2}}$$

Relațiile arată că există o simetrie centrală a spectrelor de frecvență, în centru aflându-se o valoare reală. Dar singura valoare reală din spectre este cea ce corespunde componentei de frecvență nulă (componenta medie), și deci este necesară o interschimbare a jumătăților de spectru (în cazul secvențelor unidimensionale) sau a sferturilor de spectru (în cazul imaginilor), astfel încât componenta de frecvență nulă să fie în centru. În figura 4.1 este reprezentat modulul spectrului de frecvență al imaginii “lena”, reprezentat cu 256 nivele de gri (valorile au fost scalate după o reprezentare logaritmică) astfel încât valorile mai mari corespund unei nuanțe mai deschise. Se observă în partea dreaptă spectrul central simetrizat, în care valorile maxime (corespunzând frecvențelor cele mai mici, inclusiv

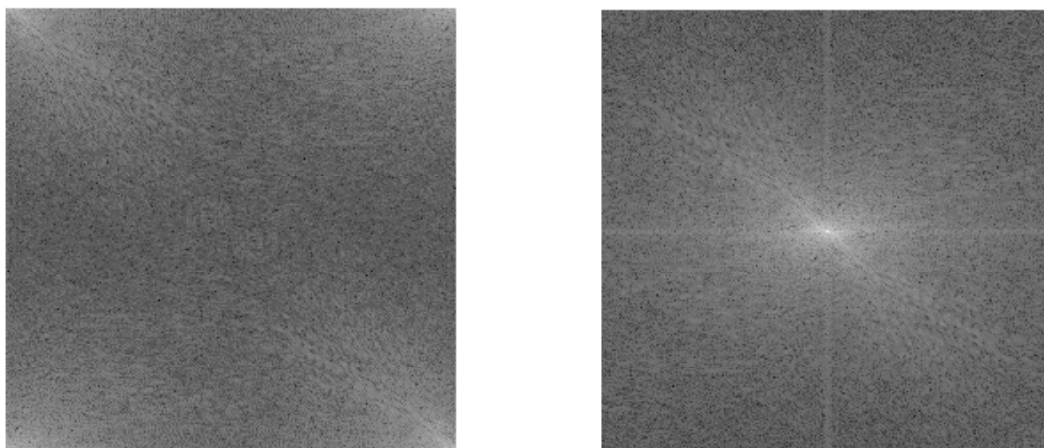


Fig. 4.1: Spectrele de frecvență (Fourier) ale imaginii “lena”, înainte și după aranjarea cu simetrie centrală.

zero) se găsesc în centrul imaginii, iar în partea stângă spectrul original obținut în urma transformării Fourier, în care maximele se găsesc pe cele patru colțuri.

Ca și în cazul unidimensional, și pentru imagini legătura dintre frecvențele spațiale și obiectele din domeniul spațial (imagine) se păstrează: frecvențele spațiale ridicate corespund detaliilor, obiectelor mici, conturilor, zgomotului. În figura 4.2 este prezentat spectrul de frecvență al imaginii “lena” degradată de zgomot impulsiv de tip sare și piper (figura 5.1); zgomotul impulsiv corespunde apariției a numeroase detalii (obiecte mici – punctele de zgomot) și variații ale nivelului de gri. Efectul evident este acela de mărire a valorilor din spectru corespunzătoare frecvențelor înalte și, corespunzător, diminuarea importanței relative a frecvențelor joase.

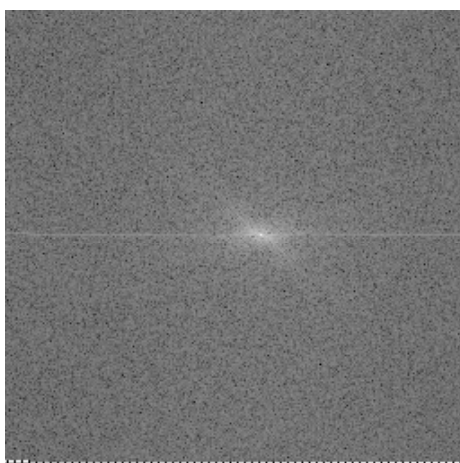


Fig. 4.2: Spectrul de frecvență al imaginii “lena” degradată de zgomot impulsiv.

Prelucrarea imaginilor (fie ele scalare sau vectoriale) presupune executarea, prin intermediul unui bloc funcțional ce poate fi presupus inițial de tip “cutie neagră”, a unei operații de tip *Image In, Image Out* [2] (spre deosebire de tehnicile de analiză ce pot fi caracterizate ca operații *Image In, Description Out*). Transformarea imaginii de intrare în imaginea rezultat de ieșire (ce prezintă aceleași caracteristici majore, simbolice și perceptuale³) se numește în mod generic filtrare⁴. Funcția unui filtru este de a transforma un semnal dat într-un alt semnal, mai potrivit unei anume aplicații date.

Definițiile filtrării (sau ale dispozitivului care o realizează, filtrul) ce se regăsesc în dicționarele lingvistice de uz general fac apel la noțiunea de semnal electric și de frecvențe asociate componentelor acestuia. Descrierea acțiunii filtrului este descrierea unei operații liniare efectuate în domeniul frecvențelor. Extinderea acestor definiții la cazul imaginilor presupune în primul rând definirea spectrului de frecvență asociat unui semnal cu suport [spațial] multidimensional și, implicit, introducerea noțiunii de frecvență spațială. Utilizarea unei prelucrări în domeniul frecvențelor presupune apoi identificarea benzilor de frecvență corepunzătoare entităților ce se doresc păstrate, respectiv eliminate, asociere ce nu este întotdeauna simplă. În practică, aceasta înseamnă determinarea unui spectru de frecvențe transformat, care apoi este transformat prin transformata Fourier inversă în imaginea filtrată – aceasta este filtrarea în domeniul frecvență.

Filtrarea liniară a imaginilor se bazează pe convoluția [circulară] între imaginea de prelucrat și un nucleu de filtrare (a se vedea capitolul 3); teoria transformatelor unitare [9] arată că o asemenea operație este echivalentă unui produs între spectrul Fourier al imaginii și spectrul Fourier al nucleului de filtrare; aceasta este teorma convoluției. În cazul unidimensional, dacă secvențele \mathbf{x} și \mathbf{y} au aceeași lungime, și \otimes este operatorul de convoluție circulară (definit în (4.23)) atunci:

$$\text{Fourier}(\mathbf{x} \otimes \mathbf{y}) = \text{Fourier}(\mathbf{x}) \text{Fourier}(\mathbf{y}) \quad (4.22)$$

$$\mathbf{x} \otimes \mathbf{y}(n) = \sum_{k=0}^{N-1} x((n-k) \bmod N) y(k), n = \overline{0, N-1} \quad (4.23)$$

Teorema convoluției oferă deci instrumentul prin care se pot echivala operațiile de filtrare realizate în domeniile spațial (filtrarea liniară, prezentată în capitolul 3) și de frecvență. Aceasta înseamnă că un nucleu mic de convoluție (mască de filtrare) este bordat cu zerouri până la obținerea dimensiunii imaginii (teorema convoluției circulare se referă la

³Prin prisma acestei definiții, transformările unitare ale imaginilor (deci reprezentarea într-un spațiu spectral) nu sunt filtrări; spectrul unei imagini, deși este echivalent acesteia din punct de vedere informațional, nu are aceleași caracteristici perceptuale.

⁴Filtrul este un sistem de circuite electrice, sonore, etc. cu care se selectează dintr-un complex de oscilații cu frecvențe diferite, oscilațiile cu frecvențele cuprinse între anumite limite. (Dicționarul Explicativ al Limbii Române, 1995)

Filtrul este un dispozitiv ce amortizează selectiv oscilațiile cu anumite frecvențe și nu afectează oscilațiile având alte frecvențe. (Webster Encyclopedic Unabridged Dictionary, 1995)

Filtrul este un dispozitiv destinat favorizării sau inhibării trecerii anumitor componente de frecvență a unui semnal electric. (Larousse, 1994)

secvențe de aceeași lungime) și apoi transformat Fourier; ceea ce se obține este răspunsul în frecvență al filtrului. Figura 4.3 prezintă răspunsul în frecvență a filtrului de mediere aritmetică realizat cu un nucleu pătrat, centrat de 3×3 ; se remarcă comportamentul de tip filtru trece jos. Acest comportament este leagat de efectul de “blur” al filtrului de mediere, pus în evidență prin reducerea vizibilității conturilor imaginii, și deci înlăturarea frecvențelor înalte ce le sunt asociate.

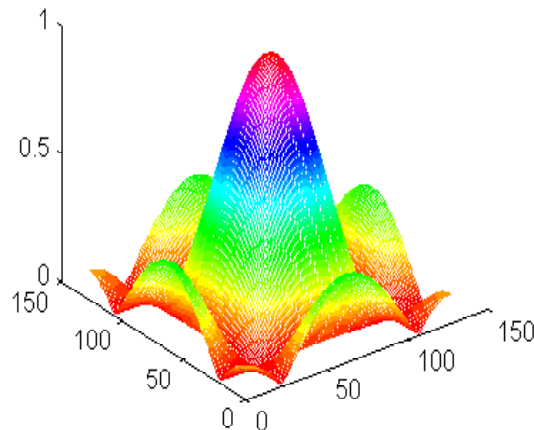


Fig. 4.3: Răspunsul în frecvență a unui nucleu 3×3 de mediere aritmetică.

4.3.2 Transformata Fourier rapidă

Implementarea directă a relației de definiție a transformării Fourier discrete unidimensionale (4.17) necesită evident N^2 înmulțiri complexe și $N(N-1)$ adunări, ceea ce duce la o complexitate $O(N^2)$. Realizarea unei implementări mai rapide a transformării Fourier (FFT - *Fast Fourier Transform*) a constituit unul dintre momentele cele mai importante pentru domeniul prelucrării digitale a semnalelor. Tehnica inițială a fost divizarea în timp: cele N eșantioane ale secvenței se împart în două, după indicii pari și respectiv impari:

$$\begin{aligned}
 v(k) &= \sum_{n=0}^{N-1} u(n) \exp(-j \frac{2\pi}{N} kn) = \\
 &= \sum_{n=0}^{N/2-1} u(2n) \exp(-j \frac{2\pi}{N} k \cdot 2n) + \sum_{n=0}^{N/2-1} u(2n+1) \exp(-j \frac{2\pi}{N} k(2n+1)) = \\
 &= \sum_{n=0}^{N/2-1} u(2n) \exp(-j \frac{2\pi k}{N/2} 2n) \exp(j \frac{2\pi k}{N} 2n) + \exp(-j \frac{2\pi k}{N}) \sum_{n=0}^{N/2-1} u(2n+1) \exp(-j \frac{2\pi k}{N/2} 2n) =
 \end{aligned}$$

$$\begin{aligned}
&= \sum_{n=0}^{N/2-1} u_{par}(n) \exp(-j \frac{2\pi k}{N/2} n) + \exp(-j \frac{2\pi k}{N}) \sum_{n=0}^{N/2-1} u_{impar}(n) \exp(-j \frac{2\pi k}{N/2} n) = \\
&= v_{par}(k) + \exp(-j \frac{2\pi k}{N}) v_{impar}(k)
\end{aligned} \tag{4.24}$$

În (4.24) am notat cu \mathbf{u}_{par} secvența obținută din toate valorile pare ale secvenței inițiale, iar cu \mathbf{u}_{impar} secvența obținută din toate valorile impare ale secvenței inițiale. Această relație exprimă posibilitatea construirii transformării Fourier a secvenței \mathbf{u} de lungime N prin transformările Fourier ale unor jumătăți de secvență (de lungime $N/2$) – \mathbf{v}_{par} și \mathbf{v}_{impar} .

Dacă notăm cu $T(N)$ timpul de calcul al transformatei Fourier a secvenței de lungime N , atunci avem:

$$T(N) = 2T\left(\frac{N}{2}\right) + N \tag{4.25}$$

În mod evident $T(1) = 1$ (transformata Fourier a secvenței de lungime 1 este identică cu secvența); dezvoltând ecuația recurentă din (4.25) obținem:

$$\begin{aligned}
T(N) &= 2T\left(\frac{N}{2}\right) + N = 2\left(2T\left(\frac{N}{4}\right) + \frac{N}{2}\right) + N = 4T\left(\frac{N}{4}\right) + 2N = \\
&= \dots = 2^i T\left(\frac{N}{2^i}\right) + iN
\end{aligned} \tag{4.26}$$

La limită, când i este ales astfel ca $N = 2^i$ vom avea:

$$T(N) = NT(1) + N \log_2 N = N \log_2 N + N$$

ceea ce este echivalent cu o complexitate de $O(N \log N)$. Sporul de viteză obținut prin FFT față de implementarea clasică este deci proporțional cu $N/\log_2 N$ (deci aproape un ordin de mărime pentru o lungime tipică de secvență $N = 256$).

Relația de implementare de bază (4.24) mai poate fi scrisă și ca:

$$\begin{aligned}
v(k) &= v_{par}(k) + w_N^k v_{impar}(k), \quad k = 0, \dots, \overline{\frac{N}{2} - 1} \\
v(k) &= v_{par}(k) - w_N^k v_{impar}(k), \quad k = \overline{\frac{N}{2}, \dots, N - 1}
\end{aligned} \tag{4.27}$$

ceea ce semnifică faptul că două valori ale transformărilor Fourier ale secvențelor pe jumătate sunt combinate liniar pentru a genera două valori, simetrice față de centru, ale secvenței originale. Blocul ce realizează aceste prelucrări este numit celulă “*butterfly*”, caracterizat de o operație de înmulțire-adunare⁵ (figura 4.4).

⁵Operația de înmulțire-adunare este una dintre operațiile de bază (cablate) din setul de instrucțiuni al procesoarelor de semnal (DSP).

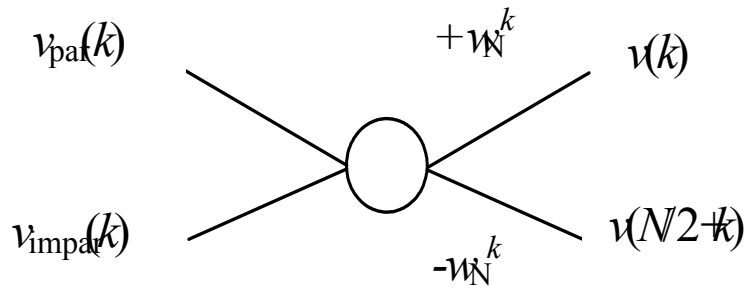


Fig. 4.4: Celula de bază butterfly

Construind etapele succesive de înjumătățire a lungimii secvenței, pentru o secvență de lungime $N = 8$ se ajunge la schema din figura 4.5. Se remarcă reordonarea eșantioanelor secvenței de intrare după ordinea de bit inversă *bit-reverse* (forma binară a noului indice este forma binară a vechiului indice reflectată).

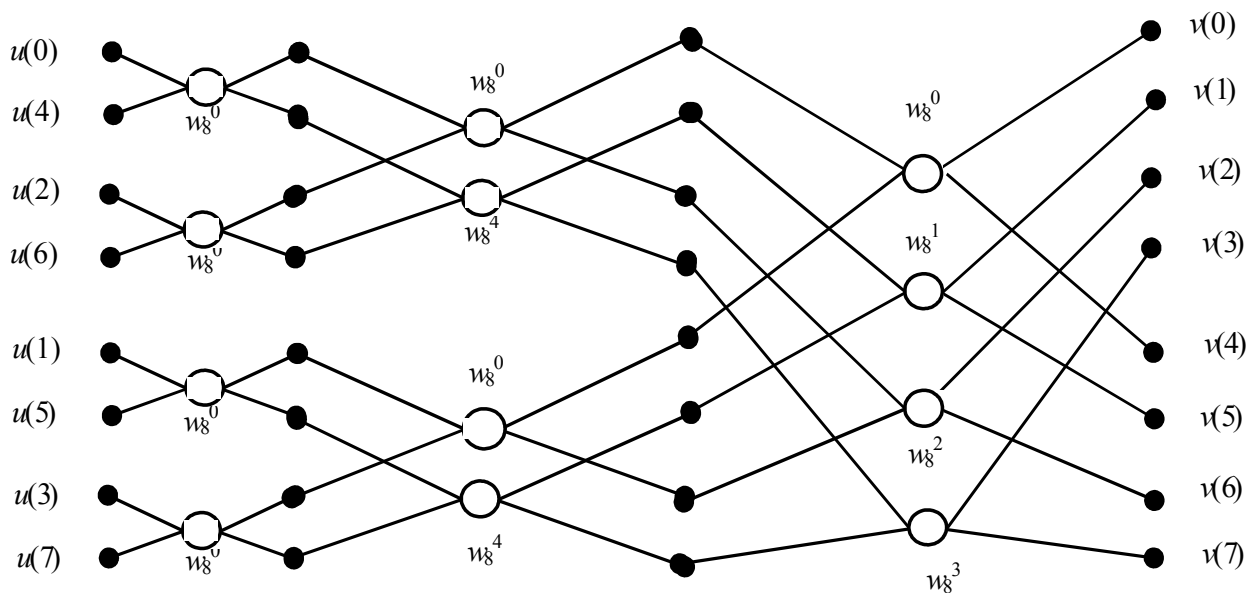


Fig. 4.5: Schema FFT pentru o secvență de lungime 8.

Implementările clasice ale FFT folosesc o reordonare *in-place* a secvenței de intrare (în același spațiu de memorie, prin interschimbări) pentru numere complexe (scrise în ordinea parte reală, parte imaginară). Același cod este folosit atât pentru transformata directă cât și pentru transformata inversă, doar prin modificarea unui parametru de semn ce intervine la calculul coeficienților Fourier w_N . Rezultatul (transformata) ia locul datelor

de intrare, în același spațiu de memorie (deci din nou o implementare *in-place*). În continuare prezentăm codul C din [13].

```

void fft(float data,integer nn,isign)
integer m,n,mmax,i,j,step;

n=nn<<1;
j=1;
for (i=1;i<n;i+=2){
    if (j>i) {
        swap(data[j],[data[i]);
        swap(data[j+1],[data[i+1]]);}
m=n>>1;
while (m>=2 && j>m) {
    j-=m;
    m>>=1;}
j+=m;}

mmax=2;
while (n>mmax) {
    step=2*mmax;
    teta=2*PI/(isign*mmax);
    wtemp=sin(teta/2);
    wpr=-2*wtemp*wtemp;
    wpi=sin(teta);
    wr=1;
    wi=0;
    for (m=1;m<mm1x;m+=2) {
        for (i=m;i<=n;i+=step) {
            j=i+mmax;
            tempr=wr*data[j]-wi*data[j+1];
            tempi=wr*data[j+1]+wi*data[j];
            data[j]=data[i]-tempr;
            data[j+1]=data[i+1]-tempi;
            data[i]+=tempr;
            data[i+1]+=tempi;}
        wr=(wtemp=wr)*wpr-wi*wpi+wr;
        wi=wi*wpr+wtemp*wpi+wi;}
    mmax=step;}

```

Prima parte a codului realizează reordonarea secvenței în ordinea inversă de bit. În partea a doua a codului se realizează calculul efectiv al celulelor *butterfly*, corespunzând transformărilor unor secvențe de dimensiune *mmax*, și deci preluării unor date situate la

distanța $mmax$ între indici (vizibil și în schema din figura 4.5).

Transformata rapidă bidimensională implică realizarea câte unei transformări unidimensionale pentru fiecare linie și coloană a imaginii (conform principiului separabilității); aceasta conduce la o complexitate $O(N^2 \log N)$.

4.4 Alte transformări

În cele ce urmează vom prezenta pe scurt alte transformări unitare folosite în prelucrarea imaginilor; apariția acestora s-a datorat adaptării mai bune decât transformata Fourier la compactarea energiei și decorelarea spectrală a anumitor clase de semnale.

4.4.1 Transformata cosinus

Transformata cosinus este o transformată unitară separabilă, caracterizată de $\mathbf{A} = \mathbf{B} = \mathbf{C}$. Elementele matricii \mathbf{C} sunt date de

$$C(k, n) = \frac{1}{\sqrt{N}} \begin{cases} 1, & \text{dacă } k = 0 \\ \sqrt{2} \cos \frac{(2n+1)\pi k}{2N}, & \text{dacă } k = \overline{1, N-1}, \quad n = \overline{0, N-1} \end{cases} \quad (4.28)$$

Transformările directă și inversă a unei secvențe \mathbf{u} sunt definite ca:

$$v(k) = \alpha(k) \sum_{n=0}^{N-1} u(n) \cos \frac{(2n+1)\pi k}{2N}, \quad k = \overline{0, N-1} \quad (4.29)$$

$$u(n) = \sum_{k=0}^{N-1} \alpha(k) v(k) \cos \frac{(2n+1)\pi k}{2N}, \quad n = \overline{0, N-1} \quad (4.30)$$

unde

$$\alpha(k) = \frac{1}{\sqrt{N}} \begin{cases} 1, & k = 0 \\ \sqrt{2}, & k \neq 0 \end{cases} \quad (4.31)$$

Una dintre proprietățile importante ale transformatei cosinus se referă la legătura acesteia cu transformata Fourier: transformata cosinus a unei secvențe nu este partea reală a transformatei Fourier a aceleiași secvențe. Transformata cosinus se poate obține prin transformarea Fourier a unei secvențe rearanjate sau a unei secvențe dublate și simetrizate central. Fie N par; și definim

$$\begin{aligned} \tilde{u}_1(n) &= u(2n) \\ \tilde{u}_1(N-n-1) &= u(2n+1), \quad n = \overline{0, \frac{N}{2}-1} \end{aligned} \quad (4.32)$$

$$\tilde{u}_2(n) = \begin{cases} u(N - n - 1), & 0 \leq n < N \\ u(n - N), & N \leq n < 2N \end{cases} \quad (4.33)$$

Aceasta înseamnă că secvența $\widetilde{\mathbf{u}}_1$ este $u(0), u(2), u(4), \dots, u(N-2), u(N-1), u(n-3), \dots, u(3), u(1)$, iar secvența $\widetilde{\mathbf{u}}_2$ este $u(N-1), u(N-2), \dots, u(1), u(0), u(0), u(1), \dots, u(N-2), u(n-1)$. Atunci:

$$COS(\mathbf{u}) = \text{Re} \left[\alpha(k) \exp\left(-\frac{j\pi k}{2N}\right) \text{Fourier}(\widetilde{\mathbf{u}}_1) \right] \quad (4.34)$$

$$COS(\mathbf{u}) = \text{Fourier}(\widetilde{\mathbf{u}}_2) \exp\left(-\frac{\pi k}{2N}\right), \quad k = \overline{0, \dots, N-1} \quad (4.35)$$

O consecință imediată a acestor relații este posibilitatea realizării unei transformări cosinus rapide (de complexitate $O(N \log N)$) folosind transformata Fourier rapidă.

O altă proprietate importantă a transformatei cosinus este aceea că vectorii bazei cosinus (coloanele matricii \mathbf{C}) sunt vectori proprii pentru orice matrice simetrică tridiagonală de forma:

$$\mathbf{Q} = \begin{pmatrix} 1 - \rho & -\rho & 0 & \dots & \dots & 0 \\ -\rho & 1 - \rho & -\rho & 0 & \dots & 0 \\ 0 & -\rho & 1 - \rho & -\rho & \dots & 0 \\ \dots & \dots & \dots & \dots & \dots & \dots \\ 0 & \dots & 0 & -\rho & 1 - \rho & -\rho \\ 0 & \dots & \dots & 0 & -\rho & 1 - \rho \end{pmatrix} \quad (4.36)$$

Dacă notăm cu \mathbf{c}_k coloana k a matricii transformării cosinus, atunci:

$$\mathbf{Q}\mathbf{c}_k = \lambda_k \mathbf{c}_k$$

Această proprietate revelă faptul că transformata cosinus se comportă precum transformata Karhunen-Loeve pentru orice clasă de semnale a căror matrice de covariație este de forma (4.36). Dar această formă este tipică secvențelor staționar Markov de ordinul 1, cu parametru de corelație mare ($\rho \rightarrow 1$), model adeseori folosit în cazul imaginilor. Deci transformata cosinus este similară transformării optime de decorelare Karhunen-Loeve pentru o clasă largă de imagini naturale (alte comentarii referitoare la această proprietate și la aplicațiile ei practice se găsesc în secțiunea 7.2.2, referitoare la compresia imaginilor cu transformate).

4.4.2 Transformata sinus

Transformata sinus este o transformată unitară separabilă, caracterizată de $\mathbf{A} = \mathbf{B} = \mathbf{S}$. Elementele matricii \mathbf{S} sunt date de

$$S(k, n) = \sqrt{\frac{2}{N+1}} \sin \frac{\pi(k+1)(n+1)}{N+1}, \quad k, n = \overline{0, N-1} \quad (4.37)$$

Transformările directă și inversă a unei secvențe \mathbf{u} sunt definite ca:

$$v(k) = \sqrt{\frac{2}{N+1}} \sum_{n=0}^{N-1} u(n) \sin \frac{\pi(k+1)(n+1)}{N+1}, \quad k = \overline{0, N-1} \quad (4.38)$$

$$u(n) = \sqrt{\frac{2}{N+1}} \sum_{k=0}^{N-1} v(k) \sin \frac{\pi(k+1)(n+1)}{N+1}, \quad n = \overline{0, N-1} \quad (4.39)$$

Una dintre proprietățile importante ale transformatei sinus se referă la legătura acesteia cu transformata Fourier: transformata sinus a unei secvențe nu este partea imaginară a transformatei Fourier a aceleiași secvențe. Transformata sinus se poate obține prin transformarea Fourier a extensiei antisimetrice a secvenței. Fie N par; și definim

$$\begin{aligned} \tilde{u}(0) &= \tilde{u}(N+1) = 0 \\ \tilde{u}(n) &= -u(N-n), \quad n = \overline{1, N} \\ \tilde{u}(N+2+n) &= u(n) \end{aligned} \quad (4.40)$$

Aceasta înseamnă că secvența $\tilde{\mathbf{u}}$ este $0, -u(N-1), -u(N-2), \dots, -u(1), -u(0), 0, u(0), u(1), \dots, u(N-1)$. Atunci

$$SIN(\mathbf{u}) = \text{Im} [-j(-1)^k \text{Fourier}(\tilde{\mathbf{u}})] \quad (4.41)$$

O consecință imediată a acestei relații este posibilitatea realizării unei transformări sinus rapide (de complexitate $O(N \log N)$) folosind transformata Fourier rapidă.

O altă proprietate importantă a transformatei sinus este aceea că vectorii bazei sinus (coloanele matricii \mathbf{S}) sunt vectori proprii pentru orice matrice simetrică tridiagonală de forma:

$$\mathbf{Q} = \begin{pmatrix} 1 & -\rho & 0 & \dots & 0 \\ -\rho & 1 & 0 & \dots & 0 \\ \dots & \dots & \dots & \dots & \dots \\ 0 & \dots & 0 & 1 & -\rho \\ 0 & \dots & 0 & -\rho & 1 \end{pmatrix} \quad (4.42)$$

Dacă notăm cu \mathbf{s}_k coloana k a matricii transformării sinus, atunci:

$$\mathbf{Q}\mathbf{s}_k = \lambda_k \mathbf{s}_k$$

Această proprietate revelă faptul că transformata sinus se comportă precum transformata Karhunen-Loeve pentru orice clasă de semnale a căror matrice de covariație este de forma (4.42). Dar această formă este tipică secvențelor staționar Markov de ordinul 1, cu parametru de corelație $\rho \in [-0.5; 0.5]$.

Capitolul 5

FILTRAREA NELINIARĂ A IMAGINILOR

Operațiile de filtrare studiate până în prezent au fost caracterizate esențial (din punct de vedere matematic) de către principiul liniarității (sau superpoziției). Istoric, acestea au fost primele operații utilizate, având un suport teoretic solid și desigur, având mai multe caracteristici utile. O mare parte a aplicațiilor curente de prelucrare a imaginilor probabil că se pot rezolva suficient de precis folosind doar operații liniare. Limitările operațiilor liniare de filtrare apar însă în momentul în care se consideră zgomote ce nu au distribuție normală, și, mai mult, nu mai sunt aditive.

Exemplul cel mai simplu de astfel de zgomot este zgomotul impulsiv, caracterizat de impulsuri pozitive și negative de amplitudine maxim posibilă (relativ la numărul de nivele de cuantizare ale imaginii) care afectează prin înlocuire o parte din pixelii imaginii. Aceasta înseamnă că imaginea va fi uniform acoperită de puncte foarte închise (negre) și foarte deschise (albe), rezultatul fiind ceea ce se numește zgomot de tip sare și piper (vezi figura 5.1). Asemenea erori apar în porțiunile de achiziție și transmisiune ale sistemului de prelucrare și analiza imaginilor (din cauza erorilor în convertorul analog-digital, din cauza erorilor de înregistrare pe mediile magnetice de stocare sau de pe canalul de transmisiune); este posibil ca asemenea valori să apară și ca urmare a unui zgomot aditiv caracterizat de o distribuție “cu coadă lungă” - deci care asigură probabilități nenule de apariție a unor valori mult diferite de medie. Aceste valori aberante (mult mai mari sau mai mici decât valorile normale ale regiunii în care apar) sunt numite ”outlier”: valori extreme sau erori grosiere.

Dacă o asemenea imagine ar fi filtrată liniar (cu un filtru de mediere sau poate cu un filtru de reliefare) rezultatul ar fi o accentuare a punctelor de zgomot și o corupere a punctelor cu valori corecte din jurul lor.

Zgomotul impulsiv nu este singurul model de degradare neliniară: există zgomote de-



Fig. 5.1: Imagine afectată de zgomot impulsiv; 10% dintre pixeli au valorile modificate

pendente de valoarea imaginii din pixelul afectat, precum și compuneri neaditive ale zgomotului cu imaginea originală (multiplicativă, convolutivă) [9].

Este deci evident că se impune considerarea și a altor metode de filtrare, care nu mai respectă principiul superpoziției, și deci sunt neliniare. O clasă esențială de astfel de metode de filtrare sunt cele bazate pe ordonare - rank order filtering [12]. Ideea esențială este aceea că operația de ordonare plasează valorile aberante (extremale) la capetele șirului de valori (deci într-o zonă bine definită), permițând astfel identificarea și eliminarea acestora.

5.1 Filtrarea de ordine

Filtrele de ordine sunt operatori locali: filtrul este definit de o fereastră (mască), care selectează din imaginea de prelucrat un număr de vecini ai pixelului curent (se respectă deci același model de prelucrare al ferestrei glisante, întâlnit și la filtrările liniare în domeniul spațial). Valorile selectate de fereastra de filtrare sunt apoi ordonate crescător; dacă valorile selectate de o fereastră cu n poziții sunt $\{x_1, x_2, \dots, x_n\}$, atunci același set de valori, ordonate crescător este $\{x_{(1)}, x_{(2)}, \dots, x_{(n)}\}$. Valorile $x_{(i)}$ se numesc statistici de ordine de ordinul i și au proprietatea

$$x_{(1)} \leq x_{(2)} \leq \dots \leq x_{(n)} \quad (5.1)$$

În mod evident statistica de ordinul 1, $x_{(1)}$, este valoarea minimă, iar statistica de ordinul n , $x_{(n)}$, este valoarea maximă.

Ieșirea filtrului de ordine de ordin k este statistica de ordinul k , cu $k \in [1; n]$:

$$\text{rank}_k\{x_1, x_2, \dots, x_n\} = x_{(k)} \quad (5.2)$$

În acest fel, ieșirea unui filtru de ordine este una dintre valorile selectate de fereastra de filtrare, și deci nu se crează la ieșire valori noi (așa cum se întâmplă la filtrarea liniară); acesta este un avantaj atât în ceea ce privește păstrarea valorilor originale din imagine, cât și din punctul de vedere al simplificării calculelor (nu mai sunt necesare operații cu numere reale, ce trebuie apoi rotunjite sau truncheate la numere naturale).

Filtrele de ordine nu sunt liniare din cauza operației de ordonare (ce nu respectă principiul superpoziției); în general putem scrie:

$$\text{rank}_k\{x_1 + y_1, x_2 + y_2, \dots, x_n + y_n\} \neq \text{rank}_k\{x_1, x_2, \dots, x_n\} + \text{rank}_k\{y_1, y_2, \dots, y_n\} \quad (5.3)$$

Filtrele de ordine comută însă cu operațiile de modificare liniară a valorilor:

$$\text{rank}_k\{\alpha x_1 + \beta, \alpha x_2 + \beta, \dots, \alpha x_n + \beta\} = \alpha \text{rank}_k\{x_1, x_2, \dots, x_n\} + \beta \quad (5.4)$$

Din punct de vedere statistic, interesează funcțiile de distribuție ale ieșirii filtrului (funcție de densitate de probabilitate, funcție de repartiție) atunci când funcțiile de distribuție ale valorilor de intrare sunt presupuse cunoscute. Modelul folosit în general se bazează pe ipoteza de independență și distribuție identică a valorilor selectate de fereastra filtrului (ceea ce conduce, implicit, la ipoteza că valorile pixelilor imaginii sunt variabile aleatoare independente, identic distribuite¹). Dacă notăm cu $f(x)$ și $F(x)$ funcțiile de densitate de probabilitate și respectiv repartiție a valorilor pixelilor din imaginea ce se filtrează cu un filtru de ordine de ordin k cu fereastră de n elemente, atunci ceea ce interesează este funcția de densitate de probabilitate a ieșirii filtrului de ordine, $f_k(x)$.

Fie t o valoare oarecare din domeniul de variație al variabilelor aleatoare; atunci probabilitatea evenimentului ca ieșirea filtrului de ordine să se găsească în intervalul $[t; t + dt]$ este $f_k(t)dt$. Evenimentul de interes este deci

$$t \leq \text{rank}_k\{x_1, x_2, \dots, x_n\} \leq t + dt \quad (5.5)$$

adică

$$t \leq x_{(k)} \leq t + dt \quad (5.6)$$

Statisticile de ordine sunt obținute prin ordonarea crescătoare a valorilor x_i , ordonare crescătoare care poate fi interpretată ca o permutare oarecare a indicilor valorilor ($\{1, 2, \dots, n\} \rightarrow \{i_1, i_2, \dots, i_n\}$). În acest caz, evenimentul de interes exprimat de (5.6) este realizat prin mai multe evenimente elementare de tipul:

$$x_{i_1}, x_{i_2}, \dots, x_{i_{k-1}} \leq t \leq x_{i_k} \leq t + dt \leq x_{i_{k+1}}, \dots, x_{i_n} \quad (5.7)$$

Probabilitatea evenimentului elementar din (5.7) este dată de probabilitatea ca $k - 1$ valori să fie mai mici decât t (deci $F^{k-1}(t)$), probabilitatea ca $n - k$ valori să fie mai mari

¹Această ipoteză a mai fost făcută și pentru deducerea transformării de egalizare a histogramei imaginilor.

ca $t + dt$ (deci $(1 - F(t))^{n-k}$) și probabilitatea ca o valoare să fie cuprinsă în intervalul $[t; t + dt]$ (deci $f(t)dt$), adică:

$$P = F^{k-1}(t)(1 - F(t))^{n-k} f(t)dt$$

Numărul total de evenimente de tipul (5.7) este nC_{n-1}^{k-1} (n moduri de alege o valoare din cele n , la fiecare dintre aceste alegeri corespunzând C_{n-1}^{k-1} moduri de a alege din cele $n - 1$ valori rămase $k - 1$ valori care să fie mai mici ca t). Atunci:

$$\Pr(t \leq x_{(k)} \leq t + dt) = nC_{n-1}^{k-1} F^{k-1}(t)(1 - F(t))^{n-k} f(t)dt \quad (5.8)$$

și deci funcția de densitate de probabilitate a ieșirii filtrului de ordine de ordin k este:

$$f_k(x) = nC_{n-1}^{k-1} F^{k-1}(x)(1 - F(x))^{n-k} f(x) \quad (5.9)$$

În [12] sunt prezentate diferite utilizări ale funcției de densitate de probabilitate a ieșirii filtrelor de ordine, mai ales pentru determinarea comportării asimptotice ($n \rightarrow \infty$) a filtrelor.

Proprietățile deterministe ale filtrelor de ordine se referă la comportamentul acestora în zonele tipice ale unei imagini: porțiuni netede și contururi. Filtrele de ordine nu afectează contururile (zonele de pantă abruptă) și păstrează valoarea zonelor uniforme. Aceste comportări au fost extinse la investigarea clasei mai generale de semnale rădăcină - semnale ce nu sunt modificate prin filtrare.

Orice secvență $\{x_i\}$ monotonă (crescătoare sau descrescătoare) este un semnal rădăcină pentru filtrele de ordine. În plus, filtrele de ordine comută cu orice funcție monotonă g :

$$\text{rank}_k(g(x_i)) = g(\text{rank}_k(x_i))$$

Pe lângă metodele analitice de construire a semnalelor rădăcină [12], în practică, semnalele rădăcină se obțin prin filtrarea repetată a unui semnal oarecare, până la obținerea invariantei. Să considerăm spre exemplu secvența unidimensională $x = \{0, 1, 1, 3, 1, 3, 2, 3, 3, 2, 1, 1\}$ pe care o vom filtra cu o fereastră de filtrare de dimensiune 3, centrată, cu un filtru de ordine de ordin 2. După prima filtrare se obține secvența $x_1 = \{0, 1, 1, 1, 3, 2, 3, 3, 3, 2, 1, 1, 0\}$, iar după a doua filtrare se obține secvența $x_2 = \{0, 1, 1, 1, 2, 3, 3, 3, 3, 2, 1, 1, 0\}$. Această secvența este invariantă la filtrările următoare și este deci un semnal rădăcină. Figura 5.4 prezintă secvențele x , x_1 , x_2 .

5.1.1 Filtrul median

Filtrul median este un filtru de ordine a cărui ieșire este statistica de ordine de ordin central a setului de valori selectate de fereastra de filtrare.

$$\text{median}\{x_1, x_2, \dots, x_n\} = \begin{cases} x_{(\frac{n+1}{2})} & \text{dacă } n \text{ este impar} \\ \frac{1}{2}x_{(\frac{n}{2})} + \frac{1}{2}x_{(\frac{n}{2}+1)} & \text{dacă } n \text{ este par} \end{cases} \quad (5.10)$$

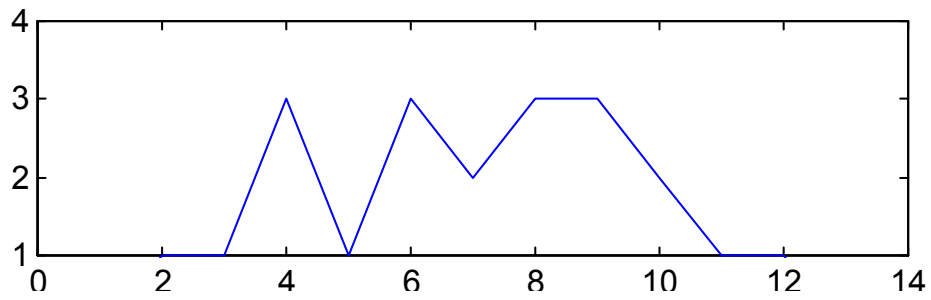


Fig. 5.2: Semnal inițial oarecare; prin filtrări de ordine repetate acesta se va transforma într-un semnal rădăcină.

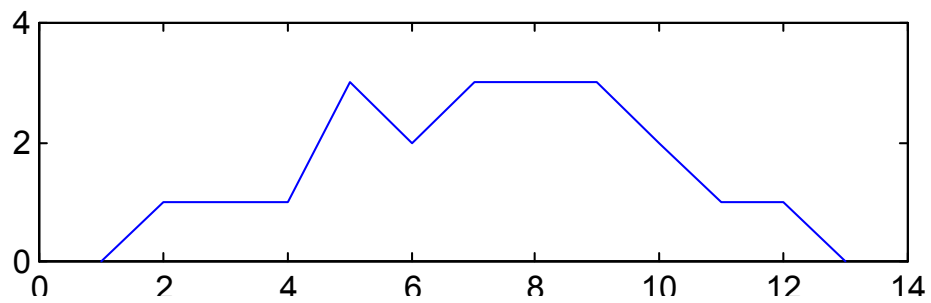


Fig. 5.3: Rezultatul primei filtrări a secvenței inițiale.

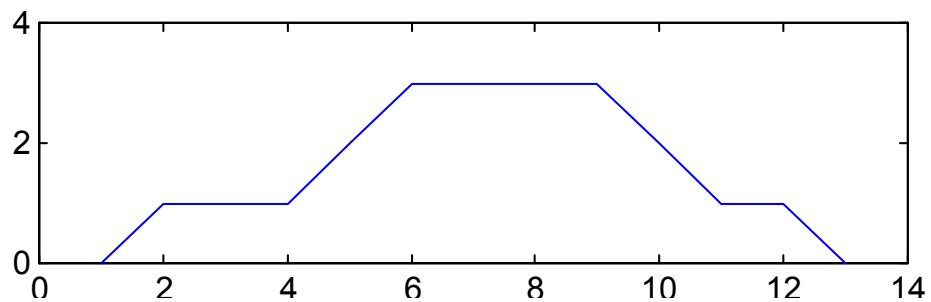


Fig. 5.4: Semnal rădăcină al filtrului de ordine considerat, obținut după două iterații ale filtrării.

Ieșirea filtrului median este deci valoarea din centrul secvenței ordonate; în cazul secvențelor (ferestrelor de filtrare) de dimensiune pară, această poziție centrală nu există, și atunci este definită ca media aritmetică a valorilor vecine centrului imaginar. În practică, filtrul median se folosește doar cu ferestre de filtrare de dimensiune impară, ceea ce conduce la posibilitatea de a scrie:

$$\text{median}\{x_1, x_2, \dots, x_n\} = \text{rank}_{\frac{n+1}{2}}\{x_1, x_2, \dots, x_n\} \quad (5.11)$$

Aceasta înseamnă că dacă fereastra de filtrare are 3 puncte, medianul este statistica de ordinul 2^2 , pentru o fereastră filtrare cu 9 puncte, medianul este statistica de ordinul 5, iar pentru o fereastră de filtrare de 25 de puncte, medianul este statistica de ordinul 13. Figura 5.5 prezintă rezultatul filtrării cu un filtru median cu fereastră pătrată de 3 x 3 puncte a imaginii degradate cu zgomot impulsiv din figura 5.1.



Fig. 5.5: Imagine filtrată cu filtru median cu fereastră de 3 x 3.

Efectele de filtrare a zgomotului impulsiv (de tip sare și piper) sunt evidente; valorile punctelor de zgomot sunt 0 sau 255 și deci, după ordonare se vor afla la “capetele” șirului de valori; ieșirea filtrului median, fiind statistica de ordin central, este situată departe de valorile extreme. În imaginea filtrată median (figura 5.5) se observă totuși existența unor puncte albe și negre (puncte de zgomot) ce nu au putut fi eliminate prin filtrare; spunem că în acele poziții filtrul a fost străpuns de impulsuri (care deci au ajuns la ieșirea filtrului). Probabilitatea de străpungere a unui filtru median este dependentă de procentul de puncte de zgomot din imagine și de dimensiunea ferestrei de filtrare folosite. Străpungerea filtrului median se produce atunci când în fereastra de filtrare avem măcar $\frac{n+1}{2}$ impulsuri de zgomot de aceeași valoare.

O variantă a filtrului median cu fereastră de filtrare pătrată este filtrul median separabil. Separabilitatea semnifică (ca și în cazul transformărilor unitare) realizarea operației întâi

²Aceasta înseamnă deci că exemplul de construire a semnalului rădăcină prezentat anterior este realizat pentru un filtru median.

pe linii, și apoi pe coloanele imaginii, pe baza unor ferestre de filtrare liniare. Este evident că rezultatul acestei operații de filtrare nu coincide cu rezultatul filtrării mediane cu fereastră pătrată³ (figura 5.6 prezintă rezultatul filtrării mediane separabile cu ferestre de dimensiune 3 a imaginii cu zgomot impulsiv din figura 5.1; rezultatul filtrării mediane cu fereastră pătrată 3 x 3 este prezentat în figura 5.5).



Fig. 5.6: Rezultatul filtrării cu un filtru median separabil.

Se remarcă faptul că această structură de filtrare, deși prezintă avantaje din punctul de vedere al timpului de calcul necesar, se străpunge mai ușor decât filtrul median cu fereastră pătrată din care a derivat.

5.1.2 Filtrele de ordine ponderate și structurile multietaj

Atât filtrele liniare cât și filtrele de ordine se bazează pe același principiu al ferestrei glisante. Prelucrările realizate asupra valorilor selectate de această fereastră de filtrare sunt evident diferite, dar se poate totuși remarca faptul că structura de filtrare liniară permite o flexibilitate mai mare (se pot realiza un număr infinit de filtre liniare pentru o aceeași fereastră de filtrare, prin varierea coeficienților de ponderare). Singurul factor de reglaj al filtrelor de ordine este ordinul statisticii selectate la ieșire⁴.

Este evident că ponderarea filtrelor de ordine nu se poate face prin multiplicarea valorilor selectate de fereastra de filtrare cu diferiți coeficienți, așa ca în cazul filtrelor liniare.

³Filtrul de minim (filtrul de ordine de ordin 1) și filtrul de maxim (filtrul de ordine de ordin n) sunt singurele filtre de ordine separabile.

⁴Zamperoni a propus adaptarea ordinului statisticii folosite ca ieșire a filtrului de ordine prin $k = \left[\frac{1}{2} + \sum_{i=1}^n \frac{x_{(i)} - x_{(1)}}{x_{(n)} - x_{(1)}} \right]$.

Ponderarea are ca scop întărirea influenței anumitor pixeli din fereastra de filtrare (de exemplu pixelul central - curent prelucrat - care ar fi de așteptat ca să aibă o influență mai puternică asupra rezultatului filtrării decât vecinii săi). Având în vedere că rezultatul filtrării (deci valoarea unei anumite statistici) este determinată în urma ordonării, modalitatea de a întări influența unei anume valori este de a o repeta de mai multe ori, crescând astfel probabilitatea de a o regăsi ca statistica de ordin dorit. Așadar, ponderarea filtrelor de ordine se referă la repetarea de un număr fixat de ori a valorilor selectate de fereastra de filtrare. Mulțimea de valori ce rezultă se numește multiset. Ponderile w_i atașate fiecărei poziții de filtrare vor fi numere naturale nenule, ce exprimă numărul de repetiții al valorii corespunzătoare în multiset.

Spre exemplu să considerăm porțiunea de imagine selectată de o fereastră de filtrare de dimensiune 3×3 , ale cărei valori sunt $\begin{pmatrix} 1 & 3 & 3 \\ 2 & 2 & 1 \\ 4 & 3 & 5 \end{pmatrix}$; statistica mediană ce corespunde acestei situații este 3 (setul ordonat de valori fiind 1, 1, 2, 2, 3, 3, 3, 4, 5). Dacă considerăm acum filtrul median ponderat cu masca $W = \begin{pmatrix} 1 & 2 & 1 \\ 2 & 3 & 2 \\ 1 & 2 & 1 \end{pmatrix}$, multisetul rezultat este 1, 3, 3, 3, 2, 2, 2, 2, 2, 1, 1, 4, 3, 3, 5 (sau ordonat 1, 1, 1, 2, 2, 2, 2, 2, 3, 3, 3, 3, 3, 4, 5) ceea ce face ca medianul să fie 2 (și deci o valoare mai apropiată de valoarea originală din punctul curent prelucrat). Masca de ponderare W semnifică faptul că valoarea centrală este repetată de 3 ori, valorile de pe pozițiile vecinilor imediați (orizontali și verticali) sunt repetate de câte 2 ori, iar valorile de pe pozițiile vecinilor de pe diagonală sunt considerate o singură dată. Filtrul de ordine rezultat se poate scrie ca:

$$\text{rank}_k(x_i \diamond w_i) = x_{(k)}$$

Este evident că multisetul de valori conține $\sum_{j=1}^n w_j$ termeni, și deci ordinul statisticii maxime este $\sum_{j=1}^n w_j$, iar ordinul statisticii mediane este $\frac{1}{2} \left(\sum_{j=1}^n w_j + 1 \right)$ (presupunând un număr impar de valori în multiset). Un caz particular destul de des utilizat este acela al filtrelor de ordine central ponderate, în care toți coeficienții de ponderare (repetiție) sunt 1, cu excepția coeficientului ce corespunde pixelului curent prelucrat, ce are o valoare mai mare ca 1.

Structurile multietaj grupează câteva filtre de ordine (median, minim, maxim) aplicate succesiv, cu ferestre de filtrare diferite. Cele mai răspândite structuri sunt cele de tip median multietaj (median din median pe orizontală, median pe verticală și valoarea curentă), reprezentat în figura 5.8 și max/min-median (maxim sau minim din medianele pe verticală, orizontală și cele două diagonale ale ferestrei de filtrare pătrate centrate în punctul curent prelucrat), reprezentat în figura 5.7.

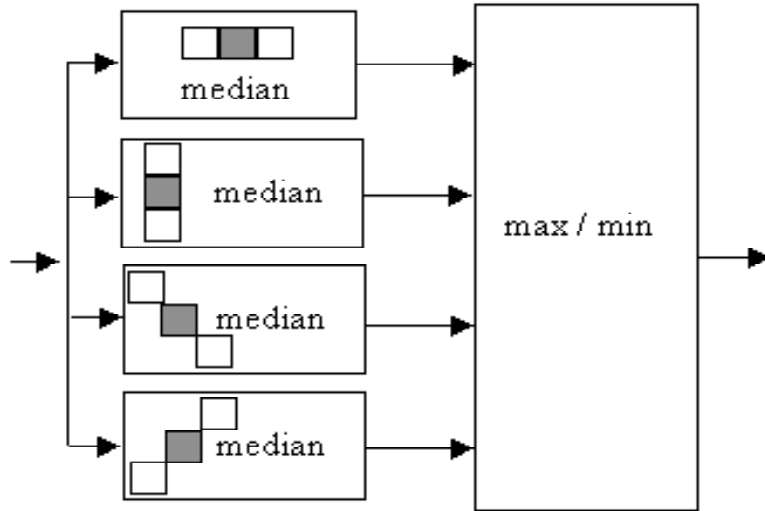


Fig. 5.7: Structură multietaj de tip max / min - median, bazată pe o fereastră de filtrare de dimensiune 3.

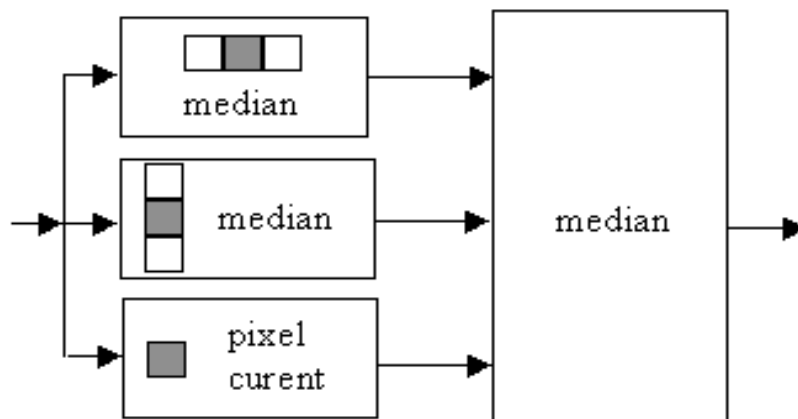


Fig. 5.8: Structură de filtrare de tip median - median, bazată pe o fereastră de filtrare pătrată de dimensiune 3.

5.2 Filtre de ordine de domeniu

Filtrele de ordine de domeniu (filtre LUM – *Lower-Upper-Middle* [18]) introduc o posibilitate de adaptare și reglare a filtrelor de ordine.

Valoarea y de ieșire a filtrului LUM de netezire este definită ca:

$$y = \begin{cases} x_{(k)}, & \text{dacă } x^* < x_{(k)} \\ x_{(n-k+1)}, & \text{dacă } x^* > x_{(n-k+1)} \\ x^*, & \text{în rest} \end{cases} \quad (5.12)$$

unde x^* este valoarea ce corespunde originii ferestrei de filtrare cu n poziții, iar k este parametrul de reglaj al filtrului. Valoarea k este un întreg din intervalul $[0; \frac{n+1}{2}]$; dacă $k = 0$ filtrul de comportă ca un filtru trece tot ($y = x^*$), iar dacă $k = \frac{n+1}{2}$, filtrul este un filtru median ($y = x_{(\frac{n+1}{2})}$).

Valoarea y de ieșire a filtrului LUM de conturare este definită ca:

$$y = \begin{cases} x_{(l)}, & \text{dacă } x_{(l)} < x^* < \frac{x_{(l)} + x_{(n-l+1)}}{2} \\ x_{(n-l+1)}, & \text{dacă } \frac{x_{(l)} + x_{(n-l+1)}}{2} < x^* < x_{(n-l+1)} \\ x^*, & \text{în rest} \end{cases} \quad (5.13)$$

unde x^* este valoarea ce corespunde originii ferestrei de filtrare cu n poziții, iar l este parametrul de reglaj al filtrului. Valoarea k este un întreg din intervalul $[0; \frac{n+1}{2}]$; dacă $l = 0$ filtrul de comportă ca un filtru de reliefare extremă, iar dacă $l = \frac{n+1}{2}$, filtrul este un filtru trece tot ($y = x^*$).

5.3 L-filtre

L-filtrele [12] au fost introduse din dorința de a oferi o mai mare flexibilitate operațiilor de filtrare neliniară bazate pe ordonare; pasul firesc de dezvoltare a fost combinarea tuturor statisticilor de ordine în valoarea de la ieșirea filtrului. Ieșirea unui L-filtru este o combinație liniară a statisticilor de ordine:

$$L(\{x_1, x_2, \dots, x_n\}) = \sum_{i=1}^n w_i x_{(i)} \quad (5.14)$$

Este evident că prin varierea coeficienților w_i se pot obține diferite filtre, inclusiv filtrele de ordine (un singur coeficient egal cu 1, iar restul nuli). Coeficienții celor mai uzuale L-filtre sunt prezentați în tabelul 5.1

Filtru	Coeficienți
Filtru de ordine de ordin k , rank_k	$a_k = 1, a_i = 0, i \neq k$
Filtru de mediere aritmetică	$a_i = 1/n$
Filtru de mijloc	$a_1 = a_n = 0.5, a_i = 0, i \notin \{1, n\}$
Filtru de cvasi-mijloc	$a_k = a_{n+1-k} = 0.5, a_i = 0, i \notin \{k, n+1-k\}$
Medie α -reglabilă	$a_k = 1/n(1 - 2\alpha), i \in [\alpha n + 1; n - \alpha n]$ $a_i = 0, i \notin [\alpha n + 1; n - \alpha n]$

Tabel 5.1: Coeficienții celor mai uzuale L-filtre.

Se poate demonstra cu ușurință că coeficienții L-filtrelor trebuie să îndeplinească aceleași condiții de normare ca și coeficienții filtrelor liniare: să aibă suma 1 pentru un filtru de netezire (conform (3.8)) și suma 0 pentru un filtru de reliefare (conform (3.9)). Toate filtrele prezentate în tabelul 5.1 sunt deci filtre de netezire, al căror scop este mărirea uniformității regiunilor imaginii prin eliminarea diferitelor zgomote suprapuse acesteia. Tabelul 5.2 prezintă filtrele cele mai potrivite pentru eliminarea diferitelor tipuri de zgomote.

Tip zgomot	Filtru
impulsiv (sare și piper)	filtru de ordine (median, maxim, minim)
gaussian	filtru de mediere aritmetică
impulsiv + gaussian	filtru de tip medie α -reglabilă
uniform	filtru de mijloc

Tabel 5.2: L-filtre utilizate pentru reducerea diferitelor tipuri de zgomote.

Un exemplu de filtru de reliefare (cu comportare derivativă, care să satisfacă deci (3.9)) este gradientul morfologic – diferența între valoarea maximă și minimă din fereastra de filtrare curentă:

$$\text{grad}\{x_1, x_2, \dots, x_n\} = x_{(n)} - x_{(1)}$$

Folosirea unui asemenea operator produce o imagine în care valoarea fiecărui pixel este invers proporțională cu gradul de uniformitate (netezime) al vecinătății acestuia (vezi figura 5.9).

5.4 Aspecte de implementare

Implementarea filtrelor neliniare de ordine sau a L-filtrelor urmează aceleași principii ca și oricare tehnică de tip fereastră glisantă (ca filtrarea liniară) în ceea ce privește



Fig. 5.9: Operatorul gradient morfologic aplicat imaginii filtrate din figura 5.5.

problemele legate de realizarea formei ferestrei de filtrare și efectele de margine. Ceea ce este particular filtrelor din această categorie este etapa de ordonare a valorilor selectate de fereastra de filtrare în fiecare poziție.

În teoria algoritmilor au fost dezvoltati numeroși algoritmi de sortare (ordonare crescătoare), a căror complexitate de calcul variază de la $O(n^2)$ (bubble sort, sortare prin determinare succesivă de extreme), $O(n \log n)$ (sortare prin interclasare sau inserție) până la $O(n)$ (pentru determinare doar a extremelor și a statisticii mediane). Trebuie însă remarcat că o metodă de sortare de complexitate $O(n^2)$ nu este neapărat mai neeficientă decât o metodă de sortare $O(n)$: complexitatea unui algoritm exprimă comportarea asimptotică a numărului de operații necesare, în condițiile în care dimensiunea caracteristică n a setului de date ce se prelucrează este foarte mare (la limită $n \rightarrow \infty$). Sortările folosite în implementarea filtrelor neliniare de ordine prelucrează seturi mici de date (să nu uităm că rareori o fereastră de filtrare depășește dimensiunea de 25 de pixeli), și deci complexitatea $O()$ nu este un criteriu valid de alegere a unui algoritm de sortare.

Codul Matlab ce urmează implementează un L-filtru cu o fereastră pătrată de dimensiune 3×3 , centrată; ponderile filtrului sunt stocate în vectorul w (1 linie, 9 coloane, prima poziție corespunzând coeficientului statisticii minime). L-filtrul este aplicat imaginii in (de dimensiuni $nrlin$ și $nrcol$); efectele de margine sunt evitate prin neprelucrarea primei și ultimei linii, respectiv coloane a imaginii. Rezultatul este înscris în imaginea out .

```
[nrlin,nrcol]=size(in);
out=in;
for i=2:nrlin-1
  for j=2:nrcol-1
    temp=in(i-1:i+1,j-1:j+1);
    temp=sort(temp(:));
```

```

    out(i,j)=fix(w*temp);
end
end

```

Se remarcă folosirea funcției standard *sort* ce realizează operația de ordonare crescătoare a valorilor; ieșirea L-filtrului este produsul scalar al vectorului de coeficienți ai filtrului cu vectorul statisticilor de ordine.

În cele ce urmează vom considera un exemplu de implementare a unui filtru cu ordonare după rang realizat cu o fereastră centrată de 3 x 3 pixeli, pentru filtrarea unei imagini cu *NRLIN* linii și *NRCOL* coloane; prima și ultima linie și coloană sunt identice cu cele din imaginea ce se filtrează (remarcați buclele *for* de alocare a spațiului pentru imaginea filtrată și inițializarea valorilor acesteia).

```

unsigned char temp[9],dummy;
boolean sortat;
img_out=(int**)malloc(NRLIN*sizeof(int*));
for (i=0;i<NRLIN;i++)
    img_out[i]=(int*)malloc(NRCOL*sizeof(int));
for (i=0;i<NRCOL;i++)
{ img_out[0][i]=img[0][i];
  img_out[NRLIN-1][i]=img[NRLIN-1][i];}
for (i=0;i<NRLIN;i++)
{ img_out[i][0]=img[i][0];
  img_out[i][NRCOL-1]=img[i][NRCOL-1];}
for (i=1;i<NRLIN-1;i++)
  for (j=1;j<NRCOL-1;j++)
    { for (k=0;k<9;k++)
      temp[k]=img[i-1+k/3][j-1+k%3];
      sortat=false;
      while (! sortat) do
      { sortat=true;
        for (k=0;k<8;k++)
          if (temp[k]>temp[k+1])then
            { dummy=temp[k+1];
              temp[k+1]=temp[k];
              temp[k]=dummy;
              sortat=false;
            }
        }
      img_out[i][j]=temp[5];
    }
}

```

Valorile selectate de fereastra de filtrare sunt stocate în vectorul de 9 poziții *temp*. Citirea acestor valori se face printr-un ciclu, bazându-se pe introducerea unei relații de echivalență între ordinea de baleiaj a ferestrei și poziția valorilor în vector (economia nu este de timp de execuție ci de timp de scriere a codului). Această alocare este echivalentă cu liniile de cod:

```
temp[0]=img[i-1][j-1];temp[1]=img[i-1][j];
temp[2]=img[i-1][j+1];temp[3]=img[i][j-1];
temp[4]=img[i][j];temp[5]=img[i][j+1];
temp[6]=img[i+1][j-1];temp[7]=img[i+1][j];
temp[8]=img[i+1][j+1];
```

Sortarea implementată este de tip bubble sort; fiecare poziție a vectorului ce conține valorile extrase de fereastra de filtrare este comparată cu poziția următoare, iar dacă ordinea crescătoare nu este respectată, cele două valori sunt interschimbate; indicatorul *sortat* indică efectuarea a măcar unei interschimbări, și deci necesitatea reluării verificării ordinii. Filtrul de ordine folosit este medianul (se preia în imaginea rezultat statistica de ordine cu numărul 5, deci statistica mediană).

Structura de program folosită anterior realizează ordonarea vectorului de valori pentru fiecare poziție a ferestrei de filtrare; o serioasă economie de timp se poate realiza dacă se ține seama că la mutarea ferestrei de filtrare de la un pixel al imaginii la un pixel vecin acestuia, se modifică un număr relativ mic de valori (restul rămânând neschimbate). Aceasta poate conduce la ideea păstrării unei părți a setului de valori ordonate, în care să se intercaleze valorile noi.

O altă variantă de determinare a statisticilor de ordine se bazează pe folosirea histogramei valorilor din fereastra de filtrare. Histograma (2.10) reprezintă numărul de puncte ce au o anumită valoare și este echivalentă cu funcția de densitate de probabilitate a unei variabile aleatoare. Pentru aceeași variabilă aleatoare există însă și funcția de repartiție – primitiva funcției de densitate de probabilitate; așadar putem asocia oricărei histograme h o histogramă cumulativă (5.15):

$$H(i) = \sum_{j=0}^i h(j), \text{ cu } i = 0, 1, \dots, L - 1 \quad (5.15)$$

Histograma cumulativă în punctul i va reprezenta deci numărul de puncte (pixeli) a căror valoare (nivel de gri) este mai mică decât i . Determinarea valorii statisticilor de ordine pentru un set de valori pe baza histogramei acestora este imediată. Să considerăm următorul exemplu: setul de valori selectate de fereastra de filtrare este $\{1, 2, 3, 3, 4, 0, 1, 1, 2, 1, 1, 0, 0, 1, 2, 7, 7, 6, 0, 1, 6, 6, 5, 5, 0\}$ (valori din intervalul 0–7). Histograma acestui set este $h = (5 \ 7 \ 3 \ 2 \ 1 \ 2 \ 3 \ 2)$ iar histograma cumulativă este $H = (5 \ 12 \ 15 \ 17 \ 18 \ 20 \ 23 \ 25)$. Atunci statisticile de ordine de ordin 1–5

($H(0)$) au valoarea 0, statisticile de ordine de ordin 6 ($H(0) + 1$) – 12 ($H(1)$) au valoarea 1, statisticile de ordine de ordin 13 ($H(1) + 1$) – 15 ($H(2)$) au valoarea 2, statisticile de ordine de ordin 16 ($H(2) + 1$) – 17 ($H(3)$) au valoarea 3, statistica de ordine de ordin 18 ($H(3) + 1 = H(4)$) are valoarea 4, statisticile de ordine de ordin 19 ($H(4) + 1$) – 20 ($H(5)$) au valoarea 5, statisticile de ordine de ordin 21 ($H(5) + 1$) – 23 ($H(6)$) au valoarea 6, statisticile de ordine de ordin 24 ($H(6) + 1$) – 25 ($H(7)$) au valoarea 7. Regula de decizie generală este: statisticile de ordine de ordin $H(j - 1) + 1$ până la $H(j)$ au valoarea j , cu $j = 0, 1, 2, \dots, L - 1$ și $H(-1) = 0$.

Deci, pentru o statistică oarecare de ordin r , trebuie identificat numărul j astfel ca:

$$H(j - 1) + 1 \leq r \leq H(j) \quad (5.16)$$

Problemele ce apar la o asemenea implementare sunt legate în primul rând de timpul de determinare a numărului j ce satisface (5.16), timp ce este direct proporțional cu numărul de nivele de gri din imagine (și deci lungimea vectorului histogramă sau histogramă cumulativă). Se poate însă observa că histograma într-o fereastră de filtrare va selecta relativ puține valori diferite, și atunci histograma va fi un vector rar (*sparse*), cu multe intrări nule, iar histograma cumulativă va avea, corespunzător, multe porțiuni constante. În aceste condiții, o reprezentare mai eficientă (atât ca memorie ocupată, cât și ca timp de căutare) este memorarea doar a tranzițiilor (poziție, valoare) din histograma cumulativă, adică doar memorarea histogramei.

Capitolul 6

ELEMENTE DE MORFOLOGIE MATEMATICĂ

În mod tradițional, prelucrarea semnalelor multidimensionale (și a imaginilor în particular) a fost bazată pe exploatarea conceptelor și teoriei sistemelor liniare și a transformatei Fourier ([9], [2]). Deși aceste abordări clasice sunt justificate și dau rezultate în multe cazuri, aplicarea lor este limitată de problema fundamentală impusă de semnalele de tip imagine: modul de reprezentare a formei sau structurii geometrice existente într-un semnal.

Morfologia matematică, după cum indică și numele (*morphos* – formă, *logos* – știință, deci știința formelor), realizează o abordare axată pe formă a prelucrării imaginilor. Folosită corespunzător, morfologia matematică conduce la prelucrări ce simplifică structura imaginii, păstrând caracteristicile esențiale de formă și eliminând irelevanțele.

Ideea de bază a oricărei prelucrări morfologice este considerarea imaginii ca un ansamblu (mulțime, reuniune de părți) asupra căruia se aplică transformări a căror esență este comparația cu mulțimi (ansambluri) mai simple, numite *elemente structurante*. Scopul acestor transformări este extragerea de forme mai simple din formele inițiale (complexe) ale imaginii.

Morfologia matematică este utilizată ca o abordare naturală a proceselor de vedere artificială, deoarece trăsăturile și respectiv identificarea obiectelor sunt corelate cu forma. Principalele aplicații sunt în domeniile roboticii, microscopiei electronice, imagisticii biomedicale, telemetriei, inspecției automate a produselor, analizei de scenă. Aplicațiile industriale sunt impulsionate și de continua dezvoltare și îmbunătățire a arhitecturilor de calcul ce implementează transformări morfologice.

6.1 Transformări morfologice de bază

6.1.1 Transformarea Hit or Miss

Transformarea *Hit or Miss* a fost introdusă în [14] și reprezintă poate cea mai primară și evidentă exemplificare a conceptului de studiu al formei. Orice formă poate fi considerată ca o reuniune de componente (blocuri, regiuni, scheme) individuale independente, plasate în diverse poziții; a recunoaște forma implică identificarea locală a părților sale componente și deci o operație simplă de potrivire de măști (*pattern matching*).

Rezultatul aplicării acestei transformări de identificare (numită uneori și transformarea “totul sau nimic”) este o mulțime ale cărei puncte satisfac criteriul de identificare a unei vecinătăți cu masca aplicată.

Transformarea *Hit or Miss* se definește pe baza unei partiții (B_1, B_2) a elementului structurant B : $B = B_1 \cup B_2$ și $B_1 \cap B_2 = \emptyset$ ca:

$$A \otimes B = \{\mathbf{x} | (B_1)_{\mathbf{x}} \subseteq A\} \cap \{\mathbf{x} | (B_2)_{\mathbf{x}} \subseteq A^C\} \quad (6.1)$$

În (6.1) A este mulțimea căreia i se aplică transformarea, A^C este complementara mulțimii A , B este elementul structurant și $(B_i)_{\mathbf{x}}$ este mulțimea B_i translataată cu vectorul \mathbf{x} . Trebuie remarcat faptul că oricărui element structurant trebuie să i se atașeze o origine. Figura 6.1 prezintă o exemplificare a transformării *Hit or Miss*.

Se poate observa că această transformare produce ca rezultat o mulțime de puncte ce satisfac concomitent un set de condiții de tipul $(B_i)_{\mathbf{x}} \subseteq A_i$, unde $\{A_i\}$ formează o partiție a spațiului.

Este evident că $\{A, A^C\}$ formează o partiție, dar aceasta nu este singura posibilă. Anumite aplicații practice pot impune însă situații mai complexe, a căror rezolvare depășește cadrul morfologiei binare [14]. Astfel se pot cita așa numitele “cazuri”: cazul petrografic (provenit din analiza hidrocarburilor și a mineralelor), în care p componente împart exact spațiul (fără a lăsa locuri libere) și cazul geografic, în care p componente nu ocupă întreg spațiul și se pot întrepătrunde (cazul zonelor de pădure cu diferite specii de copaci). Figura 6.2 prezintă o astfel de transformare.

Transformarea *Hit or Miss*, în forma prezentată, prezintă un interes mai mult teoretic, datorită situației sale la baza construcției morfologiei matematice. Se va arăta însă că este posibilă exprimarea acesteia și în funcție de transformările morfologice fundamentale larg utilizate (erodarea și dilatarea).

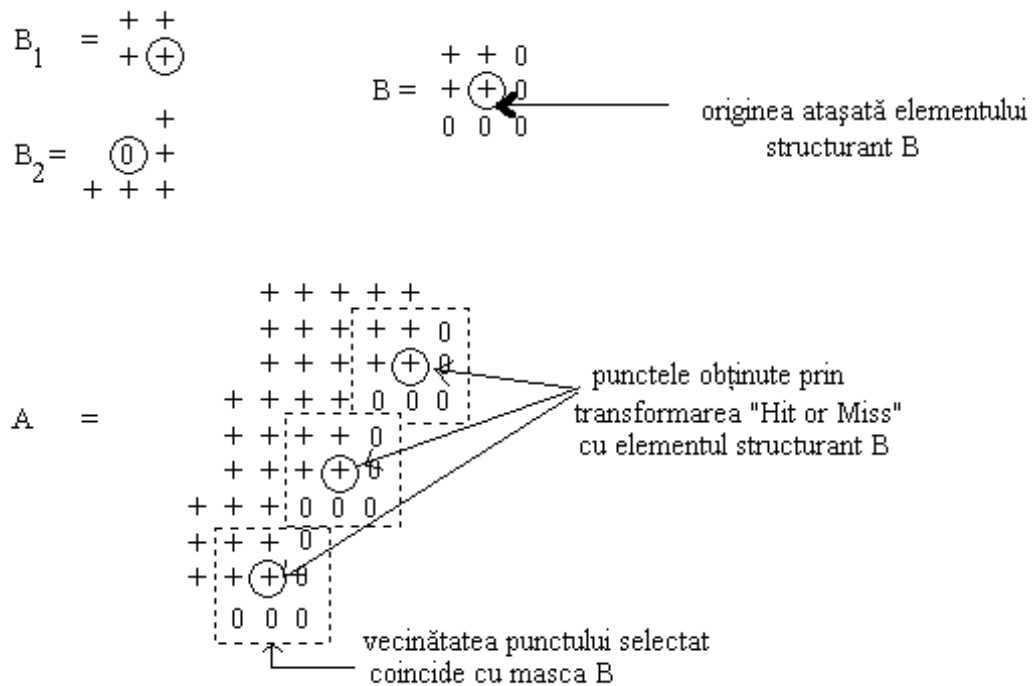


Fig. 6.1: Exemplificare a transformării de identificare a configurațiilor locale (Hit or Miss); în particular exemplul prezintă determinarea punctelor de tip “colț dreapta-jos”.

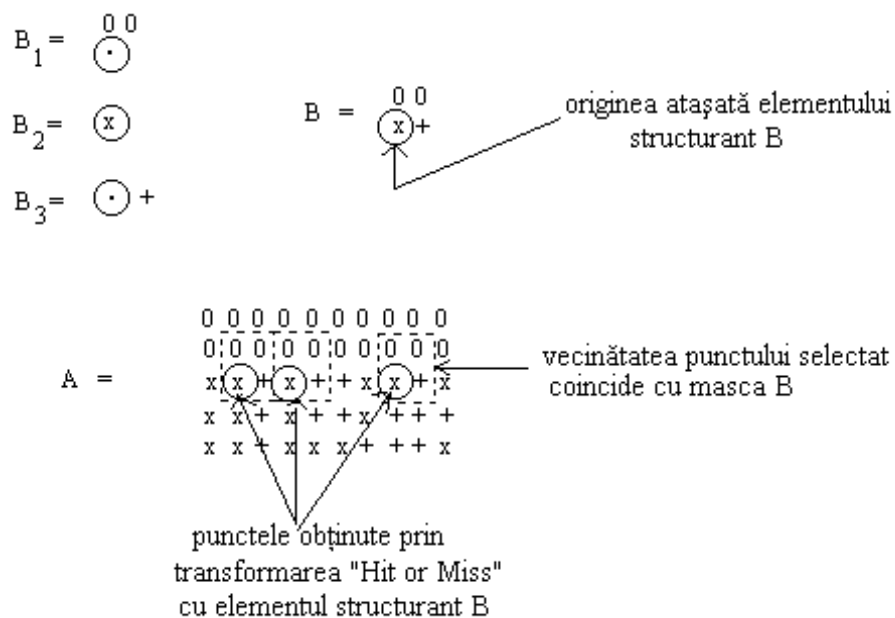


Fig. 6.2: Exemplu de transformare Hit or Miss extinsă pentru o partiție cu trei mulțimi a spațiului imaginii.

6.1.2 Erodera morfologică

Erodarea morfologică a mulțimii A prin elementul structurant B se definește ca mulțimea punctelor (elementelor) cu care se poate transla elementul structurant astfel încât acesta să fie inclus în mulțimea de prelucrat A :

$$A \ominus B = \{ \mathbf{x} | B_{\mathbf{x}} \subseteq A \} \quad (6.2)$$

Erodare morfologică a mulțimii A este transformata Hit or Miss a mulțimii cu un element structurant $B = B_1$ ($B_2 = \emptyset$):

$$A \ominus B = \{ \mathbf{x} | (B_1)_{\mathbf{x}} \subseteq A \} \cap \{ \mathbf{x} | (\emptyset)_{\mathbf{x}} \subseteq A^C \} = \{ \mathbf{x} | (B)_{\mathbf{x}} \subseteq A \}$$

Această relație de definiție se mai poate exprima ca:

$$\begin{aligned} A \ominus B &= \{ \mathbf{x} | B_{\mathbf{x}} \subseteq A \} = \{ \mathbf{x} | \forall \mathbf{b} \in B, \exists \mathbf{a} \in A \text{ astfel încât } \mathbf{b} + \mathbf{x} = \mathbf{a} \} = \quad (6.3) \\ &= \{ \mathbf{x} | \forall \mathbf{b} \in B, \exists \mathbf{a} \in A \text{ astfel încât } \mathbf{x} = \mathbf{a} - \mathbf{b} \} = \bigcap_{\mathbf{b} \in B} A_{-\mathbf{b}} = \bigcap_{\mathbf{b} \in B^S} A_{\mathbf{b}} \quad (6.4) \end{aligned}$$

Figura 6.3 prezintă rezultatul erodării unor mulțimi discrete, iar figura 6.4 prezintă rezultatul erodării unor mulțimi continue.

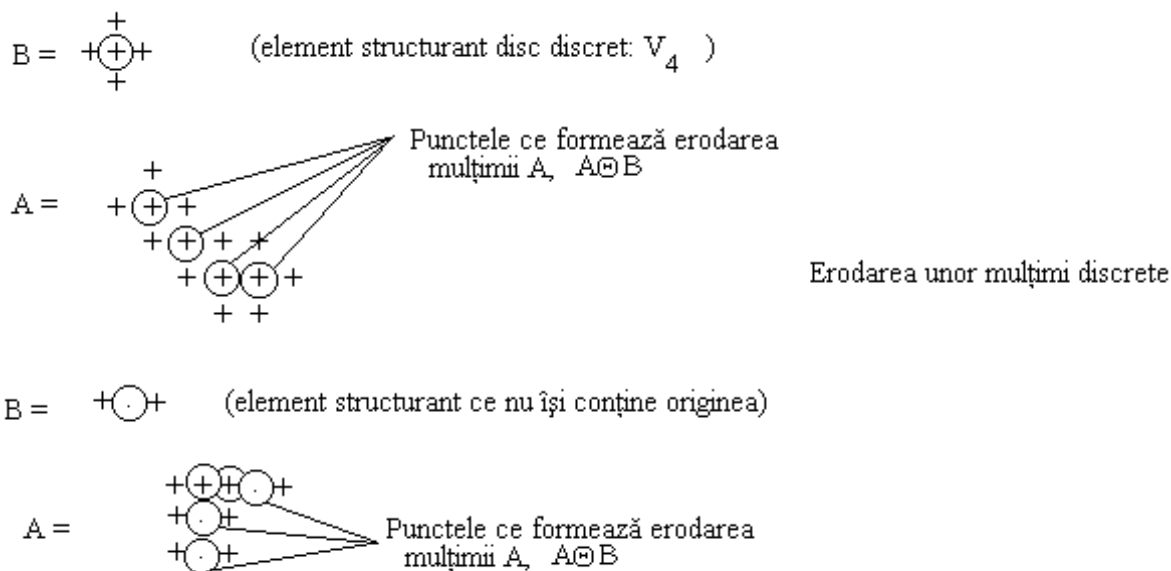


Fig. 6.3: Exemple de erodare a unor mulțimi discrete cu diferite elemente structurante, ce își conțin (sau nu) originea.

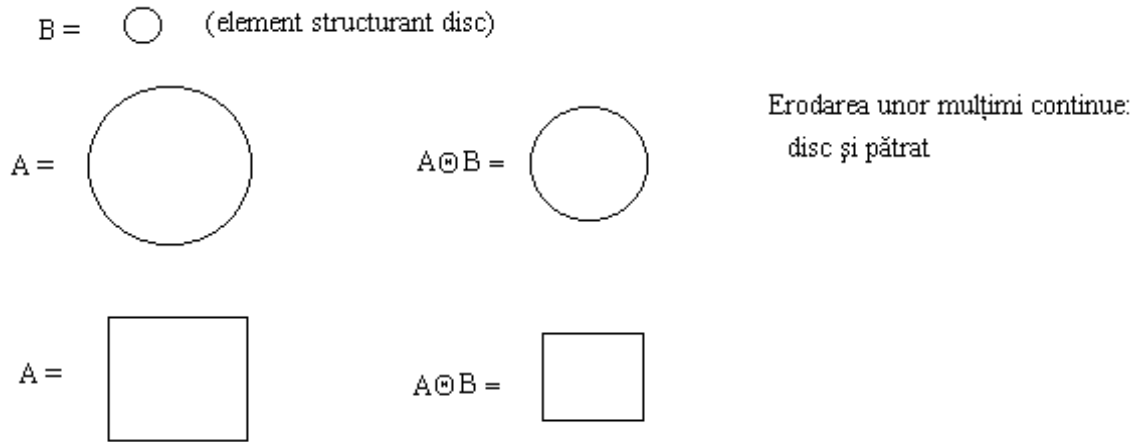


Fig. 6.4: Rezultatul erodării unor mulțimi continue cu un element structurant de tip disc (originea elementului structurant este centrul discului).

6.1.3 Dilatarea morfologică

Dilatarea morfologică a mulțimii A cu elementul structurant B se definește ca mulțimea punctelor (elementelor) cu care se poate transla elementul structurant astfel încât acesta să aibă puncte comune cu mulțimea de prelucrat A :

$$A \oplus B = \{\mathbf{x} | B_{\mathbf{x}} \cap A \neq \emptyset\} \quad (6.5)$$

Erodare morfologică a mulțimii A este complementara transformatei Hit or Miss a mulțimii cu un element structurant $B = B_2$ ($B_1 = \emptyset$):

$$\begin{aligned} (A \oplus B)^C &= \{\mathbf{x} | (B_1)_{\mathbf{x}} \subseteq A\} \cap \{\mathbf{x} | (B_2)_{\mathbf{x}} \subseteq A^C\} = \{\mathbf{x} | (\emptyset)_{\mathbf{x}} \subseteq A\} \cap \{\mathbf{x} | (B_2)_{\mathbf{x}} \subseteq A^C\} = \{\mathbf{x} | (B)_{\mathbf{x}} \subseteq A^C\} \\ A \oplus B &= \{\mathbf{x} | (B)_{\mathbf{x}} \subseteq A^C\}^C = \{\mathbf{x} | (B)_{\mathbf{x}} \not\subseteq A^C\} = \{\mathbf{x} | B_{\mathbf{x}} \cap A \neq \emptyset\} \end{aligned}$$

Relația de definiție mai poate fi exprimată și ca:

$$A \oplus B = \{\mathbf{x} | B_{\mathbf{x}} \cap A \neq \emptyset\} = \{\mathbf{x} | \exists \mathbf{b} \in B, \exists \mathbf{a} \in A \text{ astfel încât } \mathbf{b} + \mathbf{x} = \mathbf{a}\} = \quad (6.6)$$

$$= \{\mathbf{x} | \exists \mathbf{b} \in B, \exists \mathbf{a} \in A \text{ astfel încât } \mathbf{x} = \mathbf{a} - \mathbf{b}\} = \bigcup_{\mathbf{b} \in B} A_{-\mathbf{b}} = \bigcup_{\mathbf{b} \in B^S} A_{\mathbf{b}} \quad (6.7)$$

Figura 6.5 prezintă rezultatul erodării unor mulțimi discrete, iar figura 6.6 prezintă rezultatul dilatării unor mulțimi continue.

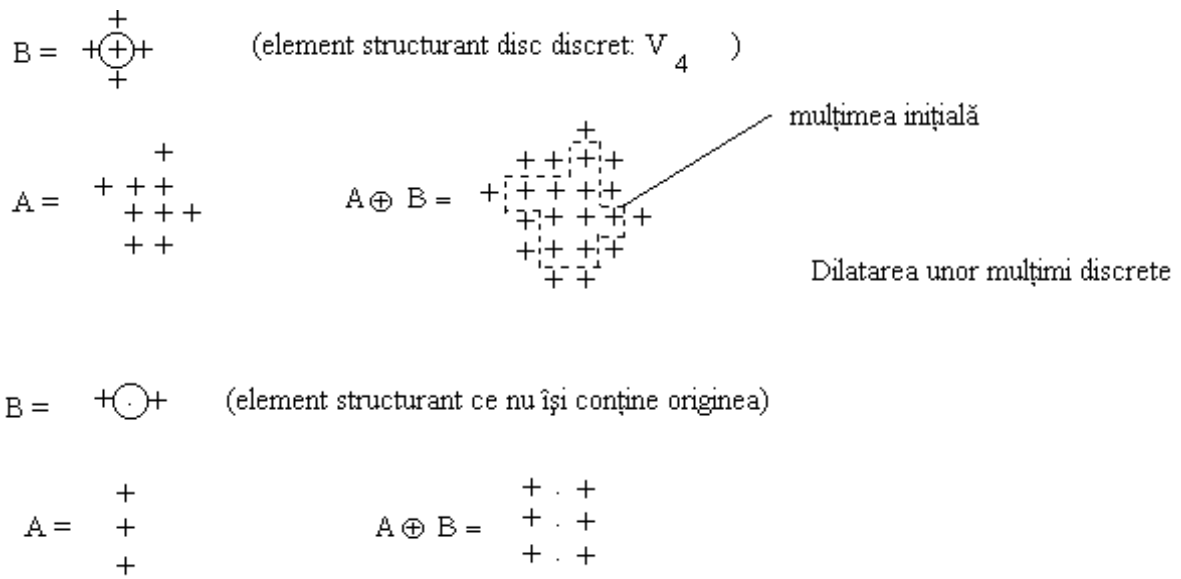


Fig. 6.5: Exemple de dilatare a unor mulțimi discrete cu diferite elemente structurante, ce își conțin (sau nu) originea.

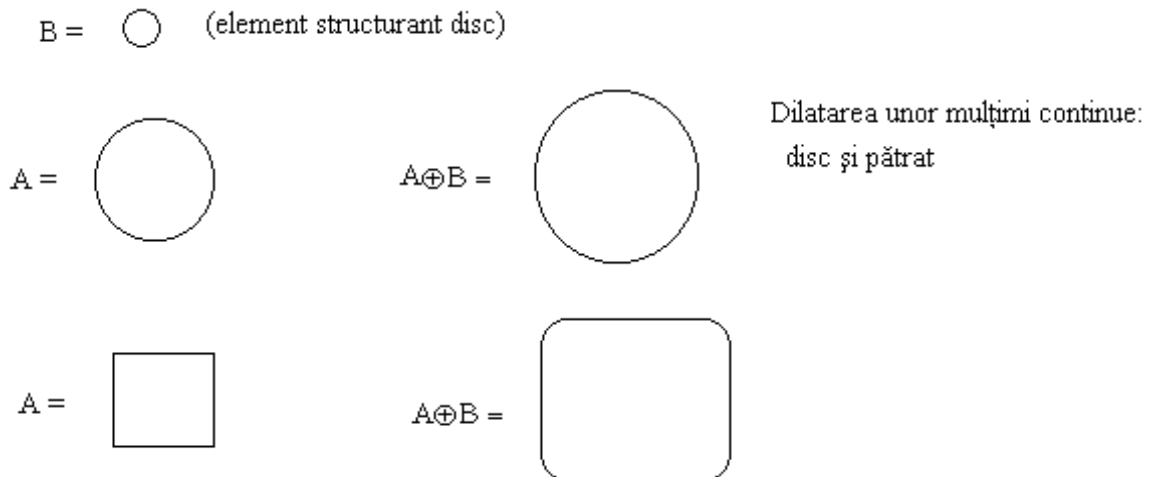


Fig. 6.6: Rezultatul dilatării unor mulțimi continue cu un element structurant de tip disc (originea elementului structurant este centrul discului).

6.1.4 Proprietățile erodării și dilatării

Se observă că, în general, efectul operației de dilatare este de a mări obiectul; acesta crește, “se umflă”, corespunzător formei și dimensiunii elementului structurant. Efectul erodării este, după cum am văzut, o micșorare a obiectului. Modificarea dimensiunii obiectului este strict determinată de forma elementului structurant: un element structurant simetric (disc, segment de dreaptă centrat în origine) provoacă o modificare simetrică a dimensiunilor; dacă elementul structurant nu este simetric, efectele se vor manifesta asupra obiectului pe direcția elementului structurant și în sens contrar acestuia. Efectele erodării și dilatării vor fi discutate în continuare, pe baza proprietăților matematice ale acestora.

Dilatarea și erodarea formează o pereche de operații duale:

$$(A \oplus B)^C = A^C \ominus B \text{ și } (A \ominus B)^C = A^C \oplus B \quad (6.8)$$

Demonstrația este imediată:

$A \oplus B = \{\mathbf{x} | B_{\mathbf{x}} \cap A \neq \emptyset\}$, de unde rezultă

$$(A^C \oplus B)^C = \{\mathbf{x} | B_{\mathbf{x}} \cap A^C \neq \emptyset\}^C = \{\mathbf{x} | B_{\mathbf{x}} \cap A^C = \emptyset\} = \{\mathbf{x} | B_{\mathbf{x}} \subseteq A\} = A \ominus B \quad (6.9)$$

și $A \ominus B = \{\mathbf{x} | B_{\mathbf{x}} \subseteq A\}$ de unde rezultă

$$(A^C \ominus B)^C = \{\mathbf{x} | B_{\mathbf{x}} \subseteq A^C\}^C = \{\mathbf{x} | B_{\mathbf{x}} \not\subseteq A^C\} = \{\mathbf{x} | B_{\mathbf{x}} \cap A \neq \emptyset\} = A \oplus B \quad (6.10)$$

Interpretarea dualității ca obținerea acelorași efecte, dar asupra unor mulțimi complementare, este corectă: dacă dilatarea va mări obiectul (mulțimea), aceasta înseamnă că va micșora în același timp fundalul (complementara mulțimii), deci va fi echivalentă cu o erodare a fundalului. Dacă erodarea micșorează obiectul (mulțimea), aceasta înseamnă o mărire simultană a fundalului (complementara mulțimii), deci o dilatare a acestuia.

Un caz particular ce poate apare este acela al elementelor structurante ce nu conțin originea. Folosind un asemenea element structurant, rezultatele operațiilor morfologice vor fi “translatate” față de poziția la care ar fi fost de așteptat să apară.

Legătura între translația elementului structurant (faptul că acesta nu conține originea poate fi interpretat ca o deplasare) sau a mulțimii (obiectului) care se prelucrează și deplasarea rezultatului operațiilor morfologice este dat de proprietățile de invarianță la translație:

$$A_t \oplus B = (A \oplus B)_t \text{ și } A_t \ominus B = (A \ominus B)_t \quad (6.11)$$

$$A \oplus B_t = (A \oplus B)_{-t} \text{ și } A \ominus B_t = (A \ominus B)_{-t} \quad (6.12)$$

Aceste proprietăți de invarianță la translație (translația obiectului și translația elementului structurant) pot avea mai multe interpretări. În primul rând, invarianța la translație asigură faptul că forma rezultată prin dilatarea sau erodarea unei mulțimi este aceeași, indiferent de poziția mulțimii prelucrate. În al doilea rând, relațiile enunțate asigură suficiența considerării doar a elementelor structurante ce conțin originea; un element structurant ce nu conține originea poate fi obținut prin translație dintr-un element structurant ce conține originea; mulțimea (forma) rezultată în urma prelucrării va trebui translatată în sens opus elementului structurant.

În același grup de proprietăți de invarianță a operațiilor morfologice se încadrează și invarianța la scalare (omotetie). Dacă λ este parametrul nenul de scalare, atunci:

$$\frac{1}{\lambda}(\lambda A \oplus B) = A \oplus \frac{1}{\lambda}B \text{ și } \frac{1}{\lambda}(\lambda A \ominus B) = A \ominus \frac{1}{\lambda}B \quad (6.13)$$

Într-adevăr,

$$\begin{aligned} \frac{1}{\lambda}(\lambda A \oplus B) &= \frac{1}{\lambda}(\lambda A + B^S) = \frac{1}{\lambda}\{\mathbf{x} | \mathbf{x} = \lambda \mathbf{a} - \mathbf{b}, \mathbf{a} \in A, \mathbf{b} \in B\} = \{\mathbf{x} | \mathbf{x} = \mathbf{a} - \frac{1}{\lambda} \mathbf{b}, \mathbf{a} \in A, \mathbf{b} \in B\} = \\ &= A + \frac{1}{\lambda}B^S = A \oplus \frac{1}{\lambda}B \\ \frac{1}{\lambda}(\lambda A \ominus B) &= \frac{1}{\lambda}(\lambda A^C \oplus B)^C = (\frac{1}{\lambda}(\lambda A^C \oplus B))^C = (A^C \oplus \frac{1}{\lambda}B)^C = A \ominus \frac{1}{\lambda}B \end{aligned}$$

Relațiile de invarianță la scalare afirmă că rezultatul unei transformări morfologice aplicate unei versiuni scalate a formei A este identic cu aceeași scalare aplicată rezultatului transformării morfologice a formei A prin același element structurant scalat invers.

Proprietățile de monotonie a unei transformări nu pot fi neglijate la descrierea acestora. Atât dilatarea cât și erodarea sunt crescătoare față de mulțimea ce se prelucrează (forma): dacă $A_1 \subseteq A_2$, atunci

$$A_1 \oplus B \subseteq A_2 \oplus B \text{ și } A_1 \ominus B \subseteq A_2 \ominus B \quad (6.14)$$

Monotonia față de elementul structurant folosit este diferită: dilatarea este crescătoare, iar erodarea este descrescătoare: dacă $B_1 \subseteq B_2$, atunci:

$$A \oplus B_1 \subseteq A \oplus B_2 \text{ și } A \ominus B_2 \subseteq A \ominus B_1 \quad (6.15)$$

Aceste proprietăți subliniază corectitudinea interpretării dilatării ca o adăugare, ca o îngroșare, iar a erodării ca o subțiere; grosimea stratului adăugat sau îndepărtat este

dată de elementul structurant. Deci cu cât elementul structurant este mai mare, cu atât corpul se va mări mai mult în urma dilatării sau se va micșora mai mult în urma erodării.

În general, dilatarea este extensivă, adică:

$$A \subseteq A \oplus B. \quad (6.16)$$

O condiție suficientă pentru ca această proprietate să fie adevărată este ca elementul structurant să conțină originea, $\{0_n\} \in B$. Atunci

$$A \oplus B = \bigcup_{\mathbf{b} \in B^S} A_{\mathbf{b}} = A \cup \left(\bigcup_{\mathbf{b} \in B^S - \{0_n\}} A_{\mathbf{b}} \right) \supseteq A \quad (6.17)$$

Condiția ca elementul structurant să conțină originea nu este însă și o condiție necesară (a se vedea figura 6.7).

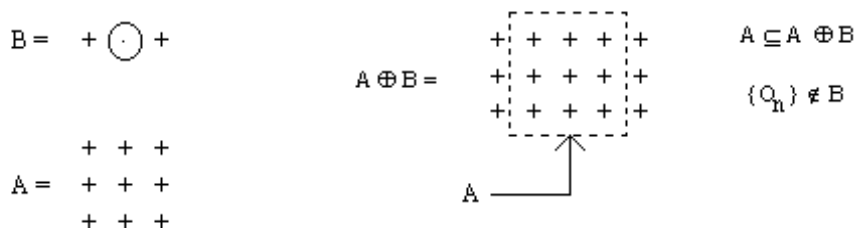


Fig. 6.7: Deși elementul structurant nu își conține originea, rezultatul dilatării include forma originală.

În general erodarea este antiextensivă, adică:

$$A \ominus B \subseteq A \quad (6.18)$$

O condiție suficientă pentru ca această proprietate să fie adevărată este ca elementul structurant să conțină originea, $\{0_n\} \in B$. Atunci

$$A \ominus B = \bigcap_{\mathbf{b} \in B^S} A_{\mathbf{b}} = A \cap \left(\bigcap_{\mathbf{b} \in B^S - \{0_n\}} A_{\mathbf{b}} \right) \subseteq A \quad (6.19)$$

Condiția ca elementul structurant să conțină originea nu este însă și o condiție necesară (a se vedea figura 6.8).

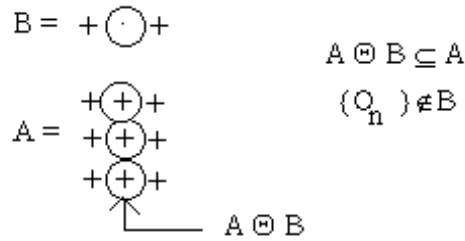


Fig. 6.8: Deși elementul structurant nu își conține originea, rezultatul erodării este inclus în mulțimea inițială.

Dilatarea este pseudocomutativă, proprietate care se exprimă ca

$$A \oplus B = (B \oplus A)^S \tag{6.20}$$

$$A \oplus B = A + B^S = (A^S + B)^S = (B + A^S) = (B \oplus A)^S \tag{6.21}$$

Proprietatea de asociativitate a dilatării se scrie ca

$$A \oplus (B \oplus C) = (A \oplus B) \oplus C^S \tag{6.22}$$

Într-adevăr:

$$A \oplus (B \oplus C) = A + (B \oplus C)^S = A + (B + C^S)^S = A + B^S + C = (A \oplus B) + C = (A \oplus B) \oplus C^S \tag{6.23}$$

Erodarea nu este nici comutativă (sau pseudocomutativă) și nici asociativă. Mai mult, “asociativitatea” erodării se scrie ca:

$$(A \ominus B) \ominus C = A \ominus (B \oplus C) \tag{6.24}$$

Într-adevăr:

$$(A \ominus B) \ominus C = ((A \ominus B)^C \oplus C)^C = ((A^C \oplus B) \oplus C)^C = (A^C \oplus (B \oplus C))^C = A \ominus (B \oplus C) \tag{6.25}$$

Proprietățile de asociativitate ale dilatării și erodării pot fi interpretate și ca o “descompunere” a elementului structurant; dacă un element structurant poate fi considerat ca descompus prin dilatare în $X = B \oplus C$, atunci operația morfologică efectuată prin elementul structurant respectiv este echivalentă cu operațiile morfologice prin “părțile” descompunerii elementului structurant, efectuate succesiv, adică:

$$A \oplus X = (A \oplus B) \oplus C^S \text{ și } A \ominus X = (A \ominus B) \ominus C$$

Dilatarea și erodarea sunt transformări (operații) ce nu păstrează numărul de conexități (numărul de obiecte). Rezultatul unei erodări poate fi o mulțime vidă (dacă elementul structurant nu poate fi inclus în formă pentru nici o poziție) sau mai multe forme (componente conexe). Rezultatul dilatării unei mulțimi formate din mai multe componente conexe poate fi o singură componentă conexă; “găurile” conținute într-o formă pot fi umplute.

Aceste proprietăți ale erodării și dilatării sunt fundamentul folosirii practice a acestora: prin erodare se pot elimina dintr-o mulțime componentele conexe ce sunt mai mici decât elementul structurant folosit (sau sunt mult diferite de acesta din punctul de vedere al formei) - aplicațiile ce ar putea folosi o asemenea comportare sunt separarea obiectelor după formă și dimensiune și eliminarea zgomotului suprapus scenei. Prin dilatare se pot grupa într-o singură entitate obiecte apropiate și se pot umple golurile înglobate în obiecte.

Dilatarea și erodarea nu sunt operații inversabile (nu admit o transformare inversă). Cu atât mai mult, dilatarea nu este inversa erodării și erodarea nu este inversa dilatării; exemplele prezentate în figurile 6.9 și 6.10 ilustrează această afirmație.

$$(A \ominus B) \oplus B \neq A \text{ și } (A \oplus B) \ominus B \neq A \quad (6.26)$$

O altă categorie de proprietăți se referă la distributivitatea operațiilor morfologice față de operațiile cu mulțimi. Pentru dilatare avem:

$$(A \cup B) \oplus C = (A \oplus C) \cup (B \oplus C) \quad (6.27)$$

$$(A \oplus C) \cup (B \oplus C) = \left(\bigcup_{\mathbf{c} \in C^S} A_{\mathbf{c}} \right) \cup \left(\bigcup_{\mathbf{c} \in C^S} B_{\mathbf{c}} \right) = \left(\bigcup_{\mathbf{c} \in C^S} A_{\mathbf{c}} \cup B_{\mathbf{c}} \right) = \bigcup_{\mathbf{c} \in C^S} (A \cup B)_{\mathbf{c}} = (A \cup B) \oplus C$$

$$A \oplus (B \cup C) = (A \oplus B) \cup (A \oplus C) \quad (6.28)$$

$$\begin{aligned} (A \oplus B) \cup (A \oplus C) &= (A + B^S) \cup (A + C^S) = (B^S + A) \cup (C^S + A) = \left(\bigcup_{\mathbf{a} \in A} B_{\mathbf{a}}^S \right) \cup \left(\bigcup_{\mathbf{a} \in A} C_{\mathbf{a}}^S \right) = \\ &= \bigcup_{\mathbf{a} \in A} (B_{\mathbf{a}}^S \cup C_{\mathbf{a}}^S) = \bigcup_{\mathbf{a} \in A} (B \cup C)_{\mathbf{a}}^S = (B \cup C)^S + A = A + (B \cup C)^S = A \oplus (B \cup C) \end{aligned}$$

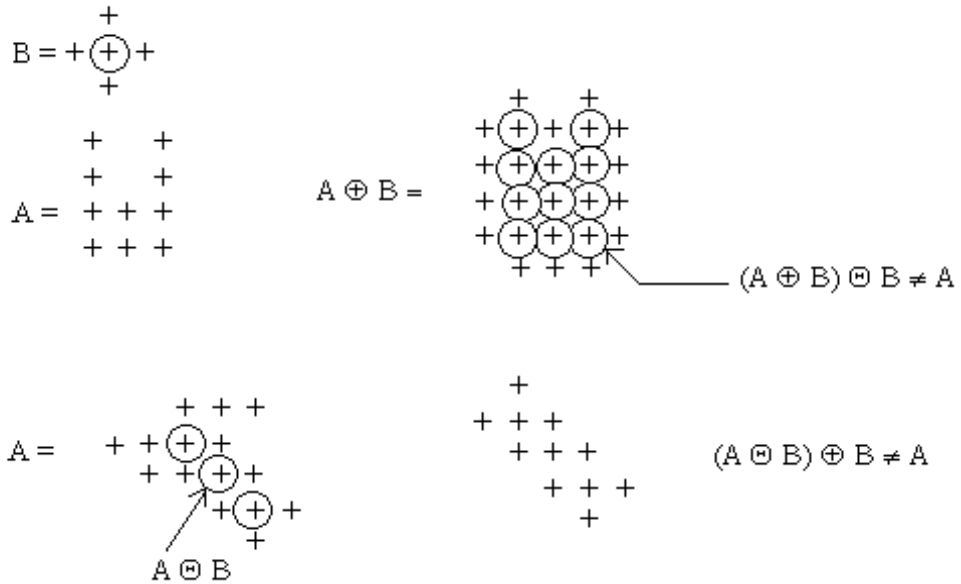


Fig. 6.9: Dilatarea și erodarea nu sunt transformări inverse una alteia; ilustrare pentru mulțimi discrete.

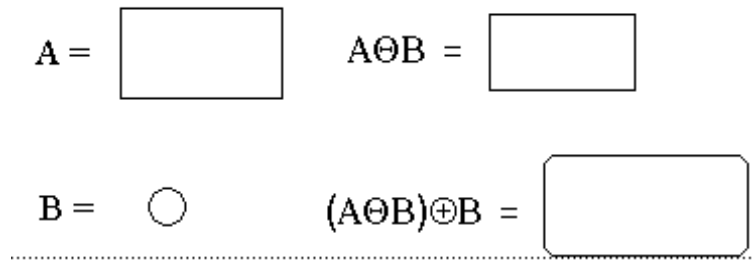


Fig. 6.10: Dilatarea și erodarea nu sunt transformări inverse una alteia; ilustrare pentru mulțimi continue.

Această din urmă relație poate fi interpretată și ca o descompunere prin reuniune a elementului structurant $X = B \cup C$, caz în care operația morfologică efectuată prin elementul structurant respectiv este echivalentă cu operațiile morfologice prin “părțile” descompunerii elementului structurant, efectuate succesiv, adică:

$$A \oplus X = (A \oplus B) \cup (A \oplus C) \quad (6.29)$$

Erodarea are proprietăți asemănătoare dilatării față de intersecția mulțimilor:

$$A \ominus (B \cup C) = (A \ominus B) \cap (A \ominus C) \quad (6.30)$$

$$(A \ominus B) \cap (A \ominus C) = \left(\bigcap_{t \in B^S} A_t \right) \cap \left(\bigcap_{t \in C^S} A_t \right) = \bigcap_{t \in B^S \cup C^S} A_t = \bigcap_{t \in (B \cup C)^S} A_t = A \ominus (B \cup C)$$

$$(A \cap B) \ominus C = (A \ominus C) \cap (B \ominus C)$$

$$(A \ominus C) \cap (B \ominus C) = \left(\bigcap_{c \in C^S} A_c \right) \cap \left(\bigcap_{c \in C^S} B_c \right) = \bigcap_{c \in C^S} (A_c \cap B_c) = \bigcap_{c \in C^S} (A \cap B)_c = (A \cap B) \ominus C$$

Înrudite cu proprietățile de distributivitate deja enunțate, există o serie de inegalități (relații de incluziune) de aceeași natură:

$$A \oplus (B \cap C) \subseteq (A \oplus B) \cap (A \oplus C) \text{ și } (B \cap C) \oplus A \subseteq (B \oplus A) \cap (C \oplus A)$$

$$A \ominus (B \cap C) \supseteq (A \ominus B) \cup (A \ominus C) \text{ și } (B \cap C) \ominus A \supseteq (B \ominus A) \cap (C \ominus A)$$

Această tratare [aproape] exhaustivă a proprietăților operațiilor morfologice de bază (dilatate, erodare) se regăsește în majoritatea monografiilor de morfologie matematică, ca de exemplu în [14], [7]. Deși, în esență, proprietățile tratate sunt aceleași, se impun câteva precizări.

Notațiile introduse în acest text sunt diferite pentru operațiile Minkowski (adunare + și scădere –) și pentru operațiile morfologice (dilatate \oplus și erodare \ominus). Legătura dintre aceste operații este dată de:

$$A \oplus B = A + B^S \text{ și } A \ominus B = A - B^S \quad (6.31)$$

În majoritatea lucrărilor de morfologie însă, nu se face nici o distincție de notație între aceste operații, ceea ce poate genera confuzii. Chiar în condițiile păstrării aceluiași notații, există abordări diferite privind definirea operațiilor morfologice. În [7] dilatarea și erodarea sunt identice cu adunarea, respectiv scăderea Minkowski (deci fără simetrizarea elementului structurant). Avantajul unei asemenea formalizări este existența proprietăților de comutativitate și asociativitate a dilatării (determinate direct de comutativitatea și asociativitatea adunării Minkowski). În plus, rezultatul dilatării este o “creștere” a formei pe direcția și în sensul elementului structurant folosit.

Dezavantajul acestei abordări este acela că trebuie redefinit conceptul de dualitate 6.8 (dacă se dorește păstrarea proprietății fundamentale de dualitate a dilatării și erodării), după cum urmează:

$$Dual(Op(A, B))|_{B \text{ parametru}} = (Op(A^C, B^S))^C \quad (6.32)$$

În [14] este preferată definirea dilatării unei mulțimi ca adunarea Minkowski a mulțimii cu elementul structurant simetrizat.

6.1.5 Aspecte de implementare

Din punct de vedere practic (al implementării), elementul structurant poate fi interpretat analog suportului ferestrei de filtrare folosită pentru orice operație bazată pe principiul ferestrei glisante: cu valorile selectate din imagine “se face ceva”. Va trebui însă introdus un mecanism de specificare a formei ferestrei de filtrare (elementului structurant) care să permită modificarea relativ simplă a acesteia (puterea morfologiei matematice constă în alegerea a diferite tipuri de elemente structurante optime unei anumite prelucrări). Convenția de reprezentare a imaginilor binare este de a avea asociate valori nule punctelor de fundal și valori pozitive (1 sau 255) punctelor obiect¹. În aceste condiții, putem găsi o echivalență intuitivă simplă operațiilor morfologice de erodare și dilatare. Rezultatul operației de erodare într-un pixel este nenul dacă și numai dacă elementul structurant plasat cu originea în acel punct este inclus în forma de prelucrat, și deci, dacă și numai dacă toate valorile selectate de elementul structurant sunt nule; aceasta înseamnă că putem implementa operația de erodare printr-o operație de minim. Rezultatul operației de dilatare într-un pixel este nul dacă și numai dacă elementul structurant plasat cu originea în acel punct nu are nici un punct comun cu forma de prelucrat, și deci, dacă și numai dacă toate valorile selectate de elementul structurant sunt nule; aceasta înseamnă că putem implementa operația de dilatare printr-o operație de maxim. În cele ce urmează prezentăm codul pentru operația de erodare.

```
# define SIZE_MAX_ES=16;
```

¹Reprezentarea grafică a acestei imagini, realizată cu tabela de nivele de gri normală va afișa deci obiecte albe pe un fundal negru.

```

int min,min_i,max_i,min_j,max_j;
integer es[SIZE_MAX_ES][2];
min_i=0;max_i=0,min_j=0,max_j=0;
for (k=0;k<dim_es;k++) {
    if (min_i > es[k][1])
        min_i=es[k][1];
    if (max_i < es[k][1])
        max_i=es[k][1];
    if (min_j > es[k][2])
        min_j=es[k][2];
    if (max_j < es[k][2])
        max_j=es[k][2]; }
for (i=-min_i;i<NRLIN-max_i;i++)
    for (j=-min_j;j<NRCOL-max_j;j++) {
        min=MAXINT;
        for (k=0;k<dim_es;k++)
            if (min > img[i+es[k][1]][j+es[k][2]]) then
                min=img[i+es[k][1]][j+es[k][2]];
        img_out[i][j]=min; }

```

Elementul structurant folosit este reprezentat prin matricea de întregi es , având cel mult 16 linii și 2 coloane. Fiecare linie a matricii corespunde unui punct din elementul structurant, reprezentat prin coordonatele față de originea elementului structurant: $es[k][1]$ și $es[k][2]$. De exemplu, elementul structurant orizontal, centrat, având trei puncte este reprezentat prin $es = [0 \ -1; 0 \ 0; 0 \ 1]^T$. Numărul de puncte ce compun elementul structurant este dim_es . Prima buclă *for* determină dimensiunile dreptunghiului de încadrare a elementului structurant, pentru a putea evita efectele de margine la prelucrarea imaginii.

6.2 Transformări morfologice derivate

Vom numi operație (transformare) morfologică derivată operația morfologică construită ca o combinație de transformări de bază: erodări, dilatări și operații clasice ansambliste.

6.2.1 Deschiderea și închiderea

După cum s-a arătat, erodarea și dilatarea nu sunt transformări inverse una alteia (deci alternarea lor va produce un rezultat diferit de mulțimea originală ce a fost prelucrată). Această observație conduce la ideea utilizării unor iterații ale operațiilor morfologice de

bază, obținând astfel operații mai complexe, ale căror proprietăți le fac mai adecvate utilizării în scopuri practice.

Deschiderea morfologică a mulțimii A prin elementul structurant B se definește ca erodarea mulțimii cu elementul structurant respectiv, urmată de dilatarea cu elementul structurant simetrizat:

$$A \circ B = (A \ominus B) \oplus B^S \quad (6.33)$$

Închiderea morfologică a mulțimii A prin elementul structurant B se definește ca dilatarea mulțimii cu elementul structurant respectiv, urmată de erodarea cu elementul structurant simetrizat:

$$A \bullet B = (A \oplus B) \ominus B^S \quad (6.34)$$

Proprietatea de bază a deschiderii și închiderii morfologice este aceea că sunt transformări duale una alteia (proprietate ce derivă din dualitatea blocurilor constituate de bază, dilatarea și erodarea). Această proprietate permite interpretarea rezultatelor unei operații și deducerea proprietăților acesteia pe baza caracteristicilor dualei sale.

$$(A \circ B)^C = A^C \bullet B \text{ și } (A \bullet B)^C = A^C \circ B \quad (6.35)$$

Demonstrația acestor proprietăți este imediată:

$$\begin{aligned} (A^C \circ B)^C &= ((A^C \ominus B) \oplus B^S)^C = ((A \oplus B)^C \oplus B^S)^C = (A \oplus B) \ominus B^S = A \bullet B \\ (A^C \bullet B)^C &= ((A^C \oplus B) \ominus B^S)^C = ((A \ominus B)^C \ominus B^S)^C = (A \ominus B) \oplus B^S = A \circ B \end{aligned}$$

În mod evident, rezultatul unei deschideri sau al unei închideri este diferit de mulțimea ce a fost prelucrată. Relația dintre rezultatul prelucrării și mulțimea inițială este dată de proprietățile de extensivitate ale transformărilor.

Deschiderea morfologică este antiextensivă, adică $A \circ B \subseteq A$

Închiderea morfologică este extensivă, adică $A \subseteq A \bullet B$

Deci, pentru a sintetiza, putem afirma că:

$$A \circ B \subseteq A \subseteq A \bullet B \quad (6.36)$$

Relațiile pot fi interpretate ca o modificare sigură a mulțimii: prin deschidere se vor elimina o parte dintre elementele mulțimii ce se prelucrează, iar prin închidere se adaugă elemente noi mulțimii.

Proprietatea de idempotență a operațiilor introduce o limitare a modificărilor: mulțimea obținută după o deschidere sau închidere este invariantă la repetarea operației:

$$(A \bullet B) \bullet B = A \bullet B \text{ și } (A \circ B) \circ B = A \circ B \quad (6.37)$$

Relațiile se demonstrează folosind proprietățile deja enunțate ale deschiderii și închiderii (extensivitate) și proprietățile de monotonie ale operațiilor morfologice de bază.

Închiderea și deschiderea moștenesc o parte dintre proprietățile operațiilor morfologice de bază: invarianța la translație și la scalare, monotonia față de mulțimea prelucrată și față de elementul structurant folosit. Din punctul de vedere al acestor proprietăți, deschiderea se comportă analog erodării iar închiderea are o comportare analoagă dilatării.

$$A_t \circ B = (A \circ B)_t \text{ și } A_t \bullet B = (A \bullet B)_t$$

$$\frac{1}{\lambda}(\lambda A \circ B) = A \circ \frac{1}{\lambda}B \text{ și } \frac{1}{\lambda}(\lambda A \bullet B) = A \bullet \frac{1}{\lambda}B$$

$$\text{Dacă } A_1 \subseteq A_2 : A_1 \circ B \subseteq A_2 \circ B \text{ și } A_1 \bullet B \subseteq A_2 \bullet B.$$

$$\text{Dacă } B_1 \subseteq B_2 : A \circ B_2 \subseteq A \circ B_1 \text{ și } A \bullet B_1 \subseteq A \bullet B_2$$

În ceea ce privește proprietățile legate de comportarea față de translație a operatorilor de deschidere și închidere, merită subliniat faptul că proprietatea este identică cu cea a erodării și dilatării doar la translația mulțimii prelucrate (rezultatul unei deschideri sau închideri a unei mulțimi este același, indiferent de poziția spațială a mulțimii). În cazul translatării elementului structurant, rezultatul operației este același, invariant la translație (ca rezultat a iterării erodării și dilatării cu elemente structurante simetrice).

Pentru realizarea efectivă a operațiilor de deschidere și închidere este importantă exprimarea acestora ca operații la nivelul elementelor mulțimilor ce se prelucrează (și nu ca o iterare de operații morfologice de bază). Deschiderea mai poate fi exprimată și ca mulțimea elementelor structurante translatare ce sunt incluse în mulțimea de prelucrat:

$$A \circ B = \bigcup_{B_x \subseteq A} B_x \quad (6.38)$$

Închiderea mai poate fi exprimată și ca mulțimea punctelor pentru care toate elementele structurante translatare ce le conțin au puncte comune cu mulțimea de prelucrat:

$$A \bullet B = \bigcap_{B_x \cap A \neq \emptyset} B_x \quad (6.39)$$

Pe baza acestor exprimări se pot deduce și efectele practice ale deschiderii și închiderii asupra formelor (mulțimilor). Prin deschidere, formele mai mici ca elementul structurant folosit vor fi eliminate, se măresc golurile înglobate în obiecte, contururile sunt netezite prin teșirea convexităților iar obiectele unite prin istmuri sunt separate. Datorită proprietății de dualitate, închiderea va avea aceleași efecte asupra fundalului (complementării obiectelor) pe care le are deschiderea asupra mulțimilor. Închiderea umple golurile înglobate în obiecte (dacă aceste găuri sunt mai mici decât elementul structurant folosit), netezește contururile formelor prin umplerea concavităților și unește obiectele foarte apropiate (umple “strâmtorile”).

Efectele operațiilor de deschidere și închidere pot fi considerate ca analoage efectelor unei filtrări de netezire a formelor și eliminare a zgomotului (zgomot interpretat ca obiecte și găuri de mici dimensiuni). În [14], în cadrul teoriei algebrice a morfologiei matematice, un filtru este definit ca o operație crescătoare și idempotentă. Trebuie făcută deci distincția între filtrul algebric și filtrul obișnuit, în sensul teoriei prelucrării semnalelor.

6.2.2 Filtrele alternate secvențial

Filtrele morfologice sunt transformări neliniare ale semnalului, care modifică local caracteristici geometrice (de formă). Teoria algebrică generală a filtrelor [14] definește o transformare ca filtru dacă aceasta este crescătoare și idempotentă, ceea ce înseamnă deci că deschiderea și închiderea sunt filtre, în timp ce erodarea și dilatarea nu sunt filtre.

Dacă o imagine (mulțime) este filtrată prin deschideri după elemente structurante (discuri de rază r) crescătoare, aceasta este echivalent cu a aplica deschiderea după elementul structurant cu raza cea mai mare. Totuși, se pot construi filtre ce acționează asupra obiectelor și detaliilor în mod gradat, pe măsura iterării: aceste sunt filtrele alternate secvențial, ce alternează deschideri și închideri după elemente structurante de dimensiune crescătoare:

$$FAS(A) = (((((A \circ B) \bullet B) \circ 2B) \bullet 2B) \circ 3B) \bullet \dots \quad (6.40)$$

sau

$$FAS(A) = (((((A \bullet B) \circ B) \bullet 2B) \circ 2B) \bullet 3B) \circ \dots \quad (6.41)$$

6.2.3 Operatori morfologici de contur

O problema curentă a prelucrărilor de imagini este extragerea punctelor de contur. Cazul în care imaginea este binară constituie o simplificare a metodelor și calculelor. Păstrând

interpretarea pixelilor ca fiind puncte ale obiectului sau ale fundalului, punctele de contur sunt acele puncte de obiect ce au cel puțin un punct de fundal vecin. În general, vecinătatea folosită este cea de tip disc unitar, a cărei formă va depinde puternic de tipul de metrică folosită.

Există trei extractoare morfologice de contur: conturul interior (6.42), conturul exterior (6.43) și gradientul morfologic (6.44).

$$\delta A = A - A \ominus B \quad (6.42)$$

$$\Delta A = A \oplus B - A \quad (6.43)$$

$$\text{grad } A = A \oplus B - A \ominus B \quad (6.44)$$

6.3 Extinderea morfologiei matematice la nivele de gri

Pâna în acest moment s-au prezentat operațiile morfologice clasice, adică aplicate asupra unor seturi (mulțimi). Acestea prezintă limitarea implicită în aplicarea numai asupra unei categorii particulare de imagini, și anume cele a căror structură poate fi ușor și imediat asociată unor mulțimi, adică imaginile binare. Pentru extinderea operațiilor morfologice la funcții se vor construi transformări ce permit trecerea de la o reprezentare de tip funcție la o reprezentare de tip mulțime.

În cele ce urmează ne vom referi la o submulțime A a spațiului discret n -dimensional, adică $A \subseteq \mathbf{Z}^n$. Elementele mulțimii A sunt puncte, reprezentate prin vectorul n -dimensional al coordonatelor, $\mathbf{x} \in A$, cu $\mathbf{x} = (x_1, x_2, \dots, x_n)$. Ordinea coordonatelor este arbitrară.

Vom numi primele $n - 1$ coordonate ale unui punct \mathbf{x} *domeniu spațial* al mulțimii și cea de-a n -a coordonată, *suprafața mulțimii*. Vom nota aceste “părți” ale mulțimii A cu $A_{(1,n-1)}$ și respectiv $A_{(n,n)}$. Putem avea n moduri diferite de a alege aceste partiții ale coordonatelor (corespunzând modului în care se poate alege o coordonată dintr-un total de n).

Vârful (top) sau *suprafața de vârf* a unei mulțimi A este funcția $T(A) : A_{(1,n-1)} \longrightarrow A_{(n,n)}$ definită de:

$$T(A)(\mathbf{z}) = \max\{y \mid (\mathbf{z}, y) \in A, \forall \mathbf{z} \in A_{(1,n-1)}\} \quad (6.45)$$

În acest mod se introduce o funcție, pornind de la o mulțime; funcția este cu valori întregi (funcție scalară) de argument vectorial $n - 1$ -dimensional. Pentru exemplificare considerăm cazul în care $n = 2$, deci fiecare punct al mulțimii A este un vector bidimensional, $\mathbf{x} = (i, j)$. Considerăm coordonata i ca fiind domeniul spațial și coordonata j ca

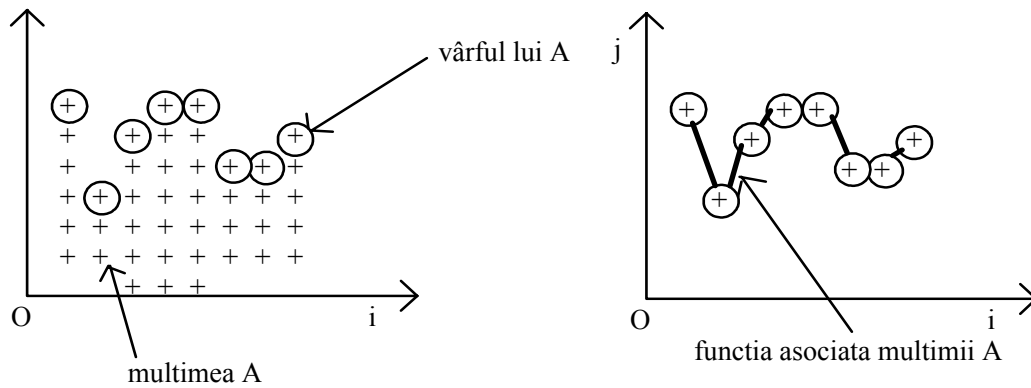


Fig. 6.11: Exemplificare pentru funcția vârf a unei mulțimi.

fiind suprafața mulțimii. Atunci, prin transformarea vârf, asociem mulțimii A o funcție definită pe domeniul său spațial și cu valori în suprafața sa.

Umbra unei funcții oarecare f este definită ca transformarea $f : B \subseteq \mathbf{Z}^{n-1} \longrightarrow C \subseteq \mathbf{Z}$ dată de:

$$U(f) = \{(\mathbf{z}, y) \mid \mathbf{z} \in B, y \in \mathbf{Z}, y \leq f(\mathbf{z})\} \quad (6.46)$$

În acest mod, plecând de la o funcție de variabilă vectorială $n - 1$ -dimensională, cu valori scalare, se obține o mulțime ale cărei elemente sunt vectori n -dimensionali. Mulțimea obținută este semideschisă (nemarginită).

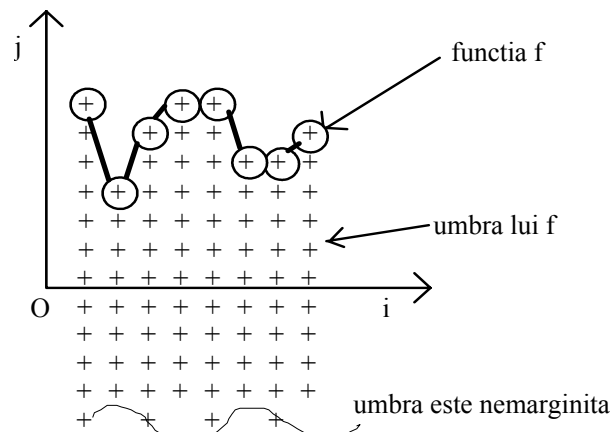


Fig. 6.12: Determinarea umbrei unei mulțimi.

În mod evident, vom avea următoarele relații între cele două transformări mulțime-funcție (vârful și umbra):

$$T(U(F)) = f \text{ și } A \subseteq U(T(A)) \quad (6.47)$$

Operațiile morfologice pentru funcții se definesc prin intermediul transformării acestora în mulțimi (reducând astfel operațiile pe funcții la operații pe mulțimi, așa cum au fost prezentate la morfologia binară):

$$f \ominus g = T(U(f) \ominus U(g)) \text{ și } f \oplus g = T(U(f) \oplus U(g)) \quad (6.48)$$

Ca și în cazul morfologiei pe mulțimi, g se numește element structurant (funcție structurantă). Se numește element structurant *flat*, elementul structurant pentru care $g(\mathbf{y}) = 0, \forall \mathbf{y} \in Supp(g)$. Aceste elemente structurante de tip *flat* sunt echivalente cu cele folosite în morfologia clasică pe mulțimi.

Forma echivalentă a definițiilor erodării și dilatării (folosite în mod efectiv în practică) este, pentru $\forall \mathbf{x} \in Supp(f)$:

$$f \ominus g = \min_{\mathbf{y} \in Supp(g)} \{f(\mathbf{x} - \mathbf{y}) - g(\mathbf{y})\}, \quad f \oplus g = \max_{\mathbf{y} \in Supp(g)} \{f(\mathbf{x} - \mathbf{y}) + g(\mathbf{y})\} \quad (6.49)$$

Dacă se utilizează elemente structurante plate (deci caracterizate doar de forma suportului, și nu și de valori asociate acestora), cele două relații de definiție devin identice cu filtrările de ordine de rang minim și respectiv maxim:

$$f \ominus g = \min_{\mathbf{y} \in Supp(g)} \{f(\mathbf{x} - \mathbf{y})\}, \quad f \oplus g = \max_{\mathbf{y} \in Supp(g)} \{f(\mathbf{x} - \mathbf{y})\} \quad (6.50)$$

Capitolul 7

METODE DE COMPRESIE A IMAGINILOR

Termenul de compresie a imaginilor (uneori numit și codare a imaginilor) se referă la o clasă largă de tehnici și metode al căror scop este reprezentarea unui imagini date cu un număr cât mai mic de biți (mai mic decât numărul de biți al reprezentării inițiale). Necesitatea reducerii cantității de informație necesară reprezentării este evidentă dacă considerăm cazul memorării imaginilor radiografice (4000 x 2500 pixeli, cu 4096 nivele de gri, deci 14,3 MB) sau al transmisiei de televiziune alb-negru (625 x 625 pixeli cu 256 nivele de gri, de 50 de ori pe secundă, deci un flux de 18.6 MB/ secundă) [9]. Procesul de recompunere a imaginii inițiale din reprezentarea restrânsă se numește decompresie sau decodare; este evident că prin decodare trebuie să se obțină o imagine cât mai apropiată de imaginea originală. Există două categorii fundamentale de tehnici de compresie (codare): codarea fără pierderi (în care imaginea decodată este identică cu imaginea inițială) și codarea cu pierderi, în care se admit mici diferențe față de original. Calitatea unui procedeu de compresie (pentru o imagine dată) se măsoară prin factorul de calitate (raportul semnal zgomot (3.4) dintre imaginea originală f și imaginea decodată g) și factorul (raportul) de compresie. Factorul de compresie C este raportul dintre cantitatea de informație necesară reprezentării imaginii inițiale și cantitatea de informație necesară reprezentării imaginii codate; evident compresia are loc dacă factorul de compresie este supraunitar ($C > 1$). Uneori, factorului de compresie i se asociază (sau este înlocuit de) rata de compresie: cantitatea de informație necesară reprezentării comprimate a fiecărui pixel al imaginii; rata de compresie se măsoară în biți per pixel (bpp).

O altă clasificare posibilă a tehnicilor de compresie se poate face după tipul imaginii căreia i se aplică: vom face astfel distincția între compresia imaginilor binare și compresia imaginilor cu nivele de gri. Se impune totuși o observație: metodele de codare ce se vor prezenta în cadrul tehnicilor specifice imaginilor binare pot fi folosite pentru compresia oricărei succesiuni de valori binare, indiferent de semnificația acestora (ceea ce înseamnă că ar putea fi folosite și pentru compresia imaginilor cu nivele de gri) și sunt metode de

compresie fără pierderi.

7.1 Compresia imaginilor binare

Putem considera că singura categorie de imagini binare de interes sunt imaginile în alb-negru (sau monocrome); valorile punctelor acestora sunt fie 0 (reprezentând fundalul de culoare albă), fie 1 (reprezentând punctele de interes, de culoare neagră)¹. Cele două clase de metode de codare pe care le avem în vedere sunt codarea entropică (metoda de codare Huffman) și metodele de codare *on-line* (pe flux de biți); deosebirea dintre aceste metode (la un nivel al implementării) este că pentru codarea entropică este necesară parcurgerea și stocarea intermediară a întregii imagini.

7.1.1 Codarea entropică (Huffman)

Codarea entropică (Huffman) este metoda optimală de codare a unei surse de informație. Codarea sursei de informație S ale cărei mesaje sunt $\{s_1, s_2, \dots, s_N\}$, de probabilități $\{p(s_1), p(s_2), \dots, p(s_N)\}$ prin alfabetul X cu D simboluri înseamnă a asocia fiecărui mesaj s_i al sursei primare de informație un șir de simboluri din alfabetul codului. Lungimea medie a cuvintelor de cod este dată de raportul dintre entropia sursei primare și entropia alfabetului codului:

$$\bar{l} = \frac{H(S)}{H(X)} \quad (7.1)$$

Se dorește obținerea unei lungimi medii minime a cuvintelor de cod, și deci, echivalent, mărirea entropiei alfabetului codului; la limită, lungimea media minimă posibilă de obținut este:

$$\bar{l}_{\min} = \frac{H(S)}{\log D} \quad (7.2)$$

Procedeul practic prin care se realizează alocarea simbolurilor din alfabetul codului astfel încât entropia acestuia să fie maximizată (metoda Huffman) se bazează pe reducerea iterativă a numărului de simboluri ale sursei de codat și construirea unei surse restrânse. La fiecare etapă cele D simboluri cele mai puțin probabile ale sursei de informație sunt reunite într-un nou simbol; procedeul de restrângere continuă până când se obține o sursă redusă cu exact D simboluri. Apoi, pentru fiecare reunire de simboluri, fiecare mesaj individual va primi codul cuvântului reunit ca prefix, urmat de câte un simbol din alfabetul codului. Vom considera următorul exemplu.

O sursă S generează 6 simboluri, de probabilități descrise de vectorul $P = [0.3; 0.25; 0.2; 0.1; 0.1; 0.05]$. Sursa este codată optimal, simbol cu simbol, cu cuvinte de cod generate cu

¹Deci convenția de reprezentare prin culori este modificată față de convenția generală utilizată – 0 nu mai este negru, ci alb.

simboluri dintr-un alfabet ternar. Să se calculeze cuvintele de cod, arborele de codare și eficiența codării.

Codarea optimală a unei surse se realizează conform algoritmului Huffman. Se știe că numărul de simboluri ale sursei ce se codează trebuie să îndeplinească o anumită relație ($\frac{N-D}{D-1} \in \mathbf{N}$); în acest caz, $N = 6$, $D = 3$ și deci

$$\frac{N-D}{D-1} = \frac{6-3}{3-1} = \frac{3}{2} \notin \mathbf{N}$$

Completarea se face adăugând sursei simboluri de probabilitate nulă; în acest caz, cu un singur astfel de simbol adăugat obținem $N = 7$ și

$$\frac{N-D}{D-1} = \frac{7-3}{3-1} = \frac{4}{2} \in \mathbf{N}$$

Entropia sursei extinse S este dată de:

$$H(S) = - \sum_{i=1}^7 p(s_i) \log p(s_i) = - (0.3 \log 0.3 + 0.25 \log 0.25 + 0.2 \log 0.2 + 2 \cdot 0.1 \log 0.1) -$$

$$-0.05 \log 0.05 - 0 \log 0 = 2.366 \text{ bit/simbol}$$

Atunci, conform (7.2), lungimea medie minimă a unui cuvânt de cod este:

$$\bar{l}_{\min} = \frac{H(S)}{\log D} = \frac{2.366}{\log 3} = 1.493 \text{ bit}$$

Codarea Huffman este realizată conform tabelului 7.1.

Sursă primară	$p(s_i)$	Cod	Sursă restrânsă	$p(r_{ji})$	Cod	Sursă restrânsă	$p(r_{ji})$	Cod
s_1	0.3		r_{11}	0.3		r_{21}	0.45	0
s_2	0.25		r_{12}	0.25		r_{22}	0.3	1
s_3	0.2		r_{13}	0.2	00	r_{23}	0.25	2
s_4	0.1		r_{14}	0.15	01			
s_5	0.1	010	r_{15}	0.1	02			
s_6	0.05	011						
s_7	0	012						

Tabel 7.1: Codare Huffman

Cuvintele de cod sunt grupate în tabelul 7.2; pe baza lor putem calcula lungimea medie a cuvintelor de cod:

$$\bar{l} = \sum_{i=1}^7 l_i p(s_i) = 1 \cdot 0.3 + 1 \cdot 0.25 + 2 \cdot 0.2 + 2 \cdot 0.1 + 3 \cdot 0.1 + 3 \cdot 0.05 + 3 \cdot 0 = 1.6$$

Sursă primară	$p(s_i)$	Cod	Lungime
s_1	0.3	1	1
s_2	0.25	2	1
s_3	0.2	00	2
s_4	0.1	02	2
s_5	0.1	010	3
s_6	0.05	011	3
s_7	0	012	3

Tabel 7.2: Coduri asociate simbolurilor sursei și lungimile lor

În cazul imaginilor (sau al șirurilor binare) mesajele sursei primare sunt formate din grupuri de câte B biți succesivi (astfel, sursa primară are 2^B mesaje, ale căror probabilități de apariție sunt specifice imaginii considerate). Cu cât B este mai mare, cu atât mai mare va fi eficiența codării. Tabelul de codare (echivalența între mesajele sursei primare și șirurile de simboluri de cod) este specific fiecărei imagini și trebuie să însoțească codul. Codarea clasică este binară ($D = 2$, $X = \{0, 1\}$).

7.1.2 Codarea pe flux de biți

Metodele de codare pe flux de biți (*on-line*) se regăsesc la primul nivel de codare al transmisiilor de fax (RLE, WBS) sau ca tehnici generale de compresie a datelor, înglobate atât în formate de fișiere grafice (TIFF) cât și în arhivatoare uzuale (ZIP) – metoda Ziv-Lempel. Aplicarea codării la imagini presupune în primul rând transformarea imaginii (structurii de matrice a acesteia) într-un vector (șir) prin concatenarea liniilor acesteia.

Codarea RLE

Principiul codării RLE (*Run Length Encoding*) este acela de a memora numărul de simboluri succesive ale șirului binar ce au aceeași valoare. Odată ce o secvență de simboluri succesive de aceeași valoare (*run length*) se încheie, simbolul următor nu poate avea decât

valoarea complementară celei inițiale, prin alternanță. Șirul codat trebuie să înceapă cu valoarea primului simbol.

Conform acestei codări, șirul de valori binare 0, 1, 1, 1, 1, 0, 0, 0, 1, 0, 1, 1, 1, 0, 1, 1, 1 este codat RLE ca 0, 4, 3, 1, 1, 3, 1, 3, iar șirul binar 1, 1, 1, 1, 1, 1, 1, 0, 1, 0, 0, 0, 0, 0 este codat RLE ca 1, 7, 1, 1, 5. Șirul cuvintelor de cod trebuie deci să fie compus din codurile ce corespund lungimilor secvențelor de valori identice succesive; aceasta înseamnă că numărul de biți al reprezentării binare al cuvintelor de cod trebuie să permită reprezentarea lungimii celei mai mari secvențe. Cum determinarea de fiecare dată a acestei lungimi maximale și varierea lungimii cuvântului de cod nu este o soluție corespunzătoare, se preferă fixarea unei lungimi maximale admise a secvențelor. Orice secvență mai lungă decât secvența maximă este despărțită prin intercalarea fictivă a unor simboluri complementare. Să considerăm o codare RLE cu lungimea cuvântului de cod de 2 biți; aceasta înseamnă că lungimea secvenței maxime este 3 (codul 0 trebuie rezervat pentru secvența de lungime nulă). Dacă șirul binar este 1, 1, 1, 1, 1, 1, 1, 0, 1, 0, 0, 0, 0, 0 atunci șirul codat va fi 1, 3, 0, 3, 0, 1, 1, 1, 3, 0, 2 (unde fiecare cifră va fi reprezentată pe 2 biți).

O codare mai bună se obține dacă lungimile secvențelor de simboluri identice succesive sunt codate (într-o fază ulterioară) entropic, cu un algoritm de tip Huffman. Standardul CCITT de transmisie fax recomandă folosirea unor codări Huffman truncheate: astfel, dacă o lungime de secvență este mai mică decât 64 este codată direct, cuvântul de cod respectiv numindu-se terminator; dacă o lungime de secvență este cuprinsă în gama [64;1791] se codează separat numărul de pixeli ce formează un multiplu de 64 (formând un cod mască, *make-up code*) și restul împărțirii lungimii secvenței la 64, cu un cod terminator. În plus, există un cod special de sfârșit de linie (EOL). Tabelele de codare sunt standardizate (se pot găsi de exemplu în [9, pp. 544-545]). Pe lângă transmisia de fax, codarea RLE mai este utilizată în diferite formate de fișiere imagine (BMP, PCX, TGA).

Porțiunea următoare de program C realizează codarea RLE a șirul de intrare *in*, de dimensiune *DIM_IN*, cu cuvinte de cod ce pot reprezenta cel mult *MAX_RUN* simboluri identice succesive; cuvintele de cod sunt scrise în șirul *out*. Pozițiile curente din șirurile de intrare și ieșire sunt determinate de variabilele *pos_in* și respectiv *pos_out*. Implementarea presupune că tipul de date al șirului *in* permite aplicarea operatorului de negație (!).

```
pos_in=0;
out[0]=in[0];
pos_out=1;
crt_value=in[0];
while (pos_in<DIM_IN) {
    if (in[pos_in]==crt_value) then
        if (run_length<MAX_RUN) then
            run_length++;
```

```

else {
    out[pos_out]=MAX_RUN;
    pos_out++;
    out[pos_out]=0;
    run_length=1; }
else {
    out[pos_out]=run_length;
    pos_out++;
    run_length=1;
    crt_value=!crt_value; }
pos_in++; }

```

Codarea WBS

Prima etapă a codării WBS (*White Block Skipping*) presupune împărțirea șirului binar în grupe de câte D simboluri succesive. Principiul codării este simplu: un bloc nul este înlocuit cu un singur simbol de 0, un bloc nenul este prefixat de un simbol de 1 și copiat. Conform acestei codări (cu grupe de $D = 3$ simboluri), șirul de valori binare 0, 0, 0, 0, 1, 0, 0, 0, 1, 1, 1, 0, 0, 0, 0 este împărțit în grupele (0, 0, 0), (0, 1, 0), (0, 0, 1), (1, 1, 0), (0, 0, 0) și codat ca (0), (1, 0, 1, 0), (1, 0, 0, 1), (1, 1, 1, 0), (0), transformându-se în șirul 0, 1, 0, 1, 0, 1, 0, 0, 1, 1, 1, 1, 0, 0.

Dacă șirul dat binar de n grupe de simboluri conține n_0 grupe nule, în urma compresiei mai rămân $(n - n_0)(D + 1) + n_0$ simboluri și factorul de compresie este atunci:

$$C = \frac{nD}{(n - n_0)(D + 1) + n_0} \quad (7.3)$$

Pentru ca să existe compresie trebuie ca $C > 1$ și deci atunci

$$n_0D > n \iff \frac{n_0}{n} > \frac{1}{D} \quad (7.4)$$

adică proporția de grupe nule din șir trebuie să fie mai mare decât inversul numărului de simboluri dintr-o grupă.

Pentru o largă categorie de imagini, lungimea blocului de codare $D = 10$ poate fi folosită cu rezultate bune [9]. O îmbunătățire a performanței se poate obține dacă se introduce o adaptare a codării, prin detecția liniilor albe (reprezentate doar cu valori 0) și codarea unei linii întregi cu un singur 0 (desigur că în acest caz la codurile tuturor blocurilor se mai adaugă un prefix de valoare 1). O altă variantă a metodei exploatează structura bidimensională a imaginii, codând blocuri pătrate din imagine (deci imaginea nu mai este vectorizată).

Porțiunea următoare de program C realizează o variantă de codare WBS cu blocuri de dimensiune D a șirului de intrare *in* (ale cărui valori sunt 0 și 1) de dimensiune *DIM_IN*;

codul WBS este scris în șirul de ieșire *out*. Verificarea dacă blocul curent este nul se face prin sumarea valorilor acestuia. Pozițiile curente în șirul de intrare și șirul de ieșire sunt memorate în *pos_in* și respectiv *pos_out*.

```
pos_in=0;
pos_out=0;
while (pos_in<DIM_IN){
s=0;
for (i=0;i<D;i++)
    s=s+in[pos_in+i];
if (s>0) then {
    out[pos_out]=1;
    pos_out++;
    for (i=0;i<D;i++)
        out[pos_out+i]=in[pos_out+i];
    pos_out=pos_out+D; }
else {
    out[pos_out]=0;
    pos_out++; }
pos_in=pos_in+D; }
```

Codarea Ziv-Lempel

Codarea Ziv-Lempel nu are ca origine ideea explicită de a mări entropia alfabetului codului (precum codarea Huffman), ci se bazează pe tehnica dicționar LUT (folosită și la reprezentarea imaginilor indexate): cuvintele de cod asociate unor șiruri de simboluri ale sursei de intrare sunt indicii (numerele de ordine) pozițiilor la care se găsesc respectivele șiruri de simboluri în dicționarul codului (tabela de codare). Tabela de codare (dicționarul) este creată pe măsura parcurgerii șirului de simboluri de intrare, și, pentru decodare, tabela se crează din cuvintele de cod deja transmise (ceea ce înseamnă că nu este necesară memorarea sau transmiterea explicită a tabelului de codare²).

Dicționarul inițial are două cuvinte: cuvântul 0, având indicele 0 și cuvântul 1, având indicele 1. Din șirul de intrare (presupus binar) se extrage câte un bit și se verifică dacă șirul de biți deja extras se regăsește sau nu în dicționar. Dacă șirul se regăsește în dicționar, se mai adaugă un bit din șirul de intrare. Dacă șirul nu se regăsește în dicționar, atunci șirul este trecut în dicționar, în șirul codat se scrie codul (indicele) prefixului șirului nou adăugat (deci poziția la care se găsește în dicționar cuvântul la care

²Această caracteristică este probabil unică codului Ziv-Lempel; pentru toate celelalte aplicări ale tehnicii LUT, tabela de codare este transmisă sau memorată împreună cu cuvintele de cod sau se presupune existența unei table de codare implicite, cunoscute (ca de exemplu tabela de culoare cu nivele de gri).

adăugând ultimul bit al șirului de intrare se obține un cuvânt nou) și ultimul bit din șir devine primul bit al următorului șir de intrare. Procedul continuă până când șirul de intrare nu mai are simboluri necodate. Dacă, înaintea terminării simbolurilor din șirul de codat, tabela de codare (cu număr fixat de intrări) se umple, există două variante de continuare: fie restul șirului de intrare se codează conform tabelii de codare existente prin căutarea celor mai lungi cuvinte de cod, fie tabela de codare este “golită” și se continuă cu procedul inițial.

Să considerăm șirul de intrare 1, 0, 0, 0, 0, 1, 0, 1, 1, 1; dicționarul cuvintelor de cod conține cuvântul 0 (cu indice 0) și cuvântul 1 cu indice 1. Simbolul curent este 1 (pe prima poziție a șirului de intrare) și formează șirul de biți extras; acest șir se regăsește în dicționar (cu indicele 1) și atunci se mai extrage un bit din șir; șirul de biți extrași devine 10. Cuvântul 10 nu există în dicționar, și atunci: în șirul de ieșire se scrie indicele celui mai lung cuvânt din dicționar la care adăugând un bit obținem noul cuvânt (noul cuvânt este 10, cuvântul prefix este 1, iar indicele scris la ieșire este 1), în dicționar se adaugă cuvântul 10 (care va avea indicele 2), iar noua poziție curentă din șirul de intrare este ultimul bit al șirului deja extras, deci poziția 2, bitul 0. Simbolul curent este 0; acest șir se regăsește în dicționar (cu indicele 0) și atunci se mai extrage un bit din șir; șirul de biți extrași devine 00. Cuvântul 00 nu există în dicționar, și atunci: în șirul de ieșire se scrie indicele prefixului noului cuvânt (deci 0), în dicționar se adaugă cuvântul 00 (care va avea indicele 2), iar noua poziție curentă din șirul de intrare este ultimul bit al șirului deja extras, deci poziția 3, bitul 0. Simbolul curent este 0; acest șir se regăsește în dicționar (cu indicele 0) și atunci se mai extrage un bit din șir; șirul de biți extrași devine 000. Cuvântul 000 nu există în dicționar, și atunci: în șirul de ieșire se scrie indicele prefixului noului cuvânt (deci 3), în dicționar se adaugă cuvântul 000 (care va avea indicele 4), iar noua poziție curentă din șirul de intrare este ultimul bit al șirului deja extras, deci poziția 5, bitul 0. Procedul continuă în mod analog.

Pentru decodare, fiecare nou cuvânt de cod implică scrierea unei noi intrări în tabelul de codare (dicționar) în care șirul de simboluri este format din prefix (șirul de simboluri care se găsește în dicționar la intrarea precizată de cuvântul de cod) și o terminație de 1 bit, a cărei valoare rezultă la primirea cuvântului de cod următor (să nu uităm că șirurile succesive de simboluri ce se codează au în comun ultimul, respectiv primul bit).

Metoda Ziv-Lempel a pus bazele unei clase mai largi de metode de compresie, incluzând printre altele și varianta LZW (Lempel-Ziv-Walsh) folosită de utilitarul de compresie ZIP.

7.2 Compresia imaginilor cu nivele de gri

Cea mai imediată metodă de codare a unei imagini cu nivele de gri este de a o considera ca un șir de biți și de aplica metodele de codare pentru imagini binare: fie pentru

fiecare plan de bit al reprezentării binare a nivelor de gri, fie pentru succesiunea de biți a reprezentărilor nivelor de gri. Asemenea abordări produc codări fără pierderi a imaginilor și nu produc întotdeauna rezultate spectaculoase. O mult mai mare amploare a căpătat clasa de metode de compresie cu pierderi [controlabile].

7.2.1 Codarea predictivă

Codarea predictivă se bazează pe existența unei importante corelații spațiale între valorile pixelilor unei imagini (deci valorile pixelilor vecini sunt asemănătoare). Această corelație poate implica, de exemplu, că valoarea unui pixel poate fi aproximată cu o combinație a valorilor unora dintre vecinii săi. Dacă se stabilește o ordine de parcurgere a pixelilor ce formează imaginea (deci dacă se stabilește o ordine de baleiere a imaginii) și pentru aproximarea valorii pixelului curent se folosesc pixeli vecini spațial lui, parcurși anterior, spunem că prezicem valoarea pixelului curent. Predicția se realizează printr-o funcție, care, cunoscută la nivelul întregii imagini permite determinarea unei variante aproximative a imaginii date cunoscând doar un număr mic de “pixeli de start”. Pentru a avea o codare cât mai precisă, se folosesc și erorile dintre valorile prezise și cele reale; codarea asociată imaginii inițiale va conține deci funcția de predicție, valorile de start și erorile de aproximare ale fiecărui punct. Dacă predictorul este determinat în mod corect, atunci eroarea de predicție $e(n)$ este mică și reprezentarea ei necesită mult mai puțini biți decât reprezentarea valorii originale $u(n)$. Schema de codare cu predicție este reprezentată în figura 7.1.

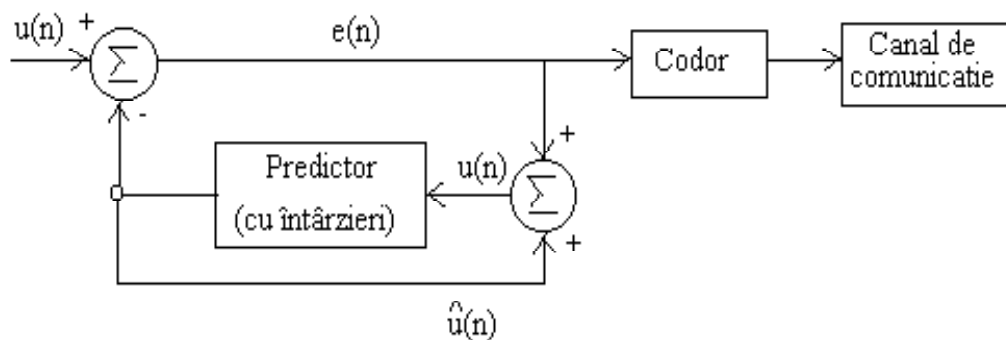


Fig. 7.1: Schema de codare cu predicție.

Ecuatiile ce descriu procesul sunt ecuația erorii (7.5) (care exprimă eroarea de aproximare $e(n)$ ca diferență între valoarea corectă $u(n)$ și valoarea prezisă $\hat{u}(n)$) și ecuația de predicție (7.6) (ce exprimă modul în care se determină valoarea aproximativă $\hat{u}(n)$ din valorile anterioare $u(n - k_1), u(n - k_2), \dots$ pe baza predictorului $pred$):

$$e(n) = u(n) - \hat{u}(n) \tag{7.5}$$

$$\hat{u}(n) = \text{pred}(u(n - k_1), u(n - k_2), \dots) \quad (7.6)$$

Procesul de decodare este reprezentat schematic în figura 7.2. Eroarea de predicție $e_q(n)$ (cuantizată) este adunată la valoarea aproximativă $\hat{u}(n)$, determinată cu același predictor pred din valorile $u'(n)$ deja calculate.

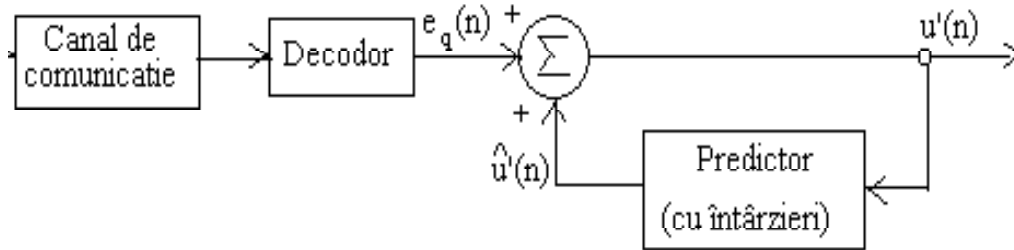


Fig. 7.2: Schema de decodare cu predicție.

Predictorii cei mai simpli sunt liniari și sunt invariați la schimbarea punctului curent. Predictorii pe linii sau coloană calculează aproximarea în punctul curent $u(m, n)$ al imaginii ca valoarea anterioară de pe aceeași linie $\hat{u}(m, n) = u(m, n - 1)$ sau de pe aceeași coloană $\hat{u}(m, n) = u(m - 1, n)$ (dacă ordinea de baleiaj este cea uzuală). Se mai pot folosi predictorii de tip valoare medie:

$$\hat{u}(m, n) = \frac{1}{2} (u(m - 1, n) + u(m, n - 1)) \quad (7.7)$$

$$\hat{u}(m, n) = \frac{1}{4} (u(m - 1, n) + u(m, n - 1) + u(m - 1, n - 1) + u(m - 1, n + 1)) \quad (7.8)$$

Un caz particular de codare cu predicție este modulația delta, caracterizată de cuantizarea erorii de predicție (aproximare) $e(n)$ cu un singur bit (bit de semn).

7.2.2 Compresia imaginilor cu transformate

Principiul compresiei cu transformate a imaginilor se bazează pe proprietățile de compactare a energiei și decorelare a componentelor spectrale pe care le prezintă majoritatea transformărilor integrale unitare (discutate în secțiunea 4.2). Atâta vreme cât cea mai mare parte a energiei este distribuită în câteva componente spectrale (de joasă frecvență), toate celelalte pot fi ignorate; astfel memoria necesară reprezentării este mult mai mică. Este evident că o asemenea metodă de compresie este cu pierderi.

Aplicarea practică a compresiei cu transformate trebuie să aibă în vedere trei aspecte: alegerea transformatei, stabilirea frecvenței limită de la care începe ignorarea valorilor și, în fine, cuantizarea componentelor spectrale păstrate.

Transformarea optimală trebuie să decoreleze complet componentele spectrale (asigurând astfel și compactarea maximă a energiei și cea mai bună eroare de aproximare prin truncarea frecvențelor înalte). Decorelarea completă este dependentă de proprietățile statistice ale imaginii (matrice de covariație), deci, teoretic, pentru fiecare imagine în parte, trebuie găsită transformarea optimală. Această transformare este transformata Karhunen-Loeve: transformare integrală unitară a cărei matrice de transformare are pe coloane vectorii proprii normați ai matricii de covariație a imaginii. Cum această transformare este evident unică pentru o clasă de imagini, în practică se încearcă găsirea unei aproximații. În condițiile în care majoritatea imaginilor naturale pot fi approximate printr-un model Markov puternic corelat (exprimând dependența puternică a valorii pixelilor de valorile vecinilor lor imediați), transformata cosinus s-a dovedit o foarte bună alegere.

Cuantizarea componentelor spectrale poate integra și selecția componentelor cel mai importante: componentele de frecvență joasă sunt cuantizate o precizie mai mare, iar componentele de frecvență înaltă sunt cuantizate grosier (echivalent chiar cu eliminarea acestora). Numărul de nivele de cuantizare și distribuția acestora (diferențele dintre nivelele vecine) este adaptate statisticii semnalului (cuantizarea optimă este cuantizarea Loyd-Max [9], [16]).

Exemplul cel mai des folosit de compresie cu transformate este standardul de compresie JPEG (fișiere imagine cu extensia .jpg). Imaginea este divizată în blocuri de 8 x 8 pixeli, care nu se suprapun. Fiecărui bloc i se aplică o transformată cosinus bidimensională, iar cei 64 de coeficienți ai transformării sunt copiați într-un vector prin baleierea pe diagonală a blocului de 8 x 8 pixeli. Coeficienții sunt cuantizați în conformitate cu un număr prestabilit de nivele de cuantizare (stabilit prin standard, și proporțional cu factorul de calitate dorit pentru imaginea refăcută). Coeficienții corespunzând frecvențelor nule (valorile medii ale blocurilor) sunt codate predictiv printr-o tehnică de tip DPCM (*Differential Pulse Code Modulation*). Valorile celorlalți coeficienți sunt codați entropic (Huffman). Factorii de compresie ce rezultă sunt cuprinși în mod tipic între 10 și 100. Aspectul de compresie cu pierderi (diferențele față de imaginea originală) se manifestă prin efectul de *blocking*: sublinierea frontierelor de separație a blocurilor de bază (efect observabil și în figura 7.3).

7.2.3 Codarea cu arbori cuaternari

Un arbore cuaternar (numit în engleza *quadtree*) este un arbore în care fiecare nod neterminal are exact patru descendenți.

Orice imagine pătrată, de dimensiune putere a lui 2 ($N = 2^K$) poate fi reprezentată



Fig. 7.3: Imagine decodată în urma unei compresii JPEG cu raport de compresie 23 (factor de calitate 90)

(într-o reprezentare de tip ierarhic) pe o structură de arbore cuaternar. Nodurile de pe fiecare nivel al arborelui corespund unei împărțiri a unei zone pătrate din imagine în patru “sferturi”. Rădăcina arborelui este asociată întregii imagini (imaginii inițiale), nodurile de pe primul nivel al arborelui corespund celor patru sferturi ale imaginii, nodurile de pe nivelul doi corespund sferturilor fiecărui sfert anterior determinat al imaginii, și așa mai departe. Împărțirea imaginii poate continua până când nodurile nivelului curent al arborelui corespund unor zone pătrate a căror dimensiune este de un pixel. Adâncimea arborelui astfel obținut este K , și fiecare pixel al imaginii va corespunde unui nod terminal (frunză) de pe ultimul nivel al arborelui. Fiecare nod terminal conține informația de valoare a pixelului la care este asociat.

Structura arborelui anterior poate fi simplificată prin introducerea în etapa de construcție a unui test de uniformitate a regiunilor reprezentate de fiecare nod: dacă regiunea pătrată considerată nu este uniformă, atunci aceasta va fi descompusă prin tăiere în patru părți egale și nodul corespunzător va deveni neterminal (va “căpăta” cei patru descendenți). Dacă regiunea pătrată considerată este uniformă (deci este compusă din pixeli de același fel), nodul respectiv devine un nod frunză (terminal) al arborelui (deci nu mai are descendenți). Fiecare nod terminal conține informația de valoare a zonei de imagine la care este asociat (vezi figura 7.4). O zonă este considerată uniformă dacă diferența maximă de nivel de gri a pixelilor ce o formează nu depășește un anumit prag impus; valoarea zonei uniforme este media nivelelor de gri a pixelilor ce o compun.

Pentru refacerea imaginii inițiale din reprezentarea arborescentă este suficientă alegerea nodurilor terminale a căror valoare corespunde pixelilor de obiect. Adâncimea la care este plasată în arbore o frunză conține informația de dimensiune a zonei pătrate corespunzătoare din imagine (o frunză situată la adâncimea h corespunde unei zone pătrate de latură 2^{K-h} pixeli). Poziția frunzei față de nodurile de pe același nivel ce au același

predecesor este direct determinată de regula de alocare a sferturilor unei zone la nodurile descendente ale arborelui (regula de alocare trebuie să se păstreze pentru întregul arbore) (vezi figura 7.5).

Codarea imaginii (sau a arborelui cuaternar asociat) se face prin memorarea poziției în arbore a nodurilor terminale și a valorilor acestora. Poziția în arbore a unui nod se specifică prin descrierea căii prin care se ajunge la acesta, pornind de la rădăcina arborelui; această cale va conține codurile de alocare a descendenților ce corespund avansului în adâncime în arbore.

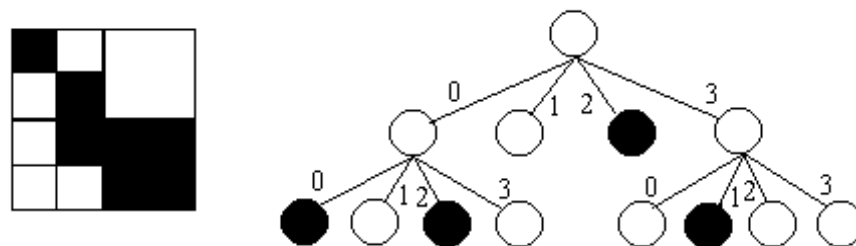


Fig. 7.4: Exemplu de reprezentare a unei imagini binare pe un arbore cuaternar complet

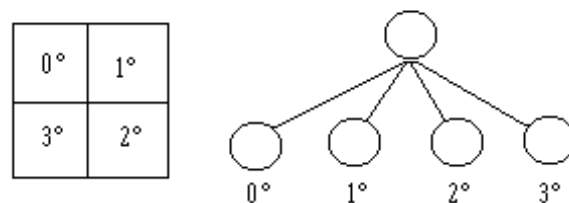


Fig. 7.5: Regula de alocare a descendenților

Principalul inconvenient al metodei de etichetare folosind arborele cuaternar este legat de complexitatea construirii acestuia prin abordarea ierarhică *top-down* (de sus în jos) prezentată; în particular, testul de uniformitate la nivelul fiecărui bloc presupune testarea valorilor tuturor pixelilor care compun blocul. Pe ansamblu, aceasta duce la parcurgerea fiecărui pixel din imagine de un număr de ori egal cu adâncimea în arborele cuaternar al blocului pătrat din care face parte.

Pentru a înlătura acest inconvenient este suficient ca pixelii imaginii să nu mai fie parcurși în ordinea tradițională de baleiaj (pe linii, de la stânga la dreapta și de sus în jos), ci

într-o altă ordine, care să îi prearanjaze pe grupuri ce corespund pătratelor de diviziune a imaginii. Un asemenea baleiaj este reprezentat de o curbă de umplere a spațiului: un parcurs ce trece o singură dată prin fiecare pixel al imaginii, nu se autointersectează și în care oricare doi pixeli parcurși consecutiv sunt vecini spațial în imagine (într-o vecinătate de tip V_4 sau V_8). Curbele de umplere a spațiului sunt structuri fractale, definite prin repetarea la diferite nivele ierarhice a unei aceleiași structuri. Pentru baleiajul imaginilor s-au reținut două astfel de curbe: curba Peano-Hilbert (numită și curba Peano în U, după forma celulei sale de bază) (vezi figura 7.6) și curba Morton (sau curba Peano în Z) (vezi figura 7.7).

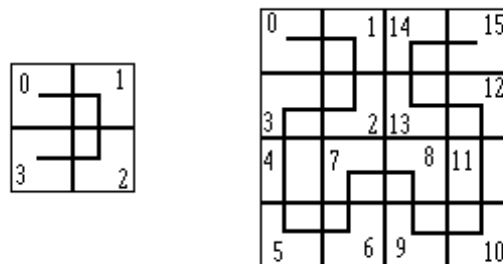


Fig. 7.6: Ordinea de parcurgere a pixelilor pentru curba Peano în U, la două nivele de rezoluție

Disponând de o astfel de ordine de baleiere, este evident că dacă se parcurge imaginea în această ordine, zonele pătrate uniforme (cu pixelii de aceeași valoare) sunt detectate într-o singură trecere și astfel arborele cuaternar poate fi creat direct prin nodurile sale terminale. Pentru o implementare eficientă este însă necesară și deducerea rapidă a indicelui pe curba de baleiere a pixelilor, pornind de la coordonatele lor în imagine. Doar curba Peano în Z are o asemenea relație rapidă de calcul, prin întreșeserea biților ce dau coordonatele în imagine a punctului. Cuvântul binar ce exprimă indicele pe curbă a oricărui punct este format din biții din coordonata verticală, ce vor ocupa pozițiile de ordin par și din biții din coordonata orizontală ce vor ocupa pozițiile de ordin impar (păstrându-și aceeași ordine de rang).

7.2.4 Cuantizarea vectorială

Cuantizarea vectorială este un algoritm de compresie a imaginilor ce se aplică asupra unor date vectoriale și nu scalare, putând fi interpretat ca o extensie a conceptului de cuantizare scalară. Cuantizarea scalară asociază unei mulțimi mari de valori numere dintr-o mulțime mai mică (în mod tipic acestea din urmă fiind numere naturale); asocierea include (chiar dacă nu explicit) operații de tipul rotunjirii la cel mai apropiat întreg. Cuantizarea vectorială aproximează (sau rotunjește) un grup de numere deodată, nu doar unul singur. Așadar, pentru a realiza o cuantizare vectorială sunt necesare un set

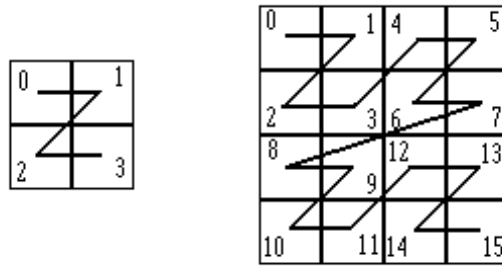


Fig. 7.7: Ordinea de parcurgere a pixelilor pentru curba Peano în Z , la două nivele de rezoluție

de vectori de aproximare (inclusiv metoda prin care acestea pot fi deduse) și o regulă de asociere a vectorilor de intrare cu vectorii de aproximare.

Să notăm cu \mathbf{x}_i al i -lea vector de intrare și cu $\boldsymbol{\mu}_j$ al j -lea vector de aproximare. Operația de cuantizare presupune înlocuirea vectorilor de intrare \mathbf{x}_i cu vectori de aproximare $\boldsymbol{\mu}_j$, introducând deci erori; pentru ca erorile (măsurate de eroarea pătratică medie) să fie cât mai mici, este necesar ca pentru fiecare vector de intrare, aproximarea să se facă cu vectorul de aproximare cel mai apropiat (în sensul distanței euclidiene). Aceasta este regula de asociere. Dacă există n vectori de aproximare ce pot fi folosiți, aceștia se pot grupa într-un tabel de codare (existent și la codare și la decodare), iar fiecare vector de aproximare $\boldsymbol{\mu}_j$ va fi reprezentat doar prin indicele j (deci o altă aplicare a tehnicii LUT). Dacă vectorii de intrare au p componente, codate fiecare cu câte b biți, iar numărul de vectori de aproximare poate fi reprezentat pe n_b biți, atunci factorul de compresie realizat de cuantizarea vectorială este dat de³:

$$C = \frac{pb}{n_b} \quad (7.9)$$

Pentru cazul imaginilor, vectorii de intrare se aleg ca blocuri pătrate, nesuprapuse între ele, din imagine. Dimensiuni uzuale ale acestor blocuri sunt 4×4 și 8×8 (rezultând deci vectori de intrare cu 16, respectiv 64 de componente). Dacă considerăm cazul imaginilor cu nivele de gri uzuale, reprezentate cu 256 nivele de gri ($b = 8$) și dimensiuni ale tabelii de codare $n = 256$ (256 vectori de aproximare), atunci raportul de compresie este de 16, respectiv 64.

Construirea tabelii de codare (determinarea vectorilor de aproximare) se realizează în mod clasic prin algoritmi de clustering iterativ. În original (adică în limba engleză) termenul de “cluster” definește un grup, ciorchine, snop sau o clasă de unități, “asemănătoare”. Asemănarea unităților este determinată în mod uzual prin asociere, similaritate sau distanță între unități (vectori). Algoritmul de clustering este procesul prin care unei

³Acest mod de calcul al raportului de compresie nu ține seama de necesitatea transmiterii sau memorării și a tabelului de codare, de dimensiune npb biți.

mulțimi de unități (entități) i se asociază, element cu element, o informație de apartenență la un anumit grup. Mai general, putem interpreta procesul de clustering ca un proces de partiționare a unui set de unități într-un număr de submulțimi (numite clase sau cluster), pe baza unui anumit criteriu. Indiferent de criteriul folosit, se dorește obținerea unor cluster distincte, omogene și bine separate. Numărul de cluster în care se face împărțirea setului de unități nu este în mod obligatoriu cunoscut apriori.

Metodele de clustering iterativ distribuie obiectele (vectorii) într-un număr predefinit de clase, repetând testarea unor condiții pentru fiecare obiect al mulțimii; în funcție de îndeplinirea sau nu a respectivelor condiții, partiția existentă la un moment dat este declarată corespunzătoare sau, în urma modificării alocării unor unități, procedeul de verificare se reia. Se poate considera că algoritmi iterativi fac mai multe “tregeri” prin setul de obiecte de partiționat, până la obținerea stabilizării (convergenței) valorii criteriului ce caracterizează calitatea partiției.

Calitatea partiției (a clasificării) este măsurată de suma varianțelor clusterelor (adică suma distanțelor de la fiecare vector la centrul clasei în care aparține, ceea ce poate fi interpretat și ca o eroare de aproximare a vectorilor din clase prin centrul respectivei clase). Deci funcția criteriu ce trebuie minimizată este

$$J = \sum_{j=1}^n J_j = \sum_{j=1}^n \sum_{\mathbf{x}_i \in \omega_j} \|\mathbf{x}_i - \boldsymbol{\mu}_j\|^2 = \sum_{j=1}^n \sum_{i=1}^N u_{ij} \|\mathbf{x}_i - \boldsymbol{\mu}_j\|^2 \quad (7.10)$$

În urma minimizării lui J trebuie determinate valorile $\boldsymbol{\mu}_j$ (centrele claselor) și valorile binare u_{ij} , coeficienții de apartenență ai vectorilor i la clasele j , definiți de:

$$u_{ij} = \begin{cases} 1, & \text{dacă } \mathbf{x}_i \in \omega_j \\ 0, & \text{dacă } \mathbf{x}_i \notin \omega_j \end{cases} \quad (7.11)$$

Determinarea centrelor claselor se poate face simplu, prin anularea derivatei în raport cu $\boldsymbol{\mu}_j$ a funcției criteriu J

$$\frac{\partial J}{\partial \boldsymbol{\mu}_j} = 2 \sum_{i=1}^N u_{ij} (\boldsymbol{\mu}_j - \mathbf{x}_i) = 0 \quad (7.12)$$

de unde rezultă că centrele claselor sunt mediile vectorilor ce aparțin acestora:

$$\boldsymbol{\mu}_j = \frac{\sum_{i=1}^N u_{ij} \mathbf{x}_i}{\sum_{i=1}^N u_{ij}} \quad (7.13)$$

Determinarea coeficienților de apartenență u_{ij} este însă o problemă de optimizare combinatorială, care nu poate fi rezolvată analitic. Pentru rezolvarea acestei probleme sunt

necesare metode iterative. Metoda imediată urmărește să determine, pentru fiecare vector al setului, dacă acesta poate fi mutat dintr-o clasă în alta, astfel ca suma varianțelor claselor să scadă. După fiecare asemenea mutare, este necesară actualizarea mediilor claselor între care s-a făcut schimbul. Iterațiile se repetă până când nici un vector nu mai poate fi mutat. Algoritmul poate fi descris în etapele următoare:

1. se alege o partiție aleatoare a setului de obiecte (vectori)
2. pentru fiecare vector \mathbf{x}_i din set, dacă nu este unic în clasa sa ω_j , se calculează costul mutării în altă clasă, ω_k , $k \neq j$; acest cost este

$$c_k = \frac{n_k}{n_k + 1} \|\mathbf{x}_i - \boldsymbol{\mu}_k\|^2 - \frac{n_j}{n_j - 1} \|\mathbf{x}_i - \boldsymbol{\mu}_j\|^2 \quad (7.14)$$

3. vectorul \mathbf{x}_i este mutat în clasa pentru care costul c_k este minim; se recalculează mediile claselor implicate în schimbare (ω_j și ω_k)
4. dacă cel puțin un vector a fost mutat între două clase, algoritmul se reia de la pasul 2.

Principalul dezavantaj al acestei abordări este faptul că mediile claselor sunt recalculat după fiecare schimbare ce implică fiecare vector al mulțimii considerate, ceea ce are ca efect un volum mare de calcule. O simplificare a metodei provine din observația intuitivă că este normal ca un obiect să fie alocat (să aparțină) clasei de care este cel mai apropiat (în sensul distanței la media acesteia). Folosind această observație, realocarea se poate face pentru toate obiectele considerate fără a fi nevoie de recalcularea mediilor claselor pentru fiecare obiect; recalcularea mediilor se va face după fiecare parcurgere completă a mulțimii de obiecte de partiționat. Acest algoritm este algoritmul “Basic ISODATA⁴” (cunoscut și sub numele de *k-means* - “cele k medii”). Algoritmul poate fi descris de următoarele etape:

1. se alege o partiție aleatoare a setului de obiecte (vectori)
2. pentru fiecare vector \mathbf{x}_i din set, se calculează distanțele sale la mediile tuturor claselor,

$$d_k = \|\mathbf{x}_i - \boldsymbol{\mu}_k\|^2 \quad (7.15)$$

3. în iterația următoare, vectorul \mathbf{x}_i va fi mutat în clasa la care distanța d_k este minimă
4. după parcurgerea completă a setului de vectori, se reactualizează mediile claselor

⁴ISODATA este acronimul de la “Iterative Self Organizing Data Analysis Technique” - tehnică iterativă cu auto-organizare de analiză a datelor, apărut prin 1965.

5. dacă (față de iterația anterioară) nici un vector nu a fost mutat în altă clasă (sau media nici unei clase nu s-a modificat), algoritmul se încheie; dacă nu, se reia algoritmul de la pasul 2.

Pentru nici unul dintre algoritmi iterativi prezentați nu se poate preciza numărul de parcurgeri ale setului de vectori (obiecte) de partiționat. Numărul de iterații este puternic dependent de alegerea partiției inițiale a vectorilor, precum și de organizarea intrinsecă a acestora.

Figura 7.8 prezintă o imagine refăcută după o compresie prin cuantizare vectorială, cu raport mare de compresie (128). Se remarcă slaba calitate a imaginii refăcute, cauza fiind numărul mic (16) de vectori de cod folosiți. În imagine sunt foarte vizibile frontierele dintre blocurile de 8 x 8 folosite.

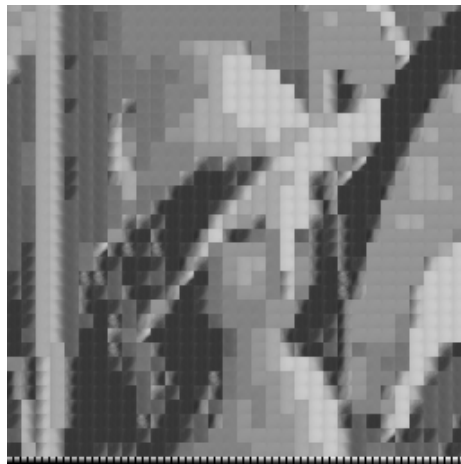


Fig. 7.8: Imagine refăcută după codarea prin cuantizare vectorială; codarea a fost realizată cu blocuri de 8 x 8 pixeli; tabelul vectorilor de cod are 16 intrări, deci se obține o compresie de 128.

Capitolul 8

SEGMENTAREA IMAGINILOR

Segmentarea imaginilor se referă la descompunerea unei scene (imagini) în componentele sale [9]. În urma procesului de segmentare vor fi extrase din imagine obiecte distincte, regiuni ce satisfac anumite criterii de uniformitate, sau alte elemente.

În [19] se propune o definiție matematizată a procesului de segmentare, și anume segmentarea unei imagini f este definită ca partiționarea [completă] a lui f (8.1) într-un ansamblu de mulțimi disjuncte nevide și conexe (8.2), ce satisfac fiecare un anumit criteriu \mathcal{C} (8.3), criteriu ce nu mai este respectat pentru reuniunea oricăror două elemente ale partiției.

$$f = \bigcup_{i=1}^C f_i, \quad f_i \text{ conexe} \quad (8.1)$$

$$f_i \cap f_j = \emptyset, \forall i \neq j \text{ și } f_i \text{ este conexă}, \forall i \quad (8.2)$$

$$\mathcal{C}(f_i) = TRUE, \forall i \text{ și } \mathcal{C}(f_i \cup f_j) = FALSE, \forall i \neq j \quad (8.3)$$

Alegerea unei tehnici specifice de segmentare (partiționare a imaginii) este legată de mai multe aspecte caracteristice imaginii de analizat și cerințelor utilizatorului. După natura și conținutul imaginii, tehnicile de segmentare trebuie să țină cont de prezența în imagine a diverse categorii de artefacte:

- reflexii, iluminare neomogenă
- zgomot suprapus informației utile

- zone texturate

După primitivele de extras, tehnicile de segmentare se împart în două categorii fundamentale: tehnicile de segmentare orientate pe regiuni și tehnicile de segmentare orientate pe contur. Primitivele extrase din imagine sunt regiuni (forme) și zone texturate pentru tehnicile orientate pe regiuni, sau entități de tip discontinuitate (frontiere, segmente de dreaptă, unghiuri) pentru tehnicile orientate pe contur. În cadrul segmentării orientate pe regiuni se disting câteva categorii principale de tehnici:

- etichetarea imaginilor binare
- segmentarea pe histogramă
- creșterea și fuziunea regiunilor
- segmentarea texturilor
- segmentarea prin metode de clustering

Tehnicile principale de segmentare orientată pe contururi sunt:

- extragerea conturilor prin metode de gradient și derivate
- extragerea conturilor prin metode neliniare
- extragerea conturilor prin metode liniare optimale
- extragerea conturilor prin modelare matematică

În cele ce urmează se prezintă doar o parte dintre aceste tehnici, pe care le considerăm cele mai semnificative.

8.1 Segmentarea orientată pe regiuni

8.1.1 Segmentarea bazată pe histogramă

În general, operația de segmentare orientată pe regiuni urmărește extragerea din imagine a zonelor (regiunilor) ocupate de diferitele obiecte prezente în scenă. Un obiect se definește ca o entitate caracterizată de un set de parametri ale căror valori nu se modifică în

diferitele puncte ce aparțin entității considerate. Mai simplu, putem spune că obiectul are proprietatea de uniformitate a parametrilor de definiție.

Unul dintre cei mai simpli parametri de definiție este nivelul de gri al punctului. Nivelul de gri corespunde în scenă unei proprietăți fizice [9] (reflectanță, transmitivitate, valoare tristimulus, etc.) ce este preluat de senzorul de imagine și asociat luminanței imaginii. În acest caz, histograma imaginii (funcția de densitate de probabilitate a variabilei aleatoare discrete ale cărei realizări sunt nivelele de gri din imagine) reflectă distribuția în scenă a proprietății fizice înregistrate. Pentru o imagine f de $M \times N$ pixeli și L nivele de gri, histograma este definită (8.4) ca probabilitatea de apariție în imagine a diferitelor nivele de gri posibile.

$$h(i) = \frac{1}{MN} \sum_{m=0}^{M-1} \sum_{n=0}^{N-1} \delta(i - f(m, n)) \quad , \quad i = 0, 1, \dots, L - 1 \quad (8.4)$$

Dacă nivelul de gri (respectiv proprietatea fizică pe care acesta o reprezintă) caracterizează în mod suficient obiectele din scenă, histograma imaginii va prezenta o structură de moduri dominante - intervale de nivele de gri ce apar cu probabilitate mai mare. Fiecare asemenea mod (maxim al histogramei) va reprezenta o anumită categorie de obiecte.

Ca exemplu imediat se poate cita cazul imaginilor obținute prin scanarea documentelor scrise și a tipăriturilor sau imaginile în infraroșu (temperatura punctelor este asociată nivelelor de gri astfel încât mai fierbinte înseamnă mai alb). Pentru toate aceste tipuri de imagini histograma este de tipul celei prezentate în figura 8.1.

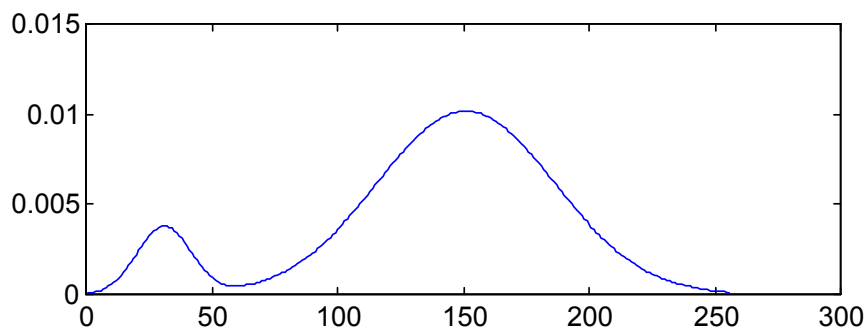


Fig. 8.1: Histogramă bimodală

Tehnici de prăguire (*thresholding*)

Separarea modurilor histogramei (și deci identificarea obiectelor din imagine, respectiv caractere scrise / pagini albe și obiecte fierbinți / obiecte reci) se face prin alegerea unui

nivel de gri T , numit prag de segmentare. Acest prag de segmentare se alege pe minimul global al histogramei. Din imaginea inițială f de nivele de gri se construiește o imagine de etichete (imagine etichetată) g , conform transformării descrise de (8.5) (vezi figura 8.2).

$$g(m, n) = \begin{cases} E_0, 0 \leq f(m, n) < T \\ E_1, T \leq f(m, n) < L \end{cases} \quad (8.5)$$

Imaginea etichetată va fi descrisă de două etichete: E_0 pentru punctele al căror nivel de gri este mai mic decât pragul T și E_1 pentru punctele al căror nivel de gri este mai mare decât pragul T . Etichetele E_0 și E_1 pot fi valori numerice (0 și 1, sau 0 și 255) sau pot fi șiruri de simboluri sau alți identificatori.

Fig. 8.2: Transformări punctuale de binarizare.

Transformarea (8.5) este o transformare punctuală (noua valoare din punctul (m, n) depinde doar de valoarea anterioară din punctul (m, n)) și poartă numele de binarizare. Această denumire provine din faptul că rezultatul transformării (imaginea etichetată) este o imagine binară - deci o imagine caracterizată doar de două valori. Se poate remarca de asemenea faptul că binarizarea este un caz particular al transformării de modificare liniară a contrastului (2.2), în care limitele domeniilor de contrastare sunt egale ($T_1 = T_2$) și contrastarea se face la valorile limită ale nivelelor de gri ($\alpha = 0, \beta = L - 1$)¹.

Segmentarea pe histogramă (numită și prăguire sau *thresholding*) semnifică determinarea unor nivele de gri ce separă modurile histogramei. Tuturor punctelor din imagine al căror nivel de gri corespunde unui același mod, li se asociază o aceeași etichetă (număr, șir de simboluri), rezultând o imagine etichetată, ce pune în evidență diferitele obiecte ale scenei inițiale.

¹Există însă și o variantă de binarizare cu două praguri (transformare punctuală numită decupare - "slicing"), (figura 8.2) definită de ecuația următoare:

$$g(m, n) = \begin{cases} E_0, \text{ dacă } f(m, n) < T_1 \text{ sau } f(m, n) > T_2 \\ E_1, \text{ în rest} \end{cases}$$

În cazul general al existenței a mai multe praguri de segmentare T_k , transformarea de segmentare pe histogramă este descrisă de (8.6)

$$g(m, n) = E_k \quad \text{dacă} \quad T_k \leq f(m, n) < T_{k+1} \quad (8.6)$$

unde $T_0 = 0$, $T_C = L$, $k = 0, 1, \dots, C - 1$.

Pragurile T_k se aleg prin inspecția histogramei, în minimele locale ale acesteia. Acest tip de segmentare multinivel este mai puțin eficient decât binarizarea, din cauza dificultății de stabilire a pragurilor care să izoleze eficient intervalele de interes din histogramă, mai ales atunci când numărul modurilor este mare. Trebuie de asemenea remarcat faptul că este necesară cunoașterea numărului de tipuri de obiecte din imagine, pentru alegerea corespunzătoare a numărului de praguri de segmentare. În marea majoritate a cazurilor, segmentarea obținută nu este corectă (există regiuni prost etichetate); ca o regulă generală de îmbunătățire a performanțelor, se recomandă aplicarea, înaintea segmentării, a unor operații de filtrare (eliminarea zgomotului), contrastare, îmbunătățire, netezire a histogramei - numite preprocesări.

În general, se admite clasificarea metodelor de segmentare pe histogramă [5] după atributele global, local și dinamic. Aceste atribute se referă la modul de calcul al pragurilor de segmentare T_k în funcție de nivelul de gri din fiecare punct al imaginii $f(m, n)$, coordonatele punctelor din imagine (m, n) și o anumită proprietate locală $p(m, n)$ a punctului (m, n) , conform (8.7):

$$T_k = T_k(f(m, n), p(m, n), (m, n)) \quad (8.7)$$

Segmentarea se numește globală dacă pragurile depind doar de nivelele de gri ale punctelor imaginii:

$$T_k = T_k(f(m, n)) \quad (8.8)$$

Segmentarea multinivel descrisă de (8.6) este în mod evident o metodă de tip global.

Segmentarea se numește locală dacă pragurile depind de nivelul de gri și de anumite atribute locale calculate pentru vecinătăți ale fiecărui punct:

$$T_k = T_k(f(m, n), p(m, n)) \quad (8.9)$$

Segmentarea se numește dinamică dacă pragurile depind de poziționarea punctelor în imagine (forma cea mai generală a modului de deducere pragurilor) (8.7).

Determinarea automată a pragurilor: metoda Bhattacharyya

Metoda Bhattacharyya se bazează pe descompunerea histogramei în moduri individuale Gaussiene, adică se încearcă exprimarea histogramei imaginii ca o sumă ponderată de funcții de densitate de probabilitate de tip normal (Gaussian). Modelarea modurilor histogramei imaginilor prin distribuții normale este o presupunere ce se întâlnește în multe tehnici de prelucrare și analiză și pare a fi justificată de considerarea imaginii ca provenind dintr-o imagine ideală, în care fiecare tip de obiect este reprezentat de un unic nivel de gri, peste care s-a suprapus un zgomot alb, aditiv, gaussian. În acest mod, mediile modurilor din histogramă corespund nivelelor de gri ce caracterizează obiectele scenei, iar varianțele acestor moduri sunt determinate de zgomotul suprapus imaginii (care nu este obligatoriu să afecteze în același mod toate nivelele de gri).

Pentru segmentarea după metoda Bhattacharyya nu este necesară precizarea unui număr de clase (praguri de segmentare), acesta urmând a fi determinat în mod automat. Ideea de plecare a metodei este de a determina parametrii caracteristici ai unei distribuții normale. Pentru o distribuție normală

$$N(\mu_k, \sigma_k)(x) = \frac{1}{\sigma_k \sqrt{2\pi}} e^{-\frac{(x-\mu_k)^2}{2\sigma_k^2}}$$

derivata logaritmului este:

$$\frac{\delta \ln N(\mu_k, \sigma_k)(x)}{\delta x} = -\frac{x}{\sigma_k^2} + \frac{\mu_k}{\sigma_k^2} = m_k x + n_k \quad (8.10)$$

Se observă prin examinarea expresiei (8.10) că derivata logaritmului distribuției normale este o dreaptă de pantă negativă, din ai cărei parametri se pot deduce media și varianța distribuției. Parametrii statistici ai distribuției sunt dați de ecuațiile (8.11).

$$\sigma_k = \sqrt{\frac{1}{|m_k|}}, \text{ și } \mu_k = \frac{n_k}{|m_k|} \quad (8.11)$$

Această observație poate fi aplicată și pentru o mixtură de distribuții normale. Să considerăm că histograma h a imaginii este compusă prin superpoziția aditivă a C moduri gaussiene $N(\mu_k, \sigma_k)$, adică:

$$h(x) = \sum_{k=1}^C w_k N(\mu_k, \sigma_k)(x)$$

Din parametrii drepte se pot determina deci conform (8.11) parametrii statistici ai distribuției locale.

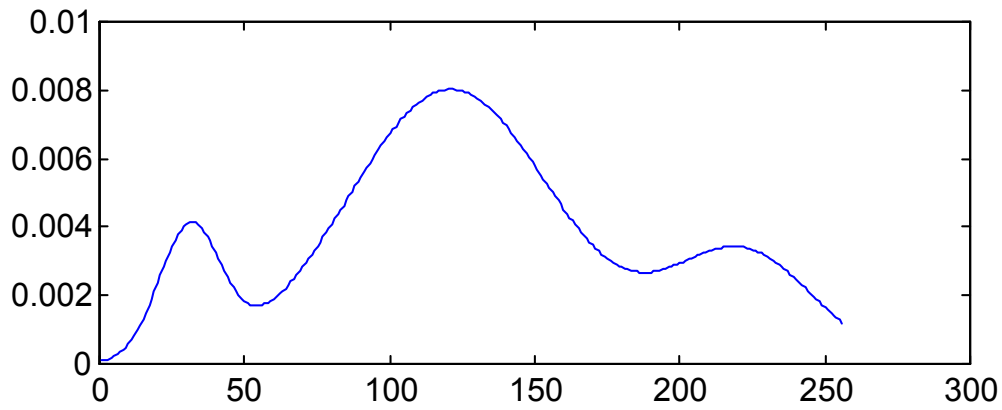


Fig. 8.3: Histogramă cu trei moduri normale

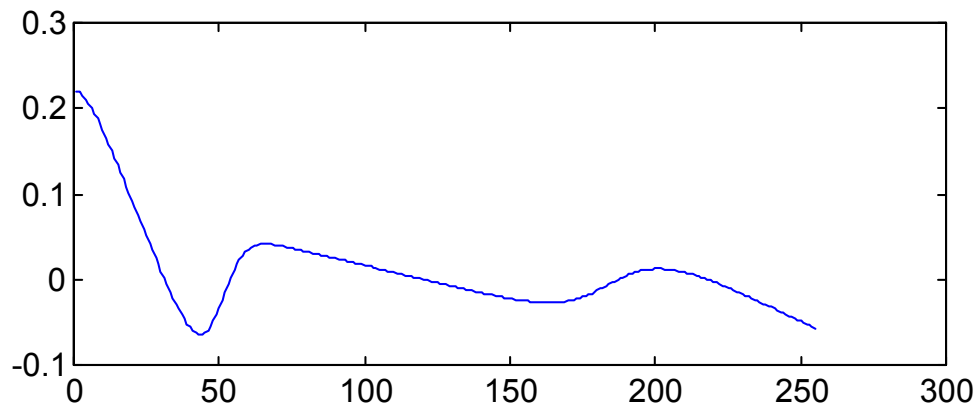


Fig. 8.4: Aplicarea metodei Bhattacharyya pentru histograma trimodală prezentată anterior; se pot observa intervalele pe care funcția este liniară și descrescătoare, ce corespund modurilor.

Așadar, pentru aplicarea metodei la segmentarea pe histogramă a imaginilor, se va studia comportamentul derivatei logaritmului histogramei, adică a funcției $z(a)$:

$$z(a) = \ln \frac{h(a)}{h(a-1)}, a = \overline{1, L-1} \quad (8.12)$$

Pentru funcția astfel construită, se determină intervalele pe care acesta este descrescătoare (vezi figura 8.4); limitele superioare ale acestor intervale sunt pragurile T_k de segmentare pe histogramă. Suplimentar, pe fiecare dintre aceste intervale se poate face o aproximare liniară a punctelor și pe baza parametrilor deduși pentru dreapta de aproximare se pot calcula, conform (8.11) parametrii statistici locali.

Principalele inconveniente ale metodei derivă din faptul că presupunerea alcătuirii histogramei imaginii numai din moduri gaussiene nu este întotdeauna adevărată. Ca rezultat, metoda Bhattacharrya va identifica un număr mai mare de praguri decât este necesar, producând fenomenul de suprasedgmentare.

Segmentarea cu prag optim

Metoda de segmentare cu prag optim [5], [3], [19] face apel la teoria deciziilor (criteriul de decizie Bayes) pentru stabilirea valorii pragurilor de segmentare ce optimizează un anumit criteriu de eroare. Informațiile apriori necesare pentru aplicarea unei asemenea tehnici sunt numărul de tipuri de obiecte din imagine, C , procentele de ocupare a imaginii de către fiecare tip de obiecte, P_i și distribuția nivelelor de gri ce caracterizează fiecare tip de obiect, $p_i(x)$. Atunci histograma imaginii va fi determinată de mixtura distribuțiilor tipurilor de obiecte:

$$h(x) = \sum_{i=1}^C P_i p_i(x), \sum_{i=1}^C P_i = 1 \quad (8.13)$$

Cazul cel mai simplu și mai des folosit este cel al binarizării (8.5), în care trebuie determinat un unic prag T ce separă distribuțiile celor două tipuri de obiecte din imagine (în mod tipic, obiecte “utile” și fundal). Criteriul ce se urmărește optimizat este eroarea de segmentare (clasificare) a punctelor din imagine, adică este dat de numărul de pixeli ce aparțin primului tip de obiect, dar au nivelul de gri mai mare ca pragul T (fiind deci alocați greșit celui de-al doilea tip de obiect) și numărul de pixeli ce aparțin celui de-al doilea tip de obiect, dar au nivelul de gri mai mic decât pragul de segmentare T (fiind deci alocați greșit primului tip de obiect). Așadar, eroarea de segmentare va fi dată de (8.14):

$$E(T) = P_1 \int_T^{+\infty} p_1(x) dx + P_2 \int_{-\infty}^T p_2(x) dx \quad (8.14)$$

Pragul optim va minimiza eroarea de segmentare a pixelilor. Minimizarea erorii (8.14) conduce la rezolvarea ecuației (8.15), în necunoscuta T .

$$\frac{\partial E(T)}{\partial T} = 0 \quad (8.15)$$

Derivând (8.14) se obține forma echivalentă a ecuației (8.15):

$$P_1 p_1(T) = P_2 p_2(T) \quad (8.16)$$

După cum am menționat și în secțiunea dedicată tehnicilor de segmentare ce nu folosesc informații apriori despre imagine (metoda Bhattacharyya), presupunerea că distribuția nivelelor de gri a diferitelor tipuri de obiecte este de tip normal (Gaussian) este relativ des întâlnită. În aceste condiții, distribuțiile $p_1(x)$ și $p_2(x)$ sunt distribuții normale, $N_1(\mu_1, \sigma_1)(x)$ și $N_2(\mu_2, \sigma_2)(x)$, iar ecuația (8.16) devine:

$$P_1 \frac{1}{\sigma_1 \sqrt{2\pi}} e^{-\frac{(T-\mu_1)^2}{2\sigma_1^2}} = P_2 \frac{1}{\sigma_2 \sqrt{2\pi}} e^{-\frac{(T-\mu_2)^2}{2\sigma_2^2}}$$

Prin logaritmare, se obține următoarea ecuație de gradul 2 în necunoscuta T :

$$T^2 \left(\frac{1}{\sigma_1^2} - \frac{1}{\sigma_2^2} \right) - 2T \left(\frac{\mu_1}{\sigma_1^2} - \frac{\mu_2}{\sigma_2^2} \right) + \left(\frac{\mu_1^2}{\sigma_1^2} - \frac{\mu_2^2}{\sigma_2^2} \right) - 2 \ln \frac{P_1 \sigma_2}{P_2 \sigma_1} = 0$$

Una dintre simplificările uzuale este presupunerea că $\sigma_1 = \sigma_2 = \sigma$; această presupunere implică modelarea imaginii în nivele de gri ca o imagine cu doar două nivele de gri μ_1 și μ_2 , afectată de un zgomot Gaussian aditiv, având varianța σ^2 . În aceste condiții, ecuația de gradul 2 devine o ecuație liniară, a cărei soluție este:

$$T = \frac{\mu_1 + \mu_2}{2} - \frac{\sigma^2}{\mu_1 - \mu_2} \ln \frac{P_1}{P_2}$$

Metoda se poate extinde și pentru imagini ce conțin mai mult de două tipuri de obiecte; în acest caz este însă necesară presupunerea suplimentară de localizare a modurilor, astfel încât să se poată considera, ca și în cazul metodei Bhattacharyya, că influența fiecărui mod este limitată la intervale nesuprapuse de nivele de gri.

8.1.2 Creșterea și fuziunea regiunilor

Pentru aplicarea cu succes a tehnicilor de segmentare pe histogramă prezentate anterior trebuie să fie îndeplinite neapărat câteva condiții (deja enunțate). Aplicarea tehnicilor de segmentare pe histogramă este condiționată în primul rând de reprezentarea diferitelor clase de obiecte din imagine pe intervale de nivele de gri diferite care nu se suprapun (sau se suprapun parțial pe porțiuni foarte mici); apoi este necesară cunoașterea numărului de tipuri de obiecte diferite. În fine, se presupune că valorile prag corespunzătoare se pot determina cu o precizie corespunzătoare.

Chiar în cazurile în care toate aceste condiții enunțate sunt îndeplinite, nu se poate garanta condiția de conexitate a regiunilor obținute în urma segmentării (8.2). Acest lucru este evident, atât timp cât două obiecte de același tip, neconexe, primesc prin segmentarea pe histogramă o aceeași etichetă, și formează în imaginea de etichete o regiune neconexă. O metodă care respectă toate condițiile impuse de definiția metematică a segmentării, și anume (8.1), (8.2) și (8.3), este creșterea regiunilor.

Creșterea regiunilor

Principiul pe care se bazează creșterea regiunilor este simplu: se aleg în imagine puncte reprezentative pentru fiecare obiect individual și categorie de obiecte, pe baza cărora are loc un proces de aglomerare a pixelilor vecini acestora, ce au aceleași proprietăți (în particular același nivel de gri). În urma acestui proces de aglomerare (adăugare de puncte) se obțin zone (regiuni) de pixeli cu aceleași caracteristici, deci obiecte individuale. Procesul se oprește în momentul în care fiecare punct al imaginii a fost alocat unei regiuni. Evident, metoda astfel descrisă pe scurt, are două etape esențiale: alegerea punctelor de start (puncte inițiale), numite germeni sau semințe, și creșterea propriu-zisă a regiunilor [19], [2].

Numărul final de regiuni rezultate este egal cu numărul de germeni aleși inițial pentru creștere. În principiu, este de dorit ca fiecare obiect individual aflat în imagine să fie marcat de câte un germene. Dacă în interiorul unui aceluiași obiect se găsesc mai mulți germeni, pentru fiecare dintre ei va fi crescută o regiune; acesta face ca obiectul inițial să fie împărțit artificial prin segmentare în mai multe regiuni. Parțial, acest neajuns se poate corecta printr-o etapă ce urmează creșterii regiunilor, și anume fuziunea regiunilor adiacente ce au proprietăți asemănătoare. Dacă în interiorul unui obiect nu este ales nici un germene, obiectul respectiv va fi înglobat de regiunile ce cresc pornind de la germeni din vecinătatea sa spațială; astfel, respectivul obiect nu apare ca o regiune distinctă și este pierdut, rezultând o eroare gravă de segmentare.

Pentru a preveni efectul unor neuniformități de iluminare pe suprafața imaginii, acesta este împărțită în ferestre nesuprapuse; în fiecare astfel de fereastră se alege un număr de germeni, al căror plasament spațial este aleator (germenii se distribuie uniform pe

suprafața imaginii). Germeii se aleg astfel încât nivelul lor de gri să fie reprezentativ pentru obiectele prezente local (deci nivelul de gri al germeilor trebuie să corespundă unor maxime ale histogramei locale). În plus, trebuie verificat ca plasamentul spațial al germeilor să se facă în interiorul regiunilor și nu pe frontiera acestora. Verificarea se poate face simplu pe baza calculului unui operator derivativ local, ca de exemplu laplacianul (37); dacă valoarea acestuia nu depășește un anumit procent prestabilit (10% - 20%) din diferența maximă de nivele de gri a ferestrei, punctul ales este considerat ca plasat corect.

O verificare suplimentară încearcă să prevină o eventuală suprasegmentare² (împărțirea artificială a unui același obiect în mai multe regiuni), eliminând germeii plasați în interiorul aceluiași obiect. Verificarea se face pe baza calculului variației nivelelor de gri de-a lungul drumurilor³ arbitrare ce unesc perechi de germeii. Dacă există o cale ce unește doi germeii de-a lungul căreia nivelul de gri nu variază cu mai mult de 20% - 30% din diferența maximă a nivelelor de gri din fereastră, cei doi germeii sunt plasați în interiorul unei zone de nivele de gri uniforme, deci în interiorul unui același obiect. În aceste condiții unul dintre cei doi germeii ai perechii este eliminat, deoarece este redundant. Dacă de-a lungul tuturor căilor ce unesc perechea de germeii nivelul de gri variază mai mult decât pragul ales, atunci se consideră că cei doi germeii sunt plasați în interiorul unor obiecte diferite (deoarece căile ce unesc germeii traversează regiuni de frontieră). În practică, examinarea tuturor drumurilor (căilor) ce unesc perechi de germeii este extrem de costisitoare din punctul de vedere al timpului de calcul. De aceea se verifică doar căile formate din segmente verticale și orizontale, și eventual, dreapta ce unește cele două puncte (dacă această dreaptă poate fi reprezentată de o secvență de puncte conexe) (vezi figura 8.5).

Valorile procentuale ale pragurilor de comparație, precum și numărul de germeii distincți ce rămân după procesul de reducere, nu trebuie considerate ca fixe; nu există valori standardizate și alegerea acestora se face pe baza condițiilor particulare (legate de conținutul imaginii) și a experienței utilizatorului.

Pornind de la germeii aleși, regiunile sunt obținute printr-un proces de creștere aproape simultană, început de la aceștia, până când toți pixelii imaginii sunt repartizați unei regiuni. Cvasi-simultaneitatea creșterii poate fi realizată cu un algoritm serial, prin alocarea pixelilor ce sunt adiacenți (vecini) zonelor deja segmentate. Această alocare trebuie să țină seama de criteriul ca regiunile crescute să fie uniforme: nivelul de gri al pixelului ce se adaugă nu trebuie să difere cu mai mult de un prag prestabilit față de nivelul de gri al germeului regiunii la care se alocă. În același timp, la o singură trecere, numărul de puncte ce se adaugă unei regiuni nu poate depăși un număr prestabilit (condiția încearcă

²În general, prin suprasegmentare se înțelege partiționarea imaginii într-un număr de regiuni mai mare decât numărul de obiecte. Există și noțiunea reciprocă de subsegmentare: împărțirea imaginii într-un număr de regiuni mai mic ca numărul de obiecte.

³Un drum între două puncte ale imaginii este o secvență ordonată de puncte ale imaginii, vecine două câte două (relativ la un anumit tip de conexitate, V_4 sau V_8), care are drept capete punctele considerate.

Fig. 8.5: Reducerea numărului de germeni: germenii 1 și 2 sunt uniți de o cale cu segmente paralele cu orizontala și verticala de intensitate constantă, deci sunt redundanți; germenii 3 și 4 sunt uniți de o cale dreaptă de aceeași intensitate, deci sunt redundanți; orice cale ce unește germenii 1 și 3 are o diferență mare de intensitate.

să asigure creșterea relativ uniformă și izotropă a tuturor regiunilor).

Dacă adăugarea de noi pixeli se blochează (criteriul de uniformitate nu mai este respectat), diferența maxim admisă pentru nivelul de gri poate fi crescută în etape, până la epuizarea pixelilor imaginii.

Avantajele pe care le are o asemenea tehnică de creștere a regiunilor sunt acelea că nu mai este necesară nici o informație privind conținutul imaginii, regiunile crescute sunt conexe și nu există puncte neetichetate (nealocate vreunei regiuni) și poziția frontierelor dintre diferitele regiuni corespunde poziției frontierelor percepute subiectiv în imagine.

Fuziunea regiunilor

O extindere a principiului utilizat în creșterea regiunilor, și anume adăugarea la o regiune a unor entități (pixeli în acest caz) a căror proprietăți sunt similare cu cele ale unui obiectului de bază (regiunea), se află la baza tehnicilor de fuziune a regiunilor [9]. Fuziunea regiunilor constă în reunirea iterativă a regiunilor adiacente (începând de la nivelul unor entități atomice ale imaginii - deci pixelii) până când regiunile adiacente devin suficient de diferite. Procesul de fuziune a regiunilor poate fi aplicat și în urma unei creșteri a regiunilor, pentru a înlătura efectele unei eventuale suprasegmentări. Există mai multe criterii de fuziune a regiunilor adiacente, a căror acțiune de verificare a deosebirii între regiuni se face fie prin inspecția frontierei comune, fie prin caracterizarea interiorului regiunii.

Pentru două regiuni adiacente R_i și R_j , al căror perimetru este $Perim(R_i)$ și $Perim(R_j)$, putem determina $P_m = \min(Perim(R_i), Perim(R_j))$ și P lungimea frontierei comune⁴.

⁴Lungimea frontierei comune poate fi măsurată fie ca perimetru, fie ca număr de puncte ce o compun.

Pe această frontieră comună se disting puncte *slabe* (în număr de n_s) și puncte *tari* (în număr de n_t). Un punct slab este acel punct pentru care diferența nivelelor de gri între vecinii din regiunile adiacente este foarte mică (mai mică decât un anumit prag fixat). Un punct tare este acel punct pentru care diferența de nivele de gri între vecinii din regiunile adiacente este foarte mare (mai mare ca un anumit prag fixat). Cu aceste notații, criteriile de fuziune a regiunilor R_i și R_j sunt:

- dacă numărul de puncte slabe raportat la perimetrul minim este important, $\frac{n_s}{P_m} > \theta_1$
- dacă numărul de puncte slabe de pe frontiera comună este mare, $\frac{n_s}{P} > \theta_2$
- dacă numărul de puncte tari de pe frontiera comună este mic, $\frac{n_t}{P} < \theta_3$.

Parametrul θ_1 controlează dimensiunea regiunilor ce se unesc și se alege în general cu valoarea 0.5 (de exemplu o valoare apropiată de 1 implică unirea a două regiuni numai dacă una dintre ele este aproape înconjurată de cealaltă). Valori tipice pentru parametrii θ_2 și θ_3 sunt 0.75 și 0.2.

Abordarea fuziunii pe baza caracterizării interiorului regiunilor necesită definirea a două componente: o modalitate de caracterizare a proprietăților regiunilor și o modalitate de a defini “apropierea” sau similaritatea dintre trăsături în termeni numerici.

Vectorul de trăsături ce caracterizează o regiune se compune din momente statistice ale variabilei aleatoare ale cărei realizări particulare sunt nivelele de gri din regiune respectivă; nu pot lipsi din acest vector nivelul de gri mediu al regiunii și varianța acestuia.

În [9] se propun patru funcții de măsură a asemănării între perechi de vectori; pentru doi vectori \mathbf{x}_i și \mathbf{x}_j , având aceeași dimensiune, acestea se definesc ca:

$$F_1(\mathbf{x}_i, \mathbf{x}_j) = \langle \mathbf{x}_i, \mathbf{x}_j \rangle \text{ (produsul scalar dintre vectori)}$$

$$F_2(\mathbf{x}_i, \mathbf{x}_j) = \frac{\langle \mathbf{x}_i, \mathbf{x}_j \rangle}{\langle \mathbf{x}_i, \mathbf{x}_i \rangle + \langle \mathbf{x}_j, \mathbf{x}_j \rangle - \langle \mathbf{x}_i, \mathbf{x}_j \rangle} \text{ (similaritatea dintre vectori)}$$

$$F_3(\mathbf{x}_i, \mathbf{x}_j) = \frac{\langle \mathbf{x}_i, \mathbf{x}_j \rangle}{\sqrt{\langle \mathbf{x}_i, \mathbf{x}_i \rangle \langle \mathbf{x}_j, \mathbf{x}_j \rangle}} \text{ (corelația normalizată dintre vectori)}$$

$$F_4(\mathbf{x}_i, \mathbf{x}_j) = (\mathbf{x}_i - \mathbf{x}_j) \cdot A \cdot (\mathbf{x}_i - \mathbf{x}_j)^T$$

(distanța generalizată dintre vectori, unde A este o matrice pozitiv definită)

Pentru primele trei funcții, o valoare mai mare corespunde unei asemănări mai mari între vectori (valorile maxime pentru $F_2(\mathbf{x}_i, \mathbf{x}_j)$ și $F_3(\mathbf{x}_i, \mathbf{x}_j)$ sunt 1). Pentru funcția de similaritate bazată pe distanța generalizată, o valoare mai mică corepunde unei asemănări mai puternice între vectori. Prin particularizarea matricii A se pot obține diferite distanțe, ca distanța Euclidiană obișnuită (A fiind matricea unitate, $A = I$), distanțe Euclidiene ponderate (dacă A este o matrice diagonală), sau distanța Mahalanobis (dacă A este o matrice de covariație a componentelor).

8.2 Segmentarea orientată pe contururi

Într-o imagine, variațiile de valoare ale pixelilor reprezintă schimbări ale proprietăților fizice sau geometrice ale scenei sau ale obiectului observat. Aceste schimbări pot corespunde fizic la variațiile iluminării, schimbările de orientare sau de distanță față de observator, schimbări de reflectanță ale suprafețelor, variații de absorbție a radiației. Într-un număr mare de cazuri, aceste variații de intensitate sunt informații importante pentru operațiile ce urmează segmentării, informații ce corespund frontierelor regiunilor determinate de obiectele scenei.

8.2.1 Metode derivative

Principiul acestei metode constă în definirea punctelor de contur ca fiind acei pixeli ai imaginii în care apar schimbări importante (abrupte) ale nivelului de gri. Deci, măsurarea acestei variații se va face prin operatori derivativi de tip gradient.

Pentru o imagine cu suport spațial continuu, pe direcția unei muchii, derivata va fi maximă. Derivata imaginii pe direcția r , ce face unghiul θ cu orizontala, este dată de combinația liniară a derivatelor parțiale pe direcțiile orizontală și verticală (8.17):

$$\begin{aligned}\frac{\partial f}{\partial r} &= \frac{\partial f}{\partial x} \frac{\partial x}{\partial r} + \frac{\partial f}{\partial y} \frac{\partial y}{\partial r} = \frac{\partial f}{\partial x} \cos \theta + \frac{\partial f}{\partial y} \sin \theta \\ \frac{\partial f}{\partial r} &= f_x \cos \theta + f_y \sin \theta\end{aligned}\tag{8.17}$$

Valoarea maximă a acestei derivate, calculate după unghiul θ este determinată de ecuația

$$\frac{\partial}{\partial \theta} \left(\frac{\partial f}{\partial r} \right) = -f_x \sin \theta + f_y \cos \theta = 0$$

ce are soluția evidentă:

$$\theta_0 = \arctan \left(\frac{f_y}{f_x} \right)\tag{8.18}$$

Pe această direcție, modulul gradientului este:

$$\left(\frac{\partial f}{\partial r} \right)_{\max} = \sqrt{f_x^2 + f_y^2}\tag{8.19}$$

Din punct de vedere practic, implementarea acestei metode implică atunci calcularea, pentru fiecare punct al imaginii, a derivatelor parțiale f_x și f_y , calcularea modulului gradientului maxim (8.19) și a direcției acestuia (8.18). Valoarea gradientului maxim din fiecare punct al imaginii este apoi comparată cu un prag fixat: dacă pragul este depășit

(deci gradientul maxim în pixelul respectiv este suficient de important) atunci pixelul testat este pixel de contur.

Realizarea derivatelor parțiale după direcțiile orizontală și verticală implică translația în discret a lui f_x și f_y :

$$f_x = \frac{\partial f}{\partial x} = \frac{\Delta f(m, n)}{\Delta m}$$

$$f_y = \frac{\partial f}{\partial y} = \frac{\Delta f(m, n)}{\Delta n}$$

Aceste derivate parțiale discrete pot avea mai multe implementări:

$$f_x = f(m, n) - f(m + 1, n), f_y = f(m, n) - f(m, n + 1) \quad (8.20)$$

$$f_x = f(m - 1, n) - f(m, n), f_y = f(m, n - 1) - f(m, n) \quad (8.21)$$

$$f_x = f(m - 1, n) - f(m + 1, n), f_y = f(m, n - 1) - f(m, n + 1) \quad (8.22)$$

Toate expresiile date de (8.20), (8.21), (8.22) sunt combinații liniare ale valorilor unor pixeli din imagine, situați în vecinătatea pixelului curent din poziția (m, n) . Deci toate aceste operații se pot realiza prin filtrări liniare cu măști potrivite: (8.23) pentru (8.20), (8.24) pentru (8.21), (8.25) pentru (8.22).

$$W_x = \begin{pmatrix} \blacksquare & -1 \end{pmatrix}, W_y = \begin{pmatrix} \blacksquare \\ -1 \end{pmatrix} \quad (8.23)$$

$$W_x = \begin{pmatrix} 1 & \blacksquare \end{pmatrix}, W_y = \begin{pmatrix} 1 \\ \blacksquare \end{pmatrix} \quad (8.24)$$

$$W_x = \begin{pmatrix} 1 & \blacksquare & -1 \end{pmatrix}, W_y = \begin{pmatrix} 1 \\ \blacksquare \\ -1 \end{pmatrix} \quad (8.25)$$

Schema bloc a extragerii de contururi este reprezentată în figura 8.6.

Harta de orientări este o imagine care conține, pentru fiecare pixel, orientarea gradientului de modul maxim în punctul respectiv, și este în general folosită la prelucrarea suplimentară a contururilor (conectare de contururi, extragere direcțională de contururi). Harta de contururi este o imagine binară în care punctele marcate (puncte-obiect) corespund poziției punctelor de contur (puncte cu gradient de modul mare). O simplificare uzuală practică este înlocuirea normei L2 din calculul modului maxim al gradientului (8.19) cu norma L1, ceea ce conduce la aproximarea:

$$\left(\frac{\partial f}{\partial r} \right)_{\max} \approx |f_x| + |f_y|$$

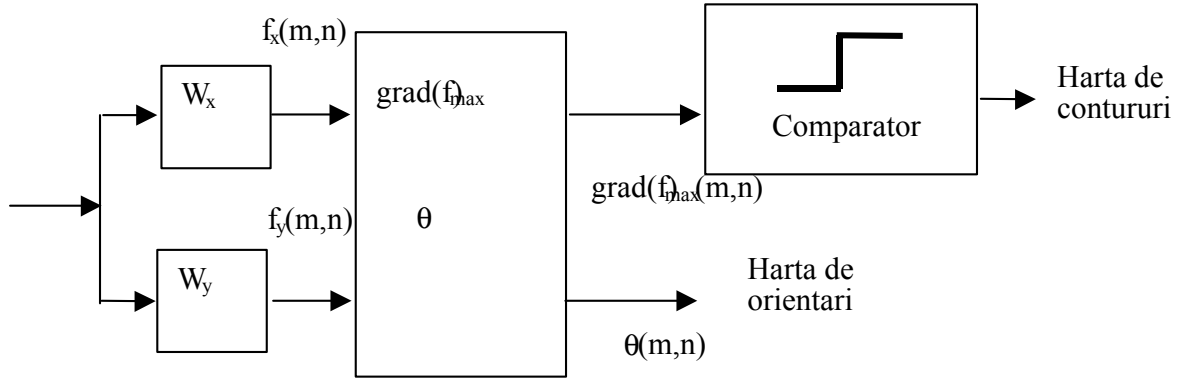


Fig. 8.6: Schema bloc a extractorului de contururi bazat pe metoda de gradient.

Folosirea măștilor de derivare pe verticală și orizontală prezentate are însă serioase neajunsuri: dimensiunea lor mică face ca rezultatele să fie extrem de sensibile în prezența zgomotului. În aceste condiții a apărut naturală ideea de a combina filtrarea de derivare cu o filtrare de netezire, care să mai reducă efectele zgomotului. Considerând zgomotul de tip gaussian, aditiv, filtrarea de netezire are ca efect secundar micșorarea contrastului frontierelor obiectelor din imagine (efectul de încetșoare, sau *blur*). Pentru ca în aceste condiții detecția conturilor să nu fie afectată, trebuie ca operația de mediere prin care se realizează netezirea să se facă pe o direcție perpendiculară direcției conturilor căutate [3]. Atunci derivarea pe verticală se combină cu o operație de netezire cu mască orizontală $\begin{pmatrix} 1/3 & \boxed{1/3} & 1/3 \end{pmatrix}$ și derivarea pe orizontală se combină cu o operație de netezire cu mască verticală $\begin{pmatrix} 1/3 \\ \boxed{1/3} \\ 1/3 \end{pmatrix}$. Dacă folosim pentru derivare masca W_y din (8.23), masca de filtrare rezultantă va fi $\begin{pmatrix} 1/3 & \boxed{1/3} & 1/3 \\ -1/3 & -1/3 & -1/3 \end{pmatrix}$. În cazul general se pot folosi însă pentru netezire medieri ponderate (și nu neapărat medieri aritmetice), care să acorde o mai mare importanță pixelului curent prelucrat, ca de exemplu $\frac{1}{c+2} \begin{pmatrix} 1 & \boxed{c} & 1 \end{pmatrix}$ și se preferă folosirea operatorilor de derivare simetrici, de tipul (8.25). Ceea ce rezultă pentru operatorii de derivare orizontală și verticală sunt măștile:

$$W_x = \begin{pmatrix} 1 & 0 & -1 \\ c & \boxed{c} & -c \\ 1 & 0 & -1 \end{pmatrix}, W_y = \begin{pmatrix} 1 & c & 1 \\ 0 & \boxed{c} & 0 \\ -1 & -c & -1 \end{pmatrix} \quad (8.26)$$

Prin particularizarea valorilor constantei de ponderare c se pot obține diferite tipuri de operatori de extragere de contur clasici: Prewitt ($c = 1$), Izotrop ($c = \sqrt{2}$), Sobel ($c = 2$) [9]. Se remarcă faptul că constanta de ponderare globală a măștii de filtrare este neesențială, întrucât condiția de normare ce trebuie îndeplinită este cea pentru filtre de contrastare (derivare) (3.9): suma coeficienților măștii să fie nulă. Figura 8.7 prezintă

harta de intensitate a tranzițiilor (modulul maxim al gradientului, $(\frac{\partial f}{\partial r})_{\max}$) iar figura 8.8 prezintă harta binară de contururi extrasă prin compararea hărții de intensități cu un prag fixat (binarizarea hărții de intensitate).



Fig. 8.7: Harta de intensitate a contururilor (modulul maxim al gradientului) calculat cu măști Prewitt pentru imaginea "lena".



Fig. 8.8: Harta binară de contururi extrasă din harta de intensități precedentă.

Informația de orientare este în general folosită în etape următoare ale prelucrării; unghiurile determinate după (8.18) oferă un unghi "exact" al direcției conturului în punctul curent, calculat cu un efort semnificativ de calcul (împărțire și calcul de arctangentă). În practică, această informație este prea exactă: pe grila pătrată de eșantionare nu se pot reprezenta cu ușurință drepte continue după orice direcție⁵; câteva direcții sunt fa-

⁵Problema trasării figurilor geometrice oarecari (inclusiv a dreptelor) este rezolvată de grafica pe

vorizate și ușor de utilizat (vertical, orizontal, cele două diagonale). În acest caz se poate măsura în fiecare modulul gradientului după aceste câteva direcții importante, și apoi se poate alege direcția după care acest modul este maxim. Acesta este principul operatorilor compas.

Un operator compas este definit de un număr de măști de derivare (corespunzătoare în continuare unor filtrări liniare) pe direcțiile principale (vertical, orizontal, cele două diagonale), în cele două sensuri. Kompasul clasic are $D = 8$ măști de filtrare (identice două câte două, mai puțin semnul), fiecare dintre ele realizând o derivare după o direcție multiplu de 45° . Schema bloc a unui operator compas este prezentată în figura 8.9; se remarcă faptul că, odată determinată valoarea maximă a modulului gradientului în pixelul curent (m, n) , obținerea hărții de contururi se face ca și la un operator de gradient clasic.

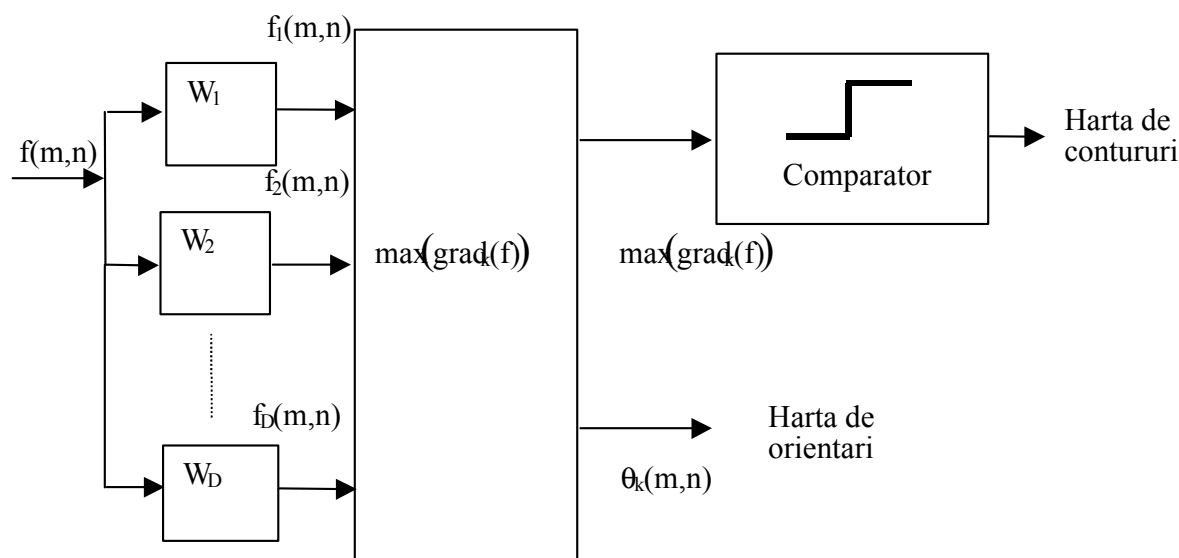


Fig. 8.9: Schema bloc a unui operator compas de extragere a conturilor.

Un exemplu de măști de derivare direcțională sunt măștile următoare (indexate după

direcția geografică pe care calculează derivata): $W_N = \begin{pmatrix} -1 & -1 & -1 \\ 0 & 0 & 0 \\ 1 & 1 & 1 \end{pmatrix}$, $W_{NV} = \begin{pmatrix} -1 & -1 & 0 \\ -1 & 0 & 1 \\ 0 & 1 & 1 \end{pmatrix}$, $W_V = \begin{pmatrix} -1 & 0 & 1 \\ -1 & 0 & 1 \\ -1 & 0 & 1 \end{pmatrix}$, $W_{SV} = \begin{pmatrix} 0 & 1 & 1 \\ -1 & 0 & 1 \\ -1 & -1 & 0 \end{pmatrix}$, $W_S = \begin{pmatrix} 1 & 1 & 1 \\ 0 & 0 & 0 \\ -1 & -1 & -1 \end{pmatrix}$,
 $W_{SE} = \begin{pmatrix} 1 & 1 & 0 \\ 1 & 0 & -1 \\ 0 & -1 & -1 \end{pmatrix}$, $W_E = \begin{pmatrix} 1 & 0 & -1 \\ 1 & 0 & -1 \\ 1 & 0 & -1 \end{pmatrix}$, $W_{NE} = \begin{pmatrix} 0 & -1 & -1 \\ 1 & 0 & -1 \\ 1 & 1 & 0 \end{pmatrix}$. După cum

calculator, prin algoritmi de rendering.

se remarcă, familia de măști se poate genera pornind de la una dintre măștile Prewitt, prin translații circulare cu o poziție a frontierei măștii în jurul centrului ei; în mod analog se pot obține operatori compas bazați pe masca Sobel sau pe gradientul izotrop sau pe

masca Kirsch $\begin{pmatrix} 5 & 5 & 5 \\ -3 & 0 & -3 \\ -3 & -3 & -3 \end{pmatrix}$. Precizia unghiulară a operatorilor compas este deci

determinată de numărul de orientări diferite pe care se calculează derivatele, și deci de numărul de translații ale frontierei măștii; pentru o mască pătrată de bază de dimensiune N , precizia unghiulară a operatorului compas este de $90^\circ/(N - 1)$.

Unul dintre principalele dezavantaje ale metodelor de gradient este precizia slabă de localizare a conturului (a centrului tranziției) în condițiile unei pante puțin abrupte a acestuia (tranziții slabe, graduale). Derivata a doua poate fi însă folosită pentru a determina capetele tranziției (cele două extreme), sau pentru a marca centrul tranziției (trecerea sa prin zero); figura 8.10 ilustrează această comportare pentru cazul unidimensional.

Operatorul bazat pe trecerea prin zero a derivatei secunde este operatorul “zero-crossing” [9]. În cazul imaginilor (semnale cu suport bidimensional) trebuie luată în considerare derivata secundă după ambele direcții, combinate în laplacian:

$$\Delta f = \frac{\partial^2 f}{\partial x^2} + \frac{\partial^2 f}{\partial y^2}$$

În cazul discret, măști ce implementează laplacianul sunt măștile $W_5 - W_7$, prezentate la capitolul de îmbunătățire a contrastului imaginilor (pag. 37). Precizia sporită a operatorilor laplacieni conduce însă la o sensibilitate crescută în prezența zgomotelor (mai mare decât a operatorilor de gradient). Mai mult, laplacianul nu mai conține informație relativă la direcția tranziției.

8.2.2 Alte metode

O clasă importantă de operații neliniare de extragere a conturilor sunt cele bazate pe morfologia matematică. În secțiunea 6.2.3 am prezentat operatori morfologici de extragere a conturilor. Principiul acestora este de a măsura diferențele dintre valorile extreme (minim și maxim) ale vecinătății punctului curent; dacă diferența dintre aceste valori este suficient de mare înseamnă că punctul curent este un punct de contur, aflându-se într-o zonă de tranziție a valorilor pixelilor. Variante ale acestei tehnici de bază se pot obține prin considerarea a mai multe elemente structurante, având diferite forme și dimensiuni.

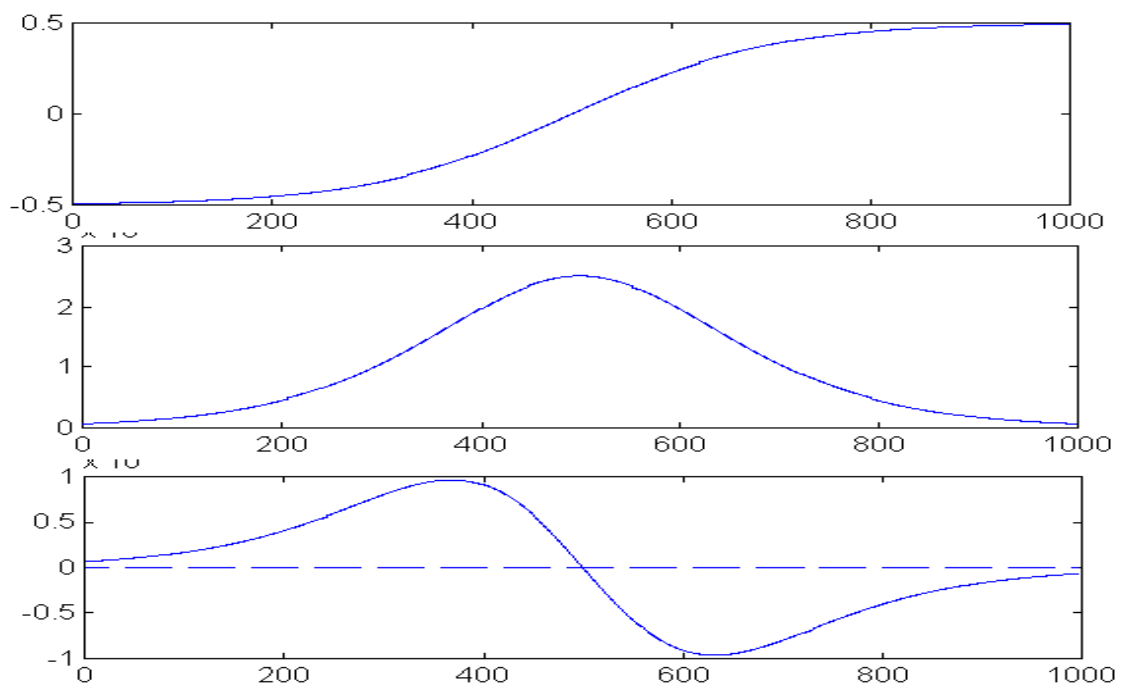


Fig. 8.10: Profil de tranziție graduală; maximul primei derivate nu poate marca cu precizie centrul tranziției; derivata secundă trece prin zero la mijlocul conturului.

Capitolul 9

PARAMETRI DE FORMĂ

Prin parametri de formă înțelegem în general orice scalar sau funcție (cu suport unidimensional sau bidimensional) asociate unei forme plane pe care o caracterizează; forme asemănătoare sunt caracterizate de parametri de formă de valori apropiate; formele diferite prezintă diferențe mari între parametrii de formă ce le sunt asociați. Parametrii de formă compun un fel de fișă de identitate a formei respective, pe baza căreia această formă poate fi recunoscută în mod unic. În mod ideal, acești parametri trebuie să fie invariante la translație, rotație și scalare. Tehnicile de recunoaștere a formelor sau de clasificare sunt precedate întotdeauna de o etapă de extragere a parametrilor de formă (sau a caracteristicilor formei).

Pentru analiza imaginilor, o formă este o funcție de două variabile, cu suport compact $f(x, y) : K \rightarrow \mathbf{R}$; în general valorile acestei funcții sunt binare (0 sau 1), descriind deci o parte a unei imagini binare (zona din imagine în care se află obiectul de interes). Atunci funcția poate fi văzută ca o funcție caracteristică a formei, asemănătoare funcției caracteristice a unei mulțimi.

În cele ce urmează vom prezenta câțiva parametri de formă clasici.

9.1 Parametri geometrici

Această categorie de parametri se bazează pe măsura unor atribute geometrice simple: arie (S), perimetru (P), număr de găuri, numărul lui Euler (numărul de regiuni conexe – numărul de găuri). Cum nu toate aceste numere sunt invariante și caracteristice unic unei anume forme, au apărut combinații de tip raport.

Raportul de compacitate (numit și factor de formă [19]) este raportul dintre pătratul

perimetrului și suprafața formei:

$$\kappa = \frac{P^2}{4\pi S} \quad (9.1)$$

Pentru o formă circulară raportul este unitar; cu cât numărul κ este mai apropiat de această valoare, cu atât mai mult forma seamănă cu un disc (pătratul are un raport de compacitate $\kappa = 1.273$). Există însă forme diferite caracterizate de aceeași valoare a parametrului dat de (9.1).

Excentricitatea sau circularitatea formei (măsura în care forma dată se deosebește de disc) poate fi definită și ca un raport al razelor cercurilor circumscrise (R) și înscrise (r) formei:

$$c = \frac{R}{r} \quad (9.2)$$

Acest raport este evident unitar în cazul discului; pentru pătrat valoarea sa este de $c = 1.412$.

9.2 Momente statistice și invarianți

Interpretând funcția caracteristică a formei ca pe o funcție de densitate de probabilitate bidimensională, putem defini momentele statistice asociate celor două variabile aleatoare (ce sunt coordonatele punctelor formei) [17]:

$$m_{pq} = \iint_K f(x, y)x^p y^q dx dy, \quad p, q = 0, 1, 2, \dots \quad (9.3)$$

Scalarul m_{pq} (momentul de ordin p, q sau $p + q$) este proiecția funcției $f(x, y)$ pe polinoamele x^p și y^q ale bazei complete de polinoame. Teorema reprezentării cu momente afirmă că mulțimea infinită de momente m_{pq} determină în mod unic $f(x, y)$ și reciproc.

În cazul imaginilor binare, coordonatele sunt discrete și funcția este o funcție caracteristică; formula momentelor (9.3) devine

$$m_{pq} = \sum_{f(x,y) \neq 0} \sum x^p y^q \quad (9.4)$$

Cum caracterizarea unei forme printr-o serie infinită de numere (așa cum cere teorema reprezentării cu momente) nu este posibilă, în practică se folosesc serii de momente truncheate până la un ordin maxim fixat N ($p + q \leq N$). Acestea însă caracterizează o altă funcție, $g(x, y)$, o aproximare a lui $f(x, y)$. Această aproximare este dată de o combinație liniară a polinoamelor bazei, ponderate cu scalarii necunoascuți g_{pq} :

$$g(x, y) = \sum_{p+q \leq N} \sum g_{pq} x^p y^q \quad (9.5)$$

Găsirea acestor scalari se face prin egalarea momentelor cunoscute ale lui $f(x, y)$ cu momentele lui $g(x, y)$ dată de expresia (9.5). Rezolvând sistemul de ecuații cuplate ce se formează (a se vedea [9]), se pot obține relațiile căutate; calculul trebuie însă refăcut, din cauza cuplării ecuațiilor, ori de câte ori se dorește trecerea la o aproximare mai bună a formei f , măbind valoarea lui N . Această cuplare provine din cauza folosirii unei baze neortogonale (așa cum este familia de polinoame $x^p y^q$) pentru calculul momentelor; problema a fost rezolvată prin folosirea proiecțiilor pe baza de polinoame Legendre [9].

Trebuie însă remarcat că folosirea momentelor statistice pentru caracterizarea unei forme nu asigură îndeplinirea a nici unuia dintre principiile de invarianță căutate; de aceea au fost introduse momente statistice invariante [19], [9].

Momentele statistice invariante la translație sunt momentele statistice centrate:

$$\mu_{pq} = \sum_{f(x,y) \neq 0} (x - \bar{x})^p (y - \bar{y})^q \quad (9.6)$$

Momentele statistice invariante la translație și scalare sunt definite de:

$$\eta_{pq} = \frac{\mu_{pq}}{\mu_{00}^\gamma}, \quad \gamma = 1 + \frac{p+q}{2} \quad (9.7)$$

Invarianții la translație, scalare și rotație ai unei forme, obținuți în condițiile folosirii unor momente statistice de ordin cel mult 3 ($N = 3$), sunt în număr de 7 și sunt exprimați de:

$$\Phi_1 = \eta_{20} + \eta_{02} \quad (9.8)$$

$$\Phi_2 = (\eta_{20} - \eta_{02})^2 + 4\eta_{11}^2 \quad (9.9)$$

$$\Phi_3 = (\eta_{30} - 3\eta_{12})^2 + (\eta_{03} - 3\eta_{21})^2 \quad (9.10)$$

$$\Phi_4 = (\eta_{30} + \eta_{12})^2 + (\eta_{03} + \eta_{21})^2 \quad (9.11)$$

$$\Phi_5 = (\eta_{30} - 3\eta_{12})(\eta_{30} + \eta_{12}) [(\eta_{30} + \eta_{12})^2 - 3(\eta_{03} + \eta_{21})^2] + (\eta_{03} - 3\eta_{21})(\eta_{03} + \eta_{21}) [(\eta_{03} + \eta_{21})^2 - 3(\eta_{30} + \eta_{12})^2] \quad (9.12)$$

$$\Phi_6 = (\eta_{20} - \eta_{02}) [(\eta_{30} + \eta_{12})^2 - (\eta_{03} + \eta_{21})^2] + 4\eta_{11}(\eta_{30} + \eta_{12})(\eta_{03} + \eta_{21}) \quad (9.13)$$

$$\Phi_7 = (\eta_{30} - 3\eta_{21})(\eta_{03} + \eta_{21}) [(\eta_{03} + \eta_{21})^2 - 3(\eta_{30} + \eta_{12})^2] - (\eta_{03} - 3\eta_{21})(\eta_{30} + \eta_{12}) [(\eta_{30} + \eta_{12})^2 - 3(\eta_{03} + \eta_{21})^2] \quad (9.14)$$

Inițial (mijlocul anilor '60) acești invarianți au fost folosiți pentru recunoașterea caracterelor mari de tipar, cu rezultate modeste. Eficiența lor constă însă în modul rapid de calcul și posibilitatea de a le utiliza cu succes pentru recunoașterea formelor geometrice convexe.

Folosind momentele invariante, se mai pot deduce alte atribute: excentricitatea suprafeței (9.15), care măsoară gradul de uniformitate al distribuției punctelor formeii în jurul centrului de greutate și orientarea suprafeței, caracterizată de unghiul θ față de orizontală al axei față de care momentul inerției al formeii este minim (9.16).

$$\varepsilon = \frac{\Phi_2}{\mu_{00}} \quad (9.15)$$

$$\theta = \frac{1}{2} \arctan \frac{2\mu_{11}}{\mu_{20} - \mu_{02}} \quad (9.16)$$

9.3 Semnătura formeii

Semnătura unei formeii este o funcție scalară de o variabilă, asociată unei formeii plane. Semnătura este definită de distanța de la un punct de referință fixat \mathbf{x} (în general centrul de greutate al formeii) la fiecare punct de pe conturul (frontiera) formeii. Această distanță este exprimată (sau măsurată) în funcție de unghiul la centru θ realizat de punctul curent de pe contur cu axa orizontală de referință, $d_{\mathbf{x}}(\theta)$ sau în funcție de abscisa curbilinie ρ (lungimea conturului cuprins între punctul curent și punctul în care axa de referință intersectează conturul), $d_{\mathbf{x}}(\rho)$. Semnătura formeii este o reprezentare reversibilă (cunoscând semnătura se poate reconstrui conturul obiectului). Figurile 9.1 și 9.2 prezintă semnăturile unor formeii poligonale.



Fig. 9.1: Semnătura unui pătrat ca funcție de unghiul la centru; punctul de referință este centrul de greutate, axa de referință este orizontală.

Este posibil ca, pentru formeii concave, semnătura în funcție de unghiul la centru să nu poată fi calculată, deoarece, pentru anumite unghiuri θ , intersecția dreptei de direcție θ cu conturul să fie formată din mai multe puncte. Această problemă nu apare în cazul semnăturii în funcție de abscisa curbilinie. Ca o restricție generală, în cazul folosirii semnăturii bazate pe unghi, trebuie ca punctul de referință \mathbf{x} să aparțină nucleului formeii. Nucleul formeii K , $Ker(K)$ este definit prin:

$$Ker(K) = \{\mathbf{x} | \forall \mathbf{y} \in K, [\mathbf{xy}] \subseteq K\} \quad (9.17)$$

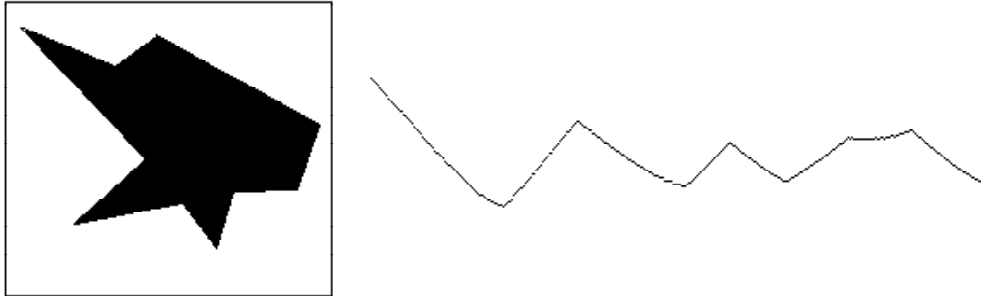


Fig. 9.2: Semnătura unei forme poligonale în funcție de abscisa curbilinie; punctul de referință este centrul de greutate, axa de referință este orizontală.

unde $[\mathbf{xy}]$ semnifică segmentul de dreaptă definit de punctele \mathbf{x} și \mathbf{y} . În cazul formelor concave, nucleul formei este o mulțime vidă.

Folosind semnătura formei, se pot defini parametri de tip geometric. Raportul de simetrie este definit ca

$$Y(K) = \sup_{\mathbf{x} \in \mathbf{K}} \inf_{\theta \in [0; \pi]} \frac{d_{\mathbf{x}}(\theta)}{d_{\mathbf{x}}(\theta + \pi)} \quad (9.18)$$

Se observă că nu s-a făcut nici o presupunere privind convexitatea formei K , dar unicitatea distanțelor $d_{\mathbf{x}}(\theta)$ și $d_{\mathbf{x}}(\theta + \pi)$ implică calcularea raportului de simetrie după punctele ce aparțin nucleului formei.

Raportul de circularitate este definit ca:

$$C(K) = \frac{\sup_{\theta} (d_{\mathbf{x}}(\theta) + d_{\mathbf{x}}(\theta + \pi))}{\inf_{\theta} (d_{\mathbf{x}}(\theta) + d_{\mathbf{x}}(\theta + \pi))} \quad (9.19)$$

Funcția $h_K(\theta) = d_{\mathbf{x}}(\theta) + d_{\mathbf{x}}(\theta + \pi)$ se numește suportul formei, și este diametrul formei pe direcția θ .

În [5] s-a propus aproximarea formelor prin dezvoltarea în serie Fourier a semnăturii acestora și truncherea reprezentării (tehnică utilizată și într-o aplicație clasică de recunoaștere a conturului unor tipuri de avioane). O altă posibilă aplicație a semnăturii pleacă de la observația că, pentru o formă poligonală, în semnătură, poziția vârfurilor este marcată de puncte unghiulare (a se urmări figurile 9.1 și 9.2). Atunci aceasta poate fi o metodă de aproximare poligonală a unei forme oarecare (găsirea vârfurilor unui poligon ce o aproximează cât mai bine).

9.4 Skeletoane morfologice și generalizate

Skeletonul este o reprezentare bidimensională simplificată, echivalentă, a unei forme. Pentru o formă A oarecare se definește discul maximal în A , de centru \mathbf{x} și rază r , $B_{\mathbf{x}}(r)$ ca fiind discul caracterizat de:

$$B_{\mathbf{x}}(r) \subseteq A \quad (9.20)$$

$$B_{\mathbf{x}}(r) \subseteq B_{\mathbf{x}'}(r') \subseteq A \Leftrightarrow \begin{cases} r = r' \\ \mathbf{x} = \mathbf{x}' \end{cases} \quad (9.21)$$

Deci discul maximal trebuie să fie inclus în formă (9.20) și nici un alt disc inclus în formă să nu îl includă, sau, dacă îl include, să fie identic cu acesta (9.21). O formă poate avea mai multe discuri maximale.

Skeletonul unei forme este mulțimea centrelor discurilor maximale ale formei. Ca exemple simple, skeletonul unui disc este centrul său, skeletonul unui pătrat este reuniunea diagonalelor sale (figura 9.3).



Fig. 9.3: Exemple de skeletoane ale unor forme continue simple.

9.4.1 Skeletonul morfologic

Calculul skeletonului unei forme reprezentate în spațiul discret se poate face prin formula Lantuejoul [15]; skeletonul formei A , $SK(A)$, este format din reuniunea unui număr finit de seturi skeleton:

$$SK(A) = \bigcup_{n=0}^{N_{\max}} S_n(A) \quad (9.22)$$

$$S_n(A) = (A \ominus nB) - (A \ominus nB) \circ B \quad (9.23)$$

Ordinul N_{\max} corespunde momentului în care toate seturile skeleton succesive devin nule, moment marcat de $A \ominus N_{\max}B = \emptyset$; elementul structurant nB este iterarea de n ori a elementului structurant B , $nB = B \oplus \dots \oplus B$ (de n ori). Elementul structurant folosit

este în general o expresie discretă a discului unitar (deci element structurant V_4 sau V_8). Figura 9.4 prezintă skeletonul unei forme discrete oarecare.



Fig. 9.4: Skeleton al unei forme discrete, reprezentat prin reuniunea seturilor skeleton și informația de apartenență a fiecărui punct la un anumit set skeleton.

Reconstrucția formei din skeleton se face după formula

$$A = \bigcup_{n=0}^{N_{\max}} S_n(A) \oplus nB \quad (9.24)$$

Se pot realiza și reconstrucții parțiale (aproximări ale mulțimii A) prin neglijarea seturilor skeleton ce reprezintă detaliile (acestea sunt seturile skeleton de ordin mic); aproximarea de ordin k a formei înseamnă deci ignorarea primelor k seturi skeleton din reconstrucție:

$$\widetilde{A}_k = \bigcup_{n=k}^{N_{\max}} S_n(A) \oplus nB \quad (9.25)$$

Skeletonul este invariant la translație, nu este conex (chiar dacă forma A este conexă; a se vedea figura 9.5), nu este comutativ cu operația de reuniune a formelor (a se vedea figura 9.6). Transformarea skeleton este idempotentă ($SK(SK(A)) = SK(A)$) și antiextensivă ($SK(A) \subseteq A$). Seturile skeleton sunt disjuncte două câte două ($S_i(A) \cap S_j(A) = \emptyset$, $\forall i \neq j$).

Folosirea skeletonului morfologic pentru recunoașterea formelor este restricționată de puternica sa sensibilitate la zgomote (o mică schimbare a formei duce la o modificare semnificativă a skeletonului¹), și de variația la rotația și scalarea obiectelor (pentru reprezentări în spațiul discret). În același timp, folosirea elementului structurant de tip disc unitar aduce o puternică dependență de metrica folosită în definirea sa (să nu uităm că într-un

¹Exemplul clasic este de a considera un disc fără centru; în acest caz skeletonul este o coroană circulară situată la jumătatea razei.

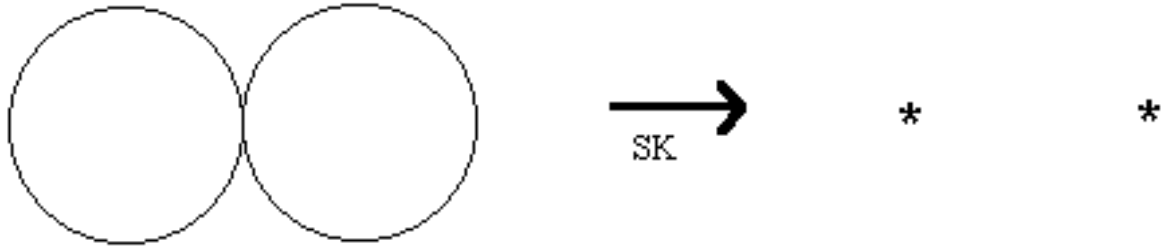


Fig. 9.5: Skeletonul nu este conex.

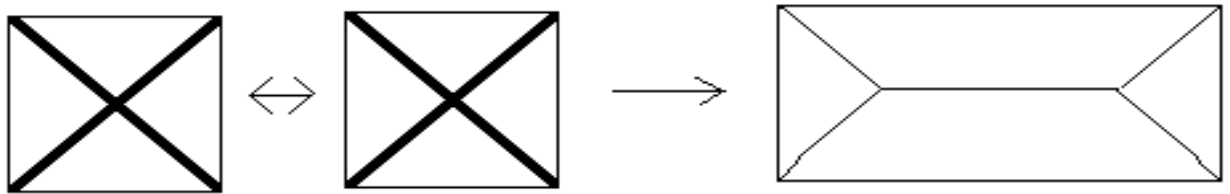


Fig. 9.6: Transformata skeleton nu este comutativă cu reuniunea.

spațiu discret, metrica Euclidiană nu este cea mai favorabilă) și produce elemente structurante pătrate (V_8) sau în cruce (V_4), ce pot fi cu greu interpretate ca discuri. Aceasta a dus la folosirea unei clase de elemente structurante care să nu provină din noțiunea de metrică - elementele structurante generalizate.

9.4.2 Skeletonul generalizat

Fie $\{G_i\}$ un set de mulțimi, numit set generator. Elementele structurante generalizate sunt definite recurent prin:

$$B_i = B_{i-1} \oplus G_i, i = 1, 2, \dots \quad (9.26)$$

$$B_0 = 0_n$$

În general se folosesc seturi generatoare având o anumită periodicitate T ($G_{i+kT} = G_i, \forall i, k \in \mathbf{Z}$). De exemplu, figura 9.7 prezintă construcția setului de elemente structurante generalizate rezultat dintr-un set generator cu perioadă 1 (deci compus dintr-o singură mulțime), $E_1 = \{(-1, -1), (-1, 0), (0, -1), (0, 0)\}$.

Fiecărui punct al formei A i se va asocia ordinul (indicele) elementului structurant generalizat maximal centrat cu originea în punctul respectiv, construind astfel o "hartă de

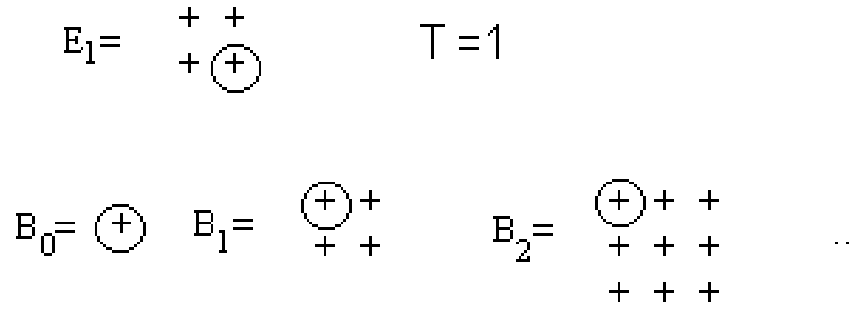


Fig. 9.7: Construcția unui set de elemente structurante generalizate.

distanțe” (a se vedea și figura 9.8):

$$D(\mathbf{x}) = \begin{cases} 0, & \text{dacă } \mathbf{x} \notin A \\ n, & \text{dacă } (B_{n-1})_{\mathbf{x}} \subseteq A \text{ și } (B_n)_{\mathbf{x}} \not\subseteq A \end{cases} \quad (9.27)$$

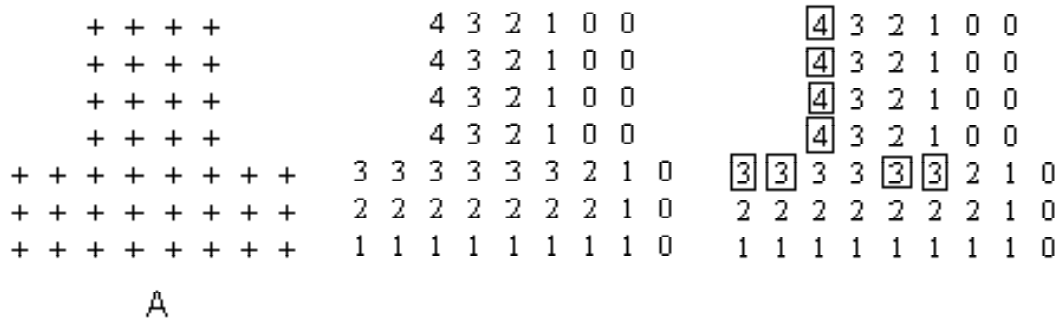


Fig. 9.8: Harta de distanțe a unui obiect construită pe baza setului de elemente structurante generalizate prezentat anterior și skeletonul generalizat corespunzător.

Skeletonul generalizat al unei forme este mulțimea originilor elementelor structurante generalizate maximale în formă²:

$$GSK(A) = \left\{ \mathbf{x} \in A \mid (B_{D(\mathbf{x})-1})_{\mathbf{x}} \not\subseteq (B_{D(\mathbf{y})-1})_{\mathbf{y}}, \forall \mathbf{x} \neq \mathbf{y} \right\} \quad (9.28)$$

Folosind harta de distanță anterioară, skeletonul generalizat obținut este prezentat în figura 9.8.

²Se poate remarca similitudinea cu definiția skeletonului, în care s-au înlocuit noțiunile: centru al discului cu origine a elementului structurant, disc cu element structurant generalizat, rază a discului cu indice (ordin) al elementului structurant generalizat.

Capitolul 10

PRINCIPII DE IMPLEMENTARE SOFTWARE ȘI HARDWARE

Principiile esențiale legate de implementările practice ale sistemelor de prelucrarea și analiza imaginilor urmăresc două direcții, cu dezvoltare corelată: implementările software și dispozitivele hardware (de accelerare). După cum am arătat în capitolul introductiv, la descrierea structurii tipice a unui sistem de prelucrarea și analiza imaginilor, marea majoritate a implementărilor folosesc ca suport fizic pentru unitatea centrală de prelucrare un calculator obișnuit (compatibil PC); ceea ce îl particularizează este pachetul de programe rulate. Putem distinge două categorii fundamentale de astfel de programe: programe strict dependente de aplicație și programe de uz general.

Un program dependent de aplicație realizează doar algoritmi specifici operației pe care o execută sau supraveghează. Interacțiunea cu operatorul uman este minimă și calificarea acestuia nu este necesar să o depășească pe cea a unui tehnician [11]. Adeseori programul trebuie să fie de timp real. Aceste variante de implementare sunt potrivite pentru procese caracterizate de parametri stabili și care se desfășoară în condiții ambiante (iluminare, poluare vizibilă – particule, fum) relativ constante și nu sunt portabile (fiind în general optimizate pentru o anumită structură hardware).

Programele de uz general permit efectuarea unui mare număr de operații de prelucrarea și analiza imaginilor, cu numeroși parametri reglabili. Interacțiunea cu operatorul uman este mare și acesta trebuie să aibă o calificare superioară. Programele de acest tip nu sunt de timp real și în general sunt cuplate *off-line* cu instalațiile tehnologice propriuzise, făcând parte mai ales din dotarea laboratoarelor de cercetare și de analiza calității și conformității. Interfața utilizator este cea care crează diferența între două categorii de programe, în ceea ce privește modalitatea în care operatorul specifică succesiunea de operații de executat. Din acest punct de vedere vom face distincția între *menu-driven* și *flow-chart driven* (deci programe controlate prin meniu sau prin graf de flux).

Implementările de tip *menu-driven* aplică câte un unic pas de prelucrare asupra imaginii din fereastra activă; rezultatul va fi prezentat într-o nouă fereastră de afișare. Tipurile de operații se aleg din meniuri sau bara de butoane. Asemenea soluții corespund majorității sistemelor software comerciale de grafică și *imaging* (de tipul Adobe Photoshop, Corel Draw, Paint Shop Pro). Operațiile realizate sunt orientate mai ales către aspectul grafic (publicistic) al imaginilor, referindu-se în special la operații de filtrare, modificare a contrastului, pseudocolorare, decupare de regiuni. Programele cu comandă *menu-driven*, cu rezultatele intermediare parcurgând etapele operațiilor din fereastră în fereastră, sunt direct derivate din proiectarea obiectelor de interfață în sistemele de tip Windows.

Implementările de tip *flow-chart* permit construirea grafică interactivă a unui lanț de operații aplicate unei imaginii inițiale. Fiecare operație este un bloc funcțional caracterizat de intrări, ieșiri și parametri de control; blocurile funcționale sunt interconectate, implementând fluxul de operații pe care îl va parcurge imaginea. Procesul de comandă înseamnă selectarea imaginii inițiale și acționarea unui buton de start. Asemenea programe sunt tipice sistemelor de calcul mari (stații de lucru), pentru care produsul Khoros este un standard de fapt; un produs similar pentru PC este programul AdOculus (figura 10.1).

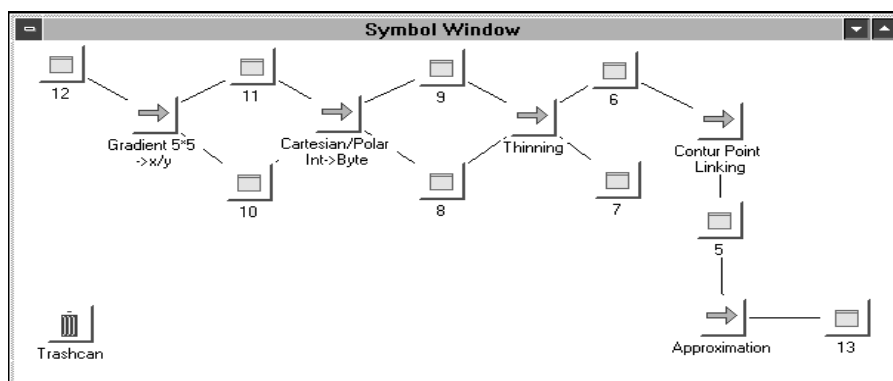


Fig. 10.1: Specificarea fluxului de operații în fereastra de comandă a programului AdOculus.

Ca o categorie intermediară între comenzile meniu și diagrama de flux, putem considera programele cu comandă de tip macro (sau *batch*); programul (sau limbajul) Matlab poate fi încadrat într-o asemenea categorie.

Multe dintre operațiile inițial realizate prin software-ul de aplicație au migrat către nivelul hardware. Exemplul cel mai tipic de asemenea comportament este dat de rezolvare problemei de dithering (aproximarea culorilor reale dintr-o imagine, folosind un număr mic de culori disponibile la dispozitivul de afișaj). După ce, inițial, problema era rezolvată

de programele aplicație, gestiunea culorilor a trecut în grija sistemului de operare, pentru ca, recent, să apară plăcile grafice inteligente. Aceasta este de altfel una dintre tendințele actuale: evoluția accesoriilor (plăci specializate, dispozitive de achiziție) inteligente, deci cu facilități de prelucrare integrate. Senzorii de imagine CCD sunt una dintre țintele predilecte ale acestei dezvoltări, înglobând cipuri de compresie și transmisie a imaginilor, comandă de urmărire automată a țintei, operații de recunoaștere.

Deși programarea orientată pe obiecte este un concept destul de nou, evoluția sa a fost deosebit de spectaculoasă. Probabil că principalul atu al acestei evoluții a fost apariția sistemului de operare Windows (cu toate derivatele sale 3.1, 3.11, '95, '98, etc.) a cărui structură este în întregime bazată pe conceptul de obiecte. Programarea unei aplicații Windows va face în mod clar apel la structuri predefinite - clasele de bază aplicație, fereastră, buton, ș.a.m.d. Atunci devine destul de normal să fie proiectate și datele specifice ale aplicației particulare tot ca structuri de tip obiecte.

Alegerea unui limbaj specific de programare nu mai este totuși o problemă esențială; majoritatea limbajelor de uz general ingineresc (tehnic) provin din trunchiul comun C / Pascal. Desigur că există nenumărate variante ale acestor limbaje de bază (C++ Builder, Visual C++, Delphi, Borland C++ și Borland Pascal cu obiecte) și chiar apar limbaje noi (Java, care, deși se revendică ca o aplicație pur distribuită pentru folosirea rețelelor și în special a Internetului, nu este cu mult diferită ca structură de un C cu clase). Principala evoluție a mediilor de programare nu a fost însă legată de modificarea limbajului în sine (și deci a caracteristicilor de compilare a codului) ci modificarea stilului în care se crează aplicația specifică, și mai precis, aspectul de interfață.

Proiectarea unei interfețe pentru Windows înseamnă definirea unor acțiuni asociate evenimentelor produse în sistem (clicuri de mouse, apăsări de taste) și construirea elementelor grafice specifice (ferestre de afișare și de dialog, meniuri, introducere date, etc.). Această activitate a fost simplificată la maximum prin apariția constructoarelor vizuale de aplicații, în care interfața grafică este construită prin alipirea unor elemente de bază (butoane, ferestre, zone de text) pe cadre fixe (fereastră), numai cu mouse-ul (prin tehnică *drag and drop*). Compilatorul generează automat codul sursă aferent construcției; tot ceea ce trebuie să facă programatorul este să lege sursa ce descrie aplicația și acțiunea specifică la codul care interpretează evenimentul de apel.

Ceea ce trebuie subliniat (spre a evita anumite interpretări uzuale, dar eronate) este că aceste medii de programare avansate (gen Builder, Visual, etc..) nu preiau și atribuția de a scrie algoritmi specifici; ușurința construcției vizuale este legată strict de construcția interfeței aplicației, deci aspect grafic și eventual partea de preluare a datelor. Programatorul va dezvolta restul aplicației ca pentru un compilator clasic.

Concluzia ce rezultă din această scurtă discuție este aceea că, pentru orice aplicație, *trebuie separată partea de interfață de partea de calcul specific*. În cazul unui program de prelucrarea și analiza imaginilor acesta înseamnă că trebuie făcută o proiectare la nivelul structurii de date (matricea ce conține valorile pixelilor din imagine și prelucrările specifice

asupra acestora) și o proiectare la nivelul interfeței (care să specifice cum se va face afișarea imaginilor pe ecran, cum vor fi scrise pe disc, cum se va face un eventual transfer dinamic al datelor de la sau către alte aplicații). Majoritatea covârșitoare a sarcinilor legate de interfață pot fi rezolvate fără a cunoaște nimic despre operațiile specifice prelucrării imaginilor și despre modul în care o imagine este reprezentată în memoria de lucru a calculatorului. Să considerăm de exemplu problema afișării unei imagini într-o fereastră. Fără îndoială că cel mai simplu mod de afișare este folosirea imaginii ca un *canvas*, înglobat în obiectul de tip fereastră, și de a cărui afișare se ocupă sistemul Windows. Această abordare exclude însă accesul la conținutul imaginii; aceasta trebuie deci separată de fereastra de afișare. Este poate deci preferabilă memorarea imaginii ca o matrice și transformarea acesteia într-o structură *bitmap* atașată ferestrei, la fiecare cerere de reafișare a acesteia.

Cuvântul de ordine actual în implementările software este orientarea-obiect (limbajele C++, Delphi, Java), insistând mai ales pe aspectele de polimorfism și moștenire pe care le aduce acest stil de programare. Moștenirea corespunde cazului unor imagini cu structură din ce în ce mai elaborată, pentru care se pot face tot mai multe operații (de tip analiză de formă și clasificare, de exemplu). Polimorfismul corespunde realizării unor operații cu nume (sau metode de implementare) identice care să aibă comportări diferite, în funcție de tipul datelor cărora li se aplică (funcția de histogramă poate produce, de exemplu, funcția de densitate de probabilitate a câmpului aleator imagine, în cazul imaginilor cu nivele de gri, aria obiectelor, în cazul imaginilor binare și numărul de componente conexe, în cazul imaginilor binare etichetate). De asemenea, aspectul legat de re folosirea codului nu este neglijabil (să nu uităm, că, de exemplu, pentru filtrarea în domeniul spațial, un numitor comun al diverselor tipuri de filtre este tehnica de tip fereastră glisantă).

Tehnologia Java, aduce, pe lângă orientarea obiect, ideea de folosire a resurselor distribuite (fie pe Internet, fie ca resurse de multiprocesare). Astfel a devenit posibilă crearea de depozite de software specializat, universal executabil (prin mecanismul de *applet*) pe orice mașină pe care este disponibil un *browser* Internet. Marile avantaje anunțate pentru Java (cod portabil, execuție paralelă, protecție la manipularea defectuoasă a zonelor de memorie, protecția datelor) sunt contrabalansate de codul executabil relativ lent și de dimensiunile mari ale codului sursă.

Java este însă interesantă pentru prelucrarea și analiza imaginilor prin perspectiva deschisă de *multi-threading* – existența și gestionarea de către o aplicație oarecare a mai multe fire de execuție ce rulează concomitent din punct de vedere logic (sau aproape concomitent din punctul de vedere fizic al calculatorului cu unic procesor); astfel devine posibilă rularea paralelă de aplicații pe sisteme cu unic procesor, fără sisteme de operare *multi-tasking*. De altfel, puține sisteme fizice multiprocesor au fost realizate pentru prelucrarea de imagini; sistemele de prelucrarea și analiza imaginilor au utilizat în general mașini cu paralelism masiv (SIMD/ SPMD, *transputer farm*) sau grupuri de calculatoare (*cluster processing*).

Exploatarea paralelismului este un merit pe care prelucrarea imaginilor și l-a arogat încă de la începuturi; operațiile tipice de prelucrarea imaginilor sunt operații relativ simple, cu un număr mare de instanțe (pentru fiecare pixel al imaginii se face ceva), folosind date puțin redundante (suprapunerea între pozițiile alăturate ale ferestrelor de filtrare este în general mică) și, uneori, informație globală (cazul histogramei sau a filtrărilor în domeniul de frecvență). Se pot distinge astfel două nivele de paralelism: un paralelism masiv, intrinsec structurii imaginii, legat de nivelul pixel, și un paralelism ascuns, specific operațiilor de prelucrare (ca de exemplu realizarea operațiilor morfologice prin (6.3) și (6.6) sau implementarea paralelă a FFT).

În concluzie, putem afirma că prelucrarea și analiza imaginilor a reușit să câștige teren ca urmare a realizărilor spectaculoase ale tehnologiei electronice și informaticii. Creșterea continuă a puterii de calcul disponibile în unitățile de prelucrare ale calculatoarelor va transforma probabil în viitorul apropiat prelucrarea și analiza imaginilor dintr-o anexă nebuloasă și exotică a aplicațiilor speciale într-o soluție fiabilă de larg consum industrial.

Bibliografie

- [1] Buzuloiu, V.: *Prelucrarea imaginilor: note de curs*, Universitatea "Politehnica" București, 1998
- [2] Castleman, K. R.: *Digital Image Processing*, Prentice Hall, Englewood Cliffs, NJ, 1996
- [3] Cocquerez, J. P., Philipp, S. (coord.): *Analyse d'images: filtrage et segmentation*, Masson, Paris, 1995
- [4] Dougherty E. R., Giardina, C. R.: *Image Processing - Continuous to Discrete*, vol. 1, *Geometric, Transform and Statistical Methods*, Prentice Hall Inc., Englewood Cliffs, 1987
- [5] Gonzales, R. C., Woods, R. E.: *Digital Image Processing*, Addison Wesley, Reading MA, 1992
- [6] Haralick, R. M., Shapiro, L. G.: "Glossary of Computer Vision Terms", în *Pattern Recognition*, vol. 24, no. 1, pag. 69-93, 1991
- [7] Haralick, R. M., Sternberg, S. R., Zhuang, X.: "Image Analysis using Mathematical Morphology", în *IEEE Trans. on Pattern Analysis and Machine Intelligence*, vol. 9, no. 4, Iulie 1987, pag. 532-549
- [8] Jähne, B.: *Practical Handbook on Image Processing for Scientific Applications*, CRC Press, 1997
- [9] Jain, A. K.: *Fundamentals of Digital Image Processing*, Prentice Hall, Englewood Cliffs NJ, 1989
- [10] Ministerium für Wirtschaft, Mittelstand und Technologie des Landes Nordrhein-Westfalen: *Stand und Trends der Bildverarbeitung in NRW*, Düsseldorf, 1995
- [11] Ministerium für Wirtschaft, Mittelstand und Technologie des Landes Nordrhein-Westfalen: *Produkte und Dienstleistungen für die Bildverarbeitung. Stand und Trends*, Düsseldorf, 1996

- [12] Pitas, I., Venetsanopoulos, A. N.: *Nonlinear Digital Filters – Principles and Applications*, Kluwer Academic Publ., Norwell MA, 1990
- [13] Press, W. H., Flannery, B. P., Teukolsky, W. T., Vetterling, W. T.: *Numerical Recipes in C. The art of scientific computing*, Cambridge University Press, 1988
- [14] Serra, J.: *Image Analysis and Mathematical Morphology*, Academic Press, London, 1982
- [15] Schmitt, M., Mattioli, J.: “*Reconnaissance de formes planaires par morphologie mathématique et réseaux de neurones*”, în *Revue Technique Thomson CSF*, vol. 22, no. 4, Decembrie 1990, pag. 573-609, Ed. Gauthiers-Villars: Paris
- [16] Spătaru, A.: *Teoria Transmisiunii Informației*, Ed. Didactică și Pedagogică, București, 1984
- [17] Vertan, C., Gavăt, I., Stoian, R.: *Variabile aleatoare: principii și aplicații*, Editura Printech, București, 1999
- [18] Zamperoni, P.: “*Image Enhancement*”, *Advances in Imaging and Electron Physics*, vol. 92, pp. 1-77, Academic Press, 1995
- [19] Wahl, F. M.: *Digital Image Signal Processing*, Artech House, Boston, 1987